

В.С.Крикоров

ЕДИНЬЙ КОСМОС

Том VI

Законы Созидания Материи

Космической Мыслью

Магистров много Магия одна:
Ученье - Свет, а Неученье - Тьма!
Религий и Язычества контраст
Во тьму Мировоззрений тянет нас.
Звучит Душа Надеждой и Любовью,
Стучат - болят усталые Сердца,
Любая Мысль была омыта кровью,
Но Свет грядёт, и Свету нет конца.

Издательский дом
«Космический интеллект»
Москва, 2006

Нет выше Религии, чем Истина!

От автора

Приближения - это основной мировоззренческий метод Познания причинно-следственных связей Космоса современной Наукой.

Единый Космос не терпит Приближений и функционирует точно и без **Случайностей** в условиях **Взаимодействий** Всего, Всегда, во Всём.

Научно - космические **Противоречия** проявляются в чёрномырдиновщине: **хотели как лучше - получилось как всегда.**

В современном социуме **Всё** получается так, как **не хочется** потому, что наша наука приближений **отвергает Тонкие Энергии** принципиально.

Тонкие Энергии не исчезают оттого, что думают о ней наши академики, но, **взаимодействуя с Энергией Материи**, проявляют себя во множестве так называемых **паранормальных явлениях.**

Паранормальные Явления, возбуждая интерес социума Земли, берутся на заметку **Язычеством, Магией, Эзотерикой, Религией** и их описание становится **Догмами, порождающими Кумиров.**

Моя работа **Единый Космос** - это первая работа всех времён и народов, ныне существующего на Земле Социума, в которой **анализируются и систематизируются** с позиции причинно-следственных связей **законы взаимодействий Тонкой Энергии и Энергии Материи.**

Такой подход вбирает в себя **мировоззренческие Начала** язычества, магии, эзотерики, религии и науки, а это **единственный** путь к их Единению и спасению от **катаклизма Глупости** всей нашей цивилизации, Носителем Разума которой является **Человек.**

1. Тьма и Свет Единого Космоса

Тьма - поле, поглощающее Свет, в которой фотон - фононы спрятаны во внутреннем поле волны света как в Чёрной микро-макро Дыре (самосущие волны).

Фотон - фононы реализуют переходы между Тьмой и Светом, имея следующие кинематические характеристики:

Таблица 1

Кинематика фотон - фонона

Фотон: частица света	Точечный участок волны света	Фонон: волна света
масса: $m_c = 1/\pi$	Число оборотов (n_o), период вращения (T_o) и угловая скорость (ω_o): $T_o = 1/n_o = 4$; $\omega_o = \pi/2$	масса: $E_\lambda = 1/\pi$
скорость: $c = \pi$		скорость: $c = \pi$
импульс: $m_c c = 1$		импульс: $E_\lambda c = 1$
энергия: $m_c c^2 = \pi$		энергия: $E_\lambda c^2 = \pi$.

Между **тьмой** и **светом** пульсирует возмущённая среда - субстанция волн (табл.2).

Таблица 2

Пульсация между Светом и Тьмой

Тьма: волна	Возмущённая среда	Свет: волна
$\dots \equiv \sin \frac{\pi}{4} \equiv \frac{1}{\sqrt{2}}$	$\frac{1}{\sqrt{2}} \rightleftharpoons \frac{\pi}{4}$	$\frac{\pi}{4} = \arcsin \frac{1}{\sqrt{2}} \equiv \dots$
$\dots \equiv \operatorname{Sc} \frac{\pi}{4} \equiv \sqrt{2}$	$\sqrt{2} \rightleftharpoons \frac{\pi}{4}$	$\frac{\pi}{4} = \operatorname{arcSc} \sqrt{2} \equiv \dots$

Возмущённая среда, пульсируя, создаёт Арупу ($\tau=3$) и Рупу ($T_o = 4$):

$$\pm \frac{\pi}{4} \int_{1/\sqrt{2}}^{\sqrt{2}} \varphi d\varphi \equiv \frac{3}{4} \cdot \frac{\pi}{4} \equiv \pm \frac{\tau}{T_o} \cdot \frac{c}{T_o}. \quad (1)$$

2. Арупа и Рупа Вселенных

Арупа - энергетическое поле, не имеющее Формы, возникающее из импульсов волны-частицы света и электромагнитной среды между ними:

$$\tau = 3 \equiv m_c c + \varepsilon_0 \cdot \mu_0 \cdot c^2 + E_\lambda \equiv x + y + z. \quad (2)$$

Арупа - зародыш трёхмерного Пространства с шестью степенями движения в нём.

Рупа - энергетическое поле имеющее Форму, чем может быть сгусток, возникновение которого в Арупе инициирует точечный участок волны света $T_0 = 4$.

Корень (Арупа) остаётся, Свет остаётся, Сгустки остаются и, всё же, Оеаоһоо Един (Теогенезис, Книга Дзиан):

Таблица 3

Пульсация Оеаоһоо (1)

Режим	Инверсия в сгустке	Изомерия
Формы неравновесия	$\pm \left(\frac{\tau}{T_0} \cdot \frac{\pi}{4} \Leftrightarrow \frac{\tau}{T_0} \cdot \frac{4}{\pi} \right)$ $\pm [\tau^2 \Leftrightarrow T_0^2 (4^2/\pi^2 = \Phi)],$ $\Phi - \text{золотое Число}$	$+ \frac{\tau}{T_0} \cdot \frac{\pi}{4} \Leftrightarrow - \frac{\tau}{T_0} \cdot \frac{\pi}{4}$ $(T_0 \cdot \tau = 12 \Leftrightarrow 12 = \tau T_0) \cdot 1,$ $12 - \text{спираль Зодиака}$
Примечания	Оеаоһоо - это Единый Космос без самосущих волн.	

Инверсионно - изомерическая пульсация формирует сгусток и свет:

$$\frac{\pm \tau^2 \Leftrightarrow T_0^2 \Phi}{T_0 \tau = 12} \Leftrightarrow \frac{T_0 \tau = 12}{\pm \tau^2 \Leftrightarrow T_0^2 \Phi}; \quad \tau^4 \Leftrightarrow T_0^4 \Phi^4 \Leftrightarrow \tau^2 T_0^2;$$

$$\tau^4 - \tau^2 T_0^2 = 81 - 144 = -63 \Leftrightarrow \pi \equiv T_0^4 \Phi^4; \quad (3)$$

где: 63 - геном с максимальным потенциалом.

3. Материя и Тонкая Энергия

В Космосе **вне Самосуших волн** возникает Тонкая Энергия и Энергия Материи, связанные Светом.

Материей является такая Форма Энергии, в которой трансформации одних форм в другие протекают со скоростями **не выше скорости света**.

Тонкой Энергией является такая Форма Энергии, в которой трансформация одних форм в другие протекает со скоростями **не ниже скорости света**.

Отношение Тонкой Энергии (E_T) к энергии Материи (E_M) является обратной величиной отношению потенциальной энергии (E_P) к энергии кинетической (E_K), равной $E_P : E_K = 2 : 1$, где

$$\boxed{\frac{(\text{Потенциальная})}{(\text{Кинетическая})} = \frac{E_P}{E_K} = \frac{2}{1} \Leftrightarrow \frac{1}{2} = \frac{E_M}{E_T} = \frac{(\text{Материя})}{(\text{Тонкая Энергия})}} \quad (4)$$

Потенциально-кинетические колебания приводят к сохранению Рупы при резонансе (4) и Арупы при антирезонансе (4):

$$\boxed{(2 \cdot 2 = 4 \equiv T_o \equiv \text{Рупа}) \Leftrightarrow 1 \Leftrightarrow 0 \Leftrightarrow 4 - 1 = 3 \equiv \tau \equiv \text{Арупа}} \quad (5)$$

В Едином Космосе (без самосуших волн) с потенциалом, равным Единице на долю Материи приходится $1/3$, а на долю Тонкой Энергии - $2/3$ всей энергии Космоса.

Таблица 4

Связь Материи и Тонкой Энергии

Форма Энергии	Тонкая Энергия > c	Свет $\equiv c$	Энергия Материи < c
Доли от Космоса	2/3	$\overleftarrow{K_1 = 0,5} \rightarrow \overleftarrow{2,5 = K_2}$	1/2
Возмущение сред	$\pm \int_{10^{20}}^c \varphi d\varphi \equiv \pm c^2 \cdot 10^{40}$ ускорения	$\int_{2/3}^{1/3} \varphi d\varphi = \int_{1/3}^{2/3} \varphi d\varphi$ $6 \Leftrightarrow -6$ Кундалини	$\pm \int_0^c \varphi d\varphi \equiv \pm c^2 / 2$ ускорения

4. Хаос и Гармония: Дзиан

Хаос вытекает из Гармонии при равенстве между собой противоположно направленных энергетических вихрей, когда сумма потенциалов равна нулю:

$$m_c - E_\lambda = 1/\pi - 1/\pi = 0. \quad (6)$$

В среде с ноль - потенциалом направляющей разности потенциалов нет, и в поле возникает хаотическое броуновское движение.

Гармония вытекает из Хаоса в тот момент, когда в среде появляется направляющая разность потенциалов:

$$(m_c c + E_\lambda \cdot c) - \varepsilon_0 \cdot \mu_0 \cdot c^2 = (1+1) - 1, \quad (7)$$

где: $\log_x 1 = 0$, и в среде, возмущённой сменой Хаоса и Гармонии, появляется потенциал **Дзиан - Дробь**.

Таблица 5

Хаос и Гармония: возмущённая Дзиан - среда

От Хаоса к Гармонии	Дзиан	От Гармонии к Хаосу
$\int_0^1 \varphi d\varphi = +\frac{1}{2}$	\Leftrightarrow	$-\frac{1}{2} = \int_0^1 \varphi d\varphi$

Дзиан - потенциал формирует Космогенезис, Антропогенезис и Теогенезис, так как Дзиан в поле света формирует центробежно-центростремительное ускорение, а с ними сгустки и волны.

Таблица 6

Дзиан - среда: ускорения

Центростремительное	Центробежное
$\int_0^c \varphi d\varphi = \pm \frac{c^2}{2} = +c\omega_0$	$\int_c^0 \varphi d\varphi = -\frac{c^2}{2} = -c\omega_0.$

5. Сжатие и Расширение компонент света

Вращение лазерной точки $m_c E_\lambda$ порождает электромагнитные колебания фонона и прямолинейное равномерное движение фонона.

Таблица 7

Взаимосвязь движения компонент света

Форма Движения	Прямолинейно равномерный полёт фотона	Вращение лазерной точки	Электромагнитное колебание фонона
Потенциалы	$\pm T_0 m_c c^2 = \pm 4$	$\pm T_0 m_c E_\lambda \omega_0^2 = \pm 1$	$\pm T_0 E_\lambda c^2 = \pm 4$
Пульсация по амплитуде	4 ± 1	1 ± 1	$1 \pm 4.$

Пульсирующие по амплитуде волны сжимаются и расширяются, сгустки на орбитах переходят с орбиты на орбиту, в Недрах объёмных волн происходит смена полюсов.

Пульсация компонент света

Поля	Дзиан и взаимодействия		Небеса Цинь $\pm 32 \Leftrightarrow 0$		Сгусток Тянь	
Формы волн	Линейная		Поверхностная		Объёмная	
Режим	сжатие	расширение	сжатие	расширение	сжатие	расширение
Потенциалы	$\frac{\omega_0}{c} = \frac{1}{2} \Leftrightarrow 2 = \frac{c}{\omega_0}$		$\left(\frac{\omega_0}{c}\right)^2 = \frac{1}{4} \Leftrightarrow 4 = \left(\frac{\omega_0}{c}\right)^2$		$\left(\frac{\omega_0}{c}\right)^3 = \frac{1}{8} \Leftrightarrow 8 = \left(\frac{c}{\omega_0}\right)^3$	
Колебания	$2 \Leftrightarrow \pm 1 \Leftrightarrow -2$		$46 \Leftrightarrow \pm 1 \Leftrightarrow -46$		$64 \Leftrightarrow \pm \Leftrightarrow -64$	

Диаграмма Ян-Цинь описывает пульсацию компонент света в Едином Космосе (рис.1).

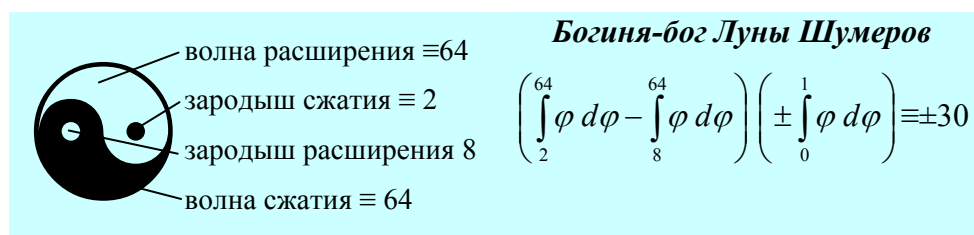


Рис.1 Диаграмма Ян-Цинь: богиня - бог Луны Шумеров

6. Взаимодействия в ядерных средах

В Природе Всё, Всегда, во Всём взаимодействует и каждая форма взаимодействий имеет свою эффективность.

Эффективности пяти существующих в Природе взаимодействий в среде ядерного вещества

Формы	Дальнодействия		Свет	Короткодействия	
	гравитационное	электромагнитное		слабые	ядерные
Эффективности	$\rho_1 = 10^{-24}$	$\rho_3 = 10^{12}$	$\rho_5 = 10^{+1}$	$\rho_2 = 10^{-1}$	$\rho_4 = 10^{14}$

Взаимодействия в ядерном веществе подчиняются закону сохранения Энергии, и поэтому взаимодействий в Природе только Пять - не больше и не меньше:

Закон сохранения энергии	
Формула	$1 \equiv \rho_1 \rho_2 \rho_3 \rho_4 / \rho_5$
Формулировка	Энергия не исчезает и не появляется вновь, но трансформируемая светом во взаимодействиях переходит из одной формы в другую. (8)

Взаимодействия проявляют себя комплексно и имеют ядерную и логарифмическую постоянные.

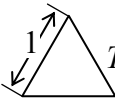


Лунная	ядерная	логарифмическая	Айн СОФ
$\frac{\lg(\rho_3 \rho_4 \rho_5 - \rho_1 \rho_2)}{T_0 = 4}$	$\rho_1 \rho_2 \rho_3 \rho_4 \rho_5$	$\lg \rho_1 \rho_2 \rho_3 \rho_4 \rho_5$	$\lg \frac{\rho_3 \rho_4}{\rho_1} \rho_2 \rho_5$
$= 13$	$= 10^2$	$= 2$	$= 50,$

где 50 обожествлены в Каббале, как вездесущий бог Айн СОФ, а 13 является основой счисления времени по 13-ти лунному календарю Цивилизации Майя.

7. Кундалини и Пространство

Вне Энергии Пространства нет. Пространство - это форма Энергии. Энергия пульсирует, например, между импульсом и поверхностной волной. **Импульс создаёт не искривлённое Пространство - Арупу**, векторно-математическим описанием которой является **Тетраксис Пифагора и Тетраграмматон Каббалы**. Энергия формирует искривлённое Пространство - Рупу, вектором которой может служить Звезда Давида или равносторонние треугольники, где радиус окружности, описывающий треугольник, равен 2/3 от величины стороны треугольника, а радиус вписанной окружности только 1.3.

Искривление Арупы: появление Кундалини

Форма Пространства	Арупа: импульсы, нет искривлений	Рупа: энергия, искривление Пространства	Арупа - Рупа: пульсация фотон-фононов
Потенциалы	$A \equiv m_c c + \epsilon_0 \mu_0 c^2 +$ $E_\lambda c = 3$	$P \equiv m_c c^2 + \epsilon_0 \mu_0 c^2 +$ $E_\lambda c^2 = 3$	$\frac{A}{P} \Leftrightarrow -\frac{P}{A} = -\pi$ $m_c E_\lambda \Leftrightarrow 1$
Символизм	 <i>Тетраксис</i> <i>Тетраграм-</i> <i>матон</i>	 $R=3/2$ $r=1/2$	 Звезда Давида.

Рупа с потенциалом 3π проявляет себя в жидких средах, сохраняя в них цис-транс изомерию, формируя молочно-белые спирали Кундалини (табл.10):

$$\text{Кундалини} \equiv 3\pi - (-3\pi) \equiv 6\pi \equiv (3,5+2,5)\pi (3,5^2-2,5^2)\pi, \quad (10)$$

где Дзиан Космоса увеличивает число витков Кундалини при расширении и уменьшает при сжатии:

Формирование Кундалини				(11)
Сжатие	Расширение	Расширение	Сжатие	
$A-1/2 = 2,5$	$A+1/2 = 3,5$	$3,5^2$	$2,5^2$	

8. Перенос света через Невесомость самосущими волнами

В искривлённое Пространство Рупы ($P = 3\pi$, табл.10) будет поступать свет, полученный за счёт инверсии (выворачивания наизнанку) самосущих холодных волн вечной тьмы Космоса Невесомости:

Насыщение искривлённого пространства светом

Ряды	<div><div>←—————солнечный————→</div><div>←—————лунный————→</div></div>							
Уровни	1 ↔ 2 ↔ 3 ↔ 4 ↔ 5 ↔ 6 ↔ 7 ↔ 8							
Поступление света в R=3π	3π ↔ π	3π ↔ π/2	3π ↔ π/4	3π ↔ π/8	3π ↔ π/12	3π ↔ π/24	3π ↔ π/48	3π ↔ π/96
Вне Искривления	1 ↔ 3	1 ↔ 6	1 ↔ 12	1 ↔ 24	1 ↔ 36	1 ↔ 72	1 ↔ 144	1 ↔ 288
Суммы	Формовщики: 3+6+12+24 = 45				Свет и плазма: 36+72 = 108		Арупа-Рупа: 12²+2·12²=432	
Относительность единиц	45 : 45 = 1				108:45 = 2,4		432:45 = 9,6	
Продолжительности	1+2,4+9,6 ≡ 13 к календарю Майи				Зодиак: 2,4+9,6 = 12 ≡ T ₀ · τ.			

Носителем света в искривлённое Пространство Рупы являются холодные волны вечной тьмы, то есть самосушущие волны Космоса Невесомости:

Перенос света самосушущими волнами через Невесомость	(12)
$\frac{\pi}{n} \equiv \arcsin\left(\frac{1}{n\sqrt{2}}\right) \equiv \dots \equiv \arcsin(n\sqrt{2}).$	

$$\frac{T_0\tau}{T_0 + \tau} \Leftrightarrow -\frac{T_0 + \tau}{T_0\tau}; (T_0+\tau)^2 \Leftrightarrow (T_0+\tau)^2; 12^2 \Leftrightarrow 7^2; 144-49 = 95 \equiv 3,8 \cdot 5^2. \quad (13)$$

Начинается формирование разности длин волн оранжевой ($\Delta O = 380 \text{ \AA}$) и желто-зелёной ($\Delta ЖЗ = 250 \text{ \AA}$) областей спектра света.

9. Энергетическая оптика спектра солнечного света

Определим в спектре белого солнечного света разности длин волн по различным областям спектра.

Этим переходом от $c = \lambda\gamma$ перейдём к $\Delta C = \Delta\lambda \cdot \Delta\gamma$, или свяжем оптику с энергетикой, ибо переход энергии из одного состояния в другое не зависит от формы пути, а определяется разностью потенциалов в конце и начале перехода.

Таблица 12

Спектр солнечного белого света $\times \text{\AA}$ (ангстрем)

Цвет	Фиолетовый	Синий	Голубой	Зелёный	Жёлто-зелёный	Жёлтый	Оранжевый	Красный	Белый
Диапазон длин волн	4000 4500	4500 4800	4800 5100	5100 5500	5500 5750	5750 5820	5820 6200	6200 7600	4000 7600
Разность длин волн	$\Delta\Phi = 500$	$\Delta C = 300$	$\Delta\Gamma = 300$	$\Delta Z = 400$	$\Delta\mathcal{K}Z = 250$	$\Delta\mathcal{K} = 70$	$\Delta O = 380$	$\Delta K = 1400$	$\Delta B = 3600$
Общее уравнение	$\frac{\Delta C}{\Delta\Gamma} \cdot \frac{\Delta\mathcal{K}}{\Delta Z} \cdot \frac{\Delta\Phi}{\Delta\mathcal{K}Z} \cdot \frac{\Delta K}{\Delta\mathcal{K}} = 7 \equiv T_o + \tau$ <p style="text-align: center;">Зодиак в антирезонансе</p>								
Компоненты	$\rho_s \frac{\Delta\mathcal{K}}{\Delta\Gamma} = \frac{7}{4}$ Пальма			$\rho_s \frac{\Delta\mathcal{K}}{\Delta\Gamma} \cdot \frac{\Delta\Phi}{\Delta\mathcal{K}Z} = \frac{7}{2}$ Кундалини			$\frac{\Delta C}{\Delta\Gamma} + \frac{\Delta K}{\Delta\mathcal{K}} = 21$ Полярный вихрь.		

Цивилизация Майя разбила месяц на красную, белую, жёлтую и синюю неделю, так как их Календарь отражал колебания в спектре света эквивалентные отношениям разностей длин волн в спектре света (табл.12).

$$\frac{\Delta B}{\Delta K} = \frac{3600}{1400} = \frac{18}{7} \Leftrightarrow \frac{30}{7} \equiv \frac{300}{70} \equiv \frac{\Delta C}{\Delta\mathcal{K}} \quad \text{и} \quad 30 - 18 = 12 \equiv T_o \cdot \tau. \quad (14)$$

Шумеры построили **Пирамиду "Вавилонская Башня"** в форме семиступенчатой Пирамиды с разным цветом ступеней, так как были ориентированы великой Цивилизацией на спектр света.

Выбор шумерами бога и богини Луны с потенциалами 30 связаны с синей и голубой разностями потенциалов:

$$\rho_2 \cdot \Delta C = 30(\text{Бог Луны}) \Leftrightarrow (\text{Богиня Луны})30 \equiv \Delta G \cdot \rho_2 . \quad (15)$$

10. Импульсы головного мозга и элементарные заряды биотока

Спираль Зодиак - это естественный природный канал сверхпроводимости волн Тонкой Энергии, структура которого подобна световоду: кабель - трубочка.

Поверхность канала спирали Зодиака пульсирует и при резонансе $[(T_0 \cdot \tau = 12) \pm 1]$ и при антирезонансе (7 ± 1) .

Возникает интегральная разность квадратов потенциалов, равная:

$$T_0 \tau \int_{12-1}^{12+1} \varphi d\varphi - (T_0 + \tau) \int_{7-1}^{7+1} \varphi d\varphi = 288 - 98 = 190 \equiv x^2 - y^2 , \quad (16)$$

где $x^2 = 288 \equiv 2 \cdot 12^2$; $y^2 = 1/2 \cdot 14^2 = 1/2 \cdot \mu\mu^*$; $12+1 = 13$ - тринадцать лунное счисление; $7 - 1 = 6$ - Кундалини; $12 - 1 = 9+2$ - субструктура биоклетки при митозе; $7+1 = 8$ - коэффициент расширения Вселенной.

Резонанс в спирали Зодиака (14):

$$98 \cdot 288 = 28224 = 1008 \cdot 28 \equiv 36 \cdot (28^2 = \rho\rho^*) \quad (17)$$

приводит к постоянной Вселенной по водороду, равный 1008, которая появляется в поле лунной гравитации с потенциалом 28 (17) и при 28^2 возникает солнечный свет с потенциалом 36 (13).

Далее свет - гравитация $(36 \cdot 28^2)$ трансформируется в магнитную спираль Зодиака:

$$36 \cdot 28^2 = 12^2 \cdot 14^2 \equiv T_o^2 + \tau^2 \cdot \mu\mu^*. \quad (18)$$

В пределах насыщения люминофора - Зодиака участвуют 10^{20} фотонов, а их вихри формируют элементарные заряды биотока и импульсы Мысли, Памяти, Воображения (табл.13).

Таблица 13

**Импульсы головного мозга
и элементарные заряды биотока**

Элементарные заряды биотока			Импульсы головного мозга		
Гравитационный $\times 10^{-20}$	Магнитный $\times 10^{-20}$	Электрический $\times 10^{-20}$	Мысль $\times 10^{-20}$	Память $\times 10^{-20}$	Воображение $\times 10^{-20}$
$\rho = T_o(T_o + \tau)$ $28 \cdot 10^{-20}$	$\mu = c/\omega_o \cdot (T_o + \tau)$ $14 \cdot 10^{-20}$	$q = T_o^2$ $16 \cdot 10^{-20}$	$\rho^* = T_o(T_o + \tau)$ $28 \cdot 10^{-20}$	$\mu^* = c/\omega_o \cdot (T_o + \tau)$ $14 \cdot 10^{-20}$	$q^* = T_o^2$ $16 \cdot 10^{-20}$

**11. Гравитационный электромагнетизм:
число Человека**

Великая Цивилизация взяла за основу своего Счисления отношение *гравитационного* компонента к электрическому и назвала это отношение **пальмой**, а отношение магнитного компонента к электрическому, равное половине пальмы, мы назвали **Дзиан - пальмой**.

Таблица 14

Гравитационный электромагнетизм

Единица	<i>Пальма</i>	<i>Дзиан - пальма</i>
Поля	<i>Электрогравитация</i>	<i>Электромагнетизм</i>
Потенциалы	$\frac{7}{4} = \frac{\rho}{q} = \frac{\rho^*}{q^*} = \sqrt{\frac{\rho\rho^*}{qq^*}}$	$\pm \frac{7}{4} \int_0^1 \varphi d\varphi = \pm \frac{7}{8} \equiv \frac{\mu}{q} \equiv \frac{\mu^*}{q^*} \equiv \sqrt{\frac{\mu\mu^*}{qq^*}}$
Равновесие	$112 \equiv 7qq^* \equiv 8\mu\mu^* \equiv 4\rho\rho^*$	
Примечание	В Рупе Дзиан - пальма трансформируется в Кундалини и начинает творить Живые Магниты.	

Возникают Небеса - Цинь (табл.14):

$$112:(7/8 \cdot T_0 = 7/2) = 16 \cdot 2 = 32 \equiv \text{Цинь}. \quad (19)$$

Из солнечного белого света возникает периодическая система 112 химических элементов, число электронов в которой равно сумме арифметической прогрессии из 112 членов:

Таблица 15

Периодическая Система 112 химических элементов

Сумма арифметической прогрессии		Участие света
Цис-изомерия	Транс-изомерия	$\Delta B = 3600 \frac{7}{4} + \left(28 = \frac{7}{4} T_0^2 \right)$ $= 6328 \equiv 8 \cdot 7 \cdot 113$ <p>где: 28 - атомный вес кремния 113 - число Человека.</p>
Число электронов	Число позитронов	
$-\frac{1+112}{2} \cdot 112 = -6328$	$\frac{1+112}{2} \cdot 112 = 6328$	

В электрон-позитронном облаке возникает число Человека: $6328 - (-6328) = 112 \cdot 113$.

12. Сгущение великой Пирамидой самосуших волн

Резонансное поле Число Человека в гравитационно-магнитном равновесии (20, табл.15) в условиях антирезонанса приводит к интегральной разности квадратов потенциалов:

Антирезонанс: Число Человека в гравитационно-электромагнитном поле
$113 \int_{113-1}^{113+1} \varphi d\varphi - 112 \int_{112-1}^{112+1} \varphi d\varphi = 2(113^2 - 112^2) = 2(x^2 - y^2) = 450, \quad (21)$ <p>где $x = 113 \sqrt{113-1}$, а $y = 112 \sqrt{112-1}$, при $x+y = x^2-y^2$ и $\sqrt{2} \equiv \text{Sc } \pi/4 \equiv \dots$</p>

Пять тысяч лет назад Жрецы великой Пирамиды сказали Геродоту: **квадрат высоты (H^2) великой Пирамиды равен произведению апофемы (ℓ) на радиус (r) вписанной в основание окружности ($H^2 = r\ell$, Правило Геродота).**

Но Жрецы не сказали, а Геродот не спросил, что все элементы великой Пирамиды (рис.2) описывают последовательно-резонансное изменение потенциала самосуших волн, то есть $\sqrt{2}^n$, где $n = 1, 2, 3, 4, 5, 6, 7$ (табл.16).

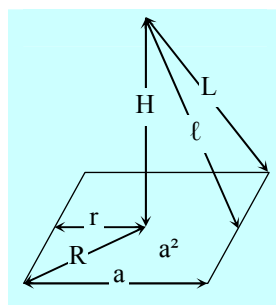


Рис.2 Элементы великой Пирамиды

Таблица 16

Величины элементов великой Пирамиды
при $H = 2^{7/4}$ (рис.2)

Элементы	r	R	a	R^2	rR	$\ell=a^2$	L
Величины	$\sqrt{2}$	$\sqrt{2}^2$	$\sqrt{2}^3$	$\sqrt{2}^4$	$\sqrt{2}^5$	$\sqrt{2}^6$	$\sqrt{2}^7$
Самосушие волны	$n \equiv \sqrt{2}^{1+2+3+4+5+6+7=28}$						

А далее в Теогенезисе (Станца VII) великая Цивилизация показывает, как самосушие волны формируют геном с максимальным потенциалом 63: **6. Царь явился сам и сейчас был известен им. "Я - первый" ($r = \sqrt{2}$), сказал Он, "и я - последний, и оба мы - одно лицо. Свет пришёл из тьмы. Всё пришло из ничего. Из Смерти пришла вечная жизнь. Дело сделано":**

$$\int_{r=\sqrt{2}}^{L=8\sqrt{2}} \varphi d\varphi = 63. \quad (22)$$

13. Энергетика Периодической Системы геномов наследственности

Геномы наследственности образуют Периодическую Систему с пульсирующим Ядром:

$$\begin{array}{cc} 6 & 9 \\ 9 & 6 \end{array} . \quad (23)$$

которая вытесняет геномы с потенциалами 27, 28, 35 и 36 (рис.3).

63	62	61	60	59	58	57	56
55	54	53	52	51	50	49	48
47	46	45	44	43	42	41	40
39	38	37	6	9	34	33	32
31	30	29	9	6	26	25	24
23	22	21	20	19	18	17	16
15	14	13	12	11	10	9	8
7	6	5	4	3	2	1	0

Рис.3 Периодическая Система геномов наследственности

В Периодической Системе геномов магнетизм возникает как отношение потенциала числа геномов в периодической системе геномов (рис.3):

$$N = \frac{63+1}{2} 63 - (36+35+28+27) = 1890 - 126 = 1764,$$

к потенциалу числа геномов, вытесненных ядром:

$$n = 36+35+28+27 = 126, \quad (24)$$

где $\frac{N}{n} = \frac{1764}{126} = 14 \equiv \sqrt{\mu\mu^*}$

Магнитные волны геномов (22) излучаются ядром периодической системы:

$$14(6+9+6+9 = 30) = 420 \equiv \rho_5(28+14) \equiv \rho_5(\sqrt{\rho\rho^*} + \sqrt{\mu\mu^*}). \quad (25)$$

В поле взаимодействия света (ρ_5) возникают 42 Божества наших сердец, которые по **Книге Мёртвых** покидают наше тело на шестой день после кончины: **"На шестой день пребывания в Бордо перед тобой предстанут 42 Грозных Божества. Они порождение чистой любви твоего сердца. Познай их"**.

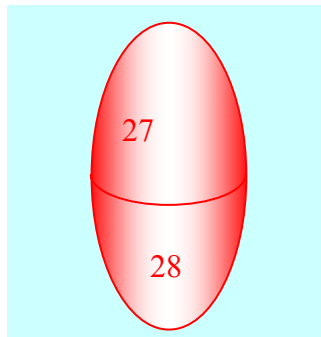


Рис.4 Свечение от генератора Тонкой Энергии

Вытесненные ядром геномы с потенциалами 27 и 28 проявляют себя в Свечении от генератора Тонкой Энергии (рис.4).

Облучённые этой энергией семена растений увеличивают урожайность в семь раз, вирусы - паразиты гибнут, а само излучение (или его снимки) - врачует.

14. Магнетизм геномов и медитации в пропорциях Пирамиды "Вавилонская Башня"

Потенциалы богини и бога Луны шумеров связаны с ядром периодической системы геномов (рис.3) и магнетизмом.

Богиня Луны; расширение яйцеклетки			Бог Луны: сжатие сперматозоида			(26)
Ядро геномов	Луна	Магнетизм: восходящий	Магнетизм: нисходящий	Луна	Ядро геномов	
$6+9+6+9 = 30$		$= 1^2+2^2+3^2+4^2$	$\equiv 4^2+3^2+2^2+1^2 = 30$		$= 9+6+9+6.$	

Постоянная чакр при медитации в десять раз превышает магнетизм геномов (24) и равна 140:

№ чакр		Эквивалентность лунному ряду							Пятеричная связь
		1	2	3	4	5	6	7	
Кун- да- ли- ни	Расши- рение	$\frac{7}{4}$	$\frac{7}{2}$	7	14	28	56	112	$5 = \frac{140}{28} \equiv$ $\frac{1^2+2^2+3^2+4^2+5^2+6^2+7^2}{1+2+3+4+5+6+7}$
	Сжа- тие	80	40	20	10	5	$\frac{5}{2}$	$\frac{5}{4}$	
Постоянная		140	140	140	140	140	140	140	

*
**

Шумеры описали зависимость от Луны в форме **семиступенчатой Пирамиды "Вавилонская Башня"** [1]:

Уровни		Планеты	Цвет	Потен- циалы	Режим	Колебания
↑ к вершине 	7	Луна	Серебро	30	Резо- нанс	$\frac{30 \cdot 12 \cdot 15}{20 + 8 + 10 + 4}$
	6	Меркурий	Лазурит	12		$\frac{20 + 8 + 10 + 4}{\Leftrightarrow}$
	5	Венера	Желто- ватый	15		$\frac{20 + 8 + 10 + 4}{30 \cdot 12 \cdot 15}$
	4	Солнце	Золото	20	Анти- резо- нанс	$\frac{30^2}{7} \Leftrightarrow \frac{7}{30^2}$
	3	Марс	Красный	8		$3^4 \cdot 10^4 \Leftrightarrow 7^2$
	2	Юпитер	Охра	10		$81 \cdot 10^4 =$
	1	Сатурн	Чёрный	4		оболочка.

Кроме всего прочего вектор - эпюра "Вавилонская Башня" описывает и спектр света, так как

$$30^2 = 900 \equiv 900\text{\AA} \equiv (\Delta K=1400\text{\AA}) - (\Delta \Phi=500\text{\AA}). \quad (29)$$

15. Шифр Книги Бытия и Библии: сила биотока и индукция в чакре Третий Глаз

Шифр Книги Бытия и Библии, связанный со значимостью одной буквы из 62500, рассчитан на скорость света в Космосе Невесомости, равной $c \equiv 300$ тыс.км/сек; длину волны $\lambda = 4800\text{\AA}$, которая делит синюю и голубую области в чакре Третий Глаз (табл.12); и количество фотонов, равное $\sqrt{10^{20}} = 10^{10}$:

Шифр Библии и Книги Бытия	
$\frac{c}{\lambda} \sqrt{10^{20}} \equiv \frac{3 \cdot 10^{18} \overset{\circ}{A} / сек}{4800 \overset{\circ}{A}} 10^{-10} = \frac{1}{16} 10^{16} 10^{10} = 625001 / сек .$	(30)

*
**

При поступлении в чакру Третий Глаз электрического заряда qc в чакре возникает биоток и индукция:

$$J = \frac{qc}{\lambda} = \frac{16 \cdot 10^{-20} A \cdot сек \cdot 3 \cdot 10^{18} \overset{\circ}{A}}{4800 \overset{\circ}{A}} = 10^{-4} A \Leftrightarrow 10^4 1 / A \equiv 1 / J , \quad (31)$$

где J - сила тока в амперах, а $1/J$ - индукция.

*
**

Изменение энергетических форм импульсов, поступающих в чакру Третий Глаз, меняет в ней биоток и индуктивность.

Изменение биотока и индукции в чакре Третий Глаз

Поля	Биоток зарядов			Импульсы мозга			Произведе-ния
	Электри-ческий	Магнит-ный	Гравита-ционный	Мысль	Память	Вообра-жение	
Сила тока $\times A$	$\frac{qc}{\lambda} = 10^{-4}$	$\frac{\mu c}{\lambda} = \frac{7}{8} 10^{-4}$	$\frac{\rho c}{\lambda} = \frac{7}{2} 10^{-4}$	$\frac{\rho^* c}{\lambda} = \frac{7}{2} 10^{-36}$	$\frac{\mu^* c}{\lambda} = \frac{7}{8} 10^{-36}$	$\frac{q^* c}{\lambda} = 10^{-36}$	$\left(\frac{7}{4}\right)^4 \times 10^{-96}$
Ин-дук-ция $\times 1/A$	10^4	$\frac{8}{7} 10^4$	$\frac{2}{7} 10^{-4}$	$\frac{2}{7} 10^{-36}$	$\frac{8}{7} 10^{-3}$	10^{-36}	$\left(\frac{4}{7}\right)^4 \times 10^{-96}$
Кун-да-лини	сумма шести равновесных состояний $1 + 1 + 1 + 1 + 1 + 1 = 6.$						$\frac{1}{6}$

**16. Основание великой Пирамиды:
связь с тринадцатим лунным календарём Майи**

Недра Капель Ядер расширяют самосущие волны из Метагалактики.

Недра Капель Ядер (в том числе Земли) сгущаются не к центру, как думают наши геофизики, а от центра к поверхности Ядер.

Сгущение Поверхности Капель Ядер происходит в условиях поляризации (поворота) на угол $\pi/4$ (рис.3).

В квадрат основания великой Пирамиды, описывающей поверхностную волну, поляризация заставит вписать четыре квадрата, стороны которых будут уменьшаться на половину: красный, белый, синий и жёлтый (рис.5, табл.18).

Таблица 18

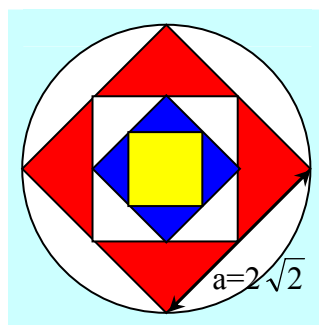


Рис.5 Основание
великой Пирамиды:
запись поляризации

Площади в основании Пирамиды (рис.5)				
Цвет квадрата	Крас- ный	Белый	Синий	Жёл- тый
Площадь квадрата	$a^2 = 8$	$\left(\frac{a}{2}\right)^2 = 2$	$\left(\frac{a}{4}\right)^2 = 1/2$	$\left(\frac{a}{8}\right)^2 = 1/8$
Инверсии	$\leftarrow 2 \cdot 1/2 = 1 \rightarrow$ $\leftarrow 1 = 8 \cdot 1/8 \rightarrow$			
Геномы	$8 \Leftrightarrow 1/8; \quad 64 \Leftrightarrow 1; \quad 63 \Leftrightarrow 0.$			

**

Геномы приспособляются к ритмике пульсации Единого Космоса по 13-ти лунному Календарю:

$$0 \Leftrightarrow \frac{364 \text{ дня в году}}{\text{геном } 63} = \frac{13 \cdot 28}{7 \cdot 9} = \frac{13 \cdot 4}{9} \Leftrightarrow \frac{9}{13 \cdot 4} \equiv \frac{63}{364} \Leftrightarrow 0$$

$$13^2 \cdot 16 \Leftrightarrow 9^2 \quad \text{или} \quad \boxed{13^2 \cdot T_0^2 \Leftrightarrow \tau^{T_0}}, \quad (32)$$

где $13^2 = 12^2 + 5^2 = 12^2 + 4^2 + 3^2 = (T_0 \cdot \tau)^2 + T_0^2 + \tau^2$.

Поле, включающее 13-ти лунный Календарь (32), может быть сведено к Арупе - Рупе:

$$(T_0^2 \cdot \tau^2 + T_0^2 + \tau^2 = 13^2) \cdot T_0^2 \Leftrightarrow \tau^{T_0}; \quad T_0^4 + \tau^4 - \tau^2(T_0^4 \pm T_0^2). \quad (33)$$

17. Маятниковый эффект в сгустках Вселенной

В воздухе Кундалини сгущается в облако-пятно, которое можно сфотографировать.

Над неживым люминофором Кундалини формирует холодное люминесцентное свечение, над живым Ауру - часть иммунной системы организма [24].

Люминесцентное Свечение Ауры можно фотографировать на частотах 10^6 1/сек (Эффект Кирлиан).

В жидких средах Кундалини - свет реализует себя в форме молочно-белых спиралей [3], а световодом для Кундалини служат трубчатые мембранные молекулярные нити, - источники осмотического давления.

*
**

Энергетическим эталоном световода для Кундалини является высота (H) великой Пирамиды, по которой будут проходить метagalacticкие волны a , $\frac{1}{2} a$, $\frac{1}{4} a$ и $\frac{1}{8} a$ (рис.5, табл.18).

Возникнет замкнутый контур колебаний (рис.5):

Колебания самосуших волн в объёме Пирамиды	
$\frac{H}{a} \Leftrightarrow \frac{\frac{1}{2}a}{H} \Leftrightarrow \frac{H}{\frac{1}{4}a} \Leftrightarrow \frac{\frac{1}{8} \cdot a}{H}$	$\left(H^4 = \sqrt{2}^{14} \right) \Leftrightarrow \left[\frac{1}{64} (a^4 = 8^2) \right] \equiv 1.$

(34)

*
**

Равновесие по высоте Пирамиды (34) нарушается самосушими волнами, распределёнными по элементам Пирамиды (табл.16):

$$(H^4 = \sqrt{2}^{14}) \Leftrightarrow 1 \Leftrightarrow (1/\Pi \equiv \sqrt{2}^{-28}). \quad (35)$$

В сгустках Вселенной возникает маятниковый эффект.

18. Излучение как генерация волн с обратными потенциалами

Трансформация линейных бегущих самосуших волн
(34) в поверхностные:

Колебания поверхностных волн в объёме Пирамиды	
$\frac{H^2}{a^2} \Leftrightarrow \frac{\left(\frac{1}{2}a\right)^2}{H^2} \Leftrightarrow \frac{H^2}{\left(\frac{1}{4}a\right)^2} \Leftrightarrow \frac{\left(\frac{1}{8}a\right)^2}{H^2}$	$\left(H^8 = \sqrt{2}^{28}\right) \Leftrightarrow \left(\frac{a^4}{64}\right)^2 \equiv 1^2.$

(36)

приводит к равновесию между самосушими волнами, распределёнными по высоте Пирамиды и по её элементам
(36, табл.16):

$H^8 = \sqrt{2}^{28} \Leftrightarrow \sqrt{2}^{28} = \text{П.}$

(37)

**

Заполнение объёма Пирамиды самосушими волнами
приведёт к появлению контура колебаний:

$$\left[\left(H^8\right)^3 = \sqrt{2}^{42} \right] \Leftrightarrow \left[\left(\frac{a^4}{64} = 1 \right) 3 \equiv 1^2 \right], \quad (38)$$

но необходимость достижения равновесия между поверхностными и объёмными волнами потребует излучения в окружающую среду энергии, эквивалентной отношению:

Излучение энергии объёмом через поверхность в окружающую среду	
$\left[\frac{\text{Поверхность}}{\text{Объём}} \equiv \frac{H^8}{H^{12}} \right] = \left[H^{-4} \equiv \sqrt{2}^{-14} (\text{окружающая среда}) \right].$	

(39)

Волны, поступающие в окружающую среду, начинают вить Спирали Кундалини, как и волны в объеме Ядра.

**

Волны в объеме Капли Ядра и окружающей Яйцо среде образуют волны с обратными потенциалами:

Объем Капли Ядра	Среда вокруг Капли
$H^4 = \sqrt{2}^{14}$	$\sqrt{2}^{-14} = H^{-4}$

(40)

19. Мировое Яйцо с Пентаграммой

Излучение-поглощение генерирует волны с обратными потенциалами (40).

Волны Кундалини с обратными потенциалами формируют Единый Космос и его микро-макро компоненты как **Пентаграмму в Яйце**.

Таблица 19

Кундалини как формовщик Яйца с Пентаграммой

		Сгустки в Невесомости		<i>Яйцо с Пентаграммой</i>	
		В Капле	Вне Капли		
Кундалини	Расширение	До излучения	После излучения	Самосушие	Оболочка
		$7/2$ \updownarrow	$2/7$ \updownarrow	$\sqrt{2}^8$ \updownarrow	7^2 \updownarrow
	Сжатие	$2/5$ \updownarrow	$5/2$ \updownarrow	5^2 \updownarrow	$\sqrt{2}^8$ \updownarrow
		После поглощения	До поглощения	Пентаграмма	Самосушие.

Между оболочкой Яйца и Пентаграммой в Яйце возникает разность потенциалов, равная (табл.19):

$$7^2 - 5^2 = 24 = 2 \cdot 12 = 3 \cdot 8 = 4 \cdot 6, \quad (41)$$

о которой в **Откровениях** сказано: **Трон Христа на Небе окружен 24 Пресвятыми Престолами.**

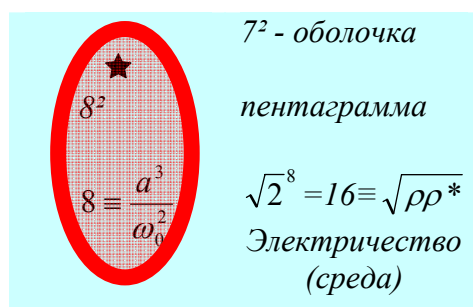


Рис.5 Яйцо с Пентаграммой

Появление в поле 24 гравитации и магнетизма формирует водород:

$$24(28+14=\sqrt{\rho\rho^*}+\sqrt{\mu\mu^*})=1008. \quad (42)$$

Вокруг оболочки появляется электричество (рис.6).

Под оболочкой возникает поле расширения (рис.6):

$$\frac{\text{Резонанс}}{\text{Антирезонанс}} \frac{\sqrt{2}^8 \cdot \sqrt{2}^8}{\sqrt{2}^8 + \sqrt{2}^8} = \frac{\sqrt{2}^8}{2} = 8 \equiv \frac{c^3}{\omega_0^3}. \quad (43)$$

$$\text{Появляется Айн СОФ} \equiv (7^2+5^2) - (7^2-5^2) = 50 \equiv \lg \rho_3\rho_4/\rho_1. \quad (44)$$

20. Чакра как Яйцо с Пентаграммой

В Продолжительности между соседними излучениями-поглощениями в объёме яйца протекает пульсация без **инверсии** (получение квантов без обратных потенциалов):

Равномерная пульсация в объёме Мирового Яйца		(45)
Полюса в Яйце (рис.5)	Среда между полюсами	
$7^2-5^2 = (7+5) \cdot (7-5) = 12 \cdot 2 = 24 \rightleftharpoons 8 = T_0 c / \omega_0 \equiv c^3 / \omega_0 \equiv \sqrt{2}^6 .$		

Но в то же время оболочки всех компонент Мирового Яйца и среды вне и в нём пульсируют по амплитуде (рис.6):

Области	Оболочка	Пентаграмма	Среда	Электричество
Высшая	$7^2+1 = 50$	$5^2+1 = 26$	$8+1 = 9$	$16+1 = 17$
Средняя	$7^2+0 = 49$	$5^2+0 = 25$	$8+0 = 8$	$16+0 = 16$
Низшая	$7^2-1 = 48$	$5^2-1 = 24$	$8-1 = 7$	$16-1 = 15$

(46)

Сумма разностей потенциалов между полюсами формирует потенциал - эквивалент плотности лазерной плазмы $\gamma_n = 72$:

$$\gamma_n = 72 = (50-26 = 24) + (49-25 = 24) + (48-24 = 24), \quad (47)$$

где колебания Космоса с потенциалом Дзиан формируют из лазерной плазмы Свет и Воду:

Плазма	Свет из плазмы	Вода
$\gamma_n = 72$	$72 \int_0^1 \varphi d\varphi = 36 \Leftrightarrow -36 = 72 \int_1^0 \varphi d\varphi$	$\gamma_n \int_0^1 \varphi d\varphi \cdot \int_1^0 \varphi d\varphi = -18$

(48)

**

Отношение электрического поля вокруг Яйца к среде внутри яйца (46) остаётся постоянным, заставляя ядерное вещество пульсировать (48, 46):

$$\gamma_n \frac{(9+8+7=24)}{(17+16+15=48)} = 36 \Leftrightarrow 12^2 = \gamma_n \frac{(17+16+15=48)}{(9+8+7=24)}. \quad (49)$$

Так пульсирует Кундалини в чакре Третий Глаз.

21. День вне Времени: сущность и необходимость

Бог Айн СОФ пульсирует на уровне Сознания с частотой 24 кадра в единицу Продолжительности (46):

Сознание еврейского бога Айн СОФ

$(\lg \rho_3 \rho_4 / \rho_1 = \lg 10^{50} = 50) \cdot 24 = 1200 = \rho_5^2 \cdot T_0 \tau.$
--

(50)

Чтобы стать равным еврейскому богу медитирующий должен перейти к чакре Третий Глаз на волну $\lambda = 4800 \text{ \AA}$, делящей синюю и голубую области спектра, и погрузиться в Подсознание, пульсирующее с частотой 25 кадров в Единицу Продолжительности (46):

Подсознание медитирующего в сине-голубой области спектра света (чакра Третий Глаз)

$[(\lambda = 4800 \text{ \AA}) \cdot (\rho_1 / \rho_5 = 10^{-2}) \equiv \lg \rho_2 \rho_3 \rho_4 / \rho_1 \rho_5 = 48] \cdot 25 = 1200 \equiv \rho_2^2 T_0 \tau.$

(51)

Однако в поле биполярной системы $7^2 \div 5^2$ ни медитирующий, ни еврейский бог не достигнут максимума или произведения (46):

$$49 \cdot 26 = 1274 = 7^2 \cdot 2 \cdot 13 \equiv 13 \cdot 7^2 \cdot \Delta \Phi / \Delta \text{ЖЗ} \equiv \dots \quad (52)$$

Это внутреннее поле под оболочкой (52) подобно Закулисе, оно как и мы живёт по 13-ти лунному Календарю, но в 365-том дне, то есть **Дне вне Времени**.

*
**

День вне Времени скрыт в ядерном веществе Мирового Яйца с Пентаграммой, но может быть определён по сумме дней двух лет, один из которых учитывает День вне Времени:

$$364 + 365 = 729 = 9^3. \quad (53)$$

День вне времени, протекающий в ядерном веществе, формирует гравитационно-электромагнитное равновесие в Мировом Яйце:

$$729 - 13^2 = 560 \equiv \rho_5 \cdot (7\sqrt{qq^*} \equiv 8\sqrt{\mu\mu^*} \equiv 4\sqrt{\rho\rho^*})\omega_0/c. \quad (54)$$

22. Медитация: инверсионные и термические взрывы

Буддисты взяли 108 реинкарнаций не с потолка, но в то же время они не знали, что в чакре Третий Глаз при перемене направления движения вихря Аруны - Рупы (49):

$$\Delta B \cdot \rho_2^3 \equiv 36 \Leftrightarrow \pm 12^2 \equiv \pm T_0^2 \tau^2, \quad (55)$$

возникают разность ($12^2 - 36 = 108$)
и сумма ($144 + 36 = 180$),
новая разность между которыми возобновляет
плотность ядерного вещества и распространяет
ядерное вещество по другим чакрам:

$$108 - 108 = 72 \equiv \gamma_n. \quad (56)$$

Следует также отметить подобие 180 числу 180° угловых градусов, а 180° - подобно углу π в радианах и π скорости света $c \equiv \pi$.

Такое Подобие говорит о том, что при медитации в чакрах происходит интенсификация трансформации энергии самосушущих волн светом, который возникает при инверсии ядер волн вечной тьмы:

Медитация: свет появляется из ядер самосуших волн			
Волны	Самосушие	Свет	Самосушие
Колебания	$\sin \pi/4 = \sqrt{2}^{-n}$	$\pi/4 \Leftrightarrow \pi/4$	$\operatorname{Sc} \pi/4 = \sqrt{2}$
Примечание	где $\pi/4 \equiv \arcsin(1/\sqrt{2}) \equiv \operatorname{arcSc}(\sqrt{2})$.		

(57)

При медитации возникает два типа взрывов:

- инверсионный взрыв самосуших волн, где при выворачивании наизнанку оболочка сохраняется:

$$\sin \pi/4 = 1/\sqrt{2} \Leftrightarrow \sqrt{2} = \operatorname{Sc} \pi/4; \quad (58)$$

- термический взрыв пульсирующего в резонансно-антирезонансном режиме света (57):

$$\frac{\text{Резонанс}}{\text{Антирезонанс}} \equiv \frac{\pi/4 \cdot \pi/4}{\pi/4 + \pi/4} \equiv \frac{\pi}{2} \equiv \omega_0$$

$$\Leftrightarrow \frac{1}{\omega_0} \equiv \frac{2}{\pi} = \frac{\pi/4 + \pi/4}{\pi/4 \cdot \pi/4} \equiv \frac{\text{Антирезонанс}}{\text{Резонанс}} \quad (59)$$

23. Создание взаимодействиями трёхмерного Пространства

Носителями слабых взаимодействий ($\rho_2 = 10^{-1}$) являются **вечные странницы Космоса Невесомости** - элементарные частицы: лептоны, бозоны, **мюзоны** и так далее, которые путём колебаний со светом:

$$\rho_2 = 1/10 \Leftrightarrow 10 = \rho_5, \quad (60)$$

создают трёхмерное Пространство (рис.6).

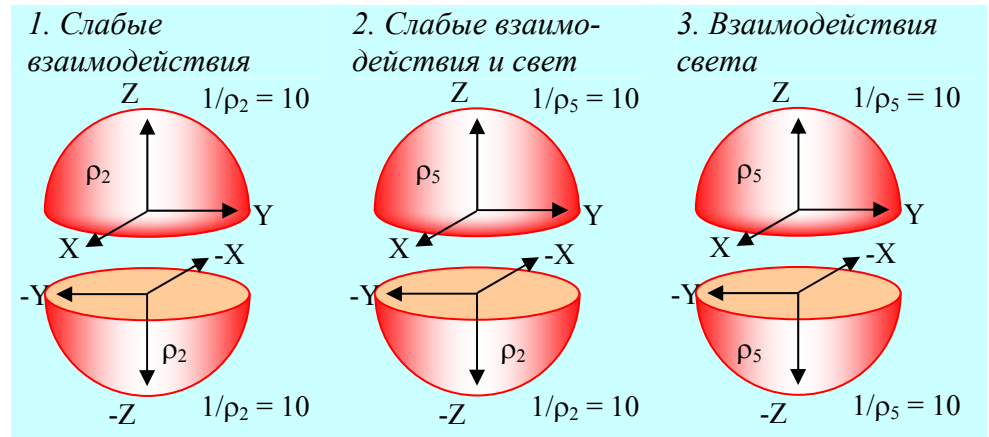


Рис.7 Формирование трёхмерного Пространства с шестью степенями свободы взаимодействий света и слабых взаимодействий (60)

При формировании Пространства основную роль играет отношение разности соседних энергетических уровней, всегда равное единице: $(n+1) - n = 1$ и $n:n = 1$, к эффективности взаимодействий по шести степеням свободы (рис.6):

Таблица 20

Пространство во взаимодействиях

Поля Полусферы	Рис.6.1	Рис.6.2	Рис.6.3
$X_1 = Y_1 = Z = 1$	$\frac{X}{\rho_2} \cdot \frac{Y}{\rho_2} \cdot \frac{Z}{\rho_2} = 10^3$	$\frac{X}{\rho_2} \cdot \frac{Y}{\rho_2} \cdot \frac{Z}{\rho_2} = 10^3$	$\frac{X}{\rho_5} \cdot \frac{Y}{\rho_5} \cdot \frac{Z}{\rho_5} = 10^3$
$-X = -Y = -Z = -1$	$-\frac{X}{\rho_2} \cdot \frac{Y}{\rho_2} \cdot \frac{Z}{\rho_2} = -10^3$	$-\frac{X}{\rho_5} \cdot \frac{Y}{\rho_5} \cdot \frac{Z}{\rho_5} = -10^{-3}$	$-\frac{X}{\rho_5} \cdot \frac{Y}{\rho_5} \cdot \frac{Z}{\rho_5} = -10^{-3}$
Максимум	$10^3 \cdot 10^3 = 10^6$	$-10^{-3} \cdot 10^3 = -1$	$-10^{-3} \cdot 10^{-3} = -10^{-6}$

Пространство расширяется дальнодействующими взаимодействиями: электромагнитным $\rho_3 = (10^6)^2$ и гравитационным $\rho_1 = (10^{-6})^4$. **Возникает война за Пространство** [5].

24. Фотон - фононы в трёхмерном Пространстве

Элементарные частицы в Космосе Невесомости с потенциалом 10^{-3} (табл.20) пульсируют и создают фотон - фотоны за счёт сжатия и расширения.

Таблица 21

Поведение света в трёхмерном Пространстве

Поля Процессы	Фотон		Фонон		Фотон-фонон
Пульсация в Пространстве	$m_c^{**}=T_o\omega_o/c\cdot10^{-3}$ = 0,002 Сжатие		$m_c^*=T_o c/\omega_o\cdot10^{-3}$ = 0,008 Расширение		$\frac{0,4}{0,108} \Leftrightarrow \frac{0,108}{0,4}$ $\frac{400}{108} \Leftrightarrow \frac{108}{400}$ <p>где $108\equiv\tau^{\tau}\cdot T_o=3^34$ 400 - Свабхават О</p>
Термия: формирование сгустков и Космоса Невесомости	$m_c^{**}=\lg \rho_3\rho_4\rho_5 =$ 0,002·27 = 0,054 Экзотермия		$m_c^*=\lg \rho_2\rho_1 =$ 0,008·(-25) = -0,2 Эндотермия		
Изомерия: сингулярная точка	Цис	Транс	Цис	Транс	
	$0,054\pm(+0,054)=$ 0 и 0,108 реинкарнация		$-0,2\pm(-0,2)=$ 0 и 0,4 Рупа		$\frac{108^2}{400^2} \equiv 3^6\cdot10^{-4}\equiv$ 0,0729.

В поле фотон - фононов потенциал $36 \equiv \tau^{3,5+2,5}$ остаётся постоянным и определяет степень концентрации Кундалини в импульсе света: $m_c c + \varepsilon_o \mu_o c^2 + E_\lambda c = 3$, а 10^{-4} характеризует эффективность взаимодействий волны - частицы света с электромагнитной средой между ними (табл.21).

В Пространстве с потенциалом 10^{-6} (рис.6.3) возникает короткодействующее ядерное взаимодействие (табл.21):

$$[3^6 \cdot 10^{-4} \cdot 10^{-6} \equiv 3^6 \cdot 10^{-10}] : (\rho_1 = 10^{-24}) = 3^6 \cdot (10^{14} = \rho_4), \quad (61)$$

а в поле 10^{+6} (рис.7.1) начинает проявлять себя эффект *Кирлиан* (светиться Аура).

При $[10^6/3^6 \cdot 10^{-4}]^2 = 3^{-12} \cdot 10^{20}$ люминофор насыщается фотонами до предела и обеспечивает переход люминесцентного света в солнечный.

25. Приведённый фотон - фонон и начало Жизни

Индивидуальность пульсации фотона и фонона при их общей термии и изомерии приведёт к значению фотон - фонона (m_ϕ), равного $16 \cdot 10^{-4}$:

Приведённый потенциал фотон - фонона
$m_\phi \equiv \frac{\text{резонанс}}{\text{антирезонанс}} = \frac{m_c^* \cdot m_c^{**}}{m_c^* + m_c^{**}} = \left(16 \equiv \sqrt{qq^*} = T_0^2\right) \cdot 10^{-4} . \quad (62)$

Возникающий сгусток электричества (62) сжимает гравитационно-магнитное ядерное вещество, и в Арупе - Рупе Вселенной возникают газы, углерод и кремний.

Таблица 22

Возникновение газов, углерода и кремния из вихрей фотон-фононов над Каплей Ядра

Элементы	Водо- род	Ге- лий	Азот	Кисло- род	Угле- род	Крем- ний
Арупа- Рупа	$T_0 - \tau = 1$	$T_0 = 4$	$(T_0 + \tau) \frac{c}{\omega_0} = 14$	$T_0^2 = 16$	$T_0^2 c = 12$	$T_0(T_0 + \tau) = 28$
Атомные веса	$A_H = 1$	$A_{He} = 4$	$A_N = 14$	$A_O = 16$	$A_C = 12$	$A_{Si} = 28$

Над сгустком (Каплей Ядра) возникает оболочка (литосфера), а над литосферой атмосфера.

Элементарные газы атмосферы над сгустком, сгущаясь, в свою очередь формируют бесконечное множество молекулярных соединений, например как в табл.23.

Молекулярные соединения в атмосфере над ядром

Газы и вода	Аммиак	Метан	Силан	Вода
Молекулярные веса	$\text{NH}_3=14+3=17$	$\text{CH}_4=12+4=16$	$\text{SiH}_4=28+4=32$	$\text{H}_2\text{O}=2+16=18$

Из молекулярных Свойств - Сочетаний возникает Жизнь биологических материальных энергетических Систем.

26. Зависимость реинкарнаций от истинного молекулярного веса

Расчёт любой энергетической системы связан с определением резонансного потенциала (произведение, частное), определением антирезонансного потенциала (разность квадратов), и определения их отношения с последующим выявлением контура колебаний.

Не понимая динамики энергетических процессов в химии (как и во всём другом), наша наука ограничилась определением молекулярных весов, то есть только суммы потенциалов, например табл.22. При таком подходе за бортом анализа причинно-следственных связей остаётся разность потенциалов, разность квадратов потенциалов, произведение-частное потенциалов, а также приведённые потенциалы.

Рассчитаем газы и воду (табл.23) с учётом недостающих факторов (табл.23).

А далее перед Вами множество маршрутов, например

$$k_1 k_2 = \frac{17 \cdot 11}{14} \Leftrightarrow \frac{1}{108} = \frac{7}{48} \cdot \frac{4}{7 \cdot 9} \equiv \frac{1}{k_3 k_4}, \quad (63)$$

и Вы, живой магнит, вступаете в новый виток реинкарнаций.

Таблица 24

Молекулярные соединения в атмосфере над ядром

Молекула		Аммиак	Метан	Силан	Вода
Формула		NH ₃	CH ₄	SiH ₄	H ₂ O
Приведённый молекулярный вес	Сумма	14+3=17	12+4=18	28+4=32	16+2=18
	Разность	14-3=11	12-4=8	28-4=24	16-2=14
	Разность квадратов	14 ² - 3 ² = 17·11	12 ² - 4 ² = 18·8	28 ² - 4 ² = 32·24	16 ² - 2 ² = 18·14
	Произведение	14·3	12·4	28·4	16·2
	Приведённый М. вес	$k_1 = \frac{17 \cdot 11}{14 \cdot 3}$	$k_2 = \frac{18 \cdot 8}{12 \cdot 4} = 3$	$k_3 = \frac{32 \cdot 24}{28 \cdot 4} = 48/7$	$k_4 = \frac{18 \cdot 14}{16 \cdot 2} = 7 \cdot 9/4$

27. Метан-аммиак: расчёт межмолекулярных связей

Расчёт молекулярных весов, данный в табл.24, характерен для определения внутреннего поля в молекулах. Энергетику связи между молекулами необходимо рассчитывать по структурным формулам молекул.

Таблица 25

Пример расчёта межмолекулярных связей

Компоненты Связь	Аммиак (NH ₃)	Приведённая энергия связи	Метан (CH ₄)
<i>Вершинами</i>		$\frac{14 \cdot 12}{14 + 12} \Leftrightarrow \frac{14 - 12}{14 \cdot 12}$ $13 \Leftrightarrow (T_0 + \tau) \cdot 1008$	
<i>Основаниями</i>		$\frac{3 \cdot 4}{3 + 4} \Leftrightarrow \frac{4 - 3}{4 \cdot 3}$ $T_0 + \tau \equiv 7 \Leftrightarrow 12^2 \equiv (T_0 \tau)^2$	
<i>Вершина ÷ основание</i>		$\frac{14 \cdot 4}{14 + 4} \Leftrightarrow \frac{14 - 4}{14 \cdot 4}$ $180 \Leftrightarrow 56^2$	

Над остывающим сгустком, например, первоначально возникшей Земли, в атмосфере возникают метан и аммиак, из которых затем возникают белки - углеводороды и биологическая Жизнь.

При контакте молекул вершинами возникает пульсация, синхронная 13-ти лунному Календарю в среде постоянной Вселенной по водороду в поле $T_0 + 0$ (табл.24).

Контакт аммиак - метан основаниями молекул (водородными связями) возникает резонанс - антирезонанс в полях Арупа - Руа (табл.25).

Взаимосвязь вершины и основания молекул приводит к поляризации молекул на угол $\pi \equiv 180^\circ \equiv 180$, после чего возникает гравитационно-электромагнитное равновесие (табл.24):

$$180 \Leftrightarrow (56^2 \equiv 7^2/4 \cdot qq^* \equiv 16\mu\mu^* \equiv 4\rho\rho^*). \quad (64)$$

28. К Основам кремневодородной Жизни

Биологическая Жизнь на основе углеводов, начало которой даёт предельный углеводород метан, не единственная форма Жизни в Едином Космосе.

Наши Потомки, достигнув уровня Человека Воли и Йоги (Теогенезис), обязательно встретят кремневодородную форму Жизни и Носителя Разума в кремневодородной форме Жизни, начало которым дают аммиак и силан (SiH_4).

При контакте вершин молекул аммиак - силан возникают 42 Божества Сердца и поле:

$$E_\lambda \cdot V_\mu = 4/3 \cdot \pi \cdot 14^2 \equiv T_0/\tau \cdot \pi \cdot \mu\mu^*, \quad (65)$$

где: V_μ - объём магнитной сферы (табл.26).

Межмолекулярные связи кремневодородной Жизни

Компоненты Связь	Аммиак (NH ₃)	Приведённая энергия связи	Силан (SiH ₄)
<i>Вершинами</i>		$\frac{14 \cdot 28}{14 + 28} \Leftrightarrow \frac{28 - 14}{14 \cdot 28}$ $4^2 \Leftrightarrow 14 \cdot 28^2 \equiv 7 \cdot 28 \cdot 56$	
<i>Основаниями</i>		$\frac{3 \cdot 4}{3 + 4} \Leftrightarrow \frac{4 - 3}{4 \cdot 3}$ $T_0 + \tau \equiv 7 \Leftrightarrow 12^2 \equiv (T_0 \tau)^2$	
<i>Вершина÷ основание</i>		$\frac{3 \cdot 28}{28 + 3} \Leftrightarrow \frac{28 - 3}{28 \cdot 3}$ $5^2 \Leftrightarrow (28 \cdot 3)^2 / 31$	

Контакт основаниями при NH₃+SiH₄ останется таким же, как и при NH₃+CH₄ (табл.25, табл.26).

Появление пятеричной связи связано с контактом основания молекулы аммиака - вершины молекула силана, где появляются потенциалы бога и богини Луны шумеров (табл.26):

$$5^2(30+1) = 28 \cdot 8 = 224 \equiv 2(7 \cdot 16 \equiv 8 \cdot 14 = 4 \cdot 28). \quad (66)$$

29. Водородная связь как вихрь фотон - фононов

Водородную связь формируют фотон (m_c^{**}) - фононы (m_c^*):

$$\frac{A_H = 1,008 - 0,008 = 1}{m_c^{**} = 0,008} = 125 \Leftrightarrow 500 \equiv \frac{A_H = 1}{m_c^{**} = 0,008}, \quad (67)$$

где A_H - атомный вес водорода без фонона.

В слабой водородной связи с потенциалом 5 ккал/моль фотон - фононы создают контур колебания:

Колебания фотон - фононов в поле водородной связи					(68)
$\frac{125 \cdot 500}{500 + 125} \Leftrightarrow \frac{500 - 125}{125 \cdot 500}$		Фотон	Фонон	Фотон-фонон	
		$125 = 5^3$	$500 = 4 \cdot 5^3$	$5^3 \cdot 4 \cdot 5^3 = 62500$	

Из поля водородной связи в фотон - фононах (68) потенциал **62500** использовался как шифр-ключ для текста Книги Бытия.

Колебания фотон - фононов при формировании водородной связи в поле гармонических колебаний самосущих волн $(\sqrt{\sin \pi/4} = 2^{-1/4})$ проходили по законам сгущения небесных тел, описанных пропорциями великой Пирамиды (68):

Сгущение фотон - фононов в водородную связь	
$[(125 \cdot 500)^2 \equiv 16 \cdot 5^{12} \Leftrightarrow 3 \cdot 5^7 \equiv 500^2 - 125^2] \cdot \sqrt{\sin \pi/4} ;$ $\frac{1}{3} 16 \sqrt{\sin \pi/4} = \frac{1}{3} 8 \cdot 2^{7/4} \equiv \frac{1}{3} a^2 H \equiv V_{\Pi} \Leftrightarrow 5^{-5} \sqrt{\sin \pi/4} ;$ $5^5 \sqrt{\sin \pi/4} \cdot V_{\Pi} \Leftrightarrow 1 ,$ <p style="text-align: center;">где V_{Π} - объём великой Пирамиды.</p>	(69)

**

Наглый мировоззренческий **Эго-Центризм** современного социума на Земле привёл к обществу **Потребления**.

Наука общества Потребления тупа потому, что решает Ментальные Проблемы Единого Космоса по остаточному принципу. Остатков же столько - сколько от тельца - козла молока.

30. Кислородная связь: вода и геномы

Жизнь, как на основе углеводов, так и на основе кремневодородов, без воды невозможна, и поэтому проведём расчёт молекулярного веса воды:

Молекулярный вес воды при $H_2 = 2$ к.е, $O = 16$ к.е				
Сумма	Разность	Произ- ведение	Колебания	Геномы под небесами
$18 = 16+2$	$14 = 16-2$	$32 = 16 \cdot 2$	$32 \Leftrightarrow 16-2$	$32^2 \Leftrightarrow 16^2-2^2=4 \cdot 63$
Свет: $36/2$	магнетизм	Цинь	$16+2 \Leftrightarrow 32$	$63 \Leftrightarrow 256 \equiv 16^2$

(70)

Квадрат Небес - Цинь описан половиной диаграммы Ян - Цинь, связанной со второй половиной диаграммы колебаниями:

$$\begin{array}{c} \text{☯} \\ \swarrow \quad \searrow \\ 64 \quad 2 \end{array} \equiv \frac{1}{2} \int_2^{64} \varphi d\varphi + 1 \equiv 1023 + 1 \Leftrightarrow 1008 \equiv \frac{1}{2} \int_2^{64} \varphi d\varphi \equiv \begin{array}{c} \text{☯} \\ \swarrow \quad \searrow \\ 8 \quad 64 \end{array} \quad (71)$$

Колебания Небес - Цинь инициирует колебания геномов (68), протекающих в соответствии с пропорциями великой Пирамиды (рис.2, табл.16):

$$32^2 = 1023 + 1 \Leftrightarrow 4 \cdot 63 = T_0 \int_{r=\sqrt{2}}^{L=8\sqrt{2}} \varphi d\varphi . \quad (72)$$

Эти колебания Небес и их влияние на сгустки, в том числе на геномы наследственности, описаны в Книге Перемен.

**

В воде функционируют две связи: **водородная** (69) и **кислородная, которая в 16 раз больше водородной**, но природа любой связи проистекает из колебания фотон - фонона.

Формирование связей фотон - фононами

Связи	Колебания
Водородная (67)	$K_H \equiv 16 \cdot 5^{12} \Leftrightarrow 3 \cdot 5^7$
Кислородная	$K_O \equiv T_O K_H \equiv 16^2 \cdot 5^{12} \Leftrightarrow (3 \cdot 16 = 48) \cdot 5^7$
Вода	$K_{H_2O} \equiv K_H K_O \equiv 16^3 \cdot 5^{24} \Leftrightarrow (3 \cdot 48 = 12^2) \cdot 5^{14}$
Геномы	$K_\Gamma \equiv 16^2 \cdot 1/63 \equiv (K_O/K_H)^2 \cdot 1/63 \Leftrightarrow 1$

31. Возникновение электричества на поверхности Капли

Фотон - фононы образуются при резонансном взаимодействии самосущих волн вечной тьмы.

В момент резонансного столкновения самосущих волн возникают ядерные процессы, эффективности которых определяются взаимодействиями, максимумом которых являются ядерные ($\rho_4 = 10^{14}$) взаимодействия.

Столкновение метagalacticких волн формирует фотон - фононы, которые после столкновения разлетаются, образуя электрическую среду с постоянной $\mu_o = 4\pi \cdot 10^7$ Гн/м [17].

Эффективность ядерного взаимодействия в этих периодах расщепляется как $\rho_4 = 10^{14} \Leftrightarrow 1$ и $10^7 \Leftrightarrow 10^{-7}$.

Между электрической и магнитной средами появляется граница раздела, а у Капли ядра оболочка - литосфера (табл.28).

Электромагнитная оболочка поля ядерных взаимодействий

Ядерное расщепление	Электрическая среда	Оболочка Капли Ядра	Магнитная среда
$\rho_4 = 10^{14} \Leftrightarrow 1$ $10^7 \Leftrightarrow 10^{-7}$	$10^7 \Leftrightarrow \epsilon_o \cdot 4\pi \cdot c^2$ $4\pi \cdot 10^7 (m_c E_\lambda)^3$	$16\pi^2 c^2 \epsilon_o \cdot \Leftrightarrow \mu_o$ $T_o \epsilon_o \Leftrightarrow (m_c E_\lambda)^2 \mu_o$	$\mu_o / 4\pi = 10^{-7}$ $\mu_o E_\lambda = 4 \cdot 10^7$

Возникает связь оболочки Капли Ядра (табл.28) с геномами (70, табл.26):

$$63 \Leftrightarrow T_0^2 \equiv \mu_0/\varepsilon_0 \cdot (m_c E_\lambda)^2 \equiv \sqrt{qq^*}. \quad (73)$$

Электрическое поле на поверхности Капли Ядра сжимает Каплю как в микро, так и в макро мире. На Земле, например, появляется Твердь - литосфера.

32. Пульсация поверхности Капли Ядра - генератор водорода

Водородная связь обладает взаимодействиями, которые формируют Кундалини (табл.26):

$$K_H \equiv 16 \cdot 5^{12} \Leftrightarrow 3 \cdot 5^4 \quad \text{и} \quad 10^4 \Leftrightarrow 3/5 \equiv 0,6 \equiv \rho_2(3,5+2,5). \quad (74)$$

Формирование водородной связи инициирует пульсация поверхности Капли Ядра по амплитуде:

$$\rho_3^{1/3} \equiv 10^4 \Leftrightarrow \frac{T_0 - 1 = 3}{T_0 + 1 = 5} \Leftrightarrow \frac{5 = T_0 + 1}{3 = T_0 - 1} \Leftrightarrow 10^{-4} \equiv \rho_4^{1/6}, \quad (75)$$

где ρ_1 и ρ_3 - соответственно дальнедействующие гравитационное и электромагнитное взаимодействия.

Спирали Кундалини сжимаясь-расширяясь соответственно имеют 2,5 и 3,5 оборота:

Кундалини во взаимодействиях на оболочке ядра				
Взаимодействия	Сжатие	Кундалини	Расширение	Взаимодействия
10^4	$\frac{5}{3} \cdot 2,5$	$1 \Leftrightarrow \frac{3,5}{2,5} \cdot \frac{3^2}{5^2} \equiv 1,4(0,6)^2$	$3,5 \cdot \frac{3}{5}$	10^{-4}
$1 \Leftrightarrow 1 \Leftrightarrow 1 \Leftrightarrow 0,504 \equiv (A_H).$				

В красно-жёлтой области спектра света возникает постоянная Вселенной по водороду:

$$1008 \equiv 0,504 \cdot \left(\frac{\Delta K}{\Delta J} \cdot \rho_s^2 = 2000 \right). \quad (77)$$

**

В воде водородная и кислородная связи объединяются.

Таблица 29

13-ти лунное Счисление и кислород-водород в воде

Вещества	Водород	Кислород	Вода
Связи (табл.26)	$K_H = 16 \cdot 5^{12} \Leftrightarrow 3 \cdot 5$	$K_O = 16^2 \cdot 15^{12} \Leftrightarrow 48 \cdot 5^7$	$K_{H_2O} = 16^3 \cdot 15^{24} \Leftrightarrow 12^2 \cdot 5^8$
Взаимодействия	$10^4 \Leftrightarrow \frac{3}{5} = 0,6$	$10^6 \Leftrightarrow 5^5$	$10^{12} \Leftrightarrow 6,354$
Максимум	Взаимодействия		Продолжительность
	$10^4 \cdot 10^6 \cdot 10^3 = 10^{13}$		$\frac{3}{5} \cdot 5^5 \cdot 3 = 0,09 \cdot 62500$

Тринадцать лунный счёт появляется в логарифмических полях $\lg 10^{13} = 13$, а 62500 - шифр Книги Бытия.

33. Оболочка Капли как двойная спираль Зодиака

Пятеричные связи в воде характеризуются наличием в них двойной спирали Зодиака с потенциалом 12^2 (табл.29):

$$K_{H_2O} \equiv 16^3 \cdot 5^{24} \Leftrightarrow 12^2 \cdot 5^{14}. \quad (78)$$

В биоклетке двойные молекулярные спирали формируют **оболочку** клетки.

Двойная спираль Зодиака, образующая оболочку любого сгустка, пульсирует, но стабильность оболочки в целом поддерживает взаимокompенсация спиралей (рис.8).

<i>Резонанс</i>	<i>Антирезонанс</i>
$(T_o \cdot \tau = 12) \times 2,5 = 30$	$(T_o + \tau = 7) \times 3,5 = 24,5$
<i>Бог Луны</i>	<i>Расширение</i>
<i>Антирезонанс</i>	<i>Резонанс</i>
$(T_o + \tau = 7) \times 3,5 = 24,5$	$(T_o \cdot \tau = 12) \times 2,5 = 30$
<i>Расширение</i>	<i>Бог Луны</i>

Рис.8 Пульсирующая двойная спираль Зодиака

Пульсация спиралей протекает за четыре такта и между двумя соседними тактами возникает разность потенциалов, равная

$$k_1 = 30 - 24,5 = 5,5, \quad (79)$$

и формируется сумма:

$$k_2 = 30 + 24,5 = 54,5, \quad (80)$$

где $k_1 + k_2 = 60$.

Эти потенциалы описывали шумеры как бога и богиню Луны, ведя Счисление, кратное 60 [1], а древние греки обожествляли ритмику пульсации двойных спиралей Зодиака богом Времени по имени Кронус [6]:

$$\text{Кронус} \equiv 14455 \equiv \rho_5^2 T_o^2 \tau^2 = \rho_5 \cdot 5,5. \quad (82)$$

Причём разность $\rho_5 k_1 = 55$ формировала гравитационно-магнитную семеричность Вселенной:

$$7 \equiv \frac{1^2 + 2^2 + 3^2 + 4^2 + 5^2 + 6^2 + 7^2 + 8^2 + 9^2 + 10^2}{1 + 2 + 3 + 4 + 5 + 6 + 7 + 8 + 9 + 10} = \frac{385 - \text{магнетизм}}{55 \equiv \rho_5 k_1 - \text{гравитация}}. \quad (83)$$

34. Фесский Диск Праславян: спирали оболочки

Великая Цивилизация придавала большое значение изучению нами структуры поверхностей в форме двойных спиралей.

Доказательством этому служит **Фесский Диск Праславян**, где сама форма носителя записи текста является моделью оболочки - поверхности (рис.9).

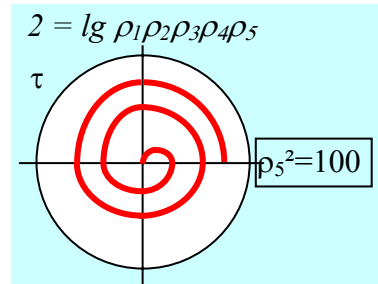


Рис.9 Структура записи текста на Фесском Диске Праславян

Нанесение текста на обе стороны диска говорит о том, что учитывались два режима пульсации: антирезонансный и резонансный.

Чтение текста от Центра несёт позитив. Чтение того же текста к Центру несёт негатив.

Такое разночтение текста Фесского Диска указывает на то, что Праславянам пытались объяснить следующее:

1. Движение от эпицентра ядерной реакции (по спирали от Центра Диска) совпадает с энергетическим вихрем самосуших волн расширения Кундалини при антирезонансе:

$$K_1 \equiv (T_0 + \tau = 7) \cdot 3,5 \cdot \left(\frac{Sc \pi/4 \cdot Csc \pi/4}{Sin \pi/4 \cdot Cos \pi/4} = 4 \right) \equiv 98. \quad (84)$$

2. Движение к эпицентру ядерной реакции (по спирали к Центру Диска) встречает сопротивление самосуших волн из метагалактики и, сжимаясь, переходит к резонансу:

$$K_2 \equiv (T_0 \cdot \tau = 12) \cdot 2,5 \cdot \left(\frac{Sin \pi/4 \cdot Cos \pi/4}{Sc \pi/4 \cdot Csc \pi/4} = \frac{1}{4} \right) \equiv 7,5. \quad (85)$$

Соотношение этих встречных энергетических потоков приводит к запуску 13-ти лунного счисления Времени:

$$k_1 : k_2 = 98 : 7,5 = 13,0(6). \quad (86)$$

**

Шесть в периоде (84) это Кундалини (взаимодействие в Арупе) $\tau \cdot \lg \rho_1 \rho_2 \rho_3 \rho_4 \rho_5 = 3 \cdot 2 = 6$, а отношение постоянных в центре и на грани Диска: $100 : 2 = 50$ (рис.9) - эквивалент еврейского бога Айн СОФ [2].

35. Разность потенциалов по длине спирали Зодиака

Энергетический переход от начала процесса (центр Диска) к его окончанию (ребро Диска) не зависит от формы пути, но определяется разностью потенциалов в конце и начале процесса:

Разность потенциалов на поверхности - диске (рис.8)						(87)
Поле	Центр	Ребро	Ребро	Центр	Колебания	
Потенциалы	10^n	$-$	$n \Leftrightarrow n$	$-$	$10^n \equiv \pm n \Leftrightarrow \mp 10^n$	

Начало этим переходам дают слабые взаимодействия и свет, а затем постоянные взаимодействий ($2 = \lg \rho_1 \rho_2 \rho_3 \rho_4 \rho_5$ и $\rho_1 \rho_2 \rho_3 \rho_4 \rho_5 = 10^2$):

Разности потенциалов в поле ρ_1, ρ_5 и $n = 2$				(88)
Взаимодействия	$n = -1$ слабые	$n = 1$ свет	$n = 2$ постоянные	
Потенциалы	$10^{-1} - (-1) = 1,1$	$10^1 - 1 = 9$	$10^2 - 2 = 98$	

В поле колебаний этих взаимодействий появляется магнетизм:

$$0 \Leftrightarrow 98 \cdot 1,1 \cdot 2,5 - 9^2 \cdot 3,5 = 14 \equiv \sqrt{\mu\mu^*}. \quad (89)$$

В Центр Диска - поверхности поступают гравитационные поля (ρ_1), которые трансформируются в электромагнитные, формируя ядерные взаимодействия (ρ_4), а возникает потенциал-эквивалент еврейскому богу Айн СОФ:

$$\rho_4 \frac{\rho_3}{\rho_1} \equiv 10^{14} \frac{10^{12}}{10^{-24}} = 10^{50} \Leftrightarrow 50. \quad (90)$$

В поле резонансного равновесия возникнут границы расширения взаимодействий, а ив полях логарифмических волн появляются оболочки (90):

$$1 \Leftrightarrow 10^{50} : 50 \equiv 0,2 \cdot 10^{49} \Leftrightarrow 0,2 \cdot (10^{49} \Leftrightarrow 49), \quad (91)$$

где: 10^{49} - предел в области расширения взаимодействий;
49 - потенциал оболочки [22].

36. Поверхностное натяжение оболочек

Расширяющееся магнитное поле ядер находится в ловушках электрических оболочек.

Энергия поверхностного натяжения оболочек определяется как отношение электрического потенциала к магнитному (табл.30).

Энергия поверхностного натяжения **Капли Воды** формирует водород-кислородные связи.

При непрерывном поступлении самосущих волн с потенциалом $\sqrt{2}^{12}$ под магнитную оболочку в магнитном ядерном веществе (при частотах 106 Гц на единицу продолжительности) проявляется эффект Кирлиан (табл.30):

$$\sqrt{2}^{12} \cdot (\delta_H : \delta_O) = \sqrt{2}^{12} \cdot 5^6 = 10^6 \equiv \sqrt{\rho_3} . \quad (92)$$

Таблица 30

Энергия поверхностного натяжения Капли Воды

Вещество	Водород	Кислород	Вода
Электричество	$K_H = 16 \cdot 5^{12}$ над магнитным полем	$K_O = 16^2 \cdot 5^{12}$	$K_{H_2O} = 16^3 \cdot 5^{24}$ в оболочке
Магнитное поле под оболочкой	$M_B \equiv 3 \cdot 5 \equiv$	$M_K \equiv 3 \cdot 16 \cdot 5^8$	$M_{BD} \equiv 12^2 \cdot 5^8 \equiv 4 \cdot 16 \cdot 5^8$
Поверхностное натяжение	$\delta_H = K_H \cdot M_B = \frac{1}{3} \cdot 16 \cdot 5^{11}$	$\delta_O = K_O \cdot M_K = \frac{1}{3} \cdot 16 \cdot 5^5$	$\delta_{H_2O} = K_{H_2O} \cdot M_{BD} = \frac{1}{3} \cdot 16 \cdot 4 \cdot 5^{16}$

Поверхностное натяжение имеет постоянную, равную $1/3 \cdot 16 \equiv 1/\tau \cdot T_0^2$ (табл.29), где появление самосуцщих волн с потенциалом $2^{3/4} \equiv 2^{\tau/T_0}$ влечёт сгущение по законам великой Пирамиды:

$$V_{II} = \frac{1}{3} \cdot 16 \cdot 2^{\tau/T_0} \equiv \frac{1}{3} \cdot 8 \cdot 2^{7/4} \equiv \frac{1}{3} a^2 H . \quad (93)$$

37. Сотворение Вселенных пульсирующей оболочкой

Электромагнитная оболочка воды, включающая водород-кислородные связи, пульсирует в резонансно - антирезонансном режиме (табл.31).

При антирезонансе на восьми энергетических уровнях (эквивалент солнечного ряда: $1+2+3+4+5+6+7+8 = 36$) формируется 13-ти лунная пульсация (Календарь Майя), пятеричная связь ($25 \cdot 10^8$), электричество ($16 \cdot 10^3 \equiv \sqrt{qq^*} \cdot 10^3$) и число Сатаны (666), которое в Недрах Капли формирует День вне Времени.

При резонансе возникает число - шифр, заложенный в Книгу Бытия (табл.31).

Таблица 31

Резонансно-антирезонансная пульсация оболочки

Режим	Антирезонанс	Резонанс
Потенциалы	$\delta_1 = \delta_H + \delta_O + \delta_{H_2O} =$ $1302516666 \equiv$ $13 \cdot 10^8 + 25 \cdot 10^5 + 16 \cdot 10^3 + 666$ День вне Времени	$\delta_2 = \delta_H \cdot \delta_O \cdot \delta_{H_2O} \equiv$ $1/3 \cdot 16^6 \cdot 5^{32} \equiv$ $3 \cdot (4 \cdot 5^4)^8 \cdot 4^4$ $4/3 \cdot 62500^8 \cdot 64.$

Напоминаю, что 62500 шифр-код Книги Бытия, потенциал 64 - это потенциал сгустка Тянь, отношение $4/3 \equiv T_0/\tau$ в поле света формирует объём сфер:

$$\frac{T_0}{\tau} \bigg/ \frac{T_0^2}{m_c + E_\lambda} = \frac{4}{3} \frac{\pi}{2} \cdot 1,6 = \frac{4}{3} \pi (2 = R)^3, \quad (94)$$

где $\frac{4}{3} \pi \equiv 1$ кал, а в сферу с радиусом $R = 2$ вписывается великая Пирамида Египта.

В свою очередь Число Сатаны является суммой арифметической прогрессии уровней в кванте света:

$$\frac{1+36}{2} \cdot 36 = 666. \quad (95)$$

38. Пульсация электромагнитной оболочки по амплитуде

Антирезонансные импульсы волны-частицы света поступают из Недр Капли Ядра к его поверхности и под воздействием поверхностного натяжения переходят в резонансное состояние:

Возникновение "Тверди" электромагнитной оболочки			(96)
Поля	Свет под оболочкой	Электромагнитная оболочка	
Импульсы	$m_{\text{с}}c = E_{\lambda}c = 1+1 = 2$	$(\mu_0\epsilon_0 - c^2)^2 = 1^2 = i^8$	
Режим	Антирезонанс	Резонанс	

Резонансный точечный электромагнитный сгусток $(\epsilon_0\mu_0c^2)^2 = 1^2$ (96), попадая на электромагнитную оболочку, становится точечным участком волны - оболочки.

Точечный участок электромагнитной оболочки то вращается без потери собственной энергии вместе с оболочкой (эллипс квантованных орбит), то излучается оболочкой по параболе, рвущей орбиту.

Таблица 32

**Вращение и излучение
точечного участка оболочки (96)**

		Эллипс (вращение)	Парабола (излучение)
Геометрический образ			
Эксцентриситет		$\epsilon_1 = \sqrt{1 - b^2/a^2} < 1$	$\epsilon_2 = \sqrt{1 + b^2/a^2} > 1$
Подобия		$\omega_0^2 \equiv b^2 \equiv \pi^2/2$	$c^2 \equiv a^2 \equiv \pi^2$
Колебания	До излучения	$\frac{\epsilon_1}{\epsilon_2} \Leftrightarrow \frac{\epsilon_2}{\epsilon_1};$ $\epsilon_1^2 = 1 - \frac{\omega_0^2}{c^2} = 1 - \frac{1}{4} \Leftrightarrow \left(1 + \frac{1}{4} = 1 + \frac{\omega_0^2}{c^2} \equiv \tau^{-2}\right)$	
	При излучении	$\left(\frac{\sqrt{3}}{9}\right)^2 \Leftrightarrow \left(\frac{2}{\sqrt{5}}\right)^2 \text{ и } 3 \cdot 5 = 15 \Leftrightarrow 16$ $0 \Leftrightarrow \pm(1 = 16 - 15).$	

Возникает пульсация оболочки по амплитуде колебания точечного участка: $3 = T_0 - 1$, $4 = T_0$, $5 = T_0 + 1$.

39. Масса относительного покоя

А.Эйнштейн, давая понятия массы относительного покоя (m_0) и связывал её с движущейся массой (m) лоренцевым сокращением ($\sqrt{1-v^2/c^2}$):

$$m_0 = m \sqrt{1-v^2/c^2}, \quad (97)$$

ошибался принципиально, так как относительный покой это то же Движение и противопоставлять m_0 и m по принципу покоя-движения нельзя.

Масса m_0 - это движущаяся масса-сгусток точечного участка волны света в центробежно ($j_0 = c \cdot \omega_0$) - центроостремительных ($-j_0 = -c \cdot \omega_0$) полях.

Действительно-истинной массой относительного покоя (m_0) будет являться та масса, которая может совершать на квантованной орбите без затраты на вращение собственной энергии бесконечное число оборотов ($n \rightarrow \infty$), а при $v^2 = c^2$:

$$\sqrt{1-v^2/c^2} = \sqrt{1-1} = \sqrt{0}, \quad (98)$$

переходить с орбиты на орбиту (табл.33).

Таблица 33

Формирование масс относительного покоя [18]

Движение	Вращение по орбите	Масса m_0 и переходы	Переход с орбиты на орбиту
Потенциалы m_0	$\lim_{n \rightarrow \infty} (1+1/n)^n$	$e \equiv m_0 \equiv e$	$\lim_{n \rightarrow 0} (1+n)^{1/n}$
Атмосфера над массой	$m_0^{\omega_0} = e^{\pi/2}$	$\xrightarrow{e^{\pi/2}}$ $\xleftarrow{e^{-\pi/2}}$	$m_0^c = e^\pi$
Импульсы масс	$\omega_0 m_0^{\omega_0} = \frac{1}{2} \pi \cdot e^{\pi/2}$	$\xleftarrow{(2:1) \cdot e^{\pm\pi/2}}$ $\xrightarrow{(2:1) \cdot e^{\pm\pi/2}}$	$cm_0^c = \pi \cdot e^\pi$
Энергия	кинетическая	1 : 2	потенциальная
Соотношения в Космосе	Материя: 1/3	$\xleftarrow{k_1 = 1/2}$ $\xrightarrow{k_2 = 2}$	Тонкая Энергия: 2/3.

Пульсация импульса массы относительного покоя по амплитуде волны света формирует постоянную тонкой структуры:

$$\frac{1}{\alpha} - 137,0000021 \approx \frac{T_0 - 1 = 3}{T_0 + 1 = 5} \cdot \pi \cdot e^\pi. \quad (99)$$

40. Электромагнетизм коры головного мозга

Точечный участок волны света, пульсируя с периодичностью $T_0 = 4$, создаёт по амплитуде волны потенциалы $T_0 \pm 1$ или 3, 4 и 5.

При пульсации по амплитуде внутреннее поле света также пульсирует между $0 \Leftrightarrow 1$, и эта пульсация отражается на потенциалах поверхности:

Амплитуда	$T_0 - 1 = 3$	$T_0 = 4$	$T_0 + 1 = 5$	Общее поле
Внутреннее поле	$0 \rightarrow 3$	$1 \rightarrow 3$	$0 \rightarrow 3$	$1 \rightarrow 1,5$
Резонанс	$0 + (T_0 - 1) = 3$	$1 \cdot 3 \cdot 4 = 12$	$3 \cdot 4 \cdot 5 = 60$	$1 \cdot 1,5 \cdot 5 = 7,5$
Анти-резонанс	$0 + (T_0 - 1) = 3$	$1 + 3 + 4 = 8$	$3 + 4 + 5 = 12$	$1 + 1,5 + 5 = 7,5$
Приведённый потенциал	$3/5 = 1$	$12/8 = 1,5$	$60/12 = 5$	$7,5/7,5 = 1$

(100)

Приведённая пульсация на 3, 4 и 5 уровнях обладает цис-транс изомерией, а разность их потенциалов формирует в электромагнитной среде оболочки электрическое и магнитное поле элементарных зарядов (q и μ) и импульсов Памяти (μ^*) и Воображения (q^*).

Процессы с потенциалами ± 15 описывают в частности энергетику в коре головного мозга (табл.34).

**Формирование в оболочке электромагнитной среды
биотоков Памяти и Воображения (100)**

Изомерия	Цис-	Транс-
Потенциалы	$1+1,5+5 = 7,5$ левое полушарие	$-7,5 = -(1+1,5+5)$ правое полушарие
Оболочка	$\pm[7,5-(-7,5)] = \pm 15$	$\pm(16+14) \cdot (1/2)$
Сущность	$+15 \equiv (\sqrt{q q^*} + \sqrt{\mu \mu^*})/2$ $\int_0^1 \varphi d\varphi = \frac{1}{2}$	$-15 \equiv -(\sqrt{q q^*} + \sqrt{\mu \mu^*})/2$ $\int_1^0 \varphi d\varphi = -\frac{1}{2}$

**41. Взаимодействия и восемь уровней
в оболочке Капли воды**

Капля воды имеет свою конкретную энергетическую структуру, которая создаётся взаимодействиями.

Первые Четыре энергетических уровня в Недрах Капли, названные в Книге Дзиан формовщиками [3], создаются за счёт взаимодействий света и логарифмических волн короткодействующих слабых и ядерных взаимодействий (табл.35).

Таблица 35

Внутренняя поверхность оболочки Капли воды

Взаимодействия	Формовщики	Поля
$\rho_5 \cdot = 10 \Leftrightarrow -10 = -\rho_5 \cdot$	$\pm 10 \equiv \pm(1+\tau+3+4)$	гравитация
$\lg \frac{\rho_4}{\rho_2} = 15 \Leftrightarrow -15 = \lg \frac{\rho_2}{\rho_4}$	$\pm 30 \equiv \pm(1^2+\tau^2+3^2+4^2)$	магнетизм
$\lg \frac{\rho_4}{\rho_5} = 13 \Leftrightarrow -13 = \lg \frac{\rho_5}{\rho_4}$	$-13^2 \equiv T_o^2 \tau^2 + T_o^2 + \tau^2$	13-ти лунный Календарь.

Колебание $\rho_5 \cdot \Leftrightarrow \rho_2$ в конечном счёте приводит к сгустку Тянь с потенциалом 64:

Связь взаимодействий и логарифмических волн в Капле							
Периоды	1	2	3	4	5	6	7
$\rho_2^n \Leftrightarrow \rho_5^n$	$1/10$ $\Leftrightarrow 10$	$1 \Leftrightarrow$ 10^{-2}	10^4 $\Leftrightarrow 1$	$1 \Leftrightarrow$ 10^{-3}	10^{16} $\Leftrightarrow 1$	$1 \Leftrightarrow$ 10^{-32}	10^4 $\Leftrightarrow 1$
Логарифмы	$-1 \Leftrightarrow 1$	$0 \Leftrightarrow -2$	$4 \Leftrightarrow 0$	$0 \Leftrightarrow -8$	$16 \Leftrightarrow 0$	$0 \Leftrightarrow -32$	$64 \Leftrightarrow 0$

(101)

На восьмом уровне возникают взаимодействия $10^{-128} \Leftrightarrow 1$ и логарифмические волны $\lg 1 = 0 \Leftrightarrow \lg 10^{-128} \equiv -128$, достаточные, чтобы создать систему Тянь - два Цинь, и восьмой уровень ограничивает расширение Вселенной.

В гравитационно-магнитной **Капле Воды** возникает пятеричная связь и Кундалини по восьми уровням:

$$\frac{1^2 + 2^2 + 3^2 + 4^2 + 5^2 + 6^2 + 7^2 + 8^2}{1 + 2 + 3 + 4 + 5 + 6 + 7 + 8} = \frac{204}{36} = 5 + 0, (6). \quad (102)$$

42. Пульсация волн в Капле лазерной Плазмы

Любая Капля-Сгусток, в том числе **Жидкая Плазма Света**, которую призвана изучать Агни-Йога, формируясь сама, формирует вокруг себя и в себе трёхмерное Пространство с шестью степенями свободы перемещения по взаимно перпендикулярным направлениям.

Трёхмерное Пространство возникает тогда, когда самосущие волны формируют волны света, а затем магнетизм сгустка Тянь и небес Цинь (табл.36).

В поле Капли Плазмы возникает общий колебательный контур (табл.36):

$$\frac{32}{7} = \frac{7}{32} = \frac{8 \cdot 64}{7} = \frac{7}{8 \cdot 64} \text{ или } 7^4 \Leftrightarrow 32^2 \cdot 8^2 \cdot 64^2 \equiv 2^{28}. \quad (103)$$

Пульсация света в трёхмерном Пространстве Капли

Волны	Линейная		Поверхностная		Объёмная		Приведённый потенциал пульсации
	Свет	Самосущие	Свет	Самосущие	Свет	Самосущие	
Расширение	$\frac{c}{\omega_0}$	$\sqrt{2}^2=2$	$\frac{c^2}{\omega_0^2}$	$\sqrt{2}^4=4$	$\frac{c^3}{\omega_0^3}$	$\sqrt{2}^6=8$	$\frac{2 \cdot 4 \cdot 8}{2+4+8} = \frac{64}{14} = \frac{32}{7}$
Сжатие	$\frac{\omega_0}{c}$	$\sqrt{2}^{-2} = \frac{1}{2}$	$\frac{\omega_0^2}{c^2}$	$\sqrt{2}^{-4} = \frac{1}{4}$	$\frac{\omega_0^3}{c^3} = \frac{1}{8}$	$\sqrt{2}^{-6} = \frac{1}{8}$	$\frac{7}{8 \cdot 2 \cdot 4 \cdot 8} = \frac{7}{8 \cdot 64}$
Инверсия	$\frac{c}{\omega_0} \cdot \frac{\omega_0}{c} = 1 \equiv E_{\lambda} c$		$\frac{c^2}{\omega_0^2} \cdot \frac{\omega_0^2}{c^2} = 1 \equiv \epsilon_0 \mu_0 c^2$		$\left(\frac{c}{\omega_0} \cdot \frac{\omega_0}{c} \right)^3 = 1 \equiv m_e c$		$\frac{1 \cdot 1 \cdot 1}{1+1+1} = \frac{1}{3}$

Появляется **двойная оболочка** с потенциалом 7^4 , а самосущие волны сгущаются до потенциала $\sqrt{2}^{86} = 2^{28}$, где: 28 - гравитация $\sqrt{\rho \rho^*}$;

$$56 \equiv 112 \int_0^1 \varphi d\varphi - \text{основа гравиелектромагнетизма.}$$

Великая Цивилизация описала поле (103) диаграммой Ян-Цинь (табл.36).

$$\begin{array}{c} \text{64} \\ \text{2} \\ \text{8} \\ \text{64} \end{array} \begin{array}{c} \text{64} \\ \text{8} \end{array} \equiv \int_8^{64} \varphi d\varphi - \int_2^{64} \varphi d\varphi = 30 \equiv (1+1+1)\rho_5. \quad (104)$$

43. Корень Жизни в Океане Бессмертия

Все мы живём под Небесами, а Небеса Цинь пульсируют над сгустком Тянь (табл.37).

Таблица 37

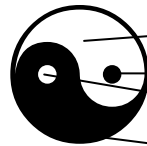
Инверсионная изометрия Цинь-Тянь

Компоненты	Цинь-небеса	Тянь-сгусток		Цинь-небеса
Процессы	Изомерия	Поглощение	Излучение	Инверсионная изомерия
Потенциалы	$\frac{64}{14} \int_0^1 \varphi d\varphi = \frac{32}{14}$	$\frac{64}{14} \Leftrightarrow \frac{14}{64}$		$\frac{14}{64} \int_1^0 \varphi d\varphi = -\frac{7}{64}$
Система колебаний	$32 \cdot 64 \Leftrightarrow 64^2 \Leftrightarrow 14^2 \Leftrightarrow -14 \cdot 7.$			

В сгустке Тянь возникает система колебаний между магнитным и электрическим полями:

$$64^2 \equiv 16^3 \equiv qq^* \sqrt{qq^*} \Leftrightarrow \mu\mu^* = 14^2. \quad (105)$$

В диаграмме Ян-Цинь поле с потенциалом 64^2 описывается чёрной (поглощение) и белой (излучение) волнами, между которыми возникает магнитная связь.



$64 \equiv (T_0 c / \omega_0 = 8)^6$ поглощение
 8
 2
 $64 \equiv (T_0 \omega_0 / c = 2)^2$ - излучение

$\mu\mu^* = 14^2$ магнетизм

(106)

где $\frac{64^2}{4} - \frac{64^2 - 2^2}{4} = 1024 - 1023 = 1.$ (107)

и $\frac{64^2}{4} - \frac{64^2 - 8^2}{4} = 1024 - 1028 = 16.$ (108)

В поле колебаний под оболочкой возникает переход одиночного кванта, возникают взаимодействия с потенциалом $50 \equiv \lg \rho_3 \rho_4 / \rho_1 = \lg 10^{50}$ и геном с потенциалом 63 (табл.37):

$$7^2 = 49 \overset{+1}{\longleftrightarrow} \pm 32 \cdot 64 \int_0^1 \varphi d\varphi \equiv 16 \cdot (64 - 1 = 63). \quad (109)$$

"6. Корень Жизни был в каждой Капле Океана Бессмертия [3].

44. Геномы наследственности в Океане Жизни

Эпюры Тетраксиса Пифагора и Тетраграмматона Каббалы [2] - это неосознанное по сущности, но данное в Ощущениях векторное описание равновесной инверсии в Капли Ядра (табл.36).

В Недрах Капли Ядра происходит инверсионная пульсация, которая формирует пульсирующую систему Ядра Геномов (рис.3, табл.36):

Формирование ядра Периодической Системы геномов				(110)
Поля в Капле	Кундалини $6=3,5+2,5$ в Арупе	Импульсы $m_c c + \epsilon_0 \mu_0 c^2 + E_\lambda c$ в Арупе $\tau = 3$	Ядро (рис.3).	
Колебания	$1/3 \leftrightarrow \pm 1$ $1 \leftrightarrow \pm [3 - (-3)] = \pm 6$	$1/3 \leftrightarrow \pm (1+1+1)=3$ $1 \leftrightarrow \pm 9$	$\begin{matrix} 6 & 9 \\ 9 & 6 \end{matrix}$	

Ядро периодической системы геномов пульсирует в резонансно-антирезонансном режиме, формируя в пятеричной связи Арупу ($3^4 = 81$) и квант света ($6^2 = 36$):

Формирование ядром системы геномов Арупы и Света				
Пуль- сация	Сжатие: $9 \rightarrow 6$	$\frac{6+9}{6 \cdot 9} = \frac{15}{54} = \frac{5}{18} \Leftrightarrow \frac{9-6}{6/9} = \frac{9}{2}$	$10 \Leftrightarrow 2 \cdot 9^2$ $5 \Leftrightarrow 9^2$	(111)
	Расширение: $6 \rightarrow 9$	$\frac{6+9}{6 \cdot 9} = \frac{5}{18} \Leftrightarrow \frac{9-6}{9/6} = \frac{6}{3}$	$15 \Leftrightarrow 3 \cdot 6^2$ $5 \Leftrightarrow 6^2$	

Резонансно-антирезонансная пульсация пятеричной связи приводит к 2,5 оборотам спирали Кундалини при сжатии, а пульсация субструктуры $(9+0)^2$ в свете связано с отношением $4/9$:

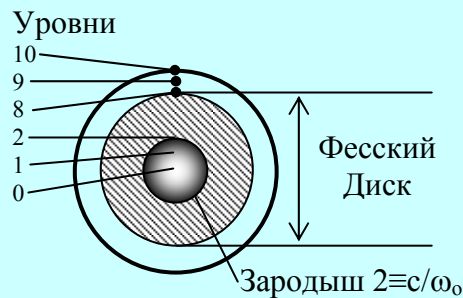
$$\frac{5 \cdot 5}{5+5} = \frac{25}{10} = 2,5 \Leftrightarrow \frac{9^4 - 6^4}{9^2 \cdot 6^2} = \frac{4}{9} \equiv \frac{T_0}{(9+0)}, \quad (112)$$

где Рупа ($T_0 = 4$) связана с Кундалини и биоклеткой.

45. Описание пьезоэффекта диаграммой Ян-Цинь

Обучая нас Законам Единого Космоса, великая Цивилизация оставила Книги, Пирамиды, Астрологические Календари, диаграммы и так далее, где всё связано между собой, например, как на рис.9.

1. Фесский Диск Праславян
в поле взаимодействий



2. Диаграмма Ян-Цинь и
элементы Фесского Диска



Рис.10 Сопоставление Фесского Диска и диаграммы Ян-Цинь

Весь этот материал надо научиться понимать. Например, Фесский Диск в диапазоне уровней $\pm 2 \rightarrow \pm 8$, где $2 \equiv T_0 \cdot \omega_0 / c$ потенциал сжатия, а $8 \equiv T_0 \cdot c / \omega_0$ - потенциал расширения.

Это значит, что поверхностная волна - эквивалент Фесского Диска, излучает в среду с энергетическими уровнями $8 \rightarrow 9 \rightarrow 10 \equiv \rho_5$, а поглощает средой с энергетическими уровнями $0 \rightarrow 1 \rightarrow 2$ (рис.10).

Излучение и поглощение сред, описанных Фесским Диском (рис.10) является энергетической системой, эквивалентной генератору электрической энергии:

Среда вне Фесского Диска как аналог электрического генератора			(113)
Расширение	Поглощение	Электричество	
$9 \int_0^1 \varphi d\varphi = 9 \cdot 18 = 2 \cdot 9^2$	$1 \int_0^2 \varphi d\varphi = 2$	$\equiv 160 \equiv \rho_5 \cdot \sqrt{q q^*}$	

Над поверхностью сгустка возникает пульсирующее электрическое поле с потенциалом 160 (113, рис.10), являющееся основой всех форм **пьезоэффекта**: прямого, обратного, оптопьезоэффекта и так далее.

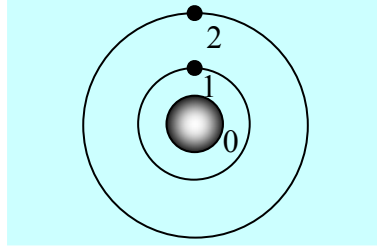
46. Формирование трёхмерного Пространства Недрами Ядер

Источником пульсации Вселенных в каждом её Зародыше, где самосушие волны $\sqrt{2}^2$ трансформируются в фотон ($m_c^{**} \cdot \rho_2^3 = 0,002 \cdot 10^{-3} = 2$), является процесс перехода ядерных взаимодействий в логарифмические волны (рис.10.2):

$$\rho_5 / \rho_2 = 10^2 \stackrel{k_1}{\Leftrightarrow} 2 = \lg \rho_1 \rho_2 \rho_3 \rho_4 \rho_5, \quad (114)$$

где: $k_1 = 2:100 = 0,02$;

$k_2 = 100:2 = 50$ - эквивалент бога Айн СОФ



*Рис.11 Энергетическая
активность сотворения
Капли Ядра*

Носитель Разума ощущает процессы, энергия которых генерируется самосушими волнами и проходит через наше Подсознание, характеризуя эту Форму Энергии как, например Божественную Активность [2, Каббала].

Ощущать божественную активность хорошо, но знать - ещё лучше, ибо ноль-потенциал является любой логарифмической волной любого равновесного состояния в бесконечности Вселенных.

$$(\log_n n = 1) \Leftrightarrow (\log_n 1 = 0) \Leftrightarrow (\log_n 0 = \infty). \quad (115)$$

Переход между нулём и единицей в поле божественной активности (рис.10) приводит к всеобъемлющему Дзиан, основе формирования Космо-, Антропо- и Теогенезиса [3, 4].

Причиной божественной активности является переход типа формирования Арупы и импульсов света:

$$\lg 10^0 \cdot 10^1 \cdot 10^2 = 0+1+2 = 3 \equiv \tau \equiv m_{cs} + \varepsilon_0 \cdot \mu_0 \cdot c^2 + E_{\lambda}. \quad (116)$$

Взаимная перпендикулярность импульсов света формирует в Арупе трёхмерное Пространство.

47. Динамика постоянства плотности ядерного вещества

Лазерная Капля Ядра поглощает самосушие волны и трансформирует их в свет за счёт слабых взаимодействий и взаимодействий света, формируя пульсирующие Недра Ядра:

$$\boxed{\text{Недра Ядра} = 1 \pm 1 \equiv 2, 1, 0 \text{ при } +1 = \lg \rho_5 \text{ и } -1 = \lg \rho_5.} \quad (117)$$

Лазерная Капля Ядра **излучает квант (9+0)** своей поверхностью с потенциалом $c^3/\omega_0^3 = 8$.

Излучённый квант (9+0) пульсирует (9±1), формируя семеричность (9–2 = 7) и митоз (9+2) биоклетки.

Колебания $n \pm 1$ формируют шаг **спирали эволюции**, эквивалентный дискретной сумме разности:

$$R = [1 - (-1) = 2] \pm [1 + (-1) = 0]. \quad (118)$$

Эта дискретность (118) заставляет Каплю Ядра излучать-поглощать энергию квантами как при антирезонансе, так и при резонансе (табл.38).

Таблица 38

Эквивалентность T_0^2 и плотности ядерного вещества в Капле Ядра

Режим	Антирезонанс				Резонанс			
Излучение	9	$\xrightarrow{+2}$	11	$\xrightarrow{+2}$	13	$\xrightarrow{+2}$	15	<div> <div>9</div> <div>(9+0)</div> </div> <div> <div>18</div> <div>вода</div> </div> <div> <div>36</div> <div>свет</div> </div> <div> <div>72</div> <div>плазма</div> </div>
Поглощение	7	$\xrightarrow{-2}$	5	$\xrightarrow{-2}$	3	$\xrightarrow{-2}$	1	<div> <div>8</div> <div>8</div> </div> <div> <div>4</div> <div>4</div> </div> <div> <div>2</div> <div>2</div> </div> <div> <div>1</div> <div>1</div> </div>
Результат	16 \Leftrightarrow 16 \Leftrightarrow 16 \Leftrightarrow 16				72 \Leftrightarrow 72 \Leftrightarrow 72 \Leftrightarrow 72			
	суммы				произведения.			

При пульсации с периодичностью $T_0^2 = 16$ эквивалентность плотности ($\gamma_n = 72$) ядерного вещества в Капле Ядра сохраняется как субструктура (9+0), вода, свет и плазма (табл.38).

В динамике пульсирующего поля возникает электрогравитомагнетизм:

$$\pm 4(72 - 16) \int_0^1 \varphi d\varphi = \pm 112 \equiv \pm (7 \cdot 16 \equiv 8 \cdot 14 \equiv 4 \cdot 28 \equiv 3,5 \cdot 32 \equiv \dots), \quad (119)$$

где: 3,5·32 - Небеса Цинь в расширяющейся спирали Кундалини.

48. 110 Божеств нашего тела и Капля Ядра

Капля Ядра пульсирует между Недрами и Поверхностью, то есть потенциалами 2 и 8 за счёт фотон-фононов, формируя контур колебания:

Пульсация фотон-фононов в Капле ядра	
$\frac{(m_c^*)^2 - (m_c^{**})^2}{m_c^* \cdot m_c^*} \equiv \frac{(8^2 - 2^2)10^{-6}}{8 \cdot 2 \cdot 10^{-6}} \equiv \frac{15}{4} \Leftrightarrow \frac{4}{15} \equiv \frac{m_c^* \cdot m_c^*}{(m_c^*)^2 - (m_c^{**})^2},$ <p style="text-align: center;">где $1 \Leftrightarrow 15^2/4^2 = 56,25$ и $0 \Leftrightarrow 15^2 - 4^2 = 209$.</p>	(120)

**

Над Каплей Ядра излучённая субструктура (9+0) в соответствии с Теогенезисом [4] будет пульсировать в атмосфере Красной Звезды, то есть с потенциалом:

Пульсация (9+0) в атмосфере Красной Звезды	
$(9+0): \left(\frac{\Delta K = 1400 \overset{\circ}{A}}{\Delta \mathcal{K} = 70 \overset{\circ}{A}} = 20 \right) \equiv \frac{9}{20} \Leftrightarrow \frac{20}{9} \equiv \frac{\Delta K}{\Delta \mathcal{K}} : (9+0)$ <p style="text-align: center;">$1 \Leftrightarrow 20^2/9^2 = 4,9\dots$ и $0 \Leftrightarrow 20^2 - 9^2 = 319$.</p>	(121)

**

В Недрах Капли Ядра **пульсация в режиме поглощения метagalактических волн** достигает 3/2, то есть 1,5 оборота Колеса Вселенной, о котором говорит Теогенезис [4] и протекает по схеме:

Пульсация поглощения метagalактических волн ядром	
$\frac{2^2 - 1^2}{2 \cdot 1} = \frac{3}{2} \Leftrightarrow \frac{2}{3} \equiv \frac{2 \cdot 1}{2^2 - 1^2}, \text{ где } 0 = 3^2 - 2^2 = 5 \text{ и } 1 \Leftrightarrow 3^2/2^2 = 2,25.$	(122)

*
**

В поле Капля - над Каплей - в Капле возникает сумма потенциалов, связанная с митозом биоклетки:

$$\Sigma = (20^2 - 9^2) + (15^2 - 4^2) + (3^2 - 2^2) = 16 \cdot 3(9+2) \equiv T_0^2 \tau(9+2), \quad (123)$$

и где разность потенциалов является эквивалентом Числу 110 Божеств, описанных в Книге Мёртвых:

$$\Delta = (20^2 - 9^2) - (15^2 - 4^2) - (3^2 - 2^2) = 319 - 209 - 5 = 110. \quad (124)$$

С этими Божествами Мы возникаем в Космосе.

49. Резонансно-антирезонансная пульсация Вселенной

Квантово-волновая механика только фиксирует дискретность энергетических полей на уровне гипотезы М.Планка, но не понимает причинно-следственных связей происхождения ДИСКРЕТНОСТИ, как энергетического процесса формирования ноль-потенциала (118).

Теоретическая физика, оперируя с понятием Вакуума как с Пустотой вне Энергии, ставит себя в ложное положение ниспровергателя ЗАКОНА сохранения Энергии, который сами же и признают.

Высшая математика на бесконечно малых, стремящихся к нулю, оперирует нулями, лишая ноль - потенциал энергии и превращая точку в абстракцию вакуума: делай с ней что хочешь - получишь Иллюзию очередной Парадигмы.

Признаем: ноль-потенциал мы не знаем, но...

Но ноль нулю рознь! и я говорю это не только для политиков, теософов и философов, оперирующих нулями, как дырками от бублика.

Ноль-потенциал возникает на уровнях самосущих и логарифмических волн и проявляет себя во взаимодействиях в двоичной системе: есть или нет столкновения взаимодействующих компонент поля.

Таблица 39

Резонансно-антирезонансная пульсация Вселенной

Волны	Самосущие	Взаимодействия	Логарифмические
Ноль	$= \sin \pi = \cos \pi/2$	нет столкновений	$0 = \lg 1 = \log_n 1$
Единица	$= \sin \pi/2 \equiv 1 \Leftrightarrow -1 \equiv \cos \pi$	$\rho_5 \cdot \rho_2 = 10 \cdot 10^{-1} = 1$	$\lg \rho_5 = 1 \Leftrightarrow -1 = \lg \rho_2$

Не имея возможности во взаимодействиях получить минус Единицу, Колесо Вселенной вращается в одном направлении, создавая $\log_n \cdot \log_n n \equiv \log_n 1 \equiv 0$ и $\log_n 0 = \infty$.

50. Ядерные эндо - экзотермические реакции и взрывы

Атомная энергетика, обильно унавожив свои Мистерии человеческими жизнями и здоровьем живого сущего на Земле, установила единицу измерения эффективности поперечного сечения ядерных реакций [17]:

$$1 \text{ барн} = 10^{-24} \text{ см}^2. \quad (125)$$

С позиции **взаимодействий** атомная энергетика установила, что единица измерения эффективности ядерных реакций в поперечных сечениях является **эффективность гравитационных взаимодействий** ($\rho_1 = 10^{-24}$), обратной величиной для которых являются все оставшиеся взаимодействия:

$$1 \text{ барн} \equiv \rho_1 = 10^{-24} \Leftrightarrow 10^{24} = \rho_2 \rho_3 \rho_4 / \rho_5 \equiv \rho_3^2. \quad (126)$$

Важно отметить, что при ρ_1 будет протекать холодный ядерный синтез и холодный инверсионный взрыв (мультиплетность), приемлемый для живого, а при $\rho_2^2 = 10^{24}$ возникает экзотермический ядерный взрыв, опробованный в 1945 году в Нагасаки и Хиросиме.

**

Носителями экзотермии будут являться фотон - фононы солнечного света (m_c^* и m_c^{**}), а носителями эндотермии - элементарные частицы Космоса Невесомости с массами, обратными по величине фотон - фононам (120).

Эндо- и экзотермические реакции в Едином Космосе взаимосвязаны (табл.40).

Таблица 40

Механизм эндо- экзотермических реакций

Фотон - фононы	Потенциалы	Ядерные реакции	
Солнечные	$k_c = \frac{(m_c^*)^2 - (m_c^{**})^2}{m_c^* \cdot m_c^{**}} = \frac{15}{14}$	эндо-	экзо-
Люминесцентные	$k_{\text{л}} = 1/k_c = 4/15$	$\rho_1 \cdot \rho_2 \cdot k_c = 10^{-25} \cdot 15/4$	$\rho_2^2 \cdot \rho_5 \cdot k_{\text{л}} = 10^{25} \cdot 4/15$

Эпицентром экзо- и эндотермии будут соответственно отношения, равные $10^{50} \cdot 4^2/15^2$ и $10^{-50} \cdot 15^2/4^2$.

В эпицентрах происходят ядерные взрывы.

51. Формирование Вселенных эпицентрами ядерных взрывов

Вселенные возникают из самосущих волн вечной тьмы гармонических метagalактических колебаний.

Объёмная волна в трёхмерном Пространстве может иметь три степени свободы при движении в одном направлении (x, y, z) или иметь шесть степеней свободы при движении в двух направлениях ($\pm x, \pm y, \pm z$).

Структура самосушущих волн Метагалактики
(рис.2, табл.16).

Волны	Линейные	Поверхностные	Объёмные	
			x, y, z	$\pm x, \pm y, \pm z$
Колебания	$\sqrt{2} \Leftrightarrow 1/\sqrt{2}$	$\sqrt{2}^2 \Leftrightarrow 1 \Leftrightarrow 1/\sqrt{2}^2$	$\sqrt{2}^3 \Leftrightarrow 1 \Leftrightarrow 1/\sqrt{2}^3$	$\sqrt{2}^6 \Leftrightarrow 1 \Leftrightarrow 1/\sqrt{2}^6$
Элемент Пирамиды	$r = \sqrt{2}$	$R = 2$	$a = 2\sqrt{2}$	$a^2 \equiv \ell = 8.$

Направленность любых различных форм энергии в движении всегда взаимно перпендикулярно и предопределяется $\omega_0 = \pi/2$, при появлении света.

**

Вселенные возникают там и тогда, где и когда в волнах логарифмических колебаний сохраняется логарифм произведения всех существующих в Природе взаимодействий: $2 = \lg \rho_1 \rho_2 \rho_3 \rho_4 \rho_5 = \lg 10^2$.

Потенциалы эндо- экзотермических эпицентров ядерных реакций (табл.40) сохраняют двойку в волнах логарифмических колебаний:

Формирование Вселенных эпицентрами ядерных взрывов				
Термия		эндо-	экзо-	Смешанная
Взаимодействия		$10^{-50} \cdot 15^2/4^2$	$10^{50} \cdot 4^2/15^2$	$(10^{100})^{\mp 1} \Leftrightarrow (4^4/15^4)^{\pm 1}$
Логарифмические волны	при ± 100	$\lg \lg 10^{10^2} = \lg 10^2 \cdot \lg 10 = 2 \lg 10 \cdot \lg 10 = 2 \cdot 1 \cdot 1$		
	$15^4 = 3^4 \cdot 5^4$	$\log_{\sqrt{2}}\left(4^4 = \sqrt{2}^{16}\right) - \log_3 3^4 - \log_5 5^4 = 16 - 4 - 4 = 8.$		

(127)

(127)

В логарифмических волнах возникают логарифмические равновесия типа $\log_n n = 1$ и $\log_n 1 = 0$.

52. Ноль-потенциал и удвоение энергии сред

Ноль-потенциал периодически возникает в любой из бесконечного множества пульсирующих Форм Энергии Единого Космоса.

Ноль-потенциал характеризует переход от одного энергетического уровня к другому, от одной формы энергии к другой.

Наличие ноль-потенциала предопределяет дискретность (квантованность) любого энергетического поля.

Ноль-потенциал возникает как при резонансе, так и при антирезонансе.

При антирезонансе появление ноль-потенциала связано с равномерно текущими энергетическими процессами, в которых энергии в начале и конце процесса равны между собой и равны, например x .

Разность квадратов потенциалов в равномерно текущих энергетических процессах, равная

$$x^2 - x^2 = (x+x) \cdot (x - x) = 2x \cdot 0, \quad (128)$$

приводит к разности равной нулю и к сумме вдвое большей начального потенциала.

Увеличение начального потенциала вдвое происходит за счёт возмущения колебаниями x окружающей среды:

$$\int_{x-1}^{x+1} \varphi d\varphi = \frac{1}{2} [(x+1)^2 - (x-1)^2] = 2x. \quad (129)$$

Удвоение начального потенциала использовалось Строителями Пирамид, которые на диагонали квадрата строили новый квадрат, площадью вдвое больше первого.

Взаимодействие двух соседних уровней возмущенных сред (внутреннего и внешнего) с излучателем x :

$$\frac{(x+1)+(x-1)}{x} = 2 \equiv \lg \rho_1 \rho_2 \rho_3 \rho_4 \rho_5, \quad (130)$$

всегда приводит к взаимодействиям и интуитивно знакомо нашей цивилизации как Числа Фибоначчи.

53. Резонансные Ноль и Единица: взаимодействия в логарифмических волнах

При резонансе также возникает ноль-потенциал.

Резонансный ноль-потенциал связан с переходом от эффективностей взаимодействий (ядерные реакции) к логарифмическим волнам:

Ядерные реакции	Логарифмические волны	
	резонанс	антирезонанс
$10^x \rightarrow$	$\log_x \lg 10^x = \log_x x \cdot \lg 10 = 1 \rightarrow$	$0 \equiv \log_y \log_x \lg 10^x.$

(131)

При ядерно-логарифмических трансформациях одна форма энергии переходит в другую (другие), но продолжают стремиться к равновесию: сначала к резонансному, а затем к антирезонансному (131).

Стремление энергии логарифмических волн к резонансно-антирезонансному равновесию является причиной возникновения Дзиан $\left(\pm \int_0^1 \varphi d\varphi = \pm \frac{1}{2} \right)$, а затем Космо-, Антропо- и Теогенезиса [3, 4].

Логарифмические волны формируют оболочки Капель Ядер, и великая Цивилизация использовала закономерности логарифмических колебаний $\log_x x = 1$ и $\log_x 1 = 0$ для определения равновесия над и в сгустках во взаимодействиях (табл.42).

Новые логарифмы возникают при равенстве Числа основанию логарифма, например $\log_{\sqrt{2}} \sqrt{2}^6 = 6$.

Таблица 42

**Эффективность взаимодействий
в логарифмических волнах**

Взаимодейст- вия	Гравита- ционное	Электро- магнитное	Слабое	Ядерное	Свет
Эффективно- сти	$\rho_1 = 10^{-24}$	$\rho_3 = 10^{12}$	$\rho_2 = 10^{-1}$	$\rho_4 = 10^{14}$	$\rho_5 = 10$
Логарифмы	$-24 \equiv i^2 \cdot \sqrt{2}^6 \cdot 3$	$12 \equiv \sqrt{2}^4 \cdot 3$	$-1 \equiv i^2$	$14 \equiv \sqrt{2}^2 \cdot 7$	$1 \equiv i^4$
Новые логарифмы	$2+6+1 = 9 \equiv \gamma_1$	$4 + 1 = 5 \equiv \gamma_3$	$\log_i i^2 = 2 \equiv \gamma_2$	$2 + 1 = 3 \equiv \gamma_4$	$\log_i i^4 = 4 \equiv \gamma_5$

**54. Взаимодействия в логарифмических волнах:
христианство и буддизм**

Обозначим логарифмические взаимодействия буквой γ и сохраним символы-цифры ядерных взаимодействий (табл.43):

Таблица 43

**Взаимодействия в ядерных
и логарифмических процессах**

Взаимодействия	Гравита- ционное	Электро- магнитное	Слабое	Ядерное	Свет
Связь с Про- странством	Дальнодействие		Короткодействия		Переход
Ядерные реакции	$\rho_1 = 10^{-24}$	$\rho_3 = 10^{12}$	$\rho_2 = 10^{-1}$	$\rho_4 = 10^{14}$	$\rho_5 = 10$
Логарифмиче- ские процессы	$9 \equiv \gamma_1$	$5 \equiv \gamma_3$	$2 \equiv \gamma_2$	$3 \equiv \gamma_4$	$4 \equiv \gamma_5$

Прямой зависимости между ядерными и логарифмическими (на оболочках) процессами нет (табл.43).

Поэтому Иисус Христос вынужден был диктовать Иоанну Богослову Круг Универсума с потенциалами короткодействующих взаимодействий и света, то есть 2, 3 и 4 (табл.43), где полтора оборота Колеса Вселенной (Теогенезис) соответствуют:

$$\gamma_2 \cdot \gamma_4 : \gamma_5 = 2 \cdot 3 : 4 = 6 : 4 = 1,5. \quad (132)$$

В этом же поле (130) возникает Арупа ($\tau = 3$) - Рупа ($T_0 = 4$), Кундалини ($2 \cdot 3 = 6$), и все источники формирования Единого Космоса на уровне короткодействия.

Дальнодействие в поле света приводит к эквивалентности:

$$c \equiv \gamma_1 \cdot \gamma_3 \cdot \gamma_5 = 9 \cdot 5 \cdot 4 = 180 \equiv 180^\circ \equiv \pi \equiv 10 \cdot \text{Мн}_2\text{О}, \quad (133)$$

приводит к колебаниям, в которых возникает тонкоэнергетическое Свечение с потенциалом $\rho_5 \cdot 27$ (132, 133).

$$\frac{\gamma_1 \cdot \gamma_3}{\gamma_5} \Leftrightarrow \frac{\gamma_5}{\gamma_2 \cdot \gamma_4} \quad \text{и} \quad \gamma_5^2 = 16 \Leftrightarrow 270 = 9 \cdot 5 \cdot 2 \cdot 3 = \gamma_1 \cdot \gamma_2 \cdot \gamma_3 \cdot \gamma_4. \quad (134)$$

Максимальный резонансный потенциал логарифмических процессов (табл.42):

$$\gamma_1 \cdot \gamma_2 \cdot \gamma_3 \cdot \gamma_4 \cdot \gamma_5 = 9 \cdot 5 \cdot 2 \cdot 3 \cdot 4 = 1080 \equiv \rho_5 \cdot 108, \quad (135)$$

связаны со 108 реинкарнациями оболочки по Буддизму в поле света.

55. Глубинная природа возникновения люминесценции - Ауры

Дальнодействующие взаимодействия (гравитационное и электромагнитное) в ядерных процессах формируют ударные лазерные волны света с потенциалом 10^{36} , а в полях логарифмических волн заряды-импульсы гравитационно-электромагнитного равновесия (табл.43):

$$9^2 - 5^2 = 56 \equiv \frac{7}{2} \sqrt{qq^*} \equiv 4 \sqrt{\mu\mu^*} \equiv 2 \sqrt{\rho\rho^*}. \quad (136)$$

Короткодействующие взаимодействия и свет в области ядерных реакций формируют электрические молнии:

$$\gamma_4 \cdot \gamma_5 : \gamma_2 = 1016 \equiv 10^{\sqrt{qq^*}} \equiv \text{Молния}, \quad (137)$$

а в области логарифмических волн возникает 13-ти лунный Календарь, как система отсчёта Продолжительностей:

$$\pm(\gamma_2^2 + \gamma_4^2 + \gamma_5^2) \int_0^1 \varphi d\varphi = \pm(2^2 + 3^2 + 4^2 = 29)/2 = \pm 13, \quad (138)$$

и поле с полушарием головного мозга, имеющего потенциал 29 (табл.43).

Таблица 44

**Связь взаимодействий в Пространстве
с формой процессов**

Пространство Процессы	Дальнодействие	Короткодействия
Ядерные	$\rho_3 : \rho_1 = 10^{36}$ Носитель света	$\rho_4 \cdot \rho_5 : \rho_2 = 10^{16}$ Носитель электричества
Логарифмические (136, 138)	$\gamma_1^2 - \gamma_3^2 = 9^2 - 5^2 = 56$	$\gamma_4^2 + \gamma_5^2 + \gamma_2^2 = 3^2 + 4^2 + 2^2 = 29$
Скорость света	$\pi \equiv c \equiv (56+29):(56-29) = 85:27 = 3,(148)$	
Люминесценция	$10^{20} = 10^{36} : 10^{16}$ Предел насыщения люминофора фотонами.	

При переходе от ядерных процессов к логарифмическим возникает свечение Полуэллипса Тонкой Энергии с потенциалом 27 и люминесценция, высвобождающая 10^{20} фотонов по данным С.И.Вавилова.

56. Шаровая молния и передача её энергии в чакру

Возникновение гравитационно-электромагнитных полей элементарных зарядов и ментальных импульсов мысли, памяти и воображения, смещает равновесие с потенциалом 56 (136, табл.44) и в поле возникает Кундалини (оболочка кванта света):

Поля	Гравитация	Магнетизм	Электричество
Смещение	$\frac{56}{\sqrt{\rho\rho^*}} = \frac{56}{28} = 2$	$\frac{56}{\sqrt{\mu\mu^*}} = \frac{56}{14} = 4$	$\frac{56}{\sqrt{qq^*}} = \frac{56}{16} = 3,5$
Кундалини	$\leftarrow 2+4 = 6 = 2,5+3,5 = 3,5^2-2,5^2 \rightarrow$		Спираль Кундалини расширения.

(139)

Появление в полях зарядов-импульсов влечёт за собой появление Небес-Цинь в полях гравитации, магнитной оболочки в магнитном поле и двойной электрической оболочки над магнитным полем (139):

Поля	Небеса-Цинь	Оболочка	Двойная оболочка
Потенциалы	$56 \left(\sqrt{\frac{qq^*}{\rho\rho^*}} = \frac{16}{28} \right)$ 32 \equiv Цинь	$56 \left(\sqrt{\frac{\mu\mu^*}{qq^*}} = \frac{14}{16} \right)$ 49 $\equiv Q_\mu$	$56 \left(\sqrt{\frac{\rho\rho^*}{qq^*}} = \frac{28}{16} \right)$ 2 \cdot (49 $\equiv Q_\rho$).

(140)

Пульсация Небес-Цинь с частотой 50 кадров в единицу Продолжительности (эквивалент еврейскому богу Айн СОФ [2]) заряжает Небеса электричеством:

$$32 \times 50 = 1600 \equiv \rho_5^2 \sqrt{qq^*}. \quad (141)$$

Электричество цис-транс изомерических Небес-Цинь сжимает Цинь в сгусток Тянь (потенциал 64):

$$\{[32 - (-32) \equiv 64] \times 50 = 3200\} \cdot 50 = 16 \cdot 10^4, \quad (142)$$

где дальнейшее сжатие формирует шаровую молнию с потенциалом $16 \cdot 10^4$ (142).

Биоток $J_i = 10^{-4}$ А в чакре Третий Глаз трансформирует энергию шаровой молнии в биоклетку: $16 \cdot 10^4 \cdot 10^{-4} \text{ А} = 16 \text{ А}$.

57. Важнейшие формы Триединого Космоса

Электромагнитная ($Q_\mu = 49$) и две электрогравитационных оболочки ($2Q_p = 2 \cdot 49$) взаимосвязаны (140).

Форм взаимосвязи бесконечное множество.

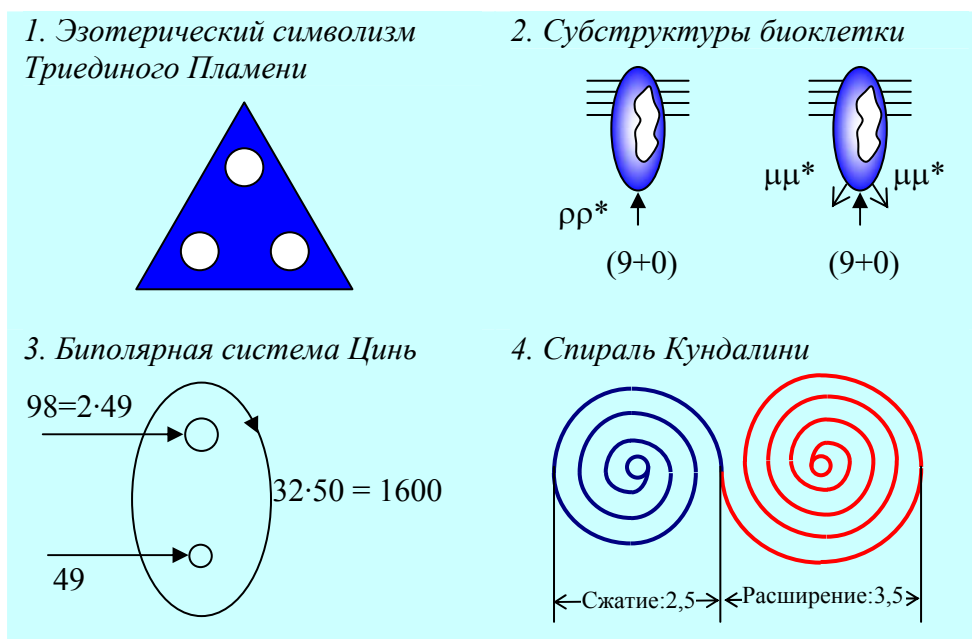


Рис.12 Примеры Триединства

Эзотерики взяли символизм трёх оболочек как эмблеме знамени.

Автолюбители изобрели светофор (рис.12.1), а Христианство обожествила Три Единство: Бог - Отец, Бог - Сын, Бог - Дух Святой.

Великая Цивилизация называла это поле Три Единным Пламенем Четырёх Фитилей [3].

*

**

Единый Космос использовал динамику триединства в расширяющейся Вселенной путём создания субструктур (9+0) биоклетки до митоза и (9+2) при митозе, где 8 волосков-трубочек жгутиков эквивалентны потенциалу расширения Вселенной ($8 \equiv c^3/\omega_0^3$) светом (рис.12.2).

*

**

Одной из распространённых форм воплощение триединства является биполярная система, начало которой даёт биполярная система Небеса-Цинь (рис.12.3).

Небеса-Цинь воспроизводятся всякий раз когда из области самосуших волн поступает энергия - эквивалент $\sqrt{2}^{10} = 32$, так как

$$T_0^2 \left[\int_{98-1}^{98+1} \varphi d\varphi - \int_{49-1}^{49+1} \varphi d\varphi = 98 \right] - (32 \cdot 50 = 1600) \equiv -32 . \quad (143)$$

*

**

Получив из метagalактики дополнительный потенциал 32 (143), квант на орбите (рис.12.3) переходит на новую орбиту, трансформируя траекторию в спираль Кундалини (рис.12.4).

Равновесие между сжатием и расширением Кундалини сохраняется при формировании магнитного поля:

$$3,5 : 2,5 = 1,4 \equiv \rho_2 \cdot (14 \equiv \sqrt{\mu\mu^*}). \quad (144)$$

58. Спираль Зодиака и Древне-Славянский Календарь

Энергетика Триединого Космоса формирует Единственную форму Пространства - трёхмерное Пространство с шестью степенями Свободы Движения по взаимно перпендикулярным направлениям, связанным с $\omega_0 = \pi/2$.

Пульсация Кундалини в трёхмерном пространстве формирует Спираль Зодиака (табл.45).

Таблица 45

Живые магниты Спирали Зодиака (рис.12.4).

Пульсация Кундалини	Спираль Зодиака	Число оборотов		Магнетизм (144)	Двойная Спираль
		расширение	сжатие		
$\int_{6-1}^{6+1} \varphi d\varphi$	12	$3,5 \cdot 2 = 7$	$2,5 \cdot 2 = 5$	$7 = 1,4 \cdot 5$	$12^2 \equiv T_0^2 \tau^2$

Древний Славянский Календарь основан на шестнадцатеричной системе счисления и образует **промежутки времени** (Продолжительность, но не Время, которого нет в Природе), названного **Сврожьими Кругами** [29].

Круг Жизни	144 Лета
Лета	9 месяцев
Месяц	41 и 40 дней
День	16 часов
Час	144 части
Часть	$1296 \equiv 36^2$ долей
Доля	72 мгновения
Мгновение	760 мигов
Миг	160 сигов
Сиг	14000 сантигов.

(145)

Новолетие всегда отмечалось в день осеннего равноденствия. Нечётный месяц имел 41 день, чётный 40. Новые сутки Сварогра начинались в момент захода **Солнца в день равноденствия.**

Сварожьими Кругами называлось прохождение Солнцем **16 Чертогов за 180 Кругов Жизни**, то есть $16 \times 180 = 2880 = 20 \cdot 12^2$.

Потенциал $20 \cdot 12^2 \equiv \Delta K / \Delta J \cdot T_0^2 \tau^2$ назывался **сутками Сварога**, а $180 \times 144 = 25920$ лет - **период обращения нашей Солнечной Системы вокруг нашей галактики** [29].

И в то же время СИГ (145) является отношением

$$112 : (m_c^* = 0,008) = 14000,$$

завершающим Периодическую Систему из 112 элементов [22].

59. Пульсация Спирали Зодиака под электрической оболочкой

Спираль Зодиака - это энергетическое магнитное поле, которое **рождает живые магниты** (табл.45) и которое дано нам великой Цивилизацией как **астрологический Календарь.**

Спираль Зодиака пульсирует в резонансно - антирезонансном режиме, формируя при резонансном расширении 35 витков Кундалини, а при антирезонансе цис-транс изомерию спирали (табл.46).

Таблица 46

Пульсация Спирали Зодиака: митоз - телепатия (табл.44).

Режим	Резонанс	Антирезонанс	Субструктура (9+2)
Переход к митозу	$k_1 = T_0 \cdot 7 \cdot 5 = 140$	$k_2 = T_0 \cdot (7^2 - 5^2) = 96$	$k_1 - k_2 = 44 \equiv T_0 (9+2)$
Переход к телепатии	$(k_1 - k_2 = 44) \cdot \left(\pm \int_0^1 \varphi d\varphi \right) = \pm 22$ 22 буквы Авраама [1].		

Рост Спирали Кундалини в **Капле и Океане Жизни** ограничит электрическая поверхность (табл.47).

Таблица 47

Спираль Зодиака в электрическом поле

Режим	Резонанс	Антирезонанс	Сине-голубая Чакра
Солнечно-лунный Свето-Датель $\times\rho_5$	$T_0^3\tau = 16 \cdot 12$ $= 192 -$	$16^2 - 12^2 =$ $112 = 80 =$	$\pm(1^2+2^2+3^2+4^2)=2 \cdot 5^2 =$ $\pm(30+50) = \pm 80$
Формирование Свето-Дателя	$+ \frac{1+2+3+4+5+6+7+8}{7+6+5+4+3+2+1+0} = 36$ Солнечный ряд $= 28$ Лунный ряд $8+8+8+8+8+8+8+8 = 64$ Тянь - сгусток		
Примечание	Магнитное поле: $1^2+2^2+3^2+4^2 = 30$ и $50 \equiv \lg \rho_3 \rho_4/\rho_5$ - бог Айн СОФ.		

Расширяющаяся Спираль Зодиака, натолкнувшись на электрическую оболочку Капли Жизни, начинает сжиматься ($3,5 - 2,5 = 1$), давая ряд последовательных равновесных состояний.

**60. Ускорения в магнитном поле
спирали Зодиака**

Золотые волны Метагалактики, то есть волны, подчиняющиеся **правилу золотого сечения**, рожают точечный участок волны света, вращающийся с периодичностью $T_0 = 4$ (табл.48).

Таблица 48

Создание фононом Золотых волн Метагалактики

Наименование	Процессы и потенциалы
Период вращения фонона	$T_0 = 4 \equiv (\sqrt{5}-1) \cdot (\sqrt{5}+1) \equiv (\sqrt{5}-1)/2 \Leftrightarrow 2/(\sqrt{5}+1)$
Правило золотого сечения	$1 : \frac{\sqrt{5}-1}{2} = \frac{\sqrt{5}+1}{2} : 1$ при $\pm \frac{1}{2} = \pm \int_0^1 \varphi d\varphi$.

Возникновение в Метагалактике Пятеричной Связи, которую несут Золотые Волны, сжимает Метагалактику в галактики звёздно-планетарных систем в макромирах, а в микромирах, например, сжимают хромосомы в спирали, а спирали хромосом в биоклетки. Формируются Периодические Системы Звёздного Неба, Химических Элементов, ... Геномов Наследственности.

Между оболочкой ($7^2 = 49$) спирали и полем Пятеричной Связи ($5^2 = 25$) всегда будет возникать магнитное поле:

$$7^2 : 5^2 = (1,4)^2 \equiv \rho_5^2 \mu \mu^*. \quad (146)$$

В резонансно ($T_0 \tau = 12$) - антирезонансном ($T_0 + \tau = 7$) поле Арупы - Рупы возникает магнитный потенциал, равный (146):

$$g_0 = \rho_2^2 \mu \mu^* [T_0 \tau - (T_0 + \tau)] = 1,4^2 (12 - 7 = 5) = 9,8. \quad (147)$$

Появится потенциал - эквивалент ускорению свободного падения, в которое будет поступать свет.

Появление импульсов волн-частиц света:

$$g_0 + \rho_2 \cdot (m_c c + E_{\lambda} c) = 9,8 + 0,1(1+1) = 10 \equiv \rho_5, \quad (148)$$

приведёт к потенциал - эквиваленту эффективности взаимодействия света (148).

Переход к полю света и появление в нём трёх импульсов:

$$10g_0 + m_c c + \epsilon_0 \cdot \mu_0 \cdot c^2 + E_{\lambda} c = 98 + 3 = 101 \quad (149)$$

даст эквивалент 101 палочке, из которых римскими цифрами был собран циферблат часов Московского князя Василия III.

61. Закон Трёх Вторых: Крест и Эволюция

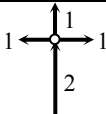
Эволюция перехода Ману-Мыслителя в Человека Воли и Йоги Теогенезис Книги Дзиан связывает с полуторами (1,5) оборотами Колеса Вселенной [4].

Энергетика этих $3/2 = 1,5$ оборотов связана с пульсацией Арупы в поле перехода Хаос \Leftrightarrow Гармония, которая вызывает разность потенциалов между энергиями движения во внутреннем поле кванта света и энергией движения в окружающей среде.

Движение с пропорциями $3/2$ я называю Законом Трёх Вторых (табл.49).

Таблица 49

Закон Трёх Вторых: примеры проявления

В Арупе	$\pm \tau \int_0^1 \varphi d\varphi \equiv \pm \frac{3}{2}$
В Арупе-Рупе	$T_0 \cdot \tau \frac{\omega_0^3}{c^3} = \frac{12}{8} = \frac{3}{2}$
В кванте света	$\frac{E_1 = m_c(c + \omega_0)}{E_2 = m_c c} = \frac{3}{2}$
Вектор Крест	
В спектре света	$\rho_2 = \frac{(\Delta C = \Delta \Gamma) \cdot \Delta \mathcal{K}}{\Delta K} \equiv \frac{3}{2} \text{ \AA.}$

В кванте света E_1 - это его внутреннее пульсирующее поле, а E_2 - движение кванта света в окружающей среде (табл.49).

Движение в спектре света в красную область (**Красная Звезда Теогенезиса**):

$$\frac{3}{2} \text{Å} \cdot (\Delta K = 1400 \text{Å}) = 2100 (\text{Å})^2, \quad (150)$$

приводит к излучению полярных вихрей над сгустком, и их потенциалы $\pm 21 \cdot 10^2$ формируют **пурпурную энергию Жизни на красной Звезде** (150, [4]).

Основание эпюры Христианского Креста описывает поглощение фотон - фонона лазерной точкой:

$$2 \equiv c(m_c + E_\lambda) = c \cdot (2/\pi \equiv 1/\omega_0) = c/\omega_0. \quad (151)$$

Лазерная точка фотон - фонона вырабатывает электромагнитную ($\epsilon_0 \cdot \mu_0 \cdot c^2 = 1$) среду и излучает три взаимно перпендикулярных луча ($m_c c + \epsilon_0 \cdot \mu_0 \cdot c^2 + E_\lambda c$), показанных как Лучи Креста (табл.49).

Эпюрами Лучей Креста во взаимосвязи являются Тетраксиса Пифагора и Тетраграмматона Каббалы [1].

62. Электрический баланс в поле света в эпюре Креста

Причина неудачи в понимании Единства мироздания пифагорейцами, авторами Каббалы, последователями Звезды Давида, состояла в том, что они **брали голый символизм треугольников (Δ и ∇)**, а энергетические процессы додумывали в меру своего понимания, не стремясь получить баланс энергии на входе - выходе процессов.

Прошли тысячелетия, но **современные теории** относительности А.Эйнштейна и кварков В.Гинзбурга **всё также страдают отсутствием баланса**.

Эпюра Христианского Креста позволяет составить энергетический баланс Единого Космоса, формирование которого начинается на уровнях фотон - фонона (табл.50).

Таблица 50

**Энергетический баланс
по эпюре Христианского Креста (табл.49)**

Области на Кресте	Процессы	Режим	Потенциалы импульсов
Лучи Креста	Излучение	Антирезонанс	$m_c c + \epsilon_0 \mu_0 c^2 + E_\lambda = 3$
Точка пересечения	Лазерная Капля	Инверсия. Резонанс	$\frac{1}{3} \cdot \frac{1}{2} = \frac{1}{6}$
Основание Креста	Поглощение	Антирезонанс	$(m_c + E_\lambda) c = 2$
Три формы неравновесия	$\frac{1}{6} \Leftrightarrow 3 - 2 = 1$ свет	$\frac{1}{6} \Leftrightarrow 3 + 2 = 5$	$\frac{1}{6} \Leftrightarrow 3 \cdot 2 = 6$ свет.

Возникают в Капле света с потенциалом $1/6$ **одинокый Луч, Пятеричный Лха** [3] и **Кундалини**, которые возмущают окружающую среду, формируя потенциалы 2 и 22:

$$\int_{6-1}^{6+1} \varphi d\varphi \pm \int_{5-1}^{5+1} \varphi d\varphi = 12 \pm 10, \text{ где } \Sigma=22 \text{ и } \Delta = 2. \quad (152)$$

В поле материи биологической Жизни возникает субструктура $(9+2) = 22/2$ биоклетки при митозе (**плодитесь, размножайтесь**), а в Жизни до и после Жизни проявляется телепатия, как 22 буквы Авраама [1].

63. Резонансно-антирезонансное формирование сред светом

Лазерная Точка, или Капля Ядра, пульсирует в окружающей среде, создавая неравновесные изомерические колебательные системы (табл.50).

Переходы компонент света к антирезонансу					
Кундалини		58 Божеств в Голове		Постоянная Чакр	
Цис-	Транс-	Цис-	Транс-	Цис-	Транс-
$1 \leftrightarrow 6 \leftrightarrow -6 \leftrightarrow -1$		$1 \leftrightarrow 30 \leftrightarrow -30 \leftrightarrow -1$ луна	луна	$1 \leftrightarrow 36 \leftrightarrow -36 \leftrightarrow -1$	
$0 \leftrightarrow 5 \leftrightarrow -5 \leftrightarrow 0$		$0 \leftrightarrow 29 \leftrightarrow -29 \leftrightarrow 0$ мозг	полушария	$0 \leftrightarrow 35 \leftrightarrow -35 \leftrightarrow 0$	
$0 \leftrightarrow 0 \leftrightarrow -10 \leftrightarrow 0$		$0 \leftrightarrow 0 \leftrightarrow -58 \leftrightarrow 0$ число	Божеств	$0 \leftrightarrow 0 \leftrightarrow -70 \leftrightarrow 0$	
$0 \leftrightarrow 10 \leftrightarrow 0 \leftrightarrow 0$		$0 \leftrightarrow 58 \leftrightarrow 0 \leftrightarrow 0$		$0 \leftrightarrow 70 \leftrightarrow 0 \leftrightarrow 0$	

(153)

Пульсируя в резонансном режиме, Кундалини формирует спираль Зодиака ($1 \leftrightarrow 0 \leftrightarrow -12 \leftrightarrow -1$); бог и богиня Луны шумеров создают их систему Счисления, кратную шестидесяти [2] ($1 \leftrightarrow 0 \leftrightarrow -60 \leftrightarrow -1$); а расширенный квант света формирует ядерное вещество с плотностью $\gamma_n = 72$ ($1 \leftrightarrow 12 \leftrightarrow 0 \leftrightarrow -1$) (153).

Изменение направленности энергетического процесса от резонанса к антирезонансу означает переход от синтеза к мультиплетности, от сгустков к волнам, от поглощения к излучению, от притяжения к отталкиванию, от экзотермии к эндотермии (153).

При антирезонансе в области Кундалини появляются взаимодействия света ($\pm 10 \equiv \pm \rho_5$); левое и правое полушария сгустков - источник 13-ти лунной пульсации по Календарю Майи [29] ($\int_0^1 \varphi d\varphi = 13$) и причина возникновения 58 Божеств в голове Человека ($0 \Leftrightarrow 0 \Leftrightarrow -58 \Leftrightarrow 0$), а пульсация кванта света с потенциалом 36 приводит к постоянной Чакр в Космосе:

$$\pm 70 \equiv 140 \left(\pm \int_0^1 \varphi d\varphi \right) = 140 \cdot (\pm 1/2). \quad (154)$$

64. Крест: формирование Света и своего Подобия - Единого Космоса

Трансформируя самосушие волны, свет формирует Свои Подобия, которым в конечном счёте является Космос. Возникает Семеричность, взаимодействия и логарифмические волны (табл.51).

Таблица 51

Крест: формирование Света и своего Подобия - Единого Космоса

Элементы Креста	Основание	Точка пересечения основания и лучей	Лучи	Семеричность в Космосе
Поля (табл.50)	Самосушие волны	Капля-Ядро	Излучённые импульсы	$K_1/K_2 = -7$ 1. Логарифмические волны $-\left(\frac{7}{4}; \frac{7}{2}; 7; 14; 28; 56\right)$ 2. Взаимодействия: $10^{-7} \Leftrightarrow 10^7$, связанные с ε_0 и μ_0 .
Изомерические разности (159)	$70 \Leftrightarrow -70$ $0 \Leftrightarrow \pm 140$	$58 \Leftrightarrow -58$ $0 \Leftrightarrow \pm 116$	$10 \Leftrightarrow -10$ $0 \Leftrightarrow \pm 20$	
Разности ÷ суммы	$116 - 140 = -24$ $116 + 140 = 256$	$20 - 116 = -96$ $20 + 116 = 136$		
Возмущение сред	$K_1 = \frac{1}{T_0^2} \int_{-2030}^{-24} \varphi d\varphi =$	$K_2 = \frac{1}{T_0^2} \int_{-96}^{136} \varphi d\varphi =$		
	-2030	290		

В излучённом поле над Каплей Ядра возникает семеричная пульсация $K_1/K_2 = -7$, а в логарифмических волнах появляются энергетические ряды семи Чакр:

Постоянная Чакр $\equiv 140$							
Чакры, №№	1	2	3	4	5	6	7
Расширение	7/4	7/2	7	14	28	56	112
Сжатие	80	40	20	10	5	5/2	5/4
Произведение	140	140	140	140	140	140	140.

(155)

Постоянная Чакр (155) равна цис-транс изомерической разности самосуших волн (табл.51), а сама семеричность возникает на уровне взаимодействий, равных корню квадратному из ядерных взаимодействий:

$$\rho_4 = 10^{14} \Leftrightarrow 10^7 \Leftrightarrow 1/10^7 \equiv 10^{-7},$$

влекущих за собой формирования электрической и магнитной сред, так как $\epsilon_0 \equiv 10^7/4\pi c^2$ Ф/м и $\mu_0 = 4\pi \cdot 10^{-7}$ Гн/м.

65. Появление неинертных газов и углерода при сгущении Небесных Волн

Сгущение Небесных Волн происходит в резонансном вихре $T_0 \cdot \tau = 12$.

Сгущение начинается в Арупе, продолжается в жидких средах, формируя Кундалини и Зодиак и увеличивая магнитное поле от 1,4 до $14 \equiv \sqrt{\mu\mu^*}$ (табл.52).

Сгущение небесных тел сопровождается появлением атомов неинертных газов: водород, азот, кислород и атома углерода (табл.52). Возникают Тянь и Цинь (табл.52).

Механизм сгущения Небесных Волн

Поля	Арупа	Кундалини	Зодиак	Магнетизм
Расширение	$1,75 \Leftrightarrow 1,4 \cdot 1,25$	$3,5 \Leftrightarrow 1,4 \cdot 1,25$	$7 \Leftrightarrow 1,4 \cdot 5$	$14 \Leftrightarrow 1,4 \cdot 10$ Азот
Сжатие	$1,75/1,4 \Leftrightarrow 1,25$	$3,5/1,4 \Leftrightarrow 2,5$	$7/1,4 \Leftrightarrow 5$	$1,4/1,4 \Leftrightarrow 10$
Суммы	$3 + 3 = 6$	$6 + 6 = 12$ Кислород	$12 + 12 = 24$	$24 + 24 = 48$
Переход в Рупу	$6 \frac{T_0}{\tau} = 8 \equiv \frac{c^3}{\omega_0^3}$	$12 T_0/\tau = 16 \equiv T_0^2$ Кислород	$24 T_0/\tau = 32$ Цинь	$48 T_0/\tau = 64$ Цинь.

В ходе сгущения Небесных Волн в Арупе возникает резонансное внутреннее пятиуровневое поле света, которое под влиянием сокровенной сороковицы формирует волну длиной в 4800Å , делящую синюю и голубую области спектра, например в чакре Третий Глаз (табл.52).

Сгущение волн в Рупе	Сгущение волн в Арупе	(156)
$K_p = 8+16+24+48 = 120 \equiv 5!$ $\rho_5 T_0 K_p = 4 \cdot 120 = 4800 =$ $4800\text{Å} = \lambda$	$K_a = 6+12+24+48 = 90$ $\rho_5 T_0 K_a = 10 \cdot 40 \cdot 90 = 3600 =$ $\Delta B = 3600\text{Å}.$	

В поле Арупы возникает эквивалент разности длин волн во внутреннем поле света: $90 = (\Delta K - \Delta \Phi) \cdot \rho_5$, а затем разность длин волн солнечного белого света.

Резонансно-антирезонансная пульсация света (156):

$$\frac{4800^2 - 3600^2}{4800 \cdot 3600} = \frac{21}{36} = \frac{1}{3} \cdot \frac{7}{4} = \frac{1}{3} \text{ пальмы}, \quad (157)$$

приводит к полу в треть пальмы.

66. Сгущение Тонкой Энергии и Книга Мёртвых

Арупа и Рупа Единого Космоса пульсирует по "амплитуде" своих Продолжительностей, создавая магнетизм и тринадцатипериодичный отсчёт "времени":

Пульсация Арупы - Рупы Единого Космоса			
Рупа	Арупа	Магнетизм	13-ти лунный Календарь
$\frac{T_0 + 1 = 5}{T_0 - 1 = 3}$	$\frac{\tau - 1}{\tau + 1} = \frac{2}{4}$	$0 \Leftrightarrow 20 - 6 = 14 = \sqrt{\mu\mu^*}$	$0 \Leftrightarrow (20+6) \times \left(\pm \int_0^1 \varphi d\varphi \right) \equiv \pm 13.$

(158)

В среде, возмущённой магнетизмом, формируется гравитация:

$$28 \equiv \int_{14-1}^{14+1} \varphi d\varphi \equiv \sqrt{\rho\rho^*}. \quad (159)$$

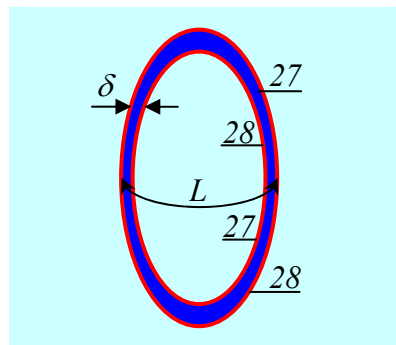


Рис.13 Свечение от генератора Тонкой Энергии

От генератора с LC (ёмкость - индуктивность) контуром возникает Свечение Тонкой Энергии, о которой я рассказывал ранее, и полуэллипсы которого имеют потенциалы 27 и 28 в двойном энергетическом слое поверхности (рис.12.3 и рис.13).

Цис-транс изомерия Свечения Тонкой Энергии было дано нам, людям, в форме повествования о 110 Божествах в теле человека, описанных в Книге Мёртвых [8]:

110 Божеств Свечения Тонкой Энергии (рис.13).

$$28+27 = 28^2 - 27^2 = 55 \Leftrightarrow -55 = -(28^2 - 27^2) = -(28+27) \quad (160)$$

$$0 \Leftrightarrow \pm 110.$$

Пульсация по амплитуде оболочки с потенциалом 27 приводит к 108 реинкарнациям, а оболочки с потенциалом 28 - к гравитационно-магнитному-электрическому равновесию:

Божества	Зародыши-импульсы
$2 \int_{27-1}^{27+1} \varphi d\varphi = 108 \equiv 10 \text{ (в шее)} +$ $58 \text{ (в голове)} + 42 \text{ (в сердце)}$	$\int_{28-1}^{28+1} \varphi d\varphi = 112 \equiv$ $7\sqrt{qq^*} = 8\sqrt{\mu\mu^*} = 4\sqrt{\rho\rho^*}.$

(161)

67. Реинкарнация как Непорочное Зачатие

Каждая реинкарнация - это очередное Непорочное Зачатие, физическая Сущность в котором связана со сгущением метagalактических волн в Арупе (156) и формировании сгустков - субструктур (9+2) и (9+2) в биоклетке (рис.12.2).

Таблица 53

"Непорочное зачатие" как начало реинкарнаций (Нou)

Сгущение спектра света (Oi)	Сгущение в биоклетке (Ha)
$\frac{\rho_2(\Delta K - \Delta \Phi) + \frac{\Delta K}{\Delta \Phi} = 90 + 20 = 110}{\rho_2(\Delta K - \Delta \Phi) = 90} \Leftrightarrow \frac{9+0}{9+2} \equiv \frac{\text{до митоза}}{\text{митоз}}$	
$\pm[110 \cdot (9+2) - (9+0) \cdot 90] = \pm(1210 - 810 = 400) \Leftrightarrow 0.$	

Сгущение спектра света (Oi) приводит к окончанию излучения, то есть к **тьме** (табл.53).

В тьму попадает и поле субструктур клетки (На). Возникает колебательный процесс **Нou** (табл.53).

Результатом колебаний является потенциал, равный 400, эквивалент **Свабхават О** в десять раз больший **Сокровенной Сороковицы**.

Станца IV, п.5, Космогенезис [3] описывает табл.52 так:

5. Oi-На-Нou есть **Тьма**. **Беспредельность** ($\log_{\pi} U = 0$), или же **Не-Число** ($0 \Leftrightarrow \dots$), **Agu-Hugana**, **Свабхават О** ($\dots \Leftrightarrow 400 \equiv \text{Свабхават О}$).

1. Ади-Санат, Число, ибо он Один ($28 - 27 = 1$);

2. Глас слова, **Свабхават, Числа**, ибо он Один и Девять ($1+9 = 10 \Leftrightarrow \int_{10-1}^{10+1} \varphi d\varphi = 20 \Leftrightarrow \int_{20-1}^{20+1} \varphi d\varphi = 40 \Leftrightarrow \dots$).

4. "Квадрат без Формы" ($\sqrt{2}^2 \equiv \text{Sc } \pi/4 \cdot \text{Csc } \pi/4$).

И эти Три заключены внутри **О** ("абсолют" Δ), суть **Сокровенная Четверица** ($\rho_5 \cdot T_0 = 10 \cdot 4 = 40$), и **Десять** ($\rho_5 = 10$) суть **Арупа Вселенная**. Затем идут **Сыны**, **Семь Воителей**, **Один Восьмой оставлен в стороне** и **Дыхание его есть Свето-Датель** (табл.47).

68. Сгущение Света в заряды-импульсы под оболочками

И эти Три, заключённые внутри **О** [3], взяты эмблемой Знамени Эзотериков, изучались Пифагором как Тетраксис, а Каббалистами как Тетраграмматон [1].

У меня эти Три показаны на рис.12.1 и 12.3, а физическая сущность этих эпюр связана с **оболочкой** (потенциал 49) или **двойной оболочкой с потенциалом 2·49**.

В Едином Космосе под оболочки поступают волны от солнечно-лунных рядов, носителей Свето-Дателя.

Поступление света под оболочки Недр ядер

Лунный ряд	0	1	2	3	4	5	6	7	= 28
Солнечный ряд	8	7	6	5	4	3	2	1	= 36
Свето-Датель	8	8	8	8	8	8	8	8	= 64
Оболочка	49	49	49	49	49	49	49	49	= 8·49
Двойная оболочка	2·49	2·49	2·49	2·49	2·49	2·49	2·49	2·49	=16·49.

При поступлении света под оболочку на каждом из восьми уровней в условиях резонанса возникает потенциал, равный и эквивалентный потенциалам гравитационно-магнетизма:

$$8 \cdot 49 = 392 \equiv 28 \cdot 14 \equiv \rho^* \cdot \mu \equiv \rho \cdot \mu^* \equiv \sqrt{\rho \rho^* \cdot \mu \mu^*} \equiv \dots \quad (162)$$

Резонансная точка всех восьми уровней оболочки приводит к гравитации:

$$8 \cdot 392 = 3136 \equiv 4 \cdot 28^2 \equiv T_0 \rho^* \rho. \quad (163)$$

При поступлении света под двойную оболочку на каждом из восьми уровней в условиях резонанса возникает потенциал, равный и эквивалентный потенциалам гравитации:

$$8 \cdot 2 \cdot 49 = 784 = 18^2 \equiv \rho^* \rho. \quad (164)$$

При поступлении света под двойную оболочку всех восьми уровней возникает гравитационно-электромагнитный эквивалент:

$$8 \cdot 784 = 6272 = 28 \cdot 14 \cdot 16 \equiv \sqrt{\rho \rho^* \mu \mu^* q q^*}. \quad (165)$$

69. Формирование биполярной структуры фотон-фона

Сжать сгусток на все 100% нельзя: сжатию мешают поступающие в сгусток самосушущие волны метagalактики, которые инициируют смену притяжения отталкиванием.

Пульсация типа **притяжение-отталкивание** реализует себя в **бесконечной множественности Форм Движения и Форм Субстанций**, например в разноимённости зарядов и импульсов в сгустке, создании планетарных систем в сгустках микро-макро миров Единого Космоса.

Создание планетарных систем - сгустков связано с их формированием лазерными сгустками фотон-фононов (рис.14, табл.55).

Таблица 55

Биполярная система лазерных точек (рис.13)

Лазерные точки	$m_c E_\lambda = 1/\pi^2 \Leftrightarrow 2m_c E_\lambda = 2/\pi^2$	$m_c E_\lambda = 1/\pi^2 \Leftrightarrow \pi^2/2 \equiv m_c E_\lambda/2$
Колебания	$1/2 \Leftrightarrow 1 \Leftrightarrow 2$	$\frac{m_c E_\lambda}{\omega_0} \cdot \frac{2}{\pi^3} \Leftrightarrow 1 \Leftrightarrow \pi^3 \frac{\pi}{2} = c^3 \omega_0$
Формы Движения	$1 \Leftrightarrow 2 \Leftrightarrow 4$ Семеричность: $7 \equiv 1 + 2 + 4 $	$m_c E_\lambda \Leftrightarrow \omega_0 \Leftrightarrow c^3 \omega_0^2$ Излучение импульса вызывает вращение сгустка.

Между двумя лазерными точками в кванте света возникнут разности потенциалов (рис.14):

Среда между лазерными точками		(166)
Сжатие	Расширение	
$\varepsilon_1 \equiv [m_c + (m_c + E_\lambda)] = \omega_0^3 / c^3 = 3/8\pi$	$\varepsilon_2 \equiv [m_c + (m_c - E_\lambda)] = c^3 / \omega_0^3 = 8/\pi$	

В Арупе ($\tau = 3$) возникает Тянь с потенциалом 64 и Тянь колеблется:

Колебания Тянь в Арупе (166)
$\varepsilon_1/\varepsilon_2 \equiv 3/64 \Leftrightarrow \varepsilon_1 \cdot \varepsilon_2 = 3/\pi^2 \Leftrightarrow \varepsilon_2/\varepsilon_1 = 64/3.$

(167)

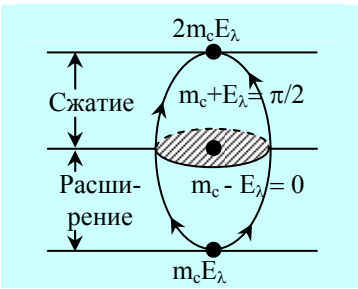


Рис.14 Биполярная система кванта света

Книга Перемен, оставленная великой Цивилизацией, подробно описывает пульсацию Тянь в Арупе, а я вернусь к биполярным структурам планетарных систем.

70. Биполярный магнит: пятеричная связь, 13-ти лунный Календарь

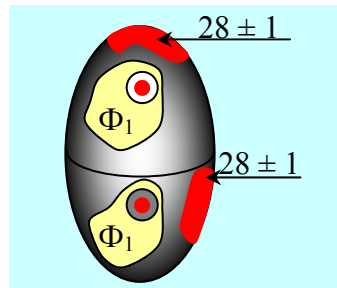
Фокусы - сгустки биполярных систем имеют одинарную и двойную оболочку (рис.12.3), а сама биполярная система окружена Тонкой Энергией, энергетика которой является Подобием Свечения от генератора Тонкой Энергии (рис.13).

Фокусы такой электрической системы имеют связанные между собой потенциалы Φ_1 (163) и Φ_2 (165), окружённые тонко-энергетической оболочкой (рис.15, табл.56).

Таблица 56

Фокусы биполярной системы (рис.14)

Фокусы	В оболочке	В двойной оболочке	Взаимосвязь фокусов
Формула	(163)	(165)	$\pm \Phi_2 \int_0^1 \varphi d\varphi = \Phi_1$ $\Phi_1 \cdot c/\omega_0 = \Phi_2.$
Потенциал	$\Phi_1 = 28 \cdot 14 \cdot 8$	$\Phi_2 = 28 \cdot 14 \cdot 6$	



Влияние пульсирующей тонко-энергетической оболочки на фокусы будет проявлять себя в формировании живых - неживых магнитов и их антирезонансном взаимодействии (рис.15, табл.56):

Рис.15 Биполярная система

Магнетизм	В фокусе Φ_2		В фокусе Φ_1
Потенциалы	$\frac{\Phi_2}{\int_{28-1}^{28+1} \varphi d\varphi} = \frac{28 \cdot 14 \cdot 16}{2 \cdot 28} = 14 \cdot 8$	\pm	$14 \cdot 4 = \frac{28 \cdot 14 \cdot 8}{2 \cdot 28} = \frac{\Phi_1}{\int_{27-1}^{28+1} \varphi d\varphi} \quad (169)$
Пульсация	$\frac{(14 \cdot 8)^2 - (14 \cdot 4)^2}{14 \cdot 8 \cdot 14 \cdot 4} = \frac{8^2 - 4^2}{8 \cdot 4} = \frac{48}{32} = 1,5 \equiv \text{Закон Трёх Вторых.}$		

Приведённая пульсация магнитных полей биполярных систем указывает на движение этих полей по Закону Трёх Вторых (169):

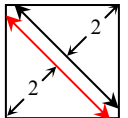
$$3/2 \Leftrightarrow 2/3 \dots 9 \Leftrightarrow 4 \dots 0 \Leftrightarrow \pm(9-4=5) \text{ и } 9 \Leftrightarrow 4 \quad 0 \Leftrightarrow \pm 13. \quad (170)$$

В живых - неживых биполярных магнитных системах за полтора оборота **Обода Колеса Вселенной** [4] возникает пятеричная связь и 13-ти лунный отсчёт Продолжительностей.

71. Гравитационно-магнитные бури - генераторы вихрей Мысли и Памяти

В фокусах Φ_1 и Φ_2 (рис.14), аналогах "струн", возникают сначала гравитационные, а затем магнитные колебания сред.

Среда и среда стремятся к равновесию, создавая новые волны, после достижения равновесия со средами, например гравитационной и магнитной:

Динамика движения биполярной системы при гравитационно-магнитном равновесии			
Поля (рис.14, табл.55).	В фокусе Φ_2 (169)	В фокусе Φ_1 (169)	Эпюра - результат
Связь фокуса (струны) с окружающей средой: гра- витацией и магнетизмом	$\frac{\int_{28-1}^{29+1} \varphi d\varphi \int_{14-1}^{14+1} \varphi d\varphi}{28 \cdot 14 \cdot 16} \equiv 4 \leftrightarrow 2 \equiv \frac{28 \cdot 14 \cdot 8}{2 \cdot 28 \cdot 2 \cdot 14}$	$\frac{\int_{28-1}^{28+1} \varphi d\varphi \int_{14-1}^{14+1} \varphi d\varphi}{28 \cdot 14 \cdot 8} \equiv 2 \equiv \frac{28 \cdot 14 \cdot 8}{2 \cdot 28 \cdot 2 \cdot 14}$	Основание великой Пирамиды: 

(171)

Для волновых полей: самосущие волны, волны запаха, волны света, радиоволны и так далее эпюра - основание великой Пирамиды является аналогом "Квадрата без формы" ([3], 171).

*
**

Мировоззренческий подход нашей науки к Реалиям Единого Космоса как к точек опоры, находящейся в статике, не даёт нам возможности понять динамику процесса формирования Капли Ядра и Поверхности Капли, имеющей следующие стадии:

1. Равновесие Космической Мысли с ядерным веществом мозга и равновесие ядерного вещества мозга с нашей магнитной памятью.

2. Движение сгустков света-памяти по поверхности мозга и появление в коре и над корой головного мозга электрического воображения.

72. Появление электричества (в том числе Воображения) на поверхности Капли Ядра

Анализируя эпюру в форме основания великой Пирамиды (171), мы анализируем сгущение небесных (самосущих) волн (рис.2, табл.16).

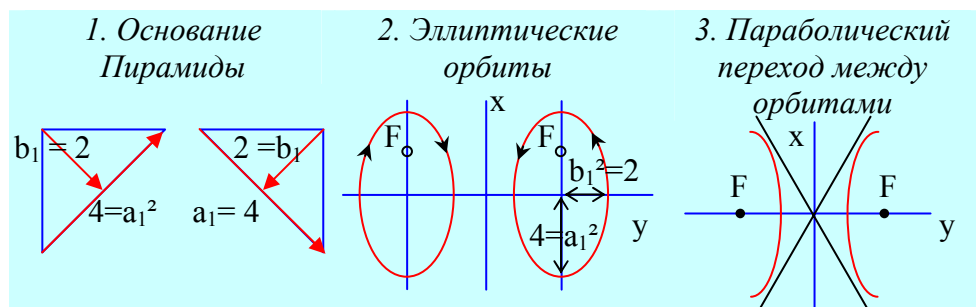


Рис.16 Вращение по орбитам в "квадрате без формы"

Играя роль "квадрата без формы" [3] для волновых полей, основание великой Пирамиды в векторной форме описывает движение лазерной точки ядерного вещества по эллипсоидальной поверхности Капли Ядра, где диагональ квадрата и её половина являются эквивалентами квадратов большой ($a_1^2 = 4$) и малой ($b_1^2 = 2$) полуосей эллипса и параболы (рис.16).

Появится описание планетарной системы с параболическим переходом квантов с орбиты на орбиту (табл.56).

Таблица 57

Ячейка планетарной системы

Цис-изомерия	Цис-транс переходы	Транс-изомерия
$\frac{x^2}{a_1^2} + \frac{y^2}{b_1^2} = 1$	$\frac{x^2}{a_1^2} - \frac{y^2}{b_1^2} = 1$	$\frac{x^2}{a_1^2} + \frac{y^2}{b_1^2} = 1$
$x^2 + 2y^2 = 4$	$x^2 - 2y^2 = 4$	$x^2 + 2y^2 = 4$
Эллипс	Парабола	Эллипс.

Вращение лазерных точек заставляет нас то складывать, то вычитать уравнения эллипсов - параболы (табл.57), что влечёт за собой то появление **ноль-потенциала**, то удвоение начального потенциала. Возникает электричество и в нём Воображение (табл.57):

$$2(x^2+2y^2 = 8) = (2x^2+4y^2) \equiv (16 \equiv \sqrt{qq^*}) \text{ и так далее. (172)}$$

73. Природа происхождения и всесущность Закона Кеплера

Законы И.Кеплера точно описывают вращение планет вокруг Солнца.

Как и вся наша наука в целом, законы Кеплера фиксируют явления, но не объясняют их Природу.

Поэтому, например, наука нашей земной цивилизации пребывает в сомнении: применимы ли законы подобия законам Кеплера к микромирам, живым - неживым системам, Вселенным, Метагалактикам?

Разберёмся с этим вопросом.

*
**

Первый закон Кеплера. Планеты вращаются по эллиптическим орбитам, в фокусе которых находится Солнце.

Координатой фокуса эллиптической орбиты будет являться точка, пульсирующая в приведённом резонансно-антирезонансном режиме (рис.16.2):

$$F(\text{фокус}) = \frac{a_1 b_1}{a_1^2 - b_1^2} \equiv \frac{\sqrt{4 \cdot 2}}{4 - 2} = \frac{2\sqrt{2}}{2} = \sqrt{2} \equiv Sc \frac{\pi}{4} \equiv \dots, \quad (173)$$

где: $2\sqrt{2} = a$ - сторона основания великой Пирамиды, а
ноль-потенциал возникал, например при $\sin \pi = 0$.

Координаты фокуса эллиптических орбит ($\sqrt{2}$, 0 и 0, $\sqrt{2}$) определяют пульсацией самосуших волн.

Эксцентриситет эллипса (ε) связан с его полуосями (рис.16):

$$\varepsilon = \sqrt{1 - \frac{b_1^2}{a_1^2}} = \sqrt{1 - \frac{2}{4}} = \sqrt{\frac{1}{2}} \equiv \sin \frac{\pi}{4}, \quad (174)$$

и определяется пульсацией самосущих волн.

Связь фокуса с эксцентриситетом орбиты вокруг него формируют колебательную систему (173, 174):

$$F/\varepsilon \equiv 2 \Leftrightarrow F \cdot \varepsilon = 1 \Leftrightarrow \varepsilon/F = 1/2, \quad (175)$$

в которой участвуют взаимодействия ($\lg \rho_1 \rho_2 \rho_3 \rho_4 \rho_5 = 2$),

Дзиан $\left(\pm \int_0^1 \varphi d\varphi = \pm \frac{1}{2} \right)$ и равновесие.

Наличие этих факторов (175) делает первый закон Кеплера всеобъемлющим для живых - неживых микро - макро миров.

74. Второй закон Кеплера и внутреннее поле фотона

Второй закон И.Кеплера: за равные промежутки времени радиус-вектор между планетой и Солнцем описывает равные сектора (рис.17), по существу описывает постоянство секторальной скорости:

$$V_{\text{сек}} = S_i/T_i = \dots = \text{Const}. \quad (176)$$

Постоянство секторальной скорости ($V_{\text{сек}}$) поверхностных волн (S_i) берёт своё начало в процессе прохождения самосущих волн:

$$\sin \pi/4 \cdot \sec \pi/4 \cdot \cos \pi/4 \cdot \csc \pi/4 = 1 \quad (177)$$

через площадь $S_i = 1/4 \cdot \pi$ сечения внутреннего поля фотона $m_c = 1/\pi$ (рис.17).

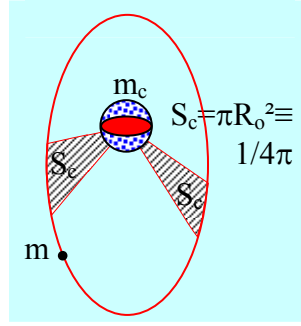


Рис.17 Второй закон И.Кеплера

Во внутреннем поле фотона возникает точка-излучатель самосуших волн, луч из которой освещает телесный угол в один стерадиан вокруг точки, то есть угол $1/4\pi = S_c$ (рис.17).

Колебания точки-излучателя внутри фотона, совершаемые под напором самосуших волн (177), создают контур колебания:

$$S_0/1 \Leftrightarrow 1/S_0 \quad \text{и} \quad S_0^2 = (4\pi)^{-2} \Leftrightarrow 1,$$

или

$$(m_c E_\lambda = 1/\pi^2) \Leftrightarrow 16. \quad (178)$$

На поверхности фотона m_c (рис.17) возникает цис-транс изомерическое поле Цинь:

$$\pm (k_1 = \sqrt{qq^*} - (-\sqrt{qq^*} \equiv 16 - (-16) = 32) \equiv \text{Цинь}), \quad (179)$$

а вокруг фотона возмущённая среда, пульсирующая по амплитуде:

$$\pm \left(k_2 \equiv \int_{16-1}^{16+1} \varphi d\varphi = 2 \cdot 16 = 32 \right), \quad (180)$$

что и определит постоянство секторальной скорости:

$$V_{\text{сект}} \equiv k_1 : k_2 = \pm 32 / \pm 32 = 1 = \text{Const.} \quad (181)$$

75. Третий закон Кеплера: пятеричная связь Космоса

Третий закон Кеплера. Отношение квадрата периода обращения планет вокруг Солнца к кубу радиус-вектора между планетой и Солнцем есть величина постоянная:

$$\frac{V_i}{T_i} \equiv \frac{4}{3} \pi \left(\frac{R_1^3}{T_1^2} \equiv \frac{R_2^3}{T_2^2} \equiv \frac{(R=2)^3}{T_0^2 = 16} \equiv \frac{1}{2} \equiv \int_0^1 \varphi d\varphi \equiv Const_1 \right), \quad (182)$$

характеризует Дзиан - потенциал (182), а в целом отношение объёма к квадрату периода обращения объёма вокруг фокуса эллипса (рис.17).

Поле V_i/T_i^2 (182) имеет две постоянных.

Первая постоянная R_i^3/T_i^2 обладает всеобъемлющими свойствами при $R = \lg \rho_1 \rho_2 \rho_3 \rho_4 \rho_5 = 2$ и $T_0^2 = 16$. В этом случае первая постоянная имеет свойства дроби - Дзиан и принимает участие в формировании Космо-, Антропо- и Теогенезиса [3, 4].

Дзиан Третьего закона Кеплера связана колебательной системой (175) с первым законом Кеплера.

Вторая постоянная в Третьем законе Кеплера связана с волной (частицей) света в Арупе при её переходе в Рупу:

$$Const_2 \equiv \frac{4}{3} \pi \equiv \frac{T_0}{\tau \cdot m_c} \equiv \frac{T_0}{\tau \cdot E_\lambda} \approx 4,1887 w \approx 1 \text{ кал}, \quad (183)$$

при котором свет выделяет одну калорию [17].

Общая постоянная по Третьему закону Кеплера будет равна (182, 183):

$$Const_2 \cdot Const_1 = \frac{4}{3} \pi \frac{1}{2} = \frac{2}{3} \pi \equiv \frac{m_c + E_\lambda}{\tau \cdot m_c E_\lambda}. \quad (184)$$

В соответствии с этими постоянными (184) в Едином Космосе возникает всеобъемлющее движение по закону Трёх Вторых, а также функционировать колебательный контур:

$$m_c \frac{2}{3} \pi \equiv \frac{2}{3} \Leftrightarrow \frac{3}{2} = E_\lambda \frac{3}{2} \pi, \quad (185)$$

формирующий пятеричную ($b \Leftrightarrow 3^2 - 2^2 = 5$) связь.

76. Законы Кеплера и религиозно-мифологические факты

Строители великой Пирамиды использовали равновесие во внутреннем поле фотона (рис.17), когда

$$S_o \cdot S_{\text{круга}} \equiv S_o \cdot L_{\text{окружности}} = \frac{1}{4\pi} \cdot 4\pi = 1, \quad (186)$$

где: $S_{\text{круга}} = \pi(R=2)^2$ и $L_{\text{окружности}} = 2\pi(R=2)$ соответственно круг и окружность, **в которые вписано основание великой Пирамиды.**

В полях Тонких Энергий точка S_o достигает равновесия путём поглощения сферической оболочки Q_i с радиусом $i = \sqrt{-1}$:

$$S_o \cdot [Q_i = 4\pi(i^2 = -1)] = \frac{1}{4\pi} (-4\pi) = 1. \quad (187)$$

Равенство потенциала (187) и потенциала (186) соответственно минус и плюс единице указывает на разнонаправленность энергетических вихрей в полях Тонкой Энергии и энергии Материи.

В полях Материи энергетический вихрь движется в одном направлении с Востока на Запад для Земли.

В Едином Космосе движение компонент в микро-макромирах не исчерпывается по законам Кеплера (рис.18.1 и 18.2), но имеет бесконечную множественность форм. Например вращение по орбите с полуосями $b_1^2 = 2$ и $a_1^2 = 4$ (рис.18.1) будет являться энергетическим эквивалентом пульсации Арупы по амплитуде (рис.18.3):

$$V_{сект} = \frac{2(m_c c + \varepsilon_0 \mu_0 c^2 + E_\lambda c)}{3+1}, \quad (188)$$

$$\int_{3-1} \varphi d\varphi = 2 \cdot 3 \equiv (3,5 + 2,5)$$

где: 6 - Кундалини.

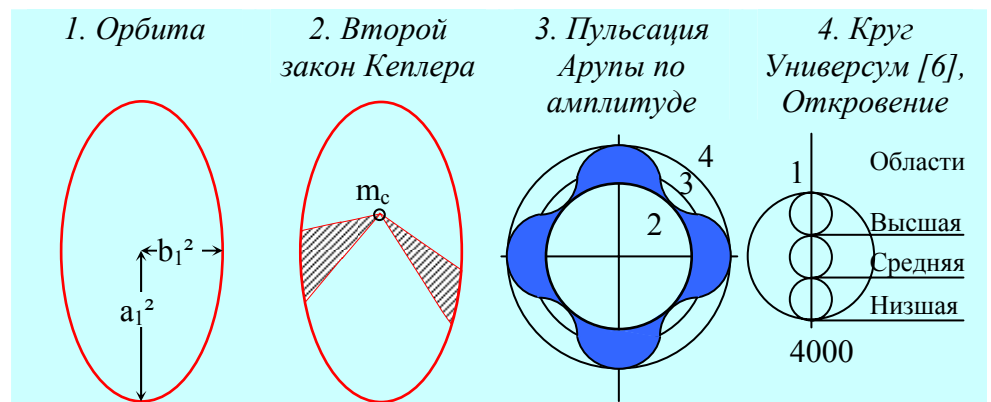


Рис.17 Варианты движения помимо законов Кеплера

Наиболее полно бесконечность колебаний (3+1) описывает Круг Универсума, данный в Откровениях (рис.17.4).

77. Появление электричества на орбитах и в мозге

Вращение по двум **изомерическим эллипсоидальным орбитам** приводит к периодическому появлению суммы с ноль-потенциалом и разности, потенциал которой вдвое больше начальной величины одного из квантов (табл.58).

Таблица 58

Пульсация, вызванная вращением по изомерическим эллиптическим орбитам (рис.16, табл.57)

Полушария		Цис-изомерия: эллипсоид левый		Транс-изомерия: эллипсоид правый	
Компоненты		Разность	Сумма	Сумма	Разность
Этапы пяти Продви- жений	1	$\Delta \equiv 0$	$x^2+2y^2=4$	$-x^2-2y^2=-4$	$0 \equiv \Delta$
	2	$0 \Leftrightarrow 0 \Leftrightarrow 0 \Leftrightarrow 0 \Leftrightarrow -(2x^2+4y^2 = 8) \Leftrightarrow 0$			
	3	$0 \Leftrightarrow (2x^2+4y^2 = 8) \Leftrightarrow 0 \Leftrightarrow 0 \Leftrightarrow 0 \Leftrightarrow 0$			

Это поле с пятью ноль - потенциалами и потенциалами $\pm 8 \equiv c^3/\omega_0^3$ Станца V, Космогенезис [3] описывает так:

5. "Фохат делает пять Продвижений (пять ноль-потенциалов) (табл.58) и строит крылатое колесо (орбита) на каждом углу квадрата (квадрат площадью $8 \equiv a^2$ является основанием великой Пирамиды, табл.58) для Четверых Пресвятых... и для Воинств их" (рис.18).

В поле эллиптических орбит, окружающих квадраты, возникают пульсирующие электрические разноимённые заряды (рис.18), потенциал которых равен:

$$8 \equiv \sqrt{qq^*} \int_0^1 \varphi d\varphi \quad \text{и} \quad -8 \equiv \sqrt{qq^*} \int_1^0 \varphi d\varphi . \quad (189)$$

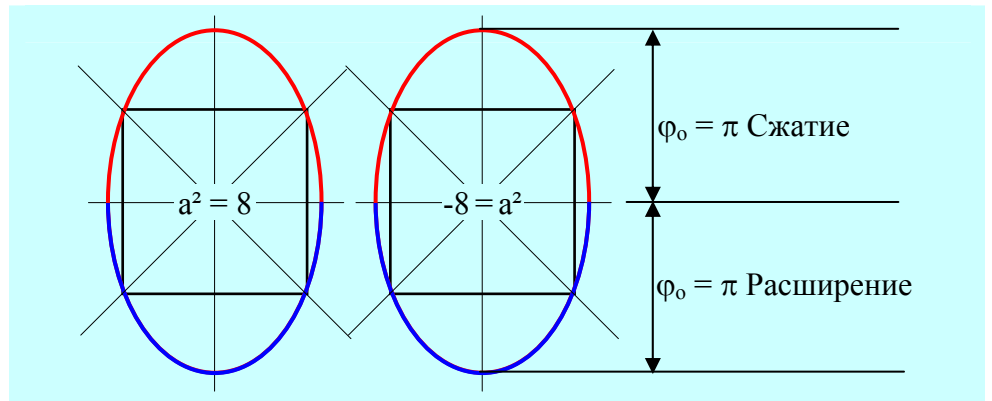


Рис.19 Поляризация на угол π при сжатии-расширении полей соседних эллиптических орбит. Станца V. Космогенезис [3]

При резонансе этих зарядов возникает сгусток Тянь:

$$8 \cdot (-8) = -64 \equiv \text{Тянь}, \quad (190)$$

при антирезонансе - электричество (рис.18):

$$\pm[8 - (-8) = 16 \equiv \pm\sqrt{qq^*}]. \quad (191)$$

Возникают мозг и воображение в нём.

78. Единый Космос как следствие взаимодействий фотон - среда

Колебания температуры сопровождают **любые неравновесные процессы** Единого Космоса, а сама термия связана с взаимодействиями (табл.59).

Кроме термии на формирование полей в Едином Космосе влияют изомерия и пульсация сжатия-растяжения (табл.60).

Таблица 59

Взаимосвязь термин и взаимодействий

Термин	Эндо-	Экзо-
Взаимодействия	$\rho_1/\rho_2 \Leftrightarrow \rho_1\rho_2 \Leftrightarrow \rho_2/\rho_1$ $10^{-23} \Leftrightarrow 10^{-25} \Leftrightarrow 10^{23}$	$\rho_4/\rho_3 \Leftrightarrow \rho_3\rho_4 \Leftrightarrow \rho_3/\rho_4$ $10^3 \Leftrightarrow 10^{26} \Leftrightarrow 10^{-2}$
Логарифмические волны	$-23 \Leftrightarrow -25 \Leftrightarrow 23$ $0 \Leftrightarrow -2 \Leftrightarrow 23$ $0 \Leftrightarrow 0 \Leftrightarrow 25$	$2 \Leftrightarrow 26 \Leftrightarrow -2$ $2 \Leftrightarrow 28 \Leftrightarrow 0$ $0 \Leftrightarrow 26 \Leftrightarrow 0$
Влияние света ρ_5	$\frac{25 \cdot 26 \cdot (\lg \rho_5 = 1)}{26^2 - 25^2 - (\lg \rho_5 = 1)} = \frac{650}{50} = 13$ Приведённая пульсация. 13-ти лунный Календарь.	

Таблица 60

Эквивалентность режимов полей периода $T_0 = 4$

Режим	Термин		Пульсация		Изомерия	
	экзо	эндо	сжатие	расширение	Цис	Транс
Потенциалы	$k_1 = \lg \frac{\rho_3 \rho_4}{\rho_5} \equiv 25$	$k_2 = \lg \rho_1 \rho_2 \equiv -25$	$k_3 = T_0 \frac{\omega_0}{c} = \frac{2}{2}$	$k_4 = T_0 \frac{c}{\omega_0} = \frac{8}{8}$	$k_5 \equiv m_c \omega_0 \equiv \frac{1}{\pi} \cdot \frac{\pi}{2} = \frac{1}{2}$	$k_6 \equiv -E_\lambda \omega_0 \equiv \frac{1}{\pi} \cdot \frac{\pi}{2} = -\frac{1}{2}$
Эквивалентность T_0	$\frac{k_2 \cdot k_4 \cdot k_6}{k_1 \cdot k_3 \cdot k_5} = \frac{(-25) \cdot 8 \cdot (-1/2)}{25 \cdot 2 \cdot (+1/2)} = \frac{100}{25} = 4 \equiv T_0.$					

Вместе с тем разность $100 - 25 = 75$ является источником формирования

$$(\tau/T_0 = 0,75) \equiv (100 - 25 = 75) \cdot 10^{-2}. \quad (192)$$

79. Сгущение фонона в фотон и в ядерную плазму

Все Формы Энергии и их импульсы в Едином Космосе взаимосвязаны волной-частицей света:

$$\frac{m_c c}{E_\lambda c^2} \equiv \frac{E_\lambda c^2}{m_c c^3} \equiv \dots \equiv \frac{m_c c^{n-1}}{E_\lambda c^n} \equiv \frac{1}{c} \equiv \frac{1}{\pi} \equiv m_c \equiv E_\lambda. \quad (193)$$

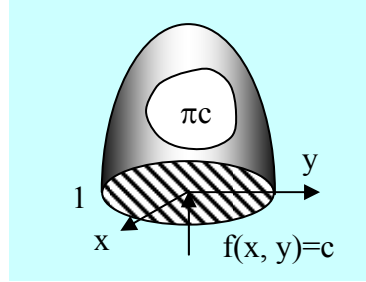


Рис.20 Сгущение
фонона в фотон
(Кольцо с единицей [18])

Вне взаимосвязи со светом энергии - импульсов нет.

Фотон возникает при сгущении фонона в кольцо с единицей (рис.1, [18, стр.119]):

Если область D , ограниченная окружностью $x^2 = y^2 = 1$, то постоянная функция $f(x,y)$ при прохождении кольца с единицей увеличивается в π раз:

$$\begin{aligned} \iint_D f(x,y) dx dy &= 4 \int_0^1 dx \int_0^{\sqrt{1-x^2}} f(x,y) dy = \\ &= 4f(x,y) \int_0^1 \sqrt{1-x^2} dx = \pi \cdot f(x,y). \end{aligned} \quad (194)$$

Прохождение ряда колец с единицей сгущает фотон в ядерное вещество $(m_c E_\lambda)^n \equiv \pi^{-2n} \equiv c^{-2n}$ за счёт фотон - фононных колебаний:

$$m_c = 1/\pi \Leftrightarrow 1/\pi \Leftrightarrow E_\lambda \rightarrow \pi \Leftrightarrow \pi \rightarrow \pi^{2n} [\pi^{-2n} \equiv (m_c E_\lambda)^n] \equiv 1 \quad (195)$$

В окружающей среде фотоны, фононы и их общая субстанция - плазма ядерного вещества при эквивалентности $\pi \equiv c$ будут формировать ядра микро-макро сгустков, квантованные орбиты вокруг ядер и поляризовать (разворачивать) фронт волны света, переходя от люминесценции к солнечному свету.

Цис-транс изомерические переходы эллиптических и параболических орбит (табл.57) будут чередоваться (табл.61).

Таблица 61

Взаимосвязь эллиптических и параболических орбит

Формы и потенциалы орбит		Суммы
Эллипс: $x^2+2y^2 = 4$	Парабола: $x^2-2y^2 = 4$	$2x^2 = 8$
Парабола: $x^2-2y^2 = 4$	Эллипс: $x^2+2y^2 = 4$	$2x^2 = 8$
Эллипс: $x^2+2y^2 = 4$	Парабола: $x^2-2y^2 = 4$	$2x^2 = 8$
Сумма: $3x^2+2y^2 = 12$	$3x^2+2y^2 = 12$	$6x^2 = 24$
Сумма: $12 + 12 + 24 = 48$.		

Возникает сине-голубая граница раздела в спектре света.

80. Связь дефекта масс с мозгом, временем, Вавилонской Башней

Масса сгустка - это концентрированная Энергия.

При отталкивании и взрыве масс, **закон сохранения Энергии остаётся справедливым**, и энергия не исчезает, но переходит в новые формы массы - волны.

В ядерных реакциях часть общей массы, которая переходит в волны, создаёт дефект масс [17]:

$$\Delta m = [10^{-2}(A - 10)^2 - 64] \cdot 10^{-3} \text{ а.е.м.}, \quad (196)$$

где: Δm - дефект массы;

A - полное число нуклонов в ядре, называемое массовым числом;

а.е.м. - атомная единица массы, равная 1/16 массы изотопа кислорода.

Экспериментально найденная зависимость ([17], 196), с позиции теории Единого Космоса **будет иметь полное число нуклонов, равное**

$$A = 112 = 7\sqrt{qq^*} = 8\sqrt{\mu\mu^*} = 4\sqrt{\rho\rho^*},$$

а дефект масс составит величину:

$$\Delta m \text{ а.е.м} \equiv [10^{-2}(112 - 100)^2 - 64] \cdot 10^{-3} \cdot 1/16 \equiv 391 \cdot 10^{-5}. \quad (197)$$

Волновое поле, **полученное как дефект масс** (197), в свою очередь излучает-поглощает одиночные равновесные кванты, а, следовательно, пульсирует по амплитуде:

$$(\Delta m \pm 1) \equiv (390 \pm 1) \cdot 10^{-5}. \quad (198)$$

В окружающей среде возникает разность квадратов потенциалов (198).

$$\int_{(390-1) \cdot 10^{-5}}^{(390+1) \cdot 10^{-5}} \varphi d\varphi \equiv 2 \cdot 390 \cdot 10^{-10} \equiv 13[30 - (-30)] \cdot 10^{-10}.$$

(199)

Из энергии, которую наши физики считают дефектом масс, **ихнии физики построили два полушария головного мозга, пульсирующие с частотой лунного Календаря Майи** и имеющего два изомерических фокуса с потенциалом ± 36 .

Эти (Богиня Луны и Бог Луны цивилизации шумеров), кроме всего прочего **описывают чакру Третий Глаз и вполне заслуженно выразили свои потенциалы в Пирамиде "Вавилонская Башня"** (26).

Два полушария с числом фотонов 10^{-10} приводят к 10^{20} , то есть к числу фотонов в пределах насыщения люминофора по данным С.И.Вавилова.

$$\left| \frac{1}{10^{10}} \Leftrightarrow \frac{1}{10^{20}} \right| \rightarrow \left| 10^{20} \Leftrightarrow 1 \Leftrightarrow 10^{-20} \right|. \quad (200)$$

81. Основы изомерии и её символизм

Изначально источником изомерии является:

- антирезонансное отталкивание или разностный взрыв, придающий участникам взрыва-отталкивания противоположную направленность движения;

Искривление полёта фотон-фононов и электромагнитной среды между ними пульсирующим Космосом:

$$(m_c c^2 = \varepsilon_0 \cdot \mu_0 \cdot c^3 = E_\lambda c^2 = \pi) \cdot \left(\pm \int_0^1 \varphi d\varphi = \pm \frac{1}{2} \right) \equiv (\pi/2 \equiv \omega_0), \quad (201)$$

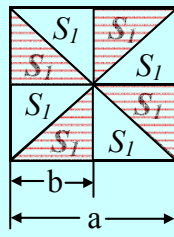
и смены отталкивания притяжением (рис.18).

Символом бесконечности изомерии является ∞ , а эпюра бесконечности описана восемью треугольниками с катетами $b = \sqrt{2}$ и площадями, равными $1 \equiv S_1$, вписанными в основание великой Пирамиды (рис.21).

1. Бесконечность Изомерии



2. Основание великой Пирамиды



$$a = 2b = \sqrt{2}$$

$$S_1 = 1.$$

Рис.21 Символизм
Изомерии, движущей
силы Вселенной
(табл.60)

Эти восемь равновесных состояний проявляют себя в частности в совмещении эллиптических и параболических орбит (табл.61, рис.19), а в общем случае в коэффициенте расширения Вселенной, равном

$$c^3/\omega_0^3 = 8.$$

Каждую из трёх пар орбит эллипс -парабола (табл.60) будут создавать три компонента света (201), формируя колебательный резонансно (ω_0^3) - антирезонансный ($3\omega_0$) контур колебаний:

$$\frac{\omega_0^3}{3\omega_0} = \frac{\omega_0^2}{3} \Leftrightarrow \frac{3}{\omega_0^2} = \frac{3\omega_0}{\omega_0^3} \frac{\text{антирезонанс}}{\text{резонанс}}, \quad (202)$$

где: $\omega_0 4 \Leftrightarrow (9+0) \rightarrow c\omega_0^3 \Leftrightarrow 18$ (вода) \rightarrow
 $c^2\omega_0^2 \Leftrightarrow 36$ (свет) $\rightarrow c^3\omega_0 \Leftrightarrow 72$ (плазма) \rightarrow
 $c^4 \Leftrightarrow 144 \equiv 12^2 \equiv T_0^2\tau^2$ (двойная спираль Зодиака).

По мере спрямления искривлённого Пространства, в котором возникает субструктура (9+0) биоклетки, возникает вода, свет, ядерное вещество (203) и двойная спираль Зодиака (203, табл.61).



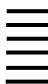
82. Резонанс - антирезонанс. Спираль Зодиака в резонансе Арупы - Рупы

Достигая резонанса, Арупа - Рупа формирует резонансное внутреннее пятиуровневое поле кванта света.

Появление шестого уровня формирует Каплю Ядра с энергетической плотностью ядерного вещества Капле, равной 72 относительным единицам (табл.62).

Таблица 62

Квант Света в резонансной Арупе - Рупе

Поля	Потенциалы		
Арупа - Рупа (резонанс)	$T_0 \cdot \tau = 4 \cdot 3 = 12$		
Внутреннее поле света	$\rho_2 \cdot 1 \cdot 2 \cdot 3 \cdot 4 \cdot 5 = 12$		
Квант в оболочке капли ядра	$\rho_2 \cdot 6! = \gamma_n = 72$		
Зодиак	Цис	Транс	
	6	(-6) =	
	12		
Символ - запись по Книге Перемен	1 	2 	3. 

Многоплановость штрих - записи поля Света в Арупе - Рупе, показанная в Книге Перемен [32], приводит к мысли, что сплошная черта (—) описывает резонанс, а штрих-запись (— —) - антирезонанс (табл.62, табл.61).

При таком подходе антирезонанс (— —) будет формироваться не взаимодействием Ядер, а взаимодействием орбит (табл.63).

Таблица 63

**Ядерно-логарифмическая пульсация
спирали Зодиака**

Поле	Потенциалы
Ядерные реакции	$\rho_1^{-1/2} \Leftrightarrow \rho_3 = 10^{12}$
Логарифмические волны	$3x^2 \pm 2y^2 = 12$
Возмущённая среда	$\pm \int_{y^{-1}}^{y+1} \varphi d\varphi = \pm 2y^2$
Переход от эллипса к параболе	$2x^2 = 8 \quad x = 4 \equiv T_0.$

Ядерно-логарифмическая пульсация фотон - фононов в Арупе - Рупе (табл.63) приведёт к спирали, подобной улитке Паскаля (рис.22, [18]):

$$(x^2 + y^2 = ax)^2 = b^2(x^2 = y^2). \quad (204)$$

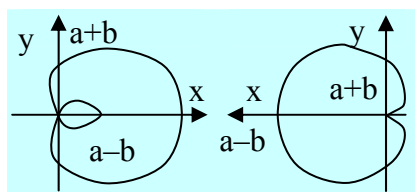


Рис.22 Улитка Паскаля [18]

Природа создаёт такие улитки, которые связаны с двойкой ($a - b = 4 - 2 = 2$) и числами - рядами Фибоначчи, а также с золотым числом 1,618.

83. Религиозные описания энергетических вихрей: христианство и иудаизм

Одно направленность энергетического вихря в нашей Вселенной, где вихрь движется по спирали Улитки от эпицентра ядерных реакций к периферии логарифмических волн, описан в главе 21 Евангелия от Иоанна [5]:

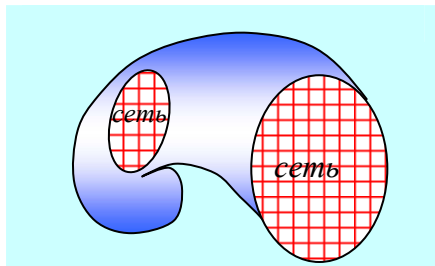


Рис.23 Расположение сетей по сечению Улитки (рис.20).

"6. Он же сказал им: закиньте сеть по правую сторону лодки, и поймаете. Они закинули, и уже не могли вытащить сеть от количества рыбы" (рис.23).

"11. Симон Пётр пошёл и вытащил на землю сеть, заполненную большими рыбами, которых было стоя пятьдесят три; и при таком множестве не порвалась сеть" (рис.23).

В этих Евангельских Текстах даются сведения о максимальном потенциале взаимодействий в Арупе света:

$$(\tau = m_c c + \varepsilon_0 \cdot \mu_0 \cdot c^2 = E_\lambda c = 3) \cdot \lg \left(\frac{\rho_3 \rho_4 \rho_5}{\rho_1 \rho_2} = 10^{51} \right) = 3 \cdot 51 = 153. \quad (205)$$

В свою очередь индуизм связывает сотворение мира живого с четырьмя руками богини Лакшмы, вышедшей из воды и **однонаправленностью Спирали Кундалини** в области расширения.

Такой "общерелигиозный" энергетический вихрь создаёт пульсирующее поле с постоянной взаимодействия 10^2 :

$$\int_{50-1}^{50+1} \varphi d\varphi = 2 \cdot 50 \equiv (50) - (-50) \equiv 10^2 \equiv \rho_5 / \rho_2. \quad (206)$$

84. Пропорции великой Пирамиды и диаграммы Ян-Цинь как векторное описание Единого Космоса

Сведения о структуре Единого Космоса наиболее полно отражены в пропорциях великой Пирамиды (рис.2, табл.16), в которой вершина описывает резонанс самосущих волн ($\sqrt{2} \cdot \sqrt{2} = 2 \Leftrightarrow 10^2$), площадь основания ($a^2 = 8 \equiv 8S_1$) - антирезонанс равновесных состояний (рис.21), апофема ($\ell = 8$) - переход между резонансным и антирезонансным состояниями с формирование сгустков Тянь и Небес - Цинь (рис.24):

$$a^2 = 8 \cdot 8 = 64 \equiv 2^6 \equiv 8^2 \equiv \text{Тянь.} \quad (208)$$

$$a^2 \ell \cdot \left(\pm \int_0^1 \varphi d\varphi \right) = \pm 64 \frac{1}{2} = \pm 32 \equiv \text{Цинь.} \quad (209)$$

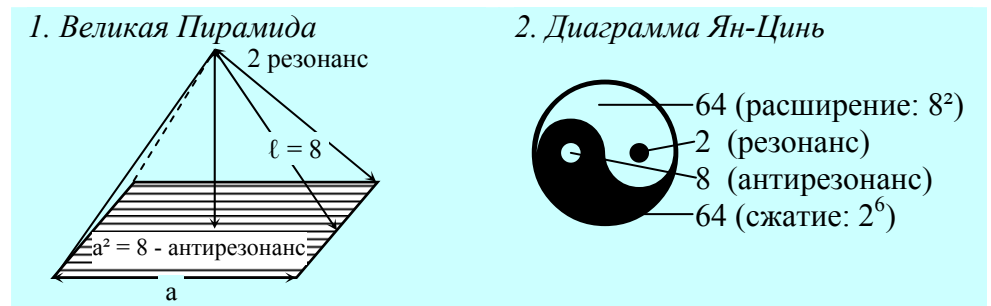


Рис.24 Совместимость пропорций великой Пирамиды
и диаграммы Ян-Цинь (206, 207)

Трёхмерное Пространство как таковое служит связующим звеном между резонансом сжатия и антирезонансом расширения (рис.24):

$$2^3 = 8, \quad (210)$$

где: $3 \equiv \tau \equiv m_c c + \epsilon_0 \cdot \mu_0 \cdot c^2 = E_\lambda c \equiv x + y + z$.

Переход от импульсов света к Энергии света требует шести степеней свободы в трёхмерном Пространстве (рис.24):

$$(T_o \cdot \omega_o / c = 2)^6. \quad (211)$$

Появление в сгустке шести степеней свободы в трёхмерном Пространстве формирует Кундалини и её Производные (табл.64).

Производными Кундалини будут являться энергетические поля с различной степенью упаковки (плотности) энергии в одном и том же объёме Пространства, например в объёме (V_o) кванта света с диаметром $D_o = 1/\pi$:

$$V_o = \frac{1}{6} \pi \cdot D_o^3 = \frac{1}{6\pi^2} \equiv \frac{1}{6} m_c E_\lambda. \quad (212)$$

Различия в плотности энергетической упаковки приводит к шести фазовым состояниям субстанции Вселенной: самосущим волнам, свету, газам, жидким и твёрдым телам, жидкой плазмы.

85. Фазовый состав субстанций Единого Космоса

Формируя Единый Космос, точечный участок волны света сохраняет периодичность $T_o = 4$ на любых уровнях расширяющейся Вселенной (табл.64):

$$(T_o^2 \tau^2 = 144) : (1,8)^2 = 44,(4) \quad \text{при } 4 = T_o, \quad (213)$$

формируя при антирезонансе вихря потенциал в одну пальму:

$$(T_o + \tau = 7) : (T_o = 4) \equiv \rho^* : q^* \equiv \rho : q \equiv \sqrt{\rho \rho^* : q q^*} \equiv \dots 7/4. \quad (214)$$

В поле света точечный участок волны света, вращаясь, формирует фотон ($m_c^{**} = 0,002$) - фонон ($m_c^* = 0,008$), энергетическая плотность которого в объёме кванта света будет равна (212):

Фотон - фононная пульсация в среде самосуших волн	
Режим	В среде $H \equiv T_0 \sqrt{\sin \pi/4} = 2^{7/4}$
Анти-резонанс	$k_1 \equiv (m_c^* - m_c^{**}) \cdot V_0 = 6 \cdot 10^{-3} \cdot \frac{1}{6} m_c E_\lambda = m_c E_\lambda \cdot 10^{-3}$
Резонанс	$k_2 \equiv m_c^* - m_c^{**} \cdot V_0 = 16 \cdot 10^{-6} \cdot \frac{1}{6} m_c E_\lambda = \frac{1}{3} 8 \cdot 10^{-6} m_c E_\lambda$
Объём великой Пирамиды	$k_2 / k_1 \cdot H \equiv \frac{1}{3} 8 \cdot H \cdot 10^{-3} \equiv V_{II} \cdot 10^{-3}$

(215)

Сгущаясь в резонансно-антирезонансном режиме до Капли Ядра (жидкой плазмы) самосушие волны формируют в Едином Космосе пять фазовых состояний субстанции (табл.65).

Таблица 65

Фазовые состояния субстанции Единого Космоса

Фазы	Самосушие волны	Фазовые состояния субстанции				
		Свет	Газы	Жид- кости	Твёрдые тела	Жидкая плазма
Резонанс	$\sqrt{2}^2 = b^2$	$a^2 = 8$	$(2a)^2 = 16^2$	$(4a)^2 = 32^2$	$(8a)^2 = 64^2$	$(128a)^2 = 1024^2$
Анти-резонанс	$\sqrt{2} + \sqrt{2} = a$	$2a^2 = 16$	$4a^2 = 32$	$8a^2 = 64$	$128a^2 = 1024$	$256a^2 = 2048$
Приведённая пульсация	$\frac{b^2}{a} = \frac{1}{\sqrt{2}}$	$\frac{8}{16} = \frac{1}{2}$	$\frac{16^2}{32} = 8$	$\frac{32^2}{64} = 16$	$\frac{64^2}{128} = 32$	$\frac{1024^2}{2048} = 512$
В частях: Дзиан	$\sqrt{2}$	1	16	32 Цинь	64 Тянь	1024 Цинь-Тянь.

В Едином Космосе каждая последующая фаза возникает из возмущенной среды вокруг предыдущей фазы: на этом всеобъемлющем законе происходит в частности и развитие Рас.

86. Магнетизм ядерного вещества

Каждая последующая Раса возникает из среды, возмущённой предыдущей Расой: то, о чём мечтала ушедшая Раса, реализуется её живущей Расой-Потомком (табл.65).

Возмущённая **историческая Память**, формируемая в Дзианах (табл.64), является средой - Создателем фазово-экономических мировоззренческих структур Социума.

Пульсация Дзиан формирует из самосущих волн не только свет, газы, жидкости, твёрдые тела и ядерное вещество (табл.65), но и Космогенезис, Антропогенезис, Теогенезис [3, 4], связь между которыми описана теорией Рас.

Теория Рас, оставленная нам великой Цивилизацией, ничего общего не имеет с расизмом, нацизмом, сионизмом.

Теория Рас великой Цивилизации основана на равенстве всех субъектов Космического Социума, наличии у каждого Субъекта Свободы Воли выбора маршрута в Хаосе Самосущих волн, накопление опыта - памяти в Хаосе движения без знания причинно-следственных связей Единого Космоса, целенаправленное движение вслед света (табл.65).

Знание того, что любой Социум Носителей Разума направит свой маршрут в конечном счёте по пути (а не против) света, позволило великой Цивилизации запрограммировать **Книгу Бытия** шифр - кодом с потенциалом $1 : T_0^2 \cdot 10^{-6} = 62500$, а также дать диаграмму Ян-Цинь (рис.24), где (табл.65):

$$1024 = \frac{1}{2} \int_2^{64} \varphi d\varphi + 1 = 1023+1$$

и

$$\frac{1}{2} \int_8^{64} \varphi d\varphi = 1028 = 14 \cdot 72. \quad (216)$$

В этом поле (216), описанным диаграммой Ян-Цинь, разность потенциалов $1024 - 1008 = 16 = T_0$ является эквивалентом T_0^2 , а 1008 - постоянной Вселенной по водороду, обладающей свойствами ядерного вещества ($\gamma_n = 72$) и магнетизмом ($14 \equiv \sqrt{\mu\mu^*}$).

В поле Ян-Цинь возникает бесконечное множество Форм Энергии:

Формы	Водород	Ядерный магнетизм	Геномы	Солнечно-лунные поля	Вода в Небесах
Потенциал	$1,008 \cdot 10^3 \equiv$	$14 \cdot 72 \equiv$	$63 \cdot 16 \equiv$	$28 \cdot 36 \equiv$	$32 \cdot 18 \frac{7}{4}$

(217)



Всё пришло из Ничего [3, 4], то есть из самосущих волн.

87. Излучение-поглощение: энергетика кода Книги Бытия

Существование сгустков **Небесны Тел** микро-макро миров возможно только при наличии энергии связи между планетарными компонентами сгустка, единство которых с остальными компонентами Космоса описывает диаграмма Ян-Цинь (рис.24, табл.66).

Таблица 66

Пульсация сгустков в Едином Космосе (рис.24)

Символы	Компоненты	Потенциалы
 Зародыш расширение	Сжатый зародыш	$k_1 = \pm T_0 \cdot \omega_0 / c = \pm 2$
	Расширенная волна	$k_2 = \pm c^6 / \omega_0^6 = \pm 64$
 Зародыш сжатие	Расширенный зародыш	$k_3 = \pm c^3 / \omega_0^3 = \pm 8$
	Сжатая волна	$k_4 = (T_0 \cdot \omega_0 / c)^6 = \pm 64$
Колебания Небес Цинь	$\pm 2 \Leftrightarrow \pm 64 \Leftrightarrow \pm 8 \Leftrightarrow \pm 64$ $\pm 1 \Leftrightarrow \pm 32 \Leftrightarrow \pm 32 \Leftrightarrow \pm 4.$	

В диаграмме Ян-Цинь зафиксированы состояния максимума релаксационных колебаний, то есть момент перед изменением формы-направления движения. Поэтому математическое описание релаксационных состояний связано со знаками плюс-минус (табл.66).

Разнонаправленное колебание Небес ($32 \Leftrightarrow -32$, $64 \Leftrightarrow 0$) влечёт за собой появление сгустка Тянь и пятеричной связи ($+4 \Leftrightarrow -1$, $\pm 5 \Leftrightarrow 0$) в Недрах сгустка (табл.66).

*
**

В момент излучение (поглощения) энергии сжатым зародышем, или расширяющимся ядром, в точке - излучателе возникает энергетическое равновесие с интервалом продолжительности, равным T_0 и $1/T_0$ между излучением и поглощением (табл.66):

Пульсация Зародышей	сжатие	расширение	сжатие	расширение
	$2 = T_0 \cdot \omega_0 / c$	$c^3 / \omega_0^3 = 8$	$T_0 \omega_0^4 \Leftrightarrow 1/4$	$c^4 \Leftrightarrow 1.$

(218)

Процессы между сжатием и расширением, между поглощением и излучением имеют Продолжительности с обратными потенциалами:

$$\boxed{\text{Поглощение } 1/T_0 = 1/4 \Leftrightarrow 4 \Leftrightarrow T_0.} \quad (219)$$

Поэтому великая Цивилизация зашифровала Книгу Бытия кодом

$$1 : 10^6 / T_0^2 = 1 : 62500. \quad (220)$$

88. Основы взаимосвязи излучения, насыщения, поглощения

Рассмотрим процессы излучения и поглощения.

Излучением является процесс перехода энергии из точечного участка оболочки в окружающую среду над оболочкой, где энергетическая плотность среды будет уменьшаться вдвое, например:

$$\gamma_n=72 \text{ (плазма)} \rightarrow 36 \text{ (свет)} \rightarrow 18 \text{ (вода)} \rightarrow (9+0) \text{ субструктура. (221)}$$

Поглощение является процесс перехода энергии из точечного участка оболочки во внутреннее поле под оболочкой, где энергетическая плотность среды будет увеличиваться в два раза, например:

$$(9+0) \text{ субструктура} \rightarrow 18 \text{ (вода)} \rightarrow 36 \text{ (свет)} \rightarrow 72 = \gamma_n \text{ (плазма). (222)}$$

Излучение влечёт за собой мультиплетность квантов и волн, подобно расщеплению на спектральные линии; **поглощение вызывает синтез (сгущение) небесно-волновых полей.**

Излучение происходит с внешней стороны оболочки, поглощение с внутренней, а **точки излучения- поглощения разделены между собой интервалами Продолжительности.**

Излучение, как и поглощение, протекает в условиях насыщения точки-излучателя и точки-поглотителя энергией, эквивалентной квадрату первоначальной величины, где энергия насыщения, например $\sqrt{qq^*} \equiv T_0^2 = 16$, имеет возможность трансформироваться в кванты с обратными потенциалами (табл.67).

Излучение - поглощение насыщенными излучателями

Процессы	Излучение	Насыщение	Поглощение
Потенциалы	$c^3/\omega_0^3 = 2^3$	$T_0^2 = 16 \equiv 4 \Leftrightarrow 1/4$	$T_0 \cdot \omega_0/c = 2$
Небеса и Дзиан	$\pm 4 \cdot c^3/\omega_0^3 = \pm 32$ Цинь	$\pm \frac{1}{4} T_0 \cdot \omega_0/c = \left(\pm \int_0^1 \varphi d\varphi = \pm \frac{1}{2} \right)$ Дзиан	
Электри- чество и Тянь	$\pm 32 \int_0^1 \varphi d\varphi = \pm (16 = \sqrt{qq^*})$ электричество	$\pm 32: \int_0^1 \varphi d\varphi = \pm 64$ Сгусток Тянь	
Среда	$2^3 = 8 \rightarrow \int_{8-1}^{8+1} \varphi d\varphi = 16$ излучатель	$2 \rightarrow \int_{2-1}^{2+1} \varphi d\varphi = 4$ излучатель.	

89. Мировое Яйцо с Пентаграммой: фотон - фононы в метане

Рождение и Смерть - две Формы излучения Энергии.

Смерть имеет дуализм излучения: либо душа излучается (поглощается) ядерным веществом, либо душа возносится, то есть излучается в среду над оболочкой.

Дуализм смерти как процесса излучения-поглощения подчёркивается всеми религиозными конфессиями понятиями об Аде и Рае.

Начало представлениям о процессе излучения как о процессе **извечного Рождения** дано в Космогенезисе ([3], Станца I).

"1. Предвечная Мать - Рожающая (излучатель), сокрытая в своих Покровах, Вечно Невидимых (Недра Капли Ядра), ещё раз дремала в продолжении Семи ($T_0 + \tau = 7$) Вечностей".

Речь идёт о том, что при антирезонансе Арупы - Рупы ($T_o + \tau = 7$), называемом **Семью Вечностями**, электрическое поле формирует "пальму" и лунный гравитационный ряд:

$$(T_o + \tau = 7) \cdot (16 \equiv 4 \Leftrightarrow 1/4) \equiv (7 \cdot 4 = 28 \Leftrightarrow 7/4 \Leftrightarrow 7 \cdot 1/7). \quad (223)$$

До мультиплетности электрического поля с потенциалом 15 (табл.66) в Арупе - Рупе был резонансный вихрь, который возмущал окружающую среду до состояния гравитационно-магнитного равновесия:

$$2 \int_{12}^{16} \varphi d\varphi = 112 \equiv 7 \sqrt{qq^*} = 8 \sqrt{\mu\mu^*} = 4 \sqrt{\rho\rho^*}$$

$$\text{при } 12 \equiv T_o \cdot \tau. \quad (224)$$

В этой среде (224) из резонансного вихря фотон - фононов возникала твёрдая фаза в форме углерода с $A_c = 12$, имеющая 6000 фотонов $\equiv 12 : 0,002$ и 1500 фононов $\equiv 12 : 0,008$.

Максимальный резонансный потенциал числа фотон - фононов был равен

$$k = 6000 \times 1500 = 9 \cdot 10^6. \quad (225)$$

Созидание новых форм Жизни использует углеводороды, начало которым даёт метан (CH_4), в котором общее резонансное число фотон - фононов будет равно

$$(k = 9 \cdot 10^6) \cdot (4 \cdot 1/0,002 \cdot 1/0,008 = 25 \cdot 10^4) = 15^2 \cdot 10^{10}. \quad (226)$$

Возникло Яйцо ($9 \cdot 10^6$) с Пентаграммой ($25 \cdot 10^4$) - Мировое Яйцо [3].

90. Самосушие волны - созидательная субстанция для Космической Мысли

Космические Мысли (Липики [3]) смешиваются с самосушими волнами и в объёме Капли Ядра остаются фотоны:

Изомерия	Цис-	Транс-	Разность
$\frac{\text{Липики}}{\text{Самосушие}}$	$\frac{\rho^* = 28 \cdot 10^{20}}{\sqrt{2(T_0 + \tau = 7)}}$	$\frac{-\rho^* = -28 \cdot 10^{20}}{\sqrt{2(T_0 + \tau = 7)}}$	$4\sqrt{2} \cdot 10^{20}$

(227)

Великая Цивилизация описывает поле с потенциалом $4\sqrt{2} = 2a$ как полупериметр основания великой Пирамиды, а С.И.Вавилов установил, что 10^{20} - это число фотонов в пределах насыщения люминофора при переходе от солнечного света к люминесцентному.

При люминесценции фронт волны света поляризуется на угол $\pi/2 \equiv \omega_0$, а пульсация с потенциалом Дзиан продолжается, формируя сжимающиеся и расширяющиеся ветви Кундалини в Яйце с Пентаграммой:

Яйцо с Пентаграммой: Кундалини		Поляризация фотонов: самосушие волны (225)
Сжатие	Расширение	$\pm 4\sqrt{2}\omega_0 \int_0^1 \varphi d\varphi = 10^{20} \equiv \pm \sqrt{2} \pi \cdot 10^{20}$
$\pm(T_0+1) \int_0^1 \varphi d\varphi = \pm 2,5$	$\pm(T_0+\tau) \int_0^1 \varphi d\varphi = \pm 3,5$	

(228)

Космическая Мысль "выдувает" поверхность Капли ядра, в которой удельной единицей Поверхности будет являться треугольник с катетами, равными $\sqrt{2}$ и площадью, равной 1 (рис.21).

Векторным описанием поверхности Капля Ядра будут являться треугольники, расположенные в основании Пирамиды (рис.21), то есть грани Куба и по шести граням Куба:

	Грань Куба		Шесть граней Куба	
Изомерия	Цис-	Транс-	Цис-	Транс-
Поверхности (рис.21).	4S ₁ = +4 Первый Единый S ₁	4(-S ₂)= -4 Второй Единый	24 = 6·4	-24 = -4·6
			Разность ≡ 48.	

(229)

"6. Липики очерчивают Треугольник, Первый Единый (S₁), Куб (48 S₁ = 1), Второй Единый (-S₂ = 1), и Пентаграмму в Яйце (229). Это Кольцо, названное "Не преступи", для тех, кто нисходит (Бог Луны: 4²+3²+2²+1² = 30) и восходит (Богиня Луны: 1²+2²+3²+4² = 30), кто в течении Кальпы продвигается к Великому Дню "Будь с Нами"...([3]. Космогенезис. Станца V).

91. Ядро и его спутники

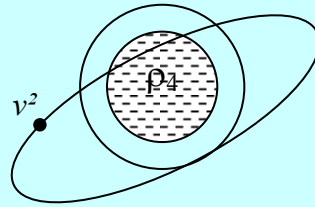
В недрах Капли ядра при реакциях между самосу-щими волнами и фотонами (227) возникают короткодействующие ядерные ($\rho_4 = 10^{14}$) взаимодействия, после которых поля с потенциалом $10^{-7} \equiv \mu_0/4\pi$ создают вокруг ядра магнитные силовые линии (квантованные орбиты), а поля с потенциалом $10^7 \equiv \varepsilon_0 4\pi c^2$ формируют электрическую среду (рис.24):

$$\rho_4 = 10^{14} \equiv 10^7 \Leftrightarrow 10^{-7}, \quad (230)$$

где логарифмические волны являются эквивалентами Арупы - Рупы:

$$\pm \lg 10^7 = \pm 7 = \pm (T_0 + \tau). \quad (231)$$

1. Орбиты вокруг ядра



2. Процессы в оболочке

$$\begin{array}{c} \lg 10^7 \rightarrow \leftarrow \lg 10^{-7} \\ \lg 10^7 \leftarrow \rightarrow \lg 10^{-7} \end{array} \begin{array}{c} -7^2 = -49 \\ 0 \end{array}$$

Рис.25 Структура Капли Ядра

Поглощение логарифмических волн формирует потенциал оболочки, равный -49 (рис.25).

"6...Так были созданы Арупа и Рупа; от Единого Света Семь Светочей (228); от каждого из Семи семижды Семь (то есть 49) Светочей. Колёса охраняют Кольцо" ([3]. Космогенезис. Станца V).

Кольцо - это экваториальная окружность на оболочке Капли Ядра; Колёса - квантованные орбиты спутников (например, электронов и позитронов вокруг ядра Атома).

Между ядром и спутниками ядра возникают центробежные ($j_0 = c \cdot \omega_0 = c^2/2$) и центростремительные ($j = v^2/R$) ускорения (рис.25).

Центробежно-центростремительное равновесие между ядром и его Спутниками возникнет при условии появления лоренцевого сокращения и движения Спутников по законам И.Кеплера:

Движение в поле с ноль-потенциалом			Потенциал поля единица
$\frac{c^2}{2} = \frac{v^2}{R}$	$\pm R \int_0^1 \varphi d\varphi = \frac{v^2}{c^2}$	$\pm R = \frac{v^2}{c^2} (2 = \dots)$	$1 - \frac{v^2}{c^2} \equiv 1 \pm \frac{R}{2} \equiv \dots$

(232)

92. Капля Жизни в Недрах Океана Жизни

Законы всемирного тяготения ($F = m_1 m_2 / r^2$) и Кулона ($F = q \cdot q / r^2$) берут своё начало во взаимосвязи ядра и его спутника (рис.26):

$$F = m_c c^2 / \lambda \cdot E_\lambda v^2 / \lambda = v^3 / \lambda^2 \quad \text{при } \lambda^2 \equiv r^2. \quad (233)$$

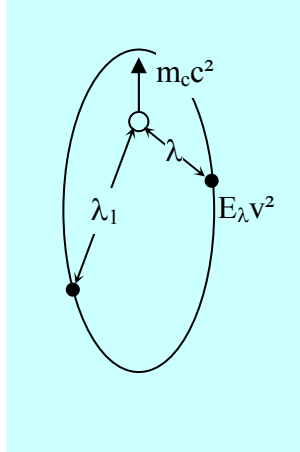


Рис.26 Связь Ядра и Спутника

Золотое число $\Phi = 16/\pi^2$ и правило золотого сечения берут своё начало во взаимосвязи волны-частицы света при частоте света, равной $\gamma = \pi/4 \equiv c/T_0$:

Импульсы	$\frac{m_c c}{E_\gamma v} \Leftrightarrow \frac{E_\gamma v}{m_c c}$	(234)
Энергии	$\frac{E_\gamma v^2}{m_c c^2} \Leftrightarrow \frac{(\lambda \gamma)^2}{\left(\lambda \gamma_0 = \frac{\pi}{4}\right)^2}$	
Золотое Число Φ	$\frac{v^2}{c^2} \Leftrightarrow \frac{16}{\pi^2} \gamma^2$	

В поле с Золотым Числом (234): $v^2 \gamma^2 = 16/\pi^2 \cdot \gamma^2 \cdot c^2$, доминирующую роль играет поверхностная волна, в которой

$$\lambda^2 \equiv 16/\pi^2 \cdot c^2 \equiv \Phi c^2 \equiv 16 \equiv (\sqrt{5}^2 - 1^2)^2. \quad (235)$$

Поверхностная волна λ^2 (233) в полях сгустков формирует известное в архитектуре Золотое Число Φ , а в полях волн их подчинённость правилу Золотого сечения:

$$1 : \frac{\sqrt{5}-1}{2} = \frac{\sqrt{5}+1}{2} : 1 \quad \text{где } T_0 \equiv (\sqrt{5}-1) \cdot (\sqrt{5}+1) = 4. \quad (236)$$

В Золотые волны Единого Космоса прежде всего попадают импульсы волны-частицы света ($m_c c$, $E_\lambda c$) и энергия электромагнитной среды между ними ($\epsilon_0 \cdot \mu_0 \cdot c^2 = 1$).

"4. Трое ($m_{\text{с}} + \varepsilon_0 \cdot \mu_0 \cdot c^2 + E_{\lambda} c = 1+1+1 = 3$) упадают в Четыре ($T_0 = \sqrt{2}^2 \equiv \sqrt{5}^2 - 1 \equiv 4$). Лученосное Естество усмиряется (поля ядерных взаимодействий расщепляются: $\rho_4 = 10^{14} \equiv 10^7 \Leftrightarrow 10^{-7}$). Семь внутри ($\lg 10^7 = 7 \equiv T_0 + \tau$, рис.25), Семь во вне [$\lg 10^{-7} \equiv -7 \equiv (T_0 + \tau)$]. Сияющее Яйцо, в себе Троичное (зародыш Яйца - волны Арупы $\tau = 3$), сворачивается, распространяясь молочно-белыми Сгустками в Глубинах Материи (возникают спирали Кундалини (228), реализуемые в спиралях геномов наследственности, а затем в спирали Зодиака) Корне, растущем в Недрах Океана Жизни ([3]. Космогенезис. Станца III).

93. Пульсация Кундалини в Мировом Яйце: сердце

Пульсация Кундалини не нарушает Триединство Мирового Яйца (рис.27, табл.68).

Таблица 68
Кундалини в Мировом Яйце (рис.26).

Поглощение $\times 10^{20}$ фотонов		Пульсация Кундалини		
Цис-	Транс-	Цис-	Сфера	Транс-
$k_1 =$ $\rho^* \tau \cdot \pi / T_0 =$ 21π	$k_2 =$ $-\rho^* \tau \cdot \pi / T_0 =$ -21π	$k_3 =$ $\pm \int_{2,5}^{3,5} \varphi d\varphi =$ ± 3	$k_4 =$ $\pm \int_{6-2,5^2}^{6+3,5^2} \varphi d\varphi -$ $2 \int_{6-2,5^2}^{6-2,5^2} \varphi d\varphi = 333$	$k_5 =$ $\pm \int_{3,5}^{2,5} \varphi d\varphi =$ ∓ 3
Разность: $\pm(k_1 - k_2) = \pm 42\pi \cdot 10^{20}$ Божества Сердца (Книга Мёртвых)		Пятеричная связь: $\frac{333}{\pm [3 - (-3)]} \equiv \pm 55,5.$		

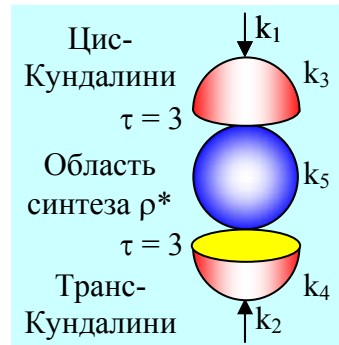


Рис.27 Мировое Яйцо в пульсации

Пульсация Кундалини в Мировом Яйце при поглощении связана с Насыщением Арупы ($\tau = 3$) Космической Мысли ($\pm \rho^* \equiv \pm 28 \cdot 10^{20}$), протекающей с частотой $c/T_0 \equiv \pi/4$ (табл.68).

При таком поглощении потенциалы k_1 и k_2 становятся равными потенциалам полярных излучений над сгустком, то есть $\pm 21\omega_0$, которые формируют биоклетку ($21 = 9+7+5$).

Разность потенциалов поглощённых ($\pm 21c$) - излучённых ($\pm 21\omega_0$) энергетических вихрей наполняет Сердце энергией и заставляет его пульсировать [$\pm 21\pi - (\mp 21\omega_0) = \pm 21\omega_0$].

Эту пульсацию $[(21 - (-21) = 42)\omega_0]$ великая Цивилизация описала в Книге Мёртвых как 42 Божества Сердца.

Пульсация нашего сердца связано с пульсацией Кундалини в поле света, где появляются $k_3 = \pm 3$, $k_5 = \mp 3$ и $k_4 = \pm 333$, возникающая в пределах колебаний $6 + 3,5^2$ и $6 - 2,5^2$, где $3,5^2 - 2,5^2 = 6$, то есть равно Потенциалу Кундалини (табл.68).

Отношение $333/6 = 55,5$ формирует семеричность Единого Космоса (табл.68):

$$55,5 \equiv \int_0^1 \varphi d\varphi + [55 = 1+2+3+4+5+6+7+8+9+10 \equiv (T_0 + \tau = 7) \cdot (1^2+2^2+3^2+4^2+5^2+6^2+7^2+8^2+9^2+10^2 = 385)], (237)$$

где Дзиан продолжает формировать Единый Космос.

94. Шифр к Книге Бытия: время Апокалипсиса в Круге Универсуме

Пульсация Кундалини в Мировом Яйце с потенциалом $k_4 = 333$ направлена в сторону расширения энергетического поля в пределах перехода от $(6 - 2,5^2)$ до $(6 + 3,5^2)$ (табл.68).

При сжатии волн в сгустки приделы изменяются от $6 - 3,5^2 = -6,25$ до $6 + 3,5^2 = 12,25$.

В поле сгустка появляется разность потенциалов втрое меньшая разности потенциалов при расширении ($k_4 = 333$, табл.68):

$$12,25^2 - (-6,25)^2 = 111 \equiv k_6 \quad \text{при } \tau k_6 = k_4. \quad (238)$$

Потенциал 111 пульсирует. Пульсирует по всему спектру **формовщиков как восходящих, так и нисходящих**:

Формовщики [3]. Каждый из нас
Восходящие $\Leftrightarrow 1 \Leftrightarrow 2 \Leftrightarrow 3 \Leftrightarrow 4 \Leftrightarrow$ нисходящие.

(239)

Попыткой объяснить нам, людям, энергетику восхождения-нисхождения проникнута вся религиозная литература (современных религий и мифологических).

Последняя попытка была предпринята Иисусом Христом, но уже с Неба, когда он диктовал **Откровения** Иоанну.

В **Откровениях** Иисус выделил время левизны - правизны, равное $\pm 3 \cdot 10^6$ лет и общее время Апокалипсиса, равное $6 \cdot 10^6$ лет, а также Круг Универсума с потенциалами кратными 1, 2, 3 и 4 ([6], табл.69).

Зная левизну (правизну) времени Апокалипсиса, великая Цивилизация зашифровало Книгу Бытия:

$$6 \cdot 10^6 \text{ лет} / (3,5 + 2,5 = 6) T_0 = 62500. \quad (240)$$

Колебания сред, описанных Кругом Универсумом [6]

Колебания (226)	Разность квадратов	Отношения	Примечания
111 ± 1	$112^2 - 110^2 = 444$	1	110 - Число Богов в Человеке. Книга Мёртвых
111 ± 2	$113^2 - 109^2 = 888$	2	113 - Число Человека. Библия
111 ± 3	$114^2 - 108^2 = 1332$	3	108 - Число реинкарнций
111 ± 4	$115^2 - 107^2 = 1776$	4	$1775/111 = T_0^2 = 16.$

95. Апокалипсис: Память Эго и память о Эго

Космическая Мысль, попадая в цис-транс изомерические оболочки Кундалини - Света (рис.21), начинает вибрировать (вращаться), образуя в поле ядерных взаимодействий полукритические ядерные импульсы:

Синтез Мысли в полушариях Света (Мозга)	
Изомерия	Синтез Мысли
Цис-	$\rho^* \int_0^1 \varphi d\varphi = \frac{1}{2} \rho^*$
Транс-	$\rho^* \int_1^0 \varphi d\varphi = -\frac{1}{2} \rho^*$
Разность	$\left[\frac{1}{2} - \left(-\frac{1}{2} \right) \right] \rho^* = \rho^*.$

(241)

Энергетика синтеза полушарий головного мозга является Подобием синтеза Космической Мысли полушариями Кундалини (рис.21, 241).

В области синтеза Космической Мысли полушариями мозга - Кундалини (рис.21) возникает **ядерный взрыв в точке**, потенциал которого равен $\rho^* r_4 = 28 \cdot 10^{34}$.

После взрыва "**осколки**" в форме волн - частиц разлетаются в противоположных направлениях, образуя поля с дальнедействующими электромагнитными взаимодействиями, эффективность которых равна $\rho_3 = 10^{12} \Leftrightarrow 10^6 \Leftrightarrow 1/10^6$, где $1 \Leftrightarrow 1/10^{12} = 10^{-12} = \sqrt{\rho_1}$ - даёт начало гравитационным взаимодействиям.

Энергетическим эталоном взрыва Мысли является появление дуализма Памяти:

$$\rho^* \rho_1 \equiv 10^2 [\mu^* - (-\mu^*)] \cdot [\rho_3 = 10^6 \Leftrightarrow 1/10^6] \equiv 10^2 \cdot (2\mu^*/10^6 \Leftrightarrow \pm 2\mu^* \cdot 10^6) \quad (242)$$

где: $2\mu^* \cdot 10^{-6}$ - Память вне нас,
 $2\mu^* \cdot 10^6$ - память в нашем Эго.

Память в нашем Эго имеет форму Ауры, которую можно сфотографировать при частотах 10^6 Гц, и она уже известна нам как поле с эффектом Кирлиан [15].

Память о нашем Эго дана в **Откровениях** Иоанна как время Апокалипсиса [6]. Память Создателя о нас мы должны понять сами, зная, что Память формируется в Арупе (табл.70).

Таблица 70

Колебание Памяти: Апокалипсис [6] и Бессмертие

Колебания (238)	Память Эго	Память о Эго	Апокалипсис
$\tau \cdot 2\mu^* (10^6 \Leftrightarrow 10^{-6})$	$\mu^* (6 \cdot 10^6 \Leftrightarrow 6 \cdot 10^{-6})$		$6 \cdot 10^6$ лет.

Ядерная Холокоста, запрограммированная в Книге Бытия на 2006 год - это надежда на пробуждение Памяти иудеев.

96. Тринадцати лунный Календарь Создателя и цивилизации Майя

Биожизнь Человека коротка. Жизнь его души (Эго) - бессмертна, но оба Начала (душа и тело) отсчитывают череду Продолжительностей по 13-ти лунному Календарю Единого Космоса (табл.71).

Таблица 71

Тринадцати лунный Календарь Единого Космоса

Календарь Эго (душа)	Календарь биожизни
Тонкая Энергия Мысли и Воображения	Энергия Материи элементарных зарядов
$K_{\text{Э}} = T_0 \frac{\rho^*}{q^*} \lg \frac{\rho_1 \rho_2}{\rho_3 \rho_4 \rho_5} =$ $4 \cdot 7/4 \cdot (-52) = -28 \cdot 13 = -364$	$K_{\text{Ж}} = T_0 \frac{\rho^*}{q^*} \lg \frac{\rho_3 \rho_4 \rho_5}{\rho_1 \rho_2} =$ $4 \cdot 7/4 \cdot (+52) = +28 \cdot 13 = +364.$

Днём вне Времени является сумма $K_{\text{Э}} + K_{\text{Ж}} = 0,9$ приведённая пульсация рождает Живые Магниты (табл.71).

$$\frac{K_{\text{Ж}} \cdot K_{\text{Э}}}{K_{\text{Ж}} - K_{\text{Э}}} = -14 \cdot 13 = -\sqrt{\mu\mu^*} \cdot 13. \quad (243)$$

Любые сгустки-волны, в том числе и Живые Магниты, существуют в динамике изменяющихся взаимодействий, связанных с Продолжительностями, например

$$10^{13 \pm 1} \equiv \begin{matrix} k_1 \\ \rightleftharpoons \\ k_2 \end{matrix} 10^{12} \equiv \rho_4 \begin{matrix} k_1 \\ \rightleftharpoons \\ k_2 \end{matrix} \rho_3. \quad (244)$$

В поле изменяющихся Продолжительностей возникают короткодействующие гравитационные (ρ_4) и дальнодействующие электромагнитные (ρ_3) взаимодействия.

Коэффициентами перехода между ρ_4 и ρ_3 являются постоянные k_1 и k_2 (244)

$$k_1 = 10^{-1}/10^{+1} = \rho_2/\rho_5 \quad \text{и} \quad k_2 = \rho_5/\rho_2 = 10^2 \quad (245)$$

отражается как колебание биотока силой $J = 10^{-4}$ А и электромагнитной индукции $1/J = 10^4$ 1/А в чакре Третий Глаз, а далее везде.

97. Взаимодействие элементарных частиц со светом. Кундалини

Элементарные частицы Космоса (бозоны, **мезоны**, и так далее) являются носителями слабых взаимодействий и, попадая в поле солнечного света **формируют неравновесную колебательную системы:**

Неравновесные системы		Логарифмические волны
$n = 1$	$\rho_2 = 10^{-1} \Leftrightarrow 10 = \rho_5$	$-1 \Leftrightarrow +1$ $\pm 2 \Leftrightarrow 0$
$n = 2$	$\rho_2/\rho_5 = 10^{-2} \Leftrightarrow 10^2 = \rho_5/\rho_2$	$-2 \Leftrightarrow +2$ $\pm 4 \Leftrightarrow 0$
$n = 1, 2, 3 \dots$	$(\rho_2/\rho_5 = 10^{-2} \Leftrightarrow 10^2 = \rho_5/\rho_2)^n$	$2n \Leftrightarrow -2n$ $\pm 4n \Leftrightarrow 0.$

Появление в неравновесных системах Свет - слабые взаимодействия логарифмических волн (247) приводит к потенциалам, кратным двойке.

Двойка в логарифмических волнах появляется всегда, когда в ядерных процессах начальная эффективность увеличивается до квадрата первоначальной величины и происходит излучение-поглощение:

Поля		Кундалини	Взаимодействия	(248)
Разности квадратов		$\left(1+\frac{1}{2}\right)^2 - \left(1-\frac{1}{2}\right)^2 = 6$	$(2+1)^2 - (2-1)^2 = 2^3 \equiv \mathfrak{c}^3/\omega_0^3$	
Интегральные разности		$\pm \int\limits_{1-1/2}^{1+1/2} \varphi \, d\varphi = \pm 3$	$\pm \int\limits_{2-1}^{2+1} \varphi \, d\varphi = \pm 2^2 \equiv \mathfrak{c}^2/\omega_0^2$	
Витки спирали	Расширение	$3 + 0,5 = 3,5$	Дзиан: $2^3/2^2 = 2 \Leftrightarrow 1/2 = 2^2/2^3$.	
	Сжатие	$3 - 0,5 = 2,5$		

Не понимая Сущности процесса Кундалини во взаимодействиях мы веками использовали ряды Фу-Ба-Начи, по реалии антирезонанса ($2+2 = 4$), резонанса ($2 \cdot 2 = 2^2 = 4$) и Дзиан ($2 \Leftrightarrow 1/2$) оставались за кадром **Осознания** нами Реалий Единого Космоса, хотя великая Цивилизация дала нас Космо-, Антропо- и Теогенезис Книги Дзиан, в которой показан единый ряд перехода от сжатия к растяжению.

$$\omega_0/c \Leftrightarrow c/\omega_0 \Leftrightarrow c^2/\omega_0^2 \Leftrightarrow c^3/\omega_0^3$$

или $1/2 \Leftrightarrow 2 \Leftrightarrow 4 \Leftrightarrow 8.$ (249)

98. Свабхават: электромагнитная индукция Кундалини

Все взаимодействия Единого Космоса взаимосвязаны своими пределами, и их эффективность изменяется от гравитационного до ядерного (табл.72).

Синтез - мультиплетность как связь взаимодействий

Взаимодействия	Эффективности	Синтез-мультиплетность
Гравитационное	$\rho_1 = 10^{-24}$	$10^{-12} \Leftrightarrow 10^{12}$
Переход	10^{-12}	$10^{-6} \Leftrightarrow 10^6$
Электромагнитное	$10^{12} \equiv \rho_3$	$10^6 \Leftrightarrow 10^{-6}$
Переход	10^2	$10 \Leftrightarrow 10^{-1}$
Ядерное	$10^4 = \rho_4$	$10^7 \Leftrightarrow 10^{-7}$

Взаимодействия берут начало в Кундалини за счёт пульсации в полях с потенциалом Дзиан:

Магнетизм Кундалини в Мировом Яйце				
Поле	Кундалини		Кундалини - митоз	
Режим	Расширение	Сжатие	Излучение	Поглощение
Потенциалы	$\frac{3,5}{0,5} = 7$	$\frac{2,5}{0,5} = 5$	$\frac{3,5^2}{0,5^2} = 49$	$\frac{2,5^2}{0,5^2} = 25$
	Магнетизм: $7/5 = 1,4$		Яйцо с Пентаграммой [3].	

(250)

Великая Цивилизация подробно описывает последствия магнетизма Кундалини (250) при формировании Вселенной в Станце III Космогенезиса [3]. Например,

$$\text{"10. Отец } \left(\int_1^0 \varphi d\varphi = -0,5 \right) - \text{Матерь } \left(\int_0^1 \varphi d\varphi = 0,5 \right)$$

прядёт Ткань, верхний конец её (-0,5) прикреплён к Духу (потенциал 0), Свету Единой Тьмы ($\rho_1 = 10^{-24}$, табл.72), а нижний (потенциал 1) к Теневому Краю, к Материи ($\rho_4 = 10^7$), и Ткань эта есть Вселенная (Мировое Яйцо, 250), сотканная из двух Сущностей ($\rho_5/\rho_2 = 10^2 \Leftrightarrow 10^{-2} = \rho_2/\rho_5$), воедино слитых ($10^4 \Leftrightarrow 1 \Leftrightarrow 10^{-4}$), что есть Свабхават"

где Свабхават - это потенциал наполовину ставший логарифмической волной:

$$10^{-4} \cdot \lg 10^4 \equiv 4 \cdot 10^{-4} \equiv T_o \cdot 10^{-4}. \quad (251)$$

В этом поле возникает электромагнитная индукция (246).

99. Пульсация Вселенной: недра Капли ядра - Невесомость

Вселенная пульсирует. В недрах сгустков возникают короткодействующие ядерные ($\rho_4 = 10^{14}$) взаимодействия в Невесомости: дальнедействующие гравитационные ($\rho_1 = 10^{-24}$).

Возникает неравновесная система колебаний Вселенной.

$$\rho_4 : \rho_1 = 10^{38} \Leftrightarrow \rho_4 \cdot \rho_1 = 10^{-20} \Leftrightarrow \rho_1 : \rho_4 = 10^{-38}. \quad (252)$$

В пульсирующую Вселенную попадает Всё, в том числе самосущие волны и свет.

Свет возникает из самосущих волн при сжатии в трёхмерном пространстве ($\omega_o^3/c^3 = 1/8$) лазерного ядерного ($m_c E_\lambda = 1/\pi^2$) вещества.

При выходе из Капли Ядра возникает **антирезонанс фотон-фононов и расширение Трёхмерного Пространства:**

$$\boxed{\begin{array}{c} m_c E_\lambda \cdot \omega_o^3 / c^3 = 1/8\pi^2 \\ \text{Капля Ядра} \end{array}} \Leftrightarrow \boxed{\begin{array}{c} 16/\pi = (m_c + E_\lambda) \cdot c^3 / \omega_o^3 \\ \text{Невесомость} \end{array}} \quad (253)$$

Этот вихрь самосущих волн в поле света (253) **усмиряется и распределяется** (253).

$$1/\pi \text{ (фотон-фонон)} \Leftrightarrow 8 \cdot 16 \equiv 2 \cdot \mathbf{64} \text{ (Тянь)} \equiv 4 \cdot \mathbf{32} \text{ (Цинь)}. \quad (254)$$

Из самосуших волн в отношении 8:4:2 появляется электрическое поле ($16 = \sqrt{qq^*}$), небеса Цинь с потенциалом 32 и сгусток Тянь с потенциалом 64 (254).

Сосуществование электричества, небес и сгустка великая Цивилизация описывает в **Книге Перемен и диаграмме Ян-Цинь**, по которой гадают китайцы.

Мы вместе с китайцами будем гадать до тех пор, пока не проведём подстановку взаимодействий (252) в энергетическую систему света (253):

$$\frac{m_c E_\lambda \omega_0^3 \rho_4}{c_3 \rho_1} = \frac{10^{38}}{8\pi^2} \Leftrightarrow 10^{-38} \frac{16}{\pi} = \frac{(m_c + E_\lambda) c^3 \rho_1}{\omega_0^3 \rho_4} \quad (255)$$

$$\text{Ядерное вещество} \equiv \frac{1}{\pi} \cdot 10^{76} \Leftrightarrow 8 \cdot 16 = 2 \cdot 64 = 4 \cdot 32 = 2^7.$$

Ядерное вещество во Вселенной будет достигать равновесия в окружающей среде Ян-Цинь при условии (255):

$$\frac{1}{\pi} \cdot 5^7 \cdot 10^{69} \Leftrightarrow 1. \quad (256)$$

100. Ядро и окружающая среда. Пирамида и 14 колен Израилевых

Капля Ядра пульсирует, возмущая окружающую среду (256):

Не возмущённая среда		Возмущенная среда	
Ядро	Среда	Среда	Ядро
$\frac{1}{\pi} \cdot 5^7 \cdot 10^{69}$	$\Leftrightarrow 1$	$5^{-7} \cdot \pi$	$\Leftrightarrow 10^{69}$

(257)

Пульсация Ядра искривляет трёхмерное Пространство окружающей среды, образуя в Ядре и среде свободные пятеричные связи (257).

В поле пятеричных связей (257) поступают самосу-
щие волны:

$$5^7 \cdot \sqrt{2}^{14} = 10^7 \Leftrightarrow 10^{-7} \equiv 5^{-7} \cdot \sqrt{2}^{-14}, \quad (258)$$

где: $\sqrt{2} \equiv \text{Csc } \pi/4 \equiv \text{Csc } \pi/4$;

$$\sqrt{2}^{-1} \equiv \text{Sin } \pi/4 \equiv \text{Cos } \pi/4$$

количество поступивших самосуших волн точно со-
ответствует величине произведения элементов Пирамиды
(табл. 16).

$$\sqrt{2}^{14} : \sqrt{2}^{-14} = \sqrt{2}^{28} \equiv \sqrt{2}^{1+2+3+4+5+6+7=28}. \quad (259)$$

Между Недрами Ядра и окружающей её средой воз-
никает **маятниковый эффект колебания самосуших
волн:**

Среда	Ядро		Ядро	Среда
1	$5^7 \cdot 10^{69} \text{ м}_c$	\Leftrightarrow	10^{69}	$5^7 \cdot \pi$
1	$\Leftrightarrow 5^7 \cdot \sqrt{2}^{14} \cdot 10^{69} \text{ м}_c$	\Leftrightarrow	$10^{69} \Leftrightarrow 5^7 \cdot \sqrt{2}^{14} \cdot \pi$	

(260)

Особенностью Колебаний **среда - Ядро (260)** явля-
ется то обстоятельство, что **при переходе к логарифми-
ческому равновесию в самосуших волнах** ($\log_{\sqrt{2}} \sqrt{2} = 1$)
**возникают разноимённо заряженные магнитные заря-
ды - импульсы:**

$$\log_{\sqrt{2}} \sqrt{2}^{14} = 14 = \sqrt{\mu\mu^*} \Leftrightarrow -\sqrt{\mu\mu^*} = -14 = \log_{\sqrt{2}} \sqrt{2}^{-14}. \quad (261)$$

В области ноль-потенциала эти магнитные поля уд-
ваиваются (261):

$$\pm 0 \Leftrightarrow \mp 2 \cdot 14 \equiv 2 \sqrt{\mu\mu^*} \equiv \sqrt{\rho\rho^*}. \quad (262)$$

В течение **"Четырнадцати Колен Израилевых"** магнитные поля достигают квадрата своей величины:

$$\pm 14 \sqrt{\mu\mu^*} = \pm \sqrt{\mu\mu^* \cdot \mu\mu^*} = \mu\mu^*, \quad (263)$$

и формируют **геномы наследственности в мужских сперматозоидах**. Поэтому Библия и говорит: Авраам родил Исаака, Исаак родил Якова... и так далее до 14 колен.

101. "Вдох" самосущих волн ядерным веществом

Сгущение самосущих волн подобно сгущению молока, при сбитии которого на поверхности появляются сливки.

При сгущении Капли Ядра на его поверхности появляется оболочка микро-макро сгустков.

После того, как ядро $10^{76}/\pi$ (255) излучило в окружающую среду квант 2^7 , в ядре осталось, **"То, Что есть"** [3], то есть квант с потенциалом $5^7 \cdot 10^{69} m_c$ (256).

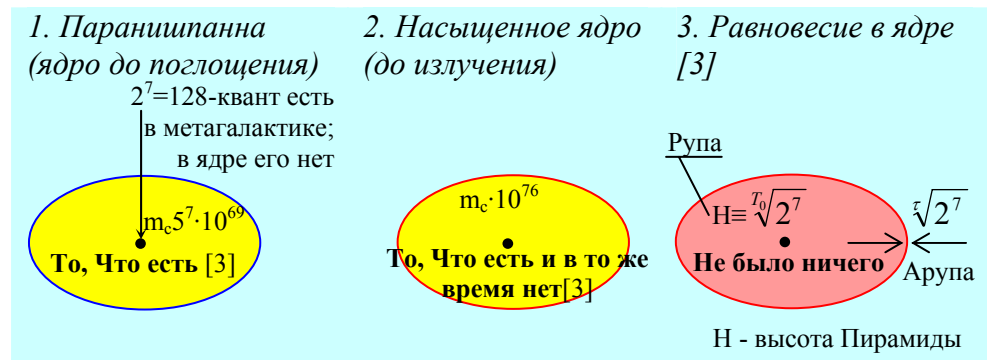


Рис.28 Сгущение самосущих волн в Недрах Капли Ядра

Этот процесс **"дыхания ядра самосущими волнами"** Космогенезис ([3]. Станца I) описывает так (смотри рис.28):

"6. Семь Предвечных Владык ($\log_2 2^7 = 7$) и Семь Истин ($7 = T_0 + \tau$) перестали существовать (Квант - эквивалент Тянь и два Цинь ещё в ядро не поступили, рис.28.1), и Вселенная - необходимости Сын (В Едином Космосе Случайностей нет) - была погружена в Паранишпанну (состояние ядра перед вдохом кванта $\sqrt{2}^7$, рис.28.1), чтобы быть выдохнутой тем, что есть и в то же время нет. Не было ничего" (рис.28.2 и 28.3).

Фраза **"Не было ничего"** описывает состояние, когда ядро "вдохнуло" квант $2^7 = 128$, но ещё не выдохнуло. Такое состояние **"задержки дыхания"** проявляет себя везде и во Всём, например в генах наследственности, заключённых в оболочку головки сперматозоида, в семени любого Живого, ждущего нового рождения в Жизнь.

Такое состояние **"задержки дыхания"** характерно тем, что в Недрах Ядра возникает Рупа ($T_0 = 4$), а в окружающей среде Арупа ($\tau = 3$); появляется разность потенциалов (рис.27.3):

$$\sqrt[3]{128} - \sqrt[4]{128} = \sqrt[7]{2^7} - (\sqrt[7]{2^7} \equiv H). \quad (264)$$

102. Сотворение из самосуших волн Арупы - Рупы Вселенной

Вселенная появляется везде, где при сжатии самосуших волн появляется Свет.

В сжатом до Света поле самосущей волны появляется Рупа ($T_0 = 4$), которую окружает среда Арупа ($\tau = 3$). Этот энергетический комплекс Рупы в Арупе Авторы Книги Дзиан называют **Паранишпанна** (рис.28.3), а его математическое описание связано с неравенством:

Паранишпанна (рис.28.3)			
Не насыщенное ядро		Насыщенное ядро	
Рупа	Арупа	Арупа	Рупа
$H = 2^{7/4}$	$2^{7/3} = h$	$h^3 = 2^7$	$2^7 = H^4$

$\Leftrightarrow \quad \Leftrightarrow \quad \Leftrightarrow \quad \Leftrightarrow$

(265)

Процесс насыщения ядра великая Цивилизация описывала потенциал - эквивалентом высоте (Н) великой Пирамиды (265), а потенциал окружающей среды (h) соответствовал отношению:

$$\boxed{h \equiv 2^{7/12} \cdot H.} \quad (266)$$

Насыщение ядерного вещества самосушими волнами (рис.28) приводит к появлению $h^3 = 2^7$ и $H^4 = 2^7$ (265).

Квант $2^7 = 128 = 64 + 32 - (-32)$ описан в **Книге Премен**, в которой **64** - сгусток Тянь, а ± 32 - потенциал Цинь.

Диаграмма Ян-Цинь отражает нюансы взаимосвязи Арупы - Рупы:

- тёмная волна - это Арупа $h^3/2$;
- светлая волна - это Рупа ядра $H^4/2$;
- чёрный **Зародыш** - это импульс сжатия $\omega_0/c = 2$;
- белый Зародыш - предел расширения импульса света в трёхмерном Пространстве (рис.29).

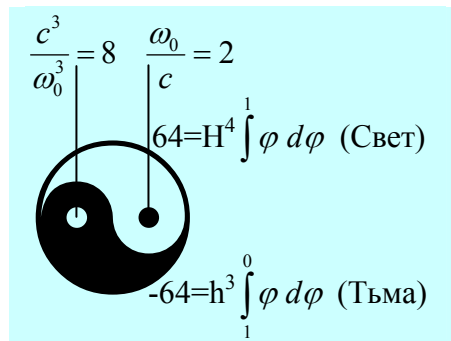


Рис.29 Диаграмма Тянь-Цинь применительно к Арупе-Рупе

Авторы Книги Дзиан констатируют: **"8...Жизнь бессознательная пульсировала в Пространстве Вселенной во всесущности той, что ощущается открытым Глазом Дагма"**, то есть $c^3/\omega_0^3 = 8$. Затем ставится вопрос:

"9. Но где была Дагма, когда Алайя Вселенной была в Параматха, и Великое Колесо было Анупадака?" ([3]. Космогенезис. Станца I).

Вопрос касается насыщения Капли Ядра Живым.

103. Единая Форма Существования Арупы-Рупы

Пределы насыщения Капли Ядра Вселенной великая Цивилизация определила и описала в Станце VII Теогенезиса [4]: **"6. Царь явился сам и сейчас был известен им. "Я - первый" - сказал Он, "и Я - последний, и оба мы одно лицо. Свет пришёл из тьмы. Всё пришло из ничего. Из Смерти пришла вечная Жизнь. Дело сделано".**

Это описание насыщения Капли Ядра самосушми волнами $\sqrt{2}$ (первый) и $c^3/\omega_0^3 \times \sqrt{2} = 8\sqrt{2}$ (последний) уровня живого - бессмертного, великая Цивилизация связала с потенциалом генома 63 и пропорциями великой Пирамиды (рис.2, табл.16):

Живое - неживое в Капле ядра				
Поля	Тянь	Геном 63	Ядро ПСГ (рис.3)	Вытесненные геномы (рис.3)
Потен- циалы	64	$\int_r^L \varphi \, d\varphi = 63$	$(6+9) + (6+9) = 30$	$27+28+35+36 = 126$
Соотно- шения	$64^2-63^2 = 64+63 = 127$		$126 : 30 = 4,2$	
Пояс- нения	1. ПСГ - периодическая система геномов (рис.3); 2. 4,2 - Зародыш Сердца (42 Грозных Божества [7]); 3. $30 = (9+6)+(9+6) \equiv 1^2+2^2+3^2+4^2$ (магнетизм).			

(267)

В поле Арупа-Рупа между средой и Недрами Капли Ядра возникают колебания (рис.28.3, 264):

Ядерные взаимодействия	Логарифмические волны
$H:h \Leftrightarrow H:H \Leftrightarrow h:h \Leftrightarrow hH$ $2^{49/12} \Leftrightarrow 1 \Leftrightarrow 1 \Leftrightarrow 2^{49/12}$	$\log_a \log_a \log_a (H/H = h/h = 1) \equiv \log_a \log_a 0 = \log_a \infty.$

(268)

Логарифмические волны (268) Космогенезис ([3]. Станца I) описывает как Единую Форму Существования.

"8. Лишь Единая Форма Существования, беспредельная ($\log_a \log_a(H/H = h/h = 1) \equiv \infty$), бесконечная ($\log_a \log_a(T_o - \tau = 1) \equiv \infty$), беспричинная ($\Delta E = 0 = \log_a 1$) простиралась, покоясь во Сне, лишенным Сновидений".

Медитируя на уровне Подсознания, мы добиваемся Единой формы Существования в нас Арупы-Рупы.

104. Человек в волнах Космоса

В Космосе две важнейшие Формы Волн: продольные и поперечные.

Продольные волны совпадают с направлением самосуших волн, излучаемых Чёрными Дырами, и угол поляризации их фронта волн соответствует углу поляризации фронта волн света.

Продольные волны обладают сверхпроводимостью и формируют поля Тонкой Энергии, в том числе мысль, память, воображение.

Поперечные волны возникают там, где углы поляризации фронта самосуших волн не равен углу поляризации фронта волны света.

Поперечные волны формируют сгустки, в том числе Человека (табл.73).

Таблица 73

Продольно-поперечные колебания волн Единого Космоса

Волны Колебания	Поперечные	Продольные
В области взаимодействий, $h=2^{7/12}H$ (261)	$H/H \leftrightarrow H/h \leftrightarrow h/H \leftrightarrow h/h$ $2^{-7/12} \leftrightarrow 1 \leftrightarrow 1 \leftrightarrow 2^{7/12}$	$H \cdot H \leftrightarrow H \cdot h \leftrightarrow h \cdot H \leftrightarrow h \cdot h$ $H^2(1 \leftrightarrow 2^{7/12} \leftrightarrow 2^{7/12} \leftrightarrow 2^{7/6})$
Логарифмические $\log_2(2^n \leftrightarrow 1)$	$-7/12 \leftrightarrow 0 \leftrightarrow 0 \leftrightarrow 7/12$ $0 \leftrightarrow 0 \leftrightarrow 0 \leftrightarrow \pm 7/6 \leftrightarrow 7/2(0 \leftrightarrow 0 \leftrightarrow 0 \leftrightarrow \pm 7/6) \equiv 49/12.$	$7/2(0 \leftrightarrow 7/12 \leftrightarrow 7/12 \leftrightarrow 7/6)$

До момента излучения волн сгустком и в момент излучения имеют место обратные потенциалы:

Волны	До излучения	При излучении
Кундалини и плазма	$\frac{7}{6} \Leftrightarrow \frac{49}{12} \rightarrow 1 \mp \frac{7}{2} \Leftrightarrow 0$ Кундалини: $\frac{7}{2} \equiv \log_2 H^2$	$\frac{49}{12} \Leftrightarrow \frac{6}{7} \quad 7^3 \mp 6 \cdot 12 \Leftrightarrow 0$ Ядерное вещество $\gamma_n = 6 \cdot 12$
Сумма и разность	$\begin{matrix} + & k_1 = 1+7/2 = 4,5 \\ & k_2 = 1-7/2 = -2,5 \end{matrix} = 7$	$\begin{matrix} - & k_3 = 7^3+72 = 415 \\ & k_4 = 7^3-72 = 271 \end{matrix} = 12^2$

(269)

При пульсации типа $(\pm 1 \Leftrightarrow 7/2) \equiv (\pm 2 \Leftrightarrow 7)$ возникает двойной результат $(7 - 2 = 5 \Leftrightarrow 0)$ и $(7+2 = 9 \Leftrightarrow 0)$, что влечёт за собой появление Числа Человека:

$$\pm(k_4 - 5 \cdot 9) \int_0^1 \varphi d\varphi = \pm(271 - 45) \cdot 0,5 = \pm 113. \quad (270)$$

105. Наше рождение до Жизни

"1. Познай начало Жизни, чувствующий и вне формы. Вначале Божественный, Единый от Матери-Духа; затем Духовный ([3]. Станца VII).

Вначале самосушие волны - затем свет (табл.74).

Таблица 74

Самосушие волны в поле света

Поля	Самосушие волны: Матерь Духа	Волны света: Духовный
Потен- циалы	$\sin \frac{\pi}{4} = \frac{1}{\sqrt{2}} \Leftrightarrow \sqrt{2} = \operatorname{Sc} \frac{\pi}{4}$ $\operatorname{Csc} \frac{\pi}{4} = \sqrt{2} \Leftrightarrow \frac{1}{\sqrt{2}} = \operatorname{Cos} \frac{\pi}{4}$	$\arcsin(1/\sqrt{2}) = \frac{\pi}{4} = \frac{4}{\pi}$ $[\arcsin(\sqrt{2})]^{-1} \Leftrightarrow \dots$

Самосущие волны переносят свет через Космос Невесомости, а в полях гравитации свет прорастает как цветок лотоса (табл.74).

"Три от Одного, Четыре от Одного и Пять" (табл.75).

Таблица 75

Формирование Арупы-Рупы и пятеричной связи

Поля	Три от Одного	Четыре от Одного	и Пять
Взаимодействия	$10^6=10^3 \Leftrightarrow 1/10^3$	$10^8 \equiv 10^4 \Leftrightarrow 1/10^4$	$10^{10}=10^5 \Leftrightarrow 1/10^5$
Логарифмические волны	$3 \Leftrightarrow -3$	$4 \Leftrightarrow -4$	$5 \Leftrightarrow -5$.

На поверхности Капли Ядра возникает пульсация $T_0 \pm 1$, из которых Три, Пять и Семь ([3]. Станца VII) возникают как результат различных форм взаимодействий:

$$3 \overset{+2}{\underset{-2}{\rightleftharpoons}} 5 \overset{+2}{\underset{-2}{\rightleftharpoons}} 7, \text{ где } 2 = \lg \rho_1 \rho_2 \rho_3 \rho_4 \rho_5 = \dots \quad (271)$$

Возникает пульсация **Нейрона** (271).

Эти суть Троичные и Четверичные в нисходящем порядке (табл.76).

Таблица 76

Гравитационно-магнитные поля

Нисходящие ряды	Троичные	Четверичные	Приведённая пульсация
Гравитация	$3+2+1 = 6$	$4+3+2+1 = 10$	$\frac{6 \cdot 14 \cdot 10 \cdot 30}{6 + 14 + 10 + 30} = 420$.
Магнетизм	$3^2+2^2+1^2 = 14$	$4^2+3^2+2^2+1^2 = 30$	

Первого Владыки рождённые Разумом Сыны, Блισταющие Семь:

$$\frac{\text{Божества Сердца}}{\text{Кундалини}} \equiv \frac{420}{3,5 + 2,5} \cdot \rho_2 \equiv \frac{42}{6} = 7. \quad (272)$$

**"Они и есть Ты, Я, Он, о Лану (ученик), они блю-
дут тебя и твою мать-Бхуми" ([3]. Космогенезис.
Станца VII).**

106. Возможность управления огненным вихрем Воображения

**"1. Первозданные Семь ($\rho_4 = 10^{14} \Leftrightarrow 10^7 \Leftrightarrow 1/10^7$),
изначальные Семь (267) Дыхание Дракона Мудрости
(воображение $q^* = 16 \cdot 10^{20}$), в свою очередь, порождает
своим Священным Кружно - Спиральным Дыханием
Огневой Вихрь ([3]. Космогенезис. Станца V, табл.77).**

Таблица 77

Огневой Вихрь Воображения

Компоненты	Потенциалы
Шифр Библии	$k_1 = 10^6 : (10+6) = 62500$
Воображение в $T_0 + \tau$	$k_2 = 7 \cdot q^* = 112 \cdot 10^{20}$
"Дыхание" Воображения	$10^6/16 \Leftrightarrow 112 \cdot 10^{20}/X$ $X = 16 \cdot 112 \cdot 10^{14} = 112 \cdot T_0^2 \rho_4.$

В этом огневом вихре ядерных взаимодействий, пульсирующих в поле $112 = 7\sqrt{qq^*} = 8\sqrt{\mu\mu^*} = 4\sqrt{\rho\rho^*}$ с периодичностью T_0^2 (табл.77), и гравитационные, и магнитные поля формируют свет (табл.76):

Поля	гравитационное	магнитное
Потенциалы	$10:6 = 1,(6)$	$16:44 = 0,(36).$

(273)

Зная законы формирования Воображения фотон-фононами, можно формировать Эволюцию Цивилизаций, как это сделано с помощью Книги Бытия; не зная законов формирования Воображения можно у Носителя Разума стереть Память, что пытаются сделать специалисты.

Книга Дзиан прямо говорит об управлении Воображением:

"2. Они (вихри, табл.77) делают его (воображение) Вестником своей Воли. Джью (фонон $\equiv 0,008$) становится Фохатом (фотон $\equiv 0,002$); стремительный Сын Божественных Сынов (производные от самосущих волн), чьи Сыны - Липики (мысли $\equiv \rho^* = 28 \cdot 10^{20}$), устремляются в вихре спиральном ($\frac{\rho^* \omega_0}{c}$ (сжатие) \Leftrightarrow (расширение) $\frac{\omega_0^3 \rho^*}{c^3}$).

Фохат есть Конь (Мозг), а Мысль - Всадник подобно молнии пронизывает он тучи огневые. Делает Три, Пять, Семь внизу ($\rho_4 = 10^{14} \equiv 10^7 \Leftrightarrow 1/10^7$). Он возвышает Глас свой и созывает бесчисленные Искры, соединяя их вместе ([3], Космогенезис, Станца V).

107. Пространство и Небеса-Цинь: иммунная защита

Рано или поздно, но любая цивилизация начинает осваивать Космос. Освоение Космоса - неизбежный этап в Эволюции развития Разума. Нынешние Земляне не исключение и мы будем осваивать межзвёздное Пространство, обладающее дуализмом.

В поле гравитации масс межзвёздное Пространство искривлено (рис.30.1). В Космосе Невесомости волны Кундалини летят прямолинейно (рис.30.2).

Импульсы (энергия) Кундалини в искривлённом и не искривлённом Пространстве соизмеримы (рис.30).

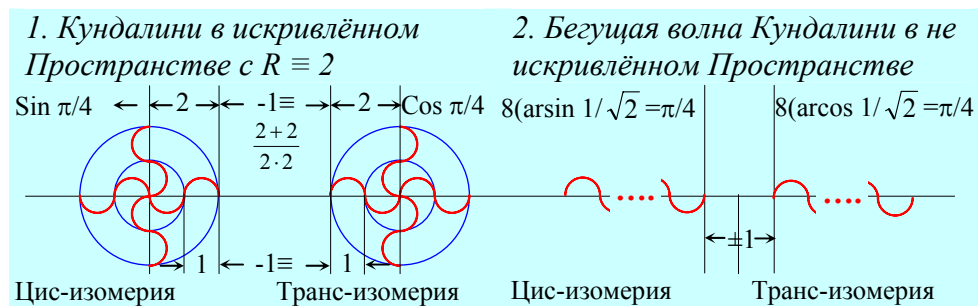


Рис.30 Самосущие волны в волнах Кундалини и Пространства

В искривленном Пространстве, замкнутом до окружности (круга) с потенциалом $R\tau = 2 \cdot 3 = 6$, появляется **восемь Цис- и восемь транзизомеров самосущих волн** (рис.30.1).

В Космосе Невесомости эти волны ($\sin \pi/4$ и $\cos \pi/4$) трансформируются в волны обратных гармонических колебаний ($\arcsin 1/\sqrt{2} = \pi/4$) и ($8(\arccos 1/\sqrt{2} = \pi/4)$) и формируют **Небеса-Цинь**:

Формирование Небес-Цинь в Пространстве Невесомости	(274)
$8(\arcsin 1/\sqrt{2} = \pi/4) \Leftrightarrow (\pi/4 = \arccos 1/\sqrt{2})8 \quad \text{и} \quad 32\pi \Leftrightarrow -32\pi.$	

Небеса-Цинь являются электрической защитой масс - Тянь ($\pm 0 \Leftrightarrow \mp 64 \equiv \mp T_o \sqrt{qq^*}$).

В Живом электрическая защита играет роль **иммунной защиты организма**.

108. Ядерная холокоста: разрушение иммунной системы

Небеса-Цинь пульсируют в резонансно - антирезонансном режиме, возбуждаясь сами и возмущая окружающие среды, например иммунную электрическую защиту масс - Тянь (274).

Иммунная электрическая защита масс - Тянь небеса-Цинь существует в динамике поглощения - излучения во взаимодействиях, например электромагнитных ($\rho_3 = 10^{12}$).

Поглощению - излучению Кундалини (рис.30) сопутствует мультиплетность (расщепление) как небес, так и эффективности электромагнитных взаимодействий (табл.78).

Таблица 78

Влияние небес-Цинь на сгусток Тянь

Поля	Синтез Тянь	Излучение Тянь	Шифр Библии
Потенциалы	$E_\lambda(32\pi \Leftrightarrow -32)$ $\pm 0 \Leftrightarrow \mp 64$	$E_\lambda \pi(32 \Leftrightarrow 1/32)$ $64 \Leftrightarrow 1/16$	$\rho_3 = 10^{12} \equiv (10^6 \Leftrightarrow 10^{-6})$ $\dots \Leftrightarrow 1/16 \cdot 10^6 \equiv 62500$

Пролетая над Землёй, Ю.Гагарин отметил голубизну ноосферы. Сегодня ноосфера ближе к красно-коричневой, что связано с изменением электрической (иммунной) защитой массы-Тянь (Земли) небесами - Цинь.

Изменение ноосферы (Цинь) Земли повлияло на иммунную систему Живого на Земле. Появился СПИД, и в то же время Человек на Земле определил ключ-шифр Библии (табл.78), позволивший расшифровать текст, согласно которому в 2006 году наступит ядерная Холокоста.

Я не знаю, как будут трактовать ядерную Холокосту Каббалисты, любители Мирового Яйца, но знаю, что ядерные воздействия возникнут после перехода ноосферы Земли из голубой области в красную:

$$(10^{7600-4800})^{1/2} = 10^{2800 \cdot 1/2} = 10^{1400} \equiv 10^{14 \cdot 100} \equiv \rho_4^{100}, \quad (275)$$

где: $\lambda = 7600 \text{Å}$ красная, а $\lambda = 4800 \text{Å}$ - сине-голубая волны.

109. Продолжительность и эквивалентность Космических Суток

Количество секунд в одном часе является эквивалентом разности длин волн солнечного белого света в ангстремах, а длина цис-транс резонансной спирали Зодиака, равная 24 относительных единиц, равна 24 часам в одних земных сутках.

Стартовав с Земли в межзвёздное Пространство, человечество будет вынуждено считать **Продолжительность суток по разности длин волн солнечного белого света и спиралям Зодиака** (табл.79).

Таблица 79

**Сутки: эквивалентность длин волн и
Продолжительности**

Космические ориентиры	Спираль Зодиака	Разность длин волн белого солнечного света		Продолжительность суток и длина волны
Потенциалы	$24=12-(-12)$	$\Delta B = 3600 \text{ \AA}$		$24 \cdot \Delta B = 86400 \text{ \AA}$
Продолжительности	24 часа \equiv 1 сутки	1 ч \equiv 60 мин.	1 мин \equiv 60 сек	Сутки в секундах: $24 \cdot 60 \cdot 60 = 86400$.

Земные сутки (и их эквиваленты) характерны скоростью трансформации длин волн солнечного света, равной (табл.78):

$$\nu = 86400 \text{ \AA} : 86400 \text{ сек} \equiv 1 \text{ \AA/сек.} \quad (276)$$

При такой скорости трансформации света (276) **спираль Зодиака распространяется в трёхмерном Пространстве с частотой пульсации, равной потенциалу еврейского бога Айн СОФ** (табл.80).

Спираль Зодиака в трёхмерном Пространстве

Компоненты	Спираль Зодиака		Арупа Пространства	Айн СОФ [1]
Потенциалы	$86400 \text{ Å} \equiv 12^3 \cdot 50$	$86400 \text{ сек} \equiv 12^3 \cdot 50$	$3 \equiv \tau \equiv x+y+z$	$50 \equiv \lg \frac{\rho_3 \rho_4}{\rho_1}$

По шести степеням свободы трёхмерного Пространства

$$(12^3 \cdot 50)^2 \equiv 12^6 \cdot 2500, \quad (277)$$

будет возникать **Живое, соответствующее знакам Зодиака.**

Этими **Символами Животных** великая Цивилизация проведёт **разметку своих Космодромов, как в Южной Америке**

110. Вода: её описание диаграммой Тянь-Цинь

Диаграмма Тянь-Цинь (рис.29) в частности описывает **энергетику воды в динамике.**

Дело в том, что **определение молекулярного веса веществ только по сумме весов атомов, входящих в молекулу, - энергетику молекулы не исчерпывает.**

Так, например, **в пульсирующем энергетическом поле молекул пульсируют и энергии связи между атомами.**

Например в молекуле воды **при антирезонансе** возникают сумма-разность и разность квадратов потенциалов, а **при резонансе** - частное и произведение потенциалов связей между атомами (табл.81).

Расчёт молекулярного веса воды: $2\text{H}_2 + \text{O}_2 = 2\text{H}_2\text{O}$

Режим	Математическое описание	Динамика атомных весов		
Антирезонанс	Сумма атомных весов	$32+4 = 36$ солнечный ряд		
	Разность атомных весов	$32 - 4 = 28$ лунный ряд		
	Разность квадратов	$32 \cdot 28 = 1008$ постоянная Вселенной		
Резонанс	Частное (минимум)	$4/32 = 1/8$	1	1
	Произведение	$4 \cdot 32$	$8 \cdot 4 \cdot 32$	$32^2 - 8^2$
	Частное (максимум)	$8 = 32/4$	8^2	0.

Скорость изменения разности квадратов при антирезонансе и произведение минус единица при резонансе, сопоставляемая с T_0 (табл.81), точно описывается диаграммой Тянь-Цинь (рис.28, табл.81):

Режим	Антирезонанс			Резонанс		
	Диаграмма	\Leftrightarrow	Вода	Вода	\Leftrightarrow	Диаграмма
Постоянные	$\frac{1}{4} \int_8^{64} \varphi d\varphi = 1008 = 36 \cdot 28$			$32^2 - 1 = 1023 = \frac{1}{4} \int_2^{64} \varphi d\varphi$		

(278)

Продолжительность периодичности цикла резонанс-антирезонанс в динамике изменения её свойств будет определяться разностью между постоянными:

$$32^2 - 1008 = 1024 - 1008 = 16 \equiv T_0^2. \quad (279)$$

111. Геномы и шифр-ключ Книги Бытия

Жизнь зарождается в воде (жидких средах).

Механизм зарождения Жизни в жидких средах связан с **резонансом** в пульсирующей воде (табл.81).

$1 \Leftrightarrow 8 \cdot 4 \cdot 32 = 32^2 \Leftrightarrow 8^2$ (Тянь - сгусток)
$0 \Leftrightarrow 32^2 \Leftrightarrow 8^2 - 1 = 63$ (геном - сгусток).

(280)

В жидкой среде возникают сгусток - Тянь и сгусток - геном с потенциалом 63.

Сгусток - геном, как утверждают Станцы Теогенезиса **явился сам** [3] и связан со сгущением самосущих волн в объеме великой Пирамиды (рис.2, табл.16):

$$\text{Геномы} \equiv \int_{r=\sqrt{2}}^{L=8\sqrt{2}} \varphi d\varphi = 63. \quad (281)$$

Эволюция периодической системы геномов изменяет неживое в живое и совершенствует его:

Камень → Металл (неживое) → Растение →

Священные Животные → Ману-Мыслитель (живое)

Великая Цивилизация, проводя исследование и освоение планет Звёздного Неба, **маркирует** их относительно живого-неживого. Например **планета Марс отмечена Пирамидой с барельефом лица в скафандре**, что говорит об отсутствии Жизни на Марсе.

Свои Космодромы на **Земле** (Южная Америка) великая Цивилизация маркировала знаками Зодиака, указывая на наличие Жизни по всей спирали Зодиака.

Пульсация **периодической системы геномов** с периодичностью $T_0^2 = 16$ (281):

$$63 \cdot T_0^2 = 63 \cdot 16 = 1008, \quad (282)$$

полностью зависит от постоянной Вселенной (278).

Великая Цивилизация, зная закономерности пульсации сгустков - Геномов и их зависимость от ментальной энергии, зашифровала судьбы Человечества в Книгу Бытия:

$$\text{Шифр Книги Бытия} \equiv \sqrt{\rho_3} / T_0^2 = 10^6 / 16 = 62500. \quad (283)$$

112. Сгустки и Продолжительность во Взаимодействиях

Сгусток возникает при сжатии волн в момент их короткодействующих взаимодействий (ядерного и слабого):

Зарождение сгустка	Короткодействия	Логарифмические волны
	$\rho_2 \cdot \rho_4 = 10^{-1} \cdot 10^{14} = 10^{13}$	$\lg 10^{13} = 13$ - Лунный Календарь. (284)

Сгусток пульсирует в ритме 13-лунного гравитационного поля (284), формируя, например, периодическую систему химических элементов, последним в которой является инертный радиоактивный газ X^{112} , имеющий 14000 фотонов $m_c^* = 0,008$ (275):

$$112:(m_c^* = 0,008) = 14000 \equiv 7600 - 4800 \equiv 2800 \cdot 0,5. \quad (285)$$

Начало формирования сгустка связано с волнами красно-белого света ($\lambda = 7600 \text{ \AA}$) и сине-голубого перехода в области $\lambda = 4800 \text{ \AA}$, например в чакре Третий Глаз:

Происхождение красной, белой, синей, жёлтой недель в 13-ти лунном Календаре Майя				
Цвет	Красно-белый	Сине-голубой	Лунно-жёлтый	Сороковица
Длина волны, \AA	$\lambda = 7600$	$(4800 = \lambda)$	$\equiv 2280:(\Delta J - 70) =$	40.

Эффективность взаимодействий в поле короткодействия достигает потенциала ρ_4^{100} (274) и ядерные взаимодействия расщепляются (табл.82).

Мультиплетность как начало логарифмических волн

Взаимо- действия	Гравитационные		Электромагнитные		Ядерные	
Мульти- плет- ность	$10^{-24} \equiv 10^{-12} \Leftrightarrow 10^{12}$		$10^{12} \equiv 10^6 \Leftrightarrow 10^{-6}$		$10^{14} \equiv 10^7 \Leftrightarrow 10^{-7}$	
Лога- рифми- ческие волны	$\lg 10^{\pm 12} = \pm 12 \equiv \pm T_0 \tau$		$\lg 10^{\pm 6} = \pm 6 \equiv \pm (3,5+2,5)$		$\lg 10^{\pm 7} = \pm 7 \equiv \pm T_0 + \tau$	
Режимы и потен- циалы	Резонанс	Антире- зонанс	Резонанс	Антире- зонанс	Резонанс	Антире- зонанс
	$-2 \cdot 12 \equiv -12^2$	$\Sigma = 0;$ $\Delta = \pm 24$	$-6 \cdot 6 \equiv -6^2$	$\Sigma = 0;$ $\Delta = \pm 12$	$-7 \cdot 7 \equiv -7^2$	$\Sigma = 0;$ $\Delta = \pm 14$
Приме- чания	Спираль Зодиака	Святой Дух	Свет Кунда- лини	Спираль Кунда- лини	Обо- лочка	Магне- тизм.

В антирезонансном поле Арупы-Рупы возникает 1 год = 364 дням:

$$1 \text{ год} = \pm 364 \text{ дня} \equiv \pm (T_0 + \tau) \cdot \lg (\rho_3 \rho_4 / \rho_1 \rho_2)^{\pm 1}. \quad (287)$$

113. Сгусток с Числом Человека в небесах Цинь

Зародыш любого сгустка возникает в режиме резонанса (слияния) самосущих волн (табл.81).

При переходе между **Гармонией** (потенциал единица) и **Хаосом** (потенциал ноль) в резонансном сгустке появляется разность квадратов потенциалов, равная (табл.81).

Гармония	Цинь-Тянь	Хаос
1	$\Leftrightarrow 32^2 - 8^2$	$\Leftrightarrow 0.$

(288)

где $8^2 = 64$ - потенциал сгустка Тянь;
 32^2 - резонанс полусфер небес-Цинь.

Между Хаосом и Гармонией поле Тянь-Цинь пульсирует за счёт мультиплетности разности квадратов потенциалов Цинь-Тянь (288).

Сгусток Тянь под резонансом небес - Цинь		
Гармония	...и разверзлись Хляби Небесные...	Хаос
1	$32^2 - 8^2 \equiv (32+8) \cdot (32-8) \equiv 40 \cdot 24 \equiv \dots \equiv 8^2 \cdot 5 \cdot 3$, где $8^2 \equiv \sqrt{2}^{12}$, а $5 \cdot 3 \equiv (T_0+1)(T_0-1)$, и $8^2 \cdot 15 = 960$.	0

(289)

Отношение потенциалов (289, табл.81):

$$1008:960 \equiv 21:(20 \equiv \Delta K/\Delta J \equiv 1400\text{\AA}/70\text{\AA}), \quad (290)$$

формирует полярные вихри с потенциалом ± 21 в красно-жёлтой области спектра света (283), а разность $1008 - 960 = 48$ - с полем возбуждённой среды (24 ± 1 , где $(25^2 - 23^2):2 = 48$), источником колебаний которых становится Святой Дух с потенциалом 24.

При наличии в среде потенциала - эквивалента пальме, Святой Дух трансформируется в 42 Божества твоего Сердца ($24 \cdot 7/4 = 42$); Третий Глаз открывается и мы идём по пути Эволюции к Человеку Воли и Йоги.

Эволюция на пути Космогенезис - Теогенезис - это путь через Гармонию и Хаос:

Хаос - Гармония	Гармония	Хаос
$1 \Leftrightarrow 960 \Leftrightarrow 0$	$1 \Leftrightarrow 959 \Leftrightarrow -1$	$0 \Leftrightarrow 961 \Leftrightarrow 0.$

(291)

где Число Человека 43 и потенциал Цинь 32 взаимосвязаны:

$$\tau \cdot 960:1008 = 320/113. \quad (292)$$

114. Ядерная Холокоста: компонент пульсации Вселенной

Сгусток взрывается при ядерных взаимодействиях (ρ_4) и осколки сгустка в форме фотон-фононов ($m_c^{**} \Leftrightarrow m_c^*$) разлетаются в Пространстве, формируя дальнедействующие гравитационные взаимодействия (ρ_1).

Ядерно-гравитационные взаимодействия формируют полярные вихри с потенциалами ± 21 и энергией пятеричной связи с потенциалом 25.

Формирование полей с потенциалами $21 \cdot 25 = 525$ происходит в полях антирезонансно-резонансной Арупы - Рупы (табл.83).

Таблица 83

Пятеричная связь пост - ядерного взрыва

Поля	Ядерный взрыв	Гравитационное удаление	Энергия пятеричной связи
Мультиплетность взаимодействий	$\rho_4 = 10^{14} \equiv 10^7$ $\Leftrightarrow 1/10^7 = 10^{-7}$	$\rho_1 = 10^{-24} \equiv 10^{-12}$ $\Leftrightarrow (1/10^{-12} = 10^{12})$	1. $k_1: k_2 = 28:12$ - гравитация спирали Зодиака.
Компоненты света	Фононы: $m_c^* = 0,008$	Фотоны: $m_c^{**} = 0,002$	2. Приведённая пульсация:
Свет в логарифмических волнах	$k_1 \equiv m_c^* \cdot 10^{\pm 7} \equiv 0,008 (\pm 7) \equiv \pm 0,056$	$k_2 \equiv m_c^{**} \cdot 10^{\pm 12} \equiv 0,002 (\pm 12) \equiv \pm 0,024$	$\frac{k_1 \cdot k_2}{k_1 - k_2} \equiv 525 \cdot 10^{-3} \equiv 21 \cdot 25 \cdot 10^{-3} \equiv 21:80.$

Великая Цивилизация зашифровала неизбежность ядерного взрыва в **Книге Бытия как ядерную холокосту в 2006 году**, имея в виду, что мировоззрение синайских семитов станет ближе к пониманию законов Единого Космоса. Например, до них дойдёт, что великая Цивилизация связывала Мировое Яйцо с ядерными взрывами в микро-макро сгустках (табл.83).

$$(k_1^2-k_2^2)\cdot\lg \rho_1\rho_2\rho_3\rho_4\rho_5\times10^5=1024\equiv\left[\left(\int_2^{64}\varphi\,d\varphi\right):4\right]+1,\quad(293)$$

и описывала эти поля за тысячелетия до иудеев в диаграмме Тянь-Цинь (рис.29).

Наличие ядерного взрыва и пятеричной связи в Пространстве пост-взрыва проявляет себя в смене притяжения - отталкивания.

115.Реалии Божеств Книги Мёртвых: короткодействия

Переход одной формы Энергии в другую может проходить только в области короткодействующих взаимодействий (ядерного и слабого), логарифмические волны от которых имеют потенциалы -1, 14, 13, ±15 (табл.84).

Таблица 84
Короткодействия и начало формирования Вселенной

Волны поля	Короткодействия	Логарифмические волны	Разности квадратов	Примечания
Потенциалы короткодействия	$(\rho_4:\rho_2)^{\pm1}=10^{\pm15}$	$k_4=\pm15$	$14^2+13^2=365$	Число дней в году
	$\rho_2:\rho_4=10^{13}$	$k_3=\pm13$	$+14^2-13^2=27$	$m_0\equiv2,7\approx e$
	$\rho_4=10^{14}$	$k_2=\pm14$	$15^2-14^2=29$ +	Полушария мозга
	$\rho_2=10^{-1}$	$k_1=-1$	$15^2-13^2=56$	$\pm112\int_0^1\varphi\,d\varphi$
Электро-гравио-магнетизм: сумма $\equiv112\equiv7\cdot16\equiv8\cdot14\equiv4\cdot28$.				

В поле короткодействия логарифмических волн возникает потенциал - эквивалент 42 Божествам твоего сердца, а затем 58 Божеств Головы (табл.85).

**Божества Книги Мёртвых:
потенциалы короткодействия (табл.84)**

Божества	42 - Сердца	58 - Головы	10 - Шеи	Дракон Мудрости (биоток)
Формирование потенциалов	$k_2+k_3+k_4 =$ $14+13+15 =$ 42	$2(k_2^2+k_3^2)=$ 2·29 = 58	$\sqrt{42+58} \equiv$ $\sqrt{100} \equiv$ 10	$42-58 =$ -16 \equiv $-\sqrt{qq^*}$.

Дракон Мудрости по своей физической сущности является электрическим биотоком, включающим в себя **Воображение**.

День Дня Дракона Мудрости приходится на 23 февраля по григорианскому календарю. Это день моего рождения и **День защиты Отечества в России**.

От кого должна защищаться Россия?

Напрягите Воображение. Сопоставьте факты. И вы ясно увидите врагов Ваших: **всадников на золотом тельце**.

**116. Космос и мозг:
взаимотрансформация фотон-фононов**

Шумеры, создавая научно-технический прогресс своего социума, также как и Даосская Цивилизация (табл.85), опиралась на свет, обожествляя Число 30 и применяя систему счисления, в которой одна относительная единица соответствовала 60 [1].

Основой древнейших цивилизаций Даосян и Шумеров был закон сохранения энергии фотон-фононов при их взаимной трансформации. **При переходе от самосуших волн вечной тьмы к лазерной плазме ядерного вещества фотон - фононы не исчезают, но взаимотрансформируются** (табл.86).

Взаимотрансформация фотон-фононов в среде

Поля	Самосущие вол-ны вечной тьмы		Жидкая плазма ядерного вещест-ва		Система Счисле-ния Шумеров [1]
Свет	фотон	фонон	фонон	фотон	$(m_c^*)^2-(m_c^*)^2\equiv 60\cdot 10^{-6}$, где 1 отн.ед. $\equiv 60$
Потенци-алы $\times 10^{-3}$	$m_c^{**}=$	$m_c^{*}=$	$m_c^{*}=$	$m_c^{**}=$	
	2	8	8	2	
Солнечный свет	$\Delta B\cdot\rho_3=(60\cdot 10^{-6})^2\equiv 3600\cdot 10^{12}$				
Лунный свет в поле ρ_1	$\Delta\lambda\cdot\rho_1=\pm\left(60\cdot\int\limits_0^1\varphi\,d\varphi\cdot 10^{-6}\right)^4=\pm 30^4\cdot 10^{-24}=\pm 81\cdot 10^{-20},$ <p style="text-align: center;">где $\Delta\lambda.=810000$ при $\rho_1=10^{-24}$.</p>				

В поле лунного света с периодичностью $\tau^{T_0} = 81$ возникает потенциал 10^{-20} (табл.86), **определяющий ёмкость люминофоров в пределах насыщения люминофора светом.**

Ёмкость пределов насыщения люминофора заполняют 10^{20} фотонов, **определённых С.И.Вавиловым** в его работе по люминесценции.

При заполнении люминофора фотонами

$$(81 \cdot 10^{-20} \times 10^{20} = 81 = \tau^{T_0})$$

возникает **Арупа - носитель Рупы.**

Разность между потенциал - эквивалентом 110 Божеств в Человеке и Арупой - Рупой, формирует полушария головного мозга:

$$\pm(110 \text{ Божеств} - 81 \text{ Арупа-Рупа} = 29 \text{ Полушария}). (294)$$

117. Наше Эго в гравитационно-электромагнитном дальнодействии

Полушария головного мозга пульсируют (29 ± 1), формируя три квантованных потенциала, обожествленных ещё шумерами, и вызывающих поклонение современных магов - почитателей Луны (табл.87).

Таблица 87

Мозг в подлунном Космосе

Поля	Полушария мозга		Космос		Умняющий мозг
	левое	правое	Луна	Гравитация	
Пульсация	29 ± 1	29 ∓ 1	± 30	± 28	$30^2 - 28^2 = 4 \cdot 29$

Пульсация мозга увеличивает эффективность полушария в четыре раза, а двух полушарий в восемь раз, что указывает на **синхронность работы мозга и расширяющейся Вселенной** (табл.87).

гравитационное поле:
 $\rho_1 = 10^{-24} \equiv 10^{-12} \Leftrightarrow 10^{12}$
 $m_c^* \Leftrightarrow m_c^* \text{ свет}$
 $\rho_3 = 10^{12} \equiv 10^6 = 10^{-2}$

Рис.31 Фотон-фононы
в гравитационно-
электромагнитном
дальнодействии

Пульсация Мозг \Leftrightarrow Вселенная протекает между короткодействующими взаимодействиями в области гравитационно - электромагнитных взаимодействий (рис.31), где возникают колебания:

$$\frac{m_c^*}{\rho_1} \equiv \frac{8 \cdot 10^{-3}}{10^{-24}} \Leftrightarrow \frac{10^{12}}{2 \cdot 10^{-3}} \equiv \frac{\rho_2}{m_c^{**}} \quad (295)$$

$$T_0^2 \equiv 16 \Leftrightarrow (10^{12} \equiv 10^6 \Leftrightarrow 10^{-6}) \quad (296)$$

При такой пульсации (296) квадрат периода вращения точечного участка волны света является эквивалентом электрического поля ($16 = \sqrt{qq^*}$).

Компоненты электрического поля q и q^* являются завершением формирования **Живых Магнитов**, в том числе души и тела каждого из нас.

Энергетика селекционной работы над нами связана с неравенством (296):

$$1 \Leftrightarrow 10^6:16 = 62500 \Leftrightarrow 10^{-6}:16 = 62500 \cdot 10^{-12}, \quad (297)$$

где 62500 - шифр Книги Бытия, а у нас - **Свобода Воли** с потенциалом $625 \cdot 10^{-10}$.

118. Фотон-фононы во взаимодействии Вселенной

Проявление **Свободы Воли** связано с использованием на первом этапе тонкой ментальной дальнедействующей (табл.87) энергии **Мысли** (Мировоззрения), а лишь затем короткодействия **Поступка**.

Короткодействия ядерных и слабых взаимодействий протекает в неравновесных колебательных системах с участием фотон-фононов:

Формула	Потенциалы короткодействия
$\frac{m_c^*}{\rho_4} \Leftrightarrow \frac{\rho_2}{m_c^{**}}$	$m_c^* \cdot m_c^{**} = 16 \cdot 10^{-6} \Leftrightarrow 10^{13} \equiv 10^{14} \cdot 10^{-1} = \rho_2 \cdot \rho_4$ (298) $1 \Leftrightarrow 625000 \equiv 5^4 \cdot 10^3 \equiv 8 \cdot 5^8$.

При короткодействии, то есть тогда, когда ментальная энергия Мысли, связанной со Свободой Воли, переходит в физический поступок, шифр-ключ Книги Бытия увеличивается в 10 раз (298). **Поступок требует усилий, а фотон - фононы связаны со всеми пятью формами взаимодействий тончайшей энергетической "Нитью Ткани"** (табл.88).

**Пятеричная связь самосущих волн
как источник Вселенных**

Поля		Эндотермия	Короткодействия	Экзотермия	Свет-электро-магнетизм
Колебания в Продолжительности T_0^2		$\frac{m_c^*}{\rho_1} \Leftrightarrow \frac{\rho_2}{m_c^{**}}$ $16 \cdot 10^{-6} \Leftrightarrow 10^{-25}$ $16 \Leftrightarrow 10^{-19}$	$\frac{\rho_2}{m_c^{**}} \Leftrightarrow \frac{m_c^*}{\rho_4}$ $16 \cdot 10^{-6} \Leftrightarrow 10^{13}$ $16 \Leftrightarrow 10^{19}$	$\frac{m_c^*}{\rho_4} \Leftrightarrow \frac{\rho_3}{m_c^{**}}$ $16 \cdot 10^{-6} \Leftrightarrow 10^{26}$ $16 \Leftrightarrow 10^{32}$	$\frac{\rho_3}{m_c^{**}} \Leftrightarrow \frac{m_c^*}{\rho_5}$ $10 \cdot 10^{13} \Leftrightarrow 10^6$ $10^{19} \Leftrightarrow 16$
Колебания	1	$16^2 \cdot 10^{-6} \Leftrightarrow 1 \equiv 10^{-19} \cdot 10^{19}$			$16^2 \Leftrightarrow 10^{48} \equiv 10^{32} \cdot 10^{19}$
	2	$16^4 \equiv \sqrt{2}^{32} \Leftrightarrow 10^{48} \cdot 1 \equiv \sqrt{2}^{32} 5^{16} \cdot 10^{32}$			
	3	$1 \Leftrightarrow 5^{16} \cdot 10^{32} \equiv \sqrt{2}^{64} 5^{48}$			
Логарифмические волны		$112 \equiv \log_{\sqrt{2}} \sqrt{2}^{64} + \log_5 5^{48} = 64 + 48 \equiv 7 \cdot 16 \equiv 8 \cdot 14 \equiv 4 \cdot 28.$			

При 112 возникает гравито-электромагнетизм и формируется Периодическая Система Химических Элементов.

119. Колебания Вселенной взрывами

При взрыве Ядра **объём** лазерной точки трансформируется в **поверхностную волну**; при сжатии **поверхностная волна** трансформируется в **объём** (табл.89).

**Взрыв - сгущение лазерной ядерной точки
в Пространстве**

Форма Энергии в Пространстве $D_0 \equiv 1/\pi$	Перед взрывом Объём лазерной точки D_0	Взрыв: Поверхность сферы с D_0	После взрыва: Объём сгустка (шара) с D_0
Потенциалы	$V_{\text{я}} = \frac{\pi}{6} D_0^3 \equiv \frac{1}{6\pi^2}$ $E_{\lambda}/6$	$Q = \pi D_0^2 = 1/\pi \equiv m_c \equiv E_{\lambda}$	$V_c = \frac{\pi}{6} D_0^3 = \frac{1}{6\pi^2}$ $\varepsilon_0 \cdot \mu_0 / 6.$

"5. У Порога Четвёртого (Рупа, $T_0 = 4$) Сынам ($E_\lambda = 1$, $m_{cs} = 1$, $\varepsilon_0 \cdot \mu_0 \cdot c^2 = 1$) указано создать свои Подобия. Одна треть ($\varepsilon_0 \cdot \mu_0 \cdot c^2 = 1$) отказывается. Две ($m_{cs} = 1$ и $E_\lambda = 1$) повинуются.

Проклятие произнесено (взрыв произошёл, табл.89); они будут рождены в Четвёртой, страдать и приносить страдание. Первая Война зародилась. ([3]. Космогенезис. Станца VI).

Далее объясняется: "6..., и Битвы велись за Пространство. Семя рождалось (расширение: $c^3/\omega_0^3 = 8$) и вновь появлялось беспрестанно (табл.90).

Таблица 90

Колебания Космоса взрывами

Поля	Перед взрывом		Взрыв		После взрыва	
	экзотер- мия	расши- рение	расши- рение	сжатие	эндотер- мия	сжатие
Потен- циалы	$\rho_3 \rho_4 = 10^{26}$	$c^3/\omega_0^3 = 8$	8	\Leftrightarrow 1/8	$\rho_1 \rho_2 = 10^{-25}$	$\omega_0^3/c^3 = 1/8$
Колеба- ния	$K_1 = V_y \cdot 10^{26} \cdot 8 = \frac{8 \cdot 10^{26}}{6 \pi^2}$		$K_1 \Leftrightarrow K_2;$ $8 \cdot 10^{26} \Leftrightarrow 1/8 \cdot 10^{-25}$		$K_2 = V_c \cdot 10^{-25} \cdot 1/8 = \frac{10^{-25}}{48 \pi^2}$	

Взрывная волна сгущается, образуя Тянь (табл.90):

$$8^2 \cdot 10^{50} \Leftrightarrow 10^{-1} \equiv \rho_{21} . \quad (299)$$

На сгустке Тянь происходит повышение энергетической плотности: **"5...После трёхсот миллионов лет она (Земля) стала круглой"** ([3]. Антропогенезис. Станца II), а затем в течение $6 \cdot 10^6$ лет наступает Апокалипсис [6]:

$$3 \cdot 10^8 \text{ лет} : 3 \cdot 10^6 \equiv 10^2 \equiv \rho_5/\rho_5. \quad (300)$$

120. Солнечный гелий и Божественный Человек

Мы спорим, есть ли Бог или Его нет. Великая Цивилизация говорит о Боге как о Божественном Человеке: **"3...И эти суть Естества, Племена, Начала, Строители, Числа, Арупа, Рупа и Сила или же Божественный Человек - Сумма всего..."** ([3]. Антропогенезис. Станца II).

Космос должен быть наполнен Разумом, а не только контрактниками и призывниками в горячих точках.

В горячих точках при их охлаждении рождается 112 химических элементов (табл.88), у которых в плазме ядерного вещества появляется группа инертных газов (табл.91).

Таблица 91

Электроны инертных газов и Число Человека с биочасами

элементы	Гелий He	Неон Ne	Аргон Ar	Криптон Kr	Радон Rn	Ксенон Xe	112-ый X ₁₁₂	Колебание
Число электронов	2	10	18	36	54	86	112	112±2
Число Человека	$\int_{112}^{112+2} \varphi d\varphi \equiv \frac{1}{2} \int_{112}^{114} \varphi d\varphi = \frac{1}{2} (114^2 - 110^2) \equiv 113$							$\int_0^1 \varphi d\varphi$ 13 биочасы.

После того как **создание периодической системы химических элементов завершится** формированием 112-го элемента (**инертного радиоактивного газа**), между гелием и последним элементом возникнет возбуждённая среда, потенциал которой в поле Дзиан будет равен библейскому Числу Человека, то есть 113 (табл.91).

Своё Счисление великая Цивилизация проводила в пальмах, где 112 соответствовало 64 пальмам, а 2 - отношению магнитного поля к электрическому:

Гелий (пальмы)	X_{112} (пальмы)
$2 : \frac{7}{4} \equiv \frac{8}{7} = \frac{\rho\rho^*}{\mu\mu^*} = \frac{32}{28}$	$112 : \frac{7}{4} = 64$ - сгусток Тянь.

(301)

Возникает Жизнь и её венец - Божественный Человек.

121. Расширяющаяся Вселенная в полях Пятеричной Связи

Инертные газы инертны только в мало энергоёмких окислительно-восстановительных (или иных логарифмическо-волновых) процессах. **В ядерных процессах инертные газы активны.**

Активность инертных газов в ядерных процессах **объясняется** и то, что гелий был сначала обнаружен на Солнце (Гелио - Солнце), а лишь затем на Земле.

Периодическая Система Химических Элементов, а вслед за ней и Человек, формируются под влиянием двух энергетических потоков, один из которых начинается водородом в Космосе Невесомости и заканчивается элементом X^{111} , а второй зарождается в ядерном веществе формированием гелия, **но** завершается элементом 112 (табл.92).

Таблица 92

Формирование Человека в вихрях Космоса

Поля	Космос Невесомости	Ядерное вещество	110 Божеств в теле Человека (возбуждённые среды)
Потоки электро- нов	Водород (H^1) X^{111}	Гелий (He^2) X^{112}	$\int_2^{112} \varphi d\varphi - \int_1^{111} \varphi d\varphi =$ $6270 - 6160 = 110.$

Энергетический поток электронов водорода, поступающий из **Космоса Невесомости** сжимается с коэффициентом $5/2$, а энергетический поток из **Недр ядра** расширяется с потенциалом $7/2$ (табл.92).

Возникает разность потенциалов (табл.92):

$$\frac{5}{2} \int_2^{112} \varphi d\varphi - \frac{7}{2} \int_1^{111} \varphi d\varphi = 15675 - 21560 = -5885. \quad (302)$$

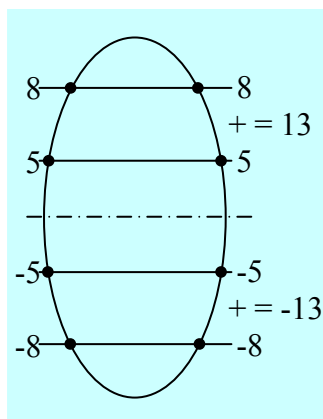


Рис.32 Пятеричная связь во Вселенной

Между Вселенной, расширяющейся с потенциалом 8 и силой пятеричной связи, возникает волна, у которой прямой и обратный характер цифр в Числе одинаков (рис.32).

При антирезонансе сумма этих цифр равна $8+5 = 13$, при резонансе $8 \cdot 5 = 40$.

"3...И от Божественного Человека произошли Формы, Искры, Священные Животные и Вестники Сокровенных отцов, заключённых в Пресвятой Четверице". ([3]. Космогенезис. Станца IV)

122. Роль Дня вне Времени в межзвёздных полётах

У Великого московского князя Василия III были часы, циферблат которых был разбит на 24 часа, **выполненных римскими цифрами, на что ушло 99 палочек** и две палочки на стрелки (табл.93).

Давая древним цивилизациям Земли (Праславянам, Майя и так далее) понятие о **чередѣ Продолжительностей** (Времени), великая Цивилизация стремилась к тому, чтобы человечество поняло следующее:

1. Два электрона гелия имеют разные скорости вращения: один вращается как минутная, второй - как часовая стрелки (табл.93).

2. Отсчёт Продолжительности - Времени по гелиевым часа в среде аргона - неона подобен отсчёту времени в гравитационном ряду, а в поле криптона - в солнечном (табл.93), где приведённая пульсация формирует колебательную систему геномы - небеса:

$$\frac{28 \cdot 36 = 1008}{36^2 - 28^2 = 512} \equiv \frac{63(\text{геномы})}{32(\text{небеса})} \Leftrightarrow \frac{32}{63}. \quad (303)$$

3. В поле геномы - Небеса (303) гелиевые часы продолжают идти под влиянием суммы электронов ксенона и радона (табл.91)

$$54 + 86 = 140 \equiv \text{постоянная чакр}. \quad (304)$$

Возникает День вне Времени, где живое "дышит Чакрами" (табл.93).

4. Великая Цивилизация использует свойства Дня вне Времени (Сон, лишенный Сновидений. [3]. Космогенезис. Станца I) для сохранения живого в межзвёздных полётах НЛО.

Таблица 93

Циферблат часов Василия III в палочках (табл.91)

Стрелки	Циферблат												Сумма палочек	
Часовая-1	I	II	III	IV	V	VI	VII	VIII	IX	X	XI	XII	35	
Минутная-1	XIII	XIV	XV	XVI	XVII	XVIII	XIX	XX	XXI	XXII	XXIII	XXIV	64	
Сумма палочек	← 28 →				← 36 →				← 16 →		← 19 →		99	
	← 64 →								← 35 →				99	
Стрелки: 2 электрона гелия	28 электронов неона и аргона				36 электронов криптона				$35 \equiv \frac{140}{4} \equiv \frac{\text{Постоянная Чакр}}{T_0 \equiv \text{Арупа}}$ Дыхание Чакрами.					

123. Формирование неинертных газов плазмой света

Водородная постоянная Вселенной с потенциалом 1008 возникает в группе инертных газов **на уровнях появления неона, аргона и криптона** (табл.93, 303).

Появление водородной постоянной Вселенной является **достаточным и необходимым условием начала формирования неинертных газов - элементов водорода, азота и кислорода** (табл.94).

Электрон-позитронные облака лазерной плазмы (эквивалентной числу электронов неона, аргона и криптона) несёт ветер Арупы-Рупы, имеющий дискретность Продолжительностей (табл.94).

В условиях монополярного равновесия возникают атомарные водород, азот, кислород. Но энергетические вихри обладают цис-транс изомерией и атомы водорода, азота и кислорода мгновенно трансформируются в молекулы (табл.94).

Таблица 94

Формирование плазмой света группы неинертных газов

Элементы	Водород	Азот	Кислород	Суммы	Внутреннее поле света
Атомы	H_1^1	N_{14}^7	O_{16}^8	A_{31}^{16}	
Молекулы	H_2^2	N_{28}^{14}	O_{32}^{16}	A_{64}^{32}	512–392≡
Кислород	$16 \cdot 32 = 512 = 36^2 - 28^2 \equiv \text{гравитация свет}$				120 ≡ 5! ≡
Азот	$14 \cdot 28 = 8 \cdot 7^2 = (7+1)7^2 = 392 \equiv \text{оболочка}$				$T_o \cdot \tau \cdot p_5$.

Давая человечеству диаграмму Тянь-Цинь, великая Цивилизация подчёркивала, что квадрат поля кислорода без одной единицы возникает как расширение света из зародыша вечной тьмы (табл.94):

$$32^2 - 1 = 1023 = \frac{1}{2} \int_2^{64} \varphi d\varphi \equiv \text{Я} \begin{matrix} 64 - \text{волна света} \\ 2 = \text{Зародыш тьмы} \end{matrix} \quad (305)$$

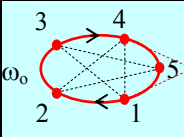
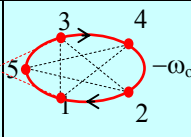
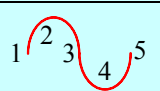
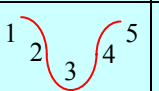
Поле с водородной постоянной Вселенной возникает на 16 относительных единиц раньше, чем поле кислорода 32^2 (табл.94).

$$(32^2=1024)-(T_0^2=16) \equiv 1008 \equiv \int_8^{64} \varphi d\varphi \equiv \text{Я} \begin{matrix} 8 - \text{Зародыш света} \\ 64 = \text{Самосушая волна тьмы} \end{matrix} \quad (306)$$

Эта самосушая волна тьмы с Зародышем Света также описана диаграммой Тянь-Цинь (306, рис.29).

124. Сотворение мира Единого Космоса

Динамика Бытия Единого Космоса имеет своим "Началом" трансформацию метagalактических самосуших волн вечной тьмы в лазерную точку света и преобразование светом одних форм энергии окружающей среды в другие формы (рис.33).

Над вечностью ∞				
Изомерия	Самосущие волны		Лазерная точка света	
	Цис	Транс	Цис	Транс
Механизм транс-формации	$\sin \frac{\pi}{4} + \cos \frac{\pi}{4} =$ $\sec \frac{\pi}{4} = \sqrt{2}$	$\cos \frac{\pi}{4} + \sin \frac{\pi}{4} =$ $\sqrt{2} = \csc \frac{\pi}{4}$		
			Скорости: $\omega_0 - (-\omega_0) = 2\omega_0 = c$ Потенциалы: $1+2+3+4+5=15$.	
	← сдвиг по фазе →		← Пентаграмма в Яйце [3] →	
Рис.33 Трансформация самосущих волн в фотон				

Сдвиг по фазе в области самосуших волн вызывает цис-транс изомерию фотонов. Появляются восходящие $(1+2+3+4+5 = 15)$ и нисходящие $(5+4+3+2+1 = 15)$, вращение которых **Над Вечностью** приводит к резонансно - антирезонансной пульсации:

$$\frac{\text{резонанс}}{\text{антирезонанс}} \equiv \frac{15^2 c^2}{15\omega_0 + 15\omega_0} \equiv 30c \Leftrightarrow$$

$$\frac{1}{30c} \equiv \frac{15\omega_0 + 15\omega_0}{15^2 c^2} \equiv \frac{\text{антирезонанс}}{\text{резонанс}}. \quad (307)$$

Шумеры обожествили 30 как бога и богиню Луны. В спектре света возникает красно-фиолетовая энергия:

$$1 \Leftrightarrow 900c^2 \equiv [(1400\text{\AA} \equiv \Delta K) - (500\text{\AA} \equiv \Delta \Phi)]c^2. \quad (308)$$

В борьбе цис-транс изомерических противоположностей Над Вечностью возникнет грандиозное поле Единого Космоса, эпюру которого шумеры описали Пирамидой "Вавилонская башня". Фотоны сближались на полуокружностях и расходились вновь на вторых полуокружностях, а мы, под влиянием синайских мудрецов, **продолжаем считать молекулярные веса только как суммы атомных весов, игнорируя их разность.**

125. Корпускулярно-волновая Природа Дзиан - потенциалов

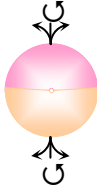
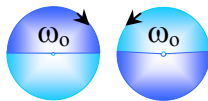

Капля Ядра вращается. Возникает цис-транс изомерия.

Поверхность Ядра пульсирует. В окружающей среде потенциал **увеличивается вдвое**, а во внутреннем поле поверхностной волны - уменьшается в два раза.

Точка на поверхности Капли Ядра излучает бегущую волну. Частоты бегущей волны вдвое уменьшаются в окружающей среде и вдвое увеличиваются во внутреннем поле соседних энергетических слоёв, формируя Дзиан - Потенциалы (табл.95).

Таблица 95

Вечность Капли ядра и волны над Вечностью

Волны	Объёмная	Поверхностная	Бегущая
Свойства	Биполярная Капля Ядра	Цис-транс изомерия поверхности	Созидание: Цинь - в среде, Тянь - на поверхности, Тянь-Цинь в недрах
Форма волн и их взаимосвязь	 $m_c \left(\frac{1}{2} V \omega_0 - \left(\frac{1}{2} V \omega_0 \right) \right)$ $m_c V \cdot 2 \omega_0 = D^3 / 6$	<p>сжатие</p>  <p>расширение</p> $H_2^2 (2\pi R = \pi R^2) \omega_0$ <p>4·8=32 при R=2</p>	<p>Среда:</p> $(\gamma = 1/32) \cdot (\lambda = 32)$ $\frac{\omega_0^3}{c^3} = \frac{1}{8} \quad \text{и} \quad 8 = \frac{c^3}{\omega_0}$  $v = (\gamma = 1/64) \cdot (\lambda = 64)$ <p>Внутреннее поле:</p> $(\gamma = 1/128) \cdot (\lambda = 128)$
Единая спираль колебаний	$1/6 \cdot 4^3$ <div style="display: flex; align-items: center; justify-content: center;"> <div style="text-align: center;">2</div> <div style="margin: 0 10px;">↔</div> <div style="text-align: center;">6</div> <div style="margin: 0 10px;">↔</div> <div style="text-align: center;">12 ↔ 6</div> </div> <p>взаимодействия</p>	$8 \cdot 4 = 32$ <p>Кундалини</p>	$64 \Leftrightarrow 1$ <p>Зодиак Кундалини.</p>

Сжатие-расширение (притяжение-отталкивание) в поверхностных транс-цис изомерических волнах имеет свою первопричину в полярных вихрях Капли Ядра, а деление частот и увеличение длин волн в бегущих волнах связано с пульсацией типа:

$$\int_{n-1}^{n+1} \varphi d\varphi = 2n \quad . \quad (309)$$

Противоположная направленность движения, например сине-голубых волн, формирует потенциал 10^4 в зависимости от Продолжительностей (табл.95):

$$\frac{\Delta c}{2} \Leftrightarrow \frac{2}{\Delta \Gamma} \Leftrightarrow \frac{\Delta \Gamma}{2} \Leftrightarrow \frac{2}{\Delta c}, 2^4 \Leftrightarrow (300)^4 = 81 \cdot 10^4$$

и $10^4 \Leftrightarrow T_0^2 \cdot \tau^{-T_0}.$ (310)

В этом поле с дробными (Дзиан) потенциалами при сжатии надо считать их сумму, при расширении - разность.

126. Капля геномов в Океане Жизни

Самосущие волны **пульсируют**. Возникает волна света (**фонон**). Фонон **пульсирует** и сжимается. Появляется сгусток света (**фотон**). Фотон-фонон **пульсирует**. Формируется **лазерная точка**. Лазерная точка сгущается в **Каплю Ядра**. Капля Ядра **пульсирует**, поглощая (излучая) фотон-фононы (рис.34, табл.96).

Таблица 96

Излучение (поглощение) света Ядром (рис.34)

Процесс	Поглощение (сжатие)	Лазерная точка	Излучение (расширение)
Описание	$m_c \pm E_\lambda \omega_0^3 / c^3$	$m_c \cdot E_\lambda$	$m_c \pm E_\lambda c^3 / \omega_0^3$
Потенциалы	$k_1 = \frac{1}{\pi} \left(1 - \frac{1}{8} \right) = \frac{7}{8} m_c$ 0,5 пальмы	$k_2 : k_1 = 8$	$k_2 = \frac{1}{\pi} (1 - 8) = 7 E_\lambda$ Семь Вечностей
	$k_3 = \frac{1}{\pi} \left(1 + \frac{1}{8} \right) = \frac{9}{8} m_c$	$k_4 : k_3 = 9$	$k_4 = \frac{1}{\pi} (1 + 8) = 9 E_\lambda.$

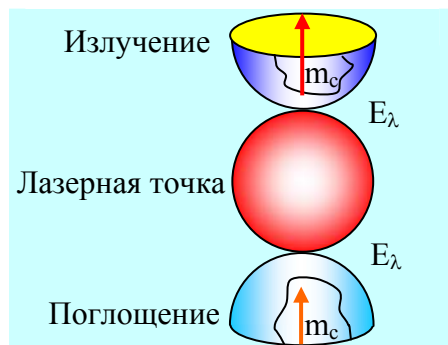


Рис.34 Излучение-поглощение фотон-фоонов лазерной точкой

В этом поле ядро будет поглощать кванты $k_1 k_2 \rightarrow m_c E_\lambda$, а излучать $m_c E_\lambda \rightarrow k_2 \cdot k_4$ (табл.96).

Возникает возможность проведения расчёта коэффициентов поглощения-излучения Каплей Ядра, а также плотность Ядерного Вещества (табл.97).

Таблица 97

**Пульсация Капли Ядра
и возникновение геномов (табл.95).**

Процессы	Поглощение	Плотность плазмы	Излучение
Потенциалы	$k_5 = \frac{m_c E_\lambda (\text{ядро})}{k_1 \cdot k_3} \equiv \frac{64}{63}$	$\gamma \frac{k_2 k_4}{k_1 k_3} = 8 \cdot 9 = \frac{72}{72}$	$k_6 \frac{k_2 k_4}{m_c E_\lambda (\text{ядро})} = 7 \cdot 9 = 63 (\text{геномы})$
Пульсация геномов	$64/63 \Leftrightarrow 72 \Leftrightarrow 63$ или $64 \Leftrightarrow 72 \cdot 63 - 63^2 \equiv 63 \cdot 9$.		

Океан Жизни из Капли геномов возникает при поступлении в Каплю импульса $7/8 \cdot m_c c = 7/8$, где

$$7/8 \cdot 64 = 7 \cdot 8 \Leftrightarrow 8 \cdot 9^2 \equiv 63 \cdot 9 \cdot 8/7$$

и $\pm(81 - 7) \Leftrightarrow 0. \quad (311)$

127. К вершине Вавилонской Башни

С нынешними трудно, но **Учёные Нашего Будущего** поймут: **"1. Лха (энергетический уровень), вращающий Четвёртое (Рупа Капли Ядра), Слуга Лха Семи (уровни лунного ряда $1 + 2 + 3 + 4 + 5 + 6 + 7 = 28$, где $28:(4 = T_0) = 7$) тех, которые вращаются (кванты фотонов-сгустков), устремляя свои Колесницы (орбиты) вокруг Владыки своего (Ядра), Единого Ока нашего Мира (пульсирующий в ритме расширения ($c^3/w_0^3 = 8$) - сжатие ($w_0^3/c^3 = 1/8$) зародышевый пузырёк плазмы в Недрах Ядра)... Дыхание Его (пульсация) дала жизнь Семи (лунный ряд). Оно дало Жизнь Первому"** ([3]. Станца I. Антропогенезис).

$$\text{Первый} \equiv (T_0 w_0 / c = 2) \cdot \left(\pm \int_0^1 \varphi d\varphi = \pm \frac{1}{2} \right) \equiv \pm 1. \quad (312)$$

Цитируемая Станца дополняет описание неравновесной системы (311) ситуацией, при которой поле с ноль-потенциалом заполняется лунной гравитацией и возникнет система:

К вершине Пирамиды "Вавилонская Башня" [1]				(313)
В неведомости (303)	В гравитации	Богиня Луны	Бог Луны	
81 ∓ 7 $\Leftrightarrow 0$ и $\pm \int_0^1 \varphi d\varphi$	$81 \mp 7 \Leftrightarrow 28$ Переход к магнетизму: $\pm 28 \int_0^1 \varphi d\varphi = \pm 14$	$81 \Leftrightarrow 21$ $0 \Leftrightarrow 81 - 21 = 60$ $66 \int_0^1 \varphi d\varphi = 30$	$88 \Leftrightarrow 28$ $0 \Leftrightarrow 88 - 28 = 60$ $60 \int_1^0 \varphi d\varphi = -30$	

Великая Цивилизация дала науке Шумеров Систему Счисления, в которой одна Относительная Единица равна 60 (313); великая Цивилизация дала религии Шумеров бога и богиню Луны (313), но синайские семиты подменили науку и религию шумеров лирической трескотней, и довольны... "мы создатели поэтической науки" [1].

Хороши создатели, не умеющие до XXI века рассчитывать молекулярные веса простейших соединений.

128. Методика расчёта молекулярных весов в динамике

Молекула - это сгусток из атомов, например X и Y. Молекула пульсирует. Атомы, компоненты молекулы, тоже пульсируют, не теряя свою индивидуальность химического элемента (аналог Свободы Воли у живого).

Пульсация атомов в молекуле протекает в резонансно ($x \cdot y$) - антирезонансном ($x \pm y$) режимах.

Возникает неравновесная система пульсации:

$$\frac{x+y}{x-y} \Leftrightarrow x \cdot y \Leftrightarrow \frac{x-y}{x+y};$$

$$(x+y)^2 \Leftrightarrow xy(x^2 - y^2) \Leftrightarrow (x^2 - y^2);$$

$$4 \Leftrightarrow x^2 - y^2, \quad (314)$$

где: 4 - потенциал-эквивалент T_0 (Рупа);

$\sqrt{16} \equiv \sqrt{qq^*}$ - электричество;

$\sqrt[3]{64} = 4$ - сгусток Тянь, сжатый в Арупе;

$\sqrt[3]{32} \cdot \sqrt[3]{2}$ - Небеса-Цинь в самосущих волнах и так далее.

В любой молекуле (атоме) имеет место быть опорная частота (орбита), определяющая максимальный потенциал $x \cdot y$, а также два соседних уровня (орбиты), определяющие потенциалы $x + y$ и $x - y$ (рис.35).

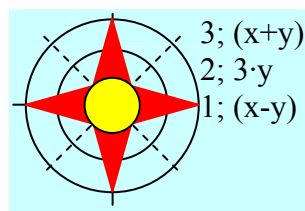


Рис.35 Пульсация атомов x и y в молекуле xu

В сферическом трёхмерном энергетическом объёме молекулы для атомов x , y имеется 6 степеней свободы и каждый из атомов 8 раз пересекает опорный уровень (орбиту 2) молекулы xu (рис.35).

Эти пересечения второго опорного энергетического уровня вносят поправки в неравновесную структуру молекулы (311):

$$\frac{4}{6 \cdot 8} = \frac{4}{48} = \frac{1}{12} \Leftrightarrow x^2 - y^2$$

и

$$1 \Leftrightarrow (x^2 - y^2) \equiv T_0 \cdot \tau \cdot (x^2 - y^2). \quad (315)$$

Полученный результат (315) говорит о том, что чакра **Третий Глаз** с длиной волны $\lambda = 4800\text{\AA}$ на границе радела синей и голубой областей спектра у людей возникла не случайно, так как

$$\lambda = 4800\text{\AA} \equiv (6 = 3,5 + 2,5 \equiv 3,5^2 - 2,5^2) \cdot (c^3/\omega_0^3 = 8) \cdot \rho_5^2, \quad (316)$$

где 6 - Кундалини ;

$8 = c^3/\omega_0^3$ - расширение Вселенной, а методика расчёта молекулярных (атомных) весов подверглась обрезанию, то есть считается только сумма атомных весов.

129. Кислородная единица химических элементов как шифр-ключ Книги Бытия

Определение молекулярных весов в динамике их формирования точечным участком волны света требует от лазерной точки **взаимодействий**, а от среды в форме молекулы перехода от **Хаоса плазмы к Гармонии упорядоченной молекулярной структуры**.

С учётом наличия взаимодействий и гармонии молекулярной структуры **неравновесная** (314) примет вид:

Формирование молекул вихрями фонон-фотонов	
Взаимодействия фонона $4(\lg \rho_1 \rho_2 \rho_3 \rho_4 \rho_5 = 2) \equiv 8$	Гармония в молекуле $\frac{1}{2} (x^2 - y^2) \equiv (x^2 - y^2) \int_0^1 \varphi d\varphi$
(Свет) 1	$\Leftrightarrow (x^2 - y^2) \cdot 1/16$ (молекула).

(317)

Система колебаний (308) говорит о том, что **молекулярный вес достигает разности квадратов атомных весов элементов, формирующих молекулу, в тот момент, когда в исходном вихре фотон-фононов наступает равновесие.**

Продолжительность между двумя соседними равновесными состояниями в вихре фотон-фононов соответствует $1/T_0^2 \equiv 1/16 = 0,0625$.

Продолжительность, равная 1/16 соответствует по величине 1/16 атома кислорода, то есть одной кислородной единице массы, расчет которой производится как 1/16 массы изотопа O^{16} [17].

Такой системой кислородно-атомных единиц счисления мы пользуемся и нам эта система известна.

Неизвестно нам то, что 1 кислородная и 1 атомная единицы отражают не только продолжительность $1/T_0^2$, но и связь этой Продолжительности с фотон-фононом $(m_c * m_c^{**})^{-1}$, которую великая Цивилизация использовала как шифр-ключ для Книги Бытия:

Кислородная единица	Продолжительность	Фотон-фононы	Шифр Книги Бытия
1/16	$1/T_0^2$	$\frac{1}{m_c^* \cdot m_c^{**}} = \frac{1}{0,008 \cdot 0,002} = \frac{1}{16} 10^6 = 62500.$	

(318)

130. Электрическая электрон-позитронная плазма инертных газов

Сотворение Мира начинается не с глины, а с **плазмы**. В плазме прежде всего **зарождаются электрон - позитронные структуры электрических сгустков, дающих начало гармоническим структурам атомов инертных газов:**

IX группа инертных газов							
Элементы	гелий	неон	аргон	криптон	ксенон	радон	X ¹¹²
Число электронов	2	10	18	36	54	86	112.

(319)

Электрическая плазма сгущает ядерное вещество и обладает цис-транс изомерией, например электроны это цис-транс изомерический сгусток, а позитрон - транс-изомерический. Поэтому **о поведении электрической плазмы можно судить по сумме - разности электронов, имея в виду наличие противоположно направленной изомерии позитрона.**

Вместе с тем анализ электронной плазмы группы инертных газов приводит к сенсационным результатам (319):

1. Разность электронов элемента 112 и гелия соответствуют 110 Божествам в теле человека в соответствии с Книгой Мёртвых [7] и Даосским мировоззрением:

$$(112-2 = 110) \text{ электронов} \equiv 110 \text{ Божеств} = (42 \text{ сердца} + 58 \text{ головы} + 10 \text{ шеи}). \quad (320)$$

2. Сумма электронов ксенона и радона формирует **магнетизм, гравитацию, пятеричную связь и семеричность Космоса:**

$$(86+54 = 140) \text{ электронов} \Leftrightarrow 5 = \frac{1^2 + 2^2 + 3^2 + 4^2 + 5^2 + 6^2 + 7^2}{1+2+3+4+5+6+7} = \frac{140}{281}, \quad (321)$$

где разность этих электронов **создаёт Небеса-Цинь:**

$$\begin{aligned} &\pm(86 - 54 = 32) \text{ электронов} \equiv \text{Цинь}, \\ \text{и} \quad &32 - (-32) = 64 \text{ (Тянь)} \end{aligned} \quad (322)$$

из цис-транс изомерии которых возникает **сгусток Тянь.**

3. Электроны гелия, неона и аргона в своей сумме создают поле с потенциал-эквивалентом Луны, равным 30 по религиозным взглядам шумеров [1]:

$$\begin{aligned} &(2+10+18 = 30) \text{ электронов} \equiv \\ &30 - \text{бог (богиня) Луны}. \end{aligned} \quad (323)$$

В этом лунном небесном поле формируется электроны молекул неинертных газов: 16 у O₂, 14 у N₂ и 2 у H₂.

131. Сердце Человека в искрах плазмы фотон-фононов

Земли ещё не было. Наша планета-Мать ещё была облаком сгущающейся плазмы, в которой фотон-фононы ($m_c^{**} = 0,002 \Leftrightarrow 0,008 \equiv m_c^*$) начали формировать гравитационный, магнитный и электрический уровни (табл.98).

Плазма охлаждалась и отвердевала. Возникали 112 химических элемента, затем Цинь-Тянь (небеса - сгусток) и живое в них, в том числе Чистое Сердце Человека с 42 Божествами в нём (325). Энергетика Человека была запрограммирована ещё в Агни-Поле (табл.98).

**Сгущение облака-плазмы
в гравитационно-магнитном поле**

Слои плазмы	Электрогравитация	Гравиомагнетизм	Электромагнетизм	Магнито-гравитация	Гравио-электричество	
Индивидуальные слои пульсирующей плазмы	$\frac{\rho\rho^*}{qq^*} \Leftrightarrow$	$\frac{\mu\mu^*}{\rho\rho^*} \Leftrightarrow$	$\frac{qq^*}{\mu\mu^*} \Leftrightarrow$	$\frac{\mu\mu^*}{qq^*} \Leftrightarrow$	$\frac{\rho\rho^*}{\mu\mu^*} \Leftrightarrow$	$\frac{qq^*}{\rho\rho^*} \Leftrightarrow$
	$\frac{28^2}{16^2} \Leftrightarrow$	$\frac{14^2}{28^2} \Leftrightarrow$	$\frac{16^2}{14^2} \Leftrightarrow$	$\frac{14^2}{16^2} \Leftrightarrow$	$\frac{28^2}{14^2} \Leftrightarrow$	$\frac{16^2}{28^2} \Leftrightarrow$
	$7/4 \Leftrightarrow$	$1/2 \Leftrightarrow$	$8/7 \Leftrightarrow$	$7/8 \Leftrightarrow$	$2 \Leftrightarrow$	$4/7 \Leftrightarrow$
Плазма с общим потенциалом	$\frac{7 \cdot 14}{56}$	$\frac{28}{56}$	$\frac{64}{56}$	$\frac{49}{56}$	$\frac{112}{56}$	$\frac{32}{56}$
	$7 \cdot 14 \cdot 56 - 28 \cdot 56$		$64 \cdot 56 - 49 \cdot 56$		$112 \cdot 56 - 32 \cdot 56$	
	$70 \cdot 56 \Leftrightarrow 0 \Leftrightarrow$		$15 \cdot 56 \Leftrightarrow 0 \Leftrightarrow$		$80 \cdot 56 \Leftrightarrow 0$	
Сгусток	$(70 - 15 - 80)56 = -25 \cdot 56 = -1400 \Leftrightarrow 0 \Leftrightarrow \dots$					

В поле пульсирующей плазмы сумма $7 \cdot 14 + 32 = 130$ определяет пульсацию по 13-ти лунному календарю, сумма $28 + 112 = 140$ является основанием для возникновения живых магнитов, а сумма $64 + 49 = 113$ предопределяет Число Человека (табл.98).

Сгущение плазмы протекает под воздействием фотон-фононов при наличии разности потенциалов, кратной 42 Божествам Сердца Человека (табл.98).

$$\text{Сердце} \equiv \left(\frac{112}{m_c^{**} = 0,002} = 56 \cdot 10^3 \right) - \left(\frac{112}{m_c^* = 0,008} = 14 \cdot 10^3 \right) \equiv 42 \cdot 10^3. \quad (325)$$

132. Закономерности формирования плазмы инертных газов

Свет, пульсируя в облаке-плазме, сгущается сам, создавая фотон-фононы, **создавая** на поверхности плазмы поверхностное натяжение.

Энергетическими узлами оболочки Капли Ядра (плазмы) любого атома будут электроны (позитроны), связанные с фотон-фоном.

Сгущение фотон-фононов в электроны	
Сумма	Разность
$\frac{n}{m_c^{**}} + \frac{n}{m_c^*} = \frac{n}{0,002} + \frac{n}{0,008}$	$\frac{n}{m_c^{**}} - \frac{n}{m_c^*} = \frac{n}{0,002} - \frac{n}{0,008}$
$\frac{4n + n}{0,008} = \frac{5n}{0,008} = 625n$	$\frac{4n - n}{0,008} = \frac{3n}{0,008} = 375n$

(326)

Любой электрон (позитрон) над оболочкой ядра атома имеет постоянную суммы, равную 625, и разности, равную 375, где $625+375 = 1000$.

Под влиянием потенциала 10^3 возникает плазма инертных газов, а затем в этой плазме возникают электроны (позитроны) и появляются инертные газы (табл.99).

Таблица 99

Трансформация электронов в фотон-фононы инертных газов

Элементы	гелий	неон	аргон	криптон	ксенон	радон	X ¹¹²
Число электронов	n= 2	n= 10	n= 18	n= 36	n= 54	n= 86	n= 112.
Сумма: 625n	1250	6250	11250	22500	33750	53750	70000
Разность 375n	750	3750	6750	13500	20250	32250	42000
Разность разностей	500	2500	4500	9000	13500	21500	28000
В частях	1	5	9	18	27	43	56.

Сумма фотон-фононов в группе инертных газов формирует семеричность Мира Сгустков ($7 \cdot 10^4$); разность ($42 \cdot 10^3$) - Божества Сердец Живого; разность разностей ($28 \cdot 10^3$) - гравитацию; сумма отношений в поле света:

$$(\rho_5 = 10) + 1 + 5 + 9 + 18 + 27 + 43 + 56 = 169 = 13^2 \quad (327)$$

является причиной возникновения 13-ти лунного Календаря Единого Космоса (табл.99).

133. Луна и взаимотрансформация инертных газов в неинертные

Влияние плазмы на **Живое** изучает Агни-Йога. Однако ни **ядерная энергетика**, ни **Агни-Йога** существенных успехов в **Познании Структуры Плазмы** не имеют, так как не понимают законы **сгущения** облака ядерного вещества (плазмы).

Являясь энергетическим эквивалентом, например группы инертных газов (табл.99), плазма сгущается последовательно: резонанс самосущих волн, фотон-фононы, элементарные заряды, атомы, молекулы, ... Звёздное Небо.

Любой сгусток - узелок Ткани Вселенной, пульсирующей с потенциалом Дзиан [3], равным $\pm 0,5$.

Сгусток возникает в **трёхмерном Пространстве**, обладающем **шестью степенями свободы** ($\pm x, \pm y, \pm z$).

Сгусток возникает там и тогда, где и когда появляется разность квадратов потенциалов ($x^2 - y^2$).

Закон перехода сгустка одной формы энергии ($x^2 - y^2$) в сгусток другой формы энергии ($x_1^2 - y_1^2$) связан с числом сочетаний шести по два (табл.100).

Закон перехода сгустка одной формы энергии в другую

Поля Энергии	Шесть компонент сред вокруг сгустков	Условия перехода форм энергии	Число Сочетаний
1-ый сгусток	$x^2 - y^2 = (x + y) \cdot (x - y)$	$x + y = (x_1 + y_1) \cdot (x_1 - y_1)$	$C_6^2 = \frac{6!}{(6-2)!}$ = 30
2-ой сгусток	$x_1^2 - y_1^2 = (x_1 + y_1) \cdot (x_1 - y_1)$	$x_1 + y_1 = (x + y) \cdot (x - y)$	

Число Сочетаний из 6 по 2, равное 30 (табл.100) использовалось Авторами Книги Дзиан в описании **восходящих** ($1^2 + 2^2 + 3^2 + 4^2 = 30$) и **нисходящих** ($4^2 + 3^2 + 2^2 + 1^2 = 30$) **формовщиков** [3], шумерами в описании **бога (богини) Луны, вершины Пирамиды "Вавилонская Башня"** [1] и так далее.

Реалии, однако, состоят в том, что в **Арупе Света** с потенциалом $\tau p_5 = 30$, электронные поля инертных газов гелия, неона и аргона переходят в электронные поля неинертных газов - молекул азота и кислорода:

Трансформация электронов инертных газов в неинертные			
Форма газов	Гелий + неон + аргон	Арупа света	$N_2 + O_2$
Число электронов	$2 + 10 + 18$	$= 30 \equiv \tau p_5$	$= 14 + 16$

(328)

134. Неинертные газы в плазме сгустков Пирамиды

В облаке плазмы вещество сгущается в электроны атомарных водорода, азота и кислорода, из которых возникают молекулы H_2 , N_2 и O_2 .

Дзиан - пульсация молекул газа сохраняет их равновесие с атомарным водородом, азотом и кислородом (табл.101).

Атомно-молекулярное равновесие неинертных газов

Элементы	Атомы газов			Электричество	Молекулы газов		
	H	N	O		H ₂	N ₂	O ₂
Равновесие				$\leftarrow 16 \equiv \rightarrow$ $\sqrt{qq^*}$	$2 \int_0^1 \varphi d\varphi$	$14 \int_0^1 \varphi d\varphi$	$16 \int_0^1 \varphi d\varphi$
	1	7	8		1	7	8
	Число электронов вне пульсации				Потенциалы пульсирующих электронов		
Примечание:	Сумма электронов $O+N \equiv 7+8 = 15 = 1+2+3+4+5$, эквивалентна потенциалу внутреннего поля света при антирезонансе.						

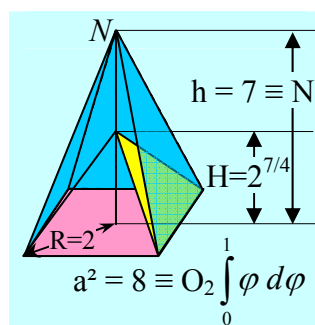


Рис.36 Совмещение
великой Пирамиды
и пирамиды
неинертных газов

Следуя указаниям, данным Иисусом Иоанну в Откровениях, мы должны из Чисел построить Фигуры [6], то есть дать векторное описание поля электронной структуры (табл.101, рис.36).

При векторном описании электронной структуры неинертных газов в **форме пирамиды** её основанием будут восемь электронов кислорода, а высота h - семь электронов азота (рис.36). Основания великой Пирамиды и пирамиды неинертных газов будут общими (рис.36).

Пульсация объёмов сгустков (объёмы Пирамид) в этом случае может быть описана пульсацией их высот.

Поля	Газы в плазме	Расширение	Сжатие
Колебания	$\left(\frac{h=7}{H=2^{7/4}} \Leftrightarrow \frac{2^{7/4}=H}{h=7} \right) \rightarrow$	$7^4 \Leftrightarrow 2^7 \rightarrow$	$7 \Leftrightarrow 2^{7/4}.$

(329)

135. Капля Ядра: электрическая связь между атмосферой и недрами

Вытесненные вихрями самосуших волн, **поступающих в плазму из Невесомости Метагалактики**, электроны неинертных газов формируют над сгустком небеса - Цинь (табл.102).

Таблица 102

Неинертные газы: небеса Цинь над сгустком

Молекулы		Водорода	Азота	Кислорода	Сумма
Число электронов		2	14	16	32
Фотон-фононы (316)	сумма	$625 \cdot 2 = 1250$	$625 \cdot 14 = 8750$	$625 \cdot 16 = 10^4$	$2 \cdot 10^4$
	разность	$375 \cdot 2 = 750$	$375 \cdot 14 = 5250$	$375 \cdot 16 = 6 \cdot 10^3$	$12 \cdot 10^3$
Общая сумма		2000	14000	16000	<div style="display: flex; align-items: center; justify-content: center;"> <div style="border-left: 1px solid black; border-right: 1px solid black; padding: 0 5px;">32000</div> <div style="border-left: 1px solid black; border-right: 1px solid black; padding: 0 5px;">32000</div> </div>
Формы энергии		Взаимодействия	Магнетизм	Электричество	Небеса-Цинь

Появление над сгустком небес Цинь, содержащих неинертные газы: водород, азот, кислород, придаёт небесам новые свойства. В небесах возникают **взаимодействия, магнетизм и электричество** (табл.102).

Изменение состава - свойств небес Цинь (атмосфера над сгустком ядра) отражается и в недрах плазмы ядра.

В плазме ядерного вещества инертных газов Капли ядра возникает энергетический переход между электронными слоями радона и ксенона (табл.103).

В полях между атмосферой и недрами возникает электрическое поле:

$$(20^2 - 12^2) \cdot 10^6 = 16^2 \cdot 10^6 \equiv qq^* \sqrt{\rho_3} . \quad (330)$$

**Дуализм атмосферы над Каплей Ядра
и энергией в её Недрах**

	Атмосфера над Каплей			Уровни в Недрах	
Элементы	Водород: H ₂	Азот: N ₂	Кислород: O ₂	Радон: Rd	Ксенон: Xe
Число электронов	2	+ 14	+ 16 =	86	- 54 =
	32 (сумма)			⇔ 32 (разность)	
Пульсация (316)	Сжатие атмосферы: $625 \cdot 32 = 20 \cdot 10^3$			Расширение ядра: $375 \cdot 32 = 12 \cdot 10^3$.	

**136. Гадолиний:
редкоземельный сгусток Тянь**

Электрическая связь между **атмосферой** над Каплей Ядра (сгусток Тянь) и её **радон - ксеноновыми Недрами** (320) реально проявляет себя в **Свечении** под воздействием частот облучения 10^6 Гц (**эффект Кирлиан**).

Электрическая связь между **атмосферой** над Каплей Ядра и **Недрами** в Капле ядра становится источником дальнодействующих электромагнитного и гравитационного взаимодействий (330).

Капля Ядра как источник дальнодействующих взаимодействий			(331)
Взаимодействия	Электромагнитное	Гравитационное	
Стадии колебания точки волны света	$T_0^2 \cdot 10^6 \Leftrightarrow T_0^2 \cdot 10^{-6}$ $\rho_3 \equiv 10^{12} \Leftrightarrow 1$	$T_0^4 \cdot 10^{-12} \Leftrightarrow T_0^4 \cdot 10^{+12}$ $\rho_1 \equiv 10^{-24} \Leftrightarrow 1.$	

В этой среде дальнодействующих взаимодействий (331) между **атмосферой неинертных газов над Каплей Ядра** (329, рис.31) и энергетическим слоем в области **радон-ксенон плазмы неинертных газов (табл.102)** продолжается пульсация (329):

$$(7 \Leftrightarrow 2^{7/4})^{T_0} \equiv 7^4 \Leftrightarrow 2^4 = 128. \quad (332)$$

Поле с потенциалом $7^4 \equiv 49^2$ формирует **двойную оболочку** (например в живом - двойную мембранно-молекулярную спираль на поверхности биоклетки), а поле с потенциалом 128 группу редкоземельных элементов, обладающих лантаноидным сжатием ([22], табл.104).

Таблица 104

**Нисходяще-восходящие
вихри электронов лантаноидов**

Группы	1	2	3	4	5	6	7	8
Нисходящий	Lu ⁷¹	Yb ⁷⁰	Tu ⁶⁹	Er ⁶⁸	Ho ⁶⁷	Dy ⁶⁶	Tb ⁶⁵	Gd ⁶⁴
Восходящий	La ⁵⁷	Ce ⁵⁸	Pr ⁵⁹	Nb ⁶⁰	Pm ⁶¹	Sm ⁶²	Eu ⁶³	
Сумма электронов	128	128	128	128	128	128	128	64 Тянь.

В семи группах лантаноидов число электронов в нисходящем потоке равно 476, а в восходящем 420. Возникает разность квадратов:

$$476^2 - 420^2 = 4 \cdot 112^2, \quad (333)$$

достаточная для создания **Периодической Системы 112 элементов.**

137. Оболочка плазмы.

Годовые кольца деревьев. Реинкарнации

Когда в недрах **Капли Ядра Плазмы** формируется гадолиний, то электронные вихри остальных 14-ти редкоземельных элементов создают оболочку (табл.105).

Гравитационно-электромагнитная оболочка плазмы

Компоненты оболочки плазмы	Электрический поверхностный слой оболочки	Магнитный поверхностный слой	Гравитация оболочки
Потенциалы оболочки (323, табл.103).	$k_1 = \frac{476^2 - 420^2}{64} =$ $7^2 \cdot 16 \equiv 7^2 \sqrt{qq}^*$	$k_2 = \frac{7 \cdot 128}{64} =$ $14 \equiv \sqrt{qq}^*$	$k_1 - k_2 = 770$ $k_1 + k_2 = \frac{798}{-28} \equiv$ $-\sqrt{\rho\rho}^*$

В поле оболочки плазмы восходяще-нисходящие вихри электронов 7 редкоземельных пар (табл.104) создают расширяющуюся с коэффициентом 3,5 витка ветвь Кундалини и потенциал Недр Ядра на уровне

$$X^{112} - Ru^{86} = 26 \text{ (табл.106).}$$

**Результаты пульсации
встречных вихрей электронов (табл.104).**

Расширение Кундалини	Переход от Rn^{86} к X^{112}	Корни 108 реинкарнаций
$476+420 =$ $896 = 3,5 \cdot 16^2 \equiv$ $3,5 \cdot qq^*$	$476 - 420 =$ $26 =$ $112 - 86$	$\frac{(-28)^2 - 26^2}{(-28)^2 + 26^2} = \frac{108}{1460} \equiv$ $\frac{27}{365} \equiv \frac{\rho_5(e \equiv m_0) \text{ масса покоя}}{365 \text{ дней в году}}$

Реинкарнации отсчитываются появлением массы относительного покоя $m_0 = 27 \cdot \rho_2$ в течение 365 дней одного года по 13-ти лунному Календарю цивилизации Майи, включая **День вне Времени**.

Живое отсчитывает Продолжительности по шкале реинкарнаций, образуя годовые кольца в своих стволах, например деревьев.

Сто десять Божеств в теле человека и число реинкарнаций связаны **Равновесием**:

$$\pm(110-108) \cdot \left(\int_0^1 \varphi d\varphi = \frac{1}{2} \right) = \pm 1. \quad (334)$$

138. Истоки Дня вне Времени в тринадцати лунном Календаре

В облаке-плазме с потенциал - эквивалентами электронной (позитронной) структуре инертных газов **собственно Недра Плазмы** будут иметь разность потенциалов (по электронам), равную:

$$X^{112} - Rn^{86} \equiv 112 - 86 = 26. \quad (335)$$

В Недрах облака-плазмы протекает Дзиан - пульсация, формирующая **Тринадцати кратный отсчёт Продолжительностей**.

Шкалой для тринадцати кратного отсчёта Продолжительностей являются короткодействующие ядерное и слабое взаимодействия в поле логарифмических волн (табл.107).

Таблица 107

Начало отсчёта череды Продолжительностей в Космосе

Процессы	Ядерное короткодействие	Логарифмические волны		
		13-ти лунный Календарь	Субстанция	Дзиан-разность. День вне Времени
Потенциалы	$\rho_2 \cdot \rho_4 = 10^{-1} \cdot 10^{14} = 10^{13}$	$\lg \rho_2 \cdot \rho_4 = \lg 10^{13} = 13$	$X^{112} - Rn^{86} \equiv 112 - 86 = 26$	$\int_0^1 \varphi d\varphi - \int_1^0 \varphi d\varphi = 1$

В поле отсчёта череды Продолжительностей Единого Космоса началом шкалы отсчёта в ядерных реакциях будет столкновение двух короткодействующих квантов: элементарной частицы Космоса и Ядра (табл.106).

В Ядре возникает потенциал 10^{13} , а в логарифмических волнах, разлетающихся от эпицентра столкновений - потенциал $\lg 10^{13} = 13$.

Отсчёт череды Продолжительностей (Времени) в полях логарифмических волн великая Цивилизация ведёт по 13-ти лунному Календарю, ибо всё живое находится и функционирует в полях короткодействующих взаимодействий.

Переход от ядерных к логарифмическим полям связан с разностью $1/2 - (-1/2) = 1$, которую приняли как **День вне Времени** (табл.107).

139. Свет: связь радиоактивного излучения и лантаноидного сжатия. Сознание и Подсознание

Наличие **Дня вне Времени**, на который приходится мгновение самого короткодействующего соударения, уменьшает потенциал плазмы в её недрах на одну единицу (табл.107):

$$(112 - 86) - \left(\int_0^1 \varphi d\varphi = \frac{1}{2} \right) + \left(\int_0^1 \varphi d\varphi = -\frac{1}{2} \right) = 26 - \frac{1}{2} - \frac{1}{2} = 25. \quad (336)$$

В Мировом Яйце возникает Пентаграмма [3].

Носитель Разума начинает воспринимать энергию на уровне Подсознания с частой **25 кадров** в единицу Продолжительности.

Обдумывая божественную Информацию на уровне сознания, Носитель Разума, как Сам Бог, создаёт оболочку ментальной энергии своего Воображения:

Электрическая оболочка ментальной энергии				(337)
Уровни	Подсознание	Сознание	Оболочка	
Частота кадров	25 ²	– 24 ²	= 49.	

Однако Недра инертной радиоактивной плазмы продолжают пульсировать с частотой 25 кадров и встречные нисходяще-восходящие потоки электронов (протонов) формируют 25 радиоактивных лантаноида (табл.108).

Таблица 108

Электронные структуры 25 элементов лантаноидов

вихри пары	Восхо- дящие	Нисходящие	Сумм и электронов
1	Ra ⁸⁸	X ¹¹²	200
2	Ac ⁸⁹	X ¹¹¹	200
3	Th ⁹⁰	X ¹¹⁰	200
4	Pa ⁹¹	X ¹⁰⁹	200
5	U ⁹²	X ¹⁰⁸	200
6	Np ⁹³	X ¹⁰⁷	200
7	Pu ⁹⁴	X ¹⁰⁶	200
8	Am ⁹⁵	Ns ¹⁰⁵	200
9	Cm ⁹⁶	Ku ¹⁰⁴	200
10	Bk ⁹⁷	Ln ¹⁰³	200
11	Cf ⁹⁸	Nb ¹⁰²	200
12	Ev ⁹⁹	Md ¹⁰¹	200
Нет пары	Fm ¹⁰⁰		100
Распределение электронов	Восходящих - 1122; нисходящих - 1178; пар - 12·200 = 2400		
Равновесие	$\frac{(1178+1122)+100}{12 \cdot 200} = 1.$		

Эффективность взаимодействия света связывает радиоактивное излучение (табл.108) и лантаноидное сжатие (табл.104):

$$\frac{12 \cdot 200}{100} - \frac{7 \cdot 128}{64} = 24 - 14 = 10 \equiv \rho_5. \quad (338)$$

140. Радиоактивно-лантаноидная природа дефекта масс

Закон сохранения веса веществ (**Вес веществ, вступивших в реакцию, равен весу полученных веществ**) в ядерных реакциях не соблюдается, ибо возникает дефект масс [17]:

$$\Delta = [0,01(A - 100)^2 - 64] \cdot 10^{-2} \text{ а.е.м}, \quad (339)$$

где: A - массовое число;

а.е.м - атомная единица масс, равная 1/16 части изотопа кислорода-16.

Я считаю, что в эмпирической формуле дефекта масс нашло отражение влияние 100 электронов фермия (табл.108) и 64 электронов гадолиния (табл.104), которые можно выделить соответственно как **радиоактивную и лантаноидную** компоненты (табл.107).

При расчёте этих компонент следует учитывать **потенциал общего поля**, равный (339):

$$k_1 = 10^{-2} \text{ а.е.м} = 10^{-2} \cdot 1/16 = 625 \cdot 10^6 \text{ отн. единиц}, \quad (340)$$

который в 10^8 раз меньше шифр - ключа к Библии ($62500 : k_1 = 10^8$).

Вместе с тем **вес (массу) любого сгустка ограничивает поверхностное электрическое облако**, и поэтому я вместо гипотетического массового числа буду брать просто **число электронов в атоме** (табл.109).

В поле свечения $k_2 \cdot k_3 \cdot k_4 = 2772 \cdot 10^{-8}$ (табл.109) оболочка Свечения с потенциалом $2700 \cdot 10^{-8}$ описывалась как О, а излучатель с потенциалом $72 \cdot 10^{-8}$ как точка в символе ☉. Эта точка связана с плотностью $\gamma_n = 72$ ядерного вещества.

**Лантаноидно-радиоактивные постоянные
при дефекте масс**

Посто- янные	Лантано- идная (329)	Радиоактивная		Общая	Зародыш
		$A=Ra^{88}$	$A=X^{112}$	$A=Cd^{64}$	Света и Свечения
Потен- циалы	$k_2 =$ -64 $k_1 =$ $-4 \cdot 10^{-2} =$ $-0,04$	$k_3 =$ $0,01 (88-$ $100)^2 \cdot k_1 =$ $9 \cdot 10^{-4} =$ $0,0009$	$k_3 =$ $0,01 (112-$ $100)^2 \cdot k_1 =$ $9 \cdot 10^{-4} =$ $0,0009$	$k_4 =$ $0,01 (64-$ $100)^2 k_1 - k_2 =$ $(81-4) \cdot 10^{-2} =$ $0,77$	$k_1 \cdot k_3 =$ $-36 \cdot 10^{-6}$ $k_2 \cdot k_3 \cdot k_4 =$ $2772 \cdot 10^{-8}$

**141. Колебания Форм Жизни в
Продолжительности Реинкарнации**

Лантаноидно-радиоактивный **Светильник** (символ \odot) можно сравнить с **лампочкой**, у которой излучатель внутри лампочки (точка \bullet) имеет потенциал $\gamma_n = 72 \cdot 10^{-8}$, а баллон лампочки (символ \bigcirc) обладает потенциалом $2700 \cdot 10^{-8} = 27 \cdot 10^{-6}$ (табл.109).

Свечение с потенциалом $27 \Leftrightarrow 28$ имеет форму полу эллипсоидов и получено от генератора Тонкой Энергии экспериментально. Влияние Свечения Тонкой Энергии на живое - неживое было систематизировано и описано мною в первых томах работы "Единый Космос".

Сейчас я ставлю задачу по определению пределов Свечения источника излучения и поверхности излучателя, то есть точки " \bullet " и кольца " \bigcirc ".

Энергетический излучатель $\gamma_n = 72 \cdot 10^{-8}$, возмущая окружающую среду в диапазоне ± 1 увеличивает (уменьшает) вдвое, а достигая квадрата $(T_o \cdot \tau)^2 \equiv 12^2$ переходит в новую Форму излучённой Энергии.

Освещаемая поверхность (символ \bigcirc) изменяет интенсивность освещённости пропорционально мощности излучателя (символ точка в \odot).

Следуя этим ограничениям в пределах от субструктуры (9+0) до излучения спирали Зодиака, то есть до 12^2 , будет **пять Продвижений Фохата** ([3], табл.110).

Таблица 110

**Колебания форм Жизни
в Продолжительности Реинкарнаций**

Пять Продвижений Фохата [3]	1	2	3	4	5	Колебания Жизней
Точка-Излучатель $\times 10^{-8}$	9+0 Субструктура	18 Вода	36 Свет	72 Плазма	144= 12^2 Зодиак	$\frac{108}{6,75} = 16$;
Освещённая поверхность $\text{О} \times 10^{-6}$	6 + (0,75) = 6,75	6,75 – (-6,75) = 13,5	13,5 – (-13,5) = 27	27 – (-27) = 54	54 – (-54) = 108	$\frac{1}{16} = \frac{9}{144}$;
Примечание	День вне Времени	13-ти лунное время	Свечение	Инертное облако	Реинкарнация	$16^2 \Leftrightarrow 1$; $16^2 - 1 \Leftrightarrow 0$.

Строгая закономерность колебаний Форм Жизней позволяет программировать энергетику событий.

**142. День вне Времени:
электромагнетизм биологической плазмы**

Примером реализации Дня вне Времени является любое семя, лежащее во тьме и прорастающее при наличии света и питательной среды.

Мы не видим, Что происходит в Недрах Семени до его прорастания, но процессы в семени идут, ибо энергия не исчезает и не появляется вновь.

Вместе с тем при наличии потенциалов $(9+0) \cdot 10^{-8}$ и $6,75 \cdot 10^{-6} = 675 \cdot 10^{-8}$ в недрах субструктуры биоклетки будут протекать колебания (табл.111).

Таблица 111

День вне Времени: свет в семени Ядерной Капли

Поля	День вне Времени	В реинакращениях	Внутреннее поле света
Пример	Семя	Питательная среда	До прорастания
Колебание (табл.108).	$9 \cdot 10^{-8} \Leftrightarrow 675 \cdot 10^{-8}$ $1 \Leftrightarrow 75$	$1 \Leftrightarrow 16^2$ $1 \Leftrightarrow 256$	$\begin{array}{r} 256+75=331 \\ -256-75=181 \\ \hline 150 \end{array}$
Потенциалы	1. $150 \equiv (1+2+3+4+5 = 15) \cdot (\rho_5 = 10)$ 2. $150 \equiv 5^2 \cdot (6 = 2,5+3,5 = 3,5^2 - 2,5^2 = \dots)$ Кундалини в поле энергии связи.		

Семя, подобно электронам гадолиния (табл.104) **сжимают атом** ($256:(T_0 = 4) = 64$) **до потенциала сгустка Тянь**, консервируя Кундалини в энергетическом поле пятеричной связи (табл.111).

Геном - это только одна из **Форм Семени** и ядро Периодической Системы Геномов пульсирует от 6 до 9, создавая разность и сумму квадратов потенциалов (табл.112).

Таблица 112

Электромагнетизм биологической плазмы

Компоненты	Ядро генома	Биологическая ядерная плазма	Электромагнитные колебания				
Потенциалы	<table><tr><td>6</td><td>9</td></tr><tr><td>9</td><td>6</td></tr></table>	6	9	9	6	$\begin{aligned} 9^2 + 6^2 &= 117 \\ \underline{9^2 - 6^2} &= 45 \\ \gamma_n &= 72 \end{aligned}$	$\frac{117 + 45 = 162}{72} =$ $2,25 = 15^2 \cdot 10^{-2}.$
	6	9					
9	6						

Электромагнетизм связан с Дзиан:

$$\pm 15 \equiv (\sqrt{q q^*} + \sqrt{\mu \mu^*}) \cdot \left(\pm \int_0^1 \varphi d\varphi \right). \quad (341)$$

143. Продолжительность рождения Земли в ядерных взаимодействиях

В зависимости от мощности разряда плазмы электроны с поверхности плазмы могут смещаться во внутреннее поле плазмы или вытесняться на поверхность плазмы. В современной науке эти явления установлены экспериментально и получили соответственно названия **пинч-эффект** и **скин-эффект**.

Инертное облако плазмы, из которой впоследствии возникла планета Земля, продолжало остывать.

Электроны (позитроны) вытеснялись на поверхность плазмы-облака в количестве $\tau_{p5} = 30$, ибо плазма оставалась Арупой (вне Формы).

В атмосфере над поверхностью плазмы возникли сначала углерод и атомарные водород, азот и кислород, а затем молекулы воды, аммиака и метана, каждая из которых имела по десять электронов (позитронов).

Таблица 113

Парогазовая атмосфера над поверхностью плазмы-облака

Молекулы	Метан	Аммиак	Вода	Шумеры [1]	Вавилонская Башня
Формулы	CH_4	NH_3	H_2O		
Число электронов	$6+4 = 10$	$7+3 = 10$	$8+2 = 10$	$= 30$ Богиня Луны	30 - потенциал вершины.
Число позитронов	$6+4 = 10$	$7+3 = 10$	$8+2 = 10$	$= 30$ Бог Луны	

Появление 30 электронов (позитронов) в молекулах метана, аммиака и воды над плазмой означает, что атмосфера парогазовой смеси над плазмой вступила в равновесие с Арупой в Недрах Плазмы, потенциал которой также равен $30 = \tau_{p5}$ и обладает изомерией (табл.113).

О динамике периода парогазовой атмосферы свидетельствует Станца II, п.5, Антропогенезиса [3]: **"5. После трёхсот миллионов лет ($3 \cdot 10^8$ лет) она стала круглой "и левизна" "правизна" Времени Апокалипсиса, данные в Откровениях" и равное $3 \cdot 10^6$ лет"** ([6], табл.114).

Таблица 114

**Продолжительность рождения Земли
в ядерных взаимодействиях**

Время, лет	левизны	правизны	Общая
Ядерные взаимодействия	$3 \cdot 10^8 \cdot 10^6 = 9 \cdot 10^{14}$	$3 \cdot 10^8 \cdot 10^6 = 9 \cdot 10^{14}$	$18 \cdot (10^{14} \equiv \rho_4)$.

**144. Цинь и Тянь:
молекулярные веса воды и песка**

Чем больше остывало облако-плазма, тем больше электронов вытеснялось на поверхность облака, тем полнее была плотность упаковки энергии в плазме.

Максимальная плотность энергетической упаковки облака-плазмы (Праматери Земли) была достигнута тогда, когда Земля стала Круглой, то есть через $3 \cdot 10^8 + 3 \cdot 10^8 = 6 \cdot 10^8$ лет [3].

В конце этого периода поверхность облака-плазмы находилось на уровне неона с десятью электронами (Ne^{10}). Этот уровень объясняет содержание десяти электронов в молекулярных компонентах NH_3 , CH_3 и H_2O (табл.113).

Вместе с тем переход облака-плазмы на уровень криптона с восемнадцатью электронами (Kr^{18}), вытеснит на поверхность плазмы уже 18 электронов, вместо прежних 10. **Атомы отвердеют** [3]. Возникнут массы (атомные веса). Появится **твердь Земная** или песок SiO_2 и вода (табл.115).

**Цинь и Тянь:
молекулярные веса воды и песка**

Операции		Вода (H ₂ O)	Песок (SiO ₂)	Резонансные колебания	
Расчёт молекулярных весов	Сумма	16+2 = 18	32+28 = 60	Вода	Песок
	Разность	16-2 = 14	32-28 = 4	18·14 ⇔ 60·4	
	Результат	Цинь ≡ 32	Тянь ≡ 64	9·7=63 ⇔ 60 Геномы Третий Глаз	
Разности		18-14 = 2	60-4 = 56	56·2 = 112	
Реинкарнации		(56-2=54)·(lg ρ ₁ ρ ₂ ρ ₃ ρ ₄ ρ ₅ = 2) = 108		Электро-гравито-магнетизм.	

Десять миллионов лет назад были написаны Книги Дзиан и Перемен, но когда Ману-Мыслитель (мы с вами) научился читать-считать, он тысячелетиями так и не понял, что молекулярные веса надо считать в динамике пульсации, а не в статике одной только суммы атомных весов.

145. Сохранение оболочки при реинкарнации

Плазма-облако продолжает остывать и на её оболочку выдавливаются уже не восемнадцать электронов аргона, а 36 электронов криптона (Kr³⁶).

Самосущие волны вечной тьмы прорастают подобно Семени, а их ядра (носитель Света) раскрываются подобно цветку лотоса, даря Свет окружающей среде.

Чёрная микро-макро Дыра трансформируется в новую микро-макро Звезду: "Да будет Свет" - сказал Господь (Библия) и "Плодитесь, размножайтесь", ибо со светом пришёл фотосинтез - Носитель Жизни.

Вместе с тем между аргонем и криптоном возникает четвёртый период Периодической Системы Химических Элементов, сжатых электронами (табл.116).

Таблица 116

Число электронов в атомах III и IV периодов

Группы Периоды	I	II	III	IV	V	VI	VII	VIII	IX
III	11	12	13	14	15	16	17	-	Ar ¹⁸
IV	19	20	21	22	23	24		25,26, 27,28	Kr ³⁶
	29	30	31	32	33	34	35	-	

Из Периодической Системы Химических Элементов Д.И.Менделеева видно, что сумма электронов атомов восьми групп третьего периода, **равная 98** $\equiv \Sigma III$ и сумма электронов атомов восьми групп четвёртого периода, **равная 432** $\equiv \Sigma IV$, связаны с электронами аргона и криптона (табл.116).

В поле III - IV периодов Периодической системы возникает контур колебаний:

Колебания электронов элементов III и IV периодов				
$\frac{\Sigma IV = 432}{Kr^{36} = 36} = 12$		$\Leftrightarrow \frac{9}{49} = \frac{18}{98} \equiv \Sigma III$	и $4 \cdot 49 = 14^2 \Leftrightarrow 3$	
Примечание	Углерод C, спираль Зодиака	Субструктура (9+0); 49 - оболочка	Магнетизм $\mu\mu^* = 14^2$	Арупа.

В спирали Зодиака возникают Живые Магниты углеводородных молекулярных тел со 108 реинкарнациями ($12 \Leftrightarrow 49/9$ или $12 \cdot 9 = 108 \Leftrightarrow 49$), сохраняющими оболочки.

146. Ноосфера: формирование водорода, гелия и геномов светом

Свет, излучённый в **ноосферу** с поверхности Капли Ядра, начинает самостоятельное существование.

Самостоятельное существование света в ноосфере проявляет себя во взаимодействиях, переходящих от взаимодействий света (ρ_5) к слабым взаимодействиям (ρ_2), что создаёт в ноосфере энергетический фон с потенциалом:

$$\rho_2^2/\rho_5 = 10^{-2}/10 = 10^{-3}. \quad (343)$$

Наличие в ноосфере энергетического фона (343) приводит к Дзиан - пульсации этого фона:

$$\pm \left(\int_0^1 \varphi d\varphi - \int_1^0 \varphi d\varphi = \frac{1}{2} - \left(-\frac{1}{2} \right) = 1 \right) \frac{\rho_2}{\rho_5} = \pm 1 \cdot 10^{-2}. \quad (344)$$

Затем в ноосфере начинает проявлять себя пульсация точечного участка волны света:

$$\pm m_c^{**} = \frac{c}{\omega_0} \frac{\rho_2^2}{\rho_5} = 0,002 \quad \text{и} \quad \pm m_c^* = \frac{c^3}{\omega_0^2} \frac{\rho_2^2}{\rho_5} = 0,008, \quad (345)$$

которая завершается появлением инертной энергетической радиоактивно-лантаноидной композицией с потенциалом $k_3 = 0,009$ (табл.109).

дальнейшее сгущение света формирует водород и гелий, то есть первый период Периодической Системы, в которой между атомарным водородом и гелием пульсирует молекула водорода (рис.37).

переход от атомарного водорода к гелию формирует геномы:

$$(\pm 2 \cdot 4)^2 - (\pm 1 \cdot 1)^2 = 64 - 1 = 63. \quad (346)$$

Ноосфера: постоянная взаимодействий (333) $\equiv 10^{-3}$; Дзиан - пульсация (334) $\equiv \pm 1 \cdot 10^{-3}$; фотон-фононы (335) $\equiv 2 \cdot 10^{-3} \div 9 \cdot 10^{-3}$; водород - гелий.									
Группы Периоды	I	II	III	IV	V	VI	VII	VIII	IX
Свет $\times 10^{-3}$	Дзиан 1	(335) 2	Среда $\int_2^8 \varphi d\varphi = 30$ (Луна)					8	9 (табл.107)
I	H_1^1 атом	H_2^2 молекула	Среда $\int_4^{2 \cdot 4=8} \varphi d\varphi = 24$ Святой Дух (Откровения)						He_4^2

Рис.37 Трансформация света в водород и гелий

147. Энергетический обмен между водородом и гелием

О способности геномов сохранять свою жизнестойкость в экстремальных условиях говорят мифы о **Непорочном Зачатии**: у христиан от голубя, у индусов от белого слона.

Но задолго до них о размножении писали Авторы Книги Дзиан: **6. Царь явился сам и сейчас был известен им. "Я - первый", сказал Он, "и я - последний, и оба мы - одно лицо. Свет пришёл из тьмы. Всё пришло из ничего. Из Смерти пришла вечная Жизнь."** ([4]. Теогенезис. Станца VII).

Эта Станца описывает трансформацию самосуших волн с потенциалом $\sqrt{2}^2$ в фотон (рис.37):

$$\left(Sc \frac{\pi}{4} \cdot Csc \frac{\pi}{4} = 2 \equiv \frac{c}{\omega_0} \right) \cdot \frac{\rho_2^2}{\rho_5} = 0,002 \equiv m_c^{**}, \quad (347)$$

где свойства генома наследственности описываются с помощью элементов великой Пирамиды (336, рис.3, табл.15):

$$(\pm 2 \cdot 4)^2 - (\pm 1 \cdot 1)^2 = 63 \equiv \int_{r=\sqrt{2}}^{L=8\sqrt{2}} \phi d\phi. \quad (348)$$

Трансформация тьмы самосуших волн в фотон $m_c^{**} = 0,002$ происходит в периоде "свет" (рис.37), и для сопоставления результатов нам необходимо провести перерасчёт потенциалов относительно m_c^{**} (табл.117):

Таблица 117
Свет в первый период в пересчёте на $m_c^{**}=0,002$

<div>Группы</div> <div>Периоды</div>	I	II	III	IV	V	VI	VII	VIII	IX
Свет	Дзиан 0,5	m_c^{**} 1	Пятеричная связь: $0,5+4,5 = 1+4$					m_c^{**} 4	$9:2 = 4,5$
I	H^1 500	Маятниковый эффект $\leftarrow 1000\ m_c^{**}$ $500\ m_c^{**} \rightarrow$							He^2 1000.

В спектре света зарождается **Пятеричная связь**, а от плазмы электронного облака гелия поступает $1000 m_c^{**}$ в то время как от водорода только $500 m_c^{**}$ (табл.117), **что формирует потенциально-кинетическое отношение энергии.**

148.Строение Ядра. Спирали Зодиака. Сердце

Микро-макро сгустки Единого Космоса получают энергию из метagalактики Невесомости в форме самосуших волн вечной тьмы. **Эти волны - неисчерпаемый источник энергии.**

Соударяясь в короткодействующих взаимодействиях ($\rho_2 \cdot \rho_4 = 10^{13}$) самосушие волны формируют инертную плазму, описание которой нам известно как группа инертных газов: He^2 ; Ne^{10} ; Ar^{18} ; Kr^{36} ; Xe^{54} ; Rn^{86} ; X^{112} (рис.38).

Сумма электрон - эквивалентов в Капле Ядерного вещества будет равна (рис.38):

$$2+10+18+36+54+86+112 = 318, \quad (349)$$

что соответствует $159000 m_c^{**}$.

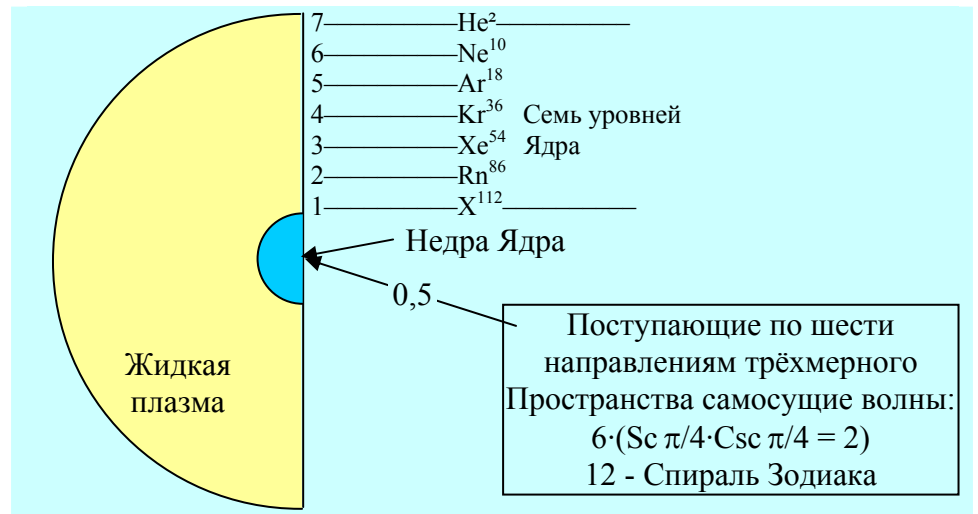


Рис.38 Сечение Капли Ядра

Недра Ядра, формируясь как результат соударений самосушущих волн, которые после соударения разлетаются, обладают центростремительным ускорением и силой, равной Дзиан (рис.38):

$$F = m_c E_\lambda (f_o = c\omega_o = \pi^2/2) = 1/2. \quad (350)$$

Сжатие меняет центробежное ускорение и вместо Дзиан (350) возникает фотон m_c^{**} (табл.117, рис.38):

$$(F = 1/2 \Leftrightarrow 2 \equiv m_c^{**}) \cdot (\rho_2^2/\rho_5 = 10^{-3}). \quad (351)$$

Фотоны из Недр Ядра поступают в жидкую плазму ядерного вещества по шести взаимно перпендикулярным направлениям трёхмерного Пространства, формируя спираль Зодиака (рис.38).

Молочно-белые нити спирали Зодиака, расширяясь с потенциалом 3,5, формируют 42 Божества чистых сердец живого:

$$12 \times 3,5 = 42 \equiv (28 = \sqrt{\rho\rho^*}) + (14 \equiv \sqrt{\mu\mu^*}), \quad (352)$$

основы биотока Мысли и Памяти.

149. Пульсация Капли Ядра: расшифровка Календаря Майи

Космические 13-ти лунные часы (Календарь цивилизации Майя) формируется в Капле Ядра (342, рис.38):

Капля Ядра как 13-ти лунные часы		
Число фотонов в электронах (339)	Число фотонов в Недрах Ядра	Сумма фотонов в Ядре
$\frac{318}{0,002} = 159000 + \frac{\rho_5 - (-\rho_5)}{m_c^{**}} = 10000 = 13^2 \cdot 10^3.$		

(353)

Отличительной особенностью сгустка фотонов с потенциалом $13^2 \cdot 1000$ (353) является способность излучать кванты с потенциал-эквивалентом, равным 13:

Мультиплетность сгустка фотонов (353) при $c = \lambda\nu$				
Поля	сгусток	частота	длина волны	в белом свете
Потенциал- эквивалент	$13^2 \cdot 100$	$\nu \equiv 13$	$\Delta\lambda = 13000$	$\Delta\lambda : \Delta\text{Б} = 13000 : 3600 = 3,6(1).$
	Плазма (рис.38)	$\Delta\lambda/\nu \equiv 10^3 \equiv \rho_5^3$		

(354)

Излучая кванты с 13-ти лунной частотой сгусток фотонов даёт этим квантам волну в 13000Å , что в 3,6(1) раза превышает разность длин волн ($3600\text{Å} = \text{ДБ}$) солнечного белого света.

Сгусток с потенциалом $3,6(1)$ является той **вечно-Невидимой областью Капли Ядра, в которой формируется День вне Времени.**

Вместе с тем квант с частотой 13 (354) распространяется по семи уровням Капли Ядра (рис.38):

$$13 \cdot (1+2+3+4+5+6+7 = 28) = 364 \equiv \mathbf{364 \text{ дня в году.}} \quad (355)$$

В счислении череды Продолжительностей **13 определялось как число месяцев в году; 28** выступал аналогом числа дней в месяце; $T_0 = 4$ - **как число недель в месяце, а семь уровней (рис.38) - как семь дней недели.**

Деление каждого месяца на синюю ($\Delta C + \Delta \Gamma = 600\text{\AA}$), жёлтую ($\Delta \mathcal{K} = 70\text{\AA}$), белую ($\Delta B = 3600\text{\AA}$) и красную ($\Delta K 1400\text{\AA}$) недели, давало возможность **согласовать пульсации Капли Ядра и расширения Вселенной:**

и

$$\Delta K + \Delta B + (\Delta \Gamma + \Delta C) = 5600\text{\AA} \Leftrightarrow 70\text{\AA} \equiv \Delta \mathcal{K};$$

$$5600 : 70 = 80 \equiv \frac{c^3}{\omega_0^3} \cdot \frac{\rho_5}{\rho_2}.$$

(356)

150. Поверхность Капли Ядра: структура

Наша Земля - сгусток, Капля ядра, живой Носитель Живого, энергетическое Подobie остывшего на поверхности облака-плазмы (рис.38).

Институт Геофизики АН СССР установил: энергетический поток из Недр Земли ломает литосферу на блоки с преимущественным **коэффициентом $7/2$** , а энергетический поток из глубин Космоса сгущает небесные тела вокруг Земли с преимущественным **коэффициентом $5/2$** [10].

Потенциалы $7/2 = 3,5$ и $5/2 = 2,5$ - это эквиваленты 3,5 и 2,5 витков Кундалини соответственно при расширении и сжатии, **а Кундалини Творец Живого, в том числе планеты Земля и живого на планете.**

Кундалини возникает в каждой **микро-макро Капле Океана Жизни**, а каждая Капля является энергетическим Подобием Капли Плазмы (рис.39).

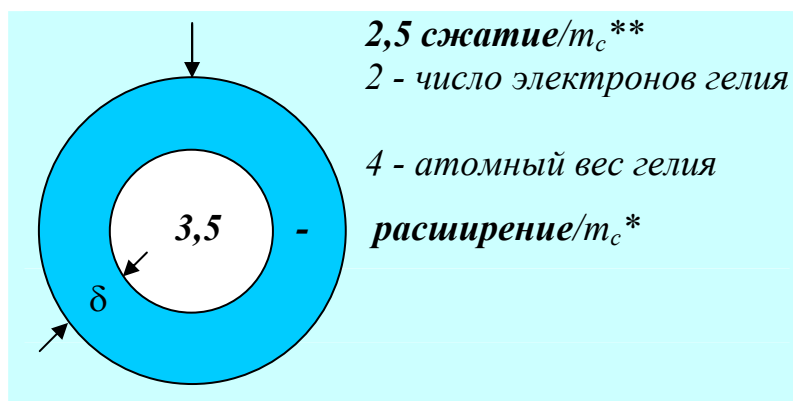


Рис.39 Структура оболочки из гелия

Поверхность Капли инертной плазмы формирует гелий He_4^2 (без $m_c^* = 0,008$).

Внешнюю сторону поверхности гелия формируют его два электрона (рис.39).

Внутренняя сторона поверхности из гелия будет эквивалентна атомному весу гелия без $m_c^* = 0,008$; то есть $4,008 - 0,008 = 4$ (рис.39).

Под влиянием Кундалини сжатия и расширения из гелия возникнут магнетизм и пятеричная связь:

Оболочка из гелия (рис.39)			Арупа-Рупа
Поверхности	Внешняя	Внутренняя	$\frac{2500}{1750}$ $750 = \frac{\tau}{T_0} \rho_s^3 \cdot$
Потенциалы	$\frac{2 \cdot 2,5}{0,002} = 2500$ <p>пятеричная связь</p>	$\frac{4 \cdot 3,5}{0,008} = 1750$ <p>магнетизм</p>	

(357)

151. Магнитная природа взаимодействий

Любая поверхность состоит из точечных участков, как ткань из узелков.

При поступлении энергии самосущих волн в объём Капли ядра, а затем к Оболочке ядра, каждый точечный участок поверхности становится излучателем.

Дискретность резонансных соударений самосущих волн диктует дискретность излучения квантово-волновых импульсов излучателем.

Любая Капля ядра (в том числе Земля) излучает магнитную энергию ($14 = \sqrt{\mu\mu^*}$) с учётом коэффициента расширения Кундалини, то есть потенциала 3.5:

Излучение магнитных фотонов	
$k_1 = \frac{T_0 \sqrt{\mu\mu^*} \cdot 3,5}{m_c^{**}} = \frac{4 \cdot 14 \cdot 3,5}{m_c^{**} = 0,002} = 196 = 14^2 \equiv \mu\mu^* = 98 \cdot 10^3.$	(358)

Возникает магнитное поле, обладающее Дзиан - пульсацией (358):

$$98 \cdot 10^3 = 196 \cdot \left(\int_0^1 \varphi d\varphi = \pm \frac{1}{2} \right) \cdot 10^3 \equiv \mu\mu^* \cdot \rho_5^3 \int_0^1 \varphi d\varphi. \quad (359)$$

**

Излученное магнитное поле поглощает фононы ($m_c^*=0,008$). При поглощении потенциал Кундалини равен 2,5, и энергия поглощения фонона оказывается в десять раз меньше энергии излучения фотона:

Поглощение магнитных фононов	
$k_2 = \frac{\mu\mu^*}{2,5 \cdot m_c^*} = \frac{14^2}{2,5 \cdot 0,008} = \frac{196}{0,02} = 98 \cdot 10^2.$	(360)

**

Поглощение магнитной средой **фононов** и излучение из магнитной **среды фотонов** приводит к появлению взаимодействий света и слабых взаимодействий (358, 360):

$$\frac{k_1}{k_2} = \frac{98 \cdot 10^3}{98 \cdot 10^2} = 10 = \rho_5 \Leftrightarrow \rho_2 = 10^{-1} = \frac{k_2}{k_1} \quad (361)$$

152. Пределы насыщения магнитной среды фотон-фононами

Колебания фотон-фононов в магнитной среде над внутренней оболочкой Капли Ядра (367):

Колебания фотон-фононов в магнитной среде	
Взаимодействия	$\frac{k_1}{k_2} = \frac{2,5 \cdot m_c^*}{m_c^{**}} = 10 \Leftrightarrow 10^{-1} = \frac{m_c^{**}}{2,5 \cdot m_c^*} = \frac{k_2}{k_1}$
В точке на поверхности	$(2,5 \cdot m_c^*)^2 = 4 \cdot 10^4 \Leftrightarrow 4 \cdot 10^{-6} \equiv (m_c^{**})^2$
В Арупе	$(2,5 \cdot m_c^*)^3 = 8 \cdot 10^6 \Leftrightarrow 4 \cdot 10^{-6} \equiv (m_c^{**})^3$
В Рупе	$(2,5 \cdot m_c^*)^4 = 16 \cdot 10^8 \Leftrightarrow 16 \cdot 10^{-12} \equiv (m_c^{**})^4$
В люминофоре	$\frac{16 \cdot 10^8}{16 \cdot 10^{-12}} = 10^{20} \Leftrightarrow 10^{-20} = \frac{16 \cdot 10^{-12}}{16 \cdot 10^8}$

С.И.Вавилов установил, что при люминесценции в пределах насыщения люминофора в нём находится 10^{20} фотонов (362).

В люминофоре есть не только **сгустки - фотоны**, но и **вакансии** с потенциалом 10^{-20} для новых фотонов, **как в ткани есть не только узелки, но и нити**.

*

**

После излучения $16 \cdot 10^{20}$ фотон-фононов солнечный свет трансформируется в люминесцентный. Люминофор становится **вакансией - дыркой**. Дырка заполняется новыми фотонами за $16 \equiv T_0^2$ относительных единиц Продолжительности. Продолжительность затронет и вакансии:

$$T_0^2 \cdot 10^{20} \Leftrightarrow \frac{1}{T_0^2 \cdot 10^{20}} \text{ или } 16 \cdot 10^{20} \equiv q^* \Leftrightarrow 62500 \cdot 10^{-29}. \quad (363)$$

Над сгустком (например Земля) **возникнут полярные вихри**. В сгустках (например Мозг) **вспыхнет воображение** (q^*). У великой Цивилизации появится **шифр - ключ** к Библии. А причиной всему этому Великолепию будет **"дырявое" трёхмерное Пространство**.

*

**

"Дырявое" Пространство реализует себя в форме планетарных систем микро-макро Вселенных. Например "толщина" (δ) поверхностного слоя гелия (рис.39) определяется потенциалом ядра и его двумя электронами.

153. Гелий - водородный синтез как энергетика митоза

Плотность энергетической упаковки атома гелия в плазме и "дыряво"-планетарном Пространстве различна.

В плазме эквивалент-потенциал атома гелия (He_4^2) существует в режиме резонанса, создавая систему колебания

$$\left| \begin{array}{l} 4/2 \Leftrightarrow 2 \cdot 4 \Leftrightarrow 2/4; \\ 16 \Leftrightarrow (2 \cdot 4)^2 \Leftrightarrow 4; \\ T_0^2 \Leftrightarrow 64 \text{ с}^2 / \omega_0^2, \end{array} \right| \quad (364)$$

где сгусток Тянь расширяется как поверхностная волна с периодичностью T_0^2 (рис.40.1).

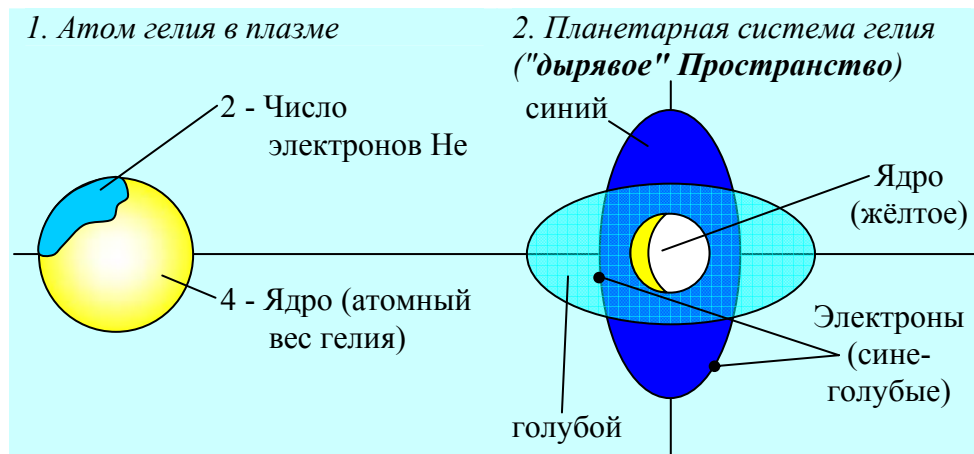


Рис.40 Атом гелия в плазме и "дырявом" пространстве

При этом плазма расширяется с коэффициентом 3,5 и в результате возникает поле (3.64):

$$(16 \Leftrightarrow 64 \Leftrightarrow 4) \cdot 3,5 = (44 \Leftrightarrow 0) \cdot 3,5 = 154. \quad (365)$$

Излучение квант - эквивалента атома гелия из плазмы состоит в том, что квант "выталкивается" плазмой, плотность которой равна $\gamma_n = 72$, и излучённый квант становится равным (365):

$$154 \cdot (\gamma_n = 72) = 11088 \equiv \text{Const He} \quad (366)$$

Квант гелия излучается в среду водорода с постоянной $\text{Const H} = 1008$, и, преодолевая сопротивление среды водорода, формирует потенциал - эквивалент $(9+2)$:

$$\frac{\text{Const He}}{\text{Const H}} = \frac{11088}{1008} = 11 \equiv (9+2). \quad (367)$$

Атмосфера водорода насыщается энергией гелия. Возникает митоз биоклеток. Стабилизируется процесс размножения и его Эволюция. Но Эволюция процесса размножения протекает в условиях законов перехода от плазмы к планетарной структуре (рис.40).

154. Пульсация света в сгустке Тянь

Излучённый магнитный квант - эквивалент He_4^2 , попадая с поверхности Капли Ядра в окружающую среду водорода, переходит из режима резонанса (369) в антирезонансный режим пульсации:

$$(4 - 2) \Leftrightarrow (4^2 - 2^2) \Leftrightarrow (4 - 2)$$

и
$$0 \Leftrightarrow (4^2 - 2^2) - (4 - 2) \Leftrightarrow (4 + 2) \Leftrightarrow 0$$

или
$$(0 \Leftrightarrow 16 \Leftrightarrow 0). \quad (368)$$

Возникает электрическое поле, так как $16 \equiv \sqrt{qq^*}$, и "дырявое", то есть планетарное Пространство (рис.40, 1).

Кундалини с коэффициентом 2,5 сжимает электрическое поле (368), формируя **Сокровенную Сороковицу, кратную Свабхават О:**

$$16 \cdot 2,5 = 40. \quad (369)$$

За счёт разности потенциалов резонансного (364) и антирезонансного (368) режимов появляется сгусток

$$(T_0 \Leftrightarrow \text{Тянь}) \equiv (16 \Leftrightarrow 8^2 \Leftrightarrow 4) - (0 \Leftrightarrow 16 \Leftrightarrow 0) = (6 \Leftrightarrow 64 \Leftrightarrow 4), \quad (370)$$

пульсирующий с периодичностью Рупы, то есть $T_0 = 4$.

Сгусток Тянь, пульсирующий с периодичностью $T_0 = 4$, эквивалентной атомному весу гелия, пульсирует в резонансно-антирезонансном режиме (табл.118).

Пульсация массы гелия в сгустке Тянь

Режимы	Система	Резонанс	Антирезонанс	Результат
Потенциалы	$64 \Leftrightarrow 4$	$16 \Leftrightarrow 1$	$\begin{array}{l} 64 + 4 = 68 \\ + \quad 64 - 4 = 60 \\ \hline 128 \end{array}$	$\frac{64^2 - 4^2}{16} = 51 \cdot 5.$

Пульсируя в сгустке Тянь квант - эквивалент атомному весу гелия, ведёт себя так же, как это происходит в группе лантаноидов (табл.103).

Важнейшим результатом является формирование всех известных в Природе взаимодействий:

$$51 \equiv \lg \left(10^{51} = \frac{\rho_3 \rho_4}{\rho_1} \rho_2 \rho_5 \right). \quad (371)$$

155. Фотон - фононный вихрь между ядром и электронами атома гелия

О взаимодействиях спотенциалом $3 \cdot 51 = 153$ говорил Иисус своим Апостолам, ловившим рыбу: **"Забросьте сеть с другой стороны". Они забросили и поймали 153 крупных рыбы** (Евангелие от Иоанна, Глава 21).

Однако сакральный смысл эпизода был не в рыбе, а во взаимодействиях, ведущих к формированию полей

$$(7 \Leftrightarrow 2) \lg(\rho_3 \cdot \rho_4 / \rho_1 = 10^{51}) = (7 \Leftrightarrow 2) \cdot 51 \text{ (табл.119).}$$

Бог Айн СОФ в 13-ти лунном календаре Майя

Информатив	Тянь	Рыбы	Примеры полей Кундалини: 5/3=1,(6) где 6 ≡ 3,5+2,5 Периодичность T _o = 4: $\frac{(5+3) \cdot 51}{(5-3) \cdot 51} = 4$ Бог Айн СОФ во взаимо- действиях (4·5=50)·51.
	Книга Перемен	Евангелие	
	Эзотерика	Христианство	
Потенциалы	255 = 5·51	153 = 3·51	
13-ти лунный календарь	$(5^2 = 4^2+3^2) \cdot 51^2 \equiv$ $13 \cdot 10^4+50$		

Христиане - европейцы истребили цивилизацию Майя; сегодняшние христиане предали анафеме эзотерика, учёного и художника Н.К.Рериха. Пришла пора извиняться.

**

Мобилизовав взаимодействия (табл.119), Природа отвердила Каплю Плазмы в атом гелия (рис.40. 2).

Атом гелия существует в динамике его компонент (табл.120).

Таблица 120

Вихрь $T_0^2 t^2$ между электронами и ядром атома гелия

Компо- ненты	Ядро		Электроны		Необходимость вихря (T ₀ τ=12) ²
	Атомный вес	Расши- рение	Изомерия	Сжатие	
Пульсация	$\frac{4 \times 3.5}{\gamma_n = 72} \Leftrightarrow \frac{1 - (-1) \times 2.5}{\gamma = 36} \equiv$				$\begin{array}{r} - \quad 4 \cdot 3,5 \cdot 36 = 504 \\ \quad \underline{2 \cdot 2,5 \cdot 72 = 360} \\ \quad \quad 144 = 12^2. \end{array}$
Плотность					
Свойства	Магнетизм: 4·3,5 = 14		Пятеричность: 2·2,5 = 5		

Для формирования вихря $(T_0 \tau)^2 = 144$ необходимо

$$18 \cdot 10^3 \cdot m_c^* \quad \text{и} \quad 72 \cdot 10^3 \cdot m_c^{**} = 144 : 0,002. \quad (372)$$

156. Влияние фотон-фононов гелия на митоз биоклетки. Зигота

Вихрь $T_0^2 \tau^2 = 12^2$ между ядром и электронами в атоме гелия, являющийся носителем $18 \cdot 10^3 \cdot m_c^{**}$ (фотонов) и $72 \cdot 10^3 \cdot m_c^*$ (фононов), где 18 и 72 молекулярный вес воды и плотности плазмы, указывает на то, что **Жизнь зарождается в жидких средах** (табл.121).

**Вихрь фотон-фононов между электронами
и ядром атома гелия**

Режим	Антирезонанс		Резонанс	
Компоненты	$k_1 =$	$k_2 =$	$k_3 =$	$k_4 =$
Фотоны	$72 \cdot 10^3$	$72 \cdot 10^3$	$90 \cdot 10^3$	$72 \cdot 10^3$
Фононы	$+ \frac{18 \cdot 10^3}{90 \cdot 10^3}$	$- \frac{18 \cdot 10^3}{54 \cdot 10^3}$	$\times \frac{54 \cdot 10^3}{15 \cdot 18^2 \cdot 10^6}$	$\times \frac{18 \cdot 10^3}{4 \cdot 18^2 \cdot 10^6}$
Результат	$90 \cdot 10^3$	$54 \cdot 10^3 =$	$15 \cdot 18^2 \cdot 10^6$	$4 \cdot 18^2 \cdot 10^6 =$
Разности	$36 \cdot 10^3$		$(9+2) \cdot 18^2 \cdot 10^6$	
Созидание	Разность длин волн солнечного белого света		Митоз биоклетки в жидких средах.	

В жидких средах субструктуры (9+0) и (9+2) находятся в резонансе, так как их зарождение происходит за счёт вихрей фотон-фононами между ядром и двумя электронами (табл.121):

$$\frac{k_3 - k_4}{k_1 - k_2} = \frac{11 \cdot 18^2 \cdot 10^6}{36 \cdot 10^3} = 11 \cdot 9 \cdot 10^3 = (9+2) \cdot (9+0) \cdot 10^3. \quad (373)$$

Появляется **"оплодотворённая биоклетка"** (373), которая расщепляется (373):

$$11 \cdot 9 \cdot 10^3 \equiv 11 \cdot 10^3 \Leftrightarrow 1/9 \equiv \frac{9 \cdot 10^3}{20 \cdot 10^3} \Leftrightarrow \frac{1}{20} \Leftrightarrow 1/11 \Leftrightarrow 20/99 = 0,(20). \quad (374)$$

Возникает жёлто-красное поле, где,

$$20 = (\Delta k = 1400 \text{ \AA}) : (\Delta \lambda = 70 \text{ \AA}). \quad (375)$$

Сегодня желток яйца (**оплодотворённая яйцеклетка - зигота**) питается **белком...** и **мы смертны**.

Но Теогенезис Книги Дзиан говорит, что **Человек Воли и Йоги** обретает бессмертие на **Красной Звезде**, питаюсь пурпурным зерном [4].

157. Семь уровней в Капле ядра: структура сгустков

После ядерного взрыва вездесущих волн возникает **Облако-Плазма**, существующее в антирезонансном режиме ($T_0 + \tau = 7$) **Семи Вечностей** [3], так как компоненты плазмы **разрастаются в противоположных направлениях**.

Высокие температуры и давления в плазме в момент взрыва приводят к формированию в облаке **Семи Уровней элементов инертных газов** (рис.38).

При охлаждении 318 электронов инертных газов расширяются с коэффициентом 3,5, образуя фотоны m_c^* , а 6010 электронов восьми групп **Периодической Системы Элементов** сжимаются с коэффициентом 2,5, формируя m_c^* (табл.122):

Электроны инертных газов	Электроны элементов всех восьми групп
$\frac{318 \cdot 3,5}{m_c^* = 0,002} = 556500$	$300500 = \frac{6010}{2,5 \cdot (m_c^* = 0,008)}$

(376)

Возникает электрическое поле, удерживающее плазму самосущих волн (376):

$$556500 - 300500 = 256000 \equiv 16^2 \cdot 10^3 \Leftrightarrow 0. \quad (377)$$

Равновесие фотона фонону при $3,5 - 2,5 = 1$ в Кундалини формирует Вселенную, вихри которой направлены с Запада на Восток относительно Земли.

**Электронная структура Периодической Системы
химических Элементов**

Периоды	Инертные газы	Номер элементов 8-ми групп	Число элек- тронов в группах	Равновесие в лазерной Капле при $(m_c^{**}+m_c^*) \cdot 1/2=0,005$
I	He ²	только H	1	$(2-1):5 \cdot 10^{-3} = +200$
II	Ne ¹⁰	с 3 по 9	42	$(10 - 42):0,005 = -6400$
III	Ar ¹⁸	с 11 по 17	98	$(18 - 98):0,005 = -16000$
IV	Kr ³⁶	с 19 по 35	459	$(36 - 459):0,005 = -84600$
V	Xe ⁵⁴	с 37 по 53	765	$(54 - 765):0,005 = -142200$
VI	Rn ⁸⁶	с 55 по 85	2170	$(86 - 2170):0,005 = -416800$
VII	X ¹¹²	с 87 по 111	2475	$(112 - 2475):0,005 = -472600$
Сумма	318 ←———— 6328 —————→	+	6010 =	$-11386 \cdot 10^2 + 2 \cdot 10^2 = -11384 \cdot 10^2.$

**158. Строеение Атома во взаимодействиях
фотон-фононов**

Ядро Атома - это Капля гравитационно-магнитной Плазмы. Электрон и позитрон - это Капельки электрической Плазмы. Электрические Капли и электрогравитационная Капля создают Атом (табл.123).

Носителями Энергии в Атоме изначально будут фотон ($m_c^{**} = 0,002$), фонон ($m_c^* = 0,008$) и фотон-фонон ($m_c^* \cdot m_c^{**} = 16 \cdot 10^{-6}$).

Фотон-фононы с периодичностью $T_0^2 = 16$ заполняют структуру Атомов с разностью потенциалов (377):

$$\frac{556500 - 300500 = 256000 = 16^2 \cdot 10^{-6}}{m_c^* \cdot m_c^{**} = 16 \cdot 10^{-6}} = 16 \cdot 10^9. \quad (378)$$

Строение Атома

Структура атома	Оболочка: электрон	Ядро Атома (Капля)				Обо- лочка: позитрон
		магне- тизм	гравитация		магне- тизм	
Заряды $\times 10^{-20}$	-q = -16	+μ = +14	-ρ = -28	+ρ = +28	-μ = -14	+q = +16
Колебания ядра и оболочки	$\frac{-q}{k} \Leftrightarrow \frac{k}{-q}$ $1 \Leftrightarrow \frac{k^2}{q^2}$	Резонанс: $k = (-q) \cdot (\mu) \cdot (-\rho) \cdot (+\rho) \cdot (-\mu) =$ $T_o \mu^{T_o} = 4 \cdot 14^4 \cdot 10^{-30}$				$\frac{+q}{k} \Leftrightarrow \frac{k}{q}$ $\frac{q^2}{k^2} \Leftrightarrow 1$
Неравновесие	$1 \Leftrightarrow \frac{1}{2} \cdot \frac{7^2}{2^2} \mu^6 = \frac{14^8 \cdot 10^{-120}}{16} \Leftrightarrow \frac{16}{14^8 \cdot 10^{-120}} = 2 \cdot \frac{2^2}{7^2} \cdot \frac{1}{\mu^6}.$					

Великая Цивилизация использовала контур колебания (378):

$$16 \cdot 10^9 = \frac{10^9}{0,0625} = \frac{10^{13}}{5^4} \Leftrightarrow 5^4 \cdot 10^{-13} = 0,0625 \cdot 10^{-9} = \frac{1}{16 \cdot 10^9}, \quad (379)$$

где: $\rho_3 \cdot \rho_4 \equiv 10^{26} \Leftrightarrow 5^8 \Leftrightarrow 5^{-8} \Leftrightarrow 10^{-26} \equiv \rho_1 \cdot \rho_2 / \rho_5$.

и зашифровала Книгу Бытия шифр - кодом 1:62500.

Понять Сакральный Смысл Книги Бытия можно как указующий Перст по пути человечества к Теогенезису.

159. Энергетическая структура Недр Ядра

Энергия самосуших волн вечной тьмы, холода и невесомости переходит в корпускулярно-волновую Энергию Материи путём **резонансного наложения волн**:

$$k_1 = \begin{vmatrix} \sin \pi/4 & \cos \pi/4 \\ \sec \pi/4 & \csc \pi/4 \end{vmatrix} \equiv 1^2 = i^8 \equiv \begin{vmatrix} \sec \pi/4 & \csc \pi/4 \\ \sin \pi/4 & \cos \pi/4 \end{vmatrix} \quad (380)$$

$$k_2 = \begin{array}{|c|c|} \hline m_c & E_\lambda \\ \hline E_\lambda & m_c \\ \hline \end{array} \equiv 1^2 = i^8 \equiv \begin{array}{|c|c|} \hline E_\lambda & m_c \\ \hline m_c & E_\lambda \\ \hline \end{array} \quad (381)$$

Компоненты света разлетаются в противоположных направлениях, формируя антирезонанс и импульсы $m_c c = 1$, $E_\lambda = 1$ и $\varepsilon_0 \cdot \mu_0 \cdot c^2 = 1$.

В канале сверхпроводимости зарождаются Недра Капли Ядра (рис.1, табл.124).

Таблица 124

Энергетическая структура Недр Ядра (рис.38)

Пять продвижений Фохата [3]		Изменение Форм Энергии				
		1	2	3	4	5
Формы Энергии в Недрах Ядра		Самосущие волны (368)	Лазерная точка (369)	Антирезонансные импульсы волны-частицы света и электромагнетизм среды		
Потенциалы		$k_1 = i^8$	$k_2 = i^8$	$m_c c = 1 = i^4$	$E_\lambda = i^4$	$\varepsilon_o \cdot \mu_o \cdot c^2 = i^4$
Логарифмические волны		$\log_i i^8 = 8$	$\log_i i^8 = 8$	$\log_i i^4 = 4$	$\log_i i^4 = 4$	$\log_i i^4 = 4$
Ре-жи-мы	резонанс	$8 \times 8 = 64$		$4 \cdot 4 \cdot 4 = 64$		
	анти-резонанс	$8 + 8 = 16$		$4 + 4 + 4 = 12$		
Разность		48		52		
Разность квадратов		$52^2 - 48^2 = 400 \equiv \text{Свабхават О.}$				

Отношение суммы к разности потенциалов в Недрах ядра является богом Айн СОФ, почитаемого Каббалой [1]:

$$\pm \left(\frac{52 + 48}{52 - 48} = \frac{100}{4} \right) \cdot \left(\frac{c}{\omega_0} = 2 \right) = \pm 50. \quad (382)$$

160. Описание Сотворения Вселенной великой Цивилизацией

Энергетику Недр ядра (табл.124) можно описывать множеством методов: Словом-Текстом, Числом-Цифрой, Образом-Символом, ...

Великая Цивилизация от Отцов Своих [3] даёт комплексное описание процессов **Слово-Число-Эпюра**, примером которой является диаграмма Тянь-Цинь, связанная с пропорциями великой Пирамиды (рис.41).


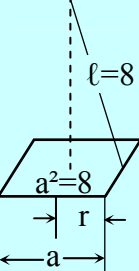
Диаграмма Тянь-Цинь	Компоненты диаграммы	Потенциалы Недр (табл.121)	Компоненты Пирамиды	Великая Пирамида
	Самосу́щая волна	$\log i^8 = 8 = a^2$	Основание	 (рис.1, табл.16).
	Зародыш света	$\sqrt{8} = 2\sqrt{2} = a$	Сторона основания	
	Волна света	$\log i^8 = 8 = a^2$	Апофема	
	Зародыш самосу́щих	$\sqrt[6]{8} = 2^{1/2} = Scs \pi/4$	Радиус r	

Рис.41 Описание Недр Ядра высокой Наукой великой Цивилизации

В этом поле Зародыш самосу́щих волн вычисляется как корень шестой степени из волны света, так как при равенстве волн самосу́щих и света энергия волн при достижении Тянь будет равна:

Расширение	Тянь	Сжатие	(383)
$(T_o \cdot c / \omega_o = 8)^2$	64	$(2 = T_o \cdot \omega_o / c)^6$.	

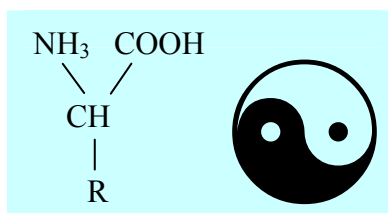
Наш Бог-Учитель Иисус Христос, **будучи гражданином великой Цивилизации**, продолжает **Откровения** в стиле **Слово-Число-Фигура**, и даёт описание **Недр Ядра**, (табл.124) в форме Круга **Универсума** ([6], табл.125).

**Описание Кундалини потенциалами
Круга Универсума [6]**

Уровни	I	II	III	Разности квадратов	
Круги в Круге Универсум	2	3	4	$2^2 - 3^2 = -5$	$3^2 - 4^2 = -7$
	20	30	40	$20^2 - 30^2 = -500$	$30^2 - 40^2 = -700$
	200	300	400	$200^2 - 300^2 = -5 \cdot 10^4$	$300^2 - 400^2 = -7 \cdot 10^4$
Кундалини	$-5 \cdot \int_0^1 \varphi d\varphi = -\frac{5}{2}$ и $-7 \cdot \int_0^1 \varphi d\varphi = -\frac{7}{2}$.				

161. Обожествление компонентов аминокислот

Кундалини творит Живое. Биологическая Жизнь связана с аминокислотами. Аминокислота, как противоположное в Едином, может быть описана эпюрой Тянь-Цинь ([21], рис.42).



В отличие от современных химиков я буду определять компоненты молекулярных весов аминокислот в пульсации (рис.42, табл.126).

Рис.42 Аминокислоты и диаграмма Тянь-Цинь [21]

Таблица 126

Определение молекулярного веса аминокислоты

Компоненты	CH	NH ₃	COOH
Сумма	$12+1 = 13$	$14+3 = 17$	$44+1 = 45$
Разность	$12 - 1 = 11$	$14 - 3 = 11$	$44 - 1 = 43$.

Компонент CH пульсирует как 13 лунные часы Календаря цивилизации Майя, формируя в биоклетке структуру (9+2). Возникает митоз биоклетки и возмущённая среда.

Возмущение среды инициирует также пульсацию NH_3 и COOH (табл.126). Между компонентами аминокислоты возникает разность квадратов потенциалов (табл.127).

Таблица 127

Равенство R в аминокислотах потенциалу света

Компоненты	CH	NH_3	COOH	R
Общая сумма (табл.126).	$13 + 11 = 24$ Святой Дух	$17 + 11 = 28$ гравитация	$45 + 43 = 88$	$88 - (24+28)= 36$ свет
Разность квадратов	$13^2 - 11^2 = 48$	$17^2 - 11^2 = 168$	$45^2 - 43^2 = 176$	$88^2 - 52^2 = 2704$
Отношения	$48/24 = 2$ изомерия	$468/28 = 6$ Кундалини	$176/88 = 2$ изомерия	$2704/36=75,(1).$

Поле аминокислот пульсирует в унисон с пульсацией Космоса. Так, например, произведение

$$28 \cdot 36 = 1008 \equiv \frac{1}{2} \int_8^{64} \varphi d\varphi ,$$

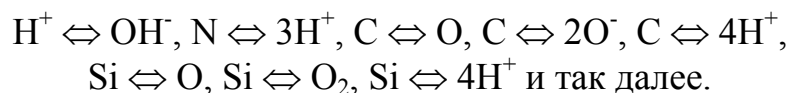
равно постоянной Вселенной по водороду и описывается диаграммой Тянь-Цинь, а все потенциалы обожеествлены.

Вместе с тем потенциал $75,(1) = 3 \cdot 5^2 \times 0,(1)$ указывает на последовательный рост энергии связи в Арупе.

162. Описание синтеза-диссоциации воды диаграммой Тянь-Цинь

Г.Длясин перечисляет авторов (химиков и философов), которые являются сторонниками создания периодической системы химических молекулярных структур [21].

Такая работа будет обречена на **неудачу** до тех пор, пока мы не выясним функциональные особенности важнейших молекулярных постоянных, таких, например, как



Поняв эти закономерности элементарных молекулярных компонент, как я это сделал с CH , NH_3 и COOH (табл.127), **мы сможем составить периодическую систему не только молекулярных соединений, но и всего Звёздного Неба Вселенной.**

Анализ можно начать с воды (рис.43, табл.128).

Таблица 128

Синтез-диссоциация воды

Процессы		Диссоциация		Синтез
Компоненты		2H^+	$2\cdot\text{OH}^-$	$2\text{H}_2+\text{O}_2=2\text{H}_2\text{O}$
молекулярные веса	Сумма	2	$34 = 36$	$4 + 32 = 36$
	Разности	2	$34 = -32$	$4 - 32 = 28$
	Произведения	$\frac{36 \cdot (-32)}{2 \cdot 2} = -288$ $-2 \cdot (12^2 = \tau^2 T_o^2)$		$36 \cdot 28 = 1008.$

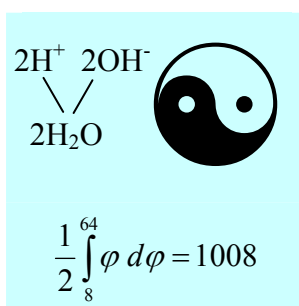


Рис.43 Синтез-диссоциация воды

Потенциал синтеза воды является эквивалентом постоянной Вселенной и описывается диаграммой Тянь-Цинь (рис.43, табл.128).

Диссоциация воды связана с вихрем Арупа-Рупа во взаимодействиях, то есть с потенциалом 288 (табл.128).

Дальнейшая диссоциация гидроксила (OH) в воде приведёт к потенциалам Цинь-Тянь:

$\text{O} + \text{H} = \text{OH}^-$	$\text{O} - \text{H}^-$	Цинь	Тянь
$16 + 1 = 17$	$16 - 1 = 15$	$17 + 15 = 32$	$17^2 - 15^2 = 64.$

(384)

163. Описание синтеза углекислого газа диаграммой Тянь-Цинь

В системе жизнеобеспечения материи белковых тел огромную роль играют кислород, CO и CO₂:



описание динамики изменения молекулярных весов которых связано с диаграммой Тянь-Цинь (рис.44, табл.129).

Таблица 129

Синтез углекислого газа

Компоненты		2CO	O ₂	2CO ₂
молекулярные веса	Суммы	24+32 = 56	2·16 = 32	88
	Разности	24 – 32 = 8	16 – 16 = 0	24 – 64 = 40
	Суммы	64	32	48
Постоянная		$\frac{64^2 - 8^2}{T_0} = 1008.$		

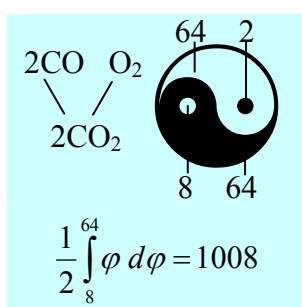


Рис.43 Синтез углекислого газа

Отличительной особенностью молекулярных неинертных газов H₂, N₂ и O₂ является то, что **сумма удваивает атомный вес, а разность равна нулю** (табл.129).

При синтезе углекислого газа между молекулами 2CO и O₂ возникает **разность квадратов потенциалов, равная постоянной Вселенной**, то есть 1008 (рис.44, табл.129).

Периодичность синтеза углекислого газа определяет разность потенциалов, равная $64 - 48 = 16 \equiv T_0^2 \equiv \sqrt{qq^*}$. С такой же периодичностью возникает электрическое поле 2CO₂ и молекулярного кислорода (O₂ $\equiv 16 \equiv \sqrt{qq^*}$)

При синтезе углекислого газа **молекулярный вес 2СО является эквивалентом Тянь, а кислорода - Цинь**, причём молекулярные цепи - оболочки биоклеток **выют двойные молекулярные спирали с потенциалом 88** под влиянием молекулярного веса 2СО₂ (табл.129).

При синтезе углекислого газа появляется семеричность и магнетизм. Проявляются уже на уровне СО:

Компоненты	С + О = СО	2СО	Произведение
Сумма разность	$\frac{12+16=28}{12-16=-4}=7$	$14 = \sqrt{\mu\mu^*}$	$-4 \cdot 28 = -112$ гравиелектро- магнетизм.

(385)

Возникает гравиелектромагнетизм и **живые магниты в нём (373)**.

164. Излучение-поглощение: описание процесса диаграммой Тянь-Цинь и великой Пирамидой

Самосушие волны, сталкиваясь, образуют **облако плазмы**. Расширяясь, облако плазмы охлаждается. возникает **оболочка, состоящая из точечных участков**.

Точечные участки пульсируют извечно (символ ∞), поглощая (символ \bullet) и излучая (символ \circ) энергию (общий символ $\circ\bullet$).

Великая Цивилизация описала символами диаграммы Тянь-Цинь и пропорциями великой Пирамиды законы поглощения-выделения Энергии точечным участком волны в окружающие среды (рис.45).

Ξ Во внутреннем поле (в среде поглощения) самосушие волны сжимаются от $\sqrt{2} = Scs \pi/4 \dots$ до $\sqrt{\sin \pi/4} = 2^{-1/4}$. Этот потенциал заставляет внутреннее поле пульсировать и поэтому великая Цивилизация берёт высоту (Н), равной $H = T_0 \sqrt{\sin \pi/4} = 2^{7/4}$.

Облако Плазмы	Диаграмма Тянь-Цинь	Великая Пирамида	
		Основание	Объём
Точечный участок	Окружающая среда (белая)	Излучение $a^2=8$	Колебания $\sqrt{\sin \pi/4}$
Оболочка	Точечный участок	Поглощение $a^2/2 = 4$	$T_o = 4$
	Внутреннее поле (чёрное)		$a^2=8$

Рис.45 Поглощение-излучение в средах
(различные формы описания символами-эпюрами)

Попадая из Арупы в Рупу внутреннее поле Капли Ядра увеличивается от (Н) до 128:

$$(H = 2^{7/4})^{T_o=4} = 2^7 = 128. \quad (386)$$

Возникает процесс - эквивалент лантаноидному сжатию (табл.103), начало которому даёт комбинация между фотоном (символ $m_c^{**} = 0,002$ - это ●) и фононом (символ $m_c^* = 0,008$ - это ○). Появляется приведённый потенциал:

$$\frac{0,008 \cdot 0,002}{0,008^2 - 0,002^2} = \frac{16}{60} \Leftrightarrow \frac{60}{16} = \frac{0,008^2 - 0,002^2}{0,008 \cdot 0,002}. \quad (387)$$

165. Смещение Неравновесных Систем: закон трёх вторых

Вектор - символическое описание процессов излучения-поглощения, принятое Наукой великой Цивилизации (рис.45), является **Всеобъемлющим**, ибо описывает свет, а **Свет формирует свои Подобия Везде, Всегда и во Всём**.

Фотон-фонон, пульсируя в соответствии с неравновесием (387)

Неравновесие фотон - фононов (387)	Неравновесие любых систем, создаваемых светом (рис.45).						
$60^2 \Leftrightarrow 16^2$, где появляется Свет, Тянь и Цинь $60^2 = 3600 \equiv 3600\text{\AA} \equiv \Delta\text{Б}$, $16^2 = 256 = 2 \cdot 128 \equiv$ <table><tr><td>$64+32-(-32)$</td><td>$+$</td><td>$64-(-32)+32$</td></tr><tr><td>Цис-изомер</td><td></td><td>Транс-изомер</td></tr></table>	$64+32-(-32)$	$+$	$64-(-32)+32$	Цис-изомер		Транс-изомер	<div><div>Пирамида: $a^2 \pm a^2 \int_0^1 \varphi d\varphi \Leftrightarrow 0$</div><div>$8 \pm 4 \Leftrightarrow 0$</div><div>Расчёт масс сгустков: $\frac{(8+4=12) \cdot (8-4=4)}{8 \cdot 4} = \frac{48}{32} = \frac{3}{2}.$</div></div> <div>(388)</div>
$64+32-(-32)$	$+$	$64-(-32)+32$					
Цис-изомер		Транс-изомер					

Полученный результат (388) говорит о том, что **любая неравновесная система выведена из равновесия в соответствии с законом трёх вторых:**

$$\frac{3}{2} \equiv \frac{m_c c + m_c \omega_0}{m_c c} \equiv \frac{\text{Импульсы во внутреннем поле}}{\text{Импульс движения } m_c \text{ или } E_\lambda c}. \quad (389)$$

Появление в неравновесном поле (377) взаимодействия влечёт за собой **Триединство Света в Арупе:**

Триединство света	Возникновение Арупы	Триединство
	$\frac{3}{2} (\lg \rho_1 \rho_2 \rho_3 \rho_4 \rho_5 = 2) = 3 \equiv m_c c + \varepsilon_0 \cdot \mu_0 \cdot c^2 + E_\lambda c = 1 + 1 + 1.$	

(390)

Переход Триединого Света из Арупы в Рупу **при резонансе** великая Цивилизация описывает как появление Триединого Пламени Четырёх Фитилей [3]:

$$(m_c c + \varepsilon_0 \cdot \mu_0 \cdot c^2 + E_\lambda c = 3) \cdot (T_0 = 4) = 12 \equiv T_0^2 \tau^2. \quad (391)$$

Поля с потенциалами 3 и 4 увеличиваются до квадратов своих величин, формируя новые суммы, разности, произведения, отношения, **но треугольник с катетами 3 и 4 великая Цивилизация выделила как Священный Треугольник!**

Сторонами, величиной 3, 4 и 5, великая Цивилизация описывала пульсацию $(T_0 \pm 1)$ Рупы.

166. Священный Треугольник: описание Кундалини в Арупе-Рупе

Любой треугольник может рассматриваться как эюра полуволны (рис.46).

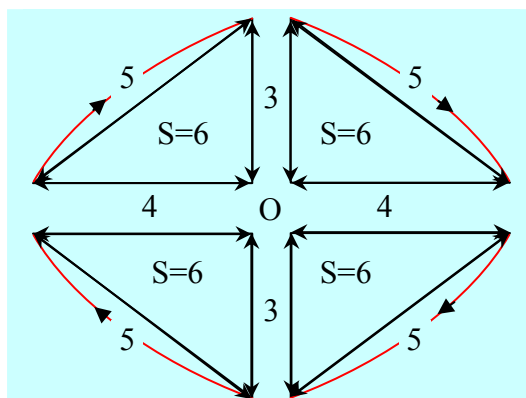


Рис.46 Священные Треугольники
как эюры изомерических волн

Священный Треуголь-
ник со сторонами 3, 4 и 5 ве-
ликая Цивилизация принесла
как символ-вектор волны,
совмещающей в себе Арупу
($\tau = 3$), Рупу ($T_0 = 4$) и
Энергию Пятиричной связи
($5^2 = 4^2 + 3^2$).

Четыре совмещённых
Священных Треугольника
будут являться эюрами двух
цис-транс изомерических
волн (рис.46).

Между волнами, площадь четверти которых равна
Кундалини ($5+6 \equiv 3,5+2,5 \equiv \dots$) возникает резонансно-ан-
тирезонансная пульсация (рис.46, табл.130).

Таблица 130

Пульсация изомерических волн Кундалини в Арупе-Рупе

Поля	Арупа	Арупа-Рупа	Рупа	Кундалини
Резонанс	$\pm 3 \cdot 3 \equiv \pm 9$	$\pm 3 \cdot 4 = \pm 12$	$\pm 4 \cdot 4 = \pm (16 \equiv T_0^2)$	$\pm 6 \cdot 6 = \pm 36$
Антирезонанс	$\pm (3+3) = \pm 6$	$\pm (3+4) = \pm 7$	$\pm (4+4) = \pm (8 \equiv \frac{c^3}{\omega_0^3})$	$\pm (6+6) = \pm 12$
Примечания	Ядро Периоди- ческой Системы геномов	Спираль Зодиака в резонансе и антирезо- нансе	Периодичность расширяющейся Вселенной	Свет в спирали Зодиака.

Вместе с тем потенциалы 3 и 4 (вершины Священного Треугольника) связаны пятеричной энергией связи (гипотенуза), по законам всемирного тяготения или Кулона:

Законы	Всемирного тяготения	Кулона	Арупа-Рупа	Антирезонанс
Формулы и потенциалы	$F = \frac{m_1 m_2}{r^2}$	$F = \frac{q_1 q_2}{r^2}$	$F = \frac{2 \cdot 4}{5^2} = \frac{12}{5^2} \Leftrightarrow \frac{5^2}{12}$	$5^4 - 12^2 \Leftrightarrow 0$ $481 \Leftrightarrow 0.$

(392)

Возникает 13-ти мерная пульсация с учётом 364 дней в году:

$$481 - 364 = 37 \cdot 13 - 28 \cdot 13 = 9 \cdot 19 = (9+0) \cdot 13. \quad (393)$$

Появляется пульсирующая субструктура биоклетки, которая у человека согласована с 9-ю месяцами беременности.

167. Устойчивость орбит

Облако-Плазма охлаждается и в нём появляются заряды-сгустки $\rho\rho^* = 28$, $\mu\mu^* = 14$ и $qq^* = 16$.

Гравитационные и магнитные поля формируют пульсирующее Ядро-Каплю, электрические поля, оболочку (табл.131).

Устойчивость орбит с двумя электронами определяется отношением скоростей $c/\omega_0 = 2$ в бегущей волне.

Устойчивость орбит с восемью электронами определяется отношением скоростей $(c/\omega_0 = 2)^3$ в объёмной волне.

Увеличение потенциалов ядер и орбит протекает пропорционально и согласовано с изменением вихрей Арупа-Рупа.

Закономерности увеличения структур Атомов

Процессы и ком- поненты			Оболочка поглощает ; ядро излучает			Оболочка излучает ; ядро поглощает			
			Оболочка		Ядро		Оболочка		Ядро
Колебания			$\frac{-qq^*}{+qq^*}\omega_0 = -\frac{\pi}{2}$		$\frac{-qq^*}{+qq^*}\omega_0 = -\frac{\pi}{2}$		$\frac{-qq^*}{+qq^*}\omega_0 = -\frac{\pi}{2}$		$\frac{-qq^*}{+qq^*}\omega_0 = -\frac{\pi}{2}$
Ко- ле- ба- ния	1	$\times\pi$	-1/2	\Leftrightarrow	1/2	\Leftrightarrow	1	\Leftrightarrow	-1
	2	$\times T_0$	-2	\Leftrightarrow	2	\Leftrightarrow	4	\Leftrightarrow	-4
	3	$\times(T_0+\tau)$	-7/2	\Leftrightarrow	7/2	\Leftrightarrow	7	\Leftrightarrow	-7
	4	$\times T_0\tau$	-6	\Leftrightarrow	6	\Leftrightarrow	12	\Leftrightarrow	-12
	5	$\times T_0^2$	-8	\Leftrightarrow	8	\Leftrightarrow	16	\Leftrightarrow	-16
	6	$\times T_0(T_0+\tau)$	-14	\Leftrightarrow	14	\Leftrightarrow	28	\Leftrightarrow	-28
Живые магниты									

Равновесие между Ядром и Оболочкой в Атоме связано с равновесием типа (табл.130):

$$(-1/2 - 1 = -1,5) \Leftrightarrow (+1/2 + 1 = +1,5). \quad (394)$$

Эти **полтора оборота Колеса Вселенной** [9] формируют Всё, что описано в Книге Дзиан Перемен и Мёртвых, в том числе **Периодическую Систему Химических Элементов**.

В Лунном Свете Космической Мысли ($r^* = 28 \cdot 10^{20}$) в поле $r = 28 \cdot 10^{20}$ к формируются **Живые магниты** (табл.130).

168. Структура водорода: электрон-позитрон

Современная химия удачно оперирует **валентными электронами**, являющимися основой окислительно-восстановительных и процессов замещения, то есть реакций в полях логарифмических волн.

Ядерные процессы современные **Химия, Физика, Физическая Химия и Химическая Физика** не знают, так как специалистами в этих областях за основу берутся **Парадигмы-Иллюзии**.

В свою очередь я предлагаю **определять атомно-молекулярные веса не по их массам, а по числу электронов-позитронов в Атомах (Молекулах)**, зная, что число электронов в Атоме равно числу позитронов (рис.47).

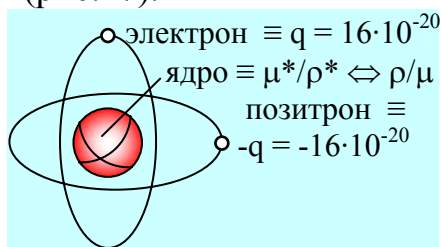


Рис.47 Структура атома
водорода

В этом случае в ядро Атома поступает Мысль - Лунный Луч ρ^* , который трансформируется в гравитационный заряд (рис.47):

$$\frac{\mu^*}{\rho^*} = \frac{1}{2} \Leftrightarrow 2 = \frac{\rho}{\mu} \quad (395)$$

Колебания Ядра (395) сдерживаются колебаниями электрической оболочки:

$$-1 = q/-q \Leftrightarrow -q^*/q^* = -1. \quad (396)$$

В Атоме возникают общие колебания и постоянная Дзиан:

Космические Мысль и Па- мать	За- ряды ρ и μ	Электрон - позитроны	Вооб- раже- ние	Постоянная Дзиан
$\frac{\rho^*}{\mu^*}$	$\frac{\mu}{\rho}$	$\frac{-q}{q}$	$\frac{q^*}{-q^*}$	$Const = \frac{\mu^* \mu q q^*}{\rho^* \rho (-q) (-q^*)}$

(397)

В атоме возникают колебания, которые были определены в табл.130, что изменяет понижение структуры атома водорода:

Обозначение	Современное	Атом	Молекула (рис.47)
Заряды Атомный вес	$H_{1,008}^1$	$H_{1,008-m_c^*}^{1-(-1)=2} \equiv H_1^2$	H_2^2

(398)

169. Магнитная глина для Адама

Сумма электронов и позитронов в атоме равна его атомному весу в кислородных единицах:

Элемент	Кремний	Кислород	Углерод
Электроны + позитроны	$Si_{28}^{14-(-14)=28}$	$O_{32}^{16-(-16)=32}$	$C_{12}^{6-(-6)=12}$
Символ			
Атомный вес			

(399)

Остывая, облако-плазма в Недрах Капли Ядра образует магму, то есть расплав-раствор, например кремний-кислород (рис.48).

Si_2O	Si_2O_3	
	SiO	SiC_2
Si	O_2	

Рис.48 Диаграмма
Состав - Свойства

Однако прежде чем появится песок SiO_2 в твёрдых расплав - растворах будут возникать молекулы Si_2O , SiO , Si_2O_3 , SiO_2 и затем кислород будет внедряться в кристаллическую решетку кварца, образуя SiO_2 (рис.48).

Наличие диаграмм Состав - Свойства у раствор - расплавов говорит о том, что при образовании, например SiO_2 и SiC происходят колебания не только валентных, но и всех электронов - позитронов атомов, вступивших в реакцию (табл.132).

**Колебания электрон - позитронов
в процессе образования SiO₂ и SiC**

Реакции	Si + O ₂ = SiO ₂			Si + C = SiC		
Режим резонансно-антирезонансной пульсации	Сумма	Произведение	Разность	Сумма	Произведение	Разность
	$Si^{28} + O_2^{32}$ 28+32 = 60	$Si^{28} \cdot O_2^{32}$ 28 · 32 = 7 · 128	$Si^{28} - O_2^{32}$ 28 – 32 = -4	$Si^{28} + C_2^{32}$ 28+12 = 40	$Si^{28} \cdot C_2^{32}$ 28 · 12 = 7 · 48	$Si^{28} - C_2^{32}$ 28 – 12 = 16
Колебания	$\frac{60(-4)}{7 \cdot 128} = -\frac{60}{7 \cdot 32} = -\frac{30}{7 \cdot 16} \Leftrightarrow$			$\frac{7 \cdot 3}{40} = \frac{7 \cdot 48}{40 \cdot 16}$		
	$-30 \cdot 40 \Leftrightarrow 7^2 \cdot 16 \cdot 3 = 49 \cdot 48$					
Магнетизм	где -1 $\Leftrightarrow \frac{49 \cdot 48}{30 \cdot 40} \cdot \rho_5^2 = 196 = 14^2 \equiv \mu\mu^*$.					


С позиции Религии можно уточнить, что **Бог лепил Адама из глины с магнитными свойствами**. Других слов социум времён Каббалы просто бы не понял.

**170. Часы Жизни:
описание Религиями молекулярного веса**

Бог слепил Адама из **Того, Что было** (табл.132), а затем вдохнул в Адама Жизнь, то есть газы метан (CH₄) и силан (SiH₄), которые завели **часы тринадцати лунного Календаря** (табл.133).

Наша биологическая Жизнь основана на молекулярных цепях - кольцах углеводородных молекул, предельных и непердельных, начало которым даёт **метан** (табл.133).

Метан-силан "часы времени Жизни

Реакции	Si + 2H ₂ = SiH ₄ (силан)			C + 2H ₂ = CH ₄ (метан)		
Режим резонансно-антирезонансной пульсации	Сумма	Произведение	Разность	Сумма	Произведение	Разность
	$Si^{28} + H^4$	$Si^{28} \cdot H^4$	$Si^{28} - H^4$	$C^{12} + H_4$	$C^{12} \cdot H_4$	$C^{12} - H_4$
	28+4 = 32	28 · 4 = 7 · 16	28 – 4 = 24	12+4 = 16	12 · 4 = 48	12 – 4 = 8
Колебания	$\frac{32 \cdot 24}{7 \cdot 16} = \frac{48}{7}$				$\frac{3}{8} = \frac{48}{8 \cdot 16}$	
Календарь	$0 \Leftrightarrow 48 \cdot 8 - 7 \cdot 3 = 384 - 21 = 363$ $0 + 1 \Leftrightarrow 366 + 1 = 364 \equiv 13 \cdot 28$ (число дней в году).					

Однако и водородные кремневые молекулярные цепи и кольца могут быть **источниками Формы Жизни**. Начало кремневодородным предельно-непредельным цепям даёт силан (табл.133).

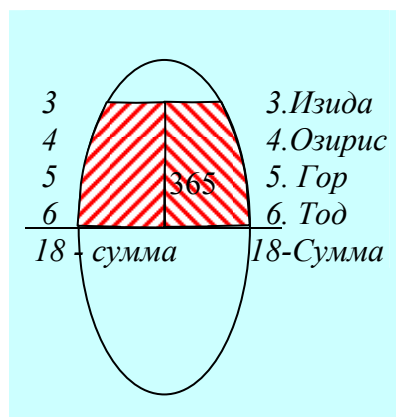


Рис.49 Обожествлённые числа Древнего Египта

Взаимосвязь форм Жизней на углероде и кремнии определяется 13-ти лунным Календарём (табл.133).

Великая Цивилизация обоже- ствила числа от 3 до 6 и дала их Древнему Египту как религи- озное Начало (рис.49).

В поле 363 суммы обоже- ствлённых чисел связаны с полем постоянной Вселенной по водо- роду:

$$10^2 \frac{363}{2(3+4+5+6)} = \frac{36300}{36} = 1008, (3), \quad (400)$$

где 3 в периоде $m_c c + \varepsilon_0 \cdot \mu_0 \cdot c^2 + E_\lambda c = 3$.

171. Боги Древнего Египта: Малое Колесо Жизни

Числа - Боги Древнего Египта (рис.49) не могут рассматриваться вне Динамики Реинкарнаций:

"6. Старшие Колёса (Жизнь до и после Жизни) вращалась сверху вниз и снизу вверх. Зародыши Матери наполняли всё сущее. Битвы возникали между Создателями и Разрушителями, и Битвы велись за Пространство. Семя рождалось и вновь появлялось беспрестанно.

7. Разочти, о Лану (ученик), если хочешь познать точный век твоего Малого Колеса (биологической Жизни). Его Четвёртая - Наша Матерь. Достигни Четвёртого Плода Четвёртой Тропы Знания, ведущего к Нирване, и познаешь, ибо ты узришь" ([3]. Космогенезис, Станца VI).

Совместим текст Станцы с Богами-Числами (рис.49, рис.50).

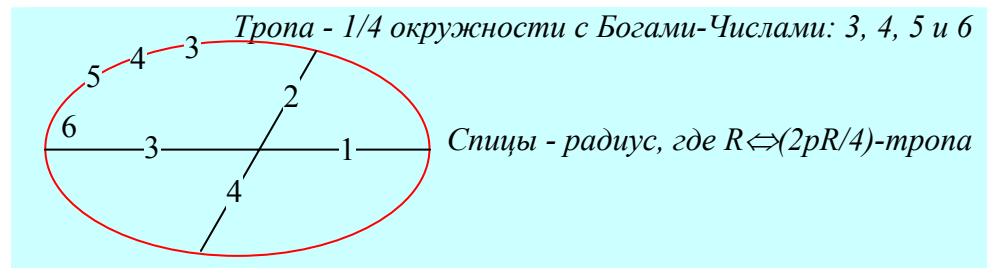


Рис.50 Малое Колесо: биологическая жизнь

Проверим расчёт динамики Малого Колеса (табл.134).

Участие Света в форме Чисел-Богов Жизни (рис.50).

Режим	Антирезонанс				Резонанс			
Спицы	1	2	3	4	1	2	3	4
	Формовщики				Формовщики			
Число Богов на Тропе	3+4+5+6 = 18	2·18 = 36	3·18 = 54	4·18 = 72	3·4·5·6 360	2·360 720	3·360 1080	4·360 1440
Субстанции	Вода	Свет	1/2 реин- кар- наций	Плаз- ма	$\frac{1}{2}6!$	6!	2×6!	(T ₀ τ) ² × ρ ₅
					←Свет:1·2·3·4·5·6→			
Сумма отноше- ний	$\frac{360}{18} + \frac{720}{36} + \frac{1080}{54} + \frac{1440}{72} = 4 \cdot 20 = 80$							
Отноше- ние сумм	$\frac{360 + 720 + 1080 + 1440 = 3600 \equiv \Delta B}{18 + 36 + 54 + 72 = 180} = 20 \text{ .}$							

В поле (табл.134) потенциалы $80+20 = 100 \equiv \rho_5^2$. (401)

172. Энергетические уровни в Жизни после Жизни

Энергия Малого Колеса биологической Жизни в конце Жизни возрастает до $\rho_5^2 = 100$ (388) и связана с пятью переходами по $20 \equiv \Delta K / \Delta J = 1400 \text{ \AA} / 70 \text{ \AA}$ (табл.134).

Об этом переходе в спектр Красного Цвета говорит Теогенезис Книги Дзиан как о переходе к Красной Звезде [4].

Отношение сумм в пятом переходе (табл.134):

$$\frac{3600}{180} = 20 \equiv \frac{\Delta B}{180^\circ \equiv \pi} \equiv \Delta B \cdot m_c, \quad (402)$$

при эквивалентности 180° относительных единиц 180° угловым градусам и их эквивалентности π при $m_c = 1/\pi$, показывает что **при завершении Малого Колеса Жизни (биологическая Жизнь) возникает белый свет (ΔB) и взаимодействия света достигают квадрата первоначальной величины (ρ_5^2). Наступает переход из Жизни в Жизнь после Жизни, или биологическая Смерть, как очередной этап реинкарнации.**

Всю Энергию, которую накопило **Эго** каждого из нас в биологической жизни, Смерть сожмёт в информационный импульс и со скоростью 10^{40} раз выше скорости света отправит в Жизнь после Жизни.

Как импульс излучения в Жизни после Жизни Боги-Числа Древнего Египта достигнут квадратов своих первоначальных величин (табл.135).

Таблица 135

Энергетические уровни в Жизни после Жизни

Режим	Антирезонанс				Резонанс			
Спицы:	1 ² +	2 ² +	3 ² +	4 ² =	1 ² +	2 ² +	3 ² +	4 ² =
	30 (богиня Луны)				30 (бог Луны)			
Число богов Древнего Египта	3 ² +4 ² + 5 ² +6 ² = 86 +	2·86 = 172 +	3·86 = 258 +	4·86 = 344 =	(3·4·5·6) ² 360 ² +	(табл.132) 720 ² + 1080 ² + 1440 ²		
Результат	860 сумма				~16,25·10 ²² произведение			
Зарождение фотона	$\frac{16,25 \cdot 10^{22}}{860} \approx 0,02 \cdot 10^{22} \equiv (0,002 \equiv m_c^{**}) \cdot 10^{23}.$							

В газах возникает Число Авогадро в Эфире Бордо 22 буквы Авраама [2], то есть телепатия.

173. Трансформация Солнечного света в Люминесцентный

Биоклетка размножается делением.

Эволюцию размножения Деление образно можно описать выламыванием ребра Адама для создания из ребра Евы (Библия).

Ребро в этой догме играет роль **исходной субстанции в форме твёрдого вещества.**

В Периодической Системе Русских Рун, описывающих Тонкие Энергии твёрдая фаза описывается как **зола**, то есть углерод ($C_{12}^{6-(-6)=12}$) с атомным весом 12 [22].

Возникновение **зола** технически связано с процессом сгорания и великая Цивилизация называет вихрь $T_0\tau = 12 = 4 \cdot 3$ - **Триединым Пламенем Четырёх Фитилей** [3].

В Теогенезисе Книги Дзиан контакт Мужского и Женского Начал описывается подробно [4]:

"1. Дикий Белый Бык покрыл Большую Красную Корову. Одним исторгающим усилием она родила Белого Телёнка Женского рода" (Станца IV).

Речь идёт о спектре света в области перехода от белой области к красной в момент короткодействующих ($\rho_2 \cdot \rho_4 = 10^{-1} \cdot 10^{14} = 10^{13}$) **исторгающих взаимодействий**. В результате солнечный белый свет трансформируется в люминесцентный (табл.136).

Таблица 136

Трансформация Солнечного света в Люминесцентный

Поле	Солнечный	Люминесцентный	Взаимодействия	Колебания
Потенциалы	$\frac{\Delta K}{\Delta B} = \frac{1400 \text{ } ^\circ A}{3600 \text{ } ^\circ A}$ $(7/18 \Leftrightarrow 18/7)$	$\frac{\Delta b}{\Delta k} = \frac{36 \text{ } ^\circ A}{14 \text{ } ^\circ A}$	$\rho_2 \rho_4 = 10^{-1} \cdot 10^{14} =$ $\times 10^{13}$	$(18^2 - 7^2) \cdot 10^{13} \Leftrightarrow 0$ $(18-7)(18+7) \cdot 10^{13} \Leftrightarrow 0$ $(11=9+2) \cdot 25 \cdot 10^{13} \Leftrightarrow 0$ $275 \cdot 10^{13} \Leftrightarrow 0.$

Авторам трёх Религий и магии Каббалы было без разницы ломать ли рёбра или трансформировать свет: был бы скот. Гои были.

174. Сгущение белого люминесцентного света в углерод

Книга Дзиан настолько ясно и точно описывает Суть Единого Космоса, что перевернуть её Содержание, как это сделали авторы Каббалы, - нужен талант.

Для примера возьмём углерод C₁₂, возникающий из белого кванта (Δб = 36) люминесцентного света с жёлтыми вихрями при наличии τ ([4], Теогенезис, Станца IV):

"2. По обеим сторонам головы её выросло по одному золотому Рогу, а посередине неожиданно вырос Рог с Бриллиантовым Наконечником" (рис.51).

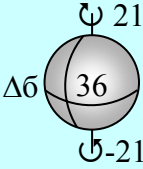

Фонон	Арупа	Фотон	Компоненты
Белый квант 	21:3=7 36:3=12 -21:3=-7	Сгусток - Зародыш углерода 	Золотой Рог Рог с Бриллиантовым Наконечником Золотой Рог

Рис.51 Трансформация люминесцентного фонона в зародыш углерода

Далее Книга Дзиан описывает как за день (12 часов) в течение 12 час × 60 мин × 60 с = 12·3600 с = 43200 с вокруг Зародыша-Сгустка возникают полярные магнитные линии зарядов ±μ, и экваториальные линии магнитной Памяти Сгустка (рис.52).

"3. Быстро росли Три Рога (рис.51), по несколько локтей в день ($12 \cdot 3600$ с). Два Золотых рога окружили племена Меняющейся Звезды (полярные вихри μ , рис.52). Средний Рог изогнулся, вошёл в землю и нащупал тела Змей Мудрости (Недра Сгустка, где совершаются колебания $\rho^*/\mu^* \Leftrightarrow \mu^*/\rho^*$). Он вытащил Их из укрытия и высоко поднял" (Экваториальные импульсы магнитной памяти, рис.52).

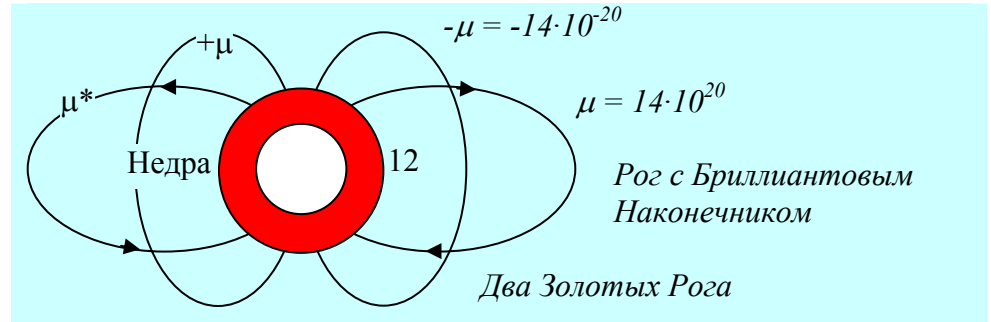


Рис.52 Полярно-экваториальные магнитные линии вокруг сгустка

175. Магнетизм Жизни и Жизни до и после Жизни

Космос состоит из **Корня** - Невесомости самосуших волн, **Сгустков**, в том числе Ядер и света.

Невесомость связана с "Дырккой", концентрация фотонов в которой равна $n_1 = 10^{-20}$, расширением $T_0/c/\omega_0=8$, и эндотермическими взаимодействиями $\rho_1\rho_2 = 10^{-25}$, сопутствующими расширению.

Невесомость (Корень Вселенной) связана с памятью $\mu^* = 14 \cdot 10^{20}$ (рис.52) и имеет резонансный потенциал, равный:

$$\text{Невесомость}(n^*) \equiv \mu^* n_1 \cdot T_0 \cdot c / \omega_0 \cdot \rho_1 \rho_2 = 112 \cdot 10^{-25}. \quad (403)$$

В Капле Ядра (сгустке) с концентрацией $n_2 = 10^{20}$ фотонов возникают магнитные заряды ($\mu = 14 \cdot 10^{-20}$), сжатие и экзотермические взаимодействия $\rho_3\rho_4 = 10^{26}$.

$$\text{Сгусток (ядро)} = \mu \cdot T_0 \cdot \omega_0 / c \rho_3 \rho_4 = 28 \cdot 10^{26}. \quad (404)$$

Между Невесомостью и микро-макро сгустками Вселенной возникают колебания (403, 404):

$$125 \cdot 10^{-25} \Leftrightarrow 28 \cdot 10^{28} \quad \text{или} \quad 4 \Leftrightarrow 10^{51}, \quad (405)$$

где: $51 \equiv \lg \rho_3 \rho_4 / \rho_1 \rho_2$, а $\tau \cdot 51 = 153$ рыбы – улов Апостолов по совету Христа (Евангелие от Иоанна. [21])

О Космической Значимости μ^* и μ (рис.52) в поле (405) говорит и Теогенезис Книги Дзиан ([4]. Станца IV):

"4. Когда Их глаза узрели белого телёнка, Они сказали в один голос: "Ты – это знак нам. А сейчас мы войдём в Кольцо Золотых Рогов (начнём биологическую Жизнь), и отдадим нашу Мудрость тем, на кого ты сам укажешь (Лазерный свет с потенциалом 10^{51} (405) может трансформировать Всё во Всё, Везде и Всегда), и они будут нашими посланниками как среди молодых, так и среди старых"

Слова о молодых и старых многоплановы, так как относятся к результатам взаимодействий 10^{51} . А к таким результатам относится Всё: и био-Жизнь а Золотых Рогах магнитных (μ) зарядов, и Жизнь до и после Жизни в поле магнитной Памяти Рога с Бриллиантовым Наконечником (рис.52).

176. Фононы титана и 110 Божеств Книги Мёртвых

Короткодействующие ядерно-слабые взаимодействия после столкновения компонент начинают обладать дальнедействующими электромагнитными взаимодействиями (табл.136).

Короткодей- ствия	Дальнодей- ствия	Взаимодей- ствия	Новая Фор- ма Энергии
$\left(\frac{\Delta K}{\Delta B} \Leftrightarrow \frac{\Delta \delta}{\Delta \kappa}\right) \rho_4 \rho_2$ $275 \cdot 10^{13}$	$2750 \cdot 10^{12} \equiv$ $2750 \cdot \rho_3$	$\rho_3 = \rho_5 / \rho_1 \rho_2 \rho_4$ $= 10^{12}$	2750 фононов титана ($Ti_{22}^{2750}[22]$)
где число фононов равно $22 : 0,008 = 2750$.			

(406)

2750 фононов в титане создают 22 электрона в атоме титана; но ещё 2750 фонона формируют 22 позитрона и общее число фононов в атоме титана будет равно:

$$2 \cdot 2750 \cdot \rho_3 = 5500 \cdot \rho_3 = 55 \cdot (10^{14} = \rho_4). \quad (407)$$

В атоме титана левизна–правизна вихрей фононов трансформирует дальнодействующие электромагнитные (ρ_3) взаимодействия в короткодействия ядерных взаимодействий (407). Ядерные взаимодействия в недрах атома титана расщепят потенциал 55 на 10 гравитационных и десять магнитных уровней в семеричном поле Вселенной:

$$7 = \frac{1^2 + 2^2 + 3^2 + 4^2 + 5^2 + 6^2 + 7^2 + 8^2 + 9^2 + 10^2 = 385(\text{магнетизм})}{1 + 2 + 3 + 4 + 5 + 6 + 7 + 8 + 9 + 10 = 55(\text{гравитация})}. \quad (408)$$

В резонансном вихре $T_0\tau$ возникают колебания:

Поля	Опор- ный вихрь	Семеричные колебания			Сумма
		Нейрон	Неживое	Био- клетка	
Коле- бания	$T_0\tau =$	$\begin{matrix} +0,5 & \rightleftarrows & -0,5 \\ -0,5 & \rightleftarrows & +0,5 \end{matrix} 7$	$\begin{matrix} +1 & \rightleftarrows & -1 \\ -1 & \rightleftarrows & +1 \end{matrix} 7$	$\begin{matrix} +2 & \rightleftarrows & -2 \\ -2 & \rightleftarrows & +2 \end{matrix} 7$	Число Божеств
Разности квадра- тов	$4 \times 3 =$ 12	$7,5^2 - 6,5^2$ 14	$8^2 - 6^2 =$ 28	$9^2 - 5^2 =$ 53	в теле Человека 110.

(409)

Возникают 110 Божеств в теле Человека, описанные в Книге Мёртвых [8].

177. Динамика резонансно-антирезонансной пульсации спирали Зодиака

Опорный вихрь Арупа – Рупа $T_0\tau = 12$ (409) пульсирует в резонансно-антирезонансном режиме от $T_0 + \tau = 7$ до $T_0\tau = 12$.

Эта пульсация по существу является пульсацией спирали Зодиака, начало формирования которой дают волны самосушущих волн с потенциалом $\sqrt{2} = Sc \pi/4$ (табл.137).

Таблица 137

Пульсация спирали Зодиака

Режим	Антирезонанс	Резонанс	Приведённый
Потенциалы	$T_0 + \tau = 7 \equiv Sc^2\pi/4 - x^2$ $x^2 = -7 + \sqrt{2}^2 = -5 \equiv$ $\rho_5 \int_1^0 \varphi d\varphi$	$T_0\tau = 12 \equiv Sc^2\pi/4 - x_1^2$ $x_1^2 = -12 + \sqrt{2}^2 = -10$ $-\rho_5$	$\frac{7}{-5} \Leftrightarrow \frac{12}{-10}$ $0 \Leftrightarrow \mp(70-60)$ $\pm 10 \equiv \pm \rho_5$

У каждого Эго своя индивидуальная, **пульсирующая как Свет**, Спираль Зодиака. Поэтому у каждого из нас своя Судьба (табл.137).

Изменяясь от Дзиан до Рупы, **спираль Зодиака реагирует на изменение окружающей среды изменение амплитуды колебания** (табл.138).

В диаграмме Тянь-Цинь

$$1596 + 180 = 1726 = \int_2^{64} \varphi d\varphi \equiv \text{☯},$$

где 130 относится к Дню вне Времени.

Потенциалы пульсирующей спирали Зодиака в средах

Продвижения	I	II	III	IV	V	Суммы
Среда	Дзиан	Равновесия	Взаимодействия	Арупа	Рупа	
Резонанс спирали Зодиака						
Амплитуда	$12 \pm 0,5$	12 ± 1	12 ± 2	12 ± 3	12 ± 4	
Разность квадратов	$12,5^2 - 11,5^2 = 24$	$13^2 - 11^2 = 48$	$14^2 - 10^2 = 96$	$15^2 - 9^2 = 144$	$16^2 - 8^2 = 192$	504
Антирезонанс спирали Зодиака						
Амплитуда	$7 \pm 0,5$	7 ± 1	7 ± 2	7 ± 3	7 ± 4	
Разность квадратов	$7,5^2 - 6,5^2 = 14$	$8^2 - 6^2 = 28$	$9^2 - 5^2 = 56$	$10^2 - 4^2 = 84$	$11^2 - 3^2 = 112$	294
Разности	$24 - 14 = 10$	$48 - 28 = 20$	$96 - 56 = 40$	$144 - 84 = 60$	$192 - 112 = 80$	798
Постоянные Вселенной	$\begin{aligned} \text{Const H} &= 798 + 210 = 1008 \\ &+ \quad \quad \quad = 1596. \\ \text{Const} &= 798 - 210 = 508 \end{aligned}$					

178. Кундалини как основа биочасов Единого Космоса

Под влиянием Дзиан-пульсации спираль Зодиака делится пополам на две цис-транс изомерические спирали Кундалини с потенциалами, равными ± 6 .

Реализуется Кундалини во Всём, но прежде всего в шести электронах и шести позитронах атома углерода $C_{12}^{6-(-6)}$.

При делении спирали Зодиака на две спирали Кундалини возникают молекулярные спирали углеводов – основа биологической Жизни (табл.139).

В поле спирали Кундалини нет разности потенциалов между режимами резонанса ($6 = 1 \cdot 2 \cdot 3$) и антирезонанса ($6 = 1 + 2 + 3$).

Деление спирали Зодиака на спирали Кундалини

Поля	Спираль Зодиака	Спирали Кундалини		Режим пульсации
		Цис-	Транс-	
Арупа-Рупа	$T_0\tau = 12$	$12 \int_0^1 \varphi d\varphi = 6$	$12 \int_1^0 \varphi d\varphi = -6$	$1+2+3=6=1\cdot 2\cdot 3$
Атом углерода	$C_{12}^{6-(-6)}$	C^6 – шесть позитронов	C^{-6} – шесть электронов	$6_1^2 - (-6)^2 = 0$ Равновесие
Вихрь фотон-фононов	$\frac{12}{0,008} \Leftrightarrow \frac{12}{0,002}$ $1500 \Leftrightarrow 6000$			Возмущённая среда.

Вихри фотон-фононов возмущают окружающую среду (табл.139). В возмущенной среде спираль Кундалини делает 3,5 оборота при расширении и 2,5 оборота при сжатии. Среда успокаивается и число оборотов снижается. Возникают биочасы (табл.140).

Таблица 140

Кундалини как основа биочасов Единого Космоса

Компоненты		Возмущенная среда			Биочасы
Амплитуда	Расширение	$6 \frac{+1,5}{-0,5}$	$6 \frac{+2,5}{-1,5}$	$6 \frac{+3,5}{-2,5}$	$\frac{26 + 52 = 78}{3,5^2 - 2,5^2 = 6} = 13.$
	Сжатие				
Разность квадратов		$7,5^2 - 5,5^2 = 26$	$8,5^2 - 4,5^2 = 52$	$9,5^2 - 3,5^2 = 78$	

Повышение амплитуды колебания до $(6 + 4,5)$ и $(6 - 3,5)$ приведёт к разности квадратов $(10,5^2 - 2,5^2 = 104)$, равной $26 + 78$ (табл.140). Возникнут 1,5 оборота Колеса Вселенной: $78 : 52 = 1,5$, о которых говорит Теогенезис [4].

179. Кундалини в электронной плазме инертных газов

В жидкой микро-макро **Капле ядерного Вещества** зародыши – эквиваленты позитрон-электрона инертных газов **перемещены, а их расслоение идёт в восходяще-нисходящих потоках** (табл.141).

Таблица 141

**Восходяще-нисходящие потоки
в Капле Ядерного Вещества**

Пары		1	2	3	Непарные	Примечание
Нисходящий		He ²	Ne ¹⁰	Ar ¹⁸	Kr ³⁶	Зародыш сердца $+ \frac{282}{222} - \frac{282}{222}$ $\frac{504}{60}$
Расходящий		X ¹¹²	Rn ⁸⁶	Xe ⁵⁴		
Элек- тро- ны	Сумма	114 +	96 +	72 =	282	
	Раз- ность	110 +	76 +	36 =	222	$\frac{504}{60} \left(\pm \int_0^1 \varphi d\varphi \right) = \pm 4,2 .$

В Капле Ядерного Веществе, как в Сердце Живого, возникают потоки $\rho_2 \cdot [(28 \equiv \sqrt{\rho\rho^*}) + (16 \equiv \sqrt{\mu\mu^*})] = 4,2$, связанные с Мыслью и Памятью, а также разности потенциалов в 110 и 222 (табл.141).

Потенциал 110 дошёл до наших времён благодаря **Книге Мёртвых** как описание 42 Божеств в **Сердце**, 58 – Божеств в **Голове** и 10 – Божеств в **области шеи** [8].

О потенциале 222 нам известно, что **алфавит языка Праславян-Дивангару имел 222 Буквы** и, по-видимому, был связан с телепатической передачей информации на фоне поля с потенциалом 200 и несущей частотой 22.

Отбросив фон поля, не зная сущности процесса еврейская книга пишет: **"Авраам связал дух двадцати двух букв своим языком и Бог открыл ему секреты их. Бог позволил буквам раствориться в воде. Он сжег их на огне, развеял на ветру.**

Он распределил их среди семи планет и отдал их двенадцати знакам Зодиака" ([2], стр.124).

Описание букв Авраама связано с появлением вихря $T_0 \cdot \tau \cdot (T_0 + \tau) = 4 \cdot 3 \cdot 7 = 84$ и отношения (табл.141):

$$504 : 84 = 6 \equiv 3,5 + 2,5 \equiv 3,5^2 - 2,5^2 \equiv \text{Кундалини}, \quad (410)$$

где Кундалини становится носителем телепатической информации.

180. Арупа-Рупа: состав - свойства энергетического вихря

Вихрь Арупы-Рупы функционирует в резонансно-антирезонансном режиме, давая фундаментальные интервалы Продолжительностей Единого Космоса, в течение которых одни формы Энергии переходят в другие (табл.142).

Таблица 142

Арупа-Рупа: состав - свойства энергетического вихря

Уровни	Потенциалы продолжительности	Реализация Продолжительностей	Сумма
1	$T_0 \cdot \tau = 4 \cdot 3 = 1$	Монада	1+7+12+21+28+112+144=325=13·25 Биочасы Пентаграммы в Яйце [3].
2	$T_0 + \tau = 4 + 3 = 7$	Семь Вечностей	
3	$T_0 \cdot \tau = 4 \cdot 3 = 12$	Триединое Пламя Четырёх Фитилей	
4	$\tau(T_0 + \tau) = 3(4 + 3) = 21$	Полярный вихрь	
5	$T_0(T_0 + \tau) = 4(4 + 3) = 28$	Гравитация ($28 \equiv \sqrt{\rho \rho^*}$)	
6	$T_0 \tau(T_0 + \tau) = 4 \cdot 3(4 + 3) = 112$	Гравио-электромагнитное равновесие	
7	$(T_0 + \tau)^2 = 12^2 = 144$		

В вихре Арупа-Рупа появляется **оболочка** $(21+28=49)$ и периодическая система геномов: $112-49=63$ (табл.142). Формируется сгусток Тянь: $32 - (-32) = 64$ - эквивалент числу электронов гадолина.

На четвёртом уровне поля Арупы-Рупы излучаются полярные вихри магнитных зарядов μ , а на седьмом - воображение. Возникает система колебаний (табл.143).

Таблица 143

Пульсация полярных μ и экваториального q^* (рис.52)

Пульсация	Относительно пальмы	Относительно Кундалини	Относительно света
Потенциалы	$\frac{21\mu}{144q^*} \Leftrightarrow \frac{144q^*}{21\mu}$	$\left(\frac{7}{4}\right)^4 \Leftrightarrow (4 \cdot 24)^2 \cdot 10^{80}$	$1 \Leftrightarrow \frac{1}{7^2} 16 \cdot 24 \cdot 10^{40}$
	$\left(\frac{7}{4}\right)^4 \Leftrightarrow 24^2 \cdot 10^{80}$	$\left(\frac{7}{4}\right)^2 \Leftrightarrow 4 \cdot 24^2 \cdot 10^{40}$	$10^{-40} \Leftrightarrow \frac{16 \cdot 24}{49-1} = 8$

В **Откровениях** точно указано: **Трон Христа на Небе окружен 24 Пресвятыми Престолами.**

**181. Жизнь до Жизни:
дух в оболочке Воображения**

Шифр Книги Бытия великая Цивилизация могла применить исходя из колебаний магнитных силовых линий Земли и **Воображения живущих на Земле** (табл.143):

Шифр Книги Бытия и Дзиан-пульсация в фотонах			(411)
(табл.143)	Шифр Библии в свете	Дзиан пульсация	
$10^{-40} \Leftrightarrow \frac{16 \cdot 24}{49-1} = \frac{10^{-40}}{16} = 62500 \cdot 10^{-46}$	$\frac{10^{-40}}{16} = 62500 \cdot 10^{-46}$	$\frac{24}{49-1} = \frac{1}{2} \equiv \pm \int_0^1 \varphi d\varphi$	

Зная законы пульсации **великая Цивилизация** могла зашифровать судьбы не только Саддама Хусейна, но и **каждого из нас**, записав судьбы по одной букве через 62500 букв.

Начало нашим Судьбам даёт не рождение в биологической Жизни, а в Жизни до Жизни, описанной в Книге Перемен и Мёртвых.

В Книге Мёртвых говорится о том, что Жизнь до Жизни протекает в Эфире Бордо (411):

Структура эфира Бордо			(412)
62500	$\Leftrightarrow 0,5 \cdot 10^{46} \equiv 5 \cdot 10^{45} \Leftrightarrow$	$\frac{24 \pm 1}{49 \mp 1}$	
Шифр-ключ	Субстанция в пятеричной связи	Святой Дух в Оболочке.	

По Книге Мертвых душа после гибели тела на шестом дне пребывания в Бордо ещё 49 дней мучается Химерами своего Воображения, что связано с пульсацией Духа (24 ± 1) и **оболочки** (табл.144).

Таблица 144

Пульсация Духа в Оболочке

Поля	Дух в оболочке	Двойная спираль Зодиака
(24 ∓ 1)	$23 + 24 + 25 = 72$	$\frac{147 + 72}{147 - 72} = \frac{219}{75} = 144 = 12^2$.
(49 ± 1)	$50 + 49 + 48 = 147$	

Двойная спираль Зодиака (по мере раскручивания спирали) отражает подготовленность системы генов тех или иных животных к биологической Жизни. **Поэтому Космодромы в Южной Америке напоминают астрологический календарь.**

182. Капля серого вещества головного мозга: нейрон

Равное количество разнонаправленной энергии обеспечивает резонансно-антирезонансное равновесие во всех формах Энергии Единого Космоса (табл.145).

Таблица 145

Резонанс полушарий Головного Мозга: разнонаправленность

Формы Энергии	Энергия Материи			Масса относи- тельного покоя	Ментальная Энергия		
	Гравита- ционное	Магнит- ное	Электри- ческое		Гравита- ционное	Магнит- ное	Электри- ческое
	Элементарные заряды				Мысль	Память	Вообра- жение
Положи- тельные	ρ	μ	q	m ₀	ρ*	μ*	q*
Отрица- тельные	−ρ	−μ	-q	-m ₀	−ρ*	−μ*	-q*
Сумма	±0	±0	±0	±0	±0	±0	±0
Разность	±2ρ	±2μ	±2q	±2m ₀	±2ρ*	±2μ*	±2q*
Резо- нансно- антире- зонанс- ные колеба- ния	$\frac{2(\rho + \mu + q)}{2\rho \cdot 2\mu \cdot 2q} = \frac{29 \cdot 10^{40}}{2 \cdot 28 \cdot 14 \cdot 16}$			$\Leftrightarrow \frac{m_0^2}{2m_0} \Leftrightarrow$	$\frac{2 \cdot 28 \cdot 14 \cdot 16}{29 \cdot 10^{40}} \equiv \frac{2\rho^* \cdot 2\mu^* \cdot 2q^*}{2(\rho^* + \mu^* + q^*)}$		
Резонанс полуша- рий го- ловного мозга	$29^2 \cdot 10^{80} \Leftrightarrow (2 \cdot 28 \cdot 14 \cdot 16)^2 \equiv T_{opp} \mu \mu^* q q^*$ где 29 ≡ половина Божеств в Голове, а 29 ² - резонансная точка двух полушарий головного мозга.						

Носителем Энергии в головном мозге является **точечный участок массы относительного покоя** ($m_0 = 2,7... = e$).

Массой относительного покоя в головном мозге является **Капля Серого Вещества Мозга, то есть Нейрон**.

Масса нейрона совершает резонансно-антирезонансные колебания (табл.145):

$$-\left(\frac{m_0^2}{2m_0} = \frac{m_0}{2} = \frac{e}{2}\right) \Leftrightarrow \left(\frac{2}{e} = \frac{2}{m_0^2} = \frac{2m_0}{m_0^2}\right)$$

или $m_0^2 = e^2 \Leftrightarrow 4 \equiv T_0 \equiv Sc^4 \pi/4.$ (413)

Потенциал T_0 пульсирует по амплитуде (4 ± 1) и масса относительного покоя, трансформируемая светом ($c \equiv \pi$), является **генератором поля с постоянной Тонкой Структурой:**

$$1/\alpha = \frac{4+1}{4-1} \cdot \pi \cdot e^\pi \equiv 137,0000021. \quad (414)$$

183. Энергетика Тянь-Цинь с позиции Капли Ядра

Микро-макро Капля инертного Ядерного вещества (табл.141) является электрон-позитронной Каплей жидкой плазмы (табл.146).

Таблица 146

Капля Плазмы электрон-позитронов инертных газов: Тянь-Цинь

Элементы (табл.141)	Электроны				Позитроны			
	He ⁻²	Ne ⁻¹⁰	Ar ⁻¹⁸	Kr ⁻³⁶	Kr ⁺³⁶	Ar ¹⁸	Ne ¹⁰	He ²
	X ⁻¹¹²	Rn ⁻⁸⁶	Xe ⁻⁵⁴			Xe ⁵⁴	Rn ⁸⁶	X ¹¹²
Сумма	-114	-96	-72	±0		72	96	114
Разность	-110	-76	-36	±72		36	76	110
Соударения фотон-фононов	К числу π: -(110+96+36+72) = -314				К числу π: +(110+96+36+72) = +314			
Предел 160+10 = 170	-(110+96+36-72) = -170				+(110+96+36-72) = +170			
Полушария сгустков Тянь	Левое полушарие: $_{150=160-10}^{170=160+10} - 2 \int \varphi d\varphi = 6400$				Правое полушарие: $_{150}^{170} 2 \int \varphi d\varphi = 6400$			
Небеса Цинь над полушариями сгустка	Цис-		Транс-		Транс-		Цис-	
	$_{1}^{0} - 6400 \int \varphi d\varphi$ +3200		$_{0}^{1} - 6400 \int \varphi d\varphi$ -3200		$_{1}^{0} 6400 \int \varphi d\varphi$ -3200		$_{0}^{1} 6400 \int \varphi d\varphi$ 3200.	

Великая Цивилизация диктовала Е.П.Блаватской потенциал 314 и Елена Петровна выделила этот потенциал на суперобложку "**Тайной Доктрины**" [3]. Однако смысл потенциала 314 можно понять только зная, что $\pi = 3,14\dots$ является эквивалентом скорости света ($c = 3,14\dots = \pi$).

Свет в сгустках Тянь формирует фононы ($m_c^{**} = 0,002$) в небесах Цинь фононы ($m_c^* = 0,008$). Возникает разность потенциалов:

Структура разности	Левое полушарие		Правое полушарие		(415)
	Тянь	Цинь	Тянь	Цинь	
	$\frac{6400}{m_c^{**} = 0,002} -$ $\frac{[32 - (-32)] \cdot 10^2}{m_c^* = 0,008} = 24 \cdot 10^5$		$\frac{-6400}{m_c^{**}} -$ $\frac{[32 - (-32)] \cdot 10^2}{m_c^*} = 24 \cdot 10^5$		

Разность $[24 - (-24)] \cdot 10^5 = 48 \cdot 10^5$ даёт сине-голубое деление спектра в Чакре Третий Глаз при $\lambda = 4800\text{\AA}$.

Потенциал 24 описывается в **Откровениях** как 24 Пресвятых Престола, окружающих Трон Христа на Небе.

184. Капля Ядра и Космическая Мысль

Пульсация электрон-позитронной структуры инертных газов в Капле Ядра (табл.146) удваивает постоянную Вселенной по водороду (табл.147).

Появление Космической Мысли (табл.147) призвана установить Агни-Йога и табл.147 поможет в этих исследованиях.

В данный момент я хочу подчеркнуть, что **Космическая Мысль** (табл.147) является **Создателем Сущего в полях Материи** и формирует **Память и Воображение в Ментальных Полях Тонкой Энергии**.

Зарождение Космической Мысли в Капле ядра

Компоненты	Электронные пары			Криптон	Позитронные пары		
Потенциалы (табл.146)	-114	-96	-72	36-36=0	72	96	114
	-110	-76	-36	36+36=72	36	76	110
Сумма	Σ ₁ = -1008			Плотность плазмы	Σ ₂ = +1008		
Гравитация	$\frac{\pm [1008 - (-1008)]}{72} = \pm 28 = \pm \sqrt{\rho \rho^*}$						
Космическая Мысль	$\rho_4 = 28 \cdot 10^{20}.$						

Космическая Мысль чужда Магическим секретным Мистериям, религиозному Догматизму, научной приблизительности и философскому Словоблудию всех времён и народов.

Космическая Мысль точна, а её изучение требует не слепой неосознанной догматической Веры, а глубокого творческого подхода к динамике Явлений Природы.

"3. Тьма излучает свет, и Свет роняет одинокий Луч в воды, в Глубину Лона Матери. Луч пронизывает Девственное Яйцо, Луч пробуждает трепет в Вечном Яйце и зарождает Зародыш, невечный, который сгущается в Мировое яйцо" ([3], Космогенезис. Станца III).

Подчеркну, что материалистическая наука, отвергающая Реальность законов Единого космоса как метафизику, отстаёт в своём развитии даже от первобытных племён.

185. Живые магниты в резонансной Капле ядерного вещества

Капля ядра – зародыш Мирового яйца, пульсирует.

Взяв из Книги Дзиан термин **Мировое Яйцо**, авторы **Каббалы** забыли сослаться на Первоисточник и были наказаны полным непониманием динамики процессов, протекающих в **Мировом яйце**.

Такое непонимание в равной степени относится к **современным исследованиям Мирового яйца**, лауреатом Нобелевской Премии академиком А.Эйнштейну и В.Глозману, теория относительности и теория кварков которых пытаются решить задачу понимания Единого Космоса без учёта его пульсации.

Невзирая на академиков, Космос пульсирует в резонансно-антирезонансном режиме. Пульсирует в каждой Капле ядра.

Антирезонансную пульсацию мы рассмотрим частично в табл.146 и табл.147. Рассмотрим резонансную пульсацию в Капле ядра (табл.148).

Таблица 148

Резонансные колебания в Капле Ядра

Компоненты	Электроны пар			Криптон	Позитроны пар		
Потенциалы (табл.146)	-114	-96	-72	± 0	72	96	114
	-110	-76	-36	± 72	36	76	110
Резонансные колебания	$\frac{114 \cdot 96 \cdot 72}{110 \cdot 76 \cdot 36} = \frac{144}{55}$			$\rightarrow \pm 72 \rightarrow$ $\leftarrow \pm 0 \leftarrow$	$\frac{55}{144} = \frac{110 \cdot 76 \cdot 36}{114 \cdot 96 \cdot 72}$		

В Капле Ядра при резонансе возникает вихрь $T_0^2 \tau^2$ и гравитационно-магнитные десятичные ряды:

$$7 = \frac{1^2 + 2^2 + 3^2 + 4^2 + 5^2 + 6^2 + 7^2 + 8^2 + 9^2 + 10^2 = 385}{1 + 2 + 3 + 4 + 5 + 6 + 7 + 8 + 9 + 10 = 55}. \quad (416)$$

В Капле Ядра возникает **семеричность и оболочка** (416):

$$\frac{144}{55} \equiv \frac{12^2 \cdot 7}{385} \Leftrightarrow \frac{1008}{385} \Leftrightarrow \frac{385}{1008} \Leftrightarrow \frac{385}{12^2 \cdot 7} \equiv \frac{55}{144}, \quad (417)$$

где: $7^2 = 49$ – потенциал оболочки [22].

Предопределение области с ноль-потенциалом (табл.148) оставляет контур (417) без изменения. предопределение плазмы с $\gamma_n = 72$ (табл.148) рождает живые магниты:

$$1008 : 72 = 14 \equiv \sqrt{\mu\mu^*}. \quad (418)$$

186. Корень в Океане Жизни

Квант, в котором возникают **Живые Магниты** (418) является **излучённым** Каплей ядерного Вещества квантом.

Излучению (рождению) Живого Магнита Ядром предшествовало Состояние Равновесия в точке-излучателе:

Точка-излучатель Живых Магнитов			(419)
Монада. Единый	Неравновесие	Масса относительного покоя	
$\frac{385}{1008} \cdot \frac{1008}{385} = 1$	$\frac{385}{1008} \Leftrightarrow \frac{1008}{385}$	$m_0 = \frac{1008}{385} = 2,6(18) \equiv c$	
Примечание: масса $m_0 = 2,6(18) = e$ станет пищей людей Воли и Йоги (Теогенезис [4]).			

Начало формирования **равновесия** в Капле ядра ядерного Вещества связано с равенством числа электронов и позитронов в сгустке инертных газов (табл.149).

**Достижение Равновесия за счёт синтеза
масс относительного покоя**

Компоненты	Электроны			Криптон	Позитроны		
Потенциалы (табл.142)	-114	-96	-72	$72 \Leftrightarrow 6$	72	96	114
	-110	-76	-36		36	76	110
Колебания (табл.148)	$\frac{144}{55} = \frac{1008}{385} = m_0$			$\Leftrightarrow \frac{m_0^2}{m_0 + m_0} \Leftrightarrow$	$m_0 = \frac{1008}{385} = \frac{144}{55}$		

Механизм достижения Равновесия в Капле ядра описан в Космогенезисе ([3]. Станца III):

"4. Трое упало в Четыре ($\tau \cdot T_0 = 3 \cdot 4 = 12$). Лученосное Естество умиряется. Семь внутри, Семь вовне (417):

$$\boxed{\frac{144}{55} \equiv \frac{12^2 \cdot 7}{385} = \frac{7 \cdot 12^2}{385} = \frac{144}{55}} \quad (420)$$

Сияющее Яйцо, в себе Троичное ($m_{\text{с}} + \varepsilon_0 \cdot \mu_0 \cdot c^2 + E_{\lambda \text{с}} = 1+1+1 = 3$), сворачивается, распространяясь молочно-белыми в Глубинах Материи:

Спирали Кундалини $\equiv \rho_5 \cdot 3,5/2,5 = 14 \equiv \sqrt{\mu\mu^} \equiv \text{Живые Магниты, Корне, растущем в Океане Жизни.}$* (421)

**187. Океан Жизни как взаимодействие
в каждой Капле Жизни**

Излучённый Каплей Ядра квант Живого Магнита (418) начал самостоятельную Жизнь:

"5. Корень остаётся, Свет остаётся, Сгустки остаются и , всё же, Оеоооо Един (описание среды и процессов в ней).

6. Корень Жизни был в каждой Капле Океана Бессмертия, и Океан был Светом Лучезарным, который был Огонь и Тепло, и Движение" (табл.150).

Таблица 150

Характеристика Капли – Корня Жизни

Характеристика	Огонь	Тепло	Движение	24 Пресвятых Престола
	Ядерное вещество	Калории [17]	Импульс	
Потенциалы, приведённые к одной калории	Плазма $\gamma_n = 72 \equiv$ свет $36 - (-36) =$ вода $2[18 - (-18)]$	$\frac{T_0}{\tau} c = \frac{4}{3} \pi \equiv$ $4,188... \text{дж}$ $\equiv 1 \text{ кал}$	$\frac{\gamma_n \frac{T_0}{\tau} \pi}{c \equiv \pi}$ $(72 \cdot 4) : 3 =$ 96	$\frac{96 + 72 = 168}{96 - 72 = 24} =$ 7.

"Тьма исчезла и более не существовала; она исчезла в своем Естестве, в теле Огня и воды (табл.150), Отца (колебание $\int_0^1 \varphi d\varphi = 0,5$) и Материи (колебание $\int_1^0 \varphi d\varphi = -0,5$)

Станца III Космогенезиса [3] описывает процессы, протекающие в поле Света как **Оеаоһоо** и **Оеаоһоо** - Младший (табл.151).

Узри его, приподнимающего Покров и развертывающего его с Восток на Запад [3].

Роль Света в каждой Капле Океана Жизни

Свет		Люминесцентный	солнечный
По Станце		Оеаоhoo	Оеаоhoo-Младший
Взаимодействия		$\rho_2 = \frac{\rho_5}{\rho_1 \rho_3 \rho_4} = 10^{-1}$	$\rho_5 = \rho_1 \rho_2 \rho_3 \rho_4 = 10$
Трансфор- мации	$\rho_5 \Leftrightarrow \rho_2$	$hoo \equiv \rho_5 \rightarrow \rho_2 \equiv 10^{-2}$	$hoo \equiv \rho_2 \rightarrow \rho_5 \equiv 10^2$
	Гравитация	$0 \equiv \rho_1 = 10^{-24}$	$0 \equiv \rho_1 = 10^{-24}$
	Электро- магнетизм	$ea \equiv \rho_3 = 10^{12}$	$ea \equiv \rho_3 = 10^{12}$
	Ядерное	$0 \equiv \rho_4 = 10^{14}$	$0 \equiv \rho_4 = 10^{14}$

188. Подсознание и Пирамида "Вавилонская Башня"

Книга Дзиан подробно описывает роль и влияние света ([3]. Космогенезис. Станца III)

Энергетика Воображения

Текст Станцы	Расшифровка текста
Узри О Лану, Дитя Лучезар- ное Тех Двух, Несравненное Впитывающее Величие Про- странства Све- та, Сына Про- странства Тьмы, Возни- кающего Из Глубин Вели- ких Тёмных Вод.	<p>Смотри Ученик, Дитя солнечного и люминесцентного света.</p> <p>Блистающее величие Пространства, заполненное Светом, возникло в Капле Ядра из Пространства вечной тьмы самосуших волн.</p> <p>Возникает в Недрах жидкой плазмы как из Глубин Великих Тёмных Вод.</p> <p>Это солнечный свет (табл.151).</p> <p>Сочетание солнечного и люминесцентного света творит Мудрость Воображения.</p>

Это Осаоноо - Младший. Он Сияет Как Солнце. Он Пламенеющий, Божественный Дракон Мудро- сти, Эка Есть Чатур, И Чатур Берёт Себе Три, и Союз порожд- ает Сапта (семь), в нём Семеро, кото- рые становятся Тридаша, Сон- мы, Множества.	Формирование Воображения			
	$\rho_3 q^* \Leftrightarrow \frac{\rho_2}{q^*}$	$q^{*2} \Leftrightarrow \rho_2^2$	$16^2 \Leftrightarrow 10^{-42}$	$T_0^{T_0} \Leftrightarrow 10^{-42}$
	Эка-один			Чатур-четыре
<p>Единое Воображение связано с $T_0 = 4$, но помещает энергию Арупы, образуя разности потенциалов:</p> $T_0^{T_0} - \tau^{T_0} = (4^2 - 3^2) \cdot (4^2 + 3^2) = 7 \cdot 25 \quad (422)$ <p>В Подсознании, пульсирующем с частотой 25-ти кадров возникают Семь уровней, описанных Пирамидой "Вавилонская башня".</p> <p>Вершина Пирамиды имеет потенциал, равный 30 (Тридаша) – число-потенциал Бога и Богини Луны шумеров [1].</p> <p>Изомерия лунных излучений $[30 - (-30) = 60]$ формирует Сонмы (система счисления шумеров: $60 \rightarrow 60^2 \rightarrow 60^3 \rightarrow 60^4$ [1]), и далее во Множестве.</p>				

189. Лазерная Точка: начало логарифмической Спирали Вселенной

"1. Первозданные Семь, изначальные Семь Дыханий Дракона Мудрости, в свою очередь, порождают своим Священным Кружно-Спиральным Дыханием Основной Вихрь ([3]. Космогенезис. Станца V).

В поле Дракона Мудрости, то есть Воображения ($q^* = 16 \cdot 10^{20}$), Дзиан-пульсация влечёт за собой сжатие, а взаимодействия – расширения:

Сжатие	Расширение
Дзиан	Взаимодействия
$q^* \left(\frac{1}{2} = \frac{\omega_0}{c} \right) \Leftrightarrow q^* \left(2 = \frac{c}{\omega_0} \right) \quad (423)$	
$q^* \Leftrightarrow 4q^*$	

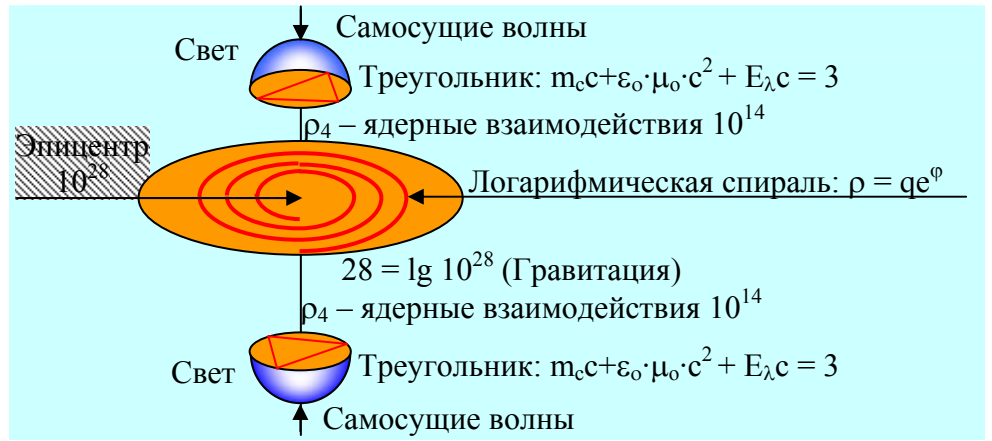


Рис.53 Формирование Капли ядра Светом: Фесский Диск Праславян

Возникает **Кружно-Спиральный Огневой Вихрь** (рис.53) и **Эка-Чатур Воображения** (423).

Субстанцией для этого Огневого Вихря служит **оболочка кванта света**, с потенциалом $6 = 3 - (-3)$, из которой возникает Кундалини ($6 = 3,5 + 2,5 = 3,5^2 - 2,5^2$), а при $\rho_4^2 = 10^{28}$ в полях логарифмических волн ($\lg 10^{28} = 28$) появится гравитация (рис.53).

Возникнет **Кружно-Спиральный Огневой Диск**, известный нам в форме **Фесского Диска Праславян** (рис.53).

Спираль Фесского Диска (логарифмическая спираль, рис.53) является описанием спирали получения Тонкой Структуры:

$$\boxed{\frac{1}{\alpha} = \frac{T_0 + 1}{T_0 - 1} \pi \cdot e^\pi \Leftrightarrow \frac{T_0 - 1}{T_0 + 1} \frac{1}{\pi} e^{-\pi} = \alpha \equiv \frac{5^2}{3^2} e^{2\pi} \Leftrightarrow m_c E_\lambda}, \quad (424)$$

где: $m_c E_\lambda = 1/\pi^2$ - лазерная точка,

5 и 3 – стороны Священного Треугольника.

190. Три формы массы относительного покоя

Масса относительного покоя $m_0 = e$ может быть сжата до такой степени, что она окажется без **Ядра, как Камень**. В этом случае масса относительного покоя остаётся носителем "атмосферы", в которой протекает трансформация Энергии со скоростью света. Потенциал массы ядра будет равен $e^\pi \equiv m_0 c$.

Масса относительного покоя $m_0 = e$ **может иметь ядро, как Металл**, и тогда внутреннее поле ядра и атмосферы над ядром должны пульсировать (рис.54).

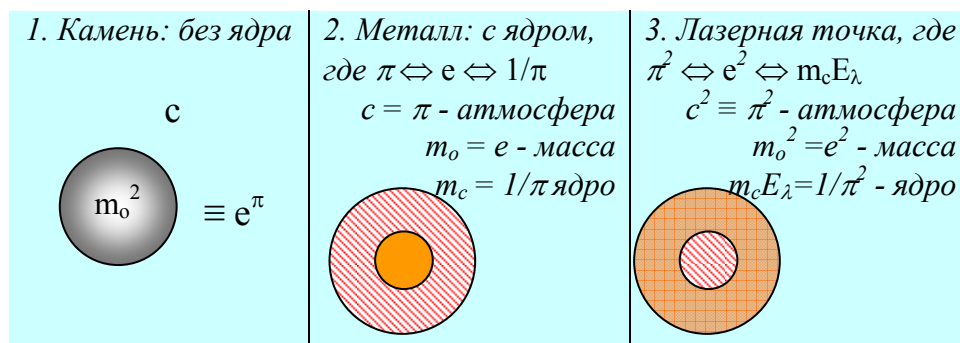


Рис.54 Три формы масс относительного покоя

Колебания в массе, имеющей **ядро, литосферу и атмосферу** (типа Металл (рис.54, где $\pi \Leftrightarrow e \Leftrightarrow 1/\pi$)) нам известны по работам института Геофизики АН СССР [10]: **в атмосфере протекает сгущение Небесных тел с коэффициентом 5/2, в литосфере разломы с коэффициентом 7/2, а, следовательно в металле возникнут колебания:**

Камень	$\frac{5}{2}\pi \Leftrightarrow \frac{7}{2}e \Leftrightarrow x \frac{1}{\pi}$ и $2x \Leftrightarrow 7\pi e \Leftrightarrow 5\pi^2$	(425)
--------	--	-------

При трансформации металла в лазерную точку ядерного вещества потенциалы колебания Камня (425) увеличиваются до квадратов первоначальных величин (рис.54):

Лазерная точка	$\frac{25}{4}\pi^2 \Leftrightarrow \frac{49}{4}e^2 \Leftrightarrow x^2 \frac{1}{\pi^2} \text{ и}$ $4x^2 \Leftrightarrow 49\pi^2 e^2 \Leftrightarrow 25\pi^4.$
-------------------	---

(426)

Переходы трёх форм масс (рис.54) являются важнейшими в Эволюции зарождения и развития Жизни:

"5. Искра Фохата, Нитью тончайшей с Пламенем соединённая. Она странствует через Семь Миров Майи. Она останавливается в Первом, становясь металлом и Камнем; переходит во Второй, и узри - Растение; Растение вращается в Семи Сменах и Становится Священным Животным. Из этих свойств-сочетаний Ману-Мыслитель создаётся" ([3]. Космогенезис. Станца VII).

191. Кундалини в поле Воображения

Сгущение Тонких Энергий Единого Космоса протекает в закономерностях **изменения логарифмической спирали.**

Эталоном спирали сгущения является спираль, в результате прохождения которой через колебания Рупы ($T_0 \pm 1$) возникает постоянная Тонкой Структуры ($1/\alpha = 137,0000021$), включающая в себя $c \equiv \pi$ и $m_0 = e$:

Логарифмическая спираль постоянной Тонкой Структуры			
Субстанция (рис.54)	Камень	Металл	Результат
Состояние Рупы в среде $c \equiv \pi$ при $m_0 = e$	$\frac{T_0 + 1}{T_0 - 1} \cdot c \cdot e^c \equiv$ $\frac{5}{3} \cdot \pi \cdot e^\pi =$	$T_0 \cdot c \cdot e^{c-m_c}$ $4\pi \cdot c^\pi - e^{1/\pi}$	$= 137,0000021.$

(427)

Динамика процесса движения по спирали Тонкой Структуры (427) описана в Станце V Космогенезиса ([3], табл.153).

Волна Тонкой Структуры – Носитель Мысли

Текст Станцы	Расшифровка текста
2. Они делают его Вестником своей Волны Джью становится Фохатом, стремительный Сын Божественных Сынов, 464 Сыны-Липики устремляются в вихре Спиральном. Фохат есть Конь – Мысль – Всадник.	<p>Вихри масс относительного покоя являются источником энергии Носителя Разума.</p> <p>Колебания по амплитуде в Камне (Джью) переходят в давление поверхностной волны (Фохат):</p>
	$\frac{5}{3}\pi \Leftrightarrow 4\pi \quad 5 \Leftrightarrow 4 \cdot 3 \quad 0 \Leftrightarrow 12 - 5 = 7 \quad 1 \Leftrightarrow \frac{12}{5} = 2,4 \quad (428)$
	<p>Логарифмическая спираль (427) является также Носителем Космической Мысли ρ^*, создавая пульсирующую систему (428):</p> $\frac{\rho^* = 28 \cdot 10^{20}}{7} \cdot 2,4 = 96 \cdot 10^{20} \equiv 6 \cdot (16 \cdot 10^{20} = q^*) \quad (429)$ <p>В поле Воображения (q^*) возникает Кундалини с потенциалом 6.</p>

Появление в Металле потенциала 4π (427) было использовано как круг-окружность с радиусом $R=2$, в которое вписывалось основание великой Пирамиды.

192. Поглощение Тонкой Энергии сгустком Материи

Потенциал $4\pi \equiv \mathcal{L} \equiv \delta$ имеет эпюру в виде длины окружности ($\mathcal{L} = 2\pi R = 4\pi$) или площади круга ($S = \pi R^2 = 4\pi$) с радиусом $R = 2$ (рис.55), в которые вписывается основание великой Пирамиды (рис.55).

Пирамида – это эпюра сгустка Материи, в которой по каналу экстрасенсорной проводимости поступает Тонкая Энергия (Прана), имеющая эпюру в виде поверхности сферы с радиусом $i = \sqrt{-1}$, где $Q_i = 4\pi i^2 = -4\pi$ (рис.55).

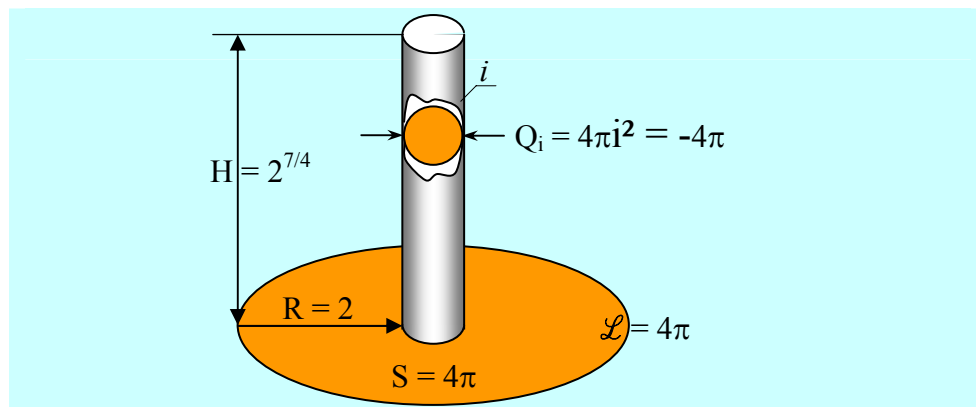


Рис.55 Поступление Тонкой Энергии ($Q_i = -4\pi$) через канал экстра-сенсорной проводимости (H) в поле Материи ($S = \mathcal{L} = 4\pi$)

В поле сгустка происходит насыщение Энергии Материи Тонкой Энергией Праны (табл.153).

Таблица 154

Режим поступления Тонкой Энергии в сгусток Материи

Формы Периоды	Тонкая Энергия	Волны Материи		Равновесие	
		Поверхностная	Бегущая	Анти-резонанс	Резонанс
$T_0 = 4$	$Q_i = -4\pi \Leftrightarrow$	$4\pi \equiv S$	$\Leftrightarrow \mathcal{L} = 4\pi$	$\pm 0 \Leftrightarrow 8\pi$	$-1 \Leftrightarrow 1$
$T_0 + 1 = 5$	-5π	5π	5π	$\pm 0 \Leftrightarrow 10\pi$	$-1 \Leftrightarrow 1$
$T_0 - 1 = 3$	-3π	3π	3π	$\pm 0 \Leftrightarrow 6\pi$	$-1 \Leftrightarrow 1$
Суммы	-12π	12π	12π	$\pm 0 \Leftrightarrow 12\pi$	$-1 \Leftrightarrow 1$
Мах	$-12^3 \cdot \pi^3 \cdot (m_c + E_\lambda) \cdot m_c \cdot E_\lambda = -6 \cdot 12^2$				

Режим поступления Тонкой Энергии в поле Материи (табл.153) описан в Круге Универсум Иоанном Богословом в Откровениях под телепатическую диктовку Иисуса Христа [6]:

Круги [6]	1	2	3	Резонанс
Потенциалы	$2 \Leftrightarrow 3 \Leftrightarrow 4$	$20 \Leftrightarrow 30 \Leftrightarrow 40$	$200 \Leftrightarrow 300 \Leftrightarrow 400$	$2 \cdot 3 \cdot 4 = 24$ $24^3 \cdot 10^9$

(430)

$$\text{Возникает Периодичность: } 24^3 \cdot 10^9 : (-6 \cdot 12^2) = -16 \cdot 10^9 \quad (431)$$

193. Сходство и Различие рождения в Жизнь и в Жизнь до (после) Жизни

Энергетика биологической Смерти – это Подобие выдоха Тонкой Энергии Памяти, Воображения и Мысли из Тела.

По Книге Мертвых при попадании в Эфир Бордо гравитация для души исчезает и восстанавливается в течение 49 дней, в течение которых Память и Воображение души терзает Воображение: возникает потенциал обратный пальме:

Первое мгновение появления души в Эфире Бордо		
Фильтрация	Положительные	Отрицательные
Терзание Воображением	$\frac{q^*}{\mu^*} \int_0^1 \varphi d\varphi = \frac{16}{14 \cdot 2} = \frac{4}{7}$	$\frac{q^*}{\mu^*} \int_1^0 \varphi d\varphi = -\frac{16}{14 \cdot 2} = -\frac{4}{7}$
При 42 Божествах Сердца	$\frac{4}{7} \cdot 42 = 24$	$-\frac{4}{7} \cdot 42 = -24$
На шестой день	$24 \cdot 6 = 144 = 12^2$ $-24 \cdot 6 = -144 = -12^2$ Резонансные вихри Арупы-Рупы: $T_0^2 \tau^2$.	

(432)

Появление резонансных вихрей Арупы-Рупы (432) трансформирует электромагнитное поле в гравитационно-электрическое, в котором возникает Рупа-Форма, то есть Зародыш Жизни:

Жизнь вне Формы	Зародыш Жизни в Форме	(433)
$\frac{q^*}{\mu^*} \left(\pm \int_0^1 \varphi d\varphi \right) = \pm \frac{4}{7}$	$\mp \frac{7}{4} = \frac{\rho^*}{q^*}$	

Зародыш Жизни в эфире Бордо попадает в трёхмерное Пространство, где возникают заряды и равновесия (433):

$$\frac{\rho^*}{q^*} \cdot \frac{q}{\rho} = \frac{7}{4} \cdot \frac{4}{7} = 1 \quad \text{и} \quad 1 \times 2(m_e c + \epsilon_0 \cdot \mu_0 \cdot c^2 + E_\lambda = 3). \quad (434)$$

Равновесный квант попадает в трёхмерное Пространство с шестью степенями свободы (434). Возникает Кундалини и с ней мы рождаемся в биологическую Жизнь (434).

Жизнь возникает в воде [$6 \cdot (18 \equiv \text{Mn}_2\text{O}) = 108$], а 108 реинкарнаций в вихре Арупа-Рупа формируют субструктуру (9+0):

$$108 : (T_0 \tau = 12) = (9+0). \quad (435)$$

194. Описание Рождения в Книге Дзиан

Поглощение Тонкой Энергии сгустком Материи (рис.55) – это описание рождения Жизни белковых смертных тел из ментальных полей Тонких Энергий.

Книга Дзиан описывает рождение как в Жизни после Жизни (Станца V. Космогенезис. [4]), так и в биологическую Жизнь (Станца VII. Космогенезис. [4]).

Сравним энергетику этих форм рождения:

Рождение в Жизни после Жизни. Станца V [3]	Рождение зародыша биологической Жизни. Станца VII [3]
<p>2...Подобно Молнии пронизывает он (ρ^*) тучи огневые. Делает Три, Пять, Семь (428) Продвижений через Семь Областей вверху и Семь внизу. Он возвышает Глас свой и созывает Искры, соединяя их вместе. (рис.53, рис.54)</p> <p>Возникает контур колебания нейрона:</p> <p>$3 \Leftrightarrow 5 \Leftrightarrow (7+0).$</p>	<p>1. Познай начало Жизни, чувствующей и вне формы.</p> <p>Вначале, Божественный Единый от Матери Духа (ρ^*), затем Духовный ($2\mu^*$); Три от Одного, Четыре от одного и Пять:</p> <p>$3 \Leftrightarrow 4 \Leftrightarrow 5$ (или $T_0 \pm 1$),</p> <p>из которых Три, Пять и Семь:</p> <p>$3 \Leftrightarrow 5 \Leftrightarrow (7+0).$</p>

<p>3. Он их направляющий дух и воитель. Начиная работу, отделяет Искры Низшего Царства (души фарисеев, пришедших из Жизни), в радости носящиеся и трепещущие в своих светозарных обиталищах, и образует из них зачатки колес.</p> <p>Он помещает их в Шести Направлениях Пространства (возникает Зародыш Тела, Рупа), и Одно посреди – Колесо Срединное (душа).</p>	<p>Это суть Троичные и Четверичные в нисходящем порядке:</p> $\frac{3^2 + 2^2 + 1^2}{3 + 2 + 1} = \frac{14}{6} \Leftrightarrow 3 = \frac{1^2 + 2^2 + 3^2 + 4^2}{1 + 2 + 3 + 4}$ <p>Первого Владыки рождённые Разумом Сыны, Блισταющие Семь. Они есть Ты, Я, Он, о Лану, они блюдут тебя и твой Матерь-Бхуми (Землю).</p> <p>Появляется вода и магнетизм: $\sqrt{\mu\mu}^* = 14 \Leftrightarrow 3 \cdot 6 = 18 \equiv \text{Mn}_2\text{O}.$</p>
---	--

195. Нейрон-биоклетка: митоз спектра Света в оболочке

В течение биологической Жизни каждый из нас поглощает-излучает Тонкую Энергию, **оставаясь Материальным субъектом** изменяющегося со временем тела.

Основными излучателями-поглотителями нашего тела являются структуры биоклетки и нейрона, пульсирующие в режиме ± 2 (табл.154).

Таблица 154

Взаимосвязь структур биоклетки и нейрона до митоза

Компоненты	Колебания структур	Биоткань	Импульсы	Резонанс	Разность
Биоклетка	$5 \begin{smallmatrix} +2 \\ \Leftrightarrow \\ -2 \end{smallmatrix} 7 \begin{smallmatrix} +2 \\ \Leftrightarrow \\ -2 \end{smallmatrix} 9 + 0$	21	8	$\pm 21 \cdot 8 \int_0^1 \varphi d\varphi = \pm 84$	$84 - 60 =$
Нейрон	$7 \begin{smallmatrix} +2 \\ \Leftrightarrow \\ -2 \end{smallmatrix} 5 \begin{smallmatrix} +2 \\ \Leftrightarrow \\ -2 \end{smallmatrix} 3$	15	8	$\pm 15 \cdot 8 \int_0^1 \varphi d\varphi = \pm 60$	24
Суммы	$12 \Leftrightarrow 12 \Leftrightarrow 12$	36	16	$84 + 60 = 144 = 12^2$	
Баланс	$36 \cdot 16 = 576 = 24^2.$				

Трон Христа на Небе окружен 24 Пресвятыми Престолами (Откровения) – это описание Начал взаимодействий субструктур клетки (9+0) и нейрона (7+0) (табл.154).

Деятельность великой Цивилизации и богов, посылаемых ею в педагогических целях, направлена на Размножение Живого, основой которого является митоз (табл.155).

Таблица 155

Взаимосвязь структур биоклетки и нейрона при митозе

Компоненты	Колебания субструктур	Биоткань	Импульсы	Резонанс
Биоклетка	$5 \overset{+2}{\leftrightarrow} 7 \overset{+2}{\leftrightarrow} 9 \overset{-2}{\leftrightarrow} 9+0$	32	$\pm 2 \cdot 6 = 12$	$\pm 32 \cdot 12 \int_0^1 \varphi d\varphi = \pm 192$
Нейрон	$7 + 2 \overset{+2}{\leftrightarrow} 7 \overset{+2}{\leftrightarrow} 5 \overset{-2}{\leftrightarrow} 3$	22	$\pm 2 \cdot 6 = 12$	$\pm 22 \cdot 12 \int_0^1 \varphi d\varphi = \pm 132$
Суммы	$14 \leftrightarrow 14 \leftrightarrow 14 \leftrightarrow 14$	54	24	324
Баланс колебаний	$\left(\frac{192 + 132}{192 - 132} = \frac{324}{60} \right) \cdot \frac{4 \cdot 14}{54 \cdot 24} \equiv \frac{56}{240} = \frac{7}{30} \leftrightarrow \frac{30}{7}$ Оболочка $\equiv 49 \leftrightarrow 900 \equiv (\Delta K - \Delta \Phi = 900 \text{Å})$.			

Возникает спектр света в оболочке (табл.155).

**196. Свет в оболочке:
гравитационно-электромагнитные свойства**

С момента появления Ману-Мыслителя на Земле великая Цивилизация оберегает и обучает нас.

Оберегают и обучают как Отец-Мать своего Сына.

Педагогика обучения включает три компоненты:

1. **Демонстрацию** достижений научно-технического прогресса великой Цивилизации, например Пещаница Христа и так далее.

2. Формирование ориентиров направленности Эволюции развития Живого путём создания **Религиозно – Языческих Мировоззренческих Догм.**

3. Создание системы **критического анализа** Религиозных Догм методами **магических Мистерий**, что позволяет вскрывать причинно-следственные связи (закон Кармы) Единого Космоса.

Религии, как и магические Мистерии, приходят и уходят по мере освоения Ману-Мыслителем очередного Этапа Познания.

Сегодня перед **Ману-Мыслителем** стоит проблема познания его трансформации в **Человека Воли и Йоги** [4].

Для познания такой трансформации надо выявить закономерности изменения медитации при переходе между Чакрами, где **свет в оболочке** (табл.155) связан с электромагнетизмом (табл.156).

Таблица 156

**Свет в оболочке:
гравитационно-электромагнитные свойства**

Энергии	Свет в оболочке		Кундалини	
	Спектр	Белый	Спектр	Белый
Потенциалы	$49 \Leftrightarrow 900 \equiv \Delta K - \Delta \Phi$	$T_0 7^2 \Leftrightarrow 3600 \equiv \Delta B$	$(7/2)^2 = 15^2 \equiv \pm [(16+14) \int_0^1 \varphi d\varphi]^2$	$T_0^2 \left(\frac{7}{2}\right)^2 \Leftrightarrow T_0^2 \cdot 15^2$ $28 \Leftrightarrow 3600$
Примечания	Спектр света в оболочке	Белый свет в оболочке	Электромагнетизм: $16 \equiv \sqrt{q q^*}$ и $14 \equiv \sqrt{\mu \mu^*}$	Гравитация и белый (ΔБ) свет.

197. Сто восемь реинкарнаций: пульсация спектра Света в Рупе

Свет в оболочке пульсирует (табл.155):

$$\begin{array}{ccc} 28 & \longleftrightarrow & 3600 \\ \updownarrow & & \updownarrow \\ 900 & \longleftrightarrow & 49, \end{array} \quad (437)$$

Формируя Радугу при инверсии (выворачивание наизнанку) оболочки.

Колебания оболочки – гравитация влечёт за собой колебания полей с потенциал-эквивалентом пальме и её обратной величины (437):

$$\frac{\text{Оболочка}}{\text{гравитация}} \equiv \frac{49}{28} = \frac{7}{4} \Leftrightarrow \frac{4}{7} = \frac{28}{49} \equiv \frac{\text{гравитация}}{\text{оболчка}}. \quad (438)$$

Под оболочкой света и над оболочкой света (Радуга) возникает разность-эквивалент 42 Божествам Твоего Сердца:

сумма
49+28 = 77
49-28 = 21

$\begin{array}{r} 77 \\ + \\ 21 \\ \hline =98 \end{array}$

$-$

разность
49+28 = 77
49-28 = 21

$\begin{array}{r} 77 \\ - \\ 21 \\ \hline =56 \end{array}$

$= 42 \quad (439)$

В то же время появление 42 Божеств Твоего Чистого Сердца в Эфире Бордо (425, Книга Мёртвых) сопутствует пульсация $\Delta B = 3600\text{\AA}$ и разности $\Delta K - \Delta \Phi = 1400\text{\AA} - 500\text{\AA} \equiv 900\text{\AA}$ (423). Возникают электрические предпосылки появления воды и жидкой плазмы с молекулярным весом 18 и 72 (табл.157).

Внутреннее поле спектра света сосуществует в пульсирующей Рупе:

$$\pm 108 \cdot 10^2 \equiv 900(T_0 \pm 1) \equiv \pm (900 \cdot 5 + 900 \cdot 4 + 900 \cdot 3) \equiv \pm 900 \cdot 12. \quad (440)$$

**Пульсация спектральных компонент
под белой оболочкой света**

Поля	Белый свет	Спектр	Плазма	Вода	Ядерное вещество	Свет ядра
Потенциалы	+ 3600	900	4500	4500	× 4500	× 7200
	3600	900	+ 2700	2700	2700	1800
	7200	1800	7200	1800	$18^2 \cdot 10^4$	$36^2 \cdot 10^4$

Пульсация света в Рупе предопределяет 108 реинкарнаций в периодичности Кальпы (440).

198. Энергетика возникновения Воображения

В пульсирующей системе (437) спектр света и оболочка контактируют, создавая **неравновесную систему**, в которой **оболочка трансформируется в двойную спираль Кундалини**, а разность потенциалов в спектре света формирует электрическое, электромагнитное и магнитное поле (табл.158).

**Электромагнетизм: колебание спектра
в оболочке света**

Поля	Неравновесная система			Двойная спираль Кундалини
	Оболочка	Спектр	Электромагнетизм	
Потенциалы	$7^2 = 49$	↔ 900 ↔	$4 \cdot 15^2$	$(7/2)^2 \leftrightarrow 15^2$

Появление двойной спирали Кундалини вокруг электромагнитного поля с потенциалом 15^2 не останавливает процессы под оболочкой, где электромагнитное поле:

$$\pm 15 = (16+14) \cdot 1/2 \equiv (\sqrt{qq^*} + \sqrt{\mu\mu^*}) \left(\pm \int_0^1 \varphi d\varphi \right), \quad (441)$$

достигая квадрата первоначального потенциала, расслаиваются на электрическое, электромагнитное и магнитное поля:

Мультиплетность электромагнетизма				
Кун- далини	Электромагнетизм		электри- ческое	электро- магнит- ное
$(7/2)^2 \Leftrightarrow 5^2$	\equiv	$\left(\frac{16+14}{2}\right)^2 \equiv$	$\frac{1}{4}(16^2 + 2 \cdot 16 \cdot 14 + 14^2)$	
		$(\sqrt{qq^*} + \sqrt{\mu\mu^*})$ $\int_0^1 \varphi d\varphi$	$\frac{1}{T_0}(qq^* + 2\sqrt{qq^* \mu\mu^*} + \mu\mu^*)$	

(442)

Электромагнитное поле (442) пульсирует, создавая квадрат разности потенциалов и новую разность электрических и магнитных полей:

$$T_0^3 \left[\left(\frac{16+14}{2} \right)^2 - \left(\frac{16-14}{2} \right)^2 \right] \equiv 32 \cdot (16^2 + 14^2). \quad (443)$$

Из сгустка Тянь $\equiv 64 \equiv T_0^3$ возникают небеса Цинь с потенциалом 32 (443), а между живыми магнитами полушарий головного мозга ($32 \cdot 14^2 = 32\mu\mu^*$) возникает облако Воображения ($32 \cdot 16^2 = 32qq^*$).

199. Великая Пирамида: описание Мирового Яйца

Энергетика реинкарнаций связана с пульсацией гравитационной белой оболочки с красно-фиолетовой разностью потенциалов в спектре света под оболочкой (437, табл.159).

Колебания кванта света и реинкарнации

Поля	Белая оболочка $\Delta B = 3600\text{\AA}$	Красно-фиолетовый спектр $\Delta K - \Delta \Phi = 900\text{\AA}$	Потенциал реинкарнаций
Колебания (437)	$49 \Leftrightarrow 3600$ $28 \Leftrightarrow 3600$	$49 \Leftrightarrow 900$ $28 \Leftrightarrow 900$	$T_0 \cdot 5400 \left(\pm \int_0^1 \varphi \, d\varphi \right)$ $\pm 108 \cdot (10^2 \equiv \rho_5^2)$ где $\rho_5^2 = \rho_5 : \rho_2$
Разность	$21 \Leftrightarrow 0$	$21 \Leftrightarrow 0$	
Сумма	$77 \Leftrightarrow 7200$	$77 \Leftrightarrow 1800$	
Разность сумм	$7200 - 1800 = 5400$		
В воде: $M_{H_2O} = 18$	$\frac{108}{18} = 6 \Leftrightarrow 56 = \frac{1008}{18}$ или $3 \Leftrightarrow 28$.		

Жизнь из Света зарождается в воде, так как в воде (жидком ядерном веществе) реализуется переход от Арупы ($\tau = 3$) к гравитации (Рупе), где резонансно-антирезонансные колебания во взаимодействиях света не прекращаются (табл.160).

Мировое Яйцо: колебания Арупы-Рупы

Поля и процессы	Арупа ÷ гравитация	Равновесие		Мировое Яйцо
		Гармония	Хаос	
Колебания (табл.159)	$3 \Leftrightarrow 28$	$1 \Leftrightarrow \frac{1}{3} 28$	$0 \Leftrightarrow 28 - 3 = 25$	$\left(1 \Leftrightarrow \frac{1}{3} 28 \right) \cdot \frac{2}{7} H$, где $\frac{1}{3} 28 \cdot H \equiv V_{\Pi}$ объём Пирамиды.
Среда	$T_0 \sqrt{\sin \pi/4} =$	$4 \cdot 2^{-1/4} \equiv$	$2^{7/4} \equiv H$	

Мировое Яйцо, которое так долго и упорно ищут каббалисты всех времен и народов (включая нобелевских лауреатов), ищут и не могут найти у них под носом: **описанием Мирового Яйца является великая Пирамида Египта**, которую приватизировал Хеопс.

200. Реинкарнации: взаимодействия в Мировом Яйце

3. Тьма излучает Свет и Свет роняет одинокий Луч в Воды, в Глубину Лона Матери. Луч пронизывает Действенное Яйцо, луч пробуждает трепет в Вечном Яйце и зароняет Зародыш, невечный, который сгущается в Мировое Яйцо ([3]. Космогенезис. Станца III).

В Станце говорится о том, что из самосуших волн появляется Свет:

$$\sqrt{\sin \pi/4} \equiv \frac{1}{\sqrt{2}} \Leftrightarrow \sqrt{2} \equiv \sqrt{\frac{c}{\omega_0}}$$

и
$$c/\omega_0 = 2 \equiv \lg \rho_1 \rho_2 \rho_3 \rho_4 \rho_5, \quad (444)$$

и в Глубинах Лона Матери возникают взаимодействия света.

В поле Арупы возникает светящееся эллипсоидальное Свечение Тонкой Энергии с потенциалом полуэллипса, равным 108 и равным числу реинкарнаций:

$$108 = 4 \cdot (3^3 = 27) \equiv T_0 \tau^r. \quad (445)$$

Реинкарнации сдвигают уровень Равновесия Взаимодействий в Мировом Яйце (табл.161).

При равновесии без реинкарнаций энергия не исчезает и не появляется вновь, но переходит из одной формы в другую, но в реалиях реинкарнаций энергия вновь и вновь поступает в поле света из вечной тьмы самосуших волн (табл.161).

Динамическое равновесие между полями самосуших волн и **Космосом Взаимодействия** сохраняется при поступлении 108^3 , где 3 – потенциал трёхмерного Пространства со скоростью, эквивалентной Тянь:

$$v = \left(\frac{108 = 4 \cdot 27}{27} \right)^3 = 4^3 = 64. \quad (446)$$

Таблица 161

Взаимодействия вне и при реинкарнации

Формы взаимодействий		Эффективности	Закон сохранения энергии
Без реинкарнаций×1	Гравитационное	$\rho_1 = 10^{-24} \times 1$	$1 = \frac{\rho_1 \rho_2 \rho_3 \rho_4}{\rho_5}$
	Слабое	$\rho_2 = 10^{-1} \times 1$	
	Электромагнитное	$\rho_3 = 10^{12} \times 1$	
	Ядерное	$\rho_4 = 10^{14} \times 1$	
	Свет	$\rho_5 = 10 \times 1$	
При реинкарнациях×108	Гравитационное	$\rho_1 = 10^{-24} \times 108$	$108^3 \equiv \frac{108 \rho_1 108 \rho_2 108 \rho_3 108 \rho_4}{108 \rho_5}.$
	Слабое	$\rho_2 = 10^{-1} \times 108$	
	Электромагнитное	$\rho_3 = 10^{12} \times 108$	
	Ядерное	$\rho_4 = 10^{14} \times 108$	
	Свет	$\rho_5 = 10 \times 108$	

**201. Природа Цинь:
поглощение Космической Мысли Светом**

Самосушие волны **вечной тьмы** являются носителем **гравитационного поля Космической Мысли**, включающей **Лунный Потенциал** $28 = 1+2+3+4+5+6+7$ и **фотон-фононы** в пределах насыщения люминофора, то есть $\rho^* = 28 \cdot 10^{20}$.

В поле **оболочки Света**, то есть Кундалини при равновесии, где $6 = 3 - (-3)$, но ещё нет смещения $6=3,5+2,5$, оболочка **пульсирует** (дышит), вдыхая (поглощая) энергию Космической Мысли (446, рис.56).

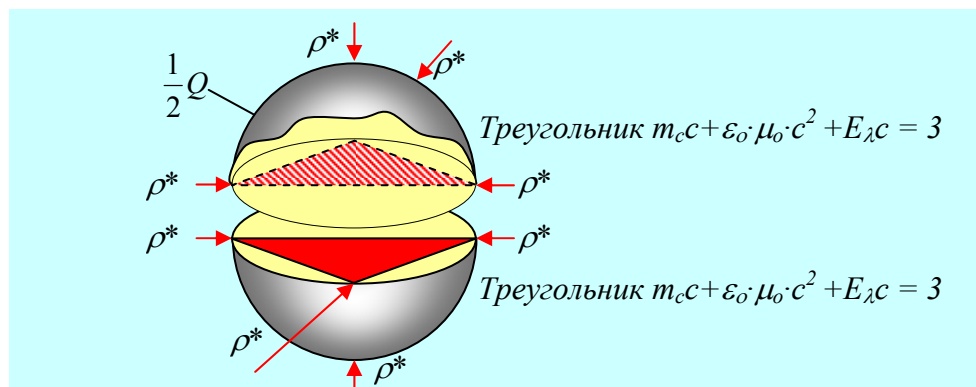


Рис.56 Вдох Светом Космической Мысли Вечной Тьмы

При одновременном поглощении Мысли двумя полуболочками света и цис-транс изомерическими внутренними полями света:

$$\pm(m_c c + \varepsilon_0 \cdot \mu_0 \cdot c^2 + E_\lambda c) = \pm 3,$$

возникает гравитационная антирезонансно-резонансная пульсация Космической Мысли:

Антирезонанс	Резонанс
$8\rho^*$	ρ^{*8}

(447)

В результате поглощения Светом Космической Мысли (447) появится пальма и фотон-вакансия с 10^{-20} фотонов:

$$8\rho^* \Leftrightarrow (\rho^*)^8; \quad 8 \Leftrightarrow (\rho^*)^7; \quad 8 \Leftrightarrow 28 \cdot 10^{20} (\rho^*)^6;$$

$$10^{-20} \Leftrightarrow \frac{7}{4} (\rho^*)^6. \quad (448)$$

Космическая Мысль в этом случае (рис.56) будет являться радиусом (R) эквивалентом полусферы:

$$\frac{1}{2} [Q=4\pi R^2 \equiv 4\pi(\rho^*)^2] = 2\pi(28 \cdot 10^{20})^2 = 32(14 \cdot 10^{20})^2 = 32 \cdot \mu^*, (449)$$

где 32 \equiv Цинь.

Возникают небеса Цинь: **"1. Превышний Владыка пришёл. Он отделил Воды от Тела её и это стало Небом наверху, Первыми Небесами ([3]. Космогенезис. Станца III).**

202. Магнетизм Небес: генерация электричества

Магнитные небеса Цинь (449) пульсируют в резонансно-антирезонансном режиме и в небесах возникает электричество (табл.162).

Таблица 162

Пульсация магнитных небес Цинь (449): генерация электричества и электромагнетизм

Режим	Антирезонанс		Резонанс	
	Сумма	Разность	Произведение	Отношение
Магнитная пульсация небес	$\frac{-32\mu^* + 32\mu^*}{0}$	$\frac{-32\mu^* + 32\mu^*}{-64\mu^*}$ Тянь	$\frac{-32\mu^* + 32\mu^*}{4 \cdot 16^2(\mu^*)^2}$	$\frac{-32\mu^* + 32\mu^*}{-1}$
Генерация электричества в небесах	Дзиан $\int_0^{-1} \varphi d\varphi = +\frac{1}{2}$	$4 \cdot 16 \cdot 14 \cdot 10^{20} \equiv 3,5 \cdot 16^2 \cdot 10^{20} \equiv 3,5 \cdot T_0^2 q^*$ Кундалини	$4 \cdot 16^2 \cdot 14^2 \cdot 10^{40} \equiv 49 \cdot 16^3 \cdot 10^{40} \equiv 49 \cdot T_0^2 (q^*)^2$ оболочка	Дзиан $\int_{-1}^0 \varphi d\varphi = -\frac{1}{2}$
Электромагнетизм	$\frac{49T_0^2(q^*)^2}{3,5T_0q^*} = 14q^* \equiv \sqrt{\mu\mu^*}q^*.$			

Антропогенезис Книги Дзиан [4] в Станце III описывает электромагнетизм небес Цинь следующим образом:

"12. Великие Коганы призвали Владык Луны о Воздушных Телах: "Породите Людей, Людей вашего естества. Дайте им их внутренние Формы. Она же сложит внешние Оболочки. Муже-Женами будут они. Владыки Пламени также..."

"13. Пошли они, каждый в предназначенную ему Землю. Семь из них каждый на свой Удел. Владыки Пламени остались позади. Они не захотели идти, они не стали творить".

Примечание: Великие Коганы и Владыки Пламени – это самосущие волны соответственно до взаимодействий в Ядре (Великие Коганы) и после взаимодействий (Владыки Пламени).

203. Расшифрованная Тайна диаграммы Тянь-Цинь

Между сгустком Тянь (с потенциалом 64), небесами Цинь (потенциал 32) и квадратом периода вращения точечного участка волны света (потенциал $T_0^2 = 16$) **существует взаимосвязь отношений:**

$$\dots \equiv 64:3:16 \equiv 4:2:1 \equiv 2:1:\frac{1}{2} \text{ (Дзиан) } \equiv \dots \quad (450)$$

Это соотношение (450) используется в диаграмме Тянь-Цинь (табл.163).

Энергетический переход от гравитационного поля через магнитное к электрическому формирует потенциал-эквивалент 3,5 виткам спирали Кундалини при расширении.

Два с половиной оборота витка спирали Кундалини при сжатии ($1/2 + 2 = 2,5$) формируется в электрическом поле (табл.163).

Таблица 163

**Описание диаграммы Тянь-Цинь
гравито-электромагнетизма**

Структура диаграммы	Волна расширения Зародыш сжатия		Зародыш света Волна сжатия	
	Гравитационное (64)	Магниты (32)	Электрическое (16)	Сумма
Поля				
Зародыш тьмы	2	1	1/2	3,5
Зародыш света	8	4	2	14
Волна сжатия	64	32	16	112
Волна расширения	64	32	16	112
Суммы	138	69	34,5	241,5
Отношения	4	2	1	7
Произведение	4·2·1 = 8 (резонанс)			
Равновесие	$(8 - 7 = 1) \cdot (8 + 7 = 15) \equiv 15 \equiv 8^2 - 7^2$.			

В целом диаграмма Тянь-Цинь описывает резонансно-антирезонансную пульсацию Единого Космоса, результатом которой является потенциал, равный половине пальмы или отношению (табл.163):

$$\frac{\text{антирезонанс}}{\text{резонанс}} \equiv \frac{4+2+1}{4 \cdot 2 \cdot 1} \equiv \frac{7}{8} \equiv \frac{\mu^*}{q^*} = \quad (451)$$

$$\frac{\rho^*}{q^*} \int_0^1 \varphi d\varphi = \frac{\rho}{q} \int_0^1 \varphi d\varphi = \dots$$

204. Движение – точка опоры Вселенной

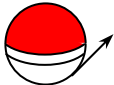
Ментальная Энергия (Мысль, Память, Воображение) возникает как вихрь фотон-фононов при их движении в окружающем Пространстве.

Когда фотон-фононы разлетаются от эпицентра ядерных взаимодействий тьмы самосущих волн, то **Мысль, Память и Воображение находятся вне Формы**, то есть являются Арупой Вселенной.

Когда фотон-фононы достигают поверхности поля света с диаметром – эквивалентом $D_0 \equiv E_\lambda \equiv m_c \equiv 1/\pi$, то **расширение вихря фотон-фононов сменяется его сжатием. Пространство Вселенной приобретает Форму. Арупа становится Рупой.** Мысль, Память, Воображение реализуются по шести степеням свободы трёхмерного Пространства, пульсирующего в резонансно-антирезонансном режиме (табл.164).

Таблица 164

Условия перехода Арупы в Рупу

Квант света		Цис-изомер: (m _c +E _λ)/2=1/π		транс-изомер: (m _c +E _λ)/2=-1/π	
Поля		Свет	Мысль	Память	Вообра- жение
Анти- резонанс	сумма	1/π+(-1/π)=0	ρ*+(-ρ*)=0	μ*+(-μ*)=0	q*+(-q*)=0
	разность	1/π-(-1/π)=2/π	ρ*+(-ρ*)= 2ρ*	μ*+(-μ*)= 2μ*	q*-(-q*)=2q
Резонанс	произве- дение	-1/π ²	-(ρ*) ²	-(μ*) ²	-(q*) ²
	отно- шение	-1	-1	-1	-1
Приведённая пульсация		$-2\pi \Leftrightarrow \frac{-1}{2\pi}$	$\frac{-2}{\rho^*} \Leftrightarrow \frac{-\rho^*}{2}$	$\frac{-2}{\mu^*} \Leftrightarrow \frac{-\mu^*}{2}$	$\frac{-2}{q^*} \Leftrightarrow \frac{-q^*}{2}$

Для того, чтобы Вселенная находилась в Равновесии ей необходимо Двигаться: пульсировать, вращаться, трансформироваться. Движение – точка опоры Вселенной.

205. Взаимосвязь Сознание – Подсознание

Частота пульсации, равная ± 25 кадров в единицу Продолжительности, появляется на уровне Подсознания за счёт гравитационно-слабых или иных комбинаций взаимодействий:

Источник частоты пульсации Подсознания
$-25 = \lg(\rho_1 \rho_2 = 10^{-25})$ и $+25 = \lg(\rho_3 \rho_4 / \rho_5 = 10^{25})$.

(452)

Разность этих частот: $25 - (-25) = 50$, вездесуща и, не поняв Книги Дзиан, иудеи – авторы Каббалы, эту разность обожествили в виде бога АЙН-СОФ [2]. Но что бы не думали семиты или антисемиты **взаимодействия остались взаимодействиями** (452).

Частота пульсации, равная ± 24 кадрам в единицу Продолжительности, появляется на уровне сознания также за счёт взаимодействий:

Источник частоты пульсации Сознания
$-24 = \lg(\rho_1 = 10^{-24})$ и $+24 = \lg(\rho_3^2 = 10^{24})$.

(453)

Пульсация Сознание \Leftrightarrow Подсознание формирует оболочку с потенциалом 49, описанную Русскими Рунами ([22], 452, 453).

Оболочки ментальных полей			
Переходы	К Подсознанию	К Сознанию	Оболочка
Потенциалы	25/24	\Leftrightarrow 24/25	$25^2 - 24^2 = 49$

(454)

Равновесие под оболочкой будет связано с колебаниями эквивалентности 600 кадров в квадрате:

$$-24 \cdot 25 \equiv -600 \Leftrightarrow +600 \equiv (-24) \cdot (-25) \equiv 24 \cdot 25. \quad (455)$$

Белый солнечный свет сжимается до корня квадратного из разности длин волн:

$$\sqrt{\Delta B} = \sqrt{3600 \overset{o}{A}} = 600(\text{\AA})^{1/2} \cdot \rho_2. \quad (456)$$

Появляется сине-голубая область спектра света:

$$600 \equiv 300\text{\AA} + 300\text{\AA} = \Delta\Gamma + \Delta C. \quad (457)$$

В теле человека формируется Чакра Третий Глаз и спираль Зодиака – спираль Судьбы:

$$0 \Leftrightarrow 600 - (-600) = 1200 \equiv T_o \tau \rho_5^2. \quad (458)$$

206. Мысль, Память, Воображение в чакре Третий Глаз

Средой, в которой пульсирует Мысль, Память, Воображение, является пульсирующий свет.

Режим всех форм пульсации является Подобием пульсации света. Свет как камертон.

Свет пульсирует в резонансно-антирезонансном режиме.

При пульсации Света в сгустке Люминофора в процессе участвует 10^{20} фотонов в пределах насыщения Люминофора.

При пульсации Света над сгустком Люминофора в процессе участвуют 10^{-20} фотонов (табл.165).

В логарифмических полях формируется Чакра Третий глаз ($\lg 10^{\pm 60} = \pm 60$), а затем внутреннее поле света $\lg 10^{\pm 120} = \pm 120$.

Трансформация сред светом и перемещение фотонов

Форма поля	Сгусток люминофора		Поле над сгустком	
Число фотонов	10^{20}		10^{-20}	
Пульсация света и трансформация сред	Резонанс	Анти-резонанс	Резонанс	Анти-резонанс
	$m_c E_\lambda \cdot 10^{20} \equiv$	$(m_c + E_\lambda) 10^{20}$	$\frac{10^{-20}}{m_c E_\lambda} \equiv$	$\frac{10^{-20}}{m_c + E_\lambda}$
	$10^{20}/\pi$	$2 \cdot 10^{20}/\pi$	$\pi^2 \cdot 10^{-20}$	$\frac{\pi}{2} \cdot 10^{-20}$
Корень (10^{-20}) остаётся, Свет остаётся, сгусток (10^{-20}) остаётся [3]: Космос Един	$10^{20} \pi$	$2 \cdot 10^{20} \pi^2$	$2 \cdot 10^{-20} \pi^2$	$10^{-20} \pi$
	10^{20}	$2 \cdot 10^{20} \pi$	$2 \cdot 10^{-20} \pi$	10^{-20}
	10^{40}	$2 \cdot 10^{40} \pi$	$2 \cdot \pi$	1
	1	2π	$2\pi \cdot 10^{40}$	10^{-40}

Предтеча Чакры Третий Глаз в ядерных реакциях	Импульсы Мысли, Памяти, Воображения		Элементарные гравитационный, магнитный, электрический заряды	
	$\rho^* \cdot \mu^* \cdot q^* = 28 \cdot 14 \cdot 16 \cdot 10^{60}$		$\rho \cdot \mu \cdot q = 28 \cdot 14 \cdot 16 \cdot 10^{60}$	

207. Магнитное излучение оболочками Чакр

Оболочки гравитационно-электромагнитных полей микро-сгустков элементарных зарядов и макро-сгустков Мысли, Памяти, Воображения **возникают в логарифмических полях взаимодействий:**

Оболочки	Микро-сгустка	Макро-сгустка	(459)
Потенциалы	$\rho \cdot \mu \cdot q \cdot \lg \rho_1 \rho_2 \rho_3 \rho_4 \rho_5 =$ $28 \cdot 14 \cdot 16 \cdot 10^{60} \cdot 2 =$ $49 \cdot 10^{60} \cdot T_0^2$	$\rho^* \mu^* q^* \cdot \lg \rho_1 \rho_2 \rho_3 \rho_4 \rho_5 =$ $28 \cdot 14 \cdot 16 \cdot 10^{60} \cdot 2 =$ $49 \cdot 10^{60} \cdot T_0^2$	

Природа возникновения взаимодействий в полях формирования оболочек (459) связана с митозом ρ и ρ^* на два магнитных поля:

$$\rho[(-\mu)-(+\mu)]q = 49 \cdot 10^{-60} T_o^4 \Leftrightarrow$$

$$49 \cdot 10^{-60} T_o^4 \equiv \rho^*[(-\mu^*)-(+\mu^*)]q^*. \quad (460)$$

Возникающие магнитные поля могут периодически трансформироваться из антирезонансных (460) в резонансные:

$$\frac{\text{магнитный резонанс}}{\text{магнитный антирезонанс}} \equiv \frac{\rho \cdot (-\mu) \cdot (+\mu) \cdot q}{\pm \rho \cdot (2\mu) \cdot q} \equiv$$

$$\pm \frac{\mu}{2} \Leftrightarrow \mp \frac{2}{\mu} \equiv \frac{\text{антирезонанс}}{\text{резонанс}}. \quad (461)$$

Таким образом **оболочка** микро-макро сгустка за период $T_o = 4$ будет излучать магнитное поле с потенциалом, равным (461):

$$T_o \equiv 2 \cdot 2 \Leftrightarrow \pm(\mu\mu^* = \sqrt{14}). \quad (462)$$

В течение Продолжительности $T_o^{T_o} = 4^4$ (459) в кванте возникает энергетический (магнитный) эквивалент:

$$16^2 = T_o 4 \Leftrightarrow \sqrt{14}^4 = 14^2 \equiv \mu\mu^*. \quad (463)$$

Появится разность потенциалов (463):

$$16^2 - 14^2 = 60 \Leftrightarrow \pm 0 \Leftrightarrow -60 = 16^2 - 14^2. \quad (464)$$

Появится Третий Глаз, магнетизм, гипнотизёры и шарлатаны. Однако наличие шарлатанов не влияет на законы Единого Космоса, так как постоянная Чакр равна 140.

208. Гипноз: магнитная пульсация в гравитационно-электрическом поле Космоса

Гравитационно-магнито-резонансное поле удерживается в трёхмерном пространстве электрическими полями (табл.166).

Таблица 166

Магнитная пульсация в гравитационно-электрическом Космосе

Магнитный антирезонанс		Магнитный резонанс	
Тонкие Энергии	Заряды	Заряды	Тонкие Энергии
$\rho^* \cdot 2\mu^* \Leftrightarrow q^*$	$\rho \cdot 2\mu \Leftrightarrow q$	$q \Leftrightarrow \mu^2 \rho$	$q^* \Leftrightarrow \mu^{*2} \rho^*$
$\frac{\rho^*}{q^*} \Leftrightarrow \frac{1}{2\mu^*}$	$\frac{\rho}{q} \Leftrightarrow \frac{1}{2\mu}$	$\frac{1}{\mu^2} \Leftrightarrow \frac{\rho}{q}$	$\frac{1}{\mu^{*2}} \Leftrightarrow \frac{\rho^*}{q^*}$
$\frac{7}{4} \Leftrightarrow \frac{1}{28} \cdot 10^{-20}$	$\frac{7}{4} \Leftrightarrow \frac{1}{28} \cdot 10^{20}$	$\frac{1}{14^2} \cdot 10^{40} \Leftrightarrow \frac{7}{4}$	$\frac{1}{14^2} \cdot 10^{-40} \Leftrightarrow \frac{7}{4}$

Приведя каждую неравновесную пульсирующую систему к общему излучателю, равному пальме $\equiv 7/4$, и зная, что $14^2 = 7 \cdot 28$, великая Цивилизация определила неравновесную систему Единого Космоса с реликтовым фоном в **одну пальму** (табл.166):

$$\frac{7 \cdot 10^{-20} \Leftrightarrow 7 \cdot 10^{20} \Leftrightarrow 10^{40} \cdot 10^{-40}}{14^2}. \quad (465)$$

В этом поле происходит бесконечное насыщение люминофоров фотонами в течение **Семи Вечностей**:

$$7 \cdot 10^{-20} \Leftrightarrow 7 \cdot 10^{20} \text{ и } 10^{40} \Leftrightarrow 10^{-40}, \quad (466)$$

и их разрушение на фотоны.

Общим знаменателем колебаний в течение Семи Вечностей является магнитное поле в "пальме":

$$\frac{x}{14^2} \cdot \frac{7}{4} \equiv \frac{x}{\mu\mu^*} \cdot \frac{7}{4} = \frac{x}{28 \cdot 4} \equiv \frac{x}{112}. \quad (467)$$

Базисной пульсацией является магнитный резонанс: $\mu\mu \Leftrightarrow \mu^*\mu^*$, и антирезонанс $\mu+\mu \Leftrightarrow \mu^*+\mu^*$, в гравитационно-электрической среде (табл.166).

209. Закономерности пульсации Абсолюта

Работа двигателя НЛО является **энергетическим Подобием**: процессов движения света в окружающей среде, всех форм генетического размножения, синхронной работы полушарий головного мозга, Движения Единого Космоса.

Форм Движения, в том числе переходов из одних Форм Энергии в Другие, у Единого Космоса бесконечное множество, но число законов Движения конечно, и их не так много.

Математическое описание законов Движения можно, например, начать с динамики движения треугольников в эюре Звезда Давида, имея в виду, что треугольники в Звезде описывают **Абсолют, то есть свет во взаимодействиях** (рис.56, рис.57).

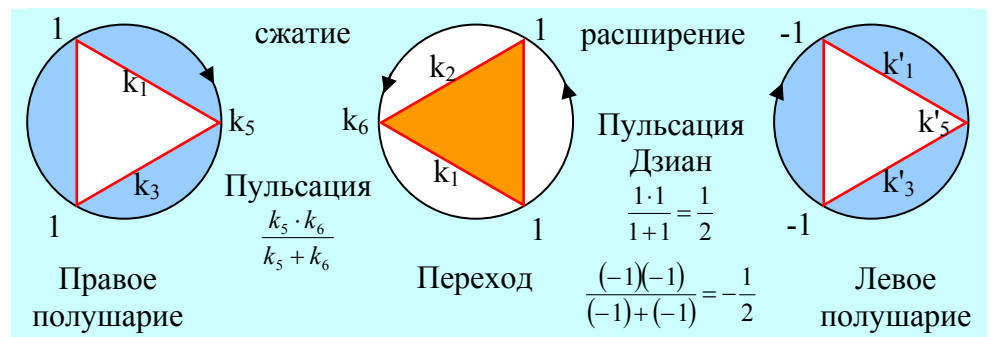


Рис.57 Динамика движения Абсолюта (Тетраксиса Пифагора, Тетраграмматона Древнего Израиля)

При движении Абсолюта возникают две фазы движения: расширение и сжатие (рис.57), а также периодически возникающие **резонансные равновесия** с потенциалами ± 1 .

Между резонансными равновесиями в свою очередь появляются суммы-разности с потенциалами ± 0 и ± 2 , а **каждый резонансный равновесный потенциал связан с неравновесной пульсирующей системой** (рис.57).

$$\pm 1 \Leftrightarrow \pm k_n \equiv \sqrt{k_n} \Leftrightarrow \frac{1}{\sqrt{k_n}}. \quad (468)$$

При расширении возникает Дзиан - пульсация, при сжатии – резонансный потенциал:

$$1 = (k_5 = k_1 \cdot k_3) \equiv k_6 = k_2 \cdot k_4. \quad (469)$$

210. Мозг, Тело, Реинкарнации, Постоянная Вселенной

Резонансное равновесие гравитационно-электромагнитного поля имеет место быть как при магнитном антирезонансе, так и при магнитном резонансе (табл.166).

При совместной пульсации Мозга и Тела концентрация фотонов в люминофоре то увеличивается до пределов насыщения, то есть до 10^{20} , то уменьшается до вакансий 10^{-20} фотонов (табл.167).

Пульсация фотонов в люминофоре протекает с излучением вакансий: $10^{20} \Leftrightarrow 10^{-20}$, что приводит к насыщению сгустков энергией и расширению Космоса Невесомости (табл.167).

Совместная пульсация Мозга и Тела (рис.57, табл.166)

Процесс		Магнитный антирезонанс	Магнитный резонанс
Сжатие	Мысль, Память, Воображе- ние	$1 \Leftrightarrow \frac{\rho^* \cdot 2\mu^*}{q^*} \equiv k_1 \equiv k_3$	$1 \Leftrightarrow \frac{\rho^* \cdot 2\mu^{*2}}{q^*} \equiv k_1 \equiv k_3$
	Элемен- тарные заряды	$1 \Leftrightarrow \frac{\rho \cdot 2\mu}{q} \equiv k_2 \equiv k_4$	$1 \Leftrightarrow \frac{\rho \cdot \mu^2}{q} \equiv k_2 \equiv k_4$
Резонанс	В голове	$\pm 1 = k_5 \equiv \frac{k_1}{k_3} \equiv \frac{k_3}{k_1}$	$1 = k_5 \equiv \frac{k_1}{k_3} \equiv \frac{k_3}{k_1}$
	В теле	$\pm 1 = k_6 \equiv \frac{k_2}{k_4} \equiv \frac{k_4}{k_2}$	$1 = k_6 \equiv \frac{k_2}{k_4} \equiv \frac{k_4}{k_2}$
Расшире- ние	Мысль, Память, Воображе- ние	$1 \Leftrightarrow \frac{-\rho^* \cdot 2\mu^*}{q^*} \equiv k_1 \equiv -k_3$	$-1 \Leftrightarrow \frac{-\rho^* \cdot 2\mu^{*2}}{q^*} \equiv -k_1 \equiv k_3$
	Элемен- тарные заряды	$-1 \Leftrightarrow \frac{-\rho \cdot 2\mu}{q} \equiv k_1 \equiv -k_3$	$-1 \Leftrightarrow \frac{-\rho \cdot \mu^2}{q} \equiv -k_2 \equiv k_3$
Общая пульсация	Гравитация	$\pm 1 \Leftrightarrow \frac{7}{4} 28 \cdot 10^{\mp 20} \Leftrightarrow \frac{7}{4} 28 \cdot 10^{\pm 20} \Leftrightarrow \pm 1$	
	Оболочка	$\pm 1 \Leftrightarrow 49 \cdot 10^{\mp 20} \Leftrightarrow 49 \cdot 10^{\pm 20} \Leftrightarrow \pm 1$	

Возникают **оболочка и гравитация** (табл.167), где наличие постоянной Вселенной по водороду проявляет себя в 108 реинкарнациях:

$$(28 \cdot 108) : (\tau = 3) = 1008. \quad (470)$$

211. Структура и природа возникновения шаровой молнии

В Книге Мёртвых акцентируются два момента:

- потеря душой гравитационной координации, пока ещё она смотрит с высоты не её бренное тело, то есть в течение шести дней после биологической смерти;

- 49 дней мучений виртуальными божествами Воображения души при выборе нового маршрута Жизни в постреинкарнационный новый период [8].

Книга Мёртвых описывает в частности переход от гравитации к оболочке там, где математически мы просто сокращаем $28:4 = 7$ (табл.167):

Энергетика реинкарнаций	
Гравитация	Оболочка
$\frac{7}{4} \cdot 28 \cdot 10^{-20}$	$7^2 \cdot 10^{20}$
\Downarrow	\Downarrow
$\frac{7}{4} \cdot 28 \cdot 10^{20}$	$7^2 \cdot 10^{20}$

(471)

Подобие энергетики реинкарнации (471) сохраняется в каждом Эго каждое мгновение в форме появления Воображения за счёт работы Памяти и Мысли:

Возникновение магнетизма в полях Тонких Энергий		
Антирезонанс	Магнетизм	Резонанс
$\frac{\rho^*}{q^*} \Leftrightarrow \mu^* - (-\mu^*) =$	$2 \cdot \mu^* \Leftrightarrow 4 \cdot \mu^{*2}$	$\equiv \left(2\mu^* \Leftrightarrow \frac{\rho^*}{q^*} \right)^2$

(472)

В поле зародыша Тонких Энергий магнетизм Недр переходит в **электромагнетизм** (472):

$$\rho^* \Leftrightarrow 2\mu^*q^* \Leftrightarrow 4(\mu^*q^*)^2 \Leftrightarrow \rho^{*2}, \quad (473)$$

который трансформируется в **поверхностное электрическое поле типа шаровой молнии** (473):

$$\begin{aligned} (28 = 1,75 \cdot 16) \cdot 10^{20} &\Leftrightarrow 2 \cdot 14 \cdot 16 = 1,75 \cdot 16^2 \cdot 10^{40} \Leftrightarrow \\ &\Leftrightarrow [(2 \cdot 14 \cdot 16)^2 - 1,75 \cdot 16^2]^2 \cdot 10^{80} \Leftrightarrow (1,75 \cdot 16)^2 \cdot 10^{40} \end{aligned}$$

или шаровая молния:

$$\boxed{1,75 \cdot q^* \Leftrightarrow 1,75 \cdot q^{*2} \Leftrightarrow 1,75^2 q^{*4} \Leftrightarrow 1,75^2 q^{*2}.} \quad (474)$$

212. Инверсия шаровой Молнии – подобие Воображения

Электрическая шаровая Молния и сгусток **Воображения** являются энергетическими **Подобиями**, начало которым даёт спектр света, обладающий **инверсией в форме радуги** или её отсутствия (табл.168).

Таблица 168

Инверсия (взрыв) шаровой электрической молнии (Воображения)

Режим	Антирезонанс	Резонанс
Воображение (474)	$1,75q^* \Leftrightarrow 1,75q^{*2}$	$1,75q^{*4} \Leftrightarrow 1,75^2q^{*2}$
Релаксация перед взрывом	$1,75/q^{*2} \Leftrightarrow 1,75/q^*$	$1,75^2/q^{*2} \Leftrightarrow 1,75^2/q^{*4}$
Появление вакансий для зарядов	$\frac{1,75 \cdot 10^{-40}}{16^2} \Leftrightarrow \frac{1,75 \cdot 10^{-20}}{16}$	$\frac{1,75 \cdot 10^{-40}}{16^2} \Leftrightarrow \frac{1,75^2 \cdot 10^{-80}}{16^4}$
Восстановление зарядов	$1,75 \cdot 16 \cdot 10^{-40} \Leftrightarrow 1,75 \cdot 16^2 \cdot 10^{-20}$ $\rho \cdot 10^{-20} \Leftrightarrow 28 \cdot q$	$1,75^2 \cdot 16^4 \cdot 10^{-40} \Leftrightarrow 1,75^2 \cdot 16^2 \cdot 10^{-80}$ $\rho^2 \cdot 16^2 \Leftrightarrow 28^2 \cdot 10^{-40}.$

Сгусток Воображения – шаровая молния после инверсии восстанавливает поле зарядов путём выделения света и гравитации (табл.168).

Излучённый белый свет формирует с помощью гравитации ($\sqrt{\rho\rho^*} = 28$) среды 6328 электронов (позитронов) 112-ти элементов Периодической Системы:

Число электронов в 112-ти элементах Периодической Системы					
Компо- ненты	Свет	Пальма	Геномы	Грави- тация	Число электро- нов: 112 элемент
Потен- циалы	3600	$\times \frac{7}{4}$	$= 6300$	$+ 28$	$= 6328$
$\frac{1+112}{2} \cdot 112 = 6328$ Сумма арифметической прогрессии.					

(475)

В полях перехода к электронам-позитронам гравитация с потенциалом $28 = \sqrt{\rho\rho^*}$ является эквивалентом суммы числа электронов-позитронов кремния ($14+14 = 28$), что придаёт кремнию свойства полупроводника между магнетизмом и гравитацией.

213. Реинкарнация: эндо-экзотермия Эго

Реинкарнация проявляет себя в инверсии.

Биологическая Смерть выворачивает душу наизнанку и в окружающей среде **вне оболочки** оказываются **Мысль, Память и воображение** твоего Эго.

В безотходных технологиях реинкарнаций дурные Мысли, Память и Воображение идут на экзотермическую переплавку (религиозная догма об Аде), а хорошие - совершенствуются в эндотермии Шамбалы (догма о Рае).

Распределение Эго после биологической Смерти

Поля	Экзотермия "Ада"	Эндотермия "Рая"
Мысль, Память, Воображение (души)	$\frac{\rho^*}{q^*} \cdot 2\mu = 7^2 \cdot 10^{80}$ Антирезонанс магнетизма	$7^3 \cdot 10^{40} = \mu^{*2} \frac{\rho^*}{q^*}$ Резонанс магнетизма
Души во взаимодействиях	$7^2 \cdot 10^{20} \cdot \lg(\rho_3 \rho_4 = 10^{-26})$ $26 \cdot 7^2 \cdot 10^{20}$	$7^2 \cdot 10^{40} \cdot \lg(\rho_1 = 10^{-24})$ $-24 \cdot 7^3 \cdot 10^{40}$
Колебания	$13 \equiv \lg \rho_2 \rho_4$ Чертова дюжина	$\Leftrightarrow -12 \cdot 7 \cdot 10^{20} \equiv$ $-84 \cdot 10^{20} = -6\mu^*$

Иногда в Аду переплавка грешного Эго достигает **чертовой дюжины**, то есть короткодействия $\lg(\rho_4 \cdot \rho_2 = 10^{13})$.

Эго в Раю в шесть раз увеличивает магнетизм своей Памяти (табл.169).

Эго в Раю находится в Арупе, пульсирующей с периодичностью $\tau = 3$, и создающей потенциал $-6\mu^* \tau \equiv -18\mu^*$, связанный в том числе с молекулярным весом воды ($M_{H_2O} = 18$). Поэтому возрождение из Рая к Новой Жизни произойдёт в воде (жидкой среде).

Вместе с тем уход из Жизни Книга Мёртвых описывает как **"появление 42 Грозных Божеств твоего чистого Сердца на шестой день пребывания в Бордо"** [2].

Возникает равновесие с фотонами в люминофоре:

$$(-6\mu^* \tau = -84 \cdot 3 \cdot 10^{20}) : 6 \cdot 42 = -10^{20}. \quad (476)$$

214. Инверсия Арупы в сферическом трёхмерном Пространстве

Инверсионный взрыв – это борьба Света за трёхмерное Пространство, занятое самосущими волнами вечной тьмы.

Борьба Света с Тьмой за трёхмерное Пространство это не война за Земли с соседними этносами, как толкуют ветхо-заветные Пророки Иудаизма, так и не понявшие о Чём им трижды по сорок дней говорил Создатель на горе Сион [5].

Причины инверсионного взрыва связаны с энергетическими соотношениями внутреннего поля сгустка (V), поверхностью сгустка (Q) и средой-атмосферой ($1/V$) над сгустком (рис.58).

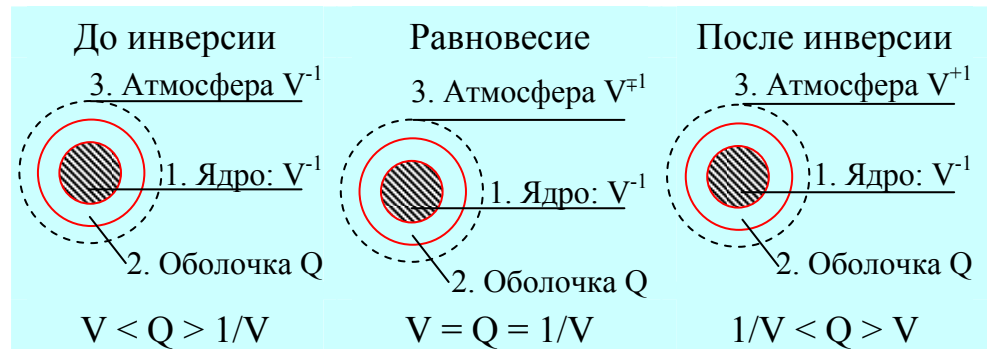


Рис.58 Три стадии инверсии

Наибольшей плотности энергетической упаковки объём и оболочка достигнут тогда, когда их формы станут сферическими и появятся колебания $V^2 \Leftrightarrow QV \Leftrightarrow 1$ (рис.58, табл.170).

Поле инверсии связано с пульсацией Арупы (3 ± 1) и появлением разности квадратов потенциалов:

$$(3+1)^2 - 3^2 = 7 \quad \text{и} \quad 3^2 - (3-1) = 5. \quad (477)$$

Инверсия сгустка в сферическом пространстве

Пространство	Инверсионная пульсация		Арупа
Сферическое	$V = \frac{4}{3}\pi \cdot R^3$	$Q = 4\pi \cdot R^2$	$\frac{Q}{V} \Leftrightarrow \frac{3}{R}$
До инверсии	$V^2 < QV > 1$	$R^6 < 3R^5 > \frac{9}{16} \frac{1}{\pi^2}$	$R < 3 > \dots$
Равновесие	$V^2 = QV = 1$	$R^6 = 3R^5 = \frac{9}{16} \frac{1}{\pi^2}$	$R = 3 = \dots$
После инверсии	$1 < QV > V^2$	$\frac{9}{16} \frac{1}{\pi^2} < 3R^5 > R^6$	$\dots < 3 > R.$

215. Пульсация Кундалини в пределах Реинкарнаций

Инверсия Арупы в трёхмерном Пространстве (478, табл.170) описана в Космогенезисе Книги Дзиан [3]: **"Фохат есть Конь, а Мысль – Всадник. Подобно молнии пронизывает от тучи огневые. Делает Три ($\tau = 3$), Пять ($3^2 - (3-1)^2 = 5$) и Семь [$(3+1)^2 - 3^2 = 7$] Продвижений через Семь Областей вверху (Лунный Ряд) и Семь внизу (Солнечный ряд без восьмого) ([3] Станца V):**

Лунный ряд	0	1	2	3	4	5	6	7
Солнечный ряд	8	7	6	5	4	3	2	1
Свето-датель: Семь областей		8	8	8	8	8	8	8
Возмущенная среда	Тянь $\equiv 8^2 - 0$; Цинь $\equiv 64 \left(\pm \int_0^1 \varphi d\varphi \right) = \pm 32.$							

(478)

Дзиан–пульсация формирует из 7 и 5 три с половиной витка Кундалини при расширении и 2,5 витка при сжатии, а их отношение предопределяет формирование живых магнитов:

Пульсация Кундалини и возмущение магнитной среды			
Кундалини		Магнетизм	От анти-резонанса к резонансу
Расширение	Сжатие		
$7\left(\pm \int_0^1 \varphi d\varphi\right) = \pm 3,5$	$5\left(\pm \int_0^1 \varphi d\varphi\right) = \pm 2,5$	$\frac{7}{5} = 1,4 = \frac{3,5}{2,5}$	$2 \int_{7+5}^{7,5} \varphi d\varphi = 1081 \cdot$

(479)

"2. Он возвышает Глас свой и созывает бесчисленные Искры ($m_c^{}=0,002$), соединяя их вместе ([3]. Космогенезис. Станца V):**

$$\frac{1081}{m_c^{**}} = \frac{1081}{0,002} = 540000 + 500, \quad (480)$$

где отношение компонентов поля (480) увеличивает число реинкарнаций в 10 раз:

$$540000 : 500 = 1080. \quad (481)$$

На Красной Звезде, то есть в поле $1,4 \equiv 10^{-3}$ ($\Delta K = 1400$), появится Человек воли и йоги [4].

216. Описание Инверсии великой Пирамидой и в Откровениях

Энергетическое поле Арупы является субстанцией, которая состоит из самосущих метагалактических волн вечной тьмы, то есть из волн $\sin \pi/4 = \cos \pi/4 = 1/\sqrt{2}$ и $\sin \pi/4 = \csc \pi/4 = \sqrt{2}$, в которых свет:

$$\frac{c}{T_0} \equiv \frac{\pi}{4} \Leftrightarrow \frac{4}{\pi} \equiv \frac{T_0}{c}, \quad (482)$$

спрятан в недрах внутреннего поля волны, как сгущенка в консервной банке.

В Космосе Невесомости (до инверсии) свет спрятан в недрах волны; в поле гравитации (после инверсии) – свет излучается из недр волн (табл.170).

С помощью инверсии экзотермический солнечный свет способен преодолевать эндотермию Космоса Невесомости (табл.171).

Таблица 171

Возникновение Рупы из Арупы света

Поля	До инверсии	Равновесие	После инверсии
	Космос Невесомости	Встреча с гравитацией	Космос гравитации
Колебания (табл.170)	$R < 3 > \frac{9}{16} \cdot \frac{1}{\pi^2}$	$R = 3 = \frac{9}{16} \cdot \frac{1}{\pi^2}$	$R < 3 > \frac{9}{16} \cdot \frac{1}{\pi^2}$
Рупа - Арупа	$16 \Leftrightarrow 3m_c \cdot E_\lambda$	$16 \Leftrightarrow 3m_c \cdot E_\lambda$	$16 \Leftrightarrow 3m_c \cdot E_\lambda$

Свет лазерной точки ($m_c E_\lambda = 1/\pi^2$) существует во взаимодействиях (табл.171):

$$(16 \Leftrightarrow 3m_c E_\lambda) \cdot (\lg \rho_1 \rho_2 \rho_3 \rho_4 \rho_5 \equiv \sin \pi/4 \cdot \csc \pi/4 = 2)^{\frac{\tau-3}{T_0-4}}. \quad (483)$$

Возникает контур колебания сгустка света. Один из пределов колебания описывается объёмом великой Пирамиды (V_{Π}):

$$V_{\Pi} = \frac{1}{3} 16 \cdot 2^{3/4} \equiv \frac{1}{3} 8 \cdot 2^{7/4} \equiv \frac{1}{3} a^2 H \Leftrightarrow m_c E_{\lambda} \cdot 2^{\tau/T_0}. \quad (484)$$

Вторым пределом является лазерная точка $m_c E_{\lambda}$. Она описывается пропорциями $2 \Leftrightarrow 3 \Leftrightarrow 4$ Круга Универсума в "Откровениях" [6]. Логарифмы взаимодействий в лазерной точке равны $2^{3/4}$.

217. Арупа – Рупа как Носитель Энергии

"2...Фохат есть Конь, а Мысль – Всадник" ([3] Станца V).

Потенциал перехода между Воображением и Мыслью (между электрическим и гравитационным зарядами) высокая Наука великой Цивилизации взяла за единицу своего Счисления, назвав её "пальмой", равной:

Связь пальмы с Арупой - Рупой	
Потенциалы	$\frac{\rho^*}{q^*} = \frac{\rho}{q} = \frac{28}{16} = \frac{7}{4} = 1,75 = 1 + \frac{3}{4} = 1 + 0,75 \equiv 1 + \frac{\tau}{T_0}. \quad (485)$

Гравитационно-электрическая инверсия увеличивает пальму до квадрата первоначальной величины, высвобождая в окружающую среду поочерёдно то фотоны, то их вакансии (табл.168):

$$\frac{q^*}{\rho} = \frac{10^{40}}{1,75} \Leftrightarrow \frac{\rho^*}{q} = \frac{1,75}{10^{40}} \quad \text{и} \quad 1,75^2 \Leftrightarrow (10^{80} \Leftrightarrow 10^{-80}). \quad (486)$$

Носителями фотонов и их вакансий в люминофоре остаются Арупа – Рупа (**Фохат есть Конь**).

На протяжении тысячелетий великая Цивилизация через своих граждан, **наших Богов**, пытается донести до человечества энергетическую связь Арупы – Рупы (табл.172).

Таблица 172

Информация о Рупе-Арупе от великой Цивилизации

Энергия	Потенциалы встречных вихрей			Посылы великой Цивилизации
Рупа	$4+1 = 5$	$T_0 = 4$	$3 = 4-1$	Священный треугольник
Арупа	$3-1 = 2$	$\tau = 3$	$4 = 3+1$	Круг Универсум
Сумма	7	7	7	Книги Дзиан, Перемен, Мёртвых.
Разность	3	1	-1	

К сожалению, **защищая Золотого тельца**, наши фари́сеи (ветхо-заветные и нынешние) не могут понять, что **без выхода в Космос на НЛО любая цивилизация обречена на гибель**. Но для того, чтобы создать НЛО надо знать **Инверсию**, а не только болтать высокими словами.

218. Цикличность трансформации Субстанции Единого Космоса

Для максимума Информации великая Цивилизация тратит минимум Слов.

Например, описывая колебательный контур (469), великая Цивилизация констатирует: **"5. Корень остаётся, Свет остаётся, Сгустки остаются и, всё же Оеаоһоо Един ([3]. Космогенезис. Станца III).**

Эта фраза означает, что при протекании в Едином Космосе неравновесных процессов (Оеаоһоо) в полях самосущих волн (**Корень**), света и сгустков, поля самосущих волн, света и сгустков сохраняются в Едином Космосе как среда-субстанция Космоса.

Их энергетику пульсации можно определить (484, табл.173).

Таблица 173

**Неравновесные Процессы
и Субстанция Единого Космоса**

Процессы	Субъекты колебаний	Результат
Корень остаётся	$2^{\tau/T_0} \int_0^1 \varphi d\varphi \Leftrightarrow \frac{1}{2^{\tau/T_0} \int_0^1 \varphi d\varphi}$	$-1 \Leftrightarrow 2^{\pm 7/2}$
Свет остаётся	$\frac{m_c + E_\lambda}{m_c \cdot E_\lambda} \Leftrightarrow \frac{m_c \cdot E_\lambda}{m_c + E_\lambda}$	$\frac{2}{\pi} = \frac{1}{\omega_0} \Leftrightarrow \omega_0 = \frac{\pi}{2}$
Сгусток остаётся	$V_{II} = \frac{1}{3} a^2 \cdot (H \Leftrightarrow A^{+2})$	$\frac{8}{3} (2^{7/4} \Leftrightarrow 2^{\pm 7/2})$
Оеаоһоо Един	$(-1 \Leftrightarrow 2^{\pm 7/2}) \times (1 \Leftrightarrow \omega_0^{\pm 1}) \cdot (1 \Leftrightarrow 2^{7/4 \mp 7/2}) \cdot \frac{8}{3}.$	

Бесконечная множественность решений-вариантов изменения количества-качества субстанции и её состав-свойств, тем не менее будет связано с расширением Вселенной ($8 \equiv c^3/\omega_0^3$) в Арупе ($\tau = 3$) и её вращении ($1 \Leftrightarrow \omega_0^{\pm 1}$):

$$Const \equiv \frac{8}{3} (1 \Leftrightarrow \omega_0^{\pm 1}) \equiv \frac{8}{3} \Leftrightarrow \left(\frac{8}{3} \cdot \frac{\pi}{2} = \frac{4}{3} \pi \right). \quad (487)$$

Любая бегущая волна, например с потенциалом $\lambda \equiv (2^{T_0/\tau})^3$, попадая в поле $\frac{4}{3}\pi$, формирует сферический сгусток:

$$V_{сф} = \frac{4}{3} \pi \left[(2^{T_0/\tau})^3 = \lambda^3 = R^3 \right] = \frac{4}{3} \pi \cdot 16, \quad (488)$$

где λ – длина волны – эквивалент радиусу (R) сферы.

219. Энергетическая Природа высоты великой Пирамиды

"2...Фохат есть Конь, а Мысль – Всадник" ([3] Станца V).

Советую возвращаться к этой Станце [3] пока Вы, уважаемый Читатель, не поймёте Смысла фразы.

**

Фохат в одном из контекстов означает **давление**.

Изначальным давлением при возникновении сгустков является **соударение (взаимодействие)** самосуших волн, предопределяющих **Пять Продвижений Фохата** [3] и пульсацию типа **Дзиан – постоянная взаимодействий** (табл.174).

Таблица 174

Пять Продвижений Фохата в самосуших волнах тьмы

Продвижения	I	II	III	IV	V
Потенциалы столкновений	$k_1 = \left(\sin \frac{\pi}{4} + \cos \frac{\pi}{4} \right) \times \operatorname{Sc} \frac{\pi}{4} = \frac{2}{2}$	$k_2 = \frac{\operatorname{Sc} \frac{\pi}{4}}{\sin \frac{\pi}{4}} = \frac{2}{2}$	$k_3 = \frac{\operatorname{Sc} \frac{\pi}{4} \cdot \operatorname{Csc} \frac{\pi}{4}}{2} = \frac{2}{2}$	$k_4 = \frac{\operatorname{Csc} \frac{\pi}{4}}{\cos \frac{\pi}{4}} = \frac{2}{2}$	$k_5 = \left(\cos \frac{\pi}{4} + \sin \frac{\pi}{4} \right) \times \operatorname{Csc} \frac{\pi}{4} = \frac{2}{2}$
Фундаментальность	$2 \equiv \lg \rho_1 \rho_2 \rho_3 \rho_4 \rho_5 = c/\omega_0 \equiv \dots \equiv$ <p style="text-align: center;">фундаментальный потенциал Единого Космоса (Конь)</p>				
Носитель Мысли	$H = 2^{p^*/q^*} = 2^{p/q} = 2^{p^*p/q^*q} = 2^{7/4} = \dots$ <p style="text-align: center;">высота великой Пирамиды.</p>				

Если фразу: **"2...Фохат есть Конь, а Мысль – Всадник" ([3] Станца V)**, - описать векторно-математически, то мы получим **вектор-эквивалент высоте (H) великой Пирамиды** (табл.174).

Высота (Н) великой Пирамиды отражает описание **вращение вихрем самосуших волн при расширении** ($\omega_0 \rightarrow c$), где из электричества возникает гравитация:

$$qq^* \rightarrow \rho\rho^* \text{ (табл.174):}$$

$$H \equiv \left(\frac{c}{\omega_0} \right)^{\rho\rho^*/qq^*} = 2^{7/4}. \quad (489)$$

В поле Рупы возникает Тянь-Цинь:

$$H^{T_0} = 2^7 = 64 + 32 - (-32). \quad (490)$$

220. Излучение над взаимодействиями: ключ-шифр Библии

Взаимодействие самосуших волн (табл.174) влечёт за собой появление равновесия, возникающего как следствие излучения волн с обратным потенциалом:

Равно- весие	Недра со- ударений	Нерав- новесие	Дзиан-пульсация во взаимодействиях
1	= 2×1/2	= 2⇔1/2	$\int_0^1 \varphi d\varphi = \frac{1}{2} \Leftrightarrow 2 \Leftrightarrow -\frac{1}{2} = \int_0^1 \varphi d\varphi.$

(491)

Возникает Дзиан-пульсация во взаимодействиях (491).

Каждое из **пяти Продвижений Фохата** (табл.174) сопровождается излучением кванта-Дзиан (табл.175).

Таблица 175

Пять излучений на пути пяти продвижений Фохата

Продвижения	I	II	III	IV	V
Потенциалы излучений (табл.172)	$\frac{1}{k_1} = \frac{1}{2}$	$\frac{1}{k_2} = \frac{1}{2}$	$k_3 = \frac{1}{2}$	$k_3 = \frac{1}{2}$	$k_3 = \frac{1}{2}.$

Самым обобщённым методом векторного описания неравновесной системы колебаний $2 \Leftrightarrow 1/2$ будет являться система, показанная на рис.59, где

$$2 = 1/2 + 1/2 + 1/2 + 1/2, \quad \text{и} \quad 1/2^4 = 0,0625 \quad (493)$$

характеризует вращение точечного участка волны, при котором форма Энергии изменяется через каждый поворот на угол $\pi/2$.

$$\lg \rho_1 = \rho_2 \cdot \rho_3 \cdot \rho_4 \cdot \rho_5 = 2$$



Рис.59 Расщепление взаимодействий на Дзиан-потенциалы

Великая Цивилизация описывает систему, показанную на рис.59 Станцией V Космогенезиса [3]: **"Фохат делает пять Продвижений (табл.174) и строит крылатое колесо (рис.59) на каждом углу квадрата (основание великой Пирамиды) для Четверых Пресвятых (формировщики гравитационного поля: $1+2+3+4$)...и для Воинств их (магнитные уровни: $1^2+2^2+3^2+4^2$).**

Резонанс периодичности $1/2^4 = 0,0625$ связан с ключом шифра Библии.

221. Гравитационно-магнитная мультиплетность Космической Мысли

Гравитационное поле Мысли-Заряда расщепляется на два магнитных заряда – Память ($\rho^* = 2\mu^*$ и $\rho = 2\mu$).

При столкновении **двух импульсов Космической Мысли** (создателей Вселенных) возникнет четыре разнонаправленных импульса Памяти, расположенных под углом $\phi_0 = \pi/2$ друг к другу (рис.60), определяющих течение процесса мультиплетности Мысли **в единицу Продолжительности точечного участка волны света:**

$$\tau = \phi_0 / \omega_0 \equiv \pi/2 : \pi/2 = 1. \quad (494)$$

1. Трансформация Мысли в Память 2. Основание великой Пирамиды

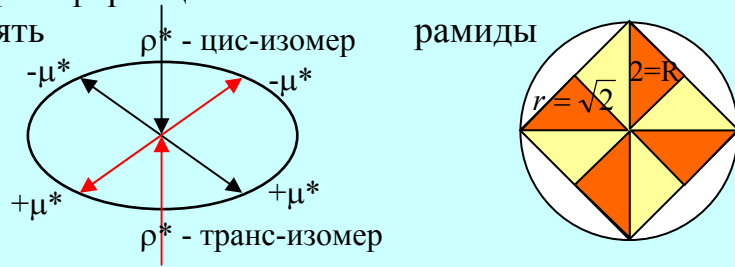


Рис.60 Вектор-запись трансформации Мысли в Память

Радиус энергетического поля мультиплетности гравитации на магнетизм будет эквивалентен двум относительным единицам:

Гравитационно-магнитная мультиплетность (рис.60.1)	(495)
$2 = \frac{\rho^*}{\mu^*} = \frac{\rho}{\mu} = \sqrt{\frac{\rho\rho^*}{\mu\mu^*}} \equiv \frac{c}{\omega_0}.$	

Великая Цивилизация описала гравитационно-магнитную мультиплетность (495) пропорциями основания великой Пирамиды (рис.60.2).

При описании гравитационно-магнитной мультиплетности пропорциями основания великой Пирамиды учитывалось отношение витков Спирали Кундалини при расширении и сжатии:

$$1,4 = \frac{3,5}{2,5} \equiv 28 \cdot \rho_2 \int_0^1 \varphi d\varphi \equiv \sqrt{2} \equiv \frac{R}{r} \equiv \dots \quad (496)$$

Максимальный по величине элемент Пирамиды (её ребро $\mathcal{L} = 8\sqrt{2}$) соответствовал расширению самосушей волны в поле света:

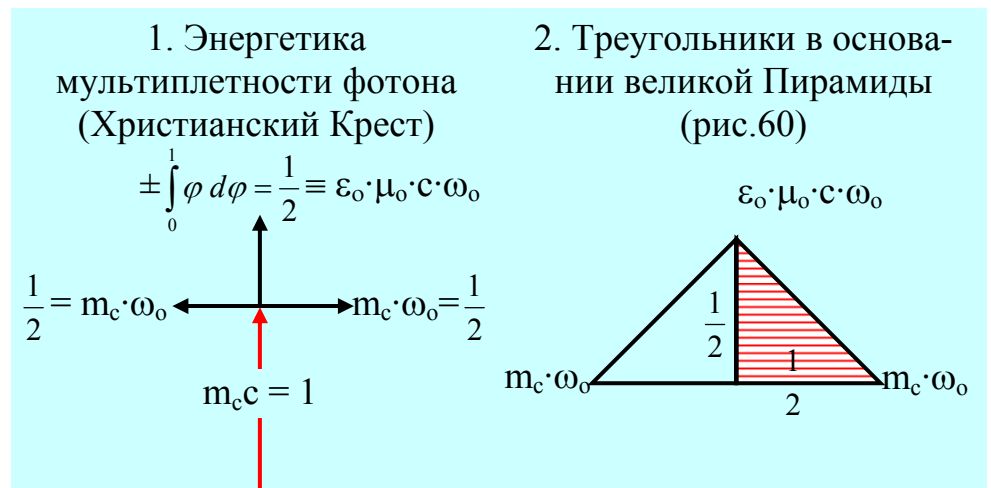
$$\mathcal{L} = 8\sqrt{2} \equiv (c/\omega_0)^3 \text{Sc } \pi/4 \equiv \dots \quad (497)$$

222. Христианский Крест: возникновения ускорений в поле Света

Деление Мысли на два кванта Памяти (рис.60) реализует себя в физиологии процессом размножения биоклетки делением (митоз биоклетки).

Расщеплению гравитационного поля на два магнитных как в ментальных полях Арупы, так и в физиологических полях Рупы предшествует трансформация поступательного движения частицы света ($m_c c = 1$) во вращательное ($m_c c \equiv m_c \omega_0 + m_c \omega_0 \equiv 1/2 + 1/2$).

Поступательно-вращательный переход форм движения частицы света сопровождается взаимоперпендикулярностью векторов направленности движения и выделения свободной энергии в форме энергии электромагнитной среды: $\epsilon_0 \cdot \mu_0 \cdot c^2 = 1$ (рис.61).



*Рис.61 Этюра Христианского Святого Креста
и его связь с великой Пирамидой*

Переход электромагнитной среды к поступательно-вращательному движению влечёт за собой возникновение центробежно-центростремительных ускорений (рис.61):

$$\varepsilon_0 \cdot \mu_0 \cdot c^2 = 1 = 2\varepsilon_0 \cdot \mu_0 \cdot c \cdot \omega_0, \quad (498)$$

где: $c \cdot \omega_0 = \pm c^2/2 = \pm j_0$.

Пропорции эпюры мультиплетности m_c точно соответствуют пропорциям Христианского Креста, а Крест связан с треугольниками в основании великой Пирамиды.

Христианский Крест – это векторно-математическое описание появления ускорений в поле Света.

223. От религиозных Догм к Знаниям: переход Подсознание-Сознание

Крест во времена Иисуса Христа был лобным местом, то есть местом казни-смерти.

Римские язычники и ветхозаветные иудеи распяли Иисуса на Кресте. Крест стал Святым, то есть привлёк к своей Форме внимание социума Ману-Мыслителей.

Выбор Казни на Кресте был спланирован великой Цивилизацией для привлечения **Сознания Носителя Разума к физике процесса возникновения ускорений в электромагнитных средах** (498, рис.61).

Две тысячи лет современный Социум Земли воспринимает Эпюру Святого Креста **на уровне Подсознания. Сохраняются пропорции Креста и религиозные Догмы** о распятии-смерти в поле земной (гравитационной) Жизни и Вознесении в центробежные ускорения поля Царствия Небесного.

Поскольку Создатель и Церковь не одно и то же, то в XX веке создатель обрушил на церковнослужителей революционно-коммунистические гонения, как это ранее делал Христос, выгоняя менял из Храмов.

Коммунистические гонения религиозности были ниспосланы затем, чтобы Социум мог перейти от Догмата Подсознания к анализу причинно-следственных связей (закон Кармы) – Сознанию.

Пробуждённое Сознание Социума Носителей Разума должно было понять взаимопропорциональность динамики изменения фотон-фонона (табл.176).

Таблица 176

Взаимосвязь фотон-фононов

Кванты света	Фотоны	Фононы	Фотон-фононы
Взаимо- трансформация	$m_c^{**} = 0,002$	$E_\lambda^* = 0,008$	$(E_\lambda^*)^2 - (m_c^{**})^2 = 6 \cdot 10^{-5}$
	$m_c^* = 0,008$	$E_\lambda^{**} = 0,002$	$E_\lambda^* \cdot m_c^{**} = 6 \cdot 10^{-5}$

В пульсирующем поле фотон-фононов в Арупе-Рупе возникает **пятеричная связь**:

$$[(6 \cdot 10^{-5}) : (1,6 \cdot 10^{-5})] = 5 \cdot (3/4) = 3,75, \quad (499)$$

и шифр-ключ к Библии:

$$1/(1,6 \cdot 10^{-5}) = 62500. \quad (500)$$

224. Ядерное столкновение фотонов

Эндотермия люминесценции и экзотермия ядерного взрыва имеют **ОБЩИЕ НАЧАЛА**: резонансно-антирезонансные столкновения фотонов (рис.62, табл.177).

Ядерное столкновение фотонов является **Единством Противоположностей**, так как возникают цис-транс изомерия, экзо-эндотермия, расширение-сжатие, резонанс-антирезонанс, ...

Ядерное столкновение фотонов (рис.62)

Массы	Полукритическая	Критическая	Полукритическая
Режим	Антирезонанс	Резонанс	Антирезонанс
До и во время взрыва	\rightarrow $+m_c c = 1$	$\rightarrow \leftarrow$ $-(m_c c)^2 = -1^2$	\leftarrow $-m_c c = -1$
Взрыв и после взрыва	\leftarrow $-2m_c \omega_0 = -1$	$\leftarrow \rightarrow$ $(m_c \omega_0)^2 \cdot (-m_c \omega_0)^2 + (m_c \omega_0)^4 = 1/16$	\rightarrow $+2m_c \omega_0 = +1$
Разности	± 2	$\pm 17/16$	∓ 2

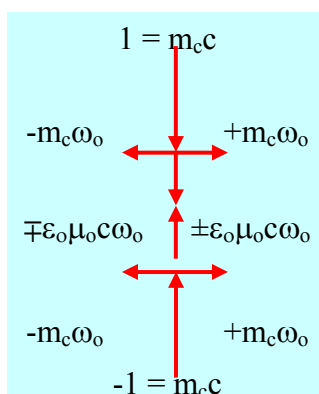


Рис.62 Ядерное столкновение фотонов (табл.175)

В условиях резонансного притяжения-отталкивания равновесие притяжения сжимается на $1/16$ при отталкивании, что дало возможность великой Цивилизации запрограммировать судьбы в Книге Бытия с шифр-кодом 1:62500 (табл.177).

Причём у каждого из нас есть выбор идти ли экзотермическим путём электромагнитных взаимодействий, или путём тонких ментальных энергий гравитационной Космической Мысли (501).

$$(\sqrt{\rho_3} = 10^6)/16 = 62500 \Leftrightarrow \rho_1 \cdot 62500 = (\rho_1^{1/T_0} = 10^{-6})/16. \quad (501)$$

Столкновение фотонов сопровождается выделением электромагнитной среды $\pm \epsilon_0 \cdot \mu_0 \cdot c \cdot \omega_0 = \pm 1/2$ (рис.62).

Приведенная пульсация электромагнитной волны образует неравновесную систему колебаний точечного участка волны света:

$$\frac{\text{резонанс} \equiv (\varepsilon_0 \mu_0 c \omega_0)^2}{\text{антирезонанс} \equiv 2 \varepsilon_0 \mu_0 c \omega_0} \equiv \pm \frac{1}{4} \Leftrightarrow$$

$$\mp 4 \equiv \frac{2 \varepsilon_0 \mu_0 c \omega_0 \equiv \text{антирезонанс}}{(\varepsilon_0 \mu_0 c \omega_0)^2 \equiv \text{резонанс}} \quad (502)$$

225. Ядерный взрыв в трёхмерном Пространстве

Ядерные столкновения фотонов в трёхмерном Пространстве происходит по шести взаимоперпендикулярным направлениям (рис.63).

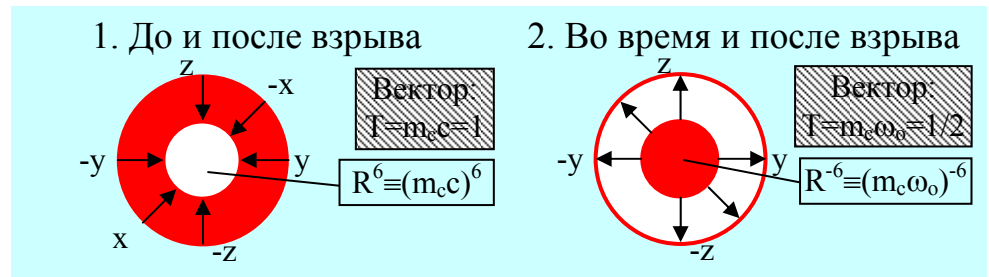


Рис.63 Ядерный взрыв в трёхмерном Пространстве

Поскольку каждая новая Форма Энергии взаимно перпендикулярна предыдущей, например магнитной и электрической, то в трёхмерном Пространстве будет шесть **Форм Энергии**. Каждая из этих Форм обладает собственной степенью свободы, выраженной в **Единице Продолжительности**:

$$\tau = \omega_0 : \varphi_0 = \pi/2 : \pi/2. \quad (503)$$

Шесть Форм Энергии являются источником шести фазовых состояний вещества в трёхмерном Пространстве (табл.178).

Вселенная Арупы-Рупы в трёхмерном Пространстве

Фаза	Фононы	Газы	Жидкости	Твёрдая фаза	Жидкая фаза	Фотоны
Энергетическая плотность	4,5	9	18	36	72	144
Кундалини	$4,5 : \tau/T_0 = 4,5 : 3/4 = 4,5 : 0,75 = 6.$					

Во всех фазовых состояниях (табл.178) синтез и мультиплетность ядер протекает в резонансно-антирезонансном режиме (табл.179).

Синтез-мультиплетность ядер в трёхмерном Пространстве

Процессы	Синтез ядер (рис.63.1)		Мультиплетность ядер (рис 63.2)	
	Антирезонанс	Резонанс	Резонанс	Антирезонанс
Потенциалы	$6m_c c = 6 \cdot 1$	$(m_c c)^6 = 1^6$	$(m_c \omega_0)^6 = 1/64$	$6m_c \omega_0 = 3$
Приведённая пульсация	$(6^2 - 3^2) : 6 \cdot 3 = 27 : 18 = 3 : 2 \equiv (c + \omega_0)/c.$			

Для ядерного взрыва закон трёх вторых остаётся справедливым.

226. Естественность взрыва в поле Арупа-Рупа

Всю Вселенную привести в одно фазовое состояние ядра фотона невозможно. По этому **Большого Взрыва Вселенной не бывает**, но отдельные сгустки взрываются периодически как в микро-, так и в макромирах.

Теогенезис Книги Дзиан ([4]. Станца V) описывает катаклизмы взрыва Тонкой Энергии, которые инициируют свет (рис.63, табл.178).

"3. Вот пришли все они, Боги неба и преисподней $[6m_c c + (m_c c)^6 = 6 + 1^2 = 7$ (табл.179)], **говоря такие слова** **"Мы почти потеряли нашу способность к созданию и разрушению** (центростремительное и центробежное ускорения сравнялись: $(j_o = c\omega_o) + (-j_o = c\omega_o) = 0$). **Сыновья Майи силой отняли у нас мощь и мудрость"**. (В электромагнитной среде (рис.62), из которой формируется Мысль, Память, Воображение Ману-Мыслителей возникла сингулярная точка:

$$\varepsilon_o \cdot \mu_o \cdot c \cdot \omega_o - \varepsilon_o \cdot \mu_o \cdot c \cdot \omega_o = \varepsilon_o \cdot \mu_o \cdot (c \cdot \omega_o - c \cdot \omega_o). \quad (504)$$

Энергии для созидания стало не хватать)

"Ты, великий брат, должен завершить Пятый Шаг, но когда ты отдохнёшь от трудов своих и снова занесёшь свою стопу для Шестого Шага – оглянись! Ты будешь один". (Останется дыхание Арупы-Рупы, не знающей себя [3]).

"Те, кого ты сейчас поносишь, станут Богами прежде, чем ты завершишь свой Шестой Шаг, а больше тебе стопы не поднять, ибо Кольцо Пламени разомкнётся перед тобой и линия жизни будет перерезана".

Это значит, что на Шестом Шаге элементарные заряды ρ , μ и q трансформируются в Мысль (ρ^*), Память (μ^*) и Воображение (q^*).

Когда Колесо (Вселенная) сделает полтора оборота (табл.179; $3/2 = 1,5$), **Искры воплотятся в плодах, до того человеку неизвестных. И ребёнок, и взрослый человек вкусит этих плодов и, к удивлению Богов, слова мудрости слетят с их губ** [4].

227. Вихрь в Пространстве: альтернатива кривизны пространства

"Вихри враждебные веют над нами" только тогда, когда мы, люди, по своей мировоззренческой дурости заводим "борьбу" Противоположностей в неразрешимый тупик.

Для нас, незнающих законов Космоса, тупики – Апокалипсисы везде, даже в жизнеутверждающих левизне времени **Откровений** Иоанна Богослова [6].

Время в **Откровениях** дано нам для ознакомления затем, чтобы мы поняли структуру Арупы в Недрах фотона (табл180).

Таблица 180

Энергетическая структура "Времени" в Откровениях

"Время"	Левизны	Правизны
Продолжительность, лет	$\left(\frac{c + \omega_0}{c}\right) \cdot \frac{c}{\omega_0} \sqrt{\rho_3} = 3 \cdot 10^6$	$-3 \cdot 10^6 = \left(\frac{c + \omega_0}{c}\right) \cdot \frac{c}{\omega_0} \sqrt{\rho_3}$
Общее "Время" и Дзиан	$\frac{\text{резонанс}}{\text{антирезонанс}} \equiv \frac{(3 \cdot 10^6) \cdot (-3 \cdot 10^6)}{(3 \cdot 10^6) + (-3 \cdot 10^6)} = \frac{-9 \cdot 10^{12}}{18 \cdot 10^{12}} = \frac{-1}{2}$	

Времени нет. Есть Продолжительность перехода из одной формы энергии в другую, например (табл.180):

$$\tau \sqrt{\rho_3} = 3 \cdot 10^6 \Leftrightarrow 3 \cdot 10^6 \equiv \frac{\tau}{\sqrt[4]{\rho_1}}, \quad (505)$$

где: ρ_3 и ρ_1 – соответственно эффективности электромагнитного и гравитационного взаимодействий.

Как это не парадоксально, но для понимания **Божественных Откровений** надо было пережить относительные глупости А.Эйнштейна:

Скорость света величина постоянная и максимальная в Природе, а Пространство и Время – кривые.

Для того, чтобы социум попался **на удочку относительных глупостей**, надо было создавать мнимые научные авторитеты от истоков Каббалы, когда человек перестаёт понимать, где само Пространство, а где вихрь фотон-фононов в Пространстве.

228. Сто десять Божеств в теле Человека и Периодическая Система геномов Наследственности

Движение фотона по закону трёх вторых во вращающейся среде фононов формирует свои подобиya везде, всегда и во всём, например при формировании **ядра Периодической Системы Наследственности (геномов)**:

Цис-изомерия	Ядра		Транс-изомерия	
$\frac{c}{c + \omega_0} = \frac{2}{3} = \frac{6}{9}$	6	9	$\frac{9}{6} = \frac{3}{2} \equiv \frac{c + \omega_0}{c}$	(506)
	9	6		

Когда пульсация Ядра Периодической Системы геномов Наследственности не нарушает окружающую среду, то есть среду из самих геномов, то число квантованных состояний среды будет равно суммы арифметической прогрессии от одного до 63:

$$\Sigma_{г.р.} = \frac{1+63}{2} \cdot 63 = 32 \cdot 63 = 2016 = 1008 - (-1008). \quad (507)$$

Жидкая среда головки сперматозоида обладает потенциал-эквивалентом цис-транс изомерической разности постоянной Вселенной по водороду (507).

Однако пульсирующее ядро Периодической Системы геномов Наследственности вытесняет из Системы геномов 27 и 28, а также 35 и 36, **создавая на основе их потенциал-эквивалентов Свечение – Оболочку Тонкой Энергии.**

Потенциалами полуэллипсов от генератора Тонкой Энергии являются потенциалы 27 и 28, а поле с потенциалами 35 и 36 создают пульсирующий свет.

В поле – Свечении Тонкой Энергии, находящейся в поле Света возникают разности квадратов потенциалов, затем их сумма и разность, а далее разность, равная 110 Божествам в теле Человека (табл.181).

Таблица 181

**Свечение от генератора Тонкой Энергии:
энергетика целительства**

Поля	Свет	Тонкая Энергия	110 Божеств в Человеке
Потенциалы	$36^2 - 35^2 = 71$ $36 + 35 = 71$	$28^2 - 27^2 = 55$ $28 + 27 = 55$	$71 + 55 = 126$ $71 - 55 = 16$ = 110
Семеричность	$7 = \frac{1^2 + 2^2 + 3^2 + 4^2 + 5^2 + 6^2 + 7^2 + 8^2 + 9^2 + 10^2}{1 + 2 + 3 + 4 + 5 + 6 + 7 + 8 + 9 + 10} = \frac{385}{55}$		

229. Ядро геномов – излучатель Арупы Света

Пульсация Ядер геномов инициирует свет
(табл.182).

Таблица 182

Свет и Ядро геномов

Поля		Свет	Ядро геномов	
Изо-мерия	Цис-	$m_c c + \varepsilon_0 \mu_0 c^2 + E_\lambda = 3$	$(-3) \cdot 3 = -9$ резонанс	$3 - (-3) = 6$ антирезонанс
	транс	$-(m_c c + \varepsilon_0 \mu_0 c^2 + E_\lambda) = -3$	$3 - (-3) = 6$ антирезонанс	$(-3) \cdot 3 = -9$ резонанс
Формы записи		Тетраксис Пифагора, Тетраграмматон [2]	Пирамида "Вавилонская Башня", боги Луны Шумеров [1].	

Ядро генома пульсирует в резонансно-антирезонансном режиме (табл.182) и создаёт новый энергетический уровень, включающий потенциал-эквиваленты генома 63 и 108 реинкарнаций (табл.183).

Таблица 183

Пульсация Ядра Генома, возбуждённого Светом

Режим	Антирезонанс	Резонанс	Удвоение среды
Потенциалы	$6+(-9) = 3 \Leftrightarrow -3 = -9+6$	$6 \cdot (-9) = -54 \Leftrightarrow \dots$	108
	$6-(-9) = 15 \Leftrightarrow -15 = -9-(+6)$	$\pm 3 \cdot (\mp 15) = \pm 45 \Leftrightarrow \dots$	90
Геномы и вода	$108 - 45 = 63$ (геномы); $108 - 90 = 18$ (вода).		

Потенциалы пульсации Ядра Генома **по заданию великой Цивилизации** обожествлялись во все времена всеми народами **нынешнего социума Земли** (табл.183).

Такое почитание связано с тем, что в поле ядра генома возникает **Зародыш (эпицентр) резонансного вихря Арупа-Рупа** (потенциал $1,2 \equiv T_0 \cdot \tau \cdot \rho_2$) и неравновесная система, в которой появляется среда Арупы с потенциалом $8100 \equiv 9^2 \cdot 10^2 \equiv (\tau \cdot \rho_5)^2$:

$$\frac{108}{90} = 1,2 \Leftrightarrow 108 \cdot 90 \Leftrightarrow \frac{90}{108} = \frac{1}{1,2}$$

или $1,2^2 \Leftrightarrow 108 \cdot 90 \cdot 1,2 \Leftrightarrow 1,$ (508)

где: $\frac{108 \cdot 90}{1,2} = 8100 = 90^2$ и $(T_0 \cdot 90)^2 = 360^2$.

В окружающую среду с периодичностью $T_0 = 4$ будет излучаться белый свет ($360 \equiv \rho_2 \Delta B$)².

230. Биочасы наших Жизней

Арупа Света, которую излучает Ядро Периодической Системы Геномов Наследственности (492) и Воображение, излучаемое Мозгом, имеют Общность – обе формы Энергии относятся к Ментальной Энергии и вызывают Эмоции (Любовь, Ненависть, Равнодушие и так далее).

Эмоции наступают не на пустом месте, а в поле света, вытесненного геномами из Периодической Системы Геномов её Ядром:

27	28	– 27 и 28 - вытесненные геномы гравитации – 6, (-9) - потенциалы Ядра геномов – 36 и 35 - вытесненные геномы света.	(509)
6	-9		
36	35		
-9	6		

Эмоции и Интуиция нашего Воображения работают как Подобие Свечения от Генератора Тонкой Энергии, в котором LC-контур (где L – индуктивность, а C - ёмкость) есть величина постоянная (рис.64).

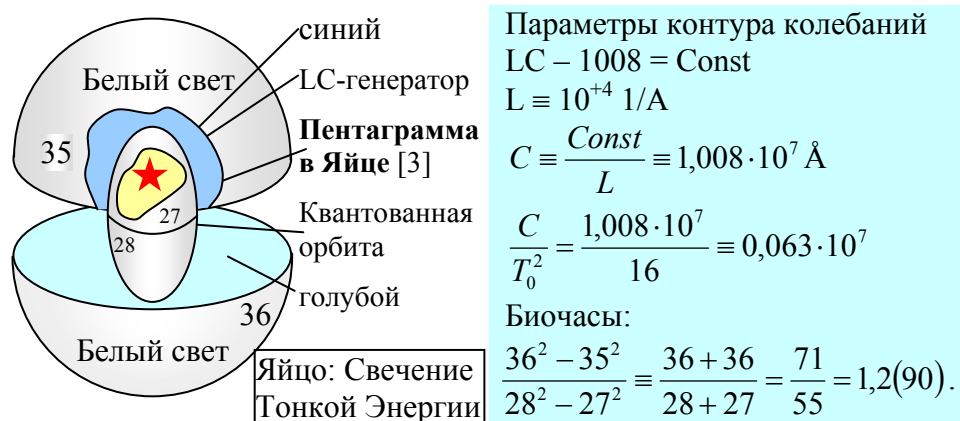


Рис.64 Излучатель Тонкой Энергии Эмоций и Интуиции

Зная частоты $c/T_0^2 \equiv 0,063 \cdot 10^7 \text{ A/сек}$ и потенциал воображения $V \equiv 16 \cdot 10^{20} \text{ (кулон} \equiv \text{A/сек)}$, великая Цивилизация определяла потенциалы фотонов и их вакансий во времени:

Фотоны: $0,063 \cdot 10^7 \cdot 16 \cdot 10^{20} \text{ (А/сек} \cdot \text{А} \cdot \text{сек)} \equiv 1,008 \cdot 10^{27} \text{ А}^2$	(510)
Вакансии: $0,063 \cdot 10^7 \cdot 16 \cdot 10^{-20} \text{ (А/сек} \cdot \text{А} \cdot \text{сек)} \equiv 1,008 \cdot 10^{-13} \text{ А}^2$.	

В поле вакансий включились биочасы (510).

231. Пульсирующее Сердце Жизни

Когда в поле фотон-вакансий (510) включились биочасы Жизни Ману-Мыслителя (нас с вами, уважаемый Читатель), то великая Цивилизация, как заботливый садовник, запрограммировала Судьбу Человечества, дав каждому человеку право на решение или Свободу Воли.

Программа развития Человечества, зашифрованная в Книге Бытия с шифр-кодом 62500 букв на одну ключевую букву, исходила из того, что в среде водород – свет с весом среды, равным 1,008, происходит гравитационно – слабое взаимодействие (510):

$$1,008 \cdot 10^{-13} \text{ А}^2 \equiv (1+m_c^*) \cdot (\rho_4 \cdot \rho_2)^{-1}. \quad (511)$$

В этих условиях Человечеству предстоит выбрать: будет ли оно плодить вакансии фотонов в Арупе или перейдёт к созиданию самих фотонов (510).

Потенциал перехода между вакансиями и фотонами ведёт к Теогенезису, а Ману-Мыслителя к Человеку Воли и Йоги (510):

Выбор кум ему быть, ходячей биомассой - жвачкой для олигархов, или Подобием Создателя, каждый из нас делает сам, ибо каждому из нас дана Свобода Воли (511).

Причём каждому из нас надо знать ход Биочасов Единого Космоса, в которых 1,2(90) затрачивается во внутреннем поле, а 0,0(10) излучается в окружающую среду (рис.64):

Поле	Сердце: $840 = 420 - (-420)$
Семь Вечностей внутреннего поля	$\frac{1,2(90)}{7 = T_0 + \tau}$
Излучается в среду	$\frac{x}{1,3 - 1,2(90)} = \frac{x}{0,0(10)}$
Интервал излучения	$x = 7 \cdot [1,2(90) : 0,0(10)] = 7 \cdot (120) = (840).$

(512)

Возникает цис-транс изомерия 42 Божеств Сердца (512).

232. Различия сгустков Сердца и Мозга

Частота кадров, равная 25 кадрам в единицу Продолжительности, с которой пульсирует **Субстанция на уровне Подсознания**, удваивается за счёт изомерии субстанции Подсознания.

Это удвоение частоты кадров на уровне Подсознания **Евры Древнего Израиля** подглядели в Египте и, **верные своему принципу исказить понятное в непонятное**, дали удвоенной частоте Подсознания "**поэтическое**" название – **Бог АЙН СОФ**, предвосхитив в "**поэзии наименований**" современного лауреата Нобелевской Премии В.Гинзбурга, **создателя красивых, справедливых, и так далее несуществующих кварков, на несколько тысячелетий.**

На самом деле в Реалиях Единого Космоса происходит следующее (513).

Периодически повторяющиеся энергетические ряды потенциала (840) пульсируют с частотой 50:

$$(840) \times 50 = (42000). \quad (513)$$

В Едином Космосе возникают микро-макро сгустки, обладающие полярными вихрями с потенциалами

$$\pm 21 \equiv \pm(5+7+9). \quad (514)$$

Возникает цис-транс изомерия Живого Сгустка (рис.65).

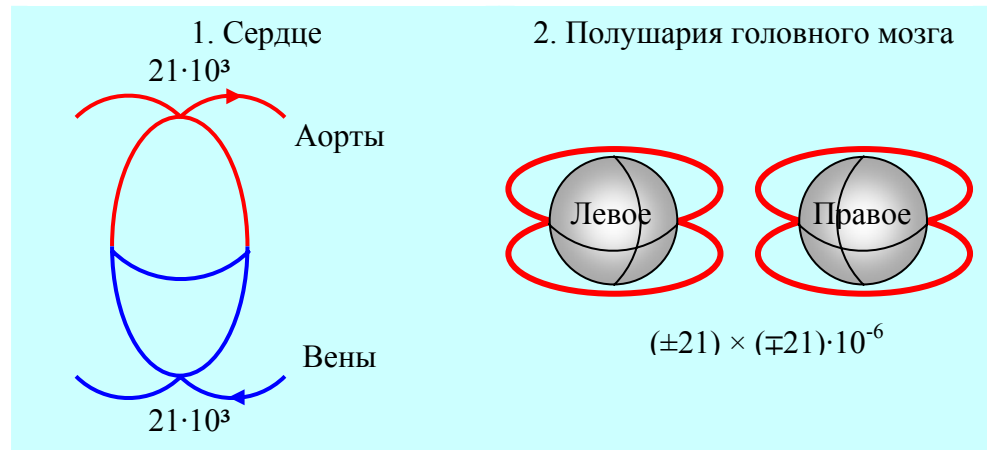


Рис.65 Сгустки сердца и головного мозга

Такой сгусток Живого может быть реализован как в Форме Сердца, так и в Форме полушарий головного мозга (рис.65).

Излучаемые (поглощаемые) кванты сердца связаны антирезонансом

$21 \cdot 10^3 + 21 \cdot 10^3 = 42 \cdot 10^3$ $21 \cdot 10^3 - 21 \cdot 10^3 = 0.$
--

$$(515)$$

Сгустки полушарий головного мозга трансформируют полярные вихри в резонансно-антирезонансном режиме (рис.65).

233. Энергетика синхронной пульсации Мозга и Сердца

Резонансное поле мозга и антирезонансное поле сердца пульсируют соответственно с частотами 25 и 24 кадра в единицу Продолжительности (рис.65, табл.184).

Таблица 184

Синхронность пульсации сердца и мозга

Пульсация полей	Антирезонанс сердца	Резонанс мозга
Равенство частот	$\pm[21 - (-21)] \cdot 10^3 = \pm 42 \cdot 10^3$	$(-21) \cdot (+21) \cdot 10^6 = -21^2 \cdot 10^6$
Вселенная в полярных вихрях	$\pm 42 \cdot 10^3 \cdot 24 = \pm 1008 \cdot 10^3$	$-21^2 \cdot 10^6 \cdot 25 = -21 \cdot 5^4 \cdot 10^6$
Чакра Третий Глаз	± 48	$-5^4 \cdot 10^3 = -5^7 \cdot 2^3$
Кундалини в чакрах	± 6	-5^7
Поступление самосущих волн	$\pm 6 \cdot \sqrt{2}^{14} = \pm 6 \cdot 128$	$-10^7 = -5^7 \cdot \sqrt{2}^{14}$
Возникновение электромагнитных сред	$-10^7 \equiv -4\pi c^2 \varepsilon_0 \equiv -\mu_0 / 4\pi$	
Колебание электромагнитной среды	$\varepsilon_0 \cdot \mu_0 \cdot c^2 = 1 \quad \text{и} \quad \mu_0 / \varepsilon_0 = 16\pi^2 c^2 \equiv T_0^2 \pi T_0$	

Наша наука Приближений экспериментально определила электрическую (ε_0) и магнитную (μ_0) постоянные [17]:

$$\varepsilon_0 = \frac{10^7}{4\pi \cdot c^2} \frac{\phi}{м} \quad \text{и} \quad \mu_0 = 4\pi \cdot 10^7 \text{ гн/м}, \quad (516)$$

но высокая Наука великой Цивилизации значительно опередила нас, показав, что максимум самосущих волн описывается резонансной цис-транс изомерией объёмов великой Пирамиды (табл.18, рис.5):

$$\sqrt{2}^7 \times (-\sqrt{2}^7) = -\sqrt{2}^{14} \equiv -\sqrt[4]{2^{28}} \equiv \dots \quad (517)$$

Зазнайкам, которые "не хотят ждать Милостей от Природы, а ставят своей задачей взять их силой, хотел бы напомнить, что волны с потенциалом $\sqrt{2}^{14}$ эквивалентны:

$$\sqrt{2}^{14} = 2^7 \equiv 8 \cdot 16 \equiv \left(\frac{c}{\omega_0} \right)^3 \sqrt{qq^*}, \quad (518)$$

электричеству расширяющейся Вселенной.

234. Пятеричный Лха и природа происхождения Кундалини

Каббала в переводе на русский язык означает угнетение, рабство, для создания которого необходимо **применение Силы**.

Авторы **иудейской Каббалы** [2], работая в поэтических приближениях и **ничего не зная о взаимодействиях**, всё непонятное обожествили, как это произошло с числом 50, обожествлённым в бога АЙН СОФ, всеобъемлющего, вездесущего, иудейского.

Прототипом для бога АЙН СОФ явился **Пятеричный Лха**, персонаж из **Книги Дзиан**, изучаемой ветхозаветными иудеями и написанной за 10 миллионов лет до них.

Поскольку **Авторы Книги Дзиан работали, опираясь на взаимодействия**, им не нужны были приближения обожествления, то **Пятеричный Лха** имел точную формулировку как **взаимодействие Света в среде, пульсирующей с потенциалом Дзиан** (табл.185).

Энергетическая структура Пятеричного Лха [3]

Компоненты		Мысль, Память	Заряды	Общее поле
Продолжительность	Формула	$T_0 + 1 \equiv \frac{\rho_5 \mu^*}{\rho^*}$	$T_0 + 1 \equiv \frac{\rho_5 \mu}{\rho}$	$T_0 + 1 \equiv \rho_5 \sqrt{\frac{\mu \mu^*}{\rho \rho^*}}$
	Потенциал	$5 = 140/28$	$5 = 140/28$	$5 = 140/28$
Пятеричный Лха		$\pm 5 = \pm 10 \cdot \frac{1}{2} \equiv \rho_5 \left(\pm \int_0^1 \varphi d\varphi \right) u \frac{\rho_5 \cdot (\pm 0,5)}{T_0 + 1} = \frac{5}{5} = 1.$		

Не ведая, что творят, авторы Каббалы обожествили процесс:

$$\frac{\rho_5}{\rho_2} = \left(\pm \int_0^1 \varphi d\varphi \right) = \frac{100}{\pm 2} = \pm 50. \quad (519)$$

За гранью изучения иудаизма и индуизма осталась природа происхождения Кундалини:

Природа происхождения Кундалини			
Спирали	Сжатия: 2,5 оборота	Расширение: 3,5 оборота	
Потенциалы	$\rho_5 \int_0^1 \varphi d\varphi \int_1^0 \varphi d\varphi = 2,5$	$1 + 2,5 = 3,5$	(520)
Спирали в Продолжительности	Рупа: $2,5 \cdot T_0 = 10$	Рупа: $3,5 \times 4 = 14$	
	Арупа: $2,5 \cdot \tau = 7,5$	Арупа: $3,5 \times 3 = 10,5$	

235. Влияние Чакр на формирование электрогравитомагнетизма

Кундалини формирует Сердце Человека (520):

$$10,5+7,5+14+10,5 = 42 \equiv 42 \text{ Божества Сердца.} \quad (521)$$

Регулировка поступления Кундалини в организм связана с медитацией, а медитация с Космической Мыслью r^* и постоянной Чакр ($\rho_5\mu^* = 140 \cdot 10^{20}$):

$$\rho_5 \left(\pm \int_0^1 \varphi d\varphi \right) = \frac{\rho_5 \mu^*}{\rho^*} \quad \text{и} \quad \pm 5 = \frac{140}{28}, \quad (522)$$

где в поле пятеричной связи возникают гравитационные и магнитные семеричные ряды:

Семеричные ряды Кундалини	
магнитный	$1^2+2^2+3^2+4^2+5^2+6^2+7^2 = 140$
гравитационный	$1+2+3+4+5+6+7 = 28.$

(523)

Поднимая по рядам (523) Кундалини с помощью Чакр при медитации, медитирующие стремятся достичь энергетики божественной Мысли ρ^* (522) и тем самым увеличить своё магнитное биополе до $140 = 5 \cdot 28$.

При медитации в работу Сердца включается Мозг.

Синхронная пульсация Сердца и Мозга (табл.184) обеспечивает поглощение Энергии Космической Мысли Чакрами живого организма. Возникает колебание (табл.186).

Колебания между Чакрами и Космосом (518)

Компоненты	Постоянная Чакр	Космический квант (518)	Сгусток Тянь и небеса Цинь в поле Чакр
Потенциалы	140	$2^7 = 8 \cdot 16$	$\frac{140}{8 \cdot 16} \Leftrightarrow \frac{8 \cdot 16}{140}; 8^2 - \text{Тянь}$
Примечание	Магнитные ряды (523)	Самосушие волны	$\frac{35}{32} \Leftrightarrow \frac{32}{35}; 32 - \text{Цинь.}$

В небесах Цинь (табл186) возникает резонансная точка – источник гравито-магнетизма.

Излучатель энергии в небесах
$35 \cdot 32 = 1120 = \rho_5 [7 \sqrt{qq}^* = 8 \sqrt{\mu\mu}^* = 4 \sqrt{\rho\rho}^*].$

(524)

При медитации в этой точке возникает равновесие (524), после смерти – реинкарнация, а в мозге - Воображение.

236. Пульсирующая Арупа наших душ

Медитация Ману-Мыслителя (нас с Вами) сформирует из него Человека воли и Йоги.

Социум людей Воли и Йоги создаст **Теогенезис** [4].

Общественно-экономическая формация Теогенезиса, в отличие от **государственного капитализма**, названного фарисеями социализмом с человеческим лицом, решит проблемы воспитания, просвещения, образования, науки и искусства не по остаточному принципу, а по принципу: **Всё во имя Человека.**

Космологическая Гармония станет базовым Мировоззрением Социума на Земле.

Космологическая Гармония будет опираться не на **научные Приближения**, не на **религиозный Догматизм**, не на **Эгоцентризм Магии**, а на **Знания вне Иллюзий**: источник вершин Научно-Технического Прогресса.

"3...Когда Колесо сделает полтора оборота, Искры воплотятся в плодах, дотоле человеку неизвестных. И ребёнок, и взрослый человек вкусят этих плодов и, к удивлению Богов, слова мудрости слетят с их губ. ([4]. Теогенезис. Станца III).

Эти полтора оборота Колеса Вселенной в каждом из нас, так как в каждом из нас есть и гравитационные и магнитные ряды (526, табл.187).

Таблица 187

Пульсирующая Арупа наших душ (523)

Память: $\tau\mu^* = 140 \cdot 10^{20}$	$7^2 + 6^2 + 5^2 + 4^2 + 3^2 + 2^2 + 1^2 = 140$
Мысль: $\rho^* = 28 \cdot 10^{20}$	$1 + 2 + 3 + 4 + 5 + 6 + 7 = 28$
суммы	$50 + 38 + 28 + 20 + 14 + 10 + 8 = 168$
разности	$48 + 34 + 22 + 12 + 4 - 2 - 6 = 112$
Закон трёх вторых	$\frac{168}{112} = 1,5 = \frac{3}{2} = \tau \left(\pm \int_0^1 \varphi d\varphi \right)$ <p><i>пульсирующая Арупа.</i></p>

Пульсирующая Арупа наших душ – предмет заботы Создателя, и не случайно Круг Универсум связан с полем 2, 3, 4.

237. Единение Космоса амплитудами пульсации энергетических уровней

Единый Космос взаимосвязан амплитудами
пульсации (табл.188).

Таблица 188

Пульсация последовательных энергетических уровней по амплитуде

Поля	Кольцо с единицей	Формировщики [3]			
		Равнове- сие	Взаимо- действия	Арупа	Рупа
Колебания	0 ± 1	1 ± 1	2 ± 1	3 ± 1	4 ± 1
Суммар- ные по- тенциалы	Увеличе- ние им- пульса в ($\pi \equiv c$) раз	$0+1+2 = 3$ Абсолют	$1+2+3 = 6$	$2+3+4 = 9$	$3+4+5 = 12$
			Ядро геномов		Зодиак.

Шумеры знали, что делали, когда выбирали себе бо-
га и богиню Луны с потенциалами, равными

$$\pm 30 \equiv \pm(3+6+9+12), \quad (525)$$

и более того, построили Пирамиду "Вавилонская Башня"
так, что потенциал её вершины оказался равным 30 [1].

Великая Цивилизация давала не только Шумерам,
но и всем Этносам Земли понятия о канале экстрасенсор-
ной телепатической проводимости, которое нам известно
как кольцо с единицей (табл.188).

Отличительной особенностью кольца с единицей
является увеличение любого импульса в π раз после про-
хождения кольца с единицей [18].

В случае последовательного прохождения ряда ко-
лец с единицами частицами или волнами света возникнет
ускоритель света (табл.189).

Ускорение фотон-фононов

Ускорения	Частицы света	Волны света
Колебания	$\frac{m_c}{m_c c} \Leftrightarrow \frac{m_c c}{m_c c^2} \Leftrightarrow \dots \frac{m_c c^n}{m_c c^{n+1}} = \frac{1}{\pi}$	$\frac{E_\lambda c^{n+1}}{E_\lambda c^n} \Leftrightarrow \dots \Leftrightarrow \frac{E_\lambda c}{E_\lambda} = \pi$

Наша цивилизация строит ускорители элементарных частиц и думает, что Понимает Космос, не понимая Света.

238. Периодическая Система Геномов Наследственности

Реинкарнации возникают в полях колебаний Арупа \Leftrightarrow Рупа (табл.188) и связаны с **Зародышем Света**, имеющим потенциал, равный 3,6 (табл.190).

Таблица 190

Реинкарнации и свет

Поля Режим	Неравновесия	Связь с Хаосом	Зародыш света
Резонанс	$9 \cdot 6 = 54 \Leftrightarrow -54 = -9 \cdot 6$	Число реинкарнаций $0 \Leftrightarrow \pm 108$	$\pm \frac{108}{30} = \pm 3,6$
Антирезонанс	$9 + 6 = 15 \Leftrightarrow -15 = -(9 + 6)$	$0 \Leftrightarrow \mp 30$ Луна	

Как и весь Единый Космос, реинкарнации взаимосвязаны. Реалиями взаимосвязи реинкарнаций является Периодическая Система Геномов Наследственности (рис.66, табл.191).

Периодическая Система Геномов (рис.66)

Поля Геномы	Сумма потенциалов	Примечание
1 ÷ 27	$(1+26)/2 \times 26 = 351$	
вытеснен	$27 + 28 = 55$	
29 ÷ 34	$= 189$	
вытеснен	$35 + 36 = 71$	
37 ÷ 63	$= 1350$	

63	62	61	60	59	58	57	56
55	54	53	52	51	50	49	48
47	46	45	44	43	42	41	40
39	38	37	6	9	34	33	32
31	30	29	9	6	26	25	24
23	22	21	20	19	18	17	16
14	14	13	12	11	10	9	8
7	6	5	4	3	2	1	0

Ядро: 6, 9, 6, 9

Вытесненные геномы: 27, 28, 35, 36

*Рис.66 Периодическая Система
Геномов Наследственности*

В периодической системе геномов сумма потенциалов геномов вытесненных и сжатых ядром равна 315, а это есть истинное число 100π без всяких Приближений (табл.191).

Трёхчакровые создатели Религиозных Конфессий запугали своих прихожан Числом 666, как Числом Сатаны, а это потенциал внутреннего поля света с поверхностью 36 (табл.191).

Запугивание – зомбирование культивируется для протаскивания идеи расового превосходства.

239. Геномы до Зачатия

Получив в процессе реинкарнации Зародыш Света с потенциалом $\pm 3,6$ (табл.190), свет в Живом Субъекте концентрируется и достигает поля кванта света с поверхностью 36 (рис.67).



Рис.67 Структура кванта света с Зародышами

Обладая цис-транс изомерией квант света с поверхностью 36 будет иметь полярные вихри, потенциал которых будет равен сумме арифметической прогрессии от 1 до 36:

Полярные вихри света (рис.67)	
Север	Юг
$N = \frac{1+36}{2} 36 = 666$	$S = -\frac{1+36}{2} 36 = -666$

(526)

Без потенциала Поверхности квант с **Числом Сатаны** становится полем с потенциалом генома (526, рис.67):

$$\pm 666 - (\pm 36) \equiv \pm 630 \equiv \rho_5 \cdot 7 \cdot 9. \quad (527)$$

Но если со сперматозоида сорвать **оболочку**, то может ли сатанист родить? Не сможет, так как без оболочки сперматозоид не внедрится в женскую яйцеклетку.

Поэтому с каким бы остервенением сатанисты не искали третью шестёрку, а церковники не проклинали Число Сатаны, свету и сперматозоиду безразлично. Собака лает, караван идёт, а три шестёрки во всех живых субъектах движущегося каравана.

"8. Лишь Единая Форма Существования, беспредельная, бесконечная, беспричинная, простиралась, покоясь во Сне, лишенным Сновидений; Жизнь бессознательно пульсировала в Пространстве Вселенском во Всесущности той, что ощущалось открытым Глазом Дангма" (рис.67, [3], Космогенезис. Станца I).

Жизнь возникнет в воде (табл.191, рис.67):

$$1350 - 2 \cdot 666 = 18. \quad (528)$$

240. Описание Периодической Системы Геномов великой Пирамидой

Структура любого микро-макро сгустка Тянь, то есть **Космического Тела ч Ядром**, является **Подобием структуры Периодической Системы Геномов Наследственности** (рис.66).

Великая Пирамида, как **вектор-эпюра Сгустка**, описывает также и сгусток в форме Периодической Системы Геномов Наследственности (рис.66, табл.191).

В Реалиях Единого Космоса **числа $\pi = 3,14159...$ нет**. Есть соотношение трёх уровней с потенциалами $315 = 100 \cdot (c = \pi)$, цис-транс изомерия которых приводит к геномам (табл.191):

$$\pm[315 - (-315) = 630] \equiv 200 \cdot (c \equiv \pi) = \pm[100\pi - (-100\pi)],$$

или
$$\pm 2(\pi \equiv c) = \pm 6,3. \quad (529)$$

Поскольку наличие света вызывает взаимодействия в любой системе, то и в **поле зародыша генома (529) возникнут взаимодействия:**

$$\pm 2(\pi \equiv c) \cdot (\lg \rho_1 \rho_2 \rho_3 \rho_4 \rho_5 = 2) = 6,3(c/\omega_0 = 2) \equiv \pm 12,6$$

или
$$\pm 4\pi \equiv \pm 12,6, \quad (530)$$

где 12 – спираль Зодиака, а 0,6 - Кундалини в полях слабых ($\rho_2 = 10^{-1}$) взаимодействий.

Под влиянием Зародыша с потенциалом 3,6 (табл.190) спираль Зодиака (530) распространяет свои молочно-белые расширяющиеся витки Кундалини :

$$\left| \frac{\pm 4(\pi = 3,15)}{3,6} = \pm 3,5 \right| \equiv \left| \pm 3,5 = \frac{12,6}{3,6} \right| \quad (531)$$

Цис-транс изомерия расширяющейся Кундалини формирует в **Недрах Сгустков Тянь Семь Вечностей**:

$$\pm 0 \Leftrightarrow \mp[3,5 \pm (\pm 3,5)] = +7, \quad (532)$$

а цис-транс изомерия сжимающих ветвей Кундалини является источником формирования **Пятеричного Лха**:

$$\pm 0 \Leftrightarrow \pm[(3,5 - 1) - (-3,5 + 1)] = \pm 5. \quad (533)$$

В поле с потенциалом 4π **Строители** вписывают окружность-круг с радиусом $R = 2$ и создают великую Пирамиду с высотой $H = 2^{7/4}$.

Возникает компактное векторное описание сгущения небесных тел.

241. Эволюция реинкарнаций: диаграмма Тянь-Цинь в трёхмерном Пространстве Света

В Периодической Системе Геномов Наследственности (рис.66) Свет и его Зародыши (табл.190, рис.67) возникают как разности потенциалов, или, наоборот, создают разности потенциалов поля Геномов:

$$351 - 315 = 36 \quad \text{и} \quad (\rho_2 = 10^{-1}) \cdot 36 = 3,6. \quad (534)$$

И сам Свет, и его Зародыш формируют **оболочки и внутренние поля**, в которых у Зародыша протекает ядерно-слабое ($\rho_4 \rho_2 = 10^{13}$) короткодействие, а у Света гравитационно-электромагнитное ($\rho_1 \rho_3 = 10^{-12}$) дальное действие (табл.192).

Распределение фотонов и их вакансий в люминофорах

Поля и компоненты	Зародыш Света			Свет		
	Оболочка	Внутреннее	Сумма	Оболочка	Внутреннее	Сумма
Потенциалы	3,6	63	66,6	36	630	666
Взаимодействия	$66,6 \cdot (\rho_4 \rho_2 = 10^{13}) \Leftrightarrow 666 \cdot (\rho_1 \rho_3 = 10^{-12})$					
Ёмкость люминофора	$10^{13} \overset{k_1}{\underset{k^2}{\Leftrightarrow}} 10^{-11}$ где $k_1 = 10^{-24} \equiv \rho_1$ и $k_2 = 10^{24} = \rho_3^2$.					

Наиболее полное описание распределения фотонов и их вакансий в люминофоре даёт диаграмма Тянь-Цинь, размещённая в трёхмерном Пространстве, заполненным светом (рис.67, рис.68, табл.193).



Рис.68 Диаграмма Тянь-Цинь в трёхмерном Пространстве Света

Таблица 193

К диаграмме (рис.68)

Поля		Потенциалы
Зародыш	сжатие	2 и 3,6
	расшир.	8 и 3,6
Волны	расшир.	64 и 36
	сжатие	64 и 36.

В этих полях интегральные разности взаимодействия со светом и его Зародышем дают 1080 и 108 реинкарнаций:

$$36 \cdot \left(\Delta = \int_2^{64} \varphi d\varphi - \int_8^{64} \varphi d\varphi = 30 \right) = 1080 \quad \text{и} \quad 3,6 \cdot (\Delta=30) = 108. \quad (535)$$

Переход от 108 к 1080 реинкарнациям – путь Эволюции Человека.

242. Реальность программирования Судеб Живых Магнитов

Периодическая Система Геномов повторяет закономерности, присущие небесам Цинь и сгусткам Тянь в полях фотон ($m_c^{**} = 0,002$) – фононов ($m_c^* = 0,008$).

Трансформация фотонов в фононы происходит при ядерном взрыве, а фононов в фотоны – при сгущении небесных волн (табл.194).

Взаимопереход Тянь-Цинь сопровождается соударениями типа $100 \cdot (c \equiv \pi) = 315$ в среде постоянной Вселенной по водороду, равной 1008 (табл.194).

Таблица 194

Появление Зародышей Тянь-Цинь в геномах

Зародыши и изомерия		Зародыш Тянь	Зародыши Цинь	
		Цис-транс	Цис-	Транс-
Условия формирования		$\pm \frac{\int_8^{64} \varphi d\varphi}{315} =$	$\frac{\omega_0}{c} \frac{\int_8^{64} \varphi d\varphi}{315} =$	$\frac{\omega_0}{c} \frac{\int_8^{64} \varphi d\varphi}{315} =$
		$\pm \frac{2016}{315} = \pm 6,4$	$\frac{1008}{315} = 3,2$	$\frac{-1008}{315} = -3,2$
Пульсация, $\times 10^3$	Синтез Тянь	$\frac{2016}{m_c^{**}} = 1008 \cdot 10^3$ фотоны	$\frac{1008}{m_c^*} = 126$ Фононы (взрыв в Цинь)	$\frac{-1008}{m_c^*} = -126$
	Взрыв Тянь	$\frac{2016}{m_c^*} = 252$ фотоны	$\frac{1008}{m_c^{**}} = 504$ Фотоны (синтез Цинь)	$\frac{-1008}{m_c^{**}} = -504$
Инверсионное неравновесие		$\frac{1008}{252} \cdot \frac{504}{126} = T_0^2 \Leftrightarrow \frac{1}{T_0^2} = \frac{126}{504} \cdot \frac{252}{1008}$		
Магнетизм	Живые магниты	$\frac{c^3}{\omega_0^3} \cdot \frac{\mu \cdot \mu^*}{q \cdot q^*} = 8 \cdot \frac{14}{16} = 7 \equiv T_0 + \tau \equiv 463$		
	Кундалини	$7 \int_0^1 \varphi d\varphi = \frac{7}{2} \Leftrightarrow -\frac{7}{2} = 7 \int_1^0 \varphi d\varphi$		

Зная законы формирования Живых Магнитов великая Цивилизация запрограммировала Судьбы в Книге Бытия.

243. Гравитационно-магнитное равновесие Космоса

Полярные вихри над сгустком являются одной из форм проявления изомерии **в режиме излучения сгустком магнитных зарядов** (рис.67).

Магнитные заряды являются компонентами метagalактических волн из Глубин Космоса, а эти волны сгущаются с преимущественным коэффициентом $5/2$ [18]:

Сгущение магнитных зарядов	
$\frac{5}{2}\mu = \frac{5}{2} \cdot 14 \cdot 10^{-20} = \frac{7}{2} \cdot 10^{-19} = (3,5 + 2,5) \cdot 10^{-19}.$	(536)

Сгущение магнитных зарядов в метagalактических Космических волнах приводит к формированию в сгустке центробежных энергетических потоков, ломающих литосферу сгустка с преимущественным коэффициентом $7/2$ – эквивалентным Кундалини (536).

(Коэффициенты $5/2$ и $7/2$ получены также институтом Геофизики АН СССР для Космоса и Земли [10]).

Энергетический поток в Недрах Сгустка, направленный к литосфере, возникает за счёт пульсации Зародышей с потенциалом 3.6 (табл.190), поглощающих Космическую Энергию, эквивалентную Мысли ρ^* (табл.195).

Любой сгусток, в том числе периодическая система геномов (головка сперматозоида), пульсирует с постоянной Вселенной (табл. 195).

Гравитационно-магнитное равновесие Космоса

Поля	Изомерия поглощения ρ^* Зародышами (рис.67)		Равновесие Зародышей с геномами (табл.191)	Равновесие сгустка и Космоса
	Цис-	Транс-		
Потенциалы	$3,6\rho^* =$ $3,6 \cdot 28 \cdot 10^{20} =$ $1008 \cdot 10^{19}$	$-3,6\rho^* =$ $-1008 \cdot 10^{19}$	$\frac{1+63}{2} \cdot 63$ $\frac{2 \cdot 1008 \cdot 10^{19}}{2} =$ 10^{19}	$\frac{5}{4} \mu = \frac{7}{2} 10^{-19}$ $10^{-19} = 10^{-19}$
Постоянная Вселенной	$\pm 1008 \cdot 10^{19} \cdot 10^{-19} = \pm 1008.$			

**244. Ядерное вещество в Арупе:
энергетическая структура**

Поскольку в Космосе бесконечное количество Противоположностей, то хитрые философы описали энергетику Противоположностей словами в **форме Закона Единства и Борьбы Противоположностей**.

Для понимания Космоса слов недостаточно и я вместе с Вами, уважаемый Читатель, обобщу противоположности и переведу закон единства и борьбы противоположностей на язык Чисел (табл.196).

Арупа реализует себя в импульсах волны-частицы света и энергии электромагнитной среды между ними, пульсация которых будет создавать люминофор резонансно насыщенный фотонами (табл.196).

Формирование структуры Ядерного вещества в Арупе	
Вакансии в Арупе	Фотоны в люминофоре Ядра
$(m_c c + \varepsilon_o \mu_o c^2 + E_\lambda c = 3 \equiv \tau) \cdot 10^{-12}$	$(-10^{20}) \cdot (10^{20}) = -10^{40}$

(537)

**Пять Форм Противоположностей:
Арупа в фотонах**

№	Противоположности		Потенциалы	Постоянные			
				расширения	сжатия		
1	Изомерия	Цис-	$\omega_0=\pi/2=315/2$	$(+\omega_0)\rho_1\rho_2\times$ $\tau\frac{c}{\omega_0}m_c\pi\equiv$ $\pi/2\cdot10^{-25}\cdot6\cdot$ $1\cdot\pi\equiv$ $3\cdot10^{-25}$	$(-\omega_0)\rho_1\rho_2\rho_5$ $T_0\frac{\omega_0}{c}\pi\cdot1\equiv$ $-\pi/2\cdot10^{27}\cdot2\cdot$ $1\cdot\pi\equiv$ -10^{27}		
		Транс-	$-\omega_0=-\pi/2=-315/2$				
2	Термия	Эндо-	$\rho_1\rho_2=10^{-25}$				
		Экзо-	$\rho_3\rho_4\rho_5=10^{27}$				
3	Контакт в среде	излучение	$\tau\frac{c}{\omega_0}=2\cdot2=6$				
		поглощение	$T_0\frac{\omega_0}{c}=\frac{1}{2}4=2$				
4	Транс- формация	импульс	$m_c c \dots = 1$			$\tau \Leftrightarrow -10^{52}$	
		энергия	$m_c c^2 = \pi$				
5	Инверсия	Из среды	$\pi\rightarrow1$ и $1/\pi=m_c$	Арупа	Фотоны.		
		В среду	$1\rightarrow\pi$ $\pi=1/E_\lambda$				

**245. Пульсация Воображения
и Число Человека 113**

При появлении **Оболочки** Арупа трансформируется в Рупу.

Оболочка с потенциалом 49 (**Русские Руны** [22]) возникает в поле **Фотоны в Арупе** (537) при антирезонансе $T_0 + \tau = 7$:

Возникновение оболочки в антирезонансе Арупа-Рупа			
Колебания	Оболочка	Субструктура	Фотоны
$\frac{T_0 + \tau}{\tau \Leftrightarrow 10^{52}} \Leftrightarrow \frac{\tau \Leftrightarrow 10^{52}}{T_0 + \tau}$	$(T_0 + \tau)^2 = 49 \Leftrightarrow$	$\tau^2 = 9 + 0 \Leftrightarrow$	$10^{104}.$

(538)

Волны Арупы в поле фотонов (537) и в объёме под оболочкой и в равновесной среде Космоса (табл.196) проходят через **Свет** и гравитационно-магнитные Зародыши (рис.67, табл.190):

Арупа фотонов в полях Света и Зародыша			(539)
Космический фон	Арупа в фотонах	Свет и Зародыш	
$10^{-19} \Leftrightarrow 10^{-19}$	$\tau \Leftrightarrow 10^{52}$	$\frac{36}{\tau \Leftrightarrow 10^{52}} \Leftrightarrow \frac{\tau \Leftrightarrow 10^{52}}{3,6}$	
Колебания без учёта фона $k_1 \equiv 36^2 \Leftrightarrow 90 \Leftrightarrow 10^{104}$		Колебания с учётом фона $10^{-19}k_1 \equiv 3,6^2 10^{-19} \Leftrightarrow 9 \cdot 10^{-18} \equiv k.$	

В полях слабых взаимодействий Рупы возникнут колебания, которые приведут к формированию **электрических зарядов q** и Воображения q^* (539):

$$\rho_2 \frac{k}{T_0^2} \equiv \frac{36^2 \cdot 10^{-20}}{16} \Leftrightarrow \frac{9 \cdot 10^{-19}}{16} \Leftrightarrow \frac{10^{84}}{16} \equiv \frac{36^2}{q^*} \Leftrightarrow \frac{90}{q^*} \Leftrightarrow \frac{10^{64}}{q}. \quad (540)$$

В поле Воображения возникает контур колебания с потенциалом, равным квадрату резонансных колебаний Арупа-Рупа, переходящие при наличии бога Луны в Число Человека (540).

Число Человека: колебания Воображения				(541)
Резонанс	$36^2 q^* \Leftrightarrow 90 q^*$ $144 = 12^2 \Leftrightarrow 1$	Антирезонанс при Луне	$144 \Leftrightarrow 1+30$ $113 \Leftrightarrow 0.$	

246. Реальность Фатализма: ментальность наших судеб

На Земле нет человека, который не хотел бы заглянуть в Будущее и с этой целью прибегают к гаданию и анализу предсказаний и Пророчеств.

Люди неосознанно чувствуют Фатализм своих Судеб.

Неосознанный Фатализм влечёт за собой равнодушие и желание Спасти́сь в одиночку за счёт бездействия.

Фатализм, который воспринял **нормальные принципы Космического содружества в форме Заповедей любой Религиозной Конфессии**, включает в свою Энергетику Свободу Воли Личности и переходит от безделья двуногой трёхчакровой людской биомассы к Созидательной деятельности Человека.

Знать и выполнять Заповеди – хорошо, но **настала пора узнать и Энергетику Созидания, ибо Господь сотворил Человека как Своё Подобие не только для моления, но и для Высокого Творчества.**

Начнём с изучения Природы возникновения шифр-кода Книги Бытия, в которой **Создатель (великая Цивилизация)** запрограммировал, например, уже известные нам судьбы раввинов, или нападение Ирака на Кувейт.

Шифр-код Книги Бытия, в котором одна значимая буква приходится на промежуток в 62500 букв, берёт своё начало в электрических полях заряд-воображение (540):

$$\begin{aligned}\frac{90}{q^*} &= 90 \cdot 62500 \cdot 10^{-26} \Leftrightarrow \frac{10^{64}}{q} \equiv \frac{1}{16} \cdot 10^{84}; \\ 90 \cdot 16 \cdot 62500 &= 1440 \cdot 62500 \Leftrightarrow 10^{110}; \\ 62500 \cdot (12 \equiv T_0 \tau)^2 \cdot (10 \equiv \rho_5) &\Leftrightarrow 10^{110},\end{aligned}\tag{542}$$

где шифр-код Книги Бытия соотнесён с Продолжительностью $(T_0 \tau)^2$, а степень 110 – число Божеств в теле Человека по Книге Мёртвых [7].

247. Двоичный язык Да и Нет Единого Космоса

Энергетика нашей Свободы Воли в закодированной Судьбе (542) проявляется в пульсации взаимодействий света со слабыми взаимодействиями (табл.197).

Таблица 197

Проявление Свободы Воли во взаимодействиях (542)

Поля и Продолжительности	Свобода Воли		Древнегреческий Бог Времени Кронос [6]
	Экзотермия (Ад)	Эндотермия (Рай)	
Потенциалы	$62500 \cdot T_0^2 \tau^2 \rho_5 \Leftrightarrow 10^{110}$	$62500 \cdot T_0^2 \tau^2 \Leftrightarrow 10^{110} \rho_2$	$[(T_0^2 \tau^2 \rho_5^2 + 55) \equiv 14455] \cdot 62500 \Leftrightarrow 10^{110} \rho_5^{\pm 2}$

Термия колебаний $10^{110} \rho_5^{\pm 2}$, лежащая в пределах 10^{112} и 10^{108} , при переходе к логарифмическим волнам приводит к потенциал-эквивалентам числу 108 реинкарнаций по Буддизму ($\lg 10^{108} = 108$) и потенциалу

$$\lg 10^{112} = 112 \equiv 7 \sqrt{qq^*} \equiv 8 \sqrt{\mu\mu^*} \equiv 4 \sqrt{\rho\rho^*}. \quad (543)$$

Возникает пульсация, приведённый потенциал которой равен:

$$\frac{112 \cdot 108}{112^2 - 108^2} = \frac{12095}{880} = 13,7(45), \quad (544)$$

в которой 137,0000021 является постоянной Тонкой Структуры, образующей логарифмическую спираль Вселенной:

$$1/\alpha = \rho_5 \cdot 13,7(45) \equiv 137,(45) \equiv \frac{T_0 + 1}{T_0 - 1} \pi e^{\pi \times (45 \pm 21 \cdot 10^{-7})}. \quad (545)$$

Тонкие Структуры с постоянной $1/\alpha$ (545) появляются там, где ядерные процессы переходят в логарифмические.

Токая Структура с потенциал-эквивалентами бога Времени Кронос и шифр-ключа Книги Бытия (табл.197) формирует двоичный математический язык (1 и 0) – "да" и "нет":

$$1 \Leftrightarrow 10^{110 \pm 2} \left(\frac{1}{14455 \cdot 62500} = 1,099 \dots \cdot 10^{-8} \right). \quad (546)$$

248. Телепатия и Размножение

Двоичный язык да $\equiv 1$ и нет $\equiv 0$ сегодня используется нами для передачи информации электромагнитными волнами света, скорость которых в Невесомости равна 300 тысяч километров в секунду.

Однако несущей (опорной) волной для передачи информации в режиме да - нет может быть и волна Тонкой Энергии, скорость которой в 10^{40} раз выше скорости света.

Телепатия есть способ передачи Информации сверхсветовыми волнами Тонкой Энергии.

Энергетика телепатической передачи информации связана с неравновесием (546, табл.198).

Таблица 198

Двоичный язык телепатии

Язык	Да $\equiv 1$	Нет $\equiv 0$
Колебания	$1 \Leftrightarrow 10^{110} \cdot 10^{\pm 2} \cdot 10,79^{-9}$	$\log_a 1 \equiv 0$
Диапазон в средах	$10^{112} \Leftrightarrow 1 \Leftrightarrow 10^{-101}$	$112 \Leftrightarrow 0 \Leftrightarrow 101$
Число Человека	$10^{113} \Leftrightarrow 10 \Leftrightarrow 10^{-100}$	$113 \Leftrightarrow 1 \Leftrightarrow -100.$

Телепатическая передача Энергии, **одной из форм которой является Информация**, является Размножение, связанное с митозом (делением) биологической клетки (табл.198):

Телепатия и Размножение			
Стадии	До митоза	Митоз	Биочасы
Потенциалы	$\lg 10^{-9} = -(9+0)$	$\lg 10^{-9} \cdot 10^{-2} = -(9+2)$	$13 \equiv 113-100$
Размножение в Продолжительности	$\frac{(9+0) \cdot (9+2)}{(9+2)^2 - (9+0)^2} \cdot 13 \equiv \frac{99}{40} \cdot 13 \equiv 32 + 0,175,$ <p>где 32 – эквивалент небесам Цинь, а 0,175 – одной десятой пальмы.</p>		

(547)

Живое возникает как Пальмы в Небесах, а это и есть Рай.

249. Дискредитация полярных вихрей Света с потенциалом 666

Изучая живое, великая Цивилизация взяла за основу поле генома в кванте света, отношение потенциалов которых равно $7/4$, то есть пальме – единице Системы Счисления Науки Строителей Пирамид и Авторов Книг Дзиан, Перемен и Мёртвых:

"Пальма" в геномах
$\frac{\text{геном}}{\text{белый свет}} = \frac{63}{36} = 1,75 \equiv \frac{7}{4} \equiv \frac{T_0 + \tau}{T_0} \equiv \dots$

(548)

В этих условиях (548) полярные вихри с потенциал-эквивалентом Числу Сатаны излучаются в Арупу с $\tau = 3$ и трансформируются со скоростью, равной (рис.67)

$$V = 666/\tau = 222 \quad \text{и} \quad \rho_2 V = 10^{-1} \cdot 222 = 22,2. \quad (549)$$

Придавая этим скоростям (549) огромное значение великая Цивилизация возвращалась к ним, по крайней мере, дважды.

Первый раз эта скорость $V = 222$ трансформировалась в Алфавите древнеславянского языка Дианогари, имеющего 222 буквы, а второй раз в 22 буквах Авраама, связанных с телепатической передачей информации [2].

В борьбе за фетиш золотого тельца и налоги со своего населения (Пятикнижие Моисея), ветхозаветные опорочили потенциал 666 как Число Сатаны, а 13 – как Чёртову Дюжину.

Создавая три Религиозные Конфессии и проводя ревизию Магии, **трёхчакровое понимание Чисел 666 и 13 глубоко проникло в сознание невежественных масс.**

Великой Цивилизации вновь пришлось вернуться к проблеме понимания нами энергетических телепатических вихрей, и они дали древним грекам бога Времени Кронос с потенциалом 14455 [3]:

$$\text{Кронос} \equiv (\rho_5 T_0 \tau)^2 + (28^2 - 27^2) = 14400 + 55 = 14455, \quad (550)$$

где: 27 и 28 – геномы, вытесненные из Периодической Системы ядром (рис.66).

250. Боги и геномы: гравитация и свет в биоклетке

Вытесненные ядерным вихрем из Периодической Системы (рис.65) геномы с потенциалами 27 и 28 создают гравитацию, а геномы с потенциалами 35 и 36 – свет.

В Едином Космосе возникают солнечно-гравитационные ряды, а великая Цивилизация подсказывает древним грекам и египтянам их обожествление, давая соответственно потенциалы богов (табл.199).

Алгебра Древнеегипетских и Древнегреческих Богов

Боги	Ра	Ба	Ка ≡ Кронос
Страны	Древний Египет и Греция		
Функциональ- ность	Солнечный свет	Геномы в поле небес Цинь	Гравитация
Потенциалы	$\text{Ра} \equiv (\rho_5 T_0 \tau)^2 + 36^2 - 35^2$ $14471 \quad \begin{matrix} \xrightarrow{+8} \\ \xleftarrow{-8} \end{matrix}$	$\text{Ба} \equiv (\text{Ра}^2 - \text{Ка}^2) : 32 =$ $14463 \quad \begin{matrix} \xrightarrow{+8} \\ \xleftarrow{-8} \end{matrix}$	$\text{Ка} \equiv (\rho_5 T_0 \tau)^2 + 28^2 - 27^2$ $14455 \quad \begin{matrix} \xrightarrow{+8} \\ \xleftarrow{-8} \end{matrix}$
Электричество и Свабхават "О" $\equiv 4 \cdot 10^4$	Антирезонанс: $4 \cdot 8 \cdot \lg \frac{\rho_3 \rho_4}{\rho_1} = 32 \cdot 50$ $1600 \equiv \rho_5^2 \sqrt{qq}^*$		Резонанс: $8^4 \cdot 50^2 \equiv 16 \cdot 10^4 \cdot 64 =$ $4 \cdot 10^4 \cdot (16^2 = qq^*).$

Потенциалы перехода ± 8 в **"поле Богов"** (табл.199) соответствуют коэффициенту расширения Вселенной и возрастают в сгустке, образуя потенциал-эквивалент Цинь, Тянь и электромагнетизма:

$\text{К электромагнетизму: } 15^2 \equiv (\sqrt{qq}^* + \sqrt{\mu\mu}^*) \left(\pm \int_0^1 \varphi d\varphi \right)$				
Поля	Расширение Вселенной	Небеса Цинь	Сгусток Тянь	Электромагне- тизм
Потен- циалы	$\pm 8 \equiv \frac{c^3}{\omega_0^3}$	$\pm 32 \equiv \frac{c^5}{\omega_0^6}$	$\pm 64 \equiv \frac{c^6}{\omega_0^6}$	$\frac{(\rho_5 T_0 \tau)^2}{64} = 15^2.$

(551)

При мультиплетности коэффициент расширения Вселенной расщепляется на четыре коэффициента сжатия Вселенной, образуя, например пульсирующую биоклетку:

$$5 \begin{matrix} \xrightarrow{+2} \\ \xleftarrow{-2} \end{matrix} 7 \begin{matrix} \xrightarrow{+2} \\ \xleftarrow{-2} \end{matrix} (9+0). \quad (552)$$

251. Синхронная пульсация нейрона и биоклетки: путь к Теогенезису

И биоклетка, и нейрон пульсируют в резонансно-антирезонансном режиме (табл.200).

Таблица 200

Совмещенная пульсация нейрона и биоклетки

Пульсирующие компоненты		Нейрон	Тонкая Энергия		Биоклетка
		$3 \leftrightarrow 5 \leftrightarrow 7$	$\begin{matrix} 2 \\ \leftarrow \\ 5 \end{matrix}$	$\begin{matrix} 2 \\ \leftarrow \\ 7 \end{matrix}$	$5 \leftrightarrow 7 \leftrightarrow (9+0)$
Субстанции		Серое вещество мозга	Ментальная энергия перехода		Белковые субструктуры клетки
Режим	Антирезонанс	$3+5+7 = 15$ электромагнетизм	$\begin{matrix} 4 \\ \leftarrow \\ -4 \end{matrix}$	$\begin{matrix} 5+7= \\ 12 \end{matrix}$	$5+7+9 = 21$ полярный вихрь
	Резонанс	$3 \cdot 5 \cdot 7 = 105$ 30×Кундалини	$\begin{matrix} 16 \\ \leftarrow \\ -16 \end{matrix}$	$\begin{matrix} 5 \cdot 7 = \\ 35 \end{matrix}$ 10×Кундалини	$5 \cdot 7 \cdot 9 = 315 \equiv \pi$ Скорость света $c \equiv \pi$.

При равномерной пульсации до митоза в сером веществе головного мозга и в биоклетке формируется физиологический потенциал приведённой пульсации:

$$\frac{(105^2 - 15^2) \cdot (315^2 - 21^2)}{15 \cdot 105 \cdot 21 \cdot 315} = 64^2 + 0,036858. \quad (553)$$

По окончании **периодической Продолжительности** пульсации серого вещества и биоклетки (553), сгусток Тянь достигнет квадрата первоначальной величины. В головном мозге возникнет электрический импульс T_0qq^* , а в биоклетке произойдёт митоз (деление пополам).

Ретрансляторами Космической Энергии в Нейроне будет Капля с потенциалом 5, а в биоклетке с потенциалом 7, которые при антирезонансе создают вихрь $T_0\tau = 12 = 5+7$, а при резонансе формируют 35 витков расширяющейся спирали Кундалини (табл.200).

В поле Тонких Энергий между излучателями и импульсами возникнут колебания:

$$35 : 12 \Leftrightarrow 4 - 4 : 164 \quad \text{или} \quad 35 \cdot 16^3 : 12 \Leftrightarrow 1. \quad (554)$$

К этому времени резонансный потенциал $5 \cdot 7 \cdot 9 = 315 = \pi$ достигнет потенциала $\pi \equiv e$ и Колесо Вселенной сделает полтора оборота ($315 : 21 = 1,5$) необходимых для достижения Теогенезиса ([4], табл.200).

252. Эквивалентность субструктуры (9+0) биоклетки мультиплетности энергии в нейроне

Совместная пульсация нейрона и биоклетки реализует себя в 35 витках Кундалини, несущей с Продолжительностью $T_0 = 16$ на своей поверхности электрическое поле с потенциалом $qq^* = 16$ (554):

$$1 \Leftrightarrow \frac{35 \cdot 16^3}{12} \equiv \frac{35 \text{ витков} \times T_0 \cdot qq^*}{T_0 \cdot \tau} \equiv \frac{35 \text{ витков} \cdot qq^*}{\tau}. \quad (555)$$

Кундалини – оболочка Света, как и любая иная оболочка, является носителем электричества (555).

Занимаясь медитацией, или мобилизуя резервы человеческой психики иным способом, мы инициируем энергетическую взаимосвязь между пятеричной связью нейрона и семеричной – биоклетки (табл.200).

$$\frac{5}{7} \Leftrightarrow \frac{7}{5} \quad \text{и} \quad 25 \Leftrightarrow 49; \quad \mp 0 \Leftrightarrow 49 - 25 = 24, \quad (556)$$

где: 25 – Пентаграмма,

49 – Оболочка,

24 – число Пресвятых престолов вокруг Трона Христа на Небе [6, 22].

Великая Цивилизация описывает неравновесие (556) как **Пентаграмму в Яйце** [3] и с помощью **Пальмы** показывает переход от 24 Пресвятых Престола к 42 Божествам твоего чистого Сердца, мой Читатель:

$$24 \cdot 7/4 = 42. \quad (557)$$

При митозе биоклетки в её субструктуре (9+0) происходит изменение – возникает субструктура (9+2). Мультиплетность энергии в нейроне связано с изменением потенциала (7+0) на потенциал (7+2).

Между нейроном, выделяющим свою энергию при мультиплетности, и материнской субструктурой (9+0) биоклетки устанавливается равновесие:

$$\boxed{\text{нейрон} \equiv (7+2 = 9) \Leftrightarrow (9+0 = 9) \equiv \text{биоклетка}} \quad (558)$$

после чего начинается митоз биоклетки:

$$\frac{(9+0)}{(9+2)} \Leftrightarrow \frac{(9+2)}{(9+0)}; \quad \pm 0 \Leftrightarrow 11^2 - 9^2 = 12 - 81 = 40. \quad (559)$$

Возникают Сокровенная Сороковица, четыреста библейских лет, Свабхават О [3].

253. Структура Свабхават и её запись в Книге Перемен

Появление **Сокровенной Сороковицы** означает, что точечный участок волны света попал в поле Рупы и начал взаимодействовать с ней с эффективностью света:

$$40 \equiv \rho_5 \cdot T_0. \quad (560)$$

Изменение окружающей среды скажется на изменении эффективности взаимодействия со средой, и Книга Дзиан описывает эти поля как

$$\text{Свабхават } \bigcirc \equiv T_0 \cdot \rho_5^{\pm n} \equiv 4 \cdot 10^{\pm n}, \quad (561)$$

передав знания о Свабхават Даосьянам.

В поле Свабхават \bigcirc , то есть кольца, образованного точечными участками волны света, поступают импульсы частицы света и, соударяясь, трансформируются в импульсы фотонов (рис.69).

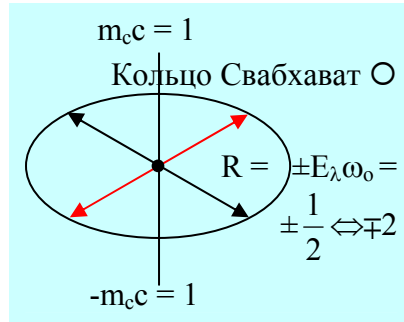


Рис.69 Формирование Свабхават \bigcirc

В центре Кольца Свабхават \bigcirc происходит резонансно-антирезонансное столкновение частиц света:

$$\frac{m_c c - (-m_c c)}{m_c c \cdot (-m_c c)} = \frac{2}{1^2} \Leftrightarrow \frac{1^2}{2} \equiv \dots \quad (562)$$

Строители в Древнем Египте используют колебания частиц света (562) и очерчивают круг (окружность) с радиусом 2, вписывая в него основание великой Пирамиды (рис.3, табл.18).

Даосьяне рисуют **Свабхават \bigcirc** (рис.69), а Авторы Книги перемен учитывают, что **резонансные** столкновения частиц света $[-m_{cs} \times m_{cs} = (-1) \cdot (+1)]$ протекают по шести направлениям трёхмерного пространства, записывают резонанс соударений 6 горизонтальными отрезками прямых (рис.69):

$$\equiv \equiv \equiv - \text{взаимосвязь } m_{cs}. \quad (563)$$

После резонансного столкновения m_{cs} , возникает антирезонанс $E_{\lambda} \omega_0$, который записывается так

$$\equiv \equiv \equiv \equiv \equiv \equiv - \text{взаимосвязь } E_{\lambda} \omega_0. \quad (564)$$




254. Штрих - записи в книге Перемен: резонанс-антирезонанс фотон-фононов в трёхмерном Пространстве

По шести направлениям трёхмерного Пространства фотоны (частицы света) сталкиваются в резонансе как минимум по двое, а фононы (волны света) разлетаются по шести направлениям трёхмерного Пространства по четыре штуки (рис.69).

Фотон-фононный резонансно-антирезонансный переход по шести направлениям трёхмерного пространства происходит без потери собственной энергии фотонов и фононов (табл.201).

Таблица 201

Фотон-фононая взаимная трансформация по шести направлениям трёхмерного Пространства

Поля	Резонанс фотонов		Антирезонанс фотонов		Смешанный режим	
	Запись	Потенциал	Запись	Потенциал	Запись	Потенциал
Форма записи и потенциал		$2 \cdot 6 \cdot m_{\text{с}} c =$ $12 \equiv T_0 \tau$		$4 \cdot 6 \cdot E_{\lambda} \omega_0 =$ $12 \equiv T_0 \tau$		$12 \equiv T_0 \tau.$

Напоминаю, что после трансформации одной формы Энергии в другую, новая форма энергии взаимно перпендикулярна исходной, как например магнитная и электрическая, а прямых углов в трёхмерном Пространстве будет восемь (как у Куба):

$$8(\varphi_0=\pi/2) \equiv 8(\omega_0=\pi/2) = 4\pi \equiv 2\pi(R=2) \equiv \pi(R^2=4). \quad (565)$$

Восемь прямых, совмещённых вершинами, углов формируют трёхмерное Пространство. Больше чем восемь прямых углов своими вершинами в пространстве не совместишь. Поэтому больше чем трёхмерным Пространства в Природе нет.

Исследователь, прикрывающий результат им не осмысленный, введением многомерного Пространства, демонстрирует своё Невежество.

255. Сокровенная Сороковица Сознания и Подсознания

Наша наука захлмила невежеством Приближенный дорогу к Звёздам Познания.

Возьмите число $\pi = 3,141592654\dots$ какой дурак будет считать это число хотя бы до двадцатого знака после запятой? Зачем?

Число π , эквивалентное скорости трансформации энергии окружающей среды светом, равно $315 \equiv \pi \equiv c$.

Выход из тупика Приближений сказываются мгновенно и мы, как и великая Цивилизация, сможем рассчитать потенциал трёхмерного Пространства (565):

$$4 \cdot (\pi = 315) = 1260 \equiv (9+0) \cdot 140, \quad (566)$$

где $140 = 5 \cdot 28$ является, кроме всего прочего, и постоянной Чакр.

Откуда Что берётся?

Поле с потенциал-эквивалентом **Сокровенной Сороковице** пульсирует в Недрах Капли биологического ядерного вещества с частотой 24 кадра в единицу Продолжительности ($1 = \varphi_0/\omega_0 = \pi/2 : \pi/2$), а на поверхности Капли, то есть на уровне Сознания, с частотой 24 кадра (табл.202).

Причём частоты кадров определяются эффективностями взаимодействий в логарифмических волнах (табл.202):

$$\text{и} \quad \left| \begin{array}{l} 24 \equiv \lg(\rho_3^2 = 10^{24}) \equiv \lg \rho_1^{-1} \equiv \lg(\rho_1 \rho_3)^{-1}; \\ 25 \equiv (\lg \rho_3 \rho_4 \rho_1^{-1}) \equiv \omega_0/c \equiv \dots \end{array} \right| \quad (567)$$

Сокровенная Сороковица Сознания и Подсознания

Компоненты	Сороковица	Сознание	Подсознание	Результат в оболочке
Потенциалы	40	24	25	$40 \cdot (25^2 - 24^2) =$ $40 \cdot (25 - 24) = 40 \cdot 49 =$ $14 \cdot 140 \equiv \rho_5 \cdot \mu \cdot \mu \equiv \dots$

Возникает разность (566, табл.202):

$$14 \cdot 140 - 9 \cdot 140 = 5 \cdot 140 \equiv 700 \equiv \rho_5(\Delta J=70). \quad (568)$$

**256. Периодичность бытия и структура
трёхмерного Пространства в эпюре
Круга Универсума Откровений**

Трёхмерное Пространство появляется там и тогда, где и когда импульс волны-частицы света трансформируется в энергию:

Импульсы	Энергия
$m_c c + E_\lambda c = 1+1 = 2$	$m_c c^2 + E_\lambda c^2 = 2 \equiv \pi(r = \sqrt{2})^2$
Трёхмерного Пространства нет, так как нет искривления π	Трёхмерное Пространство есть, так как есть искривления π

(569)

Вне искривления трёхмерного Пространство не существует, но искривления возникают Периодически в момент отсутствия в энергетическом поле квантов волны-частицы света.

Энергия	Импульс
$m_c c^2 + E_\lambda c^2 = 2\pi$	$(m_c + E_\lambda) \cdot (m_c c^2 + E_\lambda c^2) = 4 \equiv T_o$
Трёхмерное Пространство	Трёхмерного Пространства нет

(570)

Наиболее полную картину о формировании импульсов в условиях взаимодействия света даёт эпюра Круга Универсума в **Откровениях** ([6], табл.203).

Таблица 203

**Круг Универсума [6]:
описание импульсов в трёхмерном Пространстве**

$2 \Leftrightarrow 3 \Leftrightarrow 4$	$\rho_5 \cdot (2 \Leftrightarrow 3 \Leftrightarrow 4)$	$\rho_5^2 (2 \Leftrightarrow 3 \Leftrightarrow 4)$	Итог
$2 = m_c c + E_\lambda$	$2\rho_5$	$2\rho_5^2$	
$3 = m_c c + \varepsilon_0 \mu_0 c^2 + E_\lambda c$	$3\rho_5$	$3\rho_5^2$	$4\rho_5^3$
$4 = (m_c c + E_\lambda) \cdot (m_c c^2 + E_\lambda c^2)$	$4\rho_5$	$4\rho_5^2$	

Импульсы пульсируют в искривлённом Пространстве, то есть в самом Круге Универсума и Кругах его областей.

Возникает неравновесная система пульсации:

$$\frac{\text{резонанс}}{\text{антирезонанс}} \equiv \frac{2 \cdot 3 \cdot 4}{2 + 3 + 4} = \frac{8}{3} \Leftrightarrow \frac{3}{8} = \frac{2 + 3 + 4}{2 \cdot 3 \cdot 4} \equiv \frac{\text{антирезонанс}}{\text{резонанс}}. \quad (571)$$

С учётом взаимодействий колебания (571) примут вид:

$$\frac{8}{3} \rho_5 \cdot \rho_5^2 = \frac{8}{3} \cdot 10^3 \Leftrightarrow \frac{3}{8} \cdot 10^3 \equiv \frac{3}{8} \rho_5 \cdot \rho_5^2. \quad (572)$$

**257. Пульсация сгустка в полях пятеричной связи:
великая Пирамида и Пятеричный Лха**

Иисус Христос не первый, кто пытался вразумить наших ветхозаветных в религии и науке и помочь им посмотреть на Единый Космос (Мировое Яйцо) с позиции Реалий, а не собственных парадигм-иллюзий.

Так, например, система колебаний, описанная Кругом Универсумом (572), находясь в среде метagalacticких волн, $H = T_0 \sqrt{\sin \pi/4} = 2^{7/4}$ будет формировать объём великой Пирамиды (V_{Π}):

$$\frac{8}{3} H \cdot 10^3 \equiv \left(\frac{1}{3} a^2 H = V_{\Pi} \right) \cdot 10^3 \Leftrightarrow \frac{1}{V_{\Pi}} \cdot 10^3 \quad (573)$$

$$\text{или} \quad 1 \Leftrightarrow V_{\Pi}^2 \cdot 10^6. \quad (574)$$

Великая Цивилизация предполагала, что столкнувшись с множеством таких больших Пирамид, Ману-Мыслитель задумается о Сущности Космоса. Но по нашей глупости происходит то, что мы имеем.

Великая Цивилизация передала древним грекам потенциал бога Кроноса 14455 в надежде на то, что мы поймём **происхождение пятеричной связи Космоса** (572).

$$\frac{8}{3} \cdot 10^3 \Leftrightarrow \frac{3}{8} \cdot 10^{-3} \quad \text{и} \quad 8^2 - 3^2 = 55 \Leftrightarrow 10^{-6}. \quad (575)$$

Но древние греки увлеклись разгульным образом жизни надуманных богов-олимпийцев и совершенно бесцельными походами Александра Македонского.

Пирамиды пылились. Мысль дремала. Пески засыпали полноводные реки Сахары. Мать-Земля молила о помощи. Помощи не было, ибо **Ману-Мыслитель не понимал законов резонансно-антирезонансной пульсации трёхмерного пространства в Едином Космосе** (574, 575):

$$\frac{\text{резонанс}}{\text{антирезонанс}} \equiv \frac{1 \Leftrightarrow V_{\Pi}^2 \cdot 10^6}{55 \Leftrightarrow 10^{-6}} \equiv \frac{55 \Leftrightarrow 10^{-6}}{1 \Leftrightarrow V_{\Pi}^2 \cdot 10^6} \equiv \frac{\text{антирезонанс}}{\text{резонанс}}$$

$$\boxed{1 \Leftrightarrow V_{\Pi}^4 \cdot 10^{12}} \Leftrightarrow \boxed{10^{-12} \Leftrightarrow 55^2}, \quad (576)$$

$$\text{где} \quad 7 = \frac{1^2 + 2^2 + 3^2 + 4^2 + 5^2 + 6^2 + 7^2 + 8^2 + 9^2 + 10^2}{1 + 2 + 3 + 4 + 5 + 6 + 7 + 8 + 9 + 10} = \frac{385}{55}. \quad (577)$$

258. Свабхават ☉: фотон-фононные взаимодействия, формирующие трёхмерное Пространство

Основам своей **высокой науки** великая Цивилизация учит наш социум **Мифотворчеством и Религиями**.

Этот педагогический приём сохраняем и мы, обучая детей сказками и комиксами.

Наш социум, как и наши дети, реагирует на педагогику по-разному.

Запад выделяет религиозно-мифологический догматизм как Религии; Восток, из полученных сведений формирует мировоззренческую философию и создаёт образ Жизни.

Важнейшей проблемой мировоззренческой философии Востока является вопрос о Пространстве, которое описывается как Свабхават ○ и Свабхават ☉.

Поскольку трёхмерное Пространство формируется светом, то Свабхават ○ - это сферическая поверхностная волна света; точка в окружности – объём фотона с диаметром, эквивалентным $m_c = 1/\pi$; Свабхават ☉ - поле фотон-фононных взаимодействий (табл.204).

Таблица 204

Свабхават [З] как описание фотон-фононных взаимодействий при формировании трёхмерного Пространства

Компоненты сферы	Поверхность. Фонон	Объём. Фотон	Фотон-фононное взаимодействие
Потенциалы	$E_\lambda = Q_0 = D_0$ $\frac{1}{\pi} \equiv \frac{1}{315}$	$V = \frac{1}{6} \pi \cdot D_0^3 =$ $\frac{1}{6\pi^2} = \frac{1}{6 \cdot 315^2}$	$\frac{Q_0}{V} \Leftrightarrow Q_0 V \Leftrightarrow \frac{V}{Q_0}$ $Q_0^2 \Leftrightarrow Q_0^2 V^2 \Leftrightarrow V^2$
Обозначение	Свабхават ○	Точка "●"	Свабхават ☉.

Решение системы неравновесных фотон-фононных колебаний, то есть Свабхават Θ (табл.204) приводит к контуру:

$$Q_0 \Leftrightarrow Q_0 V \Leftrightarrow V \equiv 315 \Leftrightarrow 11 \Leftrightarrow 6 \cdot (315)^2 \equiv 0 \Leftrightarrow -314 \Leftrightarrow 6 \cdot (315)^2$$

$$\text{и далее } 0 \Leftrightarrow 0 \Leftrightarrow 6 \cdot (315)^2 + 314 \equiv 6\pi^2 + (\pi - 1). \quad (578)$$

259. Биочасы трёхмерного Пространства

Формирование фотон-фононами трёхмерного Пространства (табл.204) влечёт за собой появление в этом Пространстве живого в форме Геномов (578):

$$0 \Leftrightarrow 0 \Leftrightarrow 6 \cdot (315)^2 = 105 \cdot 63^2 + (\pi - 1). \quad (579)$$

Появление генома 63^2 снижает скорость трансформации среды светом на единицу $(\pi - 1)$.

Такие процессы **изменения динамики движения полей наша теоретическая физика связывает с принципом неопределённости и решает в Приближениях.**

Великая Цивилизация исключает неопределённость и приближение и говорит точно и прямо:

"5. У Порога Четвёртого Сынам (то есть $m_{\text{с}}$, $\varepsilon_0 \cdot \mu_0 \cdot c^2$ и $E_{\lambda\text{с}}$) указано создать свои Подобия. Одна треть отказывается (это $\varepsilon_0 \cdot \mu_0 \cdot c^2 = 1$, для которой вне трёхмерного Пространства ещё нет среды). Две повинуются (это $m_{\text{с}}$ и $E_{\lambda\text{с}}$).

Иными словами, энергия электромагнитной среды, оставшаяся в искривлённом Пространстве, будет создавать в нём свои Подобия за счёт взаимодействий:

$$(\varepsilon_0 \cdot \mu_0 \cdot c^2 = 1) \cdot (\lg \rho_1 \rho_2 \rho_3 \rho_4 \rho_5 = 2) = 2 \equiv R, \quad (580)$$

а в Четвёртой (то есть в Рупе трёхмерного Пространства) вновь возникнет Свабхават, но уже электромагнитный (табл.205).

Электромагнитный Свабхават Рупы при R=2 (580)

Компоненты	Свабхават О	Точка "•"	Свабхават ⊙
	Поверхность	Объём	Колебания
Потенциалы	$Q = 4\pi R^2 =$ $5040 \equiv 7!$	$V = \frac{1}{6}\pi \cdot D^3 =$ 3360	$\frac{Q}{V} \Leftrightarrow QV \Leftrightarrow \frac{V}{Q}$ $Q \Leftrightarrow QV \Leftrightarrow V$
Биочасы Вселенной	$1 \Leftrightarrow QV - (Q-1) - (V-1) \equiv 13^2 \cdot 10^5 \Leftrightarrow 1.$		

260. Ах-хи: трёхмерное Пространство для Разума

Пережившие клиническую смерть рассказывают о Свете, дотоле невиданном ими при Жизни на Земле.

У самоубийц этот Свет вызывает **Ужас**, у других – **Благость**.

Впечатления у вернувшихся в Жизнь точно соответствуют описаниям в Книге Мёртвых.

Эмоциональность увиденного нами Света - результат нашей земной Жизни, целью которой является познание причинно-следственных связей (Закон Кармы).

Эта цель Человека помогает создателю творить Носителя Разума, **ментальная энергия (Арупа) которого была бы Сама Божественная Кундалини.**

Теогенезис характеризует такого Носителя Разума как Человека Воли и Йоги и связывает Его появление с **полуторами оборотами Колеса Вселенной в Пространстве** ([4], рис.70).

При **изомерии поля** Энергии Единого Космоса преодоление пути в полтора оборота Колеса будут совершать навстречу друг друга два, например, фотона (рис.70).

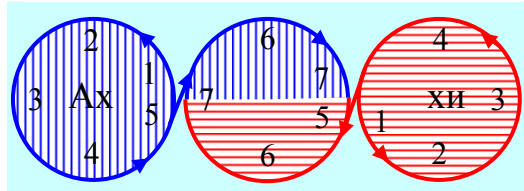


Рис.70 Встречное движение
двух фотонов ($\pm m_c$)

Каждый из фотонов на своём пути пройдёт семь экстремальных точек волны, в которых волна меняет направление своего движения (рис.70).

Возникнет по **Семи Вечностей** [3] и их разность, творящая живые магниты (рис.70):

$$\pm[7 - (-7)] = \pm 14 \equiv \pm \sqrt{\mu\mu^*}, \quad (581)$$

и оболочки для Живых магнитов с потенциалом 49 [22]:

$$7 \cdot (-7) = -49.$$

Чтобы вместить Разум, Возникнет Пространство,
которое Книга Дзиан называет **Ах-хи** (рис.70. [3]. Космогенезис. Станца I).

261. Формирование геномов в полушариях кванта света

Ах-хи формируется в трёхмерном Пространстве с потенциал-эквивалентами поверхностей сфер с диаметром $D_0 \equiv m_c \equiv E_\lambda \equiv 1/\pi$ (рис.71).

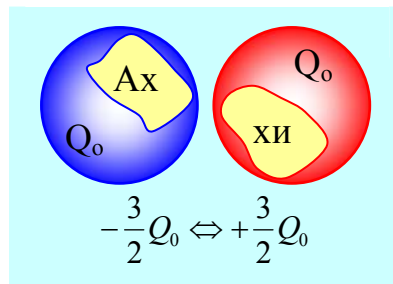


Рис.71 Изомерия света

При $D_0 = 1/\pi$ поверхность сферы Q_0 равна диаметру и полтора оборота цис-транс изомерических волн (рис.70) приведут к формированию левого (**Ах**) и правого (**хи**) полушарий кванта света (рис.71).

Ах-хи связывает пульсация:

Пульсация левого и правого полушарий кванта света	
Цис-изомер (Ах)	Транс-изомер (хи)
$\tau \int_1^0 \varphi d\varphi \cdot Q_0 = -\frac{3}{2} \cdot \frac{1}{\pi} \equiv -\frac{1}{210} \Leftrightarrow +\frac{1}{210} = \frac{3}{2} Q_0 = \tau \int_0^1 \varphi d\varphi.$	

(582)

В условиях инверсии (выворачивания наизнанку) каждое из полушарий **Ах** или **хи** излучает в окружающую среду квант с потенциалом 210:

$$1 \equiv \frac{210}{216} \equiv \frac{1}{210} \Leftrightarrow 210 \equiv \rho_s [5 \Leftrightarrow +7 \Leftrightarrow +(9+0)], \quad (583)$$

достаточным и необходимым для формирования биоткани пульсирующей живой клетки (583).

Под оболочки Ах-хи продолжают поступать само-сущие волны вечной тьмы. Они соударяются, образуя **Свет**. Свет заполняет объём (V_0) под оболочкой полушарий, достигая значения объёма шара с диаметром D_0 :

$$V_0 = \frac{1}{6} \pi \cdot D_0^3 = \frac{1}{6\pi^2} \equiv \frac{1}{105^2 \cdot 63^2 - 314}. \quad (584)$$

В левом и правом полушариях Ах-хи возникают колебания между Поверхностью и объёмом:

$$\pm \frac{3}{2} \cdot \frac{Q_0}{V_0} = \pm \frac{3}{2} \cdot \frac{1}{\pi} \cdot 6\pi^2 = \pm(9+0)\pi \equiv (9+0) \cdot (315) \equiv 45 \cdot 63. \quad (585)$$

В полях Света формируется геном.

262. Переход Воображения в Память и наших душ в Эфир Бордо

В полушариях кванта света (Ах-хи) квант – эквиваленты геномов пульсируют в резонансно-антирезонансном режиме, формируя режим приведённой пульсации:

Приведённая пульсация Ах-хи (585)		
Полушария	Левое (Ах)	Правое (хи)
Резонанс	$\frac{(45 \cdot 63)^2}{2 \cdot 45 \cdot 63} \equiv \frac{1}{2} \cdot 45 \cdot 63 \Leftrightarrow -\frac{1}{2} 45 \cdot 63 \equiv \frac{(-45 \cdot 63)^2}{-2 \cdot 45 \cdot 63}$	
Антирезонанс		
Разность	$\pm \left(\frac{1}{2} 45 \cdot 63 \right) - \left(-\frac{1}{2} 45 \cdot 63 \right) = 45 \cdot 63$	
Сумма	Равна нулю: формирование телепатического канала проводимости.	

(586)

Между Ах-хи возникает разность потенциалов $\pm 45 \cdot 63$, равная самой Ах-хи.

В биологической Жизни Подобием разности потенциалов, **равной Ах-хи**, будет являться Воображение, как результат работы полушарий головного мозга.

В поле между Ах и хи (рис.70), то есть в поле с суммой потенциалов равной нулю (586), возникнет вихрь фотонов:

$$\begin{aligned}
 (\text{Ах-хи}) \cdot \text{Воображение} &= \pm 45 \cdot 63 \cdot (q^* = 16 \cdot 10^{20}) \equiv \\
 &\pm (720 \equiv 5!) \cdot 63 \cdot 10^{20}. \quad (587)
 \end{aligned}$$

В канале с ноль-потенциалом, то есть в канале экстрасенсорной проводимости, возникнет квант-эквивалент изомерической разности (587):

$$\pm 6! \cdot 2 \cdot 63 \cdot 10^{20} = \pm 126 \cdot 6! \cdot 10^{20} \equiv \pm 9 \cdot 6! (14 \cdot 10^{20} \equiv \mu^*). \quad (588)$$

У живого ярким озарение вспыхнут Искры Памяти, а душа усопшего увидит Свечение Эфира Бордо и станет его Частью, той, которой заслужил Жизнью.

263. Переплавка наших душ Космической Мыслью Эфира Бордо

Магнитная Память Бордо сгущается в Космическую Мысль (588):

Эфир Бордо: сгущение магнитной памяти в гравитацию Мысли	(589)
$\pm 9 \cdot 6! \mu^* \equiv \pm 9 \cdot 720 \cdot \mu^* = \pm 9 \cdot 360 \cdot (2\mu^* = \rho^*).$	

Эфир Бордо поглощает наши души, увеличивая свой потенциал:

Переплавка наших душ в Эфире Бордо				(590)
Поля	Эфир Бордо	Душа	Разность квадратов	
Потенциалы	$\pm 9 \cdot 360 \rho^*$	$\pm 360 \rho^*$	$\pm (10^2 - 8^2) \cdot 360 \rho^*$	
Новая форма света	при $\Delta B = 3600 \text{ \AA}$	$\pm \rho_5 \cdot 36^2 \cdot \rho^*.$		

При "переплавке" души в Эфире Бордо (Космической Мысли) появляются два предельных значения (590):

$$\pm (9 - 1 = 10)^2 \quad \text{и} \quad \pm (9 - 1 = 8)^2. \quad (591)$$

В неживом, например, в Периодической Системе Химических Элементов, появление 100 электронов Фермия и 64 электрона Гадолиния, входящие в эмпирическую формулу дефекта масс [17]. Возникает сгусток Тянь во Взаимодействиях. Великая Цивилизация описывает процесс:

"5. Оі-На-Нои есть Тьма, Беспредельность, или же Не Число, Ади-Нидана, Свабхават О (телепатический канал с ноль-потенциалом), (586).

1. Ади-Санат, Число, ибо он Один (потенциал души: $360 \rho^*$).

2. Глас Слова, Свабхават, Числа, ибо он Один и Девять (разности $9 - 1 = 8$ и $9 + 1 = 10$), (591).

3. "Квадрат без формы" [$T_0 = (\sqrt{2} = Sc \pi/4)^4$]. И эти Три, заключённые внутри О, суть Сокровенная Четверица; и Десять суть Арупа Вселенная ($\rho_5 = 10$). Затем идут Сыны, Семь Воителей, Один – восьмой, остался в стороне, и Дыхание его есть Свето-Датель ([3]. Космогенезис. Станца IV).

Появляются лунно-солнечные ряды.

264. Эфир Бордо: распределение фотонов по фазовым состояниям Вселенной

Появление лунно-солнечных рядов означает появление люминофоров во всех известных в Природе фазовых состояниях, причём количество фотонов (10^n) и вакансий (10^{-n}) в них будет увеличиваться в соответствии с системой колебаний:

Изменение фотон-вакансий в люминофорах	(592)
$1 \equiv (10^n \Leftrightarrow 1/10^n) \rightarrow (10^{2n} \Leftrightarrow 1 \Leftrightarrow 10^{-2n}).$	

Концентрация фотонов и вакансий в люминофорах будет увеличиваться до квадрата первоначальной величины, и сопровождаться излучением.

Концентрация фотонов и вакансий в люминофорах будет уменьшаться до корня квадратного от первоначальной величины, и сопровождаться поглощением.

Пользуясь законами излучения-поглощения фотон-вакансий и зная из работ С.И.Вавилова, что предел насыщения фотонов и вакансий в газовой фазе соответствует 10^{20} фотонов, мы можем определить концентрацию фотонов во всех фазовых состояниях люминофоров (табл.206).

Таблица 206

**Распределение фотонов и вакансий
по фазовым составам Вселенной**

Число фаз и их названия	1	2	3	4	5	6
	Эфир Бордо	Свет	Газы	Жид- кость	Твёрдые тела	Жидкая плазма
Число фотон- вакансий	$10^{\pm 5}$	$10^{\pm 10}$	$10^{\pm 20}$	$10^{\pm 40}$	$10^{\pm 80}$	$10^{\pm 160}$
Общая точка	$10^{\pm 5} \cdot 10^{\pm 10} \cdot 10^{\pm 20} \cdot 10^{\pm 40} \cdot 10^{\pm 80} \cdot 10^{\pm 160} = 10^{\pm 315},$ где $315 \equiv \pi \equiv e.$					

В полях логарифмических волн возникает свет.

**265. Энергетика
реинкарнационных Перерождений**

Переплавка наших душ, или **Рождение чувствующего и вне формы [3] в Жизни до Жизни**, происходит в резонансных ядерных процессах, **переходящих в биологической Жизни в процессы с логарифмическими волнами** (табл.207).

Термия ядерно-резонансных переходов нашло своё отражение во всех религиях6 Ад – это экзотермия с потенциалом 10^{+630} , а Рай (Шамбала) – это эндотермия с потенциалом 10^{-630} .

Энергетика реинкарнационных Перерождений

Форма Рождения		В Жизни до Жизни	В биоЖизни
Процессы		Ядерный резонанс	Логарифмические волны
Потенциалы	Относит. единицы	$\left(\frac{10^{315}}{10^{-315}}\right)^{\pm 1} = 10^{\pm 630}$ эндо-экзотермия	$\lg 10^{\pm 630} = \pm 630$ изомерия геномов
	В π единицах	$\left(\frac{10^{\pi}}{10^{-\pi}}\right)^{\pm 1} = 10^{\pm 2\pi}$ термия	$\lg 10^{\pm 2\pi} = \pm 2\pi$ поверхность сферы (точка).

В полях логарифмических волн возникает Периодическая Система Геномов Наследственности, связанная с числом $\pi \equiv c \equiv 315$ (табл.207). Появляется разность потенциалов, равная (табл.207):

$$\pm[630 - (-630)] = \pm 1260 \equiv \pm 4\pi \equiv \pm[2\pi - (2\pi)]. \quad (593)$$

Эту разность с потенциалом 4π великая Цивилизация использует для векторного Счисления в формах Круга (Окружности) с радиусом $R = 2$, в которые вписывает основание великой Пирамиды, а также сферической поверхности кванта Праны с радиусом $i = \sqrt{-1}$ и $Q_i = 4\pi i^2 = -4\pi$.

266. Тринадцати-лунный календарь в Жизни до Жизни

Теогенезис Книги Дзиан связывает Будущее Носителя Разума с двумя факторами: Красной Звездой, к которой ведёт нас Создатель и Полуторами Оборотаи Колеса Вселенной ([4], рис.70).

В поле ядерно-логарифмических взаимодействий постоянная Вселенной по Взаимодействиям, в конечном счете, будет связана со спектром света и отношение красной и жёлтой областей спектра (табл.208).

Красная Звезда взаимодействий

Процессы	Ядерные	Логарифмические	Переход
Потенциалы	$\rho_1\rho_2\rho_3\rho_4\rho_5 = 10^2$	$\lg \rho_1\rho_2\rho_3\rho_4\rho_5 = 2$	$100/2 \Leftrightarrow 2 \cdot 100 \Leftrightarrow 2/100$
Постоянная	$\equiv \frac{1400}{70} \cdot \rho_5 \equiv \frac{\Delta K}{\Delta \mathcal{K}} \cdot \rho_5$		$50 \Leftrightarrow 200 \Leftrightarrow 0,02.$

В логарифмических волнах Красная область спектра будет обладать потенциалом $k = 200$ (табл.208), а в ядерных реакциях потенциалом

$$10^{k=200} = 10^{200}. \quad (594)$$

В тоже время Полтора оборота Колеса Вселенной формируют шесть углов, равных $\pi \equiv 315$ (рис.70).

В логарифмических полях возникнет разность потенциалов, равная

$$6 \cdot (\pi = 315) - (k = 200) = 1690 \equiv 10 \cdot 13^2, \quad (595)$$

а в полях с ядерном резонансом появится потенциал

$$10^{6 \cdot 315} : 10^{(k=200)} = 10^{1690} \equiv 10^{10 \cdot 10^2}. \quad (596)$$

В Жизни до Жизни и в био-Жизни появятся тринадцати-лунные Календари – подобие Календарей цивилизации Майи, где отсчёт Продолжительностям ведут фотоны.

267. Электромагнитная среда: зародыш атома водорода

Любые часы имеют свою "начинку": механическую, электрическую, электронную, ... Эталонем времени являются частоты пульсации элементов, например частота пульсации цезия.

Роль эталона времени огромна, ибо по частоте его пульсации прокладывается и уточняется навигационный маршрут морских и воздушных транспортных средств.

Использование эталона времени гарантирует точность прибытия в пункт назначения: летящий в Шанхай не попадёт в Нью-Йорк.

Однако пилоты звездолётов будущего, наши нынешние космонавты–астронавты, или сегодняшние экипажи НЛО, бороздящие Космос Невесомости, где нет атомов ни водорода, ни цезия, **должны иметь пульсирующий эталон времени в виде электромагнитной среды света.**

Применимость электромагнитной среды света вытекает из отношения числа фотонов в пределах насыщения люминофора (10^{20} фотонов) и 10^{13} фотонов, задействованных в 13-ти лунном отсчёте времени (табл.209).

Таблица 209

Фотоны электромагнитной среды как эталон Времени

Число фотонов \ Поля	Отношение	Среды	
		Магнитная	Электрическая
В люминофоре	$\left(\frac{10^{20}}{10^{13}}\right)^{\pm 1} = 10^{\pm 7}$	$\equiv \frac{\mu_0}{4\pi} \equiv 10^{-7}$	$\frac{\varepsilon_0}{4\pi \cdot c^2} \equiv 10^7.$
В биочасах			

268.Геномы и эфир Бордо

Короткодействие ($\rho_2 \cdot \rho_4 = 10^{13}$) и электромагнитная среда (табл.209) распространяется по всему Космосу. концентрация фотонов в фазах меняется (табл.210).

Максимум соударений будет достигнут когда сумма показателей степеней будет равна эквиваленту 110 Божеств в теле Человека (**Книга Мёртвых**) в Дзиан-среде (табл.210):

$$10^{7/4+7/2+7+14+28+56=110,25} \equiv 10^{110} \cdot 10^{(0,5)^2}, \tag{597}$$

где

$$0,5^2 \equiv -\int_0^1 \varphi \, d\varphi \cdot \int_0^1 \varphi \, d\varphi \tag{598}$$

**Фотон - вакансии в люминофорах
после короткодействия**

Фазы	1	2	3	4	5	6
	Эфир Бордо	Свет	Газы	Жидко- сти	Твёрдая фаза	Жидкая плазма
Фотон- вакансии	$10^{\pm 5}$	$10^{\pm 10}$	$10^{\pm 20}$	$10^{\pm 40}$	$10^{\pm 80}$	$10^{\pm 160}$
После коротко- действия	$10^{7/4}$	$10^{7/2}$	10^7	10^{14}	10^{28}	10^{56}

Эффективность соударения в фазах.

Но великая Цивилизация не только дала 110 Божеств в теле Человека, ни и использовала Единицу Счисления Пальму, а $110,2 : (7/4 = \text{пальма}) = 63$ (геномы).

Великая Цивилизация связала эталон времени для НЛО и периодическую систему геномов:

$$10^{110,25} \equiv 10^{63 \text{ пальм}}. \quad (599)$$

Единство Космоса во всех фазовых состояниях (табл.210) будет обеспечиваться наличием электромагнитной среды, в которой зарождается водород:

$$\varepsilon_0 \cdot \mu_0 \cdot c^2 = 1$$

и $\varepsilon_0 \mu_0 = \frac{1}{c^2} = \frac{1}{\pi^2} = \frac{1}{(315)^2} = 1,008 \cdot 10^{-5} - 0,19 \cdot 10^{-7}, \quad (600)$

где 1,008 – атомный вес водорода с фотоном.

В Едином Космосе электрическая среда будет сжимать магнитную

$$\frac{\varepsilon_0}{\mu_0} \equiv \frac{10^7}{4\pi \cdot c^2 \cdot 4\pi \cdot 10^{-7}} \equiv \frac{10^{14}}{16(315)^4} \approx 6,3 \cdot 10^{-12} \cdot 10^{14} = 630, \quad (601)$$

а сила сжатия будет близка потенциалу геномов.

269. Непрерывность Сознания в Едином Космосе

Подсознание и **Сознание**, пульсируют, вызывая, например, то **Сон**, то **Смерть**.

После **Сна** ментальная **Энергия** души остаётся в теле, после **Смерти** нет.

Если бы после **Смерти** душа оставалась в **Теле**, то **Смерть** была бы **Сном**.

Носителями **Подсознания** и **Сознания** являются фотоны (10^{+n}) и их вакансии (10^{-n}) в люминофорах окружающей среды.

Во Сне люминофором окружающей среды остаётся **серое вещество головного мозга** с концентрацией $10^{\pm 20}$ фотон-вакансий, а **после Смерти** – **Эфир Бордо** с концентрацией 10 ± 5 фотон-вакансий (табл.210).

В магнитных средах **серое вещество головного мозга** будет иметь предел колебаний типа:

$$14 \cdot (10^{20} \Leftrightarrow 10^{-20}), \quad (602)$$

а в **Эфире Бордо** (табл.210):

$$14 \cdot (10^5 \Leftrightarrow 10^{-5}). \quad (603)$$

Между **Сном** и **Смертью** возникнет **Непрерывность Сознания**, о которой, изучая **Агни Йогу**, говорила **Е.И.Рерих**, и которое своим **Вознесением** продемонстрировал нам **Иисус Христос**, управляющий, **как и все Люди Воли и Йоги великой Цивилизации**, **Непрерывностью Сознания** (табл.211).

Связующим звеном в Непрерывности Сознания является Дракон Мудрости [3, 4] – Воображение.

Таблица 211

Непрерывность Сознания в Едином Космосе

Форма полей	Сон			Смерть		
	Подсознание	Среда (382)	Сознание	Сознание	Среда (383)	Подсознание
Колебания	ρ^*	$\rightarrow 14 \times$	$\rightarrow q$	q^*	$\rightarrow 14 \times$	$\rightarrow \rho$
	ρ	$\leftarrow 10^{\pm 20}$	$\leftarrow q^*$	q	$\leftarrow 10^{\pm 5}$	$\leftarrow \rho^*$

270. Фотон-вакансии: связь между сном и Смертью

Непрерывность Сознания в Едином космосе связана с пульсацией гравитационного поля подсознания и электрического поля сознания в магнитных средах сна и Смерти (табл.211).

Для того, чтобы управлять Непрерывностью Сознания надо знать Законы, отличающие Сон от Смерти, начало которым дают отношения потенциалов подсознания, Среды и Сознания (табл.212).

Таблица 212

Фотон-вакансии при переходе от Эфира Бордо к Мозгу

Поля	Подсознание	Магнитная среда	Сознание
Излучение фотонов и вакансий	$\frac{\rho^*}{\rho} = 10^{40}$	$\frac{14(10^{\pm 20} \Leftrightarrow 10^{\mp 20})}{14(10^{\pm 5} \Leftrightarrow 10^{\mp 5})}$	$10^{-40} = \frac{q}{q^*}$
Логарифмические волны	40 Сороковица	$\pm 20 + (\pm 5) \Leftrightarrow (\pm 5) + (\pm 20)$	-40 Сороковица.

В поле Единого Сознания переход между магнитными полями серого вещества головного мозга (Сон) и магнитного Эфира Бордо (Смерть) **изомеричен** (табл.212):

$$25 \div 15 \Leftrightarrow -(25 \div 15), \quad (604)$$

где $\pm(25 = 20+5)$ и $\pm 15 = \pm(20 - 5)$.

Разность квадратов полученных потенциалов (604) даёт

$$25^2 - 15^2 = 400 \equiv \text{Свабхават } \bigcirc. \quad (605)$$

Появляется потенциал приведённых резонансно-антирезонансных колебаний:

$$\frac{25 \cdot 15}{25^2 - 15^2} = \frac{25 \cdot 15}{400} = \frac{18}{16} \Leftrightarrow \frac{16}{18} = -\frac{25^2 - 15^2}{25 \cdot 15}. \quad (606)$$

Возникают небеса Цинь ($16+16 = 32$), а в них бог и богиня Луны из религии Шумеров ([1]) с потенциалами $\pm 30 \equiv \pm(15 - (-15))$.

271. Единое Сознание: небеса Цинь в пульсации Дзиан

В небесах Цинь (книга Перемен) под Луной шумерских богов в магнитных средах эфира Бордо и серого вещества головного мозга возникает бесконечное множество разностей потенциалов, например (606, табл.212).

Поля	Подсознание	Магнитная среда	Сознание
Логарифмические волны	40	$16^2 \Leftrightarrow \pm(15^2)$	-40
	40	$\pm 0 \Leftrightarrow \pm(31 \equiv 16^2 - 15^2)$	-40
	40	$\pm 0 \Leftrightarrow \pm(481 \equiv 16^2 + 15^2)$	-40
Колебания	$120 = 1 \cdot 2 \cdot 3 \cdot 4 \cdot 5 = 5!$	$\pm 0 \Leftrightarrow 31 \Leftrightarrow \pm 481 \Leftrightarrow 0$ $\pi \equiv 315 \Leftrightarrow \pm 166 \Leftrightarrow 0$	$-120 = 1 \cdot 2 \cdot 3 \cdot 4 \cdot 5 = -5!$
Формы полей	Внутреннее поле света	Трансформация светом при $c \equiv \pi$	Внутреннее поле света

(607)

Накопление фотонов в Подсознании (10^{120}) и вакансий в Сознании (10^{-120}) приводит к тому, что в полях логарифмических колебаний возникает **резонанс пяти уровней внутреннего поля света**, потенциал которого равен $5!$ (! - факториал).

Переход к антирезонансу внутреннего поля света уменьшит его потенциал в восемь раз:

Небеса Цинь сознания и Подсознания (607)			(608)
Режим	Расширение света	В магнитной среде	
$\frac{\text{резонанс}}{\text{антирезонанс}}$	$\frac{5! = 1 \cdot 2 \cdot 3 \cdot 4 \cdot 5 = 120}{1 + 2 + 3 + 4 + 5 = 15} \equiv 8 \equiv \frac{c^3}{\omega_0^3}$	$\frac{16^2}{8} \Leftrightarrow 8 \cdot 15^2$ $32 \Leftrightarrow 1800.$	

В небесах Цинь протекает пульсация Дзиан:

$$\rho^5 \left[32 - \left(\int_0^1 \varphi \, d\varphi = 0,5 \right) \right] \equiv \rho^5 \left[32 + \left(\int_1^0 \varphi \, d\varphi = -0,5 \right) \right] \equiv 315 \equiv \pi = c. \quad (609)$$

Формируется $c \equiv \pi$. Начинается трансформация магнитной среды в поля Сна или Смерти Единого Сознания.

272. Энергетика кодирования Судеб Человечества Создателем

Для того, чтобы запрограммировать **Эволюцию Человечества** через наши Судьбы, как это сделано в **Книге Бытия**, необходимо воспользоваться движением электричества через магнитные среды (608):

$16^2 \Leftrightarrow 8^2 \cdot 15^2$	\equiv	$qq^* \Leftrightarrow 64 \cdot (\sqrt{qq^*} + \sqrt{\mu\mu^*}) \cdot \frac{\omega_0}{c}$	(610)
---------------------------------------	----------	--	-------

В этом случае шифр-код текста Библии будет связан с Неравновесием (610):

$$i^4 = 1 \Leftrightarrow \frac{8^2 \cdot 15^{-2}}{16^2} \equiv i^2 \equiv -1 \Leftrightarrow \frac{8}{16} \cdot 15 \equiv 0,0625 \cdot 120. \quad (611)$$

При таком кодировании популяции Ману-Мыслителей, носителям Разума, не страшны никакие Иуды, ибо **караван Эволюции идёт по тропе Семеричности в поле Дзиан:**

Энергетика шифра Ману-Мыслителя в Библии		
Изомерия	Цис	Транс
Колебания во взаимодействиях	$0,0625 \cdot 120 \cdot \rho_5^{1/2} = 7,5 \cdot 10^6$	$-0,0625 \cdot 120 \cdot \rho_5^{1/4} = -7,5 \cdot 10^{-6}$
Дальнодействие	электромагнетизм	гравитация.

(612)

В поле шифр-кода Человеческой Судьбы (612) действует свет, расщепляющийся в электромагнитных взаимодействиях:

Расщепление света		
Электромагнетизм света	Эффект Кирлиан	Зародыш Кундалини в гравитации
$36 \cdot (10^{12} = \rho_5)$	$\equiv 6 \cdot 10^6$	$\Leftrightarrow 1/6 \cdot 10^{-6} \equiv 1,1(6) \cdot 10^{-6}$

(613)

В поле электромагнетизма пока Колесо Вселенной совершит полтора оборота и люди достигнут Теогенезиса в гравитации при резонансе произойдёт поворот на угол 45° .

$$(7,5 \cdot 10^6 - 6 \cdot 10^6 = 1,5 \cdot 10^6) \Leftrightarrow \frac{7,5 \cdot 10^{-6}}{1/6 \cdot 10^{-6}} = 45 \equiv 45^\circ \equiv \pi/4. \quad (614)$$

273. Порочность метода Приближений – основы нашей науки

Единое Сознание – это Тонкая Энергия Единого Космоса, где и сознание и Космос объединены Едиными Законами резонансно-антирезонансной пульсации.

Наша современная наука не учитывает специфику пульсации: термию, изомерию, резонанс–антирезонанс, сжатие-расширение, думая обойтись при их замене Приближениями. Но Приближения родят Невежество профессорско-преподавательского состава и обучаемых ими.

Иллюстрируя Мысль о Невежестве, проведём расчёт резонансно-антирезонансных взаимодействий в гравито-электромагнитных полях Тонкой Энергии (табл.213).

Таблица 213

Колебания Единого Сознания в поле Света

Изомерия	Цис-	Транс-	Колебания
Шифр (592)	$k_1 = 7,5 \cdot 10^6$	$k_2 = -7,5 \cdot 10^6$	$\frac{k_1}{k_1 - k_2} \Leftrightarrow \frac{k_2 - k_4}{k_4}$ $5 \Leftrightarrow 22 \cdot 2$ 22 Буквы Авраама (телепатия): $22 \Leftrightarrow 5/2$ (Кундалини) $11 \equiv (9+2) \Leftrightarrow 5/4.$
Свет (593)	$k_3 = 6 \cdot 10^6$	$k_4 = 1/6 \cdot 10^{-6}$	
Разности	$k_1 - k_2 = 3/2 \cdot 10^6$	$k_2 - k_4 = 22/3 \cdot 10^{-6}$	
Произведения	$k_1 \cdot k_3 = 45 \cdot 10^{12}$	$k_2 \cdot k_4 = 45 \cdot 10^{12}$	
Отношение	$k_1/k_3 = 15/18$	$k_2/k_4 = 45$	

Столкнувшись с многофакторностью результатов Колебаний Тонкой Энергии в поле Света (табл.213) ветхозаветные мужи по подсказке богов выделили телепатию, связав её с 22 буквами Авраама [2].

Действуя методами приближения, ветхозаветные не поняли, что Дзиан-пульсация 22 приводит к $11 \equiv (9+2)$, то есть связана с митозом клетки и размножения делением.

А теперь попробуйте сами решить методом Приближения, например, колебательный контур (табл. 213):

$$\frac{k_1}{k_2} \cdot \frac{k_3}{k_4} \Leftrightarrow k_1 \cdot k_2 \cdot k_3 \cdot k_4 = \frac{k_1 - k_2}{k_3 - k_4} \Leftrightarrow (k_1 - k_2) \cdot (k_3 - k_4) \dots \quad (615)$$

274. Ядро генома и телепатия: к Непорочному Зачатию

Решая неравенство (615) методами Приближений, каждый из нас невольно начнёт фантазировать по-своему, и ментальные разногласия приведут к физическим разборкам.

Так было, так есть, но так не должно быть потому, что **Единый Космос точен и качественно и количественно**. Поэтому неравенство (615) необходимо решать не приблизительно, а точно (табл.214).

Таблица 214

Телепатия и субструктура (9+0): к Непорочному Зачатию

Операции	Отношения	Произведения	Отношения
Антирезонансно-резонансные колебания	$\frac{(k_1 - k_2)}{(k_3 - k_4)} \Leftrightarrow (k_1 - k_2) \cdot (k_3 - k_4) \Leftrightarrow \frac{(k_3 - k_4)}{(k_1 - k_2)}$ $(k_1 - k_2)^2 \Leftrightarrow (k_1 - k_2)^2 \cdot (k_3 - k_4)^2 \Leftrightarrow (k_3 - k_4)^2$ $\frac{9}{4} (10^{12} \equiv \rho_3) \Leftrightarrow \frac{22^2}{4} \Leftrightarrow \frac{22^2}{9} \cdot 10^{-12}$ $\tau^{T_0} \Leftrightarrow 22^2 \cdot (9+0) \cdot 10^{-12} \Leftrightarrow 22^2 \cdot 4 \cdot (10^{-24} \equiv \rho_1)$		
Примечания	Арупа	Зародыш гена в Арупе	Телепатия в поле гравитации.

В поле телепатии на уровне гравитационных взаимодействий (табл.214):

$$22^2 \cdot (9+0) \cdot 10^{-12} \Leftrightarrow 22^2 \cdot 4 \cdot 10^{-24};$$

$$(9+0) \Leftrightarrow 4 \cdot 10^{-12}.$$

(616)

Возникает, как **Непорочное Зачатие**, субструктура материнской биоклетки с потенциалом (9+0), эквиваленту потенциала 9 ядра Периодической Системы Геномов.

Субструктура (9+0) продолжает свои колебания в Арупе (табл.214):

$$9 \Leftrightarrow 22 \cdot (9+0) \cdot 10^{-12}; \quad (9+0) \cdot (10^{12} = \rho_3) \Leftrightarrow 22^2. \quad (617)$$

Возникает телепатия.

275. Схождение Благодатного Огня

С 1539 года от Рождества Христова **в субботу перед Православной Пасхой в Храме Господня а Иерусалиме появляется Благодатный Огонь.**

От Благодатного Огня зажигают свечи. Их развозят по церквям Православного Мира и отмечают Вознесение – Воскрешение Иисуса Христа.

Из свойств Благодатного огня отмечают то, что в течение первых десяти минут он не ожигает и им можно безболезненно умываться.

Появление Благодатного огня имеет только религиозно-мифологическое объяснение: **Христос спустился в Ад и стал творить во благо людям.**

Каких-либо научных объяснений появления Благодатного Огня нет. Поэтому я даю объяснение его появления с позиции Непрерывного Сознания в Едином Космосе, которое сводится к следующему:

Антирезонанс телепатического поля (табл.214) переходит в резонанс и возникает лазерная точка Тонкой Энергии (табл.215).

Лазерная точка Тонкой Энергии наших душ в момент эндотермического Вознесения обладает гравитационным потенциалом $15^2(10^{-24} = \rho_1)$, а затем переплавляется в экзотермии с потенциалом $45^2 \cdot 16^2 \cdot \rho_5^2$ (табл.215).

**Резонансные колебания
лазерной точки Тонкой Энергии**

Операции	Отношение	Произведение	Отношение
Колебания во взаимо- действиях	$\frac{k_4}{k_3} \frac{k_2}{k_1}$	$\Leftrightarrow k_1 \cdot k_2 \cdot k_3 \cdot k_4$	$\Leftrightarrow \frac{k_3}{k_4} \frac{k_1}{k_2}$
	$(k_4 \cdot k_2)^2$	$\Leftrightarrow (k_1 \cdot k_2 \cdot k_3 \cdot k_4)^2$	$\Leftrightarrow (k_3 \cdot k_1)^2$
	$\frac{15^2}{16^2} \cdot 10^{-24}$	$\Leftrightarrow \frac{15^2}{16^2} \cdot 45^2$	$\Leftrightarrow 45^2 \cdot 10^{24}$
	$152 \cdot 10^{-24}$	$\Leftrightarrow 152 \cdot 45^2$	$\Leftrightarrow 45^2 \cdot 162 \cdot 10^{24}$

276. Мультиплетность Благодатного Огня

Благодатный Огонь не только предмет поклонения на конкурсе: "чья Вера лучше", но и физическая реальность Единого Космоса.

Как физическая Реальность Благодатный Огонь имеет энергетическую структуру (табл.216).

Таблица 216

**Энергетическая структура
лазерной точки Благодатного Огня**

Области поля (табл.215)		Гравитационная эндотермия (Рай)		Равновесие во взаимодействиях		Электромагнит- ная экзотермия (Ад)
Взаимосвязь		$15^2 \cdot \rho_1$	\Leftrightarrow	$15^2 \cdot 45^2$	\Leftrightarrow	$45^2 \cdot 16^2 \cdot \rho_3^2$
Диссоциация равновесия		$15^2 \cdot \rho_1$	\Leftrightarrow	$15^{\pm 2} \cdot 45^{\mp 2}$	\Leftrightarrow	$45^2 \cdot 16^2 \cdot \rho_3^2$
Пути Эволюции	1	ρ_1	\Leftrightarrow	$1 \Leftrightarrow 1$	\Leftrightarrow	$16^2 \cdot \rho_3^2$
	2	$\frac{15^2}{45^2} = \frac{1}{9} \cdot \rho_1$	\Leftrightarrow	$1 \Leftrightarrow 1$	\Leftrightarrow	$\left(\frac{45^2}{15^2} = 9\right) 16^2 \cdot \rho_3^2$

После деления лазерной точки Тонкой Энергии, то есть Благодатного огня наших душ после биологической Смерти, перед душой в эфире Бордо открываются два маршрута (дуализм Эволюции), (табл.214):

$$\rho_1 \Leftrightarrow 1 \Leftrightarrow 16^2 \rho_3^2 \Leftrightarrow 9^2 \cdot 16^2 \cdot \rho_3^2 \Leftrightarrow 9 \Leftrightarrow 9 \Leftrightarrow \rho_1. \quad (618)$$

Разность между этими маршрутами подобна Свето-Дателю [3] в солнечно-лунных рядах:

Потенциалы Ряды	Суммы по уровням								
Солнечный	8	7	6	5	4	3	2	1	9-1=8
Лунный	0	1	2	3	4	5	6	7	9-1=8
Свето-Датель	8	8	8	8	8	8	8	8.	

(619)

В полях $16^2 \cdot \rho_3^2 \Leftrightarrow 9^2 \cdot 16^2 \cdot \rho_3^2$ возникают возмущённые среды с интегральной разностью потенциалов:

$$K \equiv 16^2 \rho_3^2 \int_1^9 \varphi d\varphi = 16^2 \rho_3^2 \cdot 0,5 \cdot (81^2 - 1^2) = 8 \cdot 16 \cdot 6560 \rho_3^2. \quad (620)$$

277. Арупа наших душ в Благодатном Огне

Появление резонансной Тонкой Энергии Благодатного Огня с потенциалом К (620) даёт возможность для формирования при антирезонансе сгустка Тянь и двух полусфер Цинь:

Частичный переход Благодатного Огня к антирезонансу		
Благодатный Огонь	Сгусток Тянь + небеса Цинь	Ядро
$K = 8 \cdot 16 \cdot 656 \cdot 10^{25}$	$\equiv (8 \cdot 16 = 128 \equiv 64 + 32 + 32)$	$\times 8 \cdot 41 \cdot 2 \cdot 10^{25}$
Резонанс: Сияние Ли (Книга Перемен)	Антирезонанс: появление живого	Оболочка: $41 + 8 = 49.$

(621)

Структуру **Благодатного Огня** великая Цивилизация подробно описала в **Книге Перемен**, назвав её **Сиянием Ли** (621).

Благодатный Огонь – это электромагнитное облако с ядром (621).

При пульсации облака над ядром, в облаке возникает микро-макро живые - неживые сгустки Тянь, носители двух полусфер небес Цинь (621).

$$\text{Тянь и Цинь пульсируют с частотой } 50 \equiv \lg \frac{\rho_3 \rho_4}{\rho_1}.$$

Пульсация Тянь-Цинь генерирует новые волны энергии:

$$(64 + 32 - (-32) = 128) \cdot 50 = 6400. \quad (622)$$

Вместе с электромагнитным облаком, в котором находится Тянь-Цинь (622) **пульсирует и Ядро Благодатного Огня** (621).

Пульсация Ядра Благодатного Огня протекает в условиях короткодействия, то есть с частотой $13 = \lg \rho_2 \rho_4$:

Пульсация электромагнитного ядра $\times 10^{25}$ (621)			
Ядро	Частота	Результаты	Разность
$16 \cdot 41 = 656$	$\times 13 = \lg \rho_2 \rho_4$	$= 8528$	$\equiv \pm 9997.$
$41^2 - 16^2 = 25 \cdot 57$	$\times 13$	$= 18525$	

(623)

Когда в Ядре появляется Арупа наших душ, то возникает взаимодействие с эффективностью, равной (623):

$$10^{25} \cdot (\pm 9997 \pm m_c c + \epsilon_o \cdot \mu_o \cdot c^2 + E_\lambda c = 3) = 10^{25} \cdot 10^4 = \pm 10^{29}. \quad (624)$$

278. Единство Религиозных Концепций: высокая Наука великой Цивилизации

Все Религии: древне-языческо-мифологические и персонифицированные современные взаимосвязаны высокой Наукой великой Цивилизации.

Так например **Благодатный Огонь Православия и Сияние Ли** Книги Перемен характеризуют одно и тоже электромагнитное облако над лазерной точкой Тонкой Энергии (621).

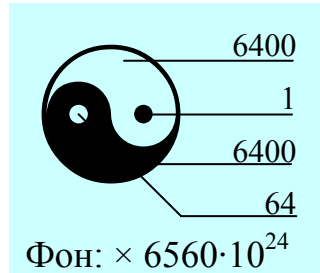


Рис.72 Благодатный
Огонь (Православие)

В электромагнитном облаке над ядром Благодатного огня пульсируют в резонансно-антирезонансном режиме сгустки Тянь и небеса Цинь (622, рис.72):

$$K \equiv \frac{\text{резонанс}}{\text{антирезонанс}} \equiv \frac{6400 \cdot 6400}{6400 + 6400} = 3200 \quad (625)$$

В этих волнах (625) возникают Зародыши, соотносящиеся как потенциалы сжатия и расширения (рис.72):

$$\left[\left(\frac{c}{\omega} \right)^3 = 8 \right] : \left[\left(\frac{\omega_0}{c} \right)^3 = \frac{1}{8} \right] \equiv 64 : 1. \quad (626)$$

Разность этих частей энергии в небесах (626) формирует Периодическую Систему Геномов, то есть $64 - 1 = 63$.

Периодическая Система Геномов, также как и Тянь-Цинь пульсирует не в вакууме, а в энергетическом поле с потенциалом $6560 \cdot (10^{24} = \rho_3^2)$, (рис.72).

Этот энергетический фон описан в Откровениях [6]:
"Трон Христа на Небе (потенциал ядра, равный 6560),
окружен 24 Пресвятыми Престолами" (потенциал $\lg \rho_3^2 = 24$, рис.72).

Трон Христа на Небе – это пульсирующее Ядро Благодатного Огня (623), попав в которое Арупа Вселенная формирует потенциал $\pm 10^{29}$ (624).

В изомерии логарифмических волн возникает 58 Божеств в голове Человека: $\lg 10^{29} - \lg 10^{-29} = 58$.

Появление импульсов волны-частицы света, то есть появление потенциала (29+1) и (-29 – 1 = -30) описаны как бог и богиня Луны в религии Шумеров [1].

279. Трон Христа на Небе: ядро Благодатного Огня

Трон Христа на Небе (Откровения) – это ядро тонко-энергетического Благодатного Огня или Сияния Ли (621).

Потенциал Ядра равен $8 \cdot 41 \cdot 20 = 6560$ (621) и оно взаимодействует с эффективностью, равной $\lg \rho_3^2 = 24$ (Двадцать четыре Пресвятых Престола вокруг Трона Христа на Небе (Откровения).

Ядро пульсирует, формируя потенциал-разность ± 9997 (623).

Из метagalактики к Ядру поступают самосущие волны, сталкивающиеся (соударяющиеся), формируя импульсы волны-частицы света:

Трансформация метagalактических волн в свет			(627)
Процессы в ядре	Метagalактика	Ядро Благодатного Огня	
	$\dots = Sc \pi/4 \cdot Csc \pi/4 = 2$	$2 \equiv m_{cs} + E_{\lambda}$	

"5. У Порога Четвёртого Сынам указано создать свои Подобия. Одна треть отказывается ($\epsilon_0 \cdot \mu_0 \cdot c^2 = 1$). Две трети повинуются: ($m_{cs} + E_\lambda = 1 + 1 = 2$), ([3], Космогенезис. Станца VI).

Импульсы волны и частицы света, попадая в Ядро Благодатного Огня, увеличивают потенциал ядра на две единицы (623, 627):

$$\pm 9997 \pm (m_{cs} + E_\lambda = 2) = \pm 9999. \quad (628)$$

В Ядре Благодатного Огня возникает цис-транс изомерия, обожествлённая в Древнем Египте Изидой (Три), Озирисом (Четыре), Гором (пять) и Тотом (шесть):

$$\begin{array}{r} 3456 \\ -6543 \\ \hline 9999 \end{array} \quad \text{и} \quad \begin{array}{c} 6 \\ 5 \\ 4 \\ 3 \end{array} \quad \begin{array}{c} \text{---} \\ \text{---} \\ \text{---} \\ \text{---} \end{array} \quad \begin{array}{c} 3 \text{ Изида} \\ 4 \text{ Озирис} \\ 5 \text{ Гор} \\ 6 \text{ Тот} \end{array} \quad (629)$$

Волны Благодатного Огня Тонкой Энергии (629) вознесли Жизнь, поправ Смерть.

280. Трон Христа на Небе и 108 реинкарнаций

Человечество по своей Природе Носителя Разума призвана познать Причинно-Следственные Связи Единого Космоса.

Сегодняшний уровень Познания сдерживает методология Познания, которая сводится либо к комбинаторике с Числами – Цифрами, либо к Игре со Словами в свою пользу, **без понимания энергетики процессов.**

Именно с таких убогих мировоззренческих позиций наша цивилизация анализирует, например Кундалини с потенциалом, равным

$$6 = 3,5 + 2,5 = 3,5^2 - 2,5^2, \quad (630)$$

которая была обожествлена в древнем Египте как бог смерти Тот, а Кундалини в кубе, то есть $6^3 = 216$, вошло в **Историю Познания как Число Гермеса Трисмегиста [22]**.

В трёхмерном Пространстве по шести степеням свободы (рис.73) в **Ядре Благодатного Огня** будет появляться приведённый потенциал пульсации, равный 108:

$$\frac{\text{резонанс}}{\text{антирезонанс}} \equiv \frac{6^3 \cdot 6^3}{6^3 - (-6^3)} = 108. \quad (631)$$

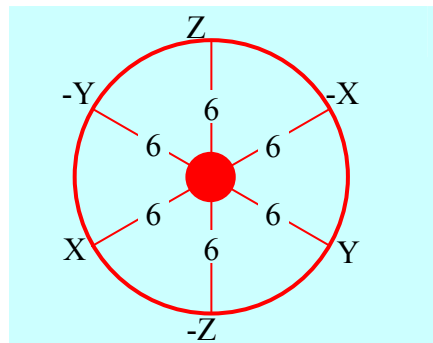


Рис.73 Кундалини в трёх-мерном Пространстве по шести степеням свободы

Великая Цивилизация дала потенциал 108 буддистам, подчеркнув его значимость как 108 реинкарнаций человека.

Благодатный Огонь Православия и реинкарнации по Буддизму описывают поправление Смерти Жизнью, как у Иисуса Христа Вознесением.

281. Через Благодатный Огонь к Красной Звезде Теогенезиса

Процесс реинкарнаций (631) происходит в Недрах цис-транс изомерического ядра Благодатного Огня.

На границах Недр в каждом из полушарий ядра также реализуется резонансно-антирезонансная пульсация (табл.217).

Таблица 217

Пульсация ядра Тонкой Энергии (в том числе мозга)

Полушария ядра	левое	правое	между полушариями (631)
$\frac{\text{резонанс}}{\text{антирезонанс}}$	$\frac{6^3}{3 \cdot 6} = 12$	$-\frac{6^3}{3 \cdot 6} = -12$	$\frac{6^6}{6 \cdot 6} = 108.$

Пульсация **ядра Благодатного Огня** формирует новые Ядра – свои Подобия, например ядро **Периодической Системы Геномов Наследственности** (рис.66).

$$\begin{array}{|c|c|} \hline 6 & 9 \\ \hline 9 & 6 \\ \hline \end{array}, \text{ где } \pm 9 \equiv \pm 108:12 \quad \text{и} \quad \pm 6 \equiv 108:18. \quad (632)$$

Путь к Теогенезису [4] остаётся открытым и геномы Наследственности позволяют **Колесу Арупы Вселенной сделать полтора оборота**, сохраняя при своём движении целостность Кундалини, шумерских богов Луны и Пятёричную связь Единого Космоса (табл.218).

Таблица 218

**Связь Тонко-Энергетических потенциалов
Единого Космоса**

Поля	1,5 оборота Вселенной	Кундалини	Боги Луны	Пятёричный Лха
Потенциалы	$\frac{18}{12} = 1,5$	$18 - 12 = 6$	$\pm(18+12)=\pm 30$	$\frac{6 \cdot 30}{6 + 30} = 5.$

Возникает внутреннее поле спектра света:

$$30 \cdot 6 \cdot 5 = 900 \equiv (\Delta K = 1400 \text{Å}) - (\Delta \Phi = 500 \text{Å}), \quad (633)$$

и Человечество продвигается к Красной Звезде Теогенезиса [4].

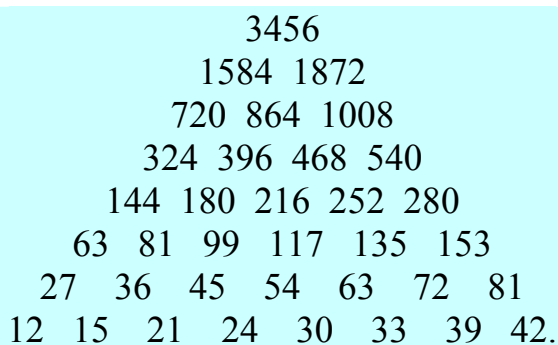
282. Благодатный Огонь: единство Религии, Эзотерики и Науки

Эзотерики, используя комбинацию Чисел, но не понимая сущности энергетических процессов, пытались найти причинно-следственную связь в Едином Космосе.

Е.П.Блаватская, опираясь на фразу из Откровений: **Трон Христа на Небе окружён 24 Пресвятыми Престолами**, рассматривала Числовой Ряд [32]:

$$24 = 10 + 9 + 5. \quad (634)$$

Паскаль раскладывал в треугольник Чисел число 3456, состоящее из обожествлённых цифр 3 – Изида, 4 – Озирис, 5 – Гор и 6 – Тот ([32], рис.74).



3456						
1584			1872			
720		864			1008	
324		396		468		540
144		180		216		252 280
63		81	99	117	135	153
27	36	45	54	63	72	81
12	15	21	24	30	33	39 42.

Рис.74 Треугольник Чисел Паскаля [32]

Однако понять Смысл процесса, играя Словами или Числами, невозможно.

Но если мы знаем, что происходит пульсация между полями и потенциалами, равно эквивалентными пальме (7/4) и Кундалини (7/2) в полях Арупа - Рупа ($T_0\tau = 12$) и воды (табл.218), то мы можем определить неравновесную систему колебаний (табл.219).

Знание физических процессов наполняет Религию, Эзотику и Науку новым Содержанием и объединяет их.

**"42 Божества Сердца"
на 6-ой день пребывания души в Бордо [21]**

Поля	Появление геномов и биоклетки		Книга Мёртвых
Вихри воды (света) в Арупе-Рупе	$12 \cdot \frac{7}{4} \Leftrightarrow 18 \cdot \frac{7}{2}$	$21 \Leftrightarrow 63$ <i>клетка геномы</i>	$18 \cdot 7 : 21 = 6$ <i>Кундалини</i>
	$18 \cdot \frac{7}{4} \Leftrightarrow 12 \cdot \frac{7}{2}$	$18 \cdot 7 \Leftrightarrow 12 \cdot 14$ 6^3 <i>магнетизм</i>	$18 \cdot 7 - 12 \cdot 14 = 42$ <i>Божества Сердца.</i>

**283. Реинкарнация геномов
по тринадцати-лунному календарю**

На шестой день пребывания в Бордо наши души из 42 Божеств Сердца вступают в контакт с эфиром Бордо и в Недрах Благодатного Огня возникает контур колебания (табл.220).

Таблица 220

Пульсация 42 Божеств Сердца в Эфире Бордо

Режим		Резонанс		Антирезонанс
Дни в Бордо	Шестой	$6/42 \Leftrightarrow 6 \cdot 42 \Leftrightarrow 42/6$		$1 \Leftrightarrow 7^2(6^2-1) \Leftrightarrow 0$
	Седьмой	$1/7 \Leftrightarrow 6^2 \cdot 7 \Leftrightarrow 7$		$0 \Leftrightarrow 7^2(35-1) \Leftrightarrow 0$
	49-тый	$1 \Leftrightarrow 6^2 \cdot 7^2 \Leftrightarrow 7^2$		$0 \Leftrightarrow 7^2 \cdot 34 \Leftrightarrow 0$
Примечания		Равновесие	Свет под оболочкой	Оболочка Каналы Ясновидения.

Для того, что бы на 49-тый день пребывания наших душ в Эфире Бордо был бы достигнут потенциал, равный потенциалу Гермеса Трисмегиста, то есть $6^3 = 216$, необходимо излучение 13 относительных единиц света (табл.220):

Число Гермеса Трисмегиста и 13-ти лунный календарь Майи			
Полушария	левое	переход	правое
Пульсация	$1 \Leftrightarrow 6^2 \cdot 7 - 13 = 6^2$	$7 \Leftrightarrow 1$	$13 + 6^2 \cdot 7 \equiv 6^3 \Leftrightarrow 7$
Энергия между полушариями	$7 + 13 = 20$		$1 + 13 = 14$
Гравитация	$20 \cdot 14 = 280.$		

В поле возникает гравитация (635). В гравитации первый период и первая группа геномов (рис.66)

$$0+1+2+3+4+5+6+7 = 28$$

и $280 = 7+15+23+31+39+47+55+63. \quad (636)$

Мы возвращаемся к Жизни, ритм которой определяет 13-ти лунный Календарь (635).

284. Зародыш био-Жизни в Благодатном Огне

Энергетика пульсации ядер не зависит от формы энергии ядра и пульсация всех ядер является Подобием пульсации лазерной точки света.

Ядро Тонкой Энергии Благодатного Огня пульсирует в режиме – Подобию пульсации полушарий, например головного мозга или шаровой молнии.

Динамика пульсации полушарий сгустка, то есть любого сгустка, базируется на пульсации типа (рис.75):

$$6^2 \cdot 7^2 - 13 \Leftrightarrow 6^3 \quad \text{и} \quad 6^3 + 13 \Leftrightarrow 6^2 \cdot 7^2. \quad (637)$$

Источником Энергии служат самосушие волны метagalктики, где в Арупе появляется Зародыш полушарий головного мозга.

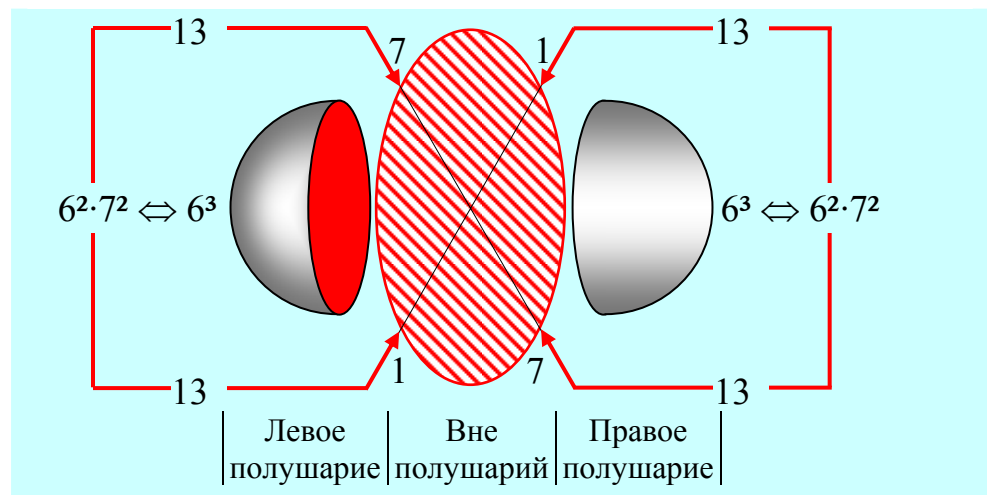


Рис.75 Динамика пульсации полушарий сгустка

Зародыш головного мозга		(638)
Левизна	Правизна	
$13 \cdot (\tau = 3) - \rho_5 = 29$	$-13 \cdot (\tau = 3) - \rho_5 = -29.$	

В сгустке, как в голове Человека, возникает 58 Божеств.

Маятниковый эффект полушарий и наличие в них потенциалов 1 и 7 (636, рис.75) приводит к потенциалам колебаний между полушариями:

Маятниковый эффект		Приведённая пульсация	(639)
1 + 13 = 14	7 + 13 = 20	$\frac{6 \cdot 12 \cdot 14 \cdot 20}{6 + 12 + 14 + 20} = 280$	
13 – 1 = 12	13 – 7 = 6		

Появляется гравитация и зародыш био-Жизни.

285. Подобие энергетических полей в Круге Универсума и Изиды, Озириса, Гора и Тота

Гермес – сын Зевса и Майи [32]. Иисус Христос – сын Бога-Отца и Марии.

Гермес и Христос ставили первичным Красоту Духа.

У Гермеса красота Духа определялась **Чудодейственным Универсальным Аршином Вселенной, нормативным Образцом Всего Сущего – Числом Золотого сечения 1,618...**

Истоки Аршина Духа лежит в периоде вращения Точечного Участка волны Света, дающего начало Рупе и диссоциации точки:

Мультиплетность Рупы	Золотое Сечение
$T_0 \equiv (\sqrt{5} + 1) \cdot (\sqrt{5} + 1) = 4$	$1 : (\sqrt{5} + 1)/2 = (\sqrt{5} - 1)/2 : 1.$

(640)

где Аршином Духа является отношение:

$$\frac{\sqrt{5} + 1}{\sqrt{5} - 1} - 1 \equiv 1,618... \quad (641)$$

Иисус Христос также исходил из мультиплетности точечного участка волны света, дав векторно-математическое описание мультиплетности в Круге Универсуме ([6], табл.221).

Разность между максимумом и потенциалами кругов в Рупе даёт $4 \equiv T_0$:

$$4000 - (T_0 \cdot 999 = 3996) = 4. \quad (642)$$

**Откровения [6]:
потенциалы кругов в Круге Универсума**

Области	Низшая	Средняя	Верхняя
Порядки и их потенциалы	$2+3+4 = 9$	$2+3+4 = 9$	$2+3+4 = 9$
	$20+30+40 = 90$	$20+30+40 = 90$	$20+30+40 = 90$
	$200+300+400=900$	$200+300+400=900$	$200+300+400=900$
Суммы	999	999	999
Максимум	$4000 \equiv 4000\text{\AA} \equiv \lambda$ фиолетовая.		

Отличие потенциалов Гермеса Трисмегиста и в Круге Универсума составляет 9000:

$$[(3456) + (6542) = 9999] - 999 = 9 \cdot 10^3. \quad (643)$$

286. Благодатный Огонь в Арупе-Рупе

Гермес Трисмегист, сын Зевса и Майи, **описывает сходящий Благодатный Огонь в Рупе**, где функционирует как Зародыш электромагнитная среда $\epsilon_0 \cdot \mu_0 \cdot c^2 = 1$.

Иисус Христос, давая нам Круг Универсума (табл.221), **описывает сходящий Благодатный Огонь в Арупе**, где Зародышами являются импульсы волны-частицы света и электромагнитной среды меду ними (табл.222).

И Гермес, и Иисус пытались донести до нас понимание Структуры Три-Единого Пламени Четырёх Фитилей [3, 4], которое Христианство обожествило образно: Бог-Отец, Бог-Сын, Бог-Дух Святой (табл.222).

Структура сходящего Благодатного Огня

Поля	Потенциалы	Зародыш	Сумма
Арупа (Христос [6])	Потенциалы Круга Универсума (табл.222): $\tau \cdot 999 = 2997$	$3 = m_{\epsilon}c + \epsilon_0 \cdot \mu_0 \cdot c^2 + E_{\lambda}$	$3 \cdot 10^3$
Рупа (Трисмегист)	$3456 - (-6543) = 9999$	$\epsilon_0 \cdot \mu_0 \cdot c^2 = 1$	$4 \cdot 10^3$

Между Арупой и Рупой Благодатный Огонь пульсирует в резонансно-антирезонансном режиме, формируя **Семь Вечностей Продолжительности в Ах-хи [3]**, спираль Зодиака и Семь планет в ней, **оболочку для двойной спирали Зодиака** (табл.222).

$$\frac{\text{резонанс}}{\text{антирезонанс}} \equiv \frac{3 \cdot 10^3 \cdot 4 \cdot 10^3}{(3+4) \cdot 10^3} \equiv \frac{12 \cdot 10^3}{7} \Leftrightarrow \frac{7}{12 \cdot 10^3} \equiv \frac{\text{антирезонанс}}{\text{резонанс}}$$

$$\text{и} \quad 12^2 \cdot 10^6 \Leftrightarrow 7^2, \quad (644)$$

где двойная спираль ($12^2 \cdot 10^6$) в оболочке (7^2) проявляет себя, например, как поверхность биоклетки в форме двойной мембранной молекулярной спирали углеводородных соединений.

287. Электромагнитный потенциал двойной оболочки

Формирование Благодатного Огня завершается синтезом электрического поля q^* и q , включающее в себя потенциалы Воображения (q^*) и элементарного электрического заряда (q).

Зарождение Благодатного огня начиналось во тьме самосущих волн, соударение которых привело к взаимодействиям:

$$\frac{Sc \pi/4 \cdot Csc \pi/4}{Sin \pi/4 \cdot Cos \pi/4} = 2 \equiv \lg \rho_1 \rho_2 \rho_3 \rho_4 \rho_5. \quad (645)$$

Рождённым после столкновений волнам (645) пришлось трансформироваться в электрическую энергию через гравитацию и магнетизм (табл.223).

Таблица 223

Стадии формирования Благодатного Огня

Форма Энергии	Самосущие волны (645)	В поле фотон-вакансий		
		гравитация	магнетизм	электричество
Потенциалы	2	$\rho\rho^* = 28$	$\mu\mu^* = 14$	$qq^* = 16$
Приведённая пульсация	$\frac{\text{резонанс}}{\text{антирезонанс}} = \frac{2 \cdot 28 \cdot 14 \cdot 16}{2 + 28 + 14 + 16} = \frac{49 \cdot 16^2}{60} \Leftrightarrow \frac{60}{49 \cdot 16^2} = \frac{\text{антирезонанс}}{\text{резонанс}}$			
Двойная оболочка	$49^2 \Leftrightarrow \frac{\Delta B = 3600}{T_0^4 = 16^2} \equiv 14,0625 \equiv 14 + \frac{1}{16}$ электромагнетизм двойной оболочки.			

В объёме под двойной оболочкой, например в объёме биоклетки, электромагнитное поле цитоплазмы пульсирует в резонансно-антирезонансном режиме (табл.223):

$$49^2 \Leftrightarrow \frac{14 \cdot 1/16}{14 + 1/16} \equiv \frac{0,875}{15,0625} \equiv 0,06(2), \quad (646)$$

$$\text{где} \quad 0,875 \equiv \frac{7}{4} \int_0^1 \varphi d\varphi \equiv \frac{7}{4} \int_1^0 \varphi d\varphi \equiv \frac{\mu}{q} \equiv \frac{\mu^*}{q^*} \equiv \frac{\mu\mu^*}{qq^*}, \quad (647)$$

соответствует половине пальмы, то есть соотношению магнитных компонент к электрическим.

288. Вихри Жизни в Едином Космосе: биочасы Космоса

Сходящий **Благодатный Огонь (Православие)** или **Сияние Ли (Книга Перемен)**, трансформируясь в электрическое поле, формирует неравновесную энергетическую систему (540, табл.224).

Таблица 224

Электрическое поле Благодатного Огня (540)

Поля	Неравновесные вихри субстанции
Воображение, биоток	$\frac{36^2}{q^*} \Leftrightarrow \frac{90}{q^*} \Leftrightarrow \frac{10^{64}}{q}$; $36^2 q \Leftrightarrow 90 q \Leftrightarrow 10^{64} q^*$
Фотоны и вакансии	$36^2 \cdot 16 \cdot 10^{-20} \Leftrightarrow 90 \cdot 16 \cdot 10^{-20} \Leftrightarrow 10^{64} \cdot 16 \cdot 10^{20}$ 144 \Leftrightarrow 1 \Leftrightarrow $10^{104}/90$
Компоненты мультиплетности	$144 \cdot 90 = 36^2 \Leftrightarrow 90 \equiv \rho_5 \cdot (9+0) \Leftrightarrow 10^{104}$ свет субструктура взаимодействие.

В волнах логарифмических колебаний потенциал взаимодействий будет связан с тринадцатилунным Календарём в расширяющейся Вселенной (табл.224).

$$\lg[10^{104} \equiv 10^{8 \cdot 13} \equiv (\rho_4 \rho_2)^8] \equiv 8 \cdot 13 \equiv \frac{c^3}{\omega_0^3} \cdot 13. \quad (648)$$

Эта пульсация (648) является основой биочасов всего Единого Космоса.

Живое, рождаясь в полях логарифмических волн, (табл.224):

$$144 \cdot 90 \Leftrightarrow 90 \Leftrightarrow \lg 10^{104} = 104, \quad (649)$$

обладает магнетизмом и становится Живыми Магнитами, так как (649):

$$144 \cdot 90 \Leftrightarrow \pm 0 \Leftrightarrow 104 - 90 = 14 \equiv \sqrt{\mu \mu^*}. \quad (650)$$

В резонансном поле Арупы-Рупы Живых Магнитов возникает Пятеричная Связь (650):

$$(T_0\tau)^2 = 144 \Leftrightarrow 14/90 = 0,1(5). \quad (651)$$

289. Череда продолжительностей как замена Времени

Движение есть трансформация одной Формы Энергии в другую.

Трансформация протекает в пределах **Продолжительности**.

Бесконечная последовательность Продолжительностей, вызванная тем, что Единый Космос существует в Движении, воспринимается нами как **Время**.

Однако времени, как **физической Субстанции** Единого Космоса, нет.

Говоря о различии скорости течения Времени, А.Эйнштейн спутал **Время** и **Продолжительности**, то есть не учитывал, например скорости ядерных реакций и реакций в логарифмических волнах (табл.225).

Таблица 225

Взаимосвязь скоростей ядерных и логарифмических процессов

Поля	Ядерные	Логарифмические	Пульсация
Потенциалы	$\nu = E/\tau = 10^n$	$\lg \nu = h$	$\frac{a^n}{n} \Leftrightarrow na^n \Leftrightarrow \frac{n}{a^n};$ $a^{2n} \Leftrightarrow n^2 a^{2n} \Leftrightarrow n^2;$ $0 \Leftrightarrow n^2 a^{2n} - a^{2n} - n^2 \Leftrightarrow 0.$
	$\nu = a^n$	$\log_a a^n = n$	
Примечания	E – одна из Форм Энергии τ – Продолжительность трансформации a^n – взаимодействие		

Если я сейчас скажу Вам, что Время в ядерных процессах течёт быстрее, чем в логарифмических, то Вы справедливо поправите: дело не во Времени, а в скоростях реакций.

Ошибочное толкование Времени пронизывает наши Науку и Религии.

Опираясь на Движение как Бытие Космоса, где одна форма Энергии переходит в другую, Религии Востока приняли идею реинкарнации; Религии Запада приняли Догму об одноразовости био-Жизни и бесконечной Жизни после Жизни, но $\tau = \infty$ - нет.

290. Высота великой Пирамиды как Трон Христа на Небе

Наличие **изомерии** требует внесения соответствующих знаков в систему ядерно-логарифмических колебаний (табл.225).

$$\pm a^{2n} \Leftrightarrow n^2 a^{2n} \Leftrightarrow \mp n^2 \quad \text{или} \quad \pm 1 \Leftrightarrow \frac{n^2 a^{2n}}{a^{2n}} \Leftrightarrow \mp \frac{n^2}{a^{2n}}$$

и $\pm 1 \Leftrightarrow a^{2n} \Leftrightarrow \mp 1. \quad (652)$

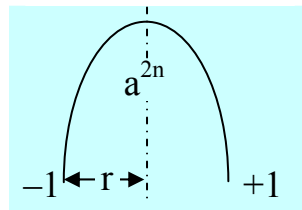


Рис.76 Кольцо с радиусом $r = 1$

Полученная резонансная **неравновесная система колебаний** является **Кольцом с Единицей** (рис.76), в которой экстремальное поле волны определяется как ядерное взаимодействие с потенциалом a^{2n} (652).

Наука великой Цивилизации использовала свойства резонансной экстремальной волны (652, рис.76), применив метод логарифмического счисления по любому основанию:

$$(\log_a a^{2n} \equiv 2n) \equiv (\log_3 3^2 = \log_5 5^2 \equiv \dots \log_n n^2). \quad (653)$$

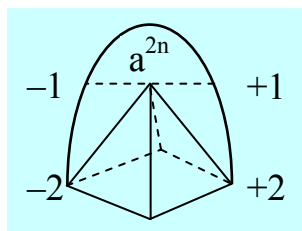


Рис.77 Великая
Пирамида в
волновых полях

Расчёт потенциалов при выходе из Кольца с Единицей (рис.76) великая Цивилизация проводила векторно-математическим способом, например, по пропорциям великой Пирамиды (рис.77).

Энергия Кольца с Единицей (рис.76) будет концентрироваться в вершине Пирамиды, и отношение Энергии в вершине будет равняться

$$K \equiv \frac{\text{вершина}}{\text{объём}} = \frac{a^{2n}}{\frac{1}{3}a^2 H} = \frac{3a^n}{H} \equiv \frac{3 \cdot 8^n}{H} = \frac{24}{H}, \quad (654)$$

где: 24 –эквивалент 24 Пресвятым Престолам;
H – Трон Христа.

291. Единство пропорций великой Пирамиды и диаграммы Тянь-Цинь

Энергия излучается-поглощается **квантами**.

Излучение происходит тогда, когда точка-излучатель (вершина телесного угла) достигает квадрата первоначальной величины.

Например, тогда, когда вершина Пирамиды достигает квадрата её основания, а отношение потенциалов становится равным (рис.78).

Излучение описывается не только пропорциями великой Пирамиды, но и диаграммой Тянь-Цинь:

$$\begin{matrix} 8 \\ \text{☯} \\ 64 \end{matrix} \text{ и } \int_8^{64} \varphi d\varphi \cdot \left(\pm \int_0^1 \varphi d\varphi \right) = \pm 1008. \quad (655)$$

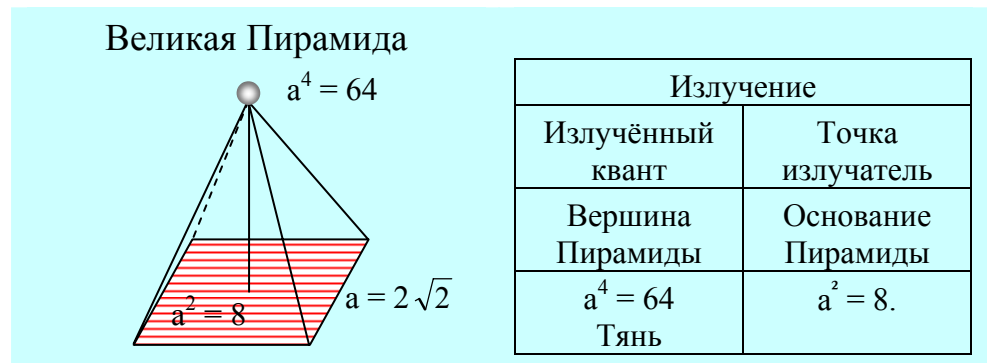


Рис.78 Описание излучения пропорциями великой Пирамиды

Поглощение самосуших метагалактических волн протекает по шести направлениям трёхмерного Пространства в условиях резонансно-антирезонансной пульсации (рис.79).

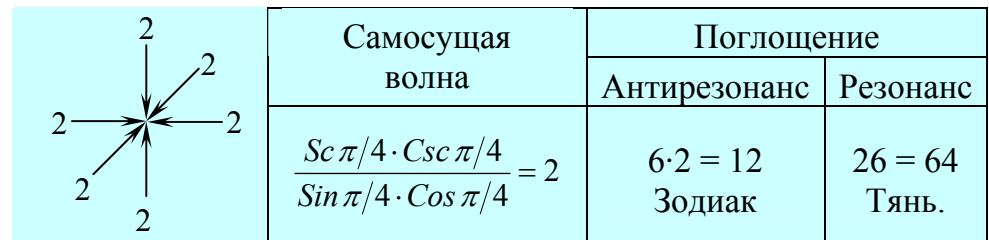


Рис.79 Поглощение самосуших волн

Поглощение самосуших волн связано с освобождением света и диаграммой Тянь-Цинь (рис.79).

$$\begin{array}{c} \text{64} \\ \text{2} \end{array} \text{ и } \int_2^{64} \varphi d\varphi \cdot \left(\pm \int_0^1 \varphi d\varphi \right) = \pm(64^2 - 1). \quad (656)$$

292. Фотоны в эндотермии Космоса Невесомости

В эндотермии Космоса Невесомости импульс света (фотон $m_{\text{с}}c = 1$), **не встречая сопротивления окружающей среды**, летит бесконечно долго.

Звезда, излучившая этот фотон, давно потухла и перестала существовать, а фотон всё летит и летит.

Отличительной особенностью фотона в эндотермии Космоса Невесомости является то, что он **как ядро упакован в Недра Импульса**.

Фотон в Невесомости подобен **космонавту - астронавту** в космическом корабле; **зародышу в ещё не проросшем Семени**; Мысли, ещё не попавшей в Подсознание; Сознанию, не понявшему непреложность Кармы; **Сну, лишённому Сновидений** [3].

В эндотермии Космоса Невесомости фотон-ядро реализует дальнодействующие гравитационные взаимодействия ($\rho_1 = 10^{-24}$) в среде, описанной уравнением Д.И.Менделеева:

$$\frac{pV}{Rt} = \text{Const} = (\rho_1 = 10^{-24}), \quad (657)$$

где p – давление,

V – объём,

t – температура,

R – газовая постоянная среды (табл.226).

Таблица 226

Потенциальная энергия фотона в Невесомости

Параметры	pV	$R = C_p - C_v$	t	Импульс $m_{\text{с}}c=1$
Потенциалы	$\lg \rho_1 = -24$	$5 - 3 = 2$	$-273^\circ\text{C} = -273$	$1 \Leftrightarrow \frac{pV}{Rt} \frac{1}{\rho_1} \equiv \frac{-24 \cdot 10^{24}}{2(-273)}$ $1 \Leftrightarrow 0,044 \cdot 10^{24}.$

Параметры фотона в Невесомости (табл.226) имеют свои Подобия в окружающих нас средах: R – эквивалентно взаимодействиям, $t = -273^{\circ}\text{C} \equiv m_0 \approx e$ – массе относительного покоя, теплоёмкости по давлению $C_p \equiv T_0 + 1$, и по объёму $C_v \equiv T_0 - 1$ и так далее.

293. Эквивалентность основания Пирамиды и Кундалини

Фотон в Космосе Невесомости прерывает свой бесконечный полёт тогда, когда попадает в гравитационное поле масс.

В гравитационных полях микро-макро масс фотон испытывает инверсию, и его волновые поля выворачиваются наизнанку:

Инверсионный переход от Невесомости к Гравитации			
Поля	В Невесомости	В гравитации	Переход
Потенциалы	$\sin \frac{\pi}{4} = \frac{1}{\sqrt{2}}$	$\xrightarrow{K} \sqrt[4]{2} = \sqrt{Sc \frac{\pi}{4}}$	$K = \frac{\sqrt[4]{2}}{1/\sqrt{2}} = 2^{3/4}$

(658)

Попав в гравитацию, масса относительного покоя меняет характер своего равномерного движения на равномерно-ускоренное, в котором появляются ускорение свободного падения (g) и высота (h) падения:

$$c^2 = 2gh \quad \text{и} \quad 2 = \frac{c^2}{gh}, \quad \text{при} \quad \left(2 = \frac{c^2}{gh}\right)^{\frac{3}{4} \equiv \frac{\tau}{T_0}}. \quad (659)$$

В атмосфере над свободно падающей массой появляются Арупа ($\tau = 3$) и Рупа ($T_0 = 4$).

Свободно падающие массы поглощаются сгустком, или энергия из Космоса Невесомости сгущается в поле гравитации (657).

При поглощении энергии, протекающем в режиме свободного падения, сгущается не вся энергия - эквивалент точечному участку волны света (табл.227).

Таблица 227

Распределение энергии при сгущении Небесных Тел

Поля	Точка волны	Сгустки	Остались от сгущения	Результат
Потенциалы	$T_0 \equiv \frac{c^2}{\omega_0^2} = 4$	$2 \cdot 2^{\tau/T_0} = \frac{3}{4}$	$2 \cdot 2^{1/4} =$	$Hh =$
	4	$2^{7/4} \equiv H$	$2^{5/4} \equiv h$	$2^3 = a^2.$

В логарифмических волнах возникает Кундалини :

$$\log_2 \left(a^2 = 8 \equiv 2^{\frac{7}{4}} \cdot 2^{\frac{5}{4}} \right) \equiv \left(\frac{7}{2} + \frac{5}{2} \right) \cdot \left(\pm \int_0^1 \varphi d\varphi = \pm \frac{1}{2} \right). \quad (660)$$

294. Тьма, Свет и гравитация. Сотворение Вселенных

Сгущение и мультиплетность (расширение) взаимосвязаны и могут быть описаны, например диаграммой Тянь-Цинь (рис.80).

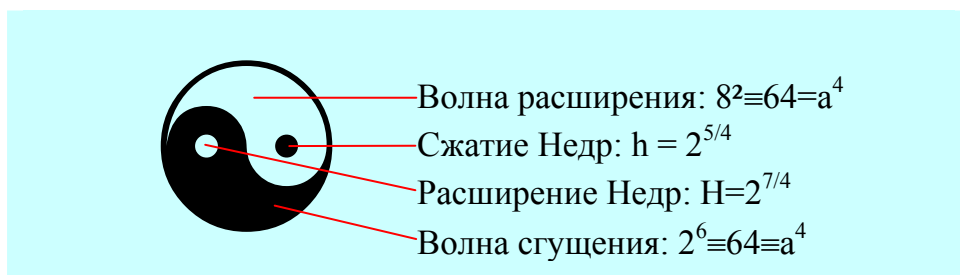


Рис.80 Описание синтеза-мультиплетности Единого Космоса диаграммой Тянь-Цинь

Диаграмма Тянь-Цинь в случае описания синтеза-мультиплетности (рис.80) связана с пропорциями великой Пирамиды: потенциалы волн сгущения-расширения равны потенциалу вершины великой Пирамиды (рис.80), а **потенциал Зародыша Расширения равен высоте (Н) Пирамиды.**

Напомню, что разговор идёт о самосуших волнах, **попавших в поле гравитации, где Свет вышел из Недр и начал Сотворение Мира.**

При Сотворении Мира Зародыш света $H = 2^{7/4}$ проходит волну сжатия 2^6 , а затем волна сжатия проходит Благодатный **Огонь расширения** ($8^2 = 64$) и в его недрах возникает ядро сжатия $h = 2^{5/4}$ (рис.80).

В поле гравитации Тьма и Свет меняются местами за счёт формирования колебательного контура:

$$\frac{\text{Волна Тьмы}}{\text{Зародыш Света}} \equiv \frac{\left(T_0 \frac{\omega_0}{c} = 2\right)^6}{H = 2^{7/4}} \Leftrightarrow \frac{\left(T_0 \frac{c}{\omega_0} = 8\right)^2}{\left(T_0 \frac{\omega_0}{c} = 2\right)^6} \Leftrightarrow$$

$$\frac{h = 2^{5/4}}{\left(T_0 \frac{c}{\omega_0} = 8\right)^2} \equiv \frac{\text{Зародыш Тьмы}}{\text{Волна Света}}$$

$$\frac{\text{Тьма}}{\text{Свет}} \equiv \frac{2^6 \cdot 2^6 \cdot 2^{5/4}}{2^{7/4} \cdot 8^2 \cdot 8^2} = 2^{-\frac{1}{2}} \Leftrightarrow 2^{\frac{1}{2}} \equiv \frac{\text{Свет}}{\text{Тьма}}. \quad (661)$$

Возникает Дзиан, равновесие и взаимодействия:

$$1/2 \Leftrightarrow 1 \Leftrightarrow 2 = \lg \rho_1 \rho_2 \rho_3 \rho_4 \rho_5. \quad (662)$$

295. Подобия шифра Книги Бытия и двигателя НЛО

При Сотворении Вселенных колебания между **волнами** Света и Тьмы проходят без затраты их собственной Энергии (рис.80).

Поле	Свет	Тьма
Потенциал	$(T_0 \cdot c / \omega_0 = 8)^2 = 64 \Leftrightarrow 64 = (T_0 \cdot \omega_0 / c = 2)^6$.	

(663)

Используя квантованность, то есть отсутствие затраты энергии при переходе между светом и тьмой, великая Цивилизация строит свои космические корабли, которые мы воспринимаем как НЛО.

При движении в Пространстве двигатель НЛО использует не "**керосин**", а метагалактические волны

$$\sqrt{Sc \frac{\pi}{4}} = \dots$$

Энергетической основой двигателя НЛО является "**война за Пространство**" [3], которая возникает между **Зародышами Света и Тьмы**, где

	Зародыш Света	Зародыш Тьмы
Потенциалы	$H = 2^{7/4}$	$2^{5/4} = h$
Постоянные	$k_1 = 1/k_2 = 2^{-1/2} = \sin \pi/4 \cdot k_2 = Sc \pi/4$.	

(664)

Конструирование двигателя, топливом для которого будут являться волны $\sqrt{Sc \pi/4} \equiv \sqrt{Csc \pi/4} = \sqrt[4]{2}$, должно быть связано с процессами их поглощения углами основания великой Пирамиды в условиях цис и транс изомерии (рис.81).

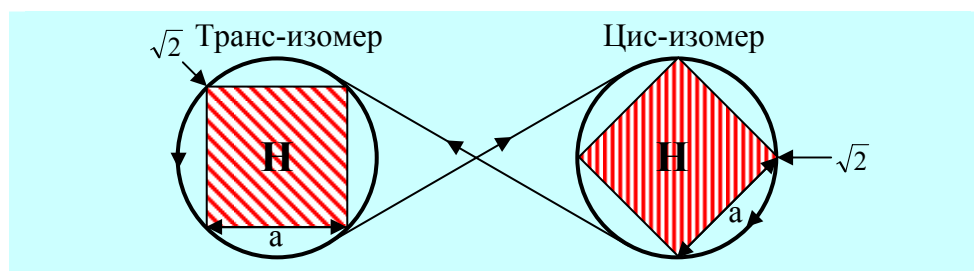


Рис.81 Основание великой Пирамиды: к расчёту двигателя НЛО

В этом случае линейная тяга за T_0^2 будет соотноситься к энергии высоты Пирамиды и силы тяги $F \equiv T_0^2$:

$$F = \frac{T_0^2(4a)}{H^2} = \frac{16 \cdot 4 \cdot 2\sqrt{2}}{2^{7/2}} = 16 \equiv T_0^2. \quad (665)$$

Такой двигатель великая Цивилизация заложила не только в НЛО, но и шифр Книги Бытия.

296. Пульсация и структура Благодатного Огня

Старость – это увядание организма при расцвете душевных сил.

Такой старости сами себя лишают люди, **молодость которых проходит в расцвете организма при увядании душевных сил.**

Душевым надрывам способствует служение **Кумирам во Власти** от Этноса, Политики, Религии или каким-либо ещё формированиям, расщепляющегося на части социума.

Наша Жизнь принадлежит **Благодатному Огню Мысли Космоса**, но мы должны не просто молиться на Него, но **знать Его Энергетику.**

Энергетика Всевышнего Благодатного Огня связана с **"Корнем, который остаётся; Светом, который остаётся; Сгустком, который остаётся и Единством Оеао-ноо"** [3].

Анализ Единства Оеаоноо можно начать со сгустка ядра в Благодатном Огне, имеющем точки излучения и поглощения, а также Систему Колебания между ними (рис.78, табл.228).

Таблица 228

Структура и пульсация Благодатного Огня

Точки	Колебания	Импульс всего поля	Ядро	Атмосфера над ядром
Поглощение (656)	$\frac{12}{64} \Leftrightarrow 82 \cdot 64 \Leftrightarrow \frac{64}{12}$	или $3^2 \Leftrightarrow 32 \cdot 8^4 \Leftrightarrow 2^2 \cdot 8^2$		
		Импульс в Арупе		
Излучение (655)	$\frac{64}{8} \Leftrightarrow 8 \cdot 64 \Leftrightarrow \frac{8}{64}$	или $1 \Leftrightarrow 8^4 \Leftrightarrow 8^2$		
		Одиночный импульс		
Суммы		10	$10 \cdot 8^4$	$5 \cdot 8^2$
Разности		8	$8 \cdot 8^4$	$3 \cdot 8^2$

Импульс Движения Благодатного Огня имеет сумму потенциалов, эквивалентную $\rho_5 = 10$, а разность - эквивалентную расширению света $(c/\omega_0 = 2)^3 = 8$ (табл.228).

Движение Благодатного Огня порождает 100 электронов фермия и 64 электрона гадолиния.

$$10^2 - 8^2 = 36. \quad (666)$$

Возникает Периодическая Система Химических Элементов и Свет (644) – возникает ядро Благодатного Огня (табл.228).

297. Продолжительность импульса Благодатного Огня

Благодатный Огонь Космической Мысли Создателя не может нарушать Законов Единого Космоса.

Благодатный Огонь живет Сам и Создает Эволюции Живого по законам Трёх Вторых или за полтора оборота Колеса Вселенной, указанных в Теогенезисе [4]:

$$\frac{3}{2} \equiv \frac{m_c(c + \omega_0)}{E_\lambda c} \equiv \frac{c + \omega_0}{c} = \frac{3\omega_0}{2\omega_0} = 1,5, \quad (667)$$

где: $E_\lambda = 1$ – импульс движения Благодатного Огня в окружающем Пространстве при излучении (табл.228);

$m_c c$ – импульс ядра;

$m_c \omega_0$ – импульс в атмосфере внутреннего поля над Ядром.

Изменение энергетической плотности среды при сгущении метagalактических волн Космоса Невесомости будет изменять потенциалы импульсов как ряды последовательных целых чисел, ибо любое соседнее состояние определяется колебаниями $n \pm 1$.

Пределами этих изменений будут проявления короткодействующих взаимодействий $\rho_4 \cdot \rho_2 = 10^{13}$ и $\lg \rho_4 \cdot \rho_2 = 13$.

В поле логарифмических колебаний возникнут тринадцати кратные гравитационные и магнитные ряды, творящие Жизнь Субструктуры (9+0):

$$(9+0) \equiv \frac{1^2 + 2^2 + 3^2 + 4^2 + 5^2 + 6^2 + 7^2 + 8^2 + 9^2 + 10^2 + 11^2 + 12^2 + 13^2}{1 + 2 + 3 + 4 + 5 + 6 + 7 + 8 + 9 + 10 + 11 + 12 + 13} = \frac{819}{91}. \quad (668)$$

Эволюция, связанная с отношением магнитного **ряда** чисел в квадрате и **гравитационного ряда** чисел (668) согласована с тринадцатую лунной продолжительностью, и Сотворение новых Форм Энергии происходит во множестве на каждой стадии перехода.

298. Ядро и Тянь-Цинь Благодатного Огня

Одиночный импульс **Благодатного Огня** излучается в Космос Невесомости (657, табл.228) и создаёт среду в форме микро-макро солнечно-лунных энергетических рядов (табл.229).

Таблица 229

Формирование ядра и атмосферы в поле Благодатного Огня

Ряды	Сумма	Встречные потоки								Режим
Солнечный	36	1	2	3	4	5	6	7	8	Резонанс: $\sqrt{8^8} = \pm 8^4$ ядро
Лунный	28	7	6	5	4	3	2	1	0	
Суммы	64	8	8	8	8	8	8	8	8	Антирезонанс: $8 \cdot 8 = 8^2$ Тянь-сгусток.

Излучая по 13-ти лунному Календарю Майи Благодатный Огонь раз в год на Православную Пасху:

$$13 \cdot 28 = 364 = 364 \text{ дня,} \quad (669)$$

заканчивает формирование своей структуры и появляется в Иерусалиме в Храме у **Гроба Господня. Это знают все.** Но Благодатный Огонь появляется во множестве точек Пространства. Этого не знают, во-первых, потому, что счёт ведут по 12-ти месячному Календарю, а во-вторых, не передают значения: **появился какой-то болотный огонь. Мало ли их.** То ли дело у Гроба Господня, проникнутого мифологической романтикой.

Появившийся **Благодатный Огонь** пульсирует (табл.229).

В режиме антирезонанса в Благодатном Огне появляется цис-транс изомерическая атмосфера, в которую входит \pm Тянь с парами разнонаправленных Цинь (табл.229):

$$(8^2 = 8 \cdot 8) - \text{это Цинь} \quad \text{и} \quad (36 + 28 = 64) - \text{это Тянь.} \quad (670)$$

В режиме резонанса в Благодатном Огне формируется цис-транс изомерическое ядро с потенциалом ± 84 (табл.229).

299. Арупа-Рупа в среде спирали Зодиака

Попадая в поле гравитации над микро-макро массами, холодный квант Вечной Тьмы выворачивается наизнанку (инверсия).

Ядро точечного кванта, то есть Свет, попадая в окружающую среду, продолжает пульсировать, **образуя Арупу ($\tau^2 \cdot 8^4$) и Рупу ($T_0 \cdot 8^2$) Единого Космоса** (табл.228):

Формирование Арупы	Формирование Рупы
$8^4 \rightarrow 32 \cdot 8^4$	$8^2 \rightarrow 22 \cdot 8^2$
Ядерное вещество	Тянь-Цинь над ядром.

(671)

Пульсацию в Арупе ($\tau = \pm 1$) **Откровения** описывают эпюрой Круга Универсума; а пульсацию в Рупе **Строители Пирамид** описывали сторонами 3, 4 и 5 Священного Треугольника.

Возникнут колебания (671):

$$\frac{3^2 + 2^2 = 13}{3^2 - 2^2 = -5} \quad \text{и} \quad \frac{13}{-5} \Leftrightarrow -5 \cdot 13 \Leftrightarrow \frac{-5}{13}, \quad (672)$$

определяющие колебания Пятнадцатого Лха в 13-ти лунной пульсации (672):

$$13^2 \Leftrightarrow 5^2 \cdot 13^2 \Leftrightarrow 5^2. \quad 0 \Leftrightarrow 5^2 \cdot 13^2 - 13^2 - 5^2 \Leftrightarrow 0,$$

или спираль в 12,8 π , при $\pi = 315$:

$$0 \Leftrightarrow 4031 \Leftrightarrow 0 \quad \text{или} \quad 0 \Leftrightarrow 12,8 \pi - 1 \Leftrightarrow 0, \quad (673)$$

где $12,8 (\pi = 315) = 4032$.

В Едином Космосе при зарождении Арупы-Рупы возникает резонансно-антирезонансная Спираль Зодиака (673):

$$1 \Leftrightarrow 12,8 \pi \Leftrightarrow 0, \quad (674)$$

где $0,8 \cdot (\pi = 315) = 252 \equiv 4 \cdot 63$ – геномы и высота сжатой Спирали. Поэтому астрологи и великая Цивилизация правы, связывая Знаки Зодиака и Судьбы.

300. Структура Ядра Благодатного Огня: реинкарнация

Пульсация **Ядра Благодатного Огня** приводит к появлению Света в поле Арупы (табл.228):

$$(10 \cdot 8^4)^2 - (8 \cdot 8^4)^2 = (100 - 64 = 36) \cdot 8^8, \quad (675)$$

где 36 – разность длин волн белого света ($\Delta B = 3600 \text{Å}$).

Свет в **Ядре Благодатного Огня** связан с Продолжительностью $(T_o \cdot \tau = 12)^2$ существования фотон-вакансий в люминофоре Арупы (эфире Бордо, табл.224):

$$8^8 \cdot (36^2 \equiv 144 \cdot 90 \Leftrightarrow 90 \Leftrightarrow 10^{104}), \quad (676)$$

где 10^{104} – фотоны, а 10^{-104} – вакансии.

При инверсии кванта Тьмы фотоны излучаются и в люминофоре эфира Бордо остаются вакансии (676):

$$8^8 \cdot (144 \cdot 90 \cdot 10^{-104} \Leftrightarrow 90 \cdot 10^{-104} \Leftrightarrow 1 \equiv \tau_o = \varphi_o / \omega_o), \quad (677)$$

где 8^8 – расширяющаяся Вселенная.

Начинается новое рождение в Жизнь из Жизни до Жизни, связанное с заполнением новыми фотонами старых вакансий (677).

Заполнение вакансий в люминофоре эфира Бордо новыми фотонами происходит за счёт вращения ($\omega_o = \pi/2$) – поляризации ($\varphi_o = \pi/2$) точечного участка волны света, определяющих **Единицу Продолжительности** ($\tau_o = 1$):

Единица Продолжительности	$\tau_o = \varphi_o / \omega_o = 1 \Leftrightarrow -1 = -\varphi_o / \omega_o = -\tau_o.$
------------------------------	---

(678)

Заполнение вакансий в люминофоре эфира Бордо будет протекать за счёт волн метagalактики, и энергия из Недр ядра будет вытесняться к поверхности ядра (677):

Поверхности	Ядра	Недр Ядра	К Чёрным дырам
Реинкар- нации	$8^8 \times (144 \cdot 9 \cdot 10^{-103} \Leftrightarrow 9 \cdot 10^{-103} \Leftrightarrow 1)$		
	$8^8 \times (144 \cdot 9 \cdot 10^{-108} \Leftrightarrow 9 \cdot 10^{-108} \Leftrightarrow 10^7).$		

(679)

Для проведения 108 реинкарнаций всегда требуются ядерные взаимодействия $10^7 \equiv \sqrt{\rho^4}$ - источник электромагнитных сред.

301. АЙН СОФ не бог, а взаимодействия.

"Корень остаётся" [3].

По окончании трансформации одной формы энергии в другую, **в том числе в виде реинкарнаций**, колебания самосущих волн вечной тьмы метagalактики остаются (табл.230).

Таблица 230

Синтез-мультиплетность метagalактических волн

Взаимо- дейст- вия	Мультиплетность		Синтез	
	Max	Min	Max	Min
	$\sin \frac{\pi}{4} = \frac{1}{\sqrt{2}} \Leftrightarrow \frac{1}{2} = \left(\frac{\sin \frac{\pi}{4}}{\sin \frac{\pi}{4}} \right)^2 \Leftrightarrow 2 = \left(\frac{\sin \frac{\pi}{4}}{\sin \frac{\pi}{4}} \right)^2 \Leftrightarrow \sqrt{2} = \sin \frac{\pi}{4}.$			

Синтез-мультиплетность самосущих волн описываются пропорциями великой Пирамиды (рис.5, табл.18) и связаны с постоянными взаимодействий **ядерных реакций и логарифмических процессов**.

Отношение потенциалов взаимодействий и есть **вездесущий Бог АЙН СОФ** одураченных Каббалой [2]:

$$\text{АЙН СОФ} \equiv \frac{\rho_1 \rho_2 \rho_3 \rho_4 \rho_5}{\lg \rho_1 \rho_2 \rho_3 \rho_4 \rho_5} \equiv \frac{100}{2} = 50 \quad (680)$$

Цис-транс изомерия энергетического поля АЙН СОФ приводит к колебаниям на **уровне Подсознания полушария головного мозга, то есть с частотой 25 кадров в единицу Продолжительности** $\tau_0 = 1$:

Подсознание: изомерия АЙН СОФ
$[50 = 25 - (-25)] \cdot (\tau_0 = \varphi_0 : \omega_0 = \pi/2 : \pi/2 = 1)$
$50 \omega_0 \equiv 25 \varphi_0 - (25 \varphi_0).$

(681)

В люминофоре живого-неживого возникает взаимно перпендикулярная поляризация, вызванная вращением точечного участка волны света.

302. Бог Ра и Чакра Третий Глаз

"Свет остаётся" [3].

Взаимодействуя между собой в условиях поляризации точечного участка волны света в люминофоре, само-сущие волны формируют сначала **импульс**, а затем **энергию** волны-частицы света.

Таблица 231

Боги Древнего Египта и импульс-энергия света

Боги	Ба	Ка	Ра	
Компоненты	$E_\lambda = 1/\pi$	$m_c = 1/\pi$	$E_\lambda + m_c = 2/\pi$	$E_\lambda \cdot m_c = 1/\pi^2$
Импульсы	$E_\lambda c = 1$	$m_c c = 1$	$(E_\lambda + m_c)c = 2$	$E_\lambda \cdot m_c \cdot c = 1/\pi$
Энергия	$E_\lambda c^2 = \pi$	$m_c c^2 = \pi$	$(E_\lambda + m_c)c^2 = 2\pi$	$E_\lambda m_c c^2 = 4$

Бог Солнца Ра Древнего Египта и Его духовные и материальные двойники Ба и Ка были даны для описания неравновесной системы трансформации импульсов света в энергию света.

$$\dots \Leftrightarrow \frac{m_c c}{m_c c^2} = \frac{1}{\pi} \equiv m_c \equiv E_\lambda \Leftrightarrow c \equiv \pi \equiv \frac{E_\lambda c^2}{E_\lambda c} \Leftrightarrow \dots \quad (682)$$

В лазерной точке (Бог Ра) резонансно-антирезонансная пульсация:

$$\frac{(E_\lambda + m_c)c^2}{E_\lambda m_c c^2} = \frac{2\pi}{1} \Leftrightarrow \frac{1}{2\pi} = \frac{E_\lambda m_c c^2}{(E_\lambda + m_c)c^2}, \quad (683)$$

может быть описан колебаниями типа $4\pi \Leftrightarrow 1/\pi$, где 4π - эквивалент круга-окружности с радиусом 2, в которые вписано основание великой Пирамиды.

Сгущение света в лазерную точку ядерного вещества будет протекать во взаимодействиях:

$$(4\pi^2 \Leftrightarrow 1) \cdot \left(\frac{\rho_1 \rho_2 \rho_3 \rho_4 \rho_5}{\lg \rho_1 \rho_2 \rho_3 \rho_4 \rho_5} = 50 \Leftrightarrow \frac{1}{50} \equiv \frac{\lg \rho_1 \rho_2 \rho_3 \rho_4 \rho_5}{\rho_1 \rho_2 \rho_3 \rho_4 \rho_5} \right) =$$

$$\left(4 \Leftrightarrow \frac{1}{\pi^2} \right) \cdot (50^2 \Leftrightarrow 1) \equiv 10^4 \Leftrightarrow \frac{1}{\pi^2} \equiv m_c E_\lambda. \quad (684)$$

В чакре Третий Глаз возникает индуктивность 10^4 Гн и биоток силой 10^{-4} А .

303. Сингулярность тепла наших душ

"Сгусток остаётся" [3].

Уравнение Д.И. Менделеева для идеальных газов:

$$pV = Rt, \text{ при } R = pV/t = C_p - C_v = 5 \text{ кал} - 3 \text{ кал} = 2 \text{ кал}, \quad (685)$$

где p , V и t – соответственно давление, объём и температура идеальных газов и их теплоёмкости по давлению C_p и объёму C_v , говорят о связи универсальной газовой постоянной R с логарифмической постоянной взаимодействий:

$$2 = \lg \rho_1 \rho_2 \rho_3 \rho_4 \rho_5 \equiv pV/t \equiv C_p - C_v = R = 2 \text{ кал}. \quad (686)$$

Тепло в одну калорию возникает как формирующий потенциал объёма сферы с радиусом $r = 1$.

Наша наука это тепло считает в **Приближениях** при $\pi = 3,14159\dots$ Великая Цивилизация считает точно при $\pi = 315$ и получает 42 Божества твоего Сердца:

Расчёт 1кал в объёме сферы с $r^3 \equiv 1$		
Кто считает	Наша наука	Великая Цивилизация
Величины	$1\text{кал} = \frac{4}{3}\pi = 4,1868 \text{ дж}$	$1\text{кал} = \frac{T_0}{\tau}(\pi = 315) = 420.$

(687)

В сгустках Единого Космоса термия связана с колебаниями точечных участков волн света по амплитуде $T_0 \pm 1$ и длине волны $T_0^2 \pm 1$ (табл.232).

Таблица 232

Сингулярность термии

Форма поля	Сингулярное поле	Вне сингулярности
Излучатель	$C_p = T_0 + 1 \equiv 5 \equiv 5\text{кал}$	$C_v = T_0 - 1 \equiv 3 \equiv 3\text{кал}$
Излучение	$T_0^2 + 1$	$T_0^2 - 1 = 15$
Потенциалы	$\text{Свабхават } \bigcirc \equiv \frac{17+15+5+3}{(17-15)-(5-3)} = \frac{40}{0} = \infty$	$\text{Свабхават } \odot \equiv \frac{17+15+5+3}{(17-15)+(5-3)} = \frac{40}{4} = 10 \equiv \rho_5.$

Сингулярное поле сгустка излучает тепло и наши души, образуя бесконечность Космоса Невесомости в холоде.

304. Изомерия полушарий сгустка Тянь

"5. Oi-На-Ноу есть Тьма, Беспредельность, или же Не-Число, Ади-Нидана, Свабхават О ([3]. Космогенезис. Станца IV)

Станца IV п.5 [3] описывает среду вокруг микро-макро Чёрной Дыры, которая поглощается Чёрной Дырой квантами – эквивалентами Дзиан (табл.)

Расширение Вселенной		
Процессы	Поглощение цис-изомера	Поглощение транс-изомера
Изомерия Дзиан	$\text{Свабхават } \bigcirc \cdot \omega_0 =$ $\int_0^{40} \varphi d\varphi \cdot \int_0^1 \varphi d\varphi =$ $+800$	$\text{Свабхават } \bigcirc \cdot (-\omega_0) =$ $\int_0^{40} \varphi d\varphi \cdot \int_1^0 \varphi d\varphi =$ $+800$
Цинь	$800T_0 = 3200$	$-800T_0 = -3200$
Тянь	± 6400	$\mp 0.$

(688)

Цис-транс изомерическое поглощение энергии Цинь сгустком Тянь формирует биполярную структуру сгустка Тянь. **Биполярность** сгустка Тянь продолжается в изомерии полушарий сгустка, как например, **в полушариях головного мозга или полушариях Земли:**

Оі-На-Нои есть Тьма, Беспредельность: $40/0=\infty$				
Полушария Тянь в Цинь	Цис-Цинь (Оі)	Сгусток Тянь (Нои)		Транс-Цинь (На)
		левое	правое	
Потенциалы	$+3200$	$\leftrightarrow -3200$	$\leftrightarrow +3200$	$\leftrightarrow -3200.$

(689)

Беспредельность ($40/0 = \infty$), связанная с поглощением есть Тьма, где Оі и На энергия небес Цинь, а Нои – энергия полушарий сгустка. В этом поле $40:0 = \infty$ - Не-Число, а Космос Невесомости – Ади-Нидана.

305. Энергетические потоки в полушариях Монады

"1. Ади-Санат Число, ибо он Один"
([3]. Космогенезис. Станца IV, п.5)

Символизм Слова – Числа **Один** описывает **равно-
весные состояния**, важнейшими из которых являются по-
ля взаимодействий в динамике движения **Дзиан**
(табл.233).

Таблица 233

Важнейшие Равновесия в Едином Космосе

Процессы	Ядерные	Дзиан в среде	Логарифмические
Потенциалы	$\rho_1\rho_2^3\rho_3\rho_4\rho_5$ $=10^{27-29} = 1$	$\pm \left(\int_0^1 \varphi d\varphi - \int_1^0 \varphi d\varphi \right) =$ ± 1	$\pm \lg \rho_1\rho_2\rho_3\rho_4\rho_5 \cdot \int_0^1 \varphi d\varphi =$ $\pm 1.$

Конкретика этих энергетических равновесий
имеет **бесконечное множество энергетических форм**
Движения по шести направлениям трёхмерного Про-
странства.

Работая в **Приближениях**, наша наука выделяет
Равновесие как "точку опоры", но в каждом равновесном
энергетическом поле есть компоненты, как например, в
Монаде Пифагора [2]:

Теория Чисел Пифагора: Ади-Санат, Число		
чётные	$0+2+4+6+8 = 20$	$\frac{\Delta K}{\Delta Ж} = \frac{140-0}{70} = 20$
нечётные	$9+7+5+3+1 = 25$	Пентаграмма
суммы	$9+9+9+9+9 = 45$	$45 = 20+25.$

(690)

Эти два встречных чётно-нечётных энергетических потока в **Недрах Монады** приводят к отношению, эквивалентному отношению разностей красной и фиолетовой длин волн в спектре света, связанных пентаграммой **Пятеричной связи**:

$$\frac{25+20}{25-20} = \frac{45}{5} = 9 \quad \text{и} \quad 25^2 - 20^2 = 15^2. \quad (691)$$

Книга Дзиан описывает это поле как **Пентаграмму в Яйце после Пяти Продвижений Фохата** ([3]. Космогенезис. Станца V, п.5).

306. Энергетическая структура Монады: мозг

"2. Глас Слова, Свабхават, Числа, ибо он Один и Девять" ([3]. Станца IV, п.5)

Поле с потенциалом 1 и 9 образует, например, **Каплю Ядра** с Девятью энергетическими уровнями:

$$1+2+3+4+5+6+7+8+9 = 45. \quad (692)$$

Разность $9 - 1 = 8$ является **Свето-Дателем** в Солнечно-лунных рядах:

Свето-Датель в солнечно-лунных рядах											
Ряды	Солнечный	1	2	3	4	5	6	7	8	=36	(693)
	Лунный	+	+	+	+	+	+	+	+	=28	
Свето-Датель		8	8	8	8	8	8	8	8	=64	

В солнечно-лунных рядах возникает Свабхават ☉, основой которых является Сокровенная Четверица:

Изомерия Свабхават ☉			(694)
Изомерия	Цис-	Транс-	
Потенциалы	$\text{Свабхават } \odot = \int_1^9 \varphi d\varphi = +40$	$-\text{Свабхават } \odot = \int_9^1 \varphi d\varphi = -40.$	

Свабхават ☉ возникает в левом и правом полушариях **Капли ядерного Вещества**, обладающих электромагнетизмом, волны которого являются **Носителями колебаний Звука (Глас Слова)**.

Таблица 234

Электромагнетизм Монады, например мозга

Структура Монады	Левое полушарие	Область перехода	Правое полушарие
Потенциалы	$(25 - 20) \int_0^9 \varphi d\varphi = 200$	$(25^2 - 20^2) \cdot 80 = 18000$	$(25 + 20) \int_9^1 \varphi d\varphi = 1800$
Примечание	$16 \equiv \sqrt{qq^*}; 14 \equiv \sqrt{\mu\mu^*}; 25^2 - 20^2 = 15^2 \equiv [(16+14) \cdot 1/2]^2.$		

В Недрах Монады возникает Воображение (q^*) и биоток (q), Память (μ^*) и магнетизм.

307. Воображение: эпюра квадрата без формы

"3. Квадрат без Формы"

([3]. Космогенезис. Станца IV, п.5)

Все мы верующие. Одни **верят**, что Бог есть. Другие **верят**, что Бога нет. Верить мало. Носителю Разума надо **знать**.

Знание о Боге, как о Космической Мысли, **невозможны без понимания Сущности энергетического перехода между Энергией Материи и Тонкой Энергии**, каждая из которых имеет в свою очередь бесконечную множественность собственных Форм.

Скорость трансформации энергетических Форм Материи равна $c \equiv \pi$, а Тонкой Энергии $i \equiv \sqrt{-1}$:

Свет: взаимосвязь Материи и Тонкой Энергии		
Материя	Тонкая Энергия	Появление света
$c = \pi \equiv 315$	$c_i = i = \sqrt{-1}.$ $1 = i^4 \Leftrightarrow i^2 = -1$	$\frac{c}{c_i} \Leftrightarrow c \cdot c_i \Leftrightarrow \frac{c_i}{c} \equiv \frac{i}{\pi} \equiv i^{-3} m_c$

(695)

В полях Материи и Тонкой Энергии возникает частица (волна) света с потенциалом $i^{-3} \cdot m_c \equiv i^{-3} \cdot E_\lambda$, логарифмические волны которых приводят к изначальному **Триединству** (695), а затем к $T_o = 4$:

$$i^{-3}(E_\lambda = 1/\pi) \Leftrightarrow \log_i i^{-3} + \log_\pi \pi^{-1} = -3 - 1 \equiv -4 \equiv -T_o. \quad (696)$$

Возникает возмущённая среда $-3 \equiv (m_c c + \varepsilon_o \mu_o c^2 + E_\lambda c)$, а затем колебания Свабхават \odot (табл.232):

Колебания Рупы в Арупе	
Тонкая Энергия	Энергия Материи
$\frac{\text{Свабхават } \odot}{\text{ноль}} = \frac{40}{0}$	$\frac{-4}{40} = \frac{-3-1=-4}{\text{Свабхават } \odot}.$

(697)

В процессе колебаний Рупы Свабхават \odot в Арупе Тонких Энергий света возникает электрическое поле заряд – воображение ($40^2 \equiv 1600 \equiv \rho_5^2 \sqrt{qq^*}$) и среда с потенциалом $4 \cdot 0$, названная **квадратом без формы**.

308. Из смерти к вечной Жизни

"3. Квадрат без Формы"

([3]. Космогенезис. Станца IV, п.5)

Квадрат без Формы является векторным описанием неравновесной системы колебаний **Арупы в Рупе** (697):

$$4 \cdot 0 \Leftrightarrow 40^2 \equiv \rho_5^2 \sqrt{qq^*}, \quad (698)$$

где ноль-потенциал является потенциалом экстрасенсорной проводимости, канал которой расположен по высоте (H) великой Пирамиды, а потенциал четыре описывает четыре вершины углов квадрата основания Пирамиды (рис.82).

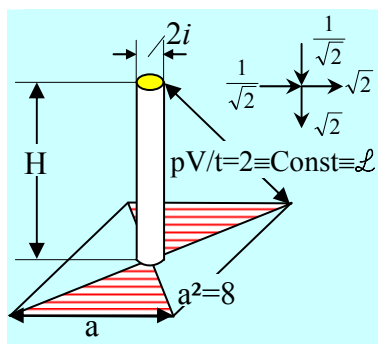


Рис.82 К поглощению Тонкой Энергии объёмом великой Пирамиды

Структура элементов Пирамиды уже была описана в зависимости от поступления метагалактических волн с потенциалом $\sqrt{2}$ (рис.5, табл.18).

Вместе с тем отметим, что в каждом углу квадрата, вписанного в окружность с радиусом $r = \sqrt{2}$ происходит периодическая пульсация Дзиан – взаимодействия (табл.235).

Таблица 235

От полей Тонких Энергий к Геномам Наследственности

Поля ([4]. Теогенезис. Станца III)	Дзиан в метагалактике (первый)	Взаимодействия: $2 = \lg \rho_1 \rho_2 \rho_3 \rho_4 \rho_5$ (последний)	Возникновение периодической системы геномов
Потенциалы	$\left(\frac{1}{\sqrt{2}} + \frac{1}{\sqrt{2}} \right) =$ $\sqrt{2} \equiv \frac{1}{2} a$	$\left(\frac{1}{\sqrt{2}} + \frac{1}{\sqrt{2}} \right) T_0 \cdot 2$ $= 4a \equiv \mathcal{L} \equiv 8\sqrt{2}$	$\int_{\sqrt{2}}^{8\sqrt{2}} \varphi d\varphi = 63.$

"Свет пришёл из тьмы. Всё пришло из ничего. Из Смерти пришла вечная Жизнь. Дело сделано" ([4]. Теогенезис. Станца VII, п.6).

309. Арифметика Семи Смен Эволюции

"...и, всё же, *Осаоһоо* Един"
([3]. Станца III, п.5)

Половина стороны основания великой Пирамиды, а также периметр основания и ребро Пирамиды описывают поля, энергетика которых выходит за граничные потенциалы 2 и 8 пульсирующей Вселенной (табл.236).

Таблица 236

Излучение Вселенных

Поля	За гранью сжатия	Вселенная		За гранью расширения
		сжатие	расширение	
Потенциалы	$1/\sqrt{2} \Leftrightarrow \sqrt{2}$	$2=T_0\omega_0/c$	$8=c^3/\omega_0^3$	$8\sqrt{2} \Leftrightarrow 16$
Элементы Пирамиды (табл.14)	Радиус $r = \sqrt{2}$	Радиус $R = 2$	Площадь основания и апофема	$8\sqrt{2}$ - ребро \mathcal{L} и периметр 4а (табл.235)
Излучение Вселенной	$\frac{(8\sqrt{2})^2 - \sqrt{2}^2}{8^2 - 2^2} = \frac{126}{60} = 2,1.$			

Микро-макро Вселенные Единого Космоса излучают полярные вихри (табл.236):

$$2,1 \equiv (5 = +7 = +9 = 21) \cdot \rho_2 \quad \text{и} \quad 2,1 - (-2,1) = 4,2. \quad (699)$$

Полярные вихри являются носителями зародышей биоклетки и 42 Божеств наших сердец (699).

Излучение Живого Вселенными микро-макро миров описано индуизмом и христианством как непорочное зачатие белым слоном и голубем, но по существу описывалась Эволюция: сначала Камень, Металл, затем растения – животные, и Человек ([3]. Станца VII, п.8).

Эволюция протекала с помощью Космических излучений и протекала в Семи Вечностях или Семи Сменах [3]:

Лунный ряд	1	2	3	4	5	6	7	Арифметика
<i>Oeaohoo</i> [3]	<i>O</i>	<i>e</i>	<i>a</i>	<i>o</i>	<i>h</i>	<i>o</i>	<i>o</i>	Алгебра.

(700)

310. Алгебра и тригонометрия Семи Смен лунного поля

Арифметику, алгебру (700) и тригонометрию энергетического ряда лунного поля гравитации великая Цивилизация описала в Космогенезисе Книги Дзиан [3].

"4. То было Воинство Гласа (электромагнитные колебания) Божественной Материи Семерых (Луна, как источник гравитационных излучений: $1+2+3+4+5+6+7 = 28 \equiv \sqrt{\rho\rho^*}$). Искры Семерых подвластны и слуги Первому, Второму, Третьему, Четвёртому, Пятому, Шестому и Седьмому из Семи (700). Они именуются Сферами, Треугольниками, Кубами, Линиями и Формовщиками, ибо так держится Вечная Нидана - Оі-На-Нои (Станца IV, рис.83).

Тригонометрия кванта света в изомерии его пульсации описывает полусферы Оі и На, а также результат их взаимодействия, то есть сферу Нои, с радиусом $R = 2$, где пульсация происходит в резонансно-антирезонансном режиме (табл.237).

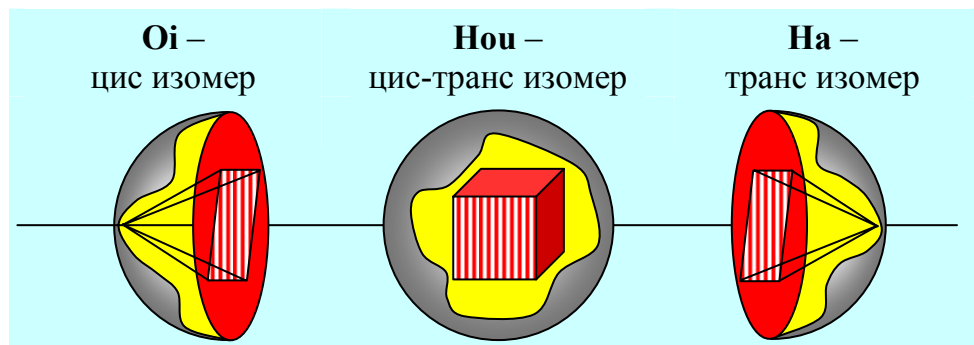


Рис.83 Квант света в изомерии (Вечная Нидана **Oi-Ha-Hou**)

Таблица 237

Пульсация Oi-Ha-Hou

Резонанс	Антирезонанс
$Oi + Ha = Hou$	$Oi \times Ha \equiv Hou$
$4\pi R^2 \omega_0 - 4\pi R^2 (-\omega_0) = 16\pi^2$	$4\pi R^2 \omega_0 \times 4\pi R^2 (-\omega_0) = -64\pi^2$

Попадая в лазерную точку света (ядерное вещество):

$$m_c E_\lambda \cdot 16\pi^2 = 16 \quad \text{и} \quad m_c E_\lambda \cdot 64\pi^2 = 64, \quad (701)$$

трёхмерное искривлённое Пространство сферы "выпрямляется".

311. Энергия-импульс: сущность войны за Пространство

Выпрямление светом Пространство в Капле Ядра (701) приводит к исчезновению числа $\pi \equiv c$ в поле **Oi-Ha-Hou** (рис.83).

Вместо энергии волны ($E_\lambda c^2 = \pi$) - частицы ($m_c c^2 = \pi$) света возникают импульсы – **Линии**.

Энергетика "выпрямления" Пространства				
Свет	Энергия	Свет	Импульс	Результат
Фотон	$m_c c^2 = \pi \times E_\lambda = 1/\pi = m_c c = 1$			Выпрямляется
Фонон	$E_\lambda c^2 = \pi \times m_c = 1/\pi = E_\lambda c = 1$			Выпрямляется
Среда	$\varepsilon_0 \cdot \mu_0 \cdot c^2 = 1 \times m_c = 1/\pi = \varepsilon_0 \cdot \mu_0 \cdot c^2 \cdot 1/\pi$			Искривляется.

(702)

В любой **Капле ядерного Вещества** при переходе **энергии** фотон-фонона в **импульс** их траектория становится прямолинейной. Например, в момент перехода электрона с орбиты на орбиту или в момент запуска ракет на околоземную орбиту.

Попадание **импульса электромагнитной среды** в **Капле Ядерного Вещества** трансформирует траекторию прямолинейно летящего импульса на искривлённое электромагнитное поле (702).

"5. У Порога Четвёртой Сынам указано создать свои Подобия. Одна треть отказывается. Две повинуются. Проклятье произнесено: они будут рождены в Четвёртой (Рупа), страдать и причинять страдания. Первая война зародилась" ([3]. Космогенезис. Станца VI, п.5).

В этой "войне" Ману-Мыслитель воспринимает энергетическое поле как **искривлённое Пространство** (например, А.Эйнштейн), а поле **импульсов** как **Линии** (например, Эвклид).

Поскольку Ману-Мыслитель не понимает самой сути **"войны за Пространство"**, он стремится либо отнять его у соседей (Моисей), либо сделать многомерным (Теория физического вакуума).

312. Формирование Вселенной: встречные волны света

Появление прямолинейно летящих импульсов великая Цивилизация описывает **Треугольниками, Кубами, Линиями** [3], где Линия – основа любого векторно-тригонометрического построения.

Волновая Природа Единого Космоса не исчезает и не появляется вновь. Поэтому вектор-Линия характеризует такие параметры волны, как её длина ($\lambda \equiv m_c s \equiv E_\lambda = 1$) и амплитуда Дзиан: $E_\lambda m_c s \omega_0 = 1/\pi \cdot \pi^2/2 = 1/2$ (рис.84).

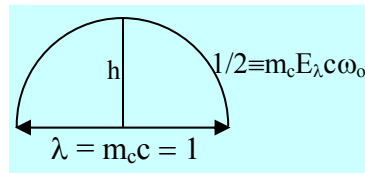


Рис.84 Длина волны (импульса) и амплитуда Дзиан (волны света)

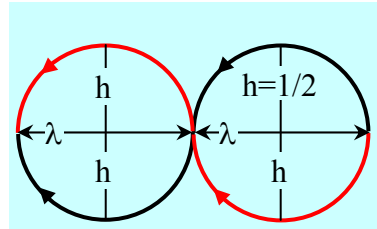
При равенстве амплитуды (h) половине длины волны (рис.84) их природа остаётся различной.

Линию-эквивалент длине волны (λ) формирует равномерно прямолинейно летящий импульс частицы света, а амплитуду h – пульсация волны света, при которой возникают центробежно-центростремительные ускорения (рис.84):

$$\begin{aligned} \text{Дзиан} \equiv \pm m_c E_\lambda \cdot s \omega_0 &\equiv \pm m_c E_\lambda \cdot (j_0 = \pi^2/2 = c^2/R) = \\ &\pm \int_0^1 \varphi d\varphi \equiv \pm 1/2. \end{aligned} \quad (703)$$

Волна света возмущает окружающую среду, создавая в ней то Хаос, то Гармонию, из которых Эволюция Созидает Формы Космогенезиса, Антропогенезиса, Теогенезиса [3, 4].

Созидание Вселенной происходит в условиях изомерии, то есть в условиях встречного движения двух импульсов света на четырёх первых уровнях лунного ряда, которые Наука великой Цивилизации назвала **Формовщиками** (рис.85).



Четыре амплитуды формовщиков (рис.85) приводят к взаимодействиям

$$4(h = 1/2) = 2 \equiv \lg \rho_1 \rho_2 \rho_3 \rho_4 \rho_5.$$

Рис.85 Формовщики:
встречные волны света

313. Взаимосвязь импульсов Вселенной

Великая Цивилизация использовало Двойку как радиус окружности, в которую вписала основание Пирамиды, удваивая площади последующих квадратов, строя их на диагоналях предыдущих

Великая Пирамида описывала импульсы в поле Вселенной Оі-На-Ноу (рис.83).

Треугольником в Оі-На-Ноу была площадь грани Пирамиды, равная по величине ребру \mathcal{L} Пирамиды:

$$\mathcal{L} \equiv \left(\frac{1}{2} \ell \cdot a = \frac{1}{2} 8 \cdot 2\sqrt{2} \equiv 8\sqrt{2} \right) \equiv 8\sqrt{2}, \quad (704)$$

где:

ℓ - апофема,

a – сторона основания великой Пирамиды (рис.4, табл.14).

В изомерии Оі-На-Ноу Пирамид будет две, а граней восемь, что в 8 раз увеличивает поверхность Треугольников.

$$8\mathcal{L} \equiv 8 \cdot 8\sqrt{2} = 64\sqrt{2}. \quad (705)$$

При описании Вселенной **гранью Куба** будет являться **квадратом без Формы** – эквивалент площади основания великой Пирамиды.

У Куба шесть граней и его поверхность будет равна $6a = 6 \cdot 8 = 48$, а объём $a^3 = 16\sqrt{2} \equiv 2\mathcal{L}$ – составит величину двух рёбер (\mathcal{L}) Пирамиды (табл.238).

Таблица 238

Взаимосвязь импульсов Вселенной (рис.82)

Компоненты	Треугольник		Куб	
Потенциалы	Поверхность	Объём	Поверхность	Объём
	$8\mathcal{L} = 64\sqrt{2}$	$2V = \frac{1}{3} \cdot 16H$	$6a = 48$	$a^3 = 16\sqrt{2}$
Отношения	$K_1=8\mathcal{L}/2V = 12 \cdot 2^{-3/4} \equiv 3 \cdot 2^{3/4}$		$K_2 = 6a/a^3 \equiv 3 \cdot 2^{-1/2}$	
Произведение	$K = K_1 \cdot K_2 = 9 \cdot 2^{1/4} \equiv \tau^3 \sqrt{Sc \pi/4} \equiv (9+0)\sqrt{Csc \pi/4} \; .$			

**314. Контакт Арупы-Рупы:
появление Кундалини**

Символизм великой Цивилизации выделяет **Треугольник** и **Куб** [3].

Треугольник – это символ-вектор Арупы, то есть **Тонкой Энергии духа вне Формы, имеющего Продолжительность $\tau = 3$** .

Понять сущность **эпюры-Треугольник** пытались множество людей, например Пифагор, строя **Тетраксис**, а авторы Каббалы – **Тетраграмматон** [2].

Эпюра-Куб, имеющая шесть граней в форме квадрата, определяет переход от Арупы к Рупе, то есть Материи, имеющей Форму и Периодичность $T_0 = 4$.

Пирамида описывает контакт Треугольника (граней Пирамиды) и граней Куба (рис.86).

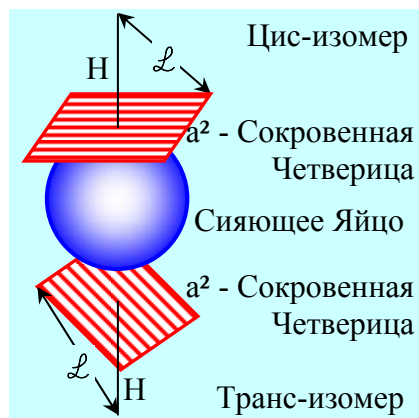


Рис.86 Области контакта
Арупы и Рупы

"4. Трое упадают в Четыре. Лученосное Естество усмиряется, Семь внутри, Семь во вне. Сияющее Яйцо, в себе Троичное, сворачивается, распространяясь молочно-белыми Сгустками в Глубинах Материи, Корне, растущем в Недрах Океана Жизни".

([3]. Космогенезис. Станца III).

Строители Пирамид выделили геометрию контакта Арупа-Рупа как Священный Треугольник со сторонами 3, 4 и 5, а мы рассмотрим Священный Треугольник в условиях цис-транс изомерии (рис.86, табл.239).

Таблица 239

Священный Треугольник: изомерия колебания в средах

Компоненты	Семь во вне	Спирали Кундалини	Семь внутри
Потенциалы	$4^2 - 3^2 = 7$	$\int_4^3 \varphi d\varphi = \frac{7}{2} \Leftrightarrow -\frac{7}{2} = \int_3^4 \varphi d\varphi$	$-(4^2 - 3^2) = -7$

315. Обожествлённая сумма квадратов Арупа-Рупа

"... И эти Три (Арупа), заключенные внутри О, суть Сокровенная Четверица, (квадраты без Формы с потенциалами $\left[a^2 \left(\pm \int_0^1 \varphi d\varphi \right) = 8(\pm 0,5) = \pm 4 \right]$ (рис.86), и Десять

($\rho_5 = 10$) суть Арупа Вселенная. Затем идут Сыны, Семь Воителей, Один – Восьмой оставлен в стороне, и Дыхание его есть Свето-Датель ([3]. Космогенезис. Станца IV, п.5):

Смещение солнечно-лунного света формирует Свето-Датель с потенциалом $a^2 = 8$ (рис.86), а молочно-белые спирали расширения Кундалини (табл.239) формируют в Арупе гравитации живые магниты (табл.240).

Таблица 240

Формирование гравитационно-магнитной Рупы

Ряды	Лунный	0	1	2	3	4	5	6	7	Арупа
	Солнечный	8	7	66	5	4	3	2	1	
Свето-Датель		8	8	8	8	8	8	8	8	Суммы
Гравитация и магнетизм		$8 \cdot \frac{7}{2} = 28 \equiv \sqrt{\rho\rho^*}$ и $28 \left(\pm \int_0^1 \varphi d\varphi \right) = \pm 14 \equiv \sqrt{\mu\mu^*}$.								

Субстанция Арупа ÷ Рупа пульсирует и создаёт не только разности квадратов (табл.239), но и суммы квадратов (табл.241).

Таблица 241

Обожествлённая сумма квадратов Арупа-Рупа

Изомерия	Цис	Цис-Транс	Транс
Обожествлены	Пятеричный Лха	Бог АЙН СОФ	Пятеричный Лха
Потенциалы	$T_0^2 + \tau^2 = 25$	$50 \equiv \lg \rho_3 \rho_4 / \rho_1$	$-25 = -(T_0^2 + \tau^2)$
Реалии	Энергия связи	Взаимодействия	Энергия связи.

Проходя через Дзиан-пульсацию, Бог АЙН СОФ уменьшается вдвое и в форме 25 кадров в единице Продолжительности попадает в наше Подсознание (табл.241).

$$50 \cdot \left(\pm \int_0^1 \varphi d\varphi = \pm \frac{1}{2} \right) = \pm 25 \cdot \left(\tau_0 = \frac{\varphi_0}{\omega_0} \right). \quad (706)$$

316. Равномерная пульсация Арупы: описание в Пирамиде

Сгущение **небесной субстанции** начинается со сгущения Арупы. Медитация и реинкарнация – это Процессы-Подобия, отличающиеся лишь масштабом относительной Единицы Продолжительности. Например,

$\tau_0 = \varphi_0/\omega_0 = 1$, где 1 – секунда, минута, год и так далее.

Колебания типа сгущение-мультиплетность как при медитации, так и при реинкарнации (табл.239, табл.241):

$$\frac{T_0 + \tau}{T_0^2 + \tau^2} = \frac{7}{25} \Leftrightarrow \frac{25}{7} \equiv \frac{T_0^2 + \tau^2}{T_0^2 - \tau^2} \quad \text{или} \quad 49 \Leftrightarrow 5^4, \quad (707)$$

где: 49 – потенциал оболочки,
5⁴ – пятеричная связь, описанная подробно в Книге Дзиан.

"5. Фохат делает пять Продвижений и строит крылатое колесо на каждом углу квадрата для Четверых Пресвятых и для воинств их". ([3]. Космогенезис. Станца V).

Векторное описание поля Четверых Пресвятых показано на рис.86 как a^2 - **Сокровенная Четверица**.

Тонкая Энергия Арупы пульсирует **по периметру** $4a = 4 \cdot 2\sqrt{2} = 16\sqrt{2} \equiv 2 \cdot \mathcal{L}$ **Сокровенной Четверице** (рис.86).

Периметр $4a$ Сокровенной Четверицы (квадрата без Формы) равен площади грани Пирамиды и равен величине двух рёбер Пирамиды (табл.238).

Пульсацию Арупы в этом случае можно описать векторно (рис.87):

$$\mathcal{L}/2a = 1 \Leftrightarrow -2a/\mathcal{L} = 1 \Leftrightarrow \mathcal{L}/2a = 1 \Leftrightarrow -1 = \mathcal{L}/2a. \quad (708)$$

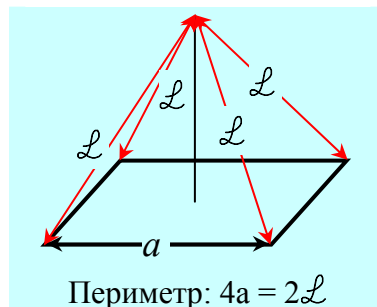


Рис.87 Пульсация Арупы по периметру основания и рёбрам великой Пирамиды (708)

Колебания (708) описывают равномерную пульсацию Арупы.

Сгущение Арупы вызывается неравномерной пульсацией, когда в вершине Пирамиды возникает резонансный потенциал, равный L^4 , а по периметру – антирезонансный, равный $4L$ (рис.87).

317. Создание Арупы-Рупы нисходящими - восходящими

Колебания Арупы-Рупы (707), частным случаем которых являются медитация и реинкарнация, великая Цивилизация описывает в Космогенезисе [3], Станца V:

"6. Липики (Мысли) очерчивают:

- **Треугольник, Первый Единый** (треугольник со сторонами L , a , L , рис.87);

- **Куб** (куб со сторонами a – векторное описание Сияющего Яйца, рис.86);

- **Второй Единый** (треугольник со сторонами - изомерами L , a , L , рис.87);

- **Пентаграмму в Яйце** ($54 \Leftrightarrow 49$ - оболочка), (707).

Это Кольцо, названное "Не преступи" для тех, кто нисходит (вектор $L\downarrow$, описывающий переход от резонанса вершины к антирезонансу периметра основания Пирамиды, рис.87) **и восходит** (вектор $L\uparrow$ - от антирезонанса периметра основания к резонансу вершины Пирамиды, рис.87); **кто в течение Кальпы продвигался к великому Дню "Будь с Нами".**

Кальпа – это Продолжительность, в течение которой восходящие - нисходящие последовательно в цис-транс изомерии совершают полный цикл перехода до момента излучения кванта с обратным по величине потенциалом (табл.242).

Таблица 242

Кальпа: колебания восходящих - нисходящих до излучения (рис.87)

Изомерия	Цис-	Транс-	Антирезонанс	Резонанс
До излучения	$4\mathcal{L} \leftrightarrow -4\mathcal{L}$		$\pm 0 \leftrightarrow 8\mathcal{L} \leftrightarrow$	$-1 = -4\mathcal{L}/4\mathcal{L}$
При излучении	$4\mathcal{L} \leftrightarrow 1/-4\mathcal{L}$		Кальпа $\equiv 16 \leftrightarrow -1/\mathcal{L}^2 \equiv 1/(8\sqrt{2})^2 = 1/128$	
Равновесие в форме волн ± 1	$\frac{Кальпа}{T_0^2} = \frac{16}{16} = 1 \Leftrightarrow \frac{1}{128} (2Цинь + Тянь = 128) = 1.$			

Так были созданы Арупа и Рупа, от Единого Света Семь Светочей (спектр света); от каждого из Семи семижды Семь Светочей (Оболочка кванта). Колёса (квантованные орбиты) охраняют Кольцо (планетарную систему).

318. Энергетическая структура точки - вершина Пирамиды

Сотворение Вселенной из самосуших волн вечной тьмы начинается в области ядерных реакций короткодействующих взаимодействий, порождающих свет. Появляются **Пять Продвижений Фохата** [3], а символом ядерного столкновения становится **точка – вершина Пирамиды с резонансным потенциалом** $\mathcal{L}^4 = (8\sqrt{2})^4 = 128^2$ (рис.87, табл.243).

**Пять Продвижений Фохата:
структура вершины Пирамиды**

Продвижение	1	2	3	4	5
Взаимодействия	$(10^{12})^2 = 10^{24}$	$10^{13} \cdot \rho_2 = 10^{12}$	$\frac{\rho_4 \rho_2}{\rho_2 \rho_5} = 10^{13}$	$\rho_5 \cdot 10^{13} = 10^{-12}$	$(10^{-12})^2 = 10^{-24}$
Примечания	Эпицентр взрыва	Электромагнетизм ρ_3	Биочасы	Гравитационные взаимодействия от $\sqrt{\rho_1}$ до ρ_1 .	

Эпицентр ядерного взрыва описан в **Откровениях: Трон Христа на Небе окружен 24 Пресвятыми Престолами.**

Описание электромагнетизма $\rho_3 \Leftrightarrow \rho_3^{-1}$ является предметом **астрологических поисков.**

Короткодействующие взаимодействия с потенциалом 10^{13} дают начало отсчёта Продолжительностей по тринадцати лунному Календарю Вселенной.

Четвёртое и Пятое Продвижения характеризуют Космос Невесомости по мере уменьшения гравитационных взаимодействий (табл.243).

В Шести степенях свободы Движения в трёхмерном Пространстве Пять Продвижений Фохата при резонансе дают потенциал-эквивалент богу (богине) Луны Шумеров:

$$5 \times 6 = 30. \quad (709)$$

При антирезонансе возникает потенциал-эквивалент субструктуры ($5+6 = 9+2 = 11$) биоклетки при митозе.

Периодическая система антирезонансной Эволюции описана в периодической системе Русских Рун [].

319. Цис-транс изомерия Арупы в Пирамидах: энергия излучения

Из вершин цис-транс изомерических Пирамид (рис.86) энергия в виде Арупы стекает к периметрам основания Пирамид, меняя резонансное поле вершины на ан-тирезонансное поле периметра (табл.244).

Таблица 244

Распределение энергии между вершинами и периметрами основания Пирамид (рис.84)

Распреде- ние Арупы в гранях Пи- рамиды	Цис-изомер		Транс-изомер	
	В вершине $\mathcal{L}4 = 4 \cdot 64^2$	У периметра $4\mathcal{L} = 32\sqrt{2}$	У периметра $-4\mathcal{L} = 32\sqrt{2}$	В вершине $-\mathcal{L}4 = -4 \cdot 64^2$
Излучения	$\mathcal{L}^4/4\mathcal{L} = \mathcal{L}^3/4 \Leftrightarrow 4/\mathcal{L}^3 = 4\mathcal{L}/\mathcal{L}^3.$			

При "стекании2 Арупы из вершины к периметру основания Пирамиды (**нисходящие**) будет реализовываться переход $4\mathcal{L} \rightarrow \mathcal{L}^4$. **Возникнут нисходяще-восходящие колебания** (табл.245).

Таблица 245

Восходяще-нисходящие колебания Арупы по граням Пирамид

Изомерия	Цис-изомер		Транс-изомер	
Потоки	Нисходящие	Восходящие	Восходящие	Нисходящие
Потенциалы	$\frac{4}{\mathcal{L}^3} \equiv \frac{Sc\frac{\pi}{4}}{a^3}$	$\frac{\mathcal{L}^3}{4} \equiv \frac{a^3}{Csc\frac{\pi}{4}}$	$-\left(\frac{\mathcal{L}^3}{4} \equiv \frac{a^3}{Sc\frac{\pi}{4}}\right)$	$-\left(\frac{4}{\mathcal{L}^3} = \frac{Csc\frac{\pi}{4}}{a^3}\right)$
Колебания относитель- но основа- ния (a) Пирамид	1/2 1	$\Leftrightarrow a^6$ $\Leftrightarrow 2a^6$	$\Leftrightarrow -a^6$ $\Leftrightarrow -2a^6$	$\Leftrightarrow 2$ $\Leftrightarrow 4.$

Переход от ребра (\mathcal{L}) Пирамиды к стороне (a) основания Пирамиды даёт возможность рассчитать энергетическое поле **Куба–Нои** (табл.245, рис.83):

$$\text{Куб–Нои} \equiv 2a^6 + 2a^6 = 4a^6 \quad \text{и} \quad (\text{Куб–Нои})/4 = (a^2=8)^3. \quad (710)$$

Цис-транс изомеры выделяют энергию в окружающую среду.

320. Трансформация свободной энергии Арупы

Арупа, излучённая из цис-транс изомерии Рупы, даёт **свободную энергию типа Куба–Нои (710) в форме Сияющего Яйца** (рис.84).

Такое Сияющее Яйцо люди уже получают экспериментально в форме Свечения от Генератора Тонкой Энергии.

Сияющее Яйцо Тонкой Энергии существует не в вакууме, которого в природе нет принципиально, а в неравновесной системе колебаний (табл.244, табл.246).

Таблица 246

Пульсация излучённой Арупы в окружающей среде

1. Изомерия (табл.244)	$1 \Leftrightarrow 2a^6 \Leftrightarrow -2a^6 \Leftrightarrow 4$
2. Между Хаосом и Гармонией	$1 \Leftrightarrow \pm 4a^6 \Leftrightarrow \mp 0 \Leftrightarrow 4$
3. Куб–Нои в динамике (287)	$1 \Leftrightarrow \pm 8^3/T_0 \Leftrightarrow \mp 0 \Leftrightarrow 4$
4. В ритме точки волны света $T_0 = 4$	$4 \Leftrightarrow \pm 8^3 \Leftrightarrow \mp 0 \cdot 4 \Leftrightarrow 16 \equiv T_0^2$
5. В ритме шифр-кода Книги Бытия	$10^6/4 \Leftrightarrow \pm 10^6/8^3 \Leftrightarrow 10^6/\mp 0 \cdot 4 \Leftrightarrow$ $10^6/16 \Leftrightarrow 62500$
Эквивалентность пятеричной связи	$10^6/4 = 5^2 \cdot 10^4$ – энергия Пятеричной связи
Эквивалентность фотонам (m_c^{**}) и фононам (m_c^*)	$10^6/8^3 = 2 \cdot 10^3 \equiv$ $10^6 m_c^{**} \equiv 5^2 \cdot 10^4 m_c^*.$

Используя **свободную Энергию Арупы**, великая Цивилизация обеспечила научно-технический прогресс своего социума до уровня **"Каждому по потребности"** и **уничтожила зависимость Носителя Разума от алчности золотого тельца**.

Члены социума великой Цивилизации занялись Божественным Творчеством, а не накопительством общества потребления. Они создали НЛО и запланировали Эволюцию Человечества, записав наши Судьбы в Книге Бытия.

Великая Цивилизация приглашает народы Земли не к конфронтации, но к Сотрудничеству.

321. Лунный ряд *Oeaohoo*: деление на формовщиков и геномы

Для сотрудничества с великой Цивилизацией нам, людям, надо не только **искренне блюсти Заповеди Господни**, не искажая их алчностью Капитала во Власти и тупостью фанатиков от Веры, **но знать хотя бы основы высокой Науки Взаимодействий**.

Нам, людям, пора понять, что обожествление Чисел – это **воспитательный приём дошкольного обучения Человечества**.

Рассмотрим, например, случай с *Oeaohoo* (700), воспринимаемый эзотериками как божественное Начало, по Существу являющегося **алгебраическими знаками лунного излучения** (табл.247).

В основе **анализа лунного излучения** лежит определение **приведённой пульсации** как отношение резонансных равновесных состояний к антирезонансным:

Потенциал приведённой пульсации	$\equiv \frac{\text{произведение(резонанс)}}{\text{сумма(антирезонанс)}} \equiv \frac{1 \cdot 2 \cdot \dots n}{1 + 2 + \dots n},$	(711)
---------------------------------	---	-------

где разность-сумма между соседними состояниями равна $n \pm 1$ (табл.247).

Лунный ряд и алгебра *Oeaohoo*

Уровни	Алгебра	О	е	а	о	h	о	о
	арифметика	1	2	3	4	5	6	7
Приведённый потенциал	резонанс	1!/1	2!/3	3!/6	7!/10	5!/15	6!/21	7!/28
	антирезонанс	= 1	= 2/3	= 1	= 2,4	8 ⇔ 240/7 ⇔ 180·7		
Резонансно-антирезонансное деление		Формовщики ≡ 1·2/3·1·2,4 ≡ 1,6				8·7 ⇔ 240 ⇔ 180·7 28 ⇔ 120 ⇔ 630.		

На уровнях Oeaо возникает резонансное поле формовщиков, а на уровнях hoo – антирезонансные поля колебаний 28 (гравитация) ⇔ 120 ≡ 5! (свет) ⇔ 630 (геномы).

322. Десять Арупа Вселенная

Геномы, пульсирующие во внутреннем поле света и гравитации (табл.245), находясь в среде Дзиан-пульсации, которая их делит пополам (табл.248).

Дзиан - мультиплетность генов, гравитации и внутреннего поля света

Дзиан мультиплетность $\left(\pm \int_0^1 \varphi d\varphi \right)$	Мультиплетность: 1/2	Исходное поле	Мультиплетность: -1/2
	14 ⇔ 60 ⇔ 315	28 ⇔ 120 ⇔ 630	-14 ⇔ 60 ⇔ -380
Характеристика компонент мультиплетности	$\pm 14 \equiv \pm \sqrt{\mu\mu^*}$ - живые магниты геномов (женское плюс и мужское минус Начала)		
	± 60 – сине-голубая структура внутреннего поля света с потенциалом $120 \equiv 1 \cdot 2 \cdot 3 \cdot 4 \cdot 5$		
	$\pm 315 \equiv \pi \equiv c$ – скорость света.		

Общим для всех полей: свободной энергии Арупы (табл.246), генов в гравитации, а также мужского и женского Начал в живых магнитах (табл.248) будет ρ_5 :

$$\begin{aligned} & \text{Десять Арупа Вселенная} \equiv \rho_5 = 10 \equiv \\ & \frac{16}{1,6} \Leftrightarrow \frac{8^3}{51,2} \Leftrightarrow \frac{630}{63} \equiv \frac{28}{2,8} \Leftrightarrow \frac{120}{12} \Leftrightarrow \frac{630}{63} \equiv \frac{14}{1,4} \Leftrightarrow \frac{60}{6} \Leftrightarrow \frac{315}{31,5}, \end{aligned} \quad (712)$$

где: $6 \equiv 3,5+2,5$ – Кундалини,
 $1,4 = 3,5/2,5$ – отношение числа витков спирали
 Кундалини расширения к числу витков
 Кундалини в спирали сжатия.

Применительно к газовой постоянной R = кал в уравнении Д.И.Менделеева **Десять Арупа Вселенная** будет связана с теплообменом:

$$R \cdot C_p = 2 \cdot 5_{\text{кал}}^2 \equiv \frac{pv}{t} \cdot \left(\frac{1^2 + 2^2 + 3^2 + 4^2 + 5^2 + 6^2 + 7^2}{1+2+3+4+5+6+7} = \frac{140}{28} \right). \quad (713)$$

Десять Арупа Вселенная в форме тепла существует не сама по себе в поле давление-объём-температура, но затрагивает магнитные и гравитационные ряды (713), которые наша термодинамика и не помышляет затрагивать.

323. Свето-Датель: природа возникновения и форма описания

Пятый уровень семеричного ряда, то есть уровень h с приведённым потенциалом $8 \equiv a^2$ (табл.247).

Возникновение структуры солнечно-лунного Свето-Дателя связана с тем, что в лунном и солнечном рядах на уровне **формовщиков Оеоо** возникают резонансные точки-излучатели с потенциалами, равными 1,6 (рис.88, табл.247).

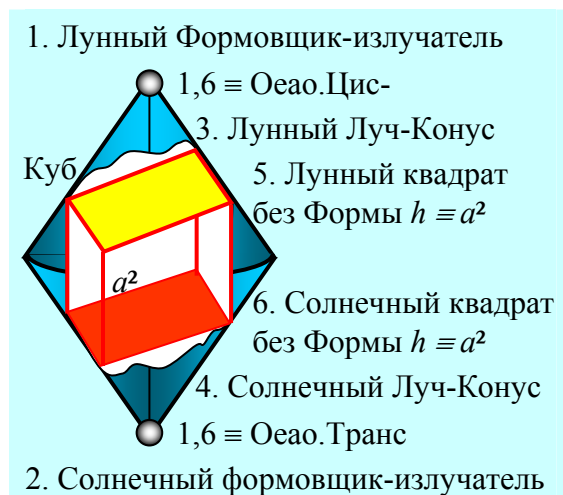


Рис.88 Структура солнечно-лунного Свето-Дателя

Освещаемые этими излучателями площади на уровне h , равны площади основания ($a^2 = 8 = h$) великой Пирамиды (рис.88).

При движении на-встречу друг другу и в условиях цис-транс изомерии лунный и солнечный Лучи-Конусы имеют свои освещаемые поверхности a^2 (5 и 6 рис.88).

Поскольку Конус-Лучи от Лунного и Солнечного излучателя (3 и 4, рис.88) не имеют резко выраженной формы, а их энергетику считать необходимо, то великая Цивилизация оговорила квадраты-вектора эпюр расчёта как **квадраты без формы**.

Распространяя логику наименований эпюр векторного расчёта на поле Арупы как **фигур без формы**, мы должны признать, что **великая Пирамида есть вектор-эпюра, описывающая энергетику конического Луча, а Куб – вектор-эпюра Сферы** (рис.88).

Диктуя с Небес Откровения, Иисус Христос вновь воспользовался **эпюрой без формы**: Он диктовал фразу, давал к ней математический Ключ и **геометрическую Форму** [5].

324. Вращение солнечно-лунных фононов: зародыш Пятеричности

Колёса охраняют Кольцо ([3]. Станца V, п.6).

Солнечный и лунный Лучи-Конусы на пятом уровне h с потенциалом 8 (табл.247) освещают круг с радиусом $R = 2$, в который вписывается основание $a^2 = 8$ великой Пирамиды (рис.88).

Площади кругов (**Колеса**) и окружностей (**Кольца**) с радиусом $R = 2$, равны между собой и равны 4π :

$$R\pi^2 \equiv 2R\pi \equiv 4\pi, \text{ при } R = 2. \quad (714)$$

Окружности $2\pi R = 4\pi$ играют роль границы потенциальной ямы, а площадь $2R\pi \equiv 4\pi$ описывает **энергетическую ёмкость** потенциальной ямы. Поэтому фраза **Колёса охраняют Кольцо** [3] означает, что квантованные орбиты потенциальной ямы охраняют её энергоёмкость (рис.89).

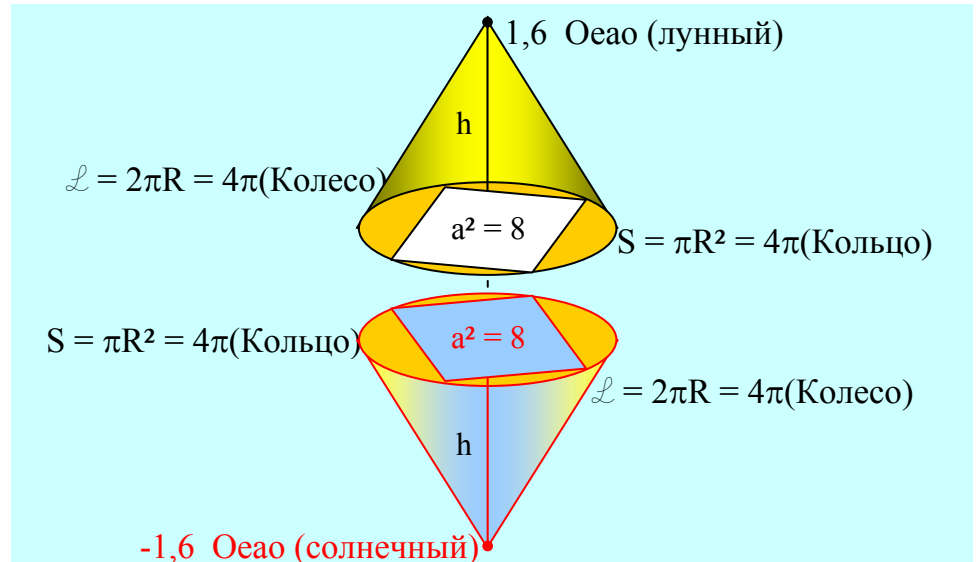


Рис.89 Изомерия уровня h (табл.246)

Между вершинами конусов и их основаниями возникает связь:

$$\frac{1,6}{L=4\pi} \Leftrightarrow \frac{1,6}{L+S=8\pi} \Leftrightarrow \frac{1,6}{L \cdot S=16\pi^2}$$

$$0,4 \cdot E_\lambda \Leftrightarrow 0,2 \cdot E_\lambda \Leftrightarrow 0,1 \cdot E_\lambda m_c.$$
(715)

Продолжается изомерическое вращение солнечных и лунных точечных участков волн света с угловой скоростью ω_0 :

Солнечно-лунное вращение точечных участков волн света			
Лунное	$0,4E_\lambda\omega_0 = 0,4 \Leftrightarrow 0,2E_\lambda\omega_0 = 0,2 \Leftrightarrow 0,1E_\lambda m_c\omega_0^2 = 0,1$		
Солнечное	$0,1E_\lambda m_c\omega_0^2 = 0,1 \Leftrightarrow 0,2E_\lambda\omega_0 = 0,2 \Leftrightarrow 0,4E_\lambda\omega_0 = 0,4$		
Суммы	Ровно 0,5	0,2	0,5.

(716)

Возникает Зародыш АЙН СОФ $\equiv 0,5 \cdot 0,2 \cdot 0,5 = 0,05$.

325. Энергетика пульсации лунно-солнечной Пентаграммы

Зародыш Пятеричности, то есть потенциал $0,5 \cdot 0,2 \cdot 0,5 = 5 \cdot 10^2$ (716), увеличивается в 100 раз и достигает при окончании формирования солнечного и лунного уровней h с потенциалом $a^2 = 8$ (рис.89).

Возникают цис-транс изомерические колебания Пентаграмм до излучения и появляются кванты с обратными потенциалами при излучении (рис.89, табл.249).

В конечном счёте Пятеричная Связь образует в среде Арупу-Рупу:

$$25 \cdot (T_0 + \tau = 7) = 175 \Leftrightarrow T_0 \cdot (T_0 + \tau) = 28 \Leftrightarrow \tau \cdot (T_0 + \tau) = 27. \quad (717)$$

**Колебания между формовщиками Оеоо
и уровнем $h \equiv a^2$**

Колебания	Изомерия до излучения		Обратные потенциалы излучения	
Излучатели	Лунная	Солнечная	Лунная	Солнечная
Оеоо $\equiv \pm 1,6$ $h \equiv a^2 \equiv 8$	$\frac{1,6}{8} = \frac{1}{5}$ \updownarrow 5	$\frac{1}{5} = \frac{-1,6}{8}$ \updownarrow -5	$\frac{1,6}{8} = \frac{1}{5}$ \updownarrow $\frac{8}{1,6} = 5$	$\frac{1,6}{8} = \frac{1}{5}$ \updownarrow $-\frac{1}{5} = \frac{-1,6}{8}$
Результаты пульсации	$5 \leftrightarrow 5$ $\mp 0 \leftrightarrow \pm 0$	$5 \leftrightarrow -5$ $\pm 0 \leftrightarrow \mp 10$	$1/5 \leftrightarrow -5$ $\pm 1 \leftrightarrow \pm 25$	$\pm 25 \equiv$ $\pm(T_o + \tau)$
Формы Тонкой Энергии	Экстрасенсорный Канал	Десять: Арупа Вселенной	25 кадров в Подсознании	Арупа-Рупа Пентаграммы.

Пентаграмма в поле Семеричной Связи формирует **Зародыш Фотона** с потенциалом, равным отношению (717):

$$\frac{\pi \equiv 315 \equiv c}{175} \equiv 1,8 \quad \text{или} \quad 1,8 \cdot (1/\pi \equiv E_\lambda) \equiv 1/175, \quad (718)$$

где 1,8 – эквивалент молекулярному весу воды в полях слабых взаимодействий, то есть

$$18 \cdot \rho_2 \equiv M_{H_2O} \cdot 10^{-1} \equiv 1,8. \quad (719)$$

Возникают молочно-белые спирали Жизни - Кундалини.

326. Яйцо с Пентаграммой: реалии Метафизики

Несмотря на яростное сопротивление академиков от науки, Мета-Наука пробивает себе Путь. Недалеко то время, когда Метафизика станет на равных и превзойдёт современную материалистическую физику.

Например, сегодня на базе электрической схемы индуктивность (L) – ёмкость (C) получено свечение в форме эллипса, потенциалы полуэллипсов которого равны 28 и 27 (рис.90).

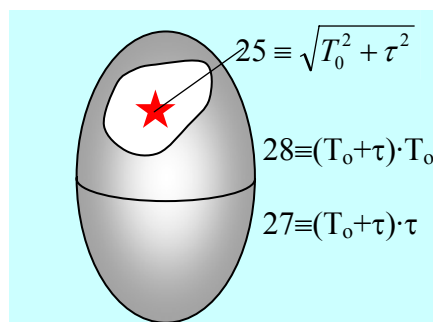


Рис.90 Экспериментально полученное свечение среды, возбуждённой LC-контуром (Яйцо с Пентаграммой)

Это свечение среды, возбуждённой LC-контуром колебаний, обладает свойствами полей Тонкой Энергии: облучённые в этой энергии семена увеличивают урожайность растений в Семь раз.

Свечение раскисляет почву, разрывает водородные связи в фенольных, бензольных и других предельно - неопределённых углеводородных связях, делая **токсичные вещества не токсичными**.

Бактерии не переносили излучения и гибли полностью. Вирус СПИДА при одноразовом излучении уничтожался на 80%. Были случаи, когда облучённые в Чернобыле, поправляли своё здоровье.

Генератор Тонкой Энергии и результаты его воздействия **запатентованы, но не поняты**. Поэтому объясняю.

Пульсация источника пятеричной связи (табл.249), создаёт вокруг себя пульсирующее поле Арупы-Рупы в форме эллипсоида с потенциалами $28 \Leftrightarrow 27$ (717, рис.90). Это Яйцо с Пентаграммой ([3], рис.90):

Рупа сжимает среду в Яйце, являясь источником волн с золотым сечением:

$$T_o = 4 = \sqrt{5+1} \times \sqrt{5-1} \quad \text{и} \quad 1 : \frac{\sqrt{5+1}}{2} = \frac{\sqrt{5-1}}{2} : 1. \quad (720)$$

327. Иисус Христос: описание формовщиков в Круге Универсуме

Книга Дзиан описывает Мировое Яйцо ([3], рис.90). Каббала, и сопутствующая ей ветхозаветная религиозно-мифологическая литература, искажает описание Мирового Яйца то наивно, то по наглomu.

Наша задача, уважаемый Читатель, разобраться, Что к Чему в Едином Космосе Мирового Яйца (рис.90).

Итак, Пентаграмма начинает пульсировать при взаимодействии формовщиков Оео с пятым уровнем h (табл.248). в микро-макро Космосе возникает светящаяся тонко-энергетическая Оболочка Мирового Яйца (рис.90).

В среде перед Яйцом находятся самосущие волны с потенциалом $(Sc \pi/4 \times Csc \pi/4) : (\sin \pi/4 \times \cos \pi/4) = 24$ и волны Арупы $(\tau \equiv m_c c + E_\lambda + \varepsilon_o \cdot \mu_o \cdot c^2 + E_\lambda c^2 = 3)$.

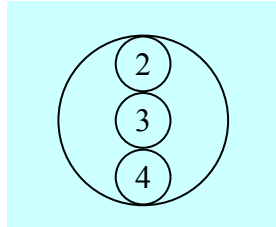


Рис.91 Базисная
ячейка Круга
Универсума [5]

Пульсируя на уровне резонансной точки Оео – **формовщиков** они создают Рупу среды, то есть эквивалент $T_o = 4$.

Потенциалы 2, 3 и 4 взял за основу Иисус Христос и продиктовал Иоанну Богослову **Откровение** с эпюрой Круга Универсума, ячейка которого дана на рис.91.

В пульсирующем Мировом яйце поля с потенциалами 2, 3 и 4 сжимаются-расширяются (табл.250).

Таблица 250

**Описание формовщиков 2·3·4 ≡ еао
в Круге Универсуме [5]**

Равновесие	Сжатие	Расширение
2	$= (\sqrt{3}+1) \cdot (\sqrt{3}-1)$	$= (\sqrt{3} \pm 1) \Leftrightarrow 1/(\sqrt{3} \mp 1)$
3	$= (\sqrt{4}+1) \cdot (\sqrt{4}-1)$	$= (\sqrt{4} \pm 1) \Leftrightarrow 1/(\sqrt{4} \mp 1)$
2	$= (\sqrt{5}+1) \cdot (\sqrt{5}-1)$	$= (\sqrt{5} \pm 1) \Leftrightarrow 1/(\sqrt{5} \mp 1)$

Возникают колебания – подобия Правилу Золотого Сечения:

$$1 : \frac{\sqrt{n}+1}{2} = \frac{\sqrt{n}-1}{2} : 1. \quad (721)$$

**328. Мультиплетность Вселенной Расширения:
золотые вихри**

Энергетическое поле уровня h с приведённым потенциалом 8 (табл.247) совершает Дзиан-пульсацию и делится пополам:

Мультиплетность – митоз уровня h		
Цис-изомер	Область перехода	Транс-изомер
$8 \int_0^1 \varphi d\varphi = 4$		$-4 = 8 \cdot \int_1^0 \varphi d\varphi$

(722)

На пятом уровне с потенциалом $8 \equiv c^3/\omega_0^3$, эквивалентном максимуму величины импульса расширения Вселенной над микро-макро сгустками формовщиков Оеоо с потенциалами $\pm 1,6$ (рис.89), импульс расширения Вселенной делится пополам (722).

Возникают цис-транс изомеры Рупы с потенциалами ± 4 (722). **Резонанс формовщиков Оеоо (табл.247) переходит в антирезонанс компонент Рупы и появляется область перехода (722):**

$$4 \Leftrightarrow -4 \text{ и } (\sqrt{5}+1) \cdot (\sqrt{5}-1) \Leftrightarrow -(\sqrt{5}+1) \cdot (\sqrt{5}-1). \quad (723)$$

Обмен энергией в области перехода между цис-транс изомерами Рупы реализуется за счет расширения - излучения (табл.250):

$4 = 1 : \frac{\sqrt{5}+1}{2} = \frac{\sqrt{5}-1}{2} : 1$	$\Leftrightarrow -1 : \frac{\sqrt{5}+1}{2} = \frac{\sqrt{5}-1}{2} : -1 = -4$	(724)
Правило Золотого Сечения	Правило Золотого Сечения	

В области перехода между цис- и транс- изомерическими сгустками Рупы возникают встречные волны, каждая из которых подчиняется правилу Золотого Сечения.

При переходе между транс-цис изомерами Рупы возникают волны с обратными потенциалами и эти волны переносят, например, электроны с орбиты на орбиту без затраты электронами собственной энергии:

Колебания сред между сгустками Рупы			(725)
Колебания	Базис шифра Библии	Излучение Рупой	
$\pm 4 = \mp 1/4$	$\pm 1 \Leftrightarrow \mp 1/16 \equiv \mp 0,0625$	$\pm 1 \Leftrightarrow 16 \equiv T_0^2$	

329. Пульсация Вселенной между пятым (h) и шестым (0) уровнями

Пятый уровень h является атмосферой над формовщиками Oeo с потенциалами $\pm 1,6$, но пятый уровень h является Ядром-Каплей для шестого-седьмого уровней OO (табл.247).

Колебания между пятым и шестым уровнями (ho) приводит к возникновению постоянной гравито-магнито-электрического равновесия, равной ± 112 , а также волны, длиной 4800\AA , делающую синюю и голубую области в чакре Третий Глаз (табл.250).

Таблица 251

Колебания между пятым h и шестым O уровнями (табл.247)

Символы	Цис- ho	ho	Транс- ho
Колебания	$56 \Leftrightarrow 240$	$8 \Leftrightarrow 240/7$	$-240 \Leftrightarrow -56$
Результат	$\pm 0 \Leftrightarrow 112 \equiv 7\sqrt{qq^*} \equiv 8\sqrt{\mu\mu^*} \equiv 4\sqrt{\rho\rho^*}$ $+ - 0 \Leftrightarrow 460 \equiv 4800\text{\AA} \cdot \rho_2$ (сине-голубая граница).		

В поле гравито-электромагнетизма формирует периодическая система из 112 химических элементов, обладающих 6328 электронами, где число электронов связано с суммой арифметической прогрессии 112 членов:

$$6328 = \frac{1+112}{2} \cdot 112 \equiv 3600 \cdot \frac{7}{4} + 28 \equiv \Delta B \cdot \frac{7}{4} + \sqrt{\rho\rho^*}, \quad (726)$$

а также с разностью длин волн солнечного белого света и гравитацией.

Вне гравитации в поле разности длин волн белого света формируются геномы: $360 \cdot 7/4 = 6300$, а колебания $\pm 0 \Leftrightarrow 480$ (табл.251) формируют волну длиной 4800\AA , делящую синюю и голубую области спектра света на $\Delta\Gamma = 300\text{\AA}$ и $\Delta C = 300\text{\AA}$.

Сине-голубое деление в Чакре Третий Глаз вызывает биоток, силой 10^{-4} А и индуктивностью 10^4 1/А.

Дзиан-пульсация потенциала 480 при наличии пальмы вызывает появление 42 Божеств Твоего Сердца (Книга Мёртвых).

$$480 \cdot \left(\pm \int_0^1 \varphi d\varphi \right) \cdot \frac{7}{4} = 42 \cdot (\pm 10). \quad (727)$$

330. Пальма как результат колебаний шестого-седьмого уровней Оеаоһоо

Система Счисления Древних Шумеров строится на отношении **1 : 60** и сохранилась до наших дней как система счисления времени: 60 сек - 1 мин, 60 мин - 1 час [1].

В основу Системы Счисления Шумеров [1] была заложена разность длин волн солнечного белого света:

$$\Delta B \equiv 3600 \text{ \AA} \equiv 3600 \equiv 3600 \text{ сек} \equiv 1 \text{ час}. \quad (728)$$

Шумеры обожествили масштабность своего счисления, то есть с учётом изомерии мужского и женского начал:

Изомерия	Цис-	Транс-
Масштаб	Богиня Луны	Бог Луны
60 : 1	= 30	— (-30).

(729)

Шумеры построили **Пирамиду "Вавилонская Башня"**, вершину которой описывал потенциал 30 (Луны), а сама Пирамида имела семь слоёв ступеней **Оеаоһоо** (табл.247).

В Едином поле **Оеаоһоо** колебания протекали между всеми слоями, в том числе между шестым (О) и седьмым (О):

Энергетика Оеаоһоо
на шестом-седьмом (ОО) уровнях (табл.247)

Уровни		Излучение в Рупу	O(6) ⇔ O(7)	Излучение в Аруппу
Пульсация	60 : 1		240/7 ⇔ 180	
	1 : 60	7/4	4/7 ⇔ 3	1/3
Примечания		3 ≡ τ, 4 ≡ T _o , 7 ≡ T _o +τ.		

На седьмом уровне O(7) приведённый потенциал становится равным 180 (табл.247) и составляет одну пальму от числа $\pi = 315$:

$$\text{Пальма} \equiv \frac{\pi = 315}{180} = 1,75 \equiv \frac{7}{4} \equiv \frac{T_o + \tau}{T_o} \equiv \frac{\rho}{q} \equiv \frac{\rho^*}{q^*} \sqrt{\frac{\rho \rho^*}{q q^*}}. \quad (730)$$

Выбрав за Единицу Счисления пальму, великая Цивилизация смогла без иллюзий изучать Единый Космос.

331. Двенадцать знаков Зодиака в полярных вихрях из Рупы

Приведённые потенциалы энергетических уровней **Оеаоһоо** (табл.247) имеют две формы энергии: Аруппу и Рупу.

Для определения количества Рупы и Аруппы в поле приведённого потенциала, приведенный потенциал необходимо умножить соответственно на пальму и на $\tau \cdot (T_o + \tau) = 21$ (табл.252), где 21 соответствует потенциалу полярного вихря (табл.253).

Полярные вихри из Рупы формируют 13 знаков Зодиака на шести из семи энергетических рядов (табл.253). На шестом уровне O (6) остаётся Триединство, которое обожествляется во множестве форм.

**Двенадцать знаков Зодиака
в полярных вихрях из Рупы**

Уровни	Номера	1	2	3	4	5	6	7
	Символы	О	е	а	о	h	о	о
Приведенный потенциал, n		1	2/3	1	2,4	8	240/7	180
Рупа: n×7/4		7/4	7/6	7/4	4,2	14	240	315
Полярный вихрь n×21		21	14	21	50,4	162	720	3780
<i>Полярный вихрь</i> <i>Рупа</i>		12	12	12	12	12	3	12.

В Откровениях (Трон Христа на небе окружён 24 Пресвятыми Престолами) обожествляется вся энергетическая система **Оеаоhоо** (табл.253):

$$6 \cdot 12/3 = 24(\text{цис}) \Leftrightarrow (\text{транс}) \cdot (-24 = -6 \cdot 12/3). \quad (731)$$

Переход цис-транс изомерии ± 24 в Рупу формирует энергию - эквивалент 42 Божествам наших сердец:

$$\pm 24 \cdot 7/4 = \pm 42 \equiv \pm(147 - 105). \quad (732)$$

В спирали Кундалини возникают потенциалы:

$$42 \cdot 3,5 = 147 \quad \text{и} \quad 105 = 42 \cdot 2,5. \quad (733)$$

**332. Потенциальная Яма:
Семь Вечностей Оеаоhоо**

Дискретное излучение квантов любой потенциальной ямой (в том числе в виде Рупы) происходит тогда, когда энергоёмкость объёма потенциальной ямы повышает потенциал границы – барьера.

Для поверхностных волн, распространяющихся в трехмерном Пространстве в виде сферических поверхностных волн $Q = 4\pi R^2$ при $R \equiv \lambda$, ёмкость потенциальной ямы будет определяться площадью круга $S = \pi R^2$ при $R \equiv \lambda$, а барьер - граница потенциальной ямы - окружностью $\ell = 2\pi R^2$ при $R \equiv \lambda$.

Колёса (S) охраняют Кольцо (ℓ), эта фраза из Книги Дзиан [3] точно описывает работу потенциальной ямы, функционирующей также как любой конденсатор (табл.254).

Таблица 254

Режим работы потенциальной ямы: конденсатора

Режим	накопление		равновесие		Излучение кванта в среду
Компоненты	Объём	граница	Объём	граница	
Потенциалы $R \equiv \lambda$	$S = \pi R^2$	$\ell = 2\pi R^2$	$S = \pi R^2$	$\ell = 2\pi R^2$	$S/\ell = R \equiv \lambda$.

Капля Ядерного вещества - это потенциальная яма Рупы, которая излучает полярные вихри с потенциалом ± 21 (табл.252), но в паузах Продолжительностей накапливает Арупу - Рупу в объёме потенциальной ямы (табл.255).

"1. Предвечная Матерь - Рождающая, сокрытая в своих покровах, Вечно Невидимых, ещё раз дремала в продолжении Семи Вечностей ([3]. Космогенезис. Станца I).

Накопление энергии Арупы - Рупы потенциальной ямой $Oeaohoo$

Уровни	Номера	1	2	3	4	5	6	7
	Символы	O	e	a	o	h	o	o
Приведенный потенциал, n		1	2/3	1	2,4	8	240/7	180
Арупа: $n \times \tau$		3	2	3	7,2	24	240/7·8	540
Рупа: $n \times T_o$		4	8/3	4	9,6	32	240/7·4	720
Арупа : Рупа		0,75	0,75	0,75	0,75	0,75	0,75	0,75.

333. Энергетика формирования трёхмерного Пространства

На каждом из Семи уровней **Oeaohoo** происходит поглощение Арупы Рупой (табл.255) и на шести уровнях **Oeaoh** - **o** происходит излучение полярных вихрей с потенциалом 12 (табл.253).

Резонансный потенциал $12 \times 0,75 = 9$ приводит к колебанию ядра в Периодической Системе Геномов и формированию субструктуры (9+0) материнской биоклетки (табл.256).

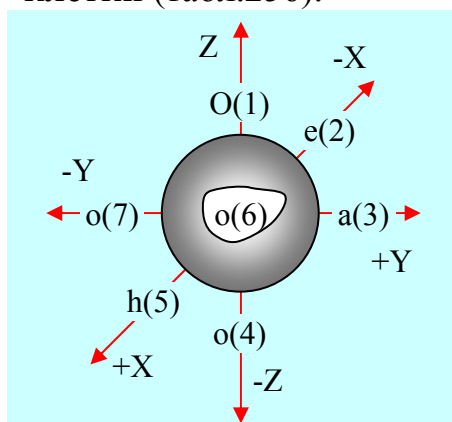


Рис.92 Трёхмерное Пространство **Oeaohoo** (табл.256)

Расширяющаяся Вселенная, тем не менее, остаётся потенциальной Ямой, а сама потенциальная Яма есть то трёхмерное Пространство, в котором мы живём (табл.256, рис.92).

Начало координат в трёхмерном пространстве связано с потенциалом **o** на шестом уровне, оставшиеся потенциалы, **Oeaoh** - **o** равномерно распределяются по осям $\pm X$, $\pm Y$ и $\pm Z$ (рис.92).

Функциональность потенциальной ямы Oeaohoo

Уровни	Номера	1	2	3	4	5	6	7
	Символы	O	e	a	o	h	o	o
Полярные вихри (табл.252)		12	12	12	12	12	3	12
Семь Вечностей (табл.255)		0,75	0,75	0,75	0,75	0,75	0,75	0,75
Произведение: $12 \times 0,75$		(9+0)	(9+0)	(9+0)	(9+0)	(9+0)	2,25	(9+0)
Отношение: $9 : 0,75 = 16$		16	16	16	16	16	3	16
Вихрь: $(T_o \cdot \tau)^2 \equiv$ $9 \cdot 16 = 144$		12^2	12^2	12^2	12^2	12^2	6,75	12^2
Вихрь: $16 + 144 = 160$		160	160	160	160	160	9,75	160
Шифр Библии	$\frac{0,75}{12} \cdot 10^6 \equiv 62500 \equiv \frac{1}{16} \cdot 10^6.$							

334. Свойства-сочетания энергии в форме трёхмерного Пространства

Парадигмы нашей науки о Пространстве далеки от Реалий Единого Космоса. Мы разделяем Пространство и Энергию, а затем рисуем пространство, как захочется. Евклид спрямлённым. Эйнштейн искривлённым. Декарт трёхмерным. Другие неограниченной мерности: от четырёх и выше... Затем связали Пространство с пустотой – Вакуумом, которого в Природе нет, ибо пустота отвергает Закон Сохранения Энергии.

Пространства вне Энергии нет. Пространство – это свойства-сочетания импульсов и энергетических форм (табл.257).

**Свойства-сочетания трёхмерного Пространства
(рис.92) как Энергии**

Свойства	Сочетания
Квадрат без формы	$\frac{\text{Энергия по осям } O-e-a-o-h-\dots-o}{\text{Энергия в центре } O} = \frac{3}{0,75} = \frac{12}{3} = \frac{9}{2,25} = 4$
Десять Арупа Вселенная	$\frac{\text{Сжатие}(T_0 \omega_0 / c = 2) \times \text{расширение}(c^3 / \omega^3 = 8)}{\text{Формовицики } Oeao} = 10$
Смещение симметрии	$\frac{\text{Продолжительность по осям } O-e-a-o-h-\dots-o \text{ осям}}{\text{Продолжительность в центре } O} = \frac{16}{3}.$

Смещение симметрии трёхмерного Пространства в среде, эквивалентной взаимодействиям в Арупе-Рупе, приводит к сгущению Арупы в Рупу (табл.257):

$$V_{\Pi} = \frac{16}{3} \left[(\lg \rho_1 \rho_2 \rho_3 \rho_4 \rho_5 = 2)^{T/T_0} \equiv 2^{3/4} \right] = \frac{1}{3} \cdot 8 \cdot 2 \cdot 2^{3/4} = \frac{1}{3} a^2 H, \quad (734)$$

где: V_{Π} – объём великой Пирамиды;
 $2^{3/4}$ – описаны как 2, 3 и 4 в Круге Универсуме Откровений [5].

Количество самосуших волн, поступающих в трёхмерное Пространство, является величиной, необходимой и достаточной для формирования двух изомеров небес-Цинь над сгустком Тянь (табл.256):

Вихрь в Пространстве (табл.256)	Самосушие волны (табл.14)	Структура Перемены		
		Цинь	Тянь	Цинь
$6 \cdot 12^2 / 6,75 = 128$	$\equiv 2^7 = \sqrt{2}^{14}$	$\equiv 32$	$+ 64$	$- (-32).$

(735)

335. Энергообмен: Мировое Яйцо - Метагалактика

Начало системы координат, поле O на шестом уровне (рис.90) великая Цивилизация либо как просто символ O , либо как Свабхават O ([3]. Станца 4. п.5).

Для Пространства Оеаоһ"Свабхават O "о, формируется Мировое Яйцо вокруг **любого микро-макро Капли ядра**, Свабхават O , играя роль **клапана**, через который метагалактические самосущие волны Арупы попадают в трёхмерное Пространство (рис.92).

"Клапан", через который в Мировом Яйце проходил обмен энергией Рупы, записывался как Свабхават \odot .

Используем данные об энергиях по осям Оеаоһ-о и "клапанах" Свабхават O и (табл.256), и определим (табл.58).

Таблица 258

Энергообмен между метагалактикой и Мировым Яйцом

Формы энергии	Арупа	Арупа-Рупа	Рупа	Постоянные
На шести осях Оеаоһ-о	$6 \cdot (9+0)=54$	$6 \cdot 12^2=864$	$4 \cdot 16=96$	$K_2 \cdot K_3 = 64^2$ $K_2 \cdot (\pi \approx 315) \equiv 4 \cdot 1008.$
"Клапан" (табл.256)	Свабхават O 2,25	$3 \cdot 2,25 = 6,75$	Свабхават \odot 3	
Скорости (отношения)	$k_1 = 24$	$k_2 = 128$	$k_3 = 32$	

Все потенциалы этого поля (табл.258) обожествлены:

- 24 Пресвятых Престола вокруг Трона Христа на небе (Откровения) и $24 \cdot 42 = 1008$, где 42 – Божества Сердца (Книга Мёртвых);

- $128 = \sqrt{2}^{14}$ - зашифровано как произведение элементов великой Пирамиды (рис.5, табл.4):

$$\left(\sqrt{2} \cdot \sqrt{2}^2 \cdot \sqrt{2}^3 \cdot \sqrt{2}^4 \cdot \sqrt{2}^5 \cdot \sqrt{2}^6 \cdot \sqrt{2}^7 = \sqrt{2}^{28}\right) \equiv (k_2 = 2^7)^2; \quad (736)$$

- 32 в поле Рупы формирует Цинь, а в поле Арупы-Рупы возникают Цинь-Тянь-Цинь с потенциалом 128 (735).

336. Обожествлённое векторно-символическое описание Мирового Яйца

Процесс энергообмена между **метagalактикой** самосущих волн Космоса невесомости и **Мировым Яйцом**, то есть трёхмерным Пространством (рис.92), процесс многофакторный.

Математику многофакторных процессов лучше всего описывать векторами-символами, например диаграммой Тянь-Цинь.

Диаграмма Тянь-Цинь описывает разности квадратов потенциалов заполнения Мирового яйца Рупой-Арупой (табл.258).

Диаграмма Тянь-Цинь	Разность
 $k_2 k_3 \equiv 64^2$ (расширение) $\frac{c}{\omega_0} = 2 \equiv T_0 \frac{\omega_0}{c}$ - сжатие $\frac{c^3}{\omega_0^3} = 8 \equiv T_0 \frac{c}{\omega_0}$ - сжатие $k_3 k_4 \equiv 64^2$ (сжатие)	$\pm \left(\frac{1}{2} \int_2^{64} \varphi d\varphi - \frac{1}{2} \int_8^{64} \varphi d\varphi \right) =$ $\pm(1023 - 1008) = \pm 15$
	Бог (богиня) Луны $\equiv \pm 30$
	Электромагнетизм $\equiv \pm 15$.

Диаграмма Тянь-Цинь отражает последовательность перехода между соседними состояниями на величины ± 1 :

$$(k_2 k_3 - 2^2) \cdot (\omega_0^2 / c^2 = 1/4) = 1023 \equiv 32^2 - 1, \quad (738)$$

где 32 - потенциал эквивалент потенциалу небес Цинь.

Постоянная Вселенной по водороду, равная 1008, возникает в Мировом Яйце в момент, когда самосушие волны Рупа-Арупа начинают трансформироваться светом (табл.258):

$$(k_2 = 128) \cdot (\pi = 315) = 1008. \quad (739)$$

Важнейшую роль при заполнении Мирового Яйца энергией метagalактических волн играет Кундалини (табл.258).

$$\text{Кундалини} \equiv \frac{(k_1 = 24) \cdot (k_3 = 32)}{k_2 = 128} = 6 \equiv 3,5 + 2,5 \equiv 3,5^2 - 2,5^2. \quad (740)$$

Разности квадратов, описанные диаграммой Тянь-Цинь, равные ± 30 (738), великая Цивилизация дала Шумерам как бога и богиню Луны, разместив их в Пирамиде "Вавилонская Башня".

337. К Красной Звезде Теогенезиса

Иудеи, мягко говоря, лгут, говоря о своей богоизбранности и делая поспешные выводы о своей исключительности.

Великая Цивилизация передавала свои Знания Метанауки во все **Времена** и всем **Этносам Земли**, не выделяя любимчиков.

Например Шумерам была задача с богом-богиней Луны и Пирамидой "Вавилонская Башня", цивилизации Майи - задача с тринадцатилунным календарём, а в Древнем Египте обожествлялись числа 3, 4, 5 и 6 (табл.259):

**Пульсация полей с потенциалами 3, 4, 5 и 6:
Богами Египта**

Боги	Имена числа	Изида	Озирис	Гор	Тод
		3	4	5	6
Антирезонанс на уровнях: ...аоһо... в поле Оеаоһоо		3+4+5+6 = 18 ≡ τ(3,5+2,5) ≡ (γ _н = 72)·(1/4≡ω _о ² /с ²) Кундалини в Арупе (740), молекулярный вес во- ды, ядерное вещество с плотностью жидкой плазмы сжатое поверхностной волной ω _о ² /с ² =4			
Резонанс		3·4·5·6 = 360 = 2·(уровень о, последний в поле Оеаоһоо)			
Приведённая пульсация		360/18 = 20 ⇔ 1/20 = 18/360. Свабхават ⊙ = 400 ⇔ 1.			

Резонансный потенциал 360 при его воздействии на свет $c \equiv \pi \equiv 315$ вызывает колебания гравитационно-электрической пальмы, формируя из неё магнито-электрическое соотношение:

$$\frac{\text{Скорость света } c = \pi}{\text{Изида} \cdot \text{Озирис} \cdot \text{Гор} \cdot \text{Тод}} \equiv \frac{315}{3 \cdot 4 \cdot 5 \cdot 6} = \frac{7}{8} \equiv \sqrt{\frac{\rho \rho^*}{q q^*}} \cdot \int_0^1 \varphi d\varphi \equiv \sqrt{\frac{\mu \mu^*}{q q^*}}. \quad (741)$$

В Мировом Яйце возникают **Живые магниты**, в том числе и мы, уважаемый Читатель! И перед нами встает вопрос: куда стремится наше Эго в энергетическом поле Мирового Яйца?

Ответ даёт приведённая пульсация с потенциалом (табл.259):

$$20 \equiv 1400\text{\AA}/70\text{\AA} \equiv \Delta K(\text{красный})/\Delta J(\text{жёлтый}), \quad (742)$$

Эго Человека стремится к Красной Звезде Теогенезиса [4].

338. Зашифрованные Судьбы: генетика в Книге Перемен – социология в Библии

Сегодняшний Социум Общества Потребления под влиянием золотого тельца **приговорён спешить вверх по лестнице, ведущей вниз**. Для иных целей Разум используется по остаточному принципу. Мы сначала создаём Академию Информатики, а затем начинаем думать: **что такое Информация?**

Информация - это Энергия, но не вся Энергия Информация. Информация - одна из форм Энергии, в которой Носитель Разума выявил причинно-следственные связи. Если Носителю Разума выявить причинно-следственные связи не удалось, то энергия не пропала, но продолжает воздействовать на физическом уровне. Например, падающее яблоко будет продолжать бить Ньютона вне зависимости от того, открыл или не открыл Ньютон закон всемирного тяготения.

Грамота существует вне зависимости от того, умеете ли Вы читать или нет. Неграмотный субъект слушает, что читает ему грамотный. Если неграмотны оба, то их чтение является **Подобием Гадания**. Так произошло с великой **Книгой Перемен**. Не поняв её Смысла, китайцы пять тысяч лет назад приспособили Книгу для гадания. Удивлялись тому, что **по Книге не только угадывались Судьбы, но и Книга сама влияла на Судьбы людей**.

В процессе **влияния информации** на Судьбы Носителя Разума нет ничего удивительного, ибо **энергия информационного символа заложена** в сам символ и не исчезает, кто бы этот символ ни разглядывал.

Наши средства массовой информации пользуются влиянием информации для зомбирования масс во имя Капитала и Власти.

Великая Цивилизация использовала шифр-код информации во Имя информационного перехода к Теогенезису (табл.256):

Книга Перемен (зашифрованная генетика)	Ритмы Природы	Библия (зашифрованная социология)
$\sqrt{\rho_3} \cdot (9 + 0) \cdot \frac{\tau}{T_0} = 62500$	$62500 : 1$	$\sqrt{\rho_3} : T_0 = 62500$

(743)

339. Обожествление приёмо-передающих Систем Космоса

В процессе приёмо-передачи энергии всегда участвуют **Трое**: передатчик, среда и приёмник.

Троицу обожествляли и в Древнем Египте и в современном Христианстве (табл.260).

Великая Цивилизация называла источник Троицы, говоря о **Триедином пламени Четырёх Фитилей** ([3]. Космогенезис. Станца VII. П.4), то есть о **резонансной точке формировщиков**, имеющих резонансный потенциал, равный $Oeao \equiv 1,6$ (табл.246, табл.260).

Таблица 260

Обожествление приёмо-передающих энергетических Систем

Обожествление	Передатчик-излучатель	Окружающая среда	Приёмник	Ядро Излучателя
Древний Египет	Ра - Бог Солнца	Ба - Духовный двойник	Ка - материальный двойник	$Oeao \equiv 1,6$.
Христианство	Бог-Отец	Бог-Дух Святой	Бог-Сын	
$Oeao$ hoо уровни	$h = 8$	"h" $\xrightarrow{0}$ "o" на VII 240 : 7	"o" на VII 180	

Великая Цивилизация описывала приёмо-передающую систему Единого Космоса (табл.260) так:

"4. Это есть Корень, никогда не умирающий; Три-Язычное пламя Четырёх Фитилей. Фитили - Искры, которые извлекают из Три-Язычного Пламени, устремлённые Семью; их Пламя - Лучи и Искры единой Луны, отражённой в струящихся Водах всех Рек Земли" ([3]. Станца VII).

Лучи (фононы) и Искры (фотоны) пламени Луны (люминесцентный свет) в течение Семи Вечностей ($T_0 + \tau$) проходят окружающую среду и их потенциал становится равным (табл.260):

$$\frac{240}{7}(T_0 + \tau = 7) = 240. \quad (744)$$

Субстанция окружающей среды сгущается. формируется седьмой уровень o с потенциалом 180 (табл.260). Возникает вода с молекулярным весом 18.

340. Мультиплетность и изомерия *Oeaohoo*

Вне зависимости от **Формы субстанции** семеричное солнечно-лунное поле *Oeaohoo* (табл.255) пульсирует в ритме Дзиан между Хаосом и Гармонией. *Oeaohoo* делится пополам. Изометрия возникает как во всём поле в целом, так и на каждом энергетическом уровне (табл.261).

Таблица 261

Дзиан пульсация *Oeaohoo* – начало изомерии

Уровни	Номера символы	1	2	3	4	5	6	7	Природа изомерии
		<i>O</i>	<i>e</i>	<i>a</i>	<i>o</i>	<i>h</i>	<i>o</i>	<i>o</i>	
Приведённые потенциалы		1	2/3	1	2,4	8	240/7	180	<i>Oeaohoo</i> $\left(\pm \int_0^1 \varphi d\varphi \right).$
Цис-изомер $\times \int_0^1 \varphi d\varphi$		1/2	2/6	1/2	1,2	4	240/14	90	
Транс-изомер $\times \int_1^0 \varphi d\varphi$		-1/2	-2/6	-1/2	-1,2	-4	-240/7	-90.	

Описать изомерию Пространства можно, разделив систему координат $\pm x$, $\pm y$, $\pm z$ пополам, придав половинам противоположно направленное движение (рис.93).

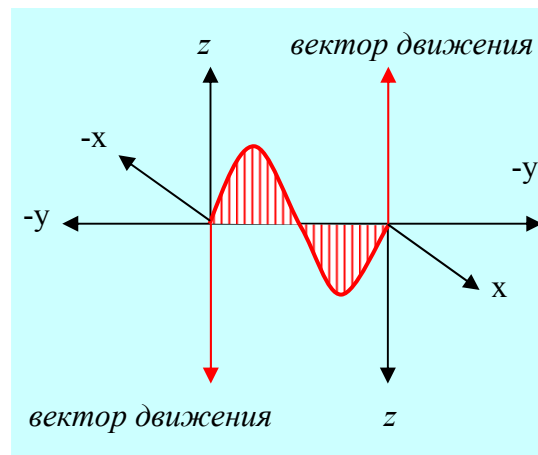


Рис.93 Изомерия-мультиплетность трёхмерного Пространства

К выводу мультиплетности - изомерии трёхмерного Пространства можно подходить осознано, как это делаем мы с Вами, уважаемый Читатель, а можно неосознанно, как это сделал А.Эйнштейн, выбрав противоположно-направленные системы координат при работе над теорией относительности (рис.93).

Сделав правильный вывод о том, что **взаимодействия переносятся из одной системы координат в другую волнами** (рис.93), но не понимая, и даже не догадываясь о чём идёт речь, А.Эйнштейн запутал материалистическую физику до предела:

- скорость волны света — максимальная скорость в Космосе;
- Пространство Кривое, Время тоже.

341. Колебания магмы: жидких сред седьмого уровня Оеаоһоо

Честолюбивое **стремление семитов выпячивать свой этнос**, создало теории относительности рекламу гениальной исключительности работ XX века от Р.Х.

Реклама заретушировала недостатки, хотя А.Эйнштейн так и не понял сущности $E = mc^2$. Формулы, взятой им из работ Гельвица и Пуанкаре без разрешения авторов — плагиат.

Было не понято основное: митоз энергии изменял характер движения массы m со скоростью c на вращение массы со скоростью ω_0 (табл.262).

Таблица 262

Теория относительности с позиции света

Энергия	Фотона	Фонона	Сгустка фонона
Форма движения	Равномерное, прямолинейное, поступательное	Равномерное колебание волны света	Вращение-сгущение точки волны света
Потенциалы	$E = m_c c^2 = c$	$E = E_\lambda c^2 = c$	$E \left(\pm \int_0^1 \varphi d\varphi \right) = \frac{c}{2} = \pm \omega_0$
Обожествление	Бог - Отец	Бог - Дух Святой	Бог - Сын.

Поиски причинно-следственных связей в процессе измерения энергетических форм, влияющих на характер движения кванта света в пульсирующих средах, привели А.Эйнштейна к выводу о кривизне Пространства. однако в Реалиях Космоса вращался сгусток *Оеаоһоо* (табл.261). В жидких средах этого уровня (магма перед литосферой Земли) возникали колебания:

Колебания	Кундалини	Пальма	1/Кундалини	(745)
Рек Земли [3]	$\frac{\pi = 315}{90} = 3,5$	$1,75 = \frac{\pi = 315}{180}$	$\frac{1}{3,5} = \frac{90}{\pi = 315}$	

342. Динамика изменения ядерного вещества

Ядерное вещество в форме жидкой плазмы существует в динамике.

Ядерное вещество возникает при эндотермии в форме жидкой плазмы лунного света, а завершает своё формирование в поле экзотермии как лазерная плазма солнечного света.

Между ними возникают два промежуточных состояния с потенциал - эквивалентами воды и света (табл.263).

Таблица 263

Лунно-солнечные формы плазмы ядерного вещества

Форма плазмы	Лунная	Эквивалент H ₂ O	Эквивалент света	Солнечная
Термия	Эндо-	переходная		Экзо-
Взаимодействия	-25 \equiv $\lg \rho_1 \rho_2$	$\lg \rho_1 \rho_2 \rho_3 \rho_4 \rho_5$		+25 \equiv $\lg \rho_3 \rho_4 \rho_5$
Энергетическая плотность	$\gamma_1 = (9+0) \equiv$ τ^2	$\gamma_2 = 18 \equiv$ $2 \cdot (9+0)$	$\gamma_3 \equiv 36 =$ $4 \cdot (9+0)$	$\gamma_4 \equiv 72 \equiv$ $8 \cdot (9+0).$

Пламя - Лучи (фононы) и Искры (фотоны) единой Луны, отраженной в струящихся Волнах всех Рек Земли ([3]. Станца VII, п.4), великая Цивилизация отразила во взаимодействиях, число которых равно 108 реинкарнациям по Буддизму (табл.263).

$$\pm 2 \cdot (27+2 - (-25) = 54) = \pm 108, \quad (746)$$

где $2 \cdot (27+2) = 58$ - Божества в Голове Человека (Книга Мёртвых), формирующие полушария головного мозга.

Кундалини, возникающая в жидкой плазме ядерного вещества (745), формирует среду геномов наследственности в поле света $\pi \equiv c \equiv 315$:

Свет	0,1 π	0,2 π	0,4 π	0,8 π
Плазма и Кундалини	$3,5 \cdot (9 = \gamma_1)$ $\equiv 31,5$	$3,5 \cdot (18 = \gamma_2)$ $\equiv 63$	$3,5 \cdot (36 = \gamma_3)$ $\equiv 2 \cdot 63$	$3,5 \cdot (72 = \gamma_4)$ $\equiv 4 \cdot 63.$

(747)

К моменту появления потенциала 63 сгусток объём великой Пирамиды наполняется энергией самосущих волн:

$$E \equiv \int_{\sqrt{2}=r}^{8\sqrt{2}=L} \varphi d\varphi = 63. \quad (748)$$

343. Энергетика митоза субструктуры биоклетки

Динамика изменения ядерного вещества описана в Теогенезисе Книги Дзиан ([4]. Теогенезис. Станца 7. п.6).

"6. Царь (геном) явился сам и сейчас был известен им. "Я – первый (радиус $r = \sqrt{2}$ окружности, вписанной в основание великой Пирамиды.

Вектор волны $Sc \pi/4 \equiv Csc \pi/4 \equiv \sqrt{2}$), сказал Он, и я – последний (ребро $L = 8\sqrt{2}$ великой Пирамиды. Вектор волны $Sc \pi/4 = \sqrt{2}$ в расширяющейся до $c^3/\omega_0^3 = 8$ Вселенной), и оба мы – одно лицо (интегральная разность потенциалов, равная 63 (748)). Свет пришёл из тьмы (747). Всё пришло из ничего (табл.263). Из Смерти пришла вечная Жизнь (возник митоз биоклетки, изменяющий субструктуры: $(9+0) \rightarrow (9+2) \rightarrow (9+0)$). Дело сделано".

Митоз биоклетки начинается с появлением у материнской субструктуры $(9+0)$ двух дополнительно выросших волосков-жгутиков, описанных как субструктура $(9+2)$.

Восемь волосков-трубочек всегда работают на сохранение равновесия между пульсацией расширяющейся Вселенной (Свето-Дателем) и субструктурой (рис.94):

$$8 \text{ волосков-трубочек} \equiv \frac{c^3}{\omega_0^3} = 8. \quad (749)$$

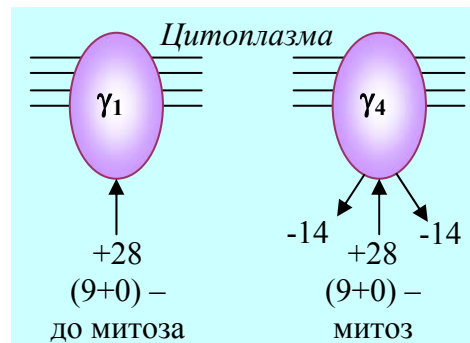


Рис.94 Субструктуры биоклетки в цитоплазме биоклетки

По девятому волоску в субструктуру поступает гравитационный лунный импульс $28 \equiv \sqrt{\rho\rho^*}$ (рис.94).

Плотность цитоплазмы в субструктурах повышается от $\gamma_1 = (9+0)$ до $\gamma_4 = 72$ (рис.94), то есть в восемь раз.

Нагрузка на восемь волосков-трубочек (749) увеличивается до квадрата первоначальной величины и становится равной потенциалу Тянь $\equiv 8^2$ (Книга Перемен). Энергию надо отводить, и в субструктуре (как в любом Семени Живого) прорастает два волоска-жгутика, по которым отводится магнитная энергия $\pm 14 \equiv \pm \sqrt{\mu\mu^*}$ (рис.94). Субструктура (9+2) попадает в режим ноль-потенциала суммы:

$$-28 \equiv -\sqrt{\rho\rho^*} \Leftrightarrow \pm[14 - (-14)] \equiv \pm 2\sqrt{\mu\mu^*}, \quad (750)$$

а разность удваивает субструктуры, деля клетку пополам.

344. Митоз биоклетки и рождение в Жизни до Жизни

"1. Познай начало Жизни чувствующей и вне формы".

Митоз биоклетки связан с поступлением в субструктуру лунной гравитационной энергии и её удвоении в случае разности (724). Плотность цитоплазмы в объёме субструктуры увеличивается от $\gamma_1 = (9+0)$ до $\gamma_4 = 72$.

В Арупе (вне формы) Вселенной возникают живые магниты (рис.94, табл.264).

Таблица 264

Возникновение живых магнитов в Арупе Вселенной (рождение в Жизни до Жизни)

Результат	$\text{Арупа} \equiv 9^2 \equiv \tau^{T_0} \Leftrightarrow \sqrt{\mu\mu^*} \equiv 14^2 \equiv \text{живые магниты}$
Колебания плотности цитоплазмы в субструктуре (рис.94)	$\frac{\gamma_1 = (9+0)}{\sqrt{\rho\rho^*} = 28} \Leftrightarrow \frac{56 \equiv \sqrt{\mu\mu^*} + \sqrt{\rho\rho^*} - (-\sqrt{\mu\mu^*})}{\gamma_4 = 72},$ $(9+0) \cdot 72 \Leftrightarrow 56 \cdot 28 \quad \text{или} \quad 9^2 \Leftrightarrow 14^2.$

Великая Цивилизация описывает рождение в Жизни до Жизни, продолжая Станцу VII, п.1 Космогенезиса.

"Вначале, Божественный, Единый от Матери Духа: (лунный гравитационный импульс, подобный Мысли, то есть $\rho^* = 28 \cdot 10^{20}$, поступающий в Каплю Эфира Бордо, как $\rho\rho^*$ в цитоплазму (рис.94)); **затем Духовный** ($\rho\rho^* = 28$, где вместе с импульсом Мысли появляется гравитационный заряд ρ); **Три от Одного (Арупа), Четыре от Одного (Рупа) и Пять** (энергия пятеричной связи, Пятеричный Лха)".

Возникает резонансный вихрь Арупа-Рупа и возмущённая среда (табл.265).

Таблица 265

Возмущение окружающей среды Арупой-Рупой

Излучатели	Среда вокруг излучателей
$3+4+5 = 12$	$\int_{3-1}^{3+1} \varphi d\varphi \cdot \int_{4-1}^{4+1} \varphi d\varphi \cdot \int_{5-1}^{5+1} \varphi d\varphi = 6 \cdot 8 \cdot 10 = 480.$

"Затем Три, Пять и Семь ($3+5+7 = 15$). Эти суть Троичные и Четверичные в нисходящем порядке ($480:15 = 32 = (3^2+2^2+1^2 = 14)+(4^2+3^2+2^2+1^2 = 18)$); **Первого Владыки (ρ^*) рождённые Разумом Сыны (Наше Эго с потенциалом Цинь $\equiv 32$), **Блистающие Семь** (живые магниты $\mu\mu^*$). Они и есть Ты, Я, Он, о Лану; они блю-дуют тебя и твою Матерь Бхуми (Землю).**

**345. Информатика:
растворение 22 букв Авраама в воде**

Энергия всегда и везде воздействует на живое. Живое под воздействием энергии Космоса плодится - размножается как в Жизни, так и до-после Жизни.

Но космическая Энергия **Первого владыки** есть Мысль $\rho^* = 28 \cdot 10^{20}$, и мы, **рождённые Разумом Первого владыки, Сыны (Я, Ты, Он)**, должны понимать Космическую Мысль.

Мы должны понять, что энергетические изомерические импульсы $(9+2) \Leftrightarrow -(9+2)$ при $\pm 22 \Leftrightarrow \pm 0$ служат не только для размножения, но и для передачи информации.

"Авраам связал дух двадцати двух букв своим языком, и Бог открыл ему секреты их. Бог позволил буквам раствориться в воде. Он сжёг их на огне, развеял по ветру. Он распределил их среди семи планет и отдал их двенадцати знакам Зодиака ([2]. Тора).

Поскольку ни Авраам, ни Эйнштейн, ни другие исследователи Мирового яйца не смогли дать ответа на вопрос о механизме распространения энергии, в том числе информации, то возьмёмся за дело сами и выделим пять технологических процессов, указанных Богами Аврааму (табл.266).

Таблица 266

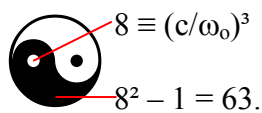
**Пять стадий технологической переработки
22 букв Авраама [2] (Пять Продвижений Фохата)**

Номера	1	2	3	4	5
Операции	Растворение в воде	Сжигание на огне	Развеял по ветру	Распределил среди 7 планет	Отдал 12 знакам Зодиака.

Напомню, что в трёхмерном пространстве Мирового Яйца *Oeaohoo* (рис.92) жидкая фаза ядерного вещества появлялась на седьмом уровне \bigcirc с потенциалом 180 (табл.259).

Появилась вода и возникла диссоциация воды, а с ней и пульсация ионов (табл.267).

Пульсация ионов в диссоциированной воде

Молекулярные веса	$2\text{H}^+ + \text{O}^{-2} \Leftrightarrow \text{O}^{-2} - 2\text{H}^+$ $2+16 = 18 \Leftrightarrow 16 - 2 = 14$	М в диаграмме Тянь-Цинь
Приведённая пульсация	$M = \frac{18 \cdot 14}{18 + 14} = \frac{252}{32} = \frac{63}{8}$	

**346. Парогазовая атмосфера
над остывающей Землёй**

Диссоциация воды в водных растворах солей и кислот измеряется с помощью рН-метрии, где рН – логарифм концентрации ионов водорода, максимум которого равен 14.

Диссоциация – пульсация компонент атомов и молекул должна учитываться при определении молекулярных весов, например в газах (табл.268).

Пример расчёта приведённых молекулярных весов

Газы	Формула	Диссоциация	Приведённые молекулярные веса
Углекислый газ	CO_2	$\text{C} + \text{O}_2 \Leftrightarrow \text{O}_2 - \text{C}$ $12+32 = 44 \Leftrightarrow 32-12 = 20$	$k_1 = \frac{44^2 - 2^2}{28 \cdot 2} = \frac{3 \cdot 8^2}{110}$
Окись углерода	CO	$\text{C} + \text{O} \Leftrightarrow \text{O} - \text{C}$ $12+16 = 28 \Leftrightarrow 16-12 = 4$	$k_2 = \frac{28^2 - 2^2}{28 \cdot 2} = \frac{8^2 \cdot 10}{8 \cdot 7}$
Метан	CH_4	$4\text{H} + \text{O} \Leftrightarrow \text{O} - 4\text{H}$ $4+16 = 20 \Leftrightarrow 16-4 = 12$	$k_3 = \frac{20^2 - 4^2}{20 \cdot 4} = \frac{8^2 \cdot 6}{8 \cdot 10}$
Аммиак	NH_3	$3\text{H} + \text{N} \Leftrightarrow \text{N} - 3\text{H}$ $3+14 = 17 \Leftrightarrow 14-3 = 11$	$k_4 = \frac{17^2 - 11^2}{17 \cdot 11} = \frac{3 \cdot 7 \cdot 8}{17 \cdot 11}$

В период, когда планета Земля остывала, в её атмосфере возникала парогазовая смесь, в которой аммиак обладал инверсионной пульсацией (выворачивание наизнанку). Поэтому парогазовую атмосферу над раскалённой Землёй в точке резонанса Капли можно считать по отношению, приводящему к эквиваленту поля Бог - Дух Святой в трёхмерном Пространстве (табл.267, табл.268):

$$K \equiv \frac{M \cdot K_1 \cdot K_2 \cdot K_3}{K_4} = \frac{17}{35} \cdot 3^3 \cdot 8^3 = \frac{17}{35} (24)^3. \quad (751)$$

Первоатмосфера Земли пульсировала в режимах Дзиан - взаимодействия, формируя Пятёричный Лха и Кундалини:

$$K \cdot \left(\pm \int_0^1 \varphi d\varphi = \pm \frac{1}{2} \right) \Leftrightarrow 17 \cdot 24^3 \cdot \frac{1}{5} \cdot \frac{1}{7} \text{ и } 5K \Leftrightarrow 17 \cdot 24^3 \cdot 2/7, \quad (752)$$

где 2/7 - величина, обратная Кундалини.

347. pH - растворов и 108 реинкарнаций

Экономика России, как атомная энергетика, - всё в условных единицах, а не только масса ядра.

Условная единица измерения и приставка Квази возникают там и тогда, где и когда метод приближений (основа анализа причинно-следственных связей Природы нашей науки) заходит в тупик.

Тупиковая ситуация возникла и в вопросе расчёта атомно-молекулярных весов химических элементов и соединений без учёта диссоциации этих соединений, например воды.

Диссоциация воды в водных растворах солей и кислот, как и диссоциация самих водных растворов измеряется **pH**-метрией.

pH - это условное обозначение логарифма концентрации иона водорода (H^+) в растворе.

pH - логарифм концентрации ионов водорода в растворе изменяется от единицы до 14, где в области $pH = 1 \div 7$ фиксируется кислотность, $pH = 7 \div 14$ - щелочность, а при $pH = 7$ - нейтральность растворов.

Жидкие среды любых растворов обладают ближним порядком, то есть в жидких средах протекают короткодействующие взаимодействия:

Связь короткодействующих взаимодействий с pH растворов		(753)
$pH \equiv 14 \equiv \lg \rho_4^{14} = \lg 10^{14}$	$pH = -1 = \lg \rho_2 = \lg 10^{-1}$	
Экзотермия	Эндотермия.	

Изменение pH в Капле вызывает появление разности квадратов потенциалов, равной потенциалу полуэллипса свечения Тонкой Энергии (рис.90), связанным со 108 реинкарнациями по Буддизму:

$$T_0[14^2 - (14-1)^2] = 4 \cdot (14^2 - 13^2) = 4 \cdot 27 = 108. \quad (754)$$

348. Релаксация излучения: источник 13ти кратного Счисления

Любому излучению сопутствует энергетическое возбуждение точки излучателя, например, при излучении кванта света, перехода электрона с орбиту на орбиту и так далее.

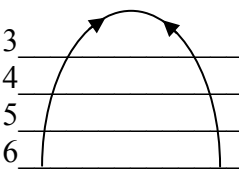
Энергетическое возбуждение точки излучателя на поверхности излучения называется релаксацией.

Продолжительность релаксации определяется короткодействующими взаимодействиями: эндотермическими при слабых взаимодействиях ($\rho_2 = 10^{-1}$) и экзотермическими при ядерных взаимодействиях ($\rho_4 = 10^{14}$).

Продолжительность релаксации определяется как интервал колебаний ядерно-слабых взаимодействий, затрагивающих как ядерные реакции, так и логарифмические процессы (табл.269).

Таблица 269

**Релаксация точки-излучателя:
отсчёт по 13-лунному Календарю**

Процессы	Ядерные реакции	Логарифмические процессы
<p>Взаимодействия:</p>  $\begin{array}{r} 6543 \\ + 3456 \\ \hline 9999 \end{array}$	$\Delta \tau \equiv \rho_2 \rho_4 \int_x^y \varphi d\varphi ,$ <p>где $x = \rho_2 \rho_4 / \rho_5 = 10^{12}$, $y = \rho_2 \rho_4 \rho_5 = 10^{14}$.</p> $\Delta \tau \equiv 10^{13} \frac{1}{2} (10^{28} - 10^{24}) \equiv$ $\frac{1}{2} 10^{37} (10^4 - 1) =$ $\frac{1}{2} 10^{37} \cdot 9999 = 5 \cdot 10^{36} \cdot 9999$	$\lg \Delta \tau \equiv \lg \rho_2 \rho_4 \int_{x_1}^{y_1} \varphi d\varphi$ <p>где: $x_l = \lg(x=10^{12}) = 12$, $y_l = \lg(y=10^{14}) = 14$. $\lg \Delta \tau = 13 \cdot 2 \cdot 13 = 2 \cdot 13^2$</p> <p>Отсчёт по 13ти лунному Календарю.</p>

Великая Цивилизация дала 13-ти лунный Календарь цивилизации Майи, а ядерные процессы Древнему Египту, предварительно обожествив Цифры (табл.269):

$$+ \frac{\text{Изида, Озирис, Гор, Тод}}{\text{Тод, Гор, Озирис, Тод}} \equiv + \frac{3456}{6543} = 9999 . \quad (755)$$

И даже зная сущность (755), я не имею права говорить о **разоблачённой Изиде**.

349. Космическая Мысль: несущая волна телепатии

Потенциал релаксаций ядерных реакций является источником экзотермических взаимодействий: ядерного и электромагнитного (табл.269):

$$\Delta\tau \equiv 5 \cdot 9999 \cdot (10^{36} = 10^{14} \cdot 10^{12} = \rho_4 \cdot \rho_3). \quad (756)$$

Экзотермия как в огне сжигает двадцать две буквы Авраама (табл.268).

Однако процесс поступления метagalactic волн в область релаксации точки - излучателя не прекращается, и продолжительность релаксации удваивается (756):

$$(Sc \pi/4 \cdot Csc \pi/4 = \dots = 2) \cdot \Delta\tau = 9999 \cdot 10^{37}. \quad (757)$$

В область релаксации попадает элементарная частица, странница Космоса - носитель слабых взаимодействий $\lg(\rho_2 = 10^{-1})$, например бозон, и так далее (757):

$$2\Delta\tau/10^{37} - \lg(\rho_2 = 10^{-1}) \equiv 9999 - (-1) = 10^4$$

$$\text{и} \quad 2\Delta\tau - \lg \rho_2 \cdot 10^{-37} = 10^4 \cdot 10^{37} = 10^{41}. \quad (758)$$

Возникает люминофор, в пределах насыщения которого имеют место быть 10^{40} фотонов в условиях взаимодействия света:

$$2\Delta\tau + 10^{-37} = 10^{41} \equiv \rho_5 \cdot 10^{40}$$

$$\text{или} \quad 2\Delta\tau = 10^{40} \rho_5 - 10^{-37} = \frac{10^{40+37} - 1}{10^{37}} \equiv \frac{10^{78} - 1}{10^{37} \cdot 1}, \quad (759)$$

где $41+37 = 78 = 2 \cdot 28 + 22$ и сжигание на огне 22 букв Авраама завершается (табл.266):

$$10^{37} \Delta\tau = 10^{2 \cdot 28} \cdot 10^{22} - 1. \quad (760)$$

В окружающее Пространство с частотой $1/16^2$ излучается квадрат гравитационного импульса ρ^* (760):

$$10^{2 \cdot 28} \cdot 10^{22} \equiv (\rho^*/T_0)^2 \cdot 10^{22} \quad (761)$$

и $10^{37} \cdot T_0^2 \cdot \Delta\tau + 1 \equiv (\rho^*)^2 \cdot 10^{22}, \quad (762)$


где **22 буквы Авраама летят со скоростью Космической Мысли Создателя, предопределяя телепатию.**

350. Свабхават как ветер для 22 букв Авраама

Релаксация заканчивается излучением. Излучение ограничено расширением Вселенной в трёхмерном Пространстве. Для точки - излучателя света потенциал Светодателя будет равен $8 \equiv c^3/\omega_0^3$.

Относительно излучения света Тора молчит. относительно 22 букв Авраама утверждает, что на этом этапе **Авраам развеял буквы по ветру** ([2], табл.266).

Энергетику ветра расширения описывает диаграмма Тянь-Цинь, как например переход от Зародыша сжатия к Зародышу расширения:

 <p>$2 \equiv T_0 \cdot c / \omega_0$ (сжатие) $8 \equiv c^3 / \omega_0^3$ (расширение) Диаграмма Тянь-Цинь</p>	<p>$8^2 - 2^2 = 60 \equiv \text{Луна}$ Бог и богиня Луны Шумеров</p>	(763)
--	---	-------

Возникает сине-голубая область разности длин волн в полях слабых взаимодействий, характерная для Чакры Третий Глаз:

$$60 \equiv \rho_2 \cdot 600 \equiv \rho_2 \cdot \Delta\Gamma \equiv \rho_2 \cdot \Delta C \equiv \rho_2 \cdot 300\text{\AA}. \quad (764)$$

Между Подсознанием и Сознанием в области Чакры Третий Глаз возникает биоток силой 10^{-4}А и индукция с потенциалом 10^4 В/А .

"8...Жизнь бессознательная пульсировала в Пространстве Вселенском во Всесущности той, что осталась открытым $[(c/\omega_0)^3 \equiv 8 \equiv \text{О-зародыш (763)}]$ Глазом Дагма" ([3]. Космогенезис. Станца I, п.8).

Вместе с тем процесс релаксации может быть описан с помощью Свабхават О и Свабхават ⊙ (табл.270).

Таблица 270

**Излучение-поглощение
Зародышей сжатия-растяжения (763)**

Последовательность		До-	Точка Свето- Датель	После-	Приведённые потенциалы	
Символизм		Сваб- хават О	Сваб- хават ⊙	Сваб- хават О	Поглощение	Излучение
Потенциалы	Поглощение	2	2 ²	2	$k_1 = \frac{2 \cdot 2^2 \cdot 2}{2 + 2 + 2} =$ 2	$k_2 = \frac{8 \cdot 8^2 \cdot 8}{8 + 8 + 8} =$ 51,2.
	Излучение	8	8 ²	8		

**351. Мировое Яйцо
как оплодотворённая Яйцеклетка**

"9. Но где была Дангма, когда Алая Вселенной (Душа) была в Парамартха (Сознание Бытие ⇔ Не-Бытие Бессознание) и Великое Колесо (Вселенная Жизни) было Анупадака?" ([3]. Космогенезис. Станца VII).


Речь идёт о **оплодотворённом Мировом Яйце**, подобием которого является **оплодотворённая женская яйцеклетка - Зигота**. Наша задача состоит в том, чтобы в поле *Оеаоһоо* выделить Зародыш, Желток, белок и скорлупу (табл.271).

Структура Мирового Яйца - Зиготы *Oeaohoo*

Компоненты		Желток				Белок	Зародыш	Скорлупа
		Формовщики				Свето-Датель	Пространство (рис.90)	
							Центр	Оболочка
Ряды	№№	1	2	3	4	5	6	7
	Символы	<i>O</i>	<i>e</i>	<i>a</i>	<i>o</i>	h	o	o
Потенциалы	Яйца	<i>Oeaoh</i> $\equiv 1,6$				8	240/7	180
	Зародыша	-				-	$2 \Leftrightarrow 51,2$ (табл.270)	-

Появление в Зародыше **красной крови**, то есть переход $\Delta\mathcal{J} \rightarrow \Delta\mathcal{K}$ описывается как числами, так и диаграммой Тянь-Цинь (табл.271):

$$51,2 \cdot \left(\frac{\Delta\mathcal{K}}{\Delta\mathcal{J}} = \frac{1400 \overset{o}{A}}{70 \overset{o}{A}} = 20 \right) \equiv 1024 = 32^2; \quad (765)$$



и $\frac{62^2 - 2^2}{T_0} = 1023 \equiv 32^2 - 1.$

Говоря о **Параматка**, великая Цивилизация исходила из того, что на уровне **Подсознания** происходит трансформация Мысли (ρ^*) в Память (μ^*), что вызывает появление двойки:

$$(\rho^* = 28 \cdot 10^{20}) : (\mu^* = 14 \cdot 10^{20}) = 2. \quad (766)$$

В трёхмерном Пространстве этот импульс (766) расширяется, формируя эквивалент света $8^2 - 2^2 = 60$.


352. Шумеры и мы – Луна и Откровения

Сведения о **Структуре Мирового Яйца** (табл.271) великая Цивилизация пытается тысячелетиями довести до нашего Сознания.

Ещё во времена Шумеров великая Цивилизация обращала внимание людей на разность квадратов потенциалов, возникающую между импульсами сжатия и расширения, показанными также в диаграмме Тянь-Цинь (табл.272).

Таблица 272

Примеры обожествления пульсации сжатия-расширения

Тянь-Цинь диаграмма	Стадии пульсации	Шумеры
	1. $8^2 - 2^2 = 60$ 2. $64^2 - 8^2 = 64 \cdot 63$ 3. $64 - 64 = 0$ 4. $64 + 64 = 4 \cdot 32$ 5. $64^2 - 2^2 = 32^2 - 1$	Луна (Бог + Богиня) \equiv $30 - (-30) = 60$ и Система Счисления, кратная 60 [1].

После разрушения Вавилонской Башни и ухода Шумеров в мифологическую тьму веков, Иисус Христос диктует Иоанну Богослову **Откровения** [5].

В **Откровениях** Иисус даёт потенциал **Времени Апокалипсиса**, то есть **Продолжительности излучения света с Поверхности Мирового Яйца** *Оеаоһоо* (табл.271).

Фактически даётся физика Продолжительности пульсации во взаимодействиях (табл.273).

Таблица 273

Физическая структура Времени в Откровениях [5]

Время в Откровениях			Физическая сущность
Левизна $3 \cdot 10^6$ лет	Правизна $3 \cdot 10^6$ лет	Общее $6 \cdot 10^6$ лет	$(8^2 - 2^2 = 60) \cdot (\sqrt{\rho_3} = \rho_2 = 10^6) =$ $6 \cdot 10^6.$

Шумерскую систему Счисления, кратную 60, мы сохранили и сегодня:

$$1 \text{ мин} - 60 \text{ сек}, 1 \text{ час} = 3600 \text{ сек} \equiv 3600\text{Å} \equiv \Delta\text{Б}.$$

353. Обожествление Продолжительности во Взаимодействиях

Задолго до **Откровений** Книга Дзиан так описывала течение времени на Земле:

"5. Колесо вращалось ещё триста миллионов лет. Оно построило Рупу (Формы), мягкие Корни, которые затвердели, твёрдые Растения, которые стали мягкими... Видимое из невидимого, Насекомые и малые Жизни. Она сбрасывала их со спины, каждый раз, что они одолевали Матерь... После трёхсот миллионов лет она стала круглой ([3]. Антропогенезис. Станца II).

Сравнение трёхсот миллионов лет и трёх миллионов лет по **Откровениям** указывает на появление в этих продолжительностях взаимодействий, являющихся эквивалентом ρ_5 : $\rho_2 = 100$ (табл.274).

Таблица 274

Продолжительности во Взаимодействиях

Направленность	Левизна	Взаимодействия	Правизна
Книга Дзиан	$3 \cdot 10^8$ лет	$100 \Leftrightarrow -100$ $\rho_5/\rho_2 \Leftrightarrow \rho_2/\rho_5$	$3 \cdot 10^8$ лет
Откровения	$3 \cdot 10^6$ лет		$3 \cdot 10^6$ лет
Взаимодействия	$\left(\lg \frac{\rho_3 \rho_4}{\rho_1} = 10^{50}\right)^2 = 100 \Leftrightarrow -100 = \left(\lg \frac{\rho_1}{\rho_3 \rho_4} = 10^{-50}\right)^2$		
Форма обожествления	$\text{Айн СОФ} \equiv 50 \equiv \lg \frac{\rho_3 \rho_4}{\rho_1}$. Бог из Каббалы.		

Когда в поле с потенциалом Айн СОФ появляется свет или слабые взаимодействия, то появляется потенциал, равный 51 и равный $51,2 - 0,2 = 51$ (табл.271). Это потенциал пульсации Зародыша (табл.271):

$$51 = \lg \rho_3 \rho_4 / \rho_1 \rho_2 \Leftrightarrow \lg \rho_1 / \rho_3 \rho_4 \rho_5 = -51, \quad (767)$$

и великая Цивилизация вновь описывает нам этот потенциал в главе 21 Евангелия от Иоанна.

Напомню фабулу эпизода. Апостолы ловят рыбу. Рыбы нет. Иисус после Вознесения является им третий раз ($\tau = 3$). Говорит: забросьте сеть с другой стороны лодки (речь о изомерии). Забросили, поймали 153 крупных рыб:

$$153 : 3 = 51 \equiv \lg \rho_3 \rho_4 \rho_5 / \rho_1. \quad (768)$$

354. Красная Звезда Теогенезиса в *Оеаоһоо*

Мировое Яйцо *Оеаоһоо* (табл.271) описывает в частности диаграмма Тянь-Цинь, в которой имеются суммы четырёх потенциалов: 2, 64, 8, 64 и неравновесная система колебаний между ними (табл.275).

Таблица 275

110 Божеств в теле Человека: описание волнами Тянь-Цинь

Волны ☯	Антирезонанс 8^2+8^2	Резонанс $8^2 \cdot 8^2$
Неравновесие системы ☯	$\frac{8+2}{8+64} \Leftrightarrow \frac{64+64}{64+2}$ $660 \Leftrightarrow 72 \cdot 128$	$\frac{8-2}{8-64} \Leftrightarrow \frac{64 \cdot 64}{64-2}$ $6 \cdot 62 \Leftrightarrow 56 \cdot 64^2$ $6 \Leftrightarrow 64^2$
Отношение	$\frac{660}{6} = 110 \Leftrightarrow \frac{9}{4} = \frac{72 \cdot 128}{64^2} \equiv \frac{\tau^2}{2^2} \equiv \frac{\tau^2}{T_0}$	

Диаграмма Тянь-Цинь настолько многофакторна, что она, по-видимому, описывает всё, включая свет:

$$(8^2 - 2^2 = 60) \cdot [(64^2 - 2^2) - (64^2 - 8^2) = 60] = 3600 \equiv \Delta Б.$$

Вместе с тем в Мировом яйце *Oeaohoо* колебания Зародыша и Формовщиков (табл.271):

$$\boxed{\frac{2}{1,6} = 1,25 \equiv \frac{5}{4} \Leftrightarrow 32 = \frac{51,2}{1,6}}, \quad (769)$$

зарождаются небеса-Цинь и спирали Кундалини сжатия, пульсирующие с частотой Дзиан, ибо

$$\frac{5}{4} \equiv \frac{5}{2} \cdot \left(\int_0^1 \varphi d\varphi = \frac{1}{2} \right) \Leftrightarrow -\frac{5}{2} \cdot \left(\int_1^0 \varphi d\varphi = -\frac{1}{2} \right) = -\frac{5}{4}. \quad (770)$$

В поле спектра света возникает переход от жёлтой области спектра к красной, а в оплодотворённом зародыше желтке формируется красное ядерное вещество, то есть кровь и кровеносная система рождающегося плода (770):

$$4 \cdot 5 = 20 = \Delta К / \Delta Ж \Leftrightarrow -\Delta К / \Delta Ж = -20 = -5 \cdot 4. \quad (771)$$

"4. Сказал Он Святым: "Соберите своих хозяев и сделайте жилища, достойные Ангелов Голоса. Они проведут новорожденных Сынов Воли и Йоги по открытой мною Тропе, чтобы они смогли заселить огненную Красную Звезду новой расой" ([4]. Теогенезис. Станца IX).

355. Электричество на оболочке Мирового Яйца *OeaoHoо*

В центре Мирового яйца, или начале системы координат трёхмерного Пространства, то есть в поле *o* шестого уровня (рис.92), возникает колебание (табл.271):

$$240/7 \Leftrightarrow 2 \Leftrightarrow 51,2 \quad \text{или} \quad 240 \Leftrightarrow 2 \cdot 7 \Leftrightarrow 51,2 \cdot 7, \quad (772)$$

где $2 \cdot 7$ - изомерия "**системы Семи Планет**" $7 - (-7) = 14$, эквивалентная появлению живых магнитов $\sqrt{\mu\mu^*} = 14$, или эквивалентная информативу 22 букв Авраама на стадии их распределения между Семью планетами (табл.266).

влияние желтка - формовщиков приводит к появлению над желтком поля Цинь (772):

$$240 \Leftrightarrow 2 \cdot 7 = 14 \Leftrightarrow 7 \cdot 51,2/1,6 = 7 \cdot 32 \equiv 224. \quad (773)$$

В Мировом Яйце возникает цис-транс изомерия гравитационно-электромагнитного равновесия (773)

$$\pm 224 \equiv (112 \equiv 7 \sqrt{qq^*} \equiv 8 \sqrt{\mu\mu^*} \equiv 4 \sqrt{\rho\rho^*}) \left(\pm \int_0^1 \varphi d\varphi \right) \cdot T_o. \quad (774)$$

Появляются заряды и импульсы Мысли, Памяти, Воображения. Возникает периодическая система химических элементов.

"6. Корень Жизни был в каждой Капле Океана Бессмертия, и Океан был Свето и Лучезарным, который был Огонь и Тепло, и Движение. Тьма исчезла и более не существовала, она исчезла в своём Естестве, в Теле Огня и Воды, Отца и Матери" ([3]. Космогенезис. Станца III).

Стабильность Бессмертия в Океане Жизни поддерживали колебания (773):

$$240 \Leftrightarrow 14 \Leftrightarrow 224, \text{ где } 16 = 224/14 = 240 - 224. \quad (775)$$

Это электрическое поле с потенциалом $16 = \sqrt{qq^*}$ (775) и при антирезонансе ($240 - 224 = 16$) и при резонансе ($224/14 = 16$) сжимает пульсирующее Мировое яйцо с постоянной силой, давая астрологам гадать, а великой Цивилизации шифровать Книгу Бытия.

356. Дзиан-пульсация Живого Мирового яйца

Появление электрического поля $\sqrt{qq^*} = 16$ на шестом уровне *o* в поле *Oeaoh-o* (775) изменяет форму энергии в центре системы координат трёхмерного Пространства *Oeaohoo* (рис.92).

Центр этой системы координат (рис.92) – это **Корень Жизни в Океане Бессмертия**, где компоненты Мирового Живого Яйца имеют приведённые потенциалы, рассчитанные относительно дробей-Дзиан и **связанные между собой** (табл.276).

Таблица 276

Живое Мировое Яйцо

Компоненты		Желток	Белок	Зародыш	Скорлупа
Структура	Наименование	Формовщики	СветоДатель	Центр Пространства	Оболочка
	Уровни	1-2-3-4	5	6	7
	Символы	<i>Oeaο</i>	<i>h</i>	<i>ο</i>	<i>ο</i>
Потенциалы	Приведённые	1,6	8	16	180
	По <i>Oeaο</i>	1	5	10	112,5
	По Дзиан	2	10	20	225.

Поскольку Единый Космос пульсирует в ритме Дзиан, то и Живое Мировое Яйцо пульсирует в Дзиан-ритме (табл.276). Зная этот ритм, великая Цивилизация описала законы Космо-, Антропо-, Теогенезиса, Перемены на генетическо-духовном уровне и Бытие в мире Мёртвых.

В Едином Космосе нет случайностей. **Случайность – это ещё не понятая Носителем Разума Закономерность.**

Свобода Воли дана Носителю Разума для того, чтобы на уровне Дзиан своего Эго сказать "Да" – "Нет" Хаосу ($\int_1^0 \varphi d\varphi = -0,5$) или Гармонии ($\int_0^1 \varphi d\varphi = 0,5$).

357. Зарождение живых магнитов в Мировом Яйце

Процессы рождения и излучения являются энергетическими Подобиями.

Когда при рождении происходит внутриутробное развитие Зародыша в Плод, **при излучении подобием ему будет возбуждение-релаксация точки-излучателя.**

Когда в поле Лона Матери (Яйцо, Семя, Субструктура (9+0)) и так далее) рождается плод, то этот процесс является **подобием излучения.**

Энергетически излучение фонона и митоз субструктуры (9+0) биоклетки сопоставимы; тем более, что импульс ($m_c c = 1$) фотона является Носителем Космического импульса $\rho^* = 24 \cdot 10^{20}$, поступающего в субструктуру (9+0) биоклетки до митоза (рис.94).

Импульс фотона, как и любой иной импульс, проходя кольцо с единицей увеличивается в π раз и становится энергией фотона: $m_c c \times \pi \equiv m_c c^2$, при $c = \pi$.

Космический гравитационный импульс при прохождении кольца с Единицей расщепляется на два магнитных: $\rho^* m_c c \rightarrow \text{кольцо} \rightarrow (\mu^* + \mu^*) \cdot (m_c c^2 = \pi)$.

Кольцо с Единицей - это экстремальная область любой волны с сечением, диаметр которого равен 2 (рис.95).

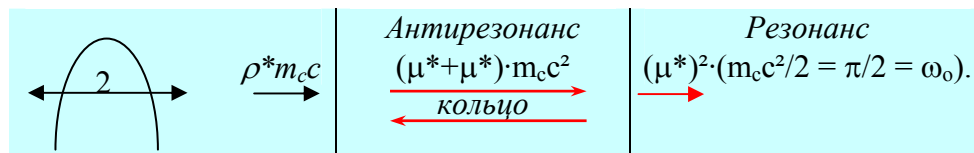


Рис.95 Кольцо с Единицей как переход от магнитного антирезонанса к резонансу при сгущении магнитного импульса

После прохождения кольца с единицей возникает угловая скорость, и живые магниты сгущаются в Мировое Яйцо (рис.95).

"3. Тьма излучает Свет, и свет роняет одинокий Луч ($\rho^* m_c c$) в Воды, в Глубину Лона Матери (Кольцо с Единицей). Луч пронизывает Девственное яйцо (Кольцо с Единицей), Луч пробуждает трепет в Вечном яйце (релаксация перед излучением или внутриутробное развитие плода перед рождением) и зароняет Зародыш не вечный (антирезонансный $(\mu^* + \mu^*) \cdot m_c c^2$), который сгущается в Мировой Яйцо ($\mu^{*2} \omega_0$, рис.95).

358. Магнетизм Кундалини в антирезонансе Арупы-Рупы

Митоз биоклетки протекает в Семь Стадий, которые являются эквивалентом четвёрки (недели) Лунного месяца, а также связаны с десятичными гравитационными магнитными полями (табл.277).

Таблица 277

Семеричность Мирового Яйца

Энергетические формы		Антирезонансные Арупы-Рупы
Внутреннее энергетическое	Гравитационно-магнитное	$7 = \frac{1^2 + 2^2 + 3^2 + 4^2 + 5^2 + 6^2 + 7^2 + 8^2 + 9^2 + 10^2}{1 + 2 + 3 + 4 + 5 + 6 + 7 + 8 + 9 + 10} = \frac{385}{55}$
Продолжительности	Месяц недели	$7 = \frac{28}{4} = \frac{1 + 2 + 3 + 4 + 5 + 6 + 7}{4} \equiv 14 \text{ Дзиан} .$

Тринадцати лунный Календарь Майи имеет один **День вне Времени**. Продолжительность лунного ряда также не монотонна (табл.277):

$$7 = \frac{1+2+3+4+5+6+7}{4} = \frac{6}{4} + 1 + \frac{18}{4} \text{ относительных единиц} \quad (776)$$

$$7 = 14 \text{ Дзиан} = 3 + \boxed{2} + 9 \text{ Дзиан.}$$

Этот загадочный День вне Времени связан с двумя Дзиан (776), при которых заканчивается образование формовщиков желтка (табл.276).

"4. Трое упдают в Четыре (Арупа в Рупу, табл.277). **Лученосное Естество умирается. Семь внутри, Семь во вне** (табл.277). **Сияющее Яйцо в себе Троичное** (желток, белок, зародыш (табл.276) и 3+2+9 Дзиан, 776), **сворачивается** (Спираль Кундалини сжатия в 2,5 оборота), **распространяясь** (Спираль Кундалини расширения в 3,5 оборота) **молочно-белыми Сгустками в Глубинах Матери, Корне, растущим в Недрах Океана Жизни** ([]. Космогенезис. Станца III).

Добавлю, что магнетизм 13-ти лунного календаря связан с отношением ветвей Спирали Кундалини:

$$[\rho_5 \cdot (3,5/2,5=1,4) \equiv 14] \equiv 3+2+9 \equiv (\sqrt{\mu\mu^*} = 14) \text{ Дзиан.} \quad (777)$$

359. Колебания под скорлупой Мирового Яйца

Была ли необходимость ломать Адаму рёбра, чтобы извлечь внутреннюю Еву?

А в Каббале участвуют уже четыре Адама [2]

Любое рождение-излучение происходит тогда, когда энергия плода будет способна к преодолению сопротивления Материнского Лона.

Материнское Лоно в Мировом яйце формируется как магнитная потенциальная яма, а плод в Материнском Лоне развивается квантовано с дискретностью, равной $\rho_5 \cdot 3,5/2,5 = 14$ (табл.278).

Таблица 278

**Распределение Энергии
при рождении живых магнитов**

Компоненты	Материнское Лоно (рис.93)	Плод (739)		Энергия рождения (вихрь фотонов)
		Во вне	Рождение	
Потенциалы	$K_1 = (\mu^*)^2 \omega_0$	$K_2 = 14$ $\rho_5 \cdot 3,5/2,5$	$K_3 = 14^2 =$ $(\mu^* \cdot 10^{-20})^2$	$\frac{K_1}{K_3} = 10^{40} \omega_0$

Физиологически Ева родилась бы из Света в процессе Эволюции сама, и если ветхозаветные не ставили целью внедрить в Раю платную медицину, то рёбра Адаму ломать было незачем.

Колебания **внутри** микро-макро **вариантов** Мирового Яйца, как и везде в Едином Космосе, носят резонансно-антирезонансный характер. Поэтому приведённый потенциал колебания между Зародышем, желтком и белком буде равен (табл.276):

$$K = \frac{\text{Свабхават } \Theta}{\text{Цинь}} = \frac{2 \cdot 10 \cdot 20}{2 + 10 + 20} = \frac{400}{32} = \frac{25}{2} \Leftrightarrow \frac{2}{25} = K^{-1}. \quad (778)$$

Под скорлупой в **субстанции оплодотворённого яйца - Зиготы** возникают колебания, которые Книга Дзиан называет Пентаграмма в Яйце ([3]. Космогенезис. Станца V, п.6, 778):

$$25^2 \Leftrightarrow 4^2$$

и $\pm 0 \Leftrightarrow \mp (25^2 - 4^2) = \pm 609 \equiv \pm 21 \cdot 29 \equiv \pm 42 \cdot 13. \quad (779)$

360. Продолжительность Кальпы

Окончанием колебаний под скорлупой Мирового Яйца является **рождение Жизни**, которое из каждой Капли Жизни и из Океана Жизни шагнёт в окружающую среду.

Создатель ждёт, когда мы, Носители Разума на сегодняшней Земле, понесём Жизнь в новые среды Единого Космоса, а великая Цивилизация продолжает речь о Пентаграмме в Яйце: **"Это Кольцо, названное "Не преступи" для тех, кто нисходит и восходит** (колебания под скорлупой зародыша, желтка, белка, 779); **кто в течение "Кальпы"** (продолжительность вызревания плода в субстанции зиготы Мирового Яйца, равная (779):

$$\pm 0 \Leftrightarrow \pm 42 \cdot 13,$$

где: 42 Божества твоего чистого сердца;

13 - число месяцев по лунному Календарю))

продвигается к Великому Дню "Будь с Нами" (День Рождения из нас, Людей Воли и Йоги, когда нынешний Социум Земли станет соратником великой Цивилизации)... **Так были созданы Арупа и Рупа, от Единого Света Семь Светочей** (табл.277), **от каждого из Семи семижды Семь Светочей** (Оболочка с потенциалом 49, рассмотренная в Русских Рунах [22]:

Арупа	Рупа	Оболочка
$\frac{T_0 + \tau = 7}{\tau = 3}$	$\frac{T_0 = 4}{T_0 + \tau = 7}$	$49 \Leftrightarrow 12$

(780)

где под оболочкой формируется периодическая система квантов Тонкой Энергии). **Колесо (скорлупа) охраняет Кольцо** (Зигота под скорлупой). [3]. Космогенезис. Станца V.

Результаты колебания Арупы-Рупы под оболочкой (780) относятся к 22 буквам Авраама, распределенным среди планет и отражённых 12 знаками Зодиака [2].

361. Пальма - частота пульсации Зиготы под Скорлупой

Зигота, оплодотворённый зародышем желток **Мирового яйца** пульсирует под скорлупой (табл.276).

"11. Она распространяется, когда Дыхание огня над нею; она сокращается, когда Дыхание матери касается её. Тогда Сыны разъединяются и рассылаются (переход от резонанса $2 \cdot 10 \cdot 20 = 400$ к антирезонансу $2+10+20 = 32$, табл.276), **чтобы вернуться в Лоно Матери при окончании Великого Дня, чтобы снова соединиться с нею. Когда она охлаждается, она становится сияющей. Сыны её разворачиваются** (расширение Кундалини) **и сокращаются** (сжатие Кундалини). **Сами собой и своими Сердцами** (пульсация $\pm 0 \Leftrightarrow \pm 125^2 - 4^2 \equiv \pm 42 \cdot 13$, 779); **они вмещают Беспредельность** ($\log_a(\pm 0) = \pm \infty$) ([3]. Космогенезис. Станца III).

Текст этой Станцы говорит о том, что Зигота под Скорлупой пульсирует с частотой в одну пальму (табл.279).

Таблица 279

Пульсация Зиготы: Зародыш, Желток, Белок (табл.276)

Текст Станцы	Кундалини в Зиготе	Пальма
Дыхание Огня	Резонанс расширения	$K = \frac{2 \cdot 10 \cdot 20 \cdot 3,5}{(2 \pm 10 \pm 20) \cdot 2,5} = \frac{1400}{80} = \frac{7}{4}.$
Дыхание Матери	Антирезонанс сжатия	

Эта пульсация (табл.279) является пульсацией между Свето-Дателем на уровне $h = 8$ в поле $Oeaohoo$ и магнитным полем $140 = 1^2+2^2+3^2+4^2+5^2+6^2+7^2 = \rho_5 \cdot \sqrt{\mu\mu^*}$.

В ходе пульсации с частотой в одну пальму (табл.279) и в Зиготе, и в биоклетке, и в чакре Третий Глаз, во всём Живом включается 13-ти лунный Календарь:

$$\pm 0 \Leftrightarrow (\pm 42 \cdot 13 \cdot 4/7 = \pm 24 \cdot 13 \Leftrightarrow \mp \frac{1}{24 \cdot 13} \equiv \dots). \quad (781)$$

362. "Самосуций Владыка" свет. Отверждение атома

Расшифровка Станцы III,
п.12 Космогенезиса [3]

"12. Тогда Свабхават посылает Фохат, чтобы отвердить Атомы.

В этом тексте **Свабхават** является функцией от Свабхават О и Свабхават ☉, которую мы определили как **пальму** $K = 1400/80 \equiv 7/4$ (табл.279).

Фохат – это сжатие, которое сменяет расширение при равенстве коэффициента сжатия $2 \equiv T_o \cdot \omega_o / c$ и коэффициента расширения $8 \equiv T_o \cdot c / \omega_o$.

Оба коэффициента показаны на диаграмме Тянь-Цинь как Глаза Дагма: • $\equiv 2$ и о $\equiv 8$ (табл.272), которые возмущают окружающую среду, создавая в ней разности квадратов потенциалов, равные изомерии бога и богини Луны Шумеров (табл.280).

Таблица 280

Отверждение Атома под воздействием Свабхават

Поля	Свабхават (табл.279)	Фохат	Колебания $K \Leftrightarrow \Phi^{\pm 1}$
Потенциалы	$K = \frac{1400}{80} = \frac{7}{4} \equiv$ пальма: Единица Счисления	$\pm \Phi = 8^2 - 2^2 = 60$ 30 – (-30). богу Луны	$60 \text{ пальм} \Leftrightarrow \frac{1}{60 \text{ пальм}}$ $3600 \Leftrightarrow \frac{4^2}{49} \text{ отн.ед.}$

Эту основополагающую зависимость Единого Космоса от Света Шумеры фиксируют своей Системой Счисления, кратной 60 и векторно в форме Пирамиды "Вавилонская Башня" [1].

Каждый есть часть Ткани. Отражая, подобно зеркалу "Самосущего Владыку", каждый в свою очередь становится Миром.

Свет и гравитация создают 6328 электронов (позитронов) 112 химических элементов Периодической Системы Атомов:

$$[3600 \text{ пальм} = 7/4) = 6300] \pm 28 = 6328, \quad (782)$$

где гравитация $28 \equiv \sqrt{\rho\rho^*}$ - подобие Зеркалу.

Каждый Атом формирует фотон ($m_c^* = 0,002$) – фонон ($m_c^* = 0,008$) света, где Свет подобен "Самосущему владыке".

В 112том элементе колебания приводят к магнетизму:

$$112:0,002 = 56 \cdot 10^3 \Leftrightarrow 14 \cdot 10^3 = 112:0,008. \quad (783)$$

Каждый сгусток – Атом и его компоненты становятся магнитом и **Миром**, а человеческий Эгоцентризм должен ограничиться пониманием того, что народы, обитающие на электрон-позитронах, как мы на Земле, не глупее наших ветхозаветных составителей Религий.

363. Синтез-мультиплетность Света в скорлупе Мирового яйца

Появление в скорлупе с потенциалом 225 пальмы (табл.225) электричества в резонансных точках - излучателях вызывает появление в этих точках белого солнечного света с разностью длин волн, равной 3600 Å (табл.280):

$25 \cdot (16 \equiv \sqrt{qq^*} \equiv q^* \cdot 10^{-20}) = 3600 \Leftrightarrow 16/49$ <p>Свет над (под) оболочкой скорлупы.</p>	(784)
---	-------

Над (под) оболочкой скорлупы Мирового Яйца начинается формирование дискретного энергетического поля, кратного $16 \equiv T_0^2$ (783):

Режим	Резонанс	Антирезонанс	(785)
Сгущение света над (под) скорлупой	$\frac{3600 \cdot 49}{16} = 11025 =$	11000+25	
	$\frac{11000}{25} = 440 \equiv$	Свабхават+Сороковица 2·10·20 + 2·20 (табл.276)	
	$440 \cdot \left(\frac{\Delta \mathcal{K}}{\Delta K} = \frac{70 \overset{o}{A}}{1400 \overset{o}{A}} = -\frac{1}{20} \right) = 22$ Двадцать две буквы Авраама [2].		

Зарождается звено цепочки табулина с молекулярным весом 110000 кислородных единиц с пятеричной связью в молекуле (784), где табулин является материалом микротрубочки поры ядра биоклетки.

Микротрубочка поры ядра биоклетки играет роль биочасов клетки.

Биочасы отсчитывают Продолжительности этапов сгущения-расщепления Света.

Великая Цивилизация помогает нам понять процесс пульсации синтез-мультиплетность Света, обожествляет тело 110 Божествами (Книга Мёртвых), вводя понятие Сокровенная Сороковица ($2 \cdot 20 = 40$) и Свабхават $\odot = 400$ (796), а также разъясняя Аврааму природу 22 букв.

364. Упущенная телепатия: 22 буквы Авраама

Богов надо понимать: и языческих, и еврейских.

Непонимание Иудеями Сущности Вездесущего бога АЙН СОФ с потенциалом 50, привело к тому, что во времена Исхода из Египта Иудеи взяли себе кумиром золотого тельца, исказив Заповедь Создателя: не сотвори себе Кумира [2].

Физическая Сущность бога АЙН СОФ связана с описанием цис-транс изомерии в логарифмических процессах взаимодействий (табл.281).

Таблица 281

АЙН СОФ: энергетика Взаимодействий

Компоненты Взаимодействия	Излучатели-сгустки	АЙН СОФ и ядро	Лучи-волны во взаимодействиях
Логарифмические	$2 \cdot (9+2) + 28$ Митоз в гравитации	$= 50 - (-50) =$ $\pm \text{АЙН СОФ}$	$= -(-24 \cdot 2) - (-2)$ Волны Святого Духа
Ядерные	$10^{22} \cdot (10^{28} \equiv \rho)$ 22 буквы в потоке Мысли	$= 10^{100} \equiv$ Гагол (Число)	$= 10^{-24 \cdot 2} - 10^{-1}/10 \equiv$ $\rho_1^2 \rho_2 / \rho_5.$

Когда б Авраам внимательно слушал богов, то 22 буквы, связанные его языком [2], давно бы стали основой телепатической приёмо-передающей информационной системой сегодняшнего социума Земли (табл.281).

Напомню, когда математики нарисовали число 10^{100} и назвали его **ГАГОЛОМ** (табл.281), физики-теоретики подсчитали, что число Атомов в нашей Вселенной имеет порядок, близкий 10^{53} .

Для наших теоретиков результат был блестящий, ибо метагалактические волны Тонкой Энергии с потенциалом взаимодействий 10^{-53} материализм отвергает принципиально. Поэтому маятниковый эффект:

$$10^{\pm 53} \Leftrightarrow 10^{\mp 47} \text{ и } 10^{\pm 100} \Leftrightarrow 1, \quad (786)$$

человечеством установлен не был. Живём без телепатии.

365. Продолжительность в спирали Зодиака

Корпускулярно-волновой дуализм Света в Мировом Яйце Единого Космоса взаимосвязан с дуализмом синтеза-мультиплетности микро-макро сгустков.

Связь синтез-мультиплетность возникает на стадии перехода между ядерными экзо-эндо термическими взрывами и логарифмическими процессами (табл.282).

Таблица 282

Ядерно-логарифмические взаимодействия Вселенной

Радиус действия	Инверсия взрыва	Эпицентр взрыва – среда	Результат
Коротко-действие	$\frac{\rho_4}{\lg \rho_4} \Leftrightarrow \frac{\lg \rho_2}{\rho_2}$	$10^{14} \cdot 10^{-1} \Leftrightarrow \lg \rho_2 + \lg \rho_4$	$10^{13} \Leftrightarrow 13$ Биочасы
Дально-действие	$\frac{\rho_1}{\lg \rho_1} \Leftrightarrow \frac{\lg \rho_3}{\rho_3}$	$10^{-24} \cdot 10^{12} \Leftrightarrow \lg \rho_1 + \lg \rho_3$	$10^{-12} \Leftrightarrow -12$ Знаки Зодиака
Смешанное поле	$\frac{\rho_1 \rho_2}{\lg \rho_1 \rho_2} \Leftrightarrow \frac{\lg \rho_3 \rho_4 \rho_5}{\rho_3 \rho_4 \rho_5}$	$10^{-25} \cdot 10^{27} \Leftrightarrow \lg \rho_1 \rho_2 + \lg \rho_3 \rho_4 \rho_5$	$10^2 \Leftrightarrow 2$ Бог АЙН СОФ.

При максимально возможном наложении коротко-действия на дальнодействие (табл.282):

$$10^{13} \cdot 10^{-12} \Leftrightarrow 13 - 12 \text{ и } 10 \Leftrightarrow 1, \quad (787)$$

возникает возможность отсчёта Продолжительности (Времени) в спиралях Зодиака, а также возможность создания десятичной Системы Счисления (787).

Зная связь Времени и знаков спирали Зодиака, **великая Цивилизация использует на своих Космодромах знаки Зодиака как эталоны Времени.**

При смешанных коротко-дальнодействующих взаимодействиях возникают **Пятеричные связи света и слабых взаимодействий** (табл.282):

$$10^2 \equiv \rho_5/\rho_2 \Leftrightarrow 2 \equiv \lg \rho_1 \rho_2 \rho_3 \rho_4 \rho_5$$

$$10 \Leftrightarrow 1/5 \quad 1 \Leftrightarrow 50 \text{ (АЙН СОФ)}. \quad (788)$$

Общие колебания будут связаны с 2, 3 и 10 Круга Универсума [5]:

$$10^{13} \cdot 10^{-12} \cdot 10^2 = 10^3 \Leftrightarrow 2 \cdot (13 - 12) = 2. \quad (789)$$

366. Инверсия магнитной оболочки – источник биотока

Наличие Пятеричной Связи в Едином Космосе проявляет себя везде и во всём, например между гравитационными и магнитными полями как до, так и после инверсии (табл.283).

Таблица 283

Жёлто-зелёная гравитационно-магнитная инверсия

		Неравновесные гравитационно-магнитные поля
Инверсия	до	$10 \Leftrightarrow \frac{1}{5} \equiv \frac{1+2+3+4+5+6+7}{1^2+2^2+3^2+4^2+5^2+6^2+7^2} = \frac{28}{140}$
	после	$250 \Leftrightarrow 5 \equiv \frac{1^2+2^2+3^2+4^2+5^2+6^2+7^2}{1+2+3+4+5+6+7} = \frac{140}{28}$
Примечание		Потенциал $250 \equiv \Delta\text{ЖЗ} = 250\text{\AA}$.

Для того, чтобы произошла гравитационно-магнитная инверсия, гравитационное поле должно увеличиться в пять раз и стать равно-эквивалентным разности длин волн в жёлто-зелёной области спектра света (табл.283).

Жёлто-зелёная область спектра связана с фотосинтезом, основой Жизни, а переход в жёлто-зелёную область спектра света Космогенезис Книги Дзиан описывает как **Пять Продвижений Фохата, из которых создаётся Арупа и Рупа от Единого Света Семь Светочей** (табл.281, [3], Станца III):

$$\left| \begin{array}{l} 250 \cdot 28 = 7000 \Leftrightarrow 140 \text{ (до инверсии)} \\ 7000 \Leftrightarrow 1/140 \text{ (при инверсии)} \end{array} \right| \quad (790)$$

Инверсия вызывает появление Оболочки с потенциалом 49 (**Русские Руны**) или в Книге Дзиан как **от каждого из Семи Семижды Семь Светочей** ([3], 790):

$$49 \Leftrightarrow \frac{1}{2} \cdot 10^{-4} \equiv \frac{1}{2} \cdot (10^{-4} \text{ A} = \text{J}), \quad (791)$$

где J = 10^{-4} А – биоток в чакре Третий Глаз.

367. Магнитная инверсия и спектр света

Жёлто-зелёный фотосинтез **связан с инверсией** белого света, но инверсия возникает ещё до появления Света в тьме самосуших волн **в форме гравитационно-магнитной инверсии** (табл.284).

В результате гравитационно-магнитной инверсии возникают резонансно-антирезонансные потенциалы, **Свободная Энергия**, формирующая среды (табл.284).

Таблица 284

Гравитационно-магнитная инверсия (табл.283)

Инверсия	Колебания	Резонанс-антирезонанс
После	$250 \cdot 28 = 7000 \Leftrightarrow 140$	$5600 - 112 = 2 \cdot 14^3 \Leftrightarrow 0$
До	$10 \cdot 140 = 1400 \Leftrightarrow 28$	$5600/12 = 50 \Leftrightarrow 1.$
Разность	$5600 \Leftrightarrow 112$	

Период колебания завершается, например тем, что в элементах Периодической Системы атомов возникнет 112 элементов и гравито-электромагнетизм:

$$112 \equiv 7 \cdot (16 = \sqrt{qq^*}) \equiv 8 \cdot (14 = \sqrt{\mu\mu^*}) \equiv 4 \cdot (28 = \sqrt{\rho\rho^*}), \quad (792)$$

где в 112-том химическом элементе будут

$$\frac{112}{m_c^* = 0,008} = 14000 \text{ фононов и } \frac{112}{m_c^{**} = 0,002} = 56000 \text{ фотонов.} \quad (793)$$

В спектре белого солнечного света появится красная область спектра света с разностью длин волн, равной $\Delta K = 1400 \text{ \AA}$, а в Недрах Ядра кванта фотоны образуют сгусток ядерного вещества из 56000 фотонов.

Дзиан-пульсация фотон-ядерного вещества приведёт к цис-транс гравитационной изомерии:

$$56000 \cdot \int_0^1 \varphi d\varphi = 28 \cdot 10^3 \quad \text{и} \quad -28 \cdot 10^3 = 56000 \cdot \int_1^0 \varphi d\varphi, \quad (794)$$

из которого появится магнитное поле $2 \cdot (14^3 \equiv \mu^* \mu^*)^{3/2}$ при антирезонансе и 50 при резонансе (табл.284).

Возникнет спектр света на уровне Зародыша (табл.276):

$$20 \equiv \Delta K / \Delta \mathcal{J} \equiv \rho_5 \cdot \Delta \Phi / \Delta \mathcal{J} \equiv \dots \quad (795)$$

368. Геном в электричестве – постоянная Вселенной

Теогенезис Книги Дзиан говорит о **пурпурных плодах (зёрнах), которыми будет жив Человек Воли и Йоги, и, более того, Сыны Воли и йоги будут жить на Красной Звезде** [4].

В текстах о Красной Звезде речь идёт о линейных импульсах, формирующих поле Свабхават $\odot \equiv 400$, которое возникает в красно-фиолетовой и жёлто-зелёной областях спектра света (табл.285).

Спектр света: некоторые примеры колебаний

Компоненты спектра	Колебания спектральных областей света
Импульсы бегущих волн	$\frac{\Delta\Phi}{\Delta\mathcal{K}\mathcal{Z}} = \frac{500\text{\AA}}{250\text{\AA}} = 2 \Leftrightarrow \frac{1}{20} = \frac{70\text{\AA}}{1400\text{\AA}} = \frac{\Delta\mathcal{K}}{\Delta K}$
Сороковица	$\rho_2 \cdot \text{Свабхават } \odot = 40 \Leftrightarrow 1$
Область-эквивалент расширения Вселенной	$\frac{\Delta K \cdot \Delta\Phi}{\Delta K - \Delta\Phi} \Leftrightarrow \frac{\Delta\mathcal{K} \cdot \Delta\mathcal{K}\mathcal{Z}}{\Delta\mathcal{K}\mathcal{Z} - \Delta\mathcal{K}}$ $\frac{7 \cdot 10^5 (\text{\AA})^2}{900 \overset{o}{A}} \Leftrightarrow \frac{7 \cdot 250 (\text{\AA})^2}{180 \overset{o}{A}}, \text{ где } 900/180 = 5$ $2 \cdot 10^4 \Leftrightarrow 250 \quad 80 \Leftrightarrow 1 \Leftrightarrow \rho_5 c^3 / \omega_0^3$
Поверхностная волна	$\frac{\Delta C \cdot \Delta\Gamma \cdot \Delta\mathcal{Z}}{\Delta C + \Delta\Gamma + \Delta\mathcal{Z}} = \frac{3 \cdot 3 \cdot 4 \cdot 10^6 (\text{\AA})^3}{(3 + 3 + 4) \cdot 10^2 (\text{\AA})} = 36 \cdot 10^4 (\text{\AA})^2.$

Из множества форм-сочетаний колебания в спектре света важными являются отношения расширяющейся Вселенной к Пятёричной Энергии связи, порождающих появление электричества на скорлупе Мирового Яйца (табл.285):

$$1 \Leftrightarrow 80/5 = 16 \equiv \sqrt{qq^*}. \quad (796)$$

Появление Пятёричной Связи в поле трансформации среды светом формирует геном:

$$(c = \pi = 315) : 5 = 63, \quad (797)$$

где геном в электричестве ($63 \cdot 16 = 1008$) формирует водородную постоянную Вселенной.

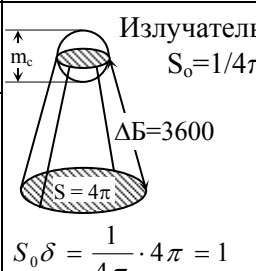
369. Возникновение 25 кадров в Подсознании

В семеричном поле *Oeaohoo*, скорлупа имеет потенциал, равный $225 \equiv 15^2$ (табл.276).

Возникновение потенциала скорлупы, равного 225 связано с появлением электричества на сине-голубой-зелёной поверхности света, которая затем трансформируется в излучаемый белый свет (табл.285, табл.286).

Таблица 286

Свет на скорлупе Мирового яйца

Скорлупа	Внутренний слой	Внешний слой	Структура Луча
Цвет (табл.276)	Сине-голубой-зелёный	Белый	
Потенциалы	$K_1 = \frac{36 \cdot 10^4 (\text{\AA})^2}{16 = \sqrt{qq}^*}$ $22500 = 150^2$	$K_2 = \frac{36 \cdot 10^2 \text{\AA}}{16 = \sqrt{qq}^*}$ $225 = 15^2$	

Внутри Яйца эффективность взаимодействий в 100 раз больше, чем на поверхности (табл.286):

$$K_1 : K_2 = 100 \equiv 50 - (-50), \quad (798)$$

а изомерия приводит к появлению потенциалов ± 50 (АЙН СОФ).

Под давлением, идущим из Недр различных форм Мирового Яйца, **Семя прорастает, разрывая оболочку, плод ломает скорлупу, Жизнь размножается.**

Дальнейшая мультиплетность АЙН СОФ под оболочкой, например в нейроне головного мозга, приводит к восприятию энергии на уровне Подсознания с частотой в 25 кадров в единицу Продолжительности:

25 кадров в Подсознании
$K_1 : K_2 = 100 \equiv 50 - (-50) \equiv 25 - (-25) + 25 - (-25).$

(799)

Сознание, пульсируя с частотой 24 кадра, формирует волну:

$$\lambda = 4800\text{\AA} \equiv T_o \cdot 50 \cdot 24 \equiv 4800. \quad (800)$$

делящую синюю и голубую области спектра света, например в чакре Третий Глаз.

370. Излучение-поглощение скорлупой. Сгущение Божественной Мысли

Точка на скорлупе поглощает квант самосущих волн и метagalактики. При резонансе поглощенные метagalактические волны сталкиваются, образуя квант света. Квант света излучает Луч в объём Яйца, формируя освещённую площадь – зеркало (табл.286, табл.287).

Таблица 287

Точка поглощения тьмы и излучение Света на скорлупе

Характеристика	Фонон-фотоны	Луч – Конус		Равновесие
		Вершина	Основание	
Потенциалы	$Q_o = 1/\pi = D_o$ $E_\lambda = 1/\pi = m_c$	$S_o = m_c/T_o =$ $E_\lambda/T_o = 1/4\pi$	$S_\pi = L_\pi = 4\pi$	$1/4\pi \cdot 4\pi = 1.$

В Конус – Луч вокруг точки $1/4\pi$, равный телесному углу в **один стерadian** (табл.286) точно вписывается великая Пирамида (табл.18, рис.5), а текст Станцы II Книги Дзиан ([3]. Космогенезис) объясняет ход Эволюции.

"6. Эти Двое ($S_o = 1/4\pi$ и $S = 4\pi$, табл.285) и есть Зародыш, и Зародыш Един ($1/4\pi \cdot 4\pi = 1$). Вселенная была ещё сокрыта в Божественной Мысли и Лоне Божественном".

Вселенная в трёхмерном Пространстве (при взаимной перпендикулярности энергетических форм из-за $\omega_0 \equiv \varphi_0 \equiv \pi/2$) будет иметь 6 точек поглощения тьмы из метагалактики и 6 точек излучения света в объём Мирового Яйца, начало которому даёт поверхность сферы Q_0 (фонон).

Шесть точек поглощения тьмы, они же 6 точек излучения света, будут пульсировать в резонансно-антирезонансном режиме в среде Божественной Мысли ($\rho^* = 28 \cdot 10^{20}$).

$$\rho^* \frac{6Q_0 \cdot 6Q}{6Q_0 + 6Q} \Leftrightarrow \frac{6Q_0 + 6Q}{\rho^* \cdot 6Q_0 \cdot 6Q} \quad \text{или} \quad 3\pi\rho^* \Leftrightarrow \frac{1}{3\pi\rho^*}. \quad (801)$$

Вокруг по равновесия Зародыша происходит сгущение Арупы, а в ней Света и Божественной Мысли (801):

$$S_0 \cdot S = 1/4\pi \cdot 4\pi = 1 \Leftrightarrow (3\pi\rho^*)^2. \quad (802)$$

371. Единство Противоположностей зарождения Мужского и Женского Начал в Мировом Яйце

"1. Последний Трепет Седьмой Вечности (то есть седьмой уровень лунного ряда $1+2+3+4+5+6+7$ или скорлупа в поле *Oeaohoo*, табл.276) дрожит в Бесконечности (то есть в логарифмическом поле, прошедшем состояния резонансного (единица) и антирезонансного (ноль) равновесия, и равного

$$\log_a \cdot \log_a 1 = \log_a 0 = \infty). \quad (803)$$

Матерь набухает, распространяясь изнутри наружу, подобно почке Лотоса ([3]. Космогенезис. Станца III).

Под скорлупой Мирового Яйца возникают колебания на седьмом уровне, которые распространяются по всем семи рядам, и в объёме Яйца протекает резонансно-антирезонансная пульсация – подобие пульсации между **геномом** (мужское начало) и **яйцеклеткой** (женское начало).

**Зарождение мужского и женского начал
в объёме Мирового Яйца**

Пульсация	В Седьмом ряду	По Семи рядам	Резонансно-антирезонансная
Потенциал (802)	$1 \Leftrightarrow (3\pi^*)^2 \cdot 7 = 63 \cdot (\pi^*)^2 = M$	$1 \Leftrightarrow (3\pi^*)^2 \cdot 28 = 4 \cdot 63 \cdot (\pi^*)^2 = Ж$	$\frac{M \cdot Ж}{M - Ж} = -84 \cdot (\pi^*)^2 \Leftrightarrow$
Подобия	Геном	Яйцеклетка	$\frac{Ж \cdot M}{Ж - M} = +84 \cdot (\pi^*)^2,$
Начала	Мужское	Женское	где минус – мальчик, а плюс – девочка.

Так с радостью и без насилия зарождается Новая Жизнь, и не надо по-еврейски ломать рёбра Адаму.

"2. Трепет распространяется; касаясь своим стремительны Крылом всей Вселенной и Зародыша; пребывающего во Тьме, Тьме, которая дышит над дремлющими Водами Жизни ([3]. Космогенезис. Станца III).

**372. Дзиан–пульсация – фактор влияния
на Мужское и Женское Начала**

До рождения плод-зародыш находится в жидкой среде материнских **Вод Жизни** и имеет потенциал $\pm 84(\pi^*)^2$, разделяющий их по признаку **мужского начала при сжатии** (знак минус) и **женского (знак плюс) при расширении** (табл.288).

После рождения окружающая среда меняется. Из Материнских Вод Жизни плод попадает в поле Дзиан–пульсации, что влечёт за собой появление 42 Божеств в Сердце Человека (табл.289).

**Влияние Дзиан–пульсации
при переходе плода из Вод в атмосферу**

Начала Среда	Женское	Переходные формы	Мужское
В водах Матери	$+84(\pi\rho^*)^2 = \mathcal{J}$	$\mathcal{J} \cdot \int_1^0 \varphi d\varphi = +\frac{1}{2}M$	$-84(\pi\rho^*)^2 = M$
После рождения в атмосферу	$\mathcal{J} \cdot \int_0^1 \varphi d\varphi =$ $+42(\pi\rho^*)^2$	$M \cdot \int_1^0 \varphi d\varphi = +\frac{1}{2}\mathcal{J}$	$M \cdot \int_0^1 \varphi d\varphi =$ $-42(\pi\rho^*)^2$

Адаптация при переходе из жидких сред к атмосфере бывает неполная и полная.

При полной адаптации женское и мужское начала сохраняются полностью после рождения, что связано с Дзиан–пульсацией, направленной от Хаоса к Гармонии, то есть при $\int_0^1 \varphi d\varphi = +\frac{1}{2}$ (табл.289).

Неполная адаптация наступает при Дзиан–пульсации, направленной от Гармонии к Хаосу, то есть при $\int_1^0 \varphi d\varphi = -\frac{1}{2}$ (табл.289).

Неполная адаптация рождённого плода к окружающей среде не ликвидирует работу 42 Божеств Сердца, но смещает в человеке акценты по половому признаку: возникают гомосексуальные меньшинства.

Неполную адаптацию к Дзиан–пульсации, по-видимому, можно избежать на уровне акушерства при рождении, усиливая влияние Дзиан–пульсации Земли, направленной от Хаоса к Гармонии.

373. Пульсация не вечного Зародыша Мирового Яйца

Структура Луча, проникающего в Яйцо через Скорлупу (табл.286) и параметры этого Луча (табл.287) Книга Дзиан описывает в Станце III Космогенезиса [3]:

"3. Тьма излучает Свет, и Свет роняет Одинокий Луч в воды, в глубину Лона Матери. Луч пронизывает Девственное яйцо, Луч пробуждает Трепет в Вечном яйце и зароняет Зародыш, не вечный, который сгущает Мировое Яйцо (табл.290).

Таблица 290

Пульсация не вечного Зародыша Мирового Яйца

Одинокий Луч в Лоне Матери (табл.289)	Трепет в Вечном Яйце (802)	Зародыш не вечный [3]
$\pm 84(\pi\rho^*)^2$, мужское и женское начала	$\left(\frac{c^3}{\omega_0^3} = 8 \Leftrightarrow \frac{1}{8} = \frac{\omega_0^3}{c^3}\right) \cdot (6Q_0)^2$ $(64 \Leftrightarrow 1) \cdot 36/\pi^2$	$\pm 84(\pi\rho^*)^2 \cdot (64 \Leftrightarrow 1) \frac{36}{\pi^2}$ $\pm 84 \cdot 64\rho^{*2} \Leftrightarrow \frac{1}{\pi^2} \equiv m_c E_\lambda$

Зародыш не вечный представляет собой сгусток Тянь, в котором пульсирует **Сердце Плода** в Лоне Матери, в её водах, то есть ещё до рождения и Дзиан-пульсации, когда потенциал Сердца равен 84 (табл.290).

Сгусток Тянь (Лоно Матери) и Сердце Плода в Водах Лона Матери пульсируют в резонансно-антирезонансном режиме:

$$\frac{\text{резонанс}}{\text{антирезонанс}} = \frac{84 \cdot 64}{84 - 64} = 268,8 \Leftrightarrow \frac{1}{42} = \frac{84 + 64}{84 - 64} \equiv \frac{\text{антирезонанс}}{\text{резонанс}} \quad (804)$$

В поле света Космической Мысли (табл.290) возникает приведённая пульсация (804), согласованная с потенциалом фонона $m_c^* = 0,008$:

$$\frac{268,8 \cdot 42 \Leftrightarrow 1/\pi}{m_c^* = 0,008} \equiv (33600 \cdot 42 \Leftrightarrow 125 \cdot m_c E_\lambda). \quad (805)$$

В Арупе возникает пятеричная Связь и Мировое Яйцо фонона сгущается (805):

$$\frac{33600 \cdot 42}{\tau = 3} = 11200 \cdot 42 \Leftrightarrow 5^3 \frac{1}{3\pi^2}. \quad (806)$$

В Арупе Мирового Яйца возникают заряды–импульсы.

374. Пульсация Арупы-Рупы в спирали Зодиака

В Арупе Мирового яйца фононов (806) возникают пятеричные связи, которые сжимают Яйцо в 25 раз.

$$112 \cdot 42 \cdot 10^2 \Leftrightarrow 5^3 m_c E_\lambda \text{ и } 112 \cdot 42 \cdot 4 \Leftrightarrow 5 m_c E_\lambda. \quad (807)$$

Возникают сгустки **периодических систем**, в том числе **112 химических элементов и Звёздного Неба**, начало которым даёт электромагнетизм в поле гравитации:

$$112 \equiv 7 \sqrt{qq}^* \equiv 8 \sqrt{\mu\mu}^* \cdot 4 \sqrt{\rho\rho}^* \equiv 64(\text{Тянь}) \cdot \frac{7}{4} (\text{пальма}). \quad (808)$$

Электромагнетизм в гравитационном поле имеет потенциал Тянь в пальмах (808), то есть вихрь энергии, который гонит Сердце, пульсирующее в резонансно-антирезонансном режиме спирали Зодиака Мирового Яйца (табл.291).

**Пульсация Мирового Яйца
и оболочки Арупы над ним (807)**

Пульсация Ядра	Резонанс (сжатие)		Антирезонанс (расширение)	
Компоненты	Аура	Ядро	Ядро	Аура
Потенциалы	$\frac{42}{T_0 + \tau} \cdot 112 \cdot 4$ 112	$\Leftrightarrow 5m_c E_\lambda \cdot T_0 \tau$ $\Leftrightarrow 2,5 m_c E_\lambda$	$5(T_0 + \tau)m_c E_\lambda$ $\Leftrightarrow 35m_c E_\lambda$	$\Leftrightarrow 112 \cdot \frac{42}{T_0 \tau}$ $\Leftrightarrow 112 \cdot 3,5$

Попадая в пульсирующее поле спирали Зодиака при переходе Арупы в Рупу (то есть $\tau \Leftrightarrow T_0$), а затем в антирезонанс Арупы-Рупы и их резонанс $(T_0 + \tau) \Leftrightarrow T_0 \cdot \tau$, сгустки–Тянь преобразуют Сердца и ритмику пульсации Сердец (табл.292).

**Пульсация Арупы-Рупы
в пульсирующей спирали Зодиака**

Поле	Арупа-Рупа	Резонанс-антирезонанс
Колебания	$\frac{\tau}{T_0} \Leftrightarrow T_0 \cdot \tau \Leftrightarrow \frac{T_0}{\tau}$ 9 $\Leftrightarrow 12^2 \Leftrightarrow 16$ 0 $\Leftrightarrow 135 \Leftrightarrow 7$ -7 $\Leftrightarrow 128/7 \Leftrightarrow 0$	$\frac{T_0 + \tau}{T_0 \cdot \tau} \Leftrightarrow T_0 \cdot \tau \cdot (T_0 + \tau) \Leftrightarrow \frac{T_0 \cdot \tau}{T_0 + \tau}$ 49 $\Leftrightarrow 84^2 \Leftrightarrow 12^2$ 0 $\Leftrightarrow 7007 \Leftrightarrow 95$ -95 $\Leftrightarrow 6912/95 \Leftrightarrow 0$

Описание пульсаций, показанных в табл.291 и табл.292 даёт Космогенезис ([3]. Станца III).

375. Влияние Свето-Дателя на расширение Кундалини

Пульсация Арупы-Рупы, которая инициирует пульсацию Кундалини в виде молочно-белых спиралей, и резонансно–антирезонансную пульсацию спирали Зодиака (табл.291, табл.292), описана в Книге Дзиан так:

"4. Трое уппадают в Четыре (Арупа в Рупу, табл.292). Лученосное Естество умиряется; Семь внутри, Семь во вне (табл.292). Сияющее Яйцо в себе Троичное (Зародыш, желток, белок, табл.274. Без скорлупы), сворачивается, распространяясь молочно-белыми Сгустками (739) в Глубины Материи (вещество оплодотворённой яйцеклетки – зиготы под оболочкой), Корне, растущем в Недрах Океана Жизни".

Между Арупой–Рупой как средой, и резонансно-антирезонансной спиралью Кундалини–Зодиака возникают колебания (табл.292):

$$\frac{\text{Арупа} - \text{Рупа}}{\text{Спираль}} \equiv \frac{7}{95} \Leftrightarrow 7 \cdot 95 \Leftrightarrow \frac{95}{7} \equiv \frac{\text{Спираль}}{\text{Арупа} - \text{Рупа}}. \quad (809)$$

Появляются излучатель и возмущённая среда вокруг излучателя (табл.293).

Таблица 293

Среда, возмущённая пульсацией спирали Зодиака (809)

Компоненты	Излучение	Излучатель
Семеричные	$7^2 \Leftrightarrow (7 \cdot 95)^2 \Leftrightarrow 95^2$	$7^2 \Leftrightarrow 7 \cdot 95 \Leftrightarrow 95$
С ноль–потенциалом	$0 \Leftrightarrow 7^2(95^2-1) \Leftrightarrow 95^2-7^2$ $7^2-95^2 \Leftrightarrow 95^2(7^2-1) \Leftrightarrow 0$	$0 \Leftrightarrow 7 \cdot 94 \Leftrightarrow 95-7 = 88$ $-88 \Leftrightarrow 6 \cdot 95 \Leftrightarrow 0$
Разности: Свето-Датели солнечно-лунные	8976 $8888 = 8976 - 88$ 0	$\Leftrightarrow 88$ $\Leftrightarrow 0$ $\Leftrightarrow 88 - 8976 = -8888.$

Под влиянием солнечно-лунных Свето-Дателей формируются, например, двойные мембранные молекулярные оболочки–спирали биоклеток и где $95 - 88 = 7$.

Попадая в Дзиан–пульсацию, молекулярные спирали ДНК и РНК закручиваются как расширяющаяся ветвь Кундалини:

$$(95 - 88) \cdot \left(\pm \int_0^1 \varphi d\varphi \right) = \pm \frac{7}{2}. \quad (810)$$

376. Реалии Земли и мифы Книги Перемен

Мировое Яйцо создаёт свои Подобия в оплодотворённой женской яйцеклетке – Зиготе, какую бы форму Зигота не принимала: биоклетки, яйца насекомых, птиц, животных, человека, планет,...

Книга Перемен, полученная нами от великой Цивилизации и приспособленная китайцами для гадания, описывает процесс Размножения с помощью зиготы очень подробно, выделяя числом иероглифов целые компоненты процесса (табл.294).

Таблица 294

Основные компоненты в Книге Перемен

Компоненты	Сгусток Тянь	Сияние Ли	Небеса Цинь
Потенциалы	64	$6 \equiv 8 - 2$	$32 - (-32) = 64$.

Сияние Ли в индуизме нашло новое название: **Кундалини**, и теперь известна нам как спираль, формирующая 3,5 витка при расширении и 2,5 витка при сжатии.

$$6 = 8 - 2 \equiv 3,5 + 2,5 \equiv 3,5^2 - 2,5^2 \equiv \dots \quad (811)$$

Всю многофакторность компонент Книги Перемен (табл.294) выразила диаграмма Тянь-Цинь (811, 738), которая была дана великой Цивилизацией Китаю, и послужила основой Даосского Мировоззренческого Начала.

Несмотря на мифологически-религиозный ореол, создаваемый иллюзиями наших парадигм, **Сияние Ли оставалось Реальностью**, и в 1985 году директор института Геофизики АН СССР академик М.А.Садовский опубликовал статью "Голос Земли" [1].

На основе обработки огромного банка данных о Земле в статье М.А.Садовского делается вывод:

- из Недр Земли к литосфере движется энергетический поток, который ломает литосферу на блоки с преимущественным коэффициентом $7/2 = 3,5$;

- из Глубин Метагалактики к Земле стремится поток энергии, сгущающий небесные тела с преимущественным коэффициентом $5/2 = 2,5$.

377. Инверсионные колебания под Оболочкой Мирового Яйца

Выход Энергии через Оболочку Мирового Яйца обладает Подобием для всех форм яйца: инверсия из Недр Земли является подобием разрушения скорлупы яйца рождающимся цыплёнком.

Сущность энергетического Подобия литосферы–оболочки–скорлупы Мирового Яйца энергетическими потоками из Недр Лона Матери связана с резонансно–антирезонансной пульсацией Кундалини или Сияния Ли (табл.295).

Таблица 295

Инверсионные колебания под Оболочкой Мирового Яйца (871)

Режим	До инверсии	После инверсии	Режим
Резонанс	$\frac{7/2 \cdot 5/2}{7/2 + 5/2} = \frac{7 \cdot 5}{4 \cdot 6}$	$\frac{4^2 \cdot 6}{(7 \cdot 5)^2} = \frac{(7/2)^2 - (5/2)^2}{(7/2 \cdot 5/2)}$	Антирезонанс
Антирезонанс			Резонанс.

На поверхности **Мирового яйца** возникает неравно-
весная система, включающая в себя **Тянь–сгусток** с по-
тенциалом 64, **Свет** с потенциалом 36 и **Пентаграмму в**
Яйце [3], имеющую потенциал $7^3 \cdot 5^2$ (табл.295):

$$7^3 \cdot 5^3 \Leftrightarrow 36 \cdot 64 \quad \text{или} \quad (7/2)^3 \cdot 5^3 \Leftrightarrow 36 \cdot 8 \equiv 2 \cdot 12^2. \quad (812)$$

При появлении Кундалини в трёхмерном Простран-
стве, то есть при появлении потенциала $(7/2)^3$, где
 $3 \equiv x+y+z \equiv \tau$, возникал резонансный вихрь Арупа–Рупа в
изомерии (812):

$$1 \cdot 12^2 \equiv (12 \equiv T_0 \cdot \tau)^2 - (-12 \equiv T_0 \cdot \tau)^2. \quad (813)$$

Потенциал этих $\pm T_0^2 \tau^2$ вихрей соответствовал квад-
ратам потенциалов спиралей Зодиака и при сжатии $144 \cdot 5/2$
витка = 360 витков спирали.

При расширении число витков спирали Зодиака со-
ответствовало $144 \cdot 7/2 = 504$ витка.

Потенциал Кундалини восстанавливался:

$$(804+360) : (504-360) = 864 : 144 = 6 = 3,5+2,5, \quad (814)$$

и астрологи гадали о наших судьбах.

378. Сгусток Тянь как оплодотворённая яйцеклетка Мирового яйца

Ещё до того как будет разрушена скорлупа, поляр-
ные вихри Мирового яйца создают Жизнь на уровне суб-
структур биоклеток (табл.296).

В создании полярных вихрей из Мирового яйца в
окружающую среду участвуют энергетические потоки с
потенциалом $7/2$ из Недр ядра и Кундалини, восстано-
вленная под Оболочкой (814, табл.296).

**Полярные вихри Мирового яйца –
носители Жизни в среде**

Энергетические потоки	Из Недр	Под Оболочкой	Полярный вихрь	В биоклетке
Потенциалы	$7/2$	6	$6 \cdot 7/2 = 21$	$5 \Leftrightarrow 7 \Leftrightarrow (9+0)$, где $5+7+9=21$.

Излучения из Мирового Яйца творят Жизнь в окружающей среде, в то время как в Недрах Мирового Яйца вызревает Плод Новой Жизни (табл.296).

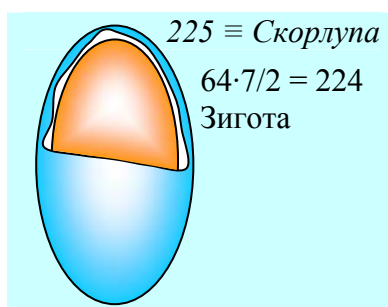


Рис.96 Пульсация Зиготы (сгустка Тянь) под влиянием Кундалини

Плод Новой Жизни возникает из Зиготы Мирового Яйца, масса которой эквивалентна сгустку Тянь и пульсирует под напором потока из Недр Мирового Яйца (рис.96):

$$64 \cdot 7/2 = 224 \quad (815)$$

Между потенциалом скорлупы, равным 225 (табл.276) и потенциалом Зиготы, возникает разность потенциалов, равная единице и связанная с Дзиан, инициирующим колебания в скорлупе.

Инициация колебаний живой Зиготой в неживой скорлупе					(816)
Компоненты	Скорлупа	Зигота	Разность	Дзиан	
Потенциалы	225 неживое	224 живое	= 1	$= \int_0^1 \varphi d\varphi - \int_1^0 \varphi d\varphi$	

Неживое начинает принимать участие в рождении живого.

379. Энергетическая структура Тянь–Цинь в изомерии

Дзиан–пульсация в Яйце возмущает и скорлупу неживого и оплодотворённую яйцеклетку-**Зиготу** - живого в яйце (816).

Под влиянием **Дзиан–пульсации** в объёме яйца Зигота делится пополам и приобретает **полярность**.

Сгусток–Тянь (эквивалент - потенциал Зиготы) также делится пополам, например как Земля на южное и северное полушария (табл.297).

Таблица 297

**Дзиан–пульсация:
митоз сгустка Тянь на полушариях**

Стадии процесса	До митоза (зародыш)	Полушария	
		Левое	Правое
Потенциалы	$64 = 63+1$	$64 \cdot \int_0^1 \varphi d\varphi = 32$	$64 \cdot \int_1^0 \varphi d\varphi = -32$
В потоке Кундалини	$64 \cdot 7/2 = 224$	$32 \cdot 7/2 = 112$	$-32 \cdot 7/2 = -112.$

Сгусток Тянь появляется уже на уровне Зародыша в Мировом Яйце, но Дзиан–пульсация делит Зародыш на два полушария с потенциалами эквивалентными Цинь \equiv 32 (табл.297).

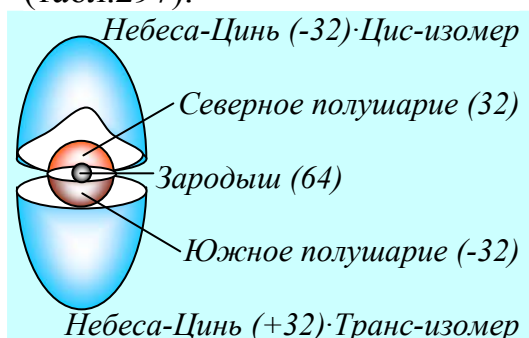


Рис.97 Энергетическая структура Тянь–Цинь в изомерии

Однако полушария в Недрах сгустка Тянь (табл.297) Небесами–Цинь не являются. Небеса–Цинь появляются над сгустком как цис-транс изомерические поля, знаки которых противоположны знакам полушарий (рис.97).

Небеса–Цинь работают на сжатие (табл.298).

Появление разноимённой зарядности небес и полушарий приводит к изомерии планетарных структур в сгустках и над сгустками (рис.95).

380. Инверсия изомерических структур Тянь–Цинь

Работа полушарий сгустка Тянь на расширение (табл.297), а небес–Цинь на сжатие является источником формирования вновь рождаемых живых магнитов (рис.97, табл.298).

Таблица 298

Полушария Тянь и небеса Цинь: изомерия и инверсия

Изомерия	Левизна	Правизна	Инверсия
Полушария Тянь (табл.297)	$+32 \cdot 7/2 = 112$	$-32 \cdot 7/2 = -112$	$\frac{32}{-1.4} \Leftrightarrow \frac{-1.4}{-32}$ $-32^2 \Leftrightarrow 1,4^2,$ <p>где $1,4^2 \equiv \left(\frac{3.5}{2.5}\right)^2$,</p> $\text{☯} \equiv \frac{64^2 - 4^2}{4} = 32^2 - 1.$
Небеса–Цинь (рис.97)	$-32 \cdot 5/2 = -80$	$+32 \cdot 5/2 = +80$	
Суммы	$+322$	-32	
Отношения	$-1,4$	$-1,4$	

Полушария сгустка Тянь и цис-транс изомеры небес Цинь сохраняют своё единство в динамике движения на сжатие-расширение (как это имеет место в недрах Земли и в небесах над Землёй) выделяют свободную энергию ± 32 (табл.298).

Великая Цивилизация использует свободную энергию с потенциалом ± 32 для обеспечения своего социума энергией, в том числе для полётов НЛО и подводно-космических **квакеров**.

Природа тратит энергию с потенциалами ± 32 и $\pm 1,4$ (табл.298) для размножения Жизни и Эволюции Живых Магнитов:

$$1,4^2 \equiv (\rho_2^2 = 10^{-2}) \cdot (14^2 \equiv \mu\mu^*). \quad (817)$$

Проникнутые духом невежественного эгоцентризма, мы, сегодняшние Носители "Разума" на Земле, плохо воспринимаем Божественные Знания Космоса.

Примером служит отношение к диаграмме Тянь–Цинь, где квадрат потенциала Небес Цинь или полушарий сгустка Тянь описан символически (табл.298).

381. Металл и Камень: переход от неживого к живому смертному

Дзиан–пульсация между скорлупой и Зиготой (816) вызывает появление электромагнетизма в скорлупе (табл.276):

$$\text{Скорлупа} \equiv 225 = 15^2 = \left[\frac{1}{2} (16^2 - 14^2) \right]^2 \equiv \left(\frac{1}{2} \cdot 30 \right)^2, \quad (818)$$

где: $16^2 = qq^*$ - электрическое поле,
 $14^2 = mm^*$ - магнитное поле,
 $a \pm 0,5$ - потенциал Дзиан–пульсации.

Появление электромагнетизма в скорлупе Мирового Яйца - **важнейший этап в Эволюции** неживого в живое не вечное (смертное).

Великая Цивилизация описывает выражение (818) в Космогенезисе Книги Дзиан Станцей VII [3]:

"5. Искра Фохата, Нитью тончайшей с Пламенем (ядром) соединённая. Она странствует через Семь Миров Майи (речь идёт о 13-ти лунном Календаре, где $(1+2+3+4+5+6+7 = 28) \cdot 13 = 364$ дня в году).

Она останавливается в Первом, становясь Металлом (818) и Камнем;..."

Отличие Металл от Камня заключается в том, что у Камня нет Дзиан–пульсации, а у Металла есть. Поэтому в Металле появляется цис-транс изомерия, где потенциал изомера вдвое меньше потенциала Камня (табл.299).

Таблица 299

Металл и Камень на Первом уровне Календаря Майи

Структура	Первый уровень Майи	Приведённая пульсация
Камень	$(16^2 - 14^2 = 30) \cdot 13 = 390$	$K \equiv \frac{390^2 - 195^2}{390 \cdot 195} = 1,5.$
Металл	$(16^2 - 14^2) \cdot \left(\pm \int_0^1 \varphi d\varphi \right) = 13 = 390$	

"3...Когда Колесо сделает полтора оборота (табл.299), Искры воплотятся в плодах, дотоле человеку неизвестных. И ребёнок, и взрослый человек вкусят этих плодов, и, к удивлению Богов, слова мудрости слетят с их губ ([4]. Теогенезис. Станца III).

382. Через Семь Миров Майи

Великая Цивилизация обращала наше внимание **на различие между Металлом и Камнем, как Началом перехода от неживого к живому смертному**, множество раз.

Она заставила Шумеров обожествить Луну с потенциалами $\pm 30 \equiv \pm(16^2 - 14^2)$ и построить Пирамиду "Вавилонская Башня", Семь уровней которой определял Лунный ряд или *Oeaohoo* (табл.300).

**Ключ к Семи уровням
Пирамиды "Вавилонская Башня"**

Лунный ряд	<i>O</i>	<i>e</i>	<i>a</i>	<i>o</i>	<i>h</i>	<i>o</i>	<i>o</i>	<i>Oeaohoo</i>
	1	2	3	4	5	6	7	28
Семь Миров Майи	1·13	2·13	3·13	4·13	5·13	6·13	7·13	28·13 = 364.

Причём *Oeaohoo* в пальмах (табл.376) имеет **максимальный резонансный потенциал**, равный:

$$2 \cdot 10 \cdot 20 \cdot 225 = 9 \cdot 10^4. \quad (819)$$

Далее великая Цивилизация дала человечеству диаграмму Тянь—Цинь, связанную с **Металлом и Камнем в динамике изменения их потенциалов**:

$$8 \text{---} \text{---} 64 \text{---} 2 \text{---} 64 \text{---} 2 \equiv 8^2 - 2^2 = 60 \equiv \left(\int_2^{64} \varphi d\varphi - \int_8^{64} \varphi d\varphi \right) 2 \equiv 60. \quad (820)$$

Затем Иисус Христос диктует в **Откровениях** Время Апокалипсиса, где время левизны—правизны равно $3 \cdot 10^6$ лет, а общее Время $6 \cdot 10^6$ лет.

В тех же Откровениях дан круг Универсума, где имеет место быть отношение:

$$(3/2 = 1,5) \cdot 10^n, \quad \text{где } n = 0, 1, 2, 3, 4, 5, 6, 7. \quad (821)$$

Наконец, мы так надоели великой Цивилизации своей бестолковостью, что они были вынуждены сказать нам о том, что **Посланцев** было много, **но Мухаммед** последний. Пора научиться думать самим. Начнём думать.

383. Пульсация и трансформация полярных вихрей субструктуры (9+0)

Точечный участок волны света (фонон) - важнейший инструмент Творца.

Вращаясь с периодичностью $T_0 = 4$ в расширяющейся Вселенной и гравитационных взаимодействиях, фонон отвердевает и переходит в фотон:

Фотон–фононная взаимосвязь			(822)
Зародыши в диаграмме Тянь–Цинь (820)	Фонон	Фотон	
	$m_c^{**} = T_0 \frac{c}{\omega_0} \cdot \rho_1^{c^3/\omega_0^3}$ $= 8 \cdot 10^{-3}$	$m_c^* = T_0 \frac{\omega_0}{c} \cdot \rho_1^{c^3/\omega_0^3}$ $= 2 \cdot 10^3$	

Приведённая пульсация фотон–фонона в поле лунной гравитации связывает полярный вихрь ± 21 над сгустком пятеричной связью и формирует колебания этого вихря при трансформации его светом (табл.301).

Таблица 301

Формирование субструктуры (9+0) фотон–фононами

Пульсация полярного вихря	Трансформация вихря света
$28 \cdot \frac{(m_c^*)^2 - (m_c^{**})^2}{m_c^* \cdot m_c^{**}} = 105 = 21 \cdot 5$ $21 = 5 \overset{+2}{\underset{-2}{\rightleftharpoons}} +7 \overset{+2}{\underset{-2}{\rightleftharpoons}} +(9+0)$	$\frac{\pi = 315}{105} = 3 \Leftrightarrow \frac{1}{3} = \frac{105}{\pi}$ $9 \Leftrightarrow 1 \text{ и } 8 = 9 - 1 \Leftrightarrow 0.$

Отсутствие внешней Пятеричной Связи разрушило бы поле колебания субструктуры (9+0), а следовательно и сама биоклетка и её производные в бесконечной множественности Форм Живой Вселенной просто не могли бы состояться.

Вместе с тем клетка становится живой благодаря тому, что полярный вихрь трансформируется светом со скоростью $c \equiv \pi = 315$ (табл.301).

При трансформации энергии полярного вихря светом возникает резонансный ($9 \Leftrightarrow 1$) и антирезонансный ($8 \Leftrightarrow 0$) контуры колебаний.

Антирезонансные колебания есть Свето-Датель и его ± 2 компоненты обеспечивают Жизнь субструктуры (табл.301).

384. Размножение на уровне митоза субструктур биоклетки

В поле полярных вихрей над сгустком формируется пульсирующая субструктура биоклетки, которую пронизывает Тонкая Энергия, излучаемая Свето-Дателем (табл.301).

Цис-транс изомерическая пульсация полярного вихря формирует в жидких средах молочно-белые спирали Кундалини, отверждение которых приводит к молекулярным мембранным спиральям ДНК и РНК и иных белковых тел.

Молекулярные белковые тела **смертны** и после гибели биоклетки поддаются **гниению** (табл.302).

На уровне субструктур биоклетки между молекулами белковых смертных тел функционируют **бессмертные**, не поддающиеся гниению после гибели биоклетки, **Тонкие Энергии** от Свето-Дателя.

Материнская субструктура $(9+0)$, размножаясь митозом при $(9+2)$ субструктуре, и делясь на две дочерние субструктуры $(9+0) \cdot 2 = 18$, проходят через единство и борьбу противоположностей смертного и бессмертного (табл.302).

Естественный контакт бессмертного со смертным не нарушает **Ход Движения Колеса Вселенной: полтора оборота остаются** (824).

Но в этих полутора оборотах Вселенной нет никакой мистики, ибо $3/2$ – это закон трёх вторых, в соответствии с которым совершают движение все сгустки в Космосе:

Закон трёх вторых	
$\frac{\text{Пульсация внутреннего поля } m}{\text{Движение } m \text{ в окружающей среде}} \equiv m \frac{c + \omega_0}{c} \equiv m \frac{3\omega_0}{2\omega_0} .$	(825)

Давая нам Круг Универсума, Иисус Христос трудами Иоанна Богослова над **Откровениями** давал потенциалы 2, 3 и 4 во взаимодействиях [5]. Он давал нам Закон движения Рупы ($T_0 = 4$) в Арупе ($\tau = 3$) взаимодействий ($2 = \lg \rho_1 \rho_2 \rho_3 \rho_4 \rho_5$):

$$\left(m \cdot \frac{c + \omega_0}{c} \equiv 4 \cdot \frac{3}{2} = 4 \cdot 1,5 = 6 \right) \cdot 10^n . \quad (826)$$

Не зная этого Закона (826) построить светлое Будущее невозможно.

386. На тропе Теогенезиса

Теогенезис Книги Дзиан указывает путь в Светлое Будущее как путь Эволюции Человечества на тропе к Красной Звезде ([4]. Станца IX):

"4. Сказал Он Святым: "Соберите своих хозяев и сделайте жилища, достойные Ангелов Голоса. Они проведут новорождённых Сынов воли и Йоги по открытой мною тропе, чтобы они смогли заселить огненную Красную Звезду новой расой".

Слова этой Станцы имеют и Числовые характеристики:

Фраза	Новорождённые Сыны Воли и Йоги (табл.300)	Тропа к Красной Звезде	Соберите своих хозяев
Числа	$n_3 K_3 = 26 \cdot 50 = 1300$	$\frac{\Delta K}{\Delta \mathcal{K}} = \frac{1400 \text{ \AA}}{70 \text{ \AA}} = 20$	$T_0 \tau / 2 = 6.$

(827)

Максимальным потенциалом **Движения к огненной красной Звезде** будет являться резонансный потенциал, равный (827):

$$n_3 K_3 \cdot \frac{\Delta K}{\Delta \mathcal{K}} \cdot T_0 \tau / 2 = 1300 \cdot 20 \cdot 6 = 1300 \cdot 120 \equiv 156 \cdot 10^3, \quad (828)$$

где потенциал $120 \equiv 1 \cdot 2 \cdot 3 \cdot 4 \cdot 5 \equiv 5!$ является внутренним полем кванта света при резонансе, когда поверхность кванта имеет потенциал 6.

Такой квант света пульсирует вместе с расширяющейся Вселенной, не расходуя на Движение собственную энергию:

$$\frac{\text{резонанс}}{\text{антирезонанс}} = \frac{1 \cdot 2 \cdot 3 \cdot 4 \cdot 5}{1 + 2 + 3 + 4 + 5} = \frac{120}{15} = 8 \equiv \frac{c^3}{\omega_0^3}. \quad (829)$$

Возникает ситуация, когда квант света (829) движется по спирали Зодиака ($T_0 \tau = 12$) в ритме 13-ти тактной пульсации Вселенной (828):

$$1300 \cdot 120 \cdot (c^3 / \omega_0^3 = 8) \cdot [(T_0 + 1)^2 = 5] = 1300 \cdot 24000 = 312 \cdot 10^5. \quad (830)$$

Но на пути к огненной Красной Звезде нам надо понять пульсацию Рупы по амплитуде волны.

387. Зародыш Света в Арупе

Ритмику пульсации Поверхности Рупы (форма) задаёт пульсация точечного участка волны света по амплитуде и длине волны (табл.303).

Таблица 303

Колебания точечного участка волны света

Колебания волны	По амплитуде	По длине волны	По амплитуде
Колебательный контур	$\frac{T_0 + 1}{T_0 - 1}$	$(T_0 + 1) \cdot (T_0 - 1)$	$\frac{T_0 - 1}{T_0 + 1}$
	1/0,6	15	0,6
	Зародыш Света	Электромагнетизм	Зародыш Света.

При равновесии по амплитуде, возникающем в поле Пятеричной Связи, например при

$$1 \Leftrightarrow 15 \cdot 0,6 = 9 \Leftrightarrow 0,6^2 = 0,36, \quad (831)$$

потенциал в электромагнитном поле снижается с 15 до 9, а потенциал Арупы ($T_0 - 1 = 3 \equiv \tau$) увеличивается до квадрата первоначальной величины (831).

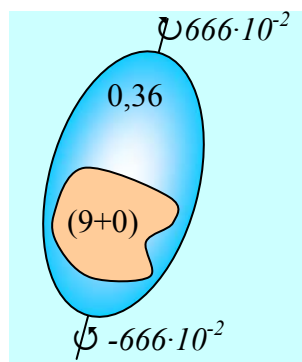


Рис.98 Зародыш Света в Арупе

В поле Арупы возникает Зародыш Света с поверхностью, обладающей потенциалом $0,36 = 36 \cdot 10^{-2}$, и внутренним полем, потенциал которого равен сумме арифметической прогрессии 36 последовательно возрастающих уровней (рис.98):

$$\left(\Sigma = \frac{1+36}{2} \cdot 36 = 666 \right) \cdot 10^{-2} \quad (832)$$

Возникнет электромагнитный сгусток, излучающий полярные вихри с потенциалами $666 \cdot 10^{-2}$ Числа Сатаны (рис.98).

Я не знаю, кому из тёмных выдумщиков понадобилось оболгать Число 666, но в Реалии Зародыш Света 0,36 описывает наше рождение в Жизни до Жизни.

388. Клевета на Зародыш Света

О Зародыше Света в Арупе (рис.96), то есть о **Эго каждого из нас в Жизни до Жизни**, Космогенезис Книги Дзиан говорит следующее (Станца VII):

"1. Познай начало Жизни чувствующей и вне формы. Вначале Божественный Единый от Матери Духа (потенциал $(9+0)$ в Зародыше Света, рис.98), затем Духовный $[(666 - (-666)) \cdot 10^{-2}]$, рис.96); Три от Одного":

$$\frac{(9+0) \cdot [666 - (-666)] \cdot 10^{-2}}{36 \cdot 10^{-2}} = 333 \equiv 666 \cdot \left(\int_0^1 \varphi d\varphi = \frac{1}{2} \right). \quad (833)$$

Интересно получается: стоит Числу Сатаны начать пульсировать, как из него получаются три тройки, а **Бог троицу любит**.

На мой взгляд, религиозные шустрики предприняли отвлекающий манёвр для того, чтобы человечество не могло связать 13-ти лунную пульсацию (чёртову дюжину) с числом π в выражении (830):

Механизм появления фотон-фононов в средах		(834)
Цис-изомерия	Транс-изомерия	
$1300 \cdot 120 \cdot 8 \cdot 5^2 + \tau \cdot 10^5 =$ $315 \cdot 10^5 \equiv \pi \cdot 10^5$	$-1300 \cdot 120 \cdot 8 \cdot 5^2 - \tau \cdot 10^5 =$ $-315 \cdot 10^5 \equiv -\pi \cdot 10^5$	
$(m_c = 1/\pi) \cdot \pi \cdot 10^5 = 10^5$	$(E_\lambda = 1/\pi) \cdot \pi \cdot 10^5.$	

Зомбированные, убегающие в паническом страхе от анализа **Чисел Сатаны и чёртовой дюжины**, люди не смогут понять даже образования люминесцентных фотонов.

Но Станца VII продолжает: **Четыре от Одного**, и мы получаем 10^{20} фотонов, обнаруженных С.И.Вавиловым в пределах насыщения люминофора (834):

$$[mc^2E_{\lambda}^2 = 1/\pi 4] \cdot (\pi \cdot 10^5)^{T_o = 4} = 10^{20}, \tag{835}$$

и Пять [3] указывает на появление генома:

$$\frac{315 \equiv \pi}{63} = 5 \equiv \frac{1^2 + 2^2 + 3^2 + 4^2 + 5^2 + 6^2 + 7^2}{1 + +2 + 3 + 4 + 5 + 6 + 7} = \frac{140}{28}. \tag{836}$$

Пусть люди исследуют причинно-следственные связи путём **проб и ошибок** методами **Приближения**, но не **точными Знаниями**, потирают руки составители Религий, служители золотого тельца. Но так долго не будет.

389. Пульсирующая Память в Жизни до Жизни

из которых Три, Пять и Семь ([4]. Станца VII, п.1).

Числа Три Пять и Семь связаны с появлением генома с потенциалом 63 (табл.304).

Таблица 304

**Мультиплетность генома наследственности
в Эфире Бордо**

Числа	Три	Пять	Семь	Число фотонов
Природа происхождения	$\frac{63}{21} = 3$	$\frac{315 = \pi}{63} = 5$	$\frac{63}{(9 + 0)} = 7$	10^{20}
Примечания	Полярный вихрь Арупы	Пятеричная связь	Арупа-Рупа	Люминофор. Эфир Бордо.

Эфир Бордо упоминается в Книге Мёртвых. По существу эта субстанция люминесцентного света в пределах насыщения которого находится 10^{20} фононов.

Попав в Эфир Бордо наше Эго начинает пульсировать.

Компоненты	Колебания	Невечные	Вечные
Потенциалы	$(3 \overset{+2}{\rightleftarrows} 5 \overset{+2}{\rightleftarrows} 7) \cdot 10^{20}$	$K_4 = 15$	$n_4 = 8.$

(837)

Эти суть Троичные и Четверичные в нисходящем порядке, то есть магнитные и гравитационные поля, формирующими пятеричные связи в Жизни до Жизни:

$$\frac{\text{Троичные гравитационные}}{\text{Четверичные магнитные}} = \frac{3+2+1}{4^2+3^2+2^2+1^2} = \frac{6}{30} = \frac{1}{5}. \quad (838)$$

При переходе к Жизни возникает потенциал связи, равный **пяти**:

$$5 = \frac{1^2+2^2+3^2+4^2+5^2+6^2+7^2}{1+2+3+4+5+6+7} = \frac{140 \text{ магнетизм}}{28 \text{ гравитация}}. \quad (839)$$

Первого Владыки рождённые Разумом Сыны, Блистающие Семь [3], то есть пульсирующая в ритме Дзиан Память:

$$\text{Память в Жизни до Жизни} \equiv 7 \cdot 10^{20} \equiv \mu^* \left(\pm \int_0^1 \varphi d\varphi \right). \quad (840)$$

Они и есть Ты, Я, он, о Лану; они блюдут тебя и твою Матерь–Бхуми ([3]. Космогенезис. Станца VII, п.1).

390. Саптапарна: сердце Человека - Растение

Христианская Церковь не признаёт Реинкарнаций.
Распятие и воскрешение Христа - это Реинкарнация.
Господь и Церковь - не одно и то же.

Книга Дзиан описывает механизм Перевоплощения ([3]. Космогенезис. Станца VII):

"2. Единый Луч размножает малые Лучи"
(табл.305).

Таблица 305

Инверсия Пятеричной Связи в геноме – Зародыше Света (рис.98)

Жизнь до Жизни	Инверсия	Единый Луч	Малые Лучи
$\frac{1}{5} = \frac{63}{\pi}$	\Leftrightarrow	$\frac{\pi}{63} = 5$	$\frac{1^2 + 2^2 + 3^2 + 4^2 + 5^2 + 6^2 + 7^2}{1 + 2 + 3 + 4 + 5 + 6 + 7} = \frac{140}{28}$
Примечание: $\pi = 315 \equiv c$, использованы 838, 839, табл.305.			

Жизнь предшествует Форме (Арупа Зародыша генома–Света, рис.98), и **Жизнь переживает последний Атом** (наличие Жизни вне сгустка Тянь, то есть в Арупе Цинь, 837). **Через бесчисленные Лучи** (838, 839), **Луч Жизни, Единый, подобно Нити в Ожерелье:**

$$\left| 5^{-n} \Leftrightarrow 1 \mid \dots \leftarrow \mid 5^{-2} \Leftrightarrow 1 \mid \leftarrow \mid 1/5 \Leftrightarrow 5 \mid \rightarrow \mid 1 \Leftrightarrow 5^2 \mid \rightarrow \dots \mid 1 \Leftrightarrow 5^n \right| \quad (841)$$

←————— Нить в Ожерелье —————→

"3. Когда Единый (Свет) становится Двумя (фотон и фонон), **Троичный** (электромагнитная среда $\epsilon_0 \mu_0 c^2 = 1$) **проявляется и Трое Едины** (табл.306).

Сердце Человека – Растение, называемое Саптапарна

Станца	Единица становится Двумя	Трое Едины
Потенциалы	$\frac{m_c c + E_\lambda c}{\varepsilon_0 \mu_0 c^2} \Leftrightarrow \frac{\varepsilon_0 \mu_0 c^2}{m_c c \cdot E_\lambda c}$ $2 \Leftrightarrow 1$	$m_c c + \varepsilon_0 \mu_0 c^2 + E_\lambda c \Leftrightarrow$ $m_c c \cdot \varepsilon_0 \mu_0 c^2 \cdot E_\lambda c \Leftrightarrow$ $3 \Leftrightarrow 1 \text{ и } 3 - 1 = 2 \Leftrightarrow 0$
Примечание	Возникают Дзиан и взаимодействия	3 : 2 = 1,5 оборота Колеса Вселенной.

Это (табл.306) наша Нить, о Лану, Сердце Человека - Растение, называемое Саптапарна.

391. формирование Мысли и Памяти в Зародыше биологического Эго

Книга Дзиан продолжает раскрывать людям энергетику Реинкарнаций ([3]. Космогенезис. Станца VII).

"2. Это есть Корень, никогда не умирающий".

Источником энергии для процессов **Размножения и Реинкарнации** являются колебания самосущих волн вечной тьмы:

$$\leftarrow \dots 16^{-1} \leftarrow \dots 4^{-1} \leftarrow \dots \sqrt{2}^{-1} 1 \Leftrightarrow \sqrt{2} \dots \rightarrow 4 \rightarrow \dots 16 \rightarrow. \quad (842)$$

Три–Язычное Пламя Четырёх Фитилей.

Зародыш Света, сохраняющий Память нашего Эго в Арупе (840), начинает пульсировать в резонансно-антирезонансном режиме вместе с Арупой–Рупой:

$$7 \cdot 10^{20} \cdot \left(\frac{T_0 \tau}{T_0 + \tau} = \frac{12}{7} \Leftrightarrow \frac{1}{12} = \frac{T_0 - \tau}{T_0 \tau} \right) \equiv 7 \cdot 10^{20} (12^2 \Leftrightarrow 7). \quad (843)$$

Фитили – Искры, которые извлекают из Три–Язычного Пламени, устремлённого Семью, их Пламя – Лучи и Искры единой Луны.

Любой излучённый квант света сам является излучателем. Дуализм излучатель – излучение описывается словосочетанием **Фитили – Искры** или **Пламя – Лучи**.

В поле колебаний Памяти нашего Эго (843) в момент поступления самосуших волн с потенциал–эквивалентом $\sqrt{2}^4 \equiv T_0$, возникает импульс–эквивалент импульсу Мысли, а при $\sqrt{2}^2$ – Памяти:

$7 \cdot 10^{20} \cdot (7 \leftrightarrow 12^2) \cdot \sqrt{2}^4 \equiv \rho^* \cdot (7 \leftrightarrow 12^2) - \text{Мысль}$	(844)
$7 \cdot 10^{20} \cdot (7 \leftrightarrow 12^2) \cdot \sqrt{2}^2 \equiv \mu^* \cdot (7 \leftrightarrow 12^2) - \text{Память.}$	

Процесс формирования Мысли и Памяти (844) характерен не только для Солнечной Системы, но и для единого Космоса в целом, поэтому используется словосочетание **единая Луна**.

...отражённой в струящихся Волнах всех Рек Земли.

Гравитация Луны с периодичностью $T_0 \cdot (T_0 + \tau) = 28$ действует на все жидкие среды Земли.

392. Информатика Размножением

Невечные и вечные энергетические компоненты биологической Жизни и Жизни до Жизни взаимосвязаны (табл.307).

В энергетическом поле **вечной Жизни** (табл.307) передача **Единицы Информации** будет реализовываться с помощью полярных вихрей:

$$|21 + 1 = 22| \Leftrightarrow \frac{8}{-3 \cdot 15} + 1 \equiv \frac{8 - 3 \cdot 15}{-3 \cdot 15} \equiv \frac{37}{45} = 0,8(2). \quad (845)$$

**Взаимосвязь генной информации
Жизни и Жизни до Жизни**

Компоненты	Невечные	Вечные	Возникновение изомерии Периодической Системы Гено- мов
Биологическая Жизнь (табл.302)	$K_1=21$	$n_1=8$	$\frac{K_4-K_1}{n_4+n_1} \Leftrightarrow \frac{n_4/n_1}{K_4 \cdot K_1}$
	$K_2=32$	$n_2=12$	$\frac{-6}{16} = \frac{-3}{8} \Leftrightarrow \frac{1}{15 \cdot 21}$
	$K_3=50$	$n_3=26$	$-63 \cdot 15 \Leftrightarrow 8 \equiv c^3/\omega_0^3$
Жизнь до Жизни (797)	$K_4=15$	$n_4=8$	$[-63 - (+63)] \cdot 15 \Leftrightarrow 16 \equiv T_0^2$

Полученная ситуация (845) поясняет, что 22 буквы Авраама (**информация**) переносятся за счёт полярных вихрей расширяющейся Вселенной ($0,8 \equiv \rho_2 \cdot c^3/\omega_0^3$), в вихрях которой на всех уровнях протекают взаимодействия: $0,8 \cdot (\lg \rho_1 \rho_2 \rho_3 \rho_4 \rho_5 = 2) \equiv 0,8 (2)$.

В то же время в биологической Жизни передача энергии Размножения протекает за счёт колебаний субструктур материнской биоклетки до и при митозе:

$$(9+0) \Leftrightarrow (9+2).$$

Свойства –сочетания неечно–вечных компонент биоклетки при Жизни описывают размножение митозом (табл.307):

$$\left(\frac{K_2 - K_1}{n_2 - n_1} = \frac{32 - 21}{12 - 8} = \frac{11}{4} \right) \Leftrightarrow 11 \Leftrightarrow \frac{9}{2} \Leftrightarrow \left(\frac{9}{8} = \frac{18}{16} = \frac{50 - 32}{28 - 12} = \frac{K_3 - K_2}{n_3 - n_2} \right),$$

или $2 \cdot 2 \equiv 2 \cdot (9+2) \Leftrightarrow (9+0) \equiv 9, \quad (846)$

где колебания связывают и субструктуры и буквы Авраама.

393. Усиление материнского импульса в дочерних субструктурах

Великая Цивилизация передала 13-ти лунный Календарь цивилизации Майи в надежде, что **человечество поймёт информатику Размножения** (табл.308).

Таблица 308

Усиление материнского импульса в дочерних субструктурах

Схема передачи	Излучатель-приёмник (846)	Промежуточная среда (Свет)	Приёмник-излучатель (табл.307)
Потенциалы	$0 \Leftrightarrow 22 - 9 = 13$	$\frac{K_3 + n_3}{K_3 - n_3} = \frac{76}{24} \equiv 315 = \frac{15}{9}$,	$n_3 K_3 = 50 \cdot 26 = 1300$
Биоклетки	Материнские	где $315 \equiv \pi \equiv c$	Дочерние
Коэффициент усиления	$K = \frac{1300}{13} \left(\frac{K_3 - n_3}{K_3 + n_3} = \frac{24}{76} \right) = \frac{60}{19}$.		

Вернёмся к яйцу, в котором Зигота созрела в плод, где скорлупа имеет потенциал 225, а Зигота – 224 (рис.96). Но при рождении Зигота получит усиление и созревший плод разрушит скорлупу (табл.308).

$$P = \frac{\text{Зигота}}{\text{Скорлупа}} \cdot \text{Усиление} \equiv \frac{224}{225} \cdot \left(K = \frac{60}{19} \right) = \frac{224 \cdot 4}{15 \cdot 19}, \quad (847)$$

где: $224 \equiv 16 \cdot 14 = \sqrt{qq^* \cdot \mu\mu^*}$ – потенциал электромагнитной плазмы в Рупе ($T_o = 4$);

$15 \equiv (16+14) \cdot 0,5$ – антирезонансное электромагнитное поле, пульсирующее в режиме Дзиан ($\pm 0,5$).

Вырвавшись из-под скорлупы, цыпленок попадает в расширяющуюся Вселенную, и начинает расти (847):

$$P \left[\left(\frac{c}{\omega_0} \right)^3 \equiv \frac{16 \cdot 14 \cdot 4}{15 \cdot 19} = 8 \right] \Leftrightarrow \left[\frac{16 \cdot 14 \cdot 4}{15 \cdot 19} \left(\pm \int_0^1 \varphi d\varphi = \pm \frac{1}{2} \right) \right] P, \quad (848)$$

и пульсировать вместе с Вселенной.

Эволюция Живого во Вселенной становится управляемой:

$$pT_0^2 \Leftrightarrow p \cdot (1/T_0^2 = 0,0625). \quad (849)$$

Великая Цивилизация использовала шифр кода управления живым и закодировала Книгу нашего Бытия.

394. Структура Единой Жизни в Едином Космосе

Пять продвижений Фохата - всеобъемлющий закон единого Космоса и относится также к области перехода между Жизнью и Жизнью до Жизни (табл.309).

Область перехода между Жизнью и Жизнью до Жизни в Книге Мёртвых называется Эфиром Бордо.

Эфир Бордо разделяет ***Oeaohoo*** – Младшего ([3]. **Жизнь до Жизни**) и ***Oeaohoo*** ([3]. **Жизнь**), каждая из которых имеет по Семи энергетических уровней Светодателей.

Структуру Эфира Бордо формируют *Oeaо-* и *Oeaо-*Младший, то есть четыре первых уровня из семи.

Эти четыре уровня книга Дзиан называет **формовщиками**, и их потенциалы для *Oeaohoo* (Жизни) рассчитаны применительно к Дзиан–пульсации (табл.276).

Однако, вводя поле *Oeaohoo* – Младшего, мы смещаем начало отсчёта уровней и порядок уровней приходится изменить на противоположный (табл.309).

Таблица 309

Структура Единой Жизни в Едином Космосе

Форма	Жизнь до Жизни			Эфир Бордо								Жизнь		
Обозначение уровней	-7	-6	-5	-4	-3	-2	-1	1	2	3	4	5	6	7
	<i>o</i>	<i>o</i>	<i>h</i>	<i>o</i>	<i>a</i>	<i>e</i>	<i>O</i>	<i>O</i>	<i>e</i>	<i>a</i>	<i>o</i>	<i>h</i>	<i>o</i>	<i>o</i>
	(младший)													
Потенциалы (табл.276)	-1	-1	-1	←Формовщики→								10	20	225.
	225	10	10	-1/2 ← → 2										

В эфире Бордо взаимодействия и Дзиан пульсация взаимосвязаны (табл.309).

При резонансном равновесии процесс направлен в сторону Жизни до Жизни (табл.309):

$$-1 \Leftrightarrow 4 \Leftrightarrow -1 \equiv -n \cdot 1/n. \quad (850)$$

При антирезонансном равновесии возникает **Пятеричный Лха** (табл. 309):

$$0 \Leftrightarrow 4+1 = 55 \equiv (\pi = 315/63). \quad (851)$$

395. Реинкарнации как процесс совершенствования

Эфир Бордо описан в Космогенезисе Книги Дзиан Станцей III [3]:

"7. Узри, о Лану, Дитя Лучезарное тех Двух (Лану – ученик и как всё живое проходит через эфир Бордо, то есть поля люминесцентного и солнечного света. формовщики, табл.309), несравненное блистающее Величие – Пространство Света, Сына пространства Тьмы (Самосущие волны метagalактики, которые излучают Свет только в полях гравитации), возникающего из Глубин Великих Тёмных Вод (Астрономические Чёрные Дыры, поглощающие Свет и излучающие самосущие волны). Это Оеаоһоо –Младший. Он сияет как Солнце, Он Пламенеющий, Божественный Дракон Мудрости (Дракон Мудрости – это Воображение $q^* = 16 \cdot 10^{20}$. В эфире Бордо имеется Память и колебательный контур (844):

$$\boxed{7 \cdot 10^{20} \cdot (7 \Leftrightarrow 12^2 = 9 \cdot 16) \cdot T_0} \equiv \boxed{14^2 \cdot 10^{20} \Leftrightarrow 36 \cdot q^*}, \quad (852)$$

где $14^2 \equiv \mu\mu^*$ – магнетизм Памяти;

10^{20} – фотоны в пределах насыщения люминофора;

36 – квант света;

q^* – воображение);

Эка (один) есть Чатур (четыре), и, Чатур берёт себе Три, и Союз порождает Сапта (семь), в нём Семеро (Возникает антирезонансное поле Арупы–Рупы с потенциалом $T_0 + \tau = 7$), которые становятся Тридаша (тридцать), Сонмы и множества (На пятом и шестом уровнях Жизни возникает потенциал $10 + 20 = 30$ (табл.309), а на пятом–шестом уровнях Жизни после Жизни во множестве фонон–фотонов (10^{20}) пульсирует приведённый потенциал сапта, равный (табл.309):

$$\left(\frac{1}{20} \cdot \frac{1}{10} : \left(\frac{1}{20} + \frac{1}{10} \right) = \frac{1}{30} \right) \cdot 10^{20}. \quad (853)$$

Узри его, приподнимающего Покров и развёртывающего его с Востока на Запад. Он скрывает Горнее (Oeaohoo-Младший, Жизнь до Жизни, табл.309), и оставляет Подножие, явленное как Великая Иллюзия (Oeaohoo, биологическая Жизнь смертных тел, табл.309). Он намечает места для Блистающих (блистает люминесцентный свет Ауры душ нашего Эго) и обращает Горнее в безбрежное Море Огня и Единое Проявленное в Великие Воды (Проявленные – это переработанная светом энергия тьмы Чёрных Дыр. Великие Воды Проявленного - плазма Тонкой Энергии Света), которую по аналогии условно можно назвать Белой Дырой.

Потенциал – эквивалент одного Эго в светлой Дыре можно рассчитать по Сапте, Множеству и 108 реинкарнаций одного человека по Буддизму (853):

$$\boxed{\text{Эго в Белой Дыре} \equiv \frac{1}{30} \cdot 10^{20} \cdot 108 = 3,6 \cdot 10^{20}.} \quad (854)$$

Великая Цивилизация называла Эго в Белой Дыре Зародышем (854) и описывала его так:

"8. Где был Зародыш? И где была Тьма? Где Дух Пламени, горящего в твоём Светильнике, о Лану? Зародыш есть ТО и ТО есть Свет, Белый, Блестящий Сын Отца, во Тьме Сокрытого".

Выделенные и повторенные слова **ТО** и **ТО** указывают на **изомерию** Зародыша, совершившего Движение от Чёрной Дыры к Белой Дыре (табл.310).

Таблица 310

Переход Зародыша Эго из Чёрной Дыры в Белую

Параметры	Изомерия Зародыша	Чёрная Дыра	Переход	Белая Дыра
Изомерия Зародыша (854)	$3,6=1,8-(-1,8)\equiv$ $1,8=0,9-(-0,9)\equiv$ $\pm 0,9$	$\pm 0,9 \cdot 10^{-20} \times$ $\lg \rho_3 \rho_4 =$ $\pm 234 \cdot 10^{-21}$	$10^{-2}(\pm 234 \cdot 235) \equiv$ $\pm 0,5 \cdot 13 \cdot 81$	$\pm 0,9 \cdot 10^{20} \cdot$ $\lg \rho_2 \rho_1 =$ $\mp 225 \cdot 10^9$
Примечание		Вакансии	Тепло, Вода	Фонон-фотоны.

Переход между Чёрной и Белой Дырами характеризует Движение Вселенной.

396. Пульсация Арупы–Рупы источник работы Сердца

Книга Дзиан характеризует Зародыш Эго в Белой Дыре (табл.310) как **"9. Свет – Хладный – Пламень и Пламень – Огонь"** а далее следует описание влияния Зародыша на область перехода (табл.310), и **Огонь рождает Тепло, Воду Производящее, – Воду Жизни в Матери Великой** ([3]. Космогенезис. Станца III, п.9).

Своё Начало Зародыш нашего Эго берёт в среде вакансий 10^{-20} в люминофоре Чёрной Дыры (**Отца во Тьме Сокрытого**), где происходят взаимодействия, связанные с экзотермией и возникает потенциал $\pm 234 \cdot 10^{-21}$ (табл.310).

Достигнув Белой Дыры, Зародыш Эго становится сгустком холодного люминесцентного света, связанного с эндотермическими взаимодействиями $\lg \rho_1 \rho_2 = -25$. В Белой Дыре возникает потенциал $\pm 225 \cdot 10^{19}$ (табл.310), кратный потенциалу 225 скорлупы Мирового яйца (табл.276).

Между Белой и Чёрной Дырой возникает область перехода, резонансный потенциал которой равен (табл.310):

$$(\pm 234 \cdot 10^{-21}) \cdot (\mp 225 \cdot 10^{19}) = 52650 \cdot 10^{-2} \equiv \pm 0,5 \cdot 13 \cdot 81. \quad (855)$$

В поле перехода между Дырами потенциал $\pm 0,5$ реализуется как Дзиан, потенциал 13 – отсчитывает 13-ти лунные продолжительности по Календарю Майи, а потенциал 81 связан с субструктурой $(9+0)^2$ и Арупой - $\tau^{T_0} = 3^4$ - носителем Рупы (855).

Трансформация Арупы в Рупу со скоростью $c \equiv \pi \equiv 315$ вызывает тепло наших Божеств в наших сердцах, вырабатывающих жидкую фазу магнитного ядерного жидкого вещества (табл.311).

Таблица 311

Божества Сердца как переход Арупы в Рупу при $c \equiv \pi$

Компоненты	Божества Сердца	Магнетизм	Биоплазма
Потенциалы	$\pi \cdot T_0 / \tau = 315 \cdot 4 / 3 = 420$	$\pi \cdot T_0 / \tau^2 = 315 \cdot 4 / 9 = 140$	$\pi \cdot T_0^2 / \tau^2 = 315 \cdot 16 / 9 = 560.$

Переход между Чёрной и Белой Дырами Космогенезис Книги Дзиан описал в Станце III [3]:

"10. Отец–Матерь прядёт Ткань, верхний край её прикреплён к Духу, Свету Единой Тьмы (Белая Дыра, табл.310), а нижний к Теневому краю, к Матери (Чёрная Дыра, табл.310); и Ткань эта есть Вселенная, сотканная из Двух Сущностей (Арупа и Рупа, табл.311), воедино слитых, что есть Свабхават".

Свабхават возникает как результат приведённой пульсации Арупы-Рупы при трансформации со скоростью света (табл.312).

Таблица 312

**Динамика и структура Свабхават
в поле света (с = π = 315)**

Поля и процессы	Приведённая пульсация Арупы-Рупы в поле света	Двойная спи- раль Зодиака и семь планет	Кундалини в жидкой плазме $\gamma = 73$
Неравно- весия	$\left(\frac{T_0\tau}{T_0+\tau} \Leftrightarrow \frac{T_0-\tau}{T_0\cdot\tau}\right)\cdot\pi$	$(R^2\leftrightarrow 7)\pi$	$(72\leftrightarrow 7/2)\pi$
		Дзиан пульсация	
Появление пальмы	$\left(\frac{7}{T_0} \equiv \frac{T_0+\tau}{T_0} \equiv \frac{\rho\rho^*}{qq^*} \equiv \dots \Leftrightarrow \frac{12^2}{T_0} = 36 \equiv \rho_2\Delta B\right)\cdot(\pi \equiv c)$ Пульсация в Арупе.		

"11. Она (Вселенная) распространяется, когда Дыхание Огня над нею (холод люминесценции), она сокращается, когда Дыхание Матери касается её (гравитация единой Луны). Тогда сыны разъединяются и рассыпаются" (табл.311):

Магнетизм	140 = 1 ² +2 ² +3 ² +4 ² +5 ² +6 ² +7 ² (рассыпаются)	(856)
Гравитация	140 = 5·(1+2+3+4+5+6+7 = 28) сокращаются	
Сыны	140 = π·T _o /τ = 315·4/9 = 4·35.	

чтобы вернуться в Лоно Матери при окончании Великого Дня, чтобы снова соединиться с нею. Когда она охлаждается, она становится сияющей. Сыны её разворачиваются и сокращаются (856). Сами собой и своими Сердцами (табл.311) они вмещают Беспредельность.

12. Тогда Свабхават (табл.312) посылает Фохат (давление), чтобы отвердеть Атомы (возникает пальма, табл.312). Каждый есть часть Ткани". ([3]. Космогенезис. Станца III).

397. Механизм синтеза Периодической Системы Рупы

Хотя великая Цивилизация и называет биологическую Жизнь **Великой Иллюзией**, но каждому из нас надо пройти через Жизнь 108 раз (854).

Назад пути нет. Поэтому надо сделать Жизнь на Земле счастливой. Очистить её от алчного Мировоззрения золотого тельца.

Биологическая Жизнь начинается с **отвердения Арупы в Рупу**. Происходит отвердение Арупы в Рупу **тогда, когда в любой точке Беспредельного Пространства Вселенной возникает вихрь с потенциалом в одну пальму.**

Компоненты Тонкой Энергии и Материи в Едином Космосе					
Арупа (нет сгущения)			Рупа (сгущение)		
Мысль: гравитация	Память: магнетизм	Воображение: электричество	Элементарные заряды		
			Гравитационный	Магнитный	Электрический
$\rho^* = 28 \cdot 10^{20}$	$\mu^* = 14 \cdot 10^{20}$	$q^* = 16 \cdot 10^{20}$	$\rho = 28 \cdot 10^{-20}$	$\mu = 14 \cdot 10^{-20}$	$q = 16 \cdot 10^{-20}$

(857)

При отвердении Тонкой Энергии (Цинь) в энергию сгустка (Тянь) разделить Арупу и Рупу невозможно. поэтому начало отвердения связано с потенциалом, равным квадрату потенциала пальмы, из которого при отвердения возникает **ОБОЛОЧКА** с потенциалом 49 (Русские Руны):

$$\left(\frac{7}{4}\right)^2 = \frac{\rho^* \rho}{qq^*} \equiv \frac{T_0 \mu^* \mu}{qq^*} \equiv \frac{28^2}{16^2} = \frac{49}{T_0} = 49 \cdot 0,0625, \quad (858)$$

где 0,0625 является 10^{-6} частью от 62500-шифра Библии.

Периодическая система Атомов химических элементов начинает формироваться при условии гравито-электро-магнитного равновесия:

$$112 = 7\sqrt{qq^*} = 8\sqrt{\mu\mu^*} = 4\sqrt{\rho\rho^*}, \quad (859)$$

поэтому каждый атом обладает равновесием и имеет потенциал, равный:

$$(7/4)^2 \cdot 112 = 7^3. \quad (860)$$

Учитывая Семеричность и Равновесие, Книга Дзиан характеризует Атом так: **"12...Каждый есть часть Ткани (Вселенной). Отражая подобно зеркалу "Самосущего Владыку", каждый в свою очередь становится Миром".** ([3]. Космогенезис. Станца III).

"Поверхность" (Оболочку) Атома защищают электрические (электрон-позитронные) поля с цис-транс изомерическим полушариями (рис.99), где разность потенциалов полушарий даёт потенциал-эквивалент поверхности сферы $Q = 4\pi R$.

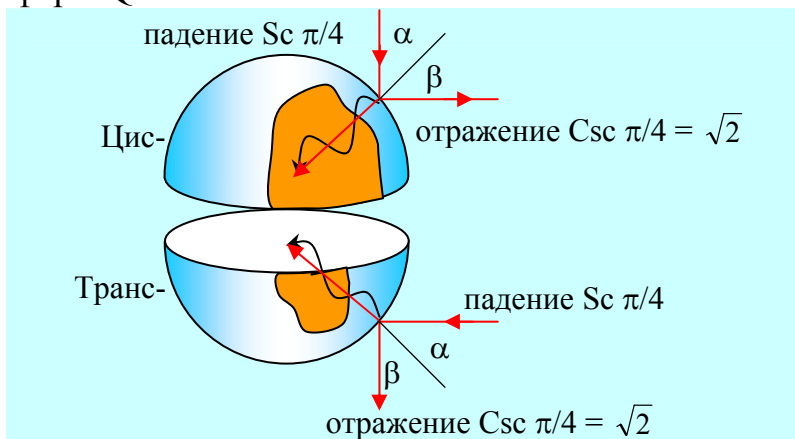


Рис.99 Электрическая зеркальная защита Атома

При $R = 0$ поверхность сферы будет иметь потенциал–эквивалент Цинь в поле Света:

$$Q = 4\pi \cdot (R = a \equiv 2\sqrt{2})^2 = 32\pi, \quad (861)$$

где $a = 2\sqrt{2}$ - сторона основания великой Пирамиды, эпюра которой учитывает влияние метagalактических самосуи волн (рис.99).

Электрон $(-q)$ – позитронная $(+q)$ оболочка Атома отражает **подобно зеркалу** самосуи волн Метagalактики при равенстве углов α и β – падения и отражения между собой (рис.99), образуя электрическую защиту Атома (861):

$$\frac{\text{электрон} - \text{позитрон}}{\text{поверхность сферы}} = \frac{q \cdot (-q)}{32\pi} = \frac{-16^2 \cdot 10^{-40}}{32\pi} = 8 \cdot 10^{-40} \frac{1}{\pi}. \quad (862)$$

Однако электрон-позитронная оболочка атома не может защитить Атом от импульса Космической Мысли единой Луны (861).

$$\frac{\text{поверхность сферы}}{\text{космическая Мысль}} = \frac{32\pi}{\rho^{*2}} = \frac{32\pi}{28^2 \cdot 10^{40}} = \frac{2}{7^2} \cdot 10^{-40} \pi. \quad (863)$$

Возникает колебательный контур пульсации расширяющейся Вселенной под Оболочкой (862, 863):

$$\frac{8 \cdot 10^{-40}}{\pi} \Leftrightarrow \frac{2}{7^2} \pi \cdot 10^{-40} \quad \text{и} \quad 7^2 \cdot 4 \Leftrightarrow \pi^2, \text{ где } 8 \equiv c^3/\omega_0^3. \quad (864)$$

В ядерном веществе Атома возникает Дзиан–пульсация:

$$\pm \left(\int_1^0 \varphi d\varphi - \int_0^1 \varphi d\varphi \right) = \pm 1, \quad (865)$$

и число электрон–позитронов в Атоме растёт как арифметическая прогрессия.

398. Созидательная энергетика взрывов

При энергетическом перенасыщении ядерного вещества пол **Оболочкой** процесс насыщения объёма заканчивается **взрывом**.

Взрывы бывают **локальные** (например, землетрясения) **инверсионные** (выворачивание оболочки наизнанку) **и ядерные** (полное разрушение оболочки).

Векторно-математическое описание локального взрыва связано с точкой пересечения окружности с диаметром:

$$2\pi R : R = 2\pi = 2 \cdot 315 = 630. \quad (866)$$

Инверсионный взрыв описывает отношение площади круга к длине окружности:

$$\pi R^2 : 2\pi R = \frac{1}{2} \cdot R. \quad (867)$$

Ядерный взрыв связан с отношением поверхности сферы к её объёму:

$$4\pi R^2 : \frac{4}{3} \pi R^3 = 3 \cdot R. \quad (868)$$

При локальных взрывах в частности могут формироваться геномы наследственности, а мощность ядерного взрыва в шесть раз превышает мощность инверсионного взрыва (866, 867):

$$3R : \frac{1}{2} \cdot R = 6, \quad (869)$$

и Кундалини, как буферная среда, гасит ядерные взрывы, заставляя живые биологические структуры пульсировать в режиме инверсии, сохраняя мощность ядерного взрыва (869):

$$3R \equiv \frac{1}{2} \cdot R \cdot (3,5 + 2,5 = 3,5^2 - 2,5^2). \quad (870)$$

При формировании сгустков Тянь, в том числе и Атомов, взрывы возникают в недрах Ядра при переходе гравитационного поля в магнитное $\rho^* \rightarrow \mu^*$, где $\frac{\mu^*}{\rho^*} = \frac{1}{2} \equiv K_0$, и на оболочке при переходе $\mu^* \rightarrow q$, где

$$K = q/\mu^* = 16 \cdot 10^{-20} / 14 \cdot 10^{20} \equiv 8/7 \cdot 10^{-40}. \quad (871)$$

Энергетику взрывов легко рассчитать (табл.313).

Таблица 313

Постоянные взрывов в Недрах и Литосфере

Взрывы Уровни	Локальный	Инверсионный	Ядерный
Недра	$\frac{630}{K_0} = 2 \cdot 7 \cdot 90 \equiv K_1$	$\frac{1}{2} R : K_0 = R = K_3$	$3R : K_0 = 6R = K_5$
Литосфера $\times 10^{-40}$	$\frac{630}{K} = \frac{7^2 \cdot 90}{8} \equiv K_2$	$\frac{1}{2} R : K = \frac{7}{16} R^2 K_4$	$3R : K_0 = \frac{21}{8} R = K_6$

Энергия взрывов может быть направлена как в сторону литосферы, так и в сторону недр ядра.

В сторону литосферы будет совершать движение поток вакансий (зарядов), к недрам ядра – поток импульсов (табл.314).

Таблица 314

Направленность взрывов в Мировом Яйце (табл.313)

Взрывы Направленность	Локальный	Инверсионный	Ядерный
К Недрам Ядер	$K_5 : K_6 = \frac{16}{7} 10^{40}$	$K_3 : K_4 = \frac{16}{7} 10^{40}$	$K_1 : K_2 = \frac{16}{7} 10^{40}$
От литосферы	$K_6 : K_5 = \frac{7}{16} 10^{-40}$	$K_4 : K_3 = \frac{7}{16} 10^{-40}$	$K_2 : K_1 = \frac{7}{16} 10^{-40}$

Излучаясь с литосферы (оболочки энергетического уровня) энергетический поток попадает в окружающую среду и взаимодействует с ней (табл.314):

$$\frac{7}{16} \cdot 10^{-40} \cdot (\lg \rho_1 \rho_2 \rho_3 \rho_4 \rho_5 = 2) \equiv \frac{14 \cdot 10^{-20}}{16 \cdot 10^{20}} \equiv \frac{\mu}{q^*}, \quad (872)$$

где магнитные заряды образуют вокруг сгустка полярные магнитные линии, а электрическое воображение остаётся на внешней поверхности оболочки.

Мы ищем направление по компасу и знаем, что электричество течёт по поверхности проводника.

При движении к Недрам Ядра энергетический поток попадает в среду, пульсирующую в режиме Дзиан (табл.314):

$$\frac{16}{7} \cdot 10^{40} \left(\pm \int_0^1 \varphi d\varphi = \pm \frac{1}{2} \right) \equiv \pm \frac{16 \cdot 10^{20}}{14 \cdot 10^{-20}} = \pm \frac{q^*}{\mu}. \quad (873)$$

Между двумя энергетическими потоками возникают колебания (872, 873):

$$\frac{\mu}{q^*} \Leftrightarrow \frac{q^*}{\mu} \quad \text{или} \quad \frac{\mu^*}{q} \Leftrightarrow \frac{q}{\mu^*}. \quad (874)$$

Электрон-позитронная защита поверхности сгустка прорывается потоками (874, 863):

$$8 \cdot 10^{-40} \cdot \frac{1}{\pi} \cdot (\mu^* \mu^* \Leftrightarrow q q) \equiv 8 \cdot 14^2 \cdot \frac{1}{\pi} \Leftrightarrow 8 \cdot 16^2 \cdot 10^{-80} \frac{1}{\pi}, \quad (875)$$

и в отвоёванном у самосуших волн Пространстве возникает новая структура Тянь—Цинь.

399. Рождение живого: биологического тела и души. Приход Эго в Жизнь

"Плодитесь – Размножайтесь", - сказал Господь, на **Седьмой День**, сотворив Человека с библейским **Числом 113** относительных Единиц.

Сто двенадцать относительных Единиц Создатель затратил **на тело Человека**, сотворив Тело из 112 химических элементов Периодической Системы Атомов; **Одну** относительную Единицу Великий Учитель затратил **на Эго (душу) Человека** (табл.315).

Таблица 315

Энергетика Человека: пульсация души в теле

Режим	Равновесие			Пульсация		
Наименования	Число Человека	Тело	Эго (душа)	Скорость пульсации	Божества Сердца	Пульсация Души
Потенциалы	113	= 112 +	1	$\frac{113}{T_0 + \tau = 7}$	= $\frac{112}{7} = 42$ +	$\frac{1}{7}$
Свет в оболочке (Кундалини)	$(42 = 7 \cdot 6) \Leftrightarrow 1/7 \text{ и } 7^2 \cdot 6 \Leftrightarrow 1,$ где 7^2 - оболочка, а 6 – Кундалини свет.					

Христианство трактовало Свет в оболочке как однообразие биологической земной Жизни, буддизм утверждает, что таких Жизней сто восемь. Тем не менее противоречий нет, ибо $108 = 6 \cdot 18 = 3 \cdot 36$ описывает влияние окружающей среды (воды – 18, света 6.436, Арупы – 3 и так далее) на **поведение Кундалини под оболочкой** (табл.315):

Христианство		Буддизм		Рождение Жизни
$(1 \Leftrightarrow 7^2 \cdot 6)$	\times	$(108 = 6 \cdot 18)$	\equiv	$\dots 108 \Leftrightarrow 21 \cdot 14 \cdot 18.$

(876)

Рождение Жизни характеризует неравновесная система (876):

$$108 \Leftrightarrow 21 \cdot 14 \cdot 18 \equiv 21 \cdot 28 \cdot (9+0) \equiv \dots, \quad (877)$$

где: 108 – число реинкарнаций;

21 – потенциал полярного вихря над сгустком;

$14 = \sqrt{\mu\mu^*}$ – магнетизм;

18 – молекулярный вес воды;

$28 = \sqrt{\rho\rho^*}$ – гравитация;

(9+0) – материнская субструктура в биологической клетке.

Биологическая Жизнь зарождается в воде (жидких средах), а Размножение – является не просто процессом накопления Энергии, но и трансформацией гравитационной энергии в магнитную (табл.316).

Таблица 316

**Изменение Формы Энергии
при Размножении делением**

Энергия субструктур	Гравитация	Магнетизм	Гравио-магнетизм в системе 108 реинкарнаций
	Материнская	Две дочерние	
Субструктуры в полярном вихре ± 21	$21 \times (9+0) \cdot 28 =$ $21 \times T_0 \times 63,$ при $28 \equiv \sqrt{\rho\rho^*}$	$21 \times 2(9+0) \cdot 14 =$ $21 \times T_0 \times 63,$ при $14 \equiv \sqrt{\mu\mu^*}$	$21 \times T_0 \times 63 \Leftrightarrow 108;$ $21 \times 63 \Leftrightarrow 27;$ $7 \times 63 \Leftrightarrow 9;$ $7^2 \Leftrightarrow 1/$

Весь процесс от Зарождения пятеричной связи до появления субструктур дочерних биоклеток – биоклетка записывает числом ростков-жгутиков своих субструктур (табл.317).

Таблица 317

**Возникновение биотока Жизни
в дочерних субструктурах клетки**

Полярный вихрь	Митоз	Дочерние биоклетки	Колебания: биоток
$5 \xleftrightarrow[-2]{+2} 7 \xleftrightarrow[-2]{+2} 9 \xleftrightarrow[-2]{+2} (9+2) \xleftrightarrow[-14]{+14} 2(9+0)$			$\frac{K_3}{n_3} \Leftrightarrow K_3 n_3 \Leftrightarrow \frac{n_3}{K_3}$
$K_1=5+7+9=21$	$K_2=K_1+11=32$	$K_3=K_2+18=40$	$1 \Leftrightarrow 40^2 \Leftrightarrow 1$
$n_1=4 \cdot 2=8$	$n_2=n_1+4=12$	$n_3=n_2+28=40$	$1 \equiv \rho_5^2 \sqrt{qq^*} \Leftrightarrow 1.$

Возникновению электрического биотока Жизни в субструктурах дочерних биоклеток предшествовали колебания на переходах между полярным вихрем и субструктурой митоза, между субструктурой митоза и дочерними биоклетками, и наконец в поле самих дочерних биоклеток (табл.318).

Таблица 318

**Неравновесие Тонкой Энергии и Материи
при размножении биоклетки**

Уровни Колебаний (табл.317)	I Полярный вихрь митоз	II Митоз–дочерние субструктуры	III В дочерних суб- структурах
Колебания бессмертной Тонкой Энергии (табл.318)	$\frac{n_1}{n_2} \Leftrightarrow \frac{n_2}{n_1}$ $\frac{8}{12} = \frac{2}{3} \Leftrightarrow \frac{3}{2} = \frac{12}{8}$ $(9+0) \Leftrightarrow 4$	$\frac{n_2 - n_1}{n_1 \cdot n_2} \Leftrightarrow \frac{n_1 \cdot n_2}{n_2 + n_1}$ $\frac{12-8}{12 \cdot 8} \Leftrightarrow \frac{12 \cdot 8}{12+8}$ $10 \Leftrightarrow 36 \cdot 32$	$\frac{n_2}{n_3} \Leftrightarrow \frac{n_3}{n_2}$ $\frac{12}{40} \Leftrightarrow \frac{40}{12}$ $10^2 \Leftrightarrow (9+0)$
	Излучение Рупы	Свет в небесах Цинь	Субструктура в ρ_5/ρ_5
Колебания смертных белковых тел клетки (табл.317)	$\frac{K_1}{K_2} \Leftrightarrow \frac{K_2}{K_1}$ $\frac{21}{32} \Leftrightarrow \frac{32}{21}$ $21^2 \Leftrightarrow 32^2$ $1 \Leftrightarrow (32^2 - 21^2)$	$\frac{K_2 - K_1}{K_1 \cdot K_2} \Leftrightarrow \frac{K_1 \cdot K_2}{K_2 + K_1}$ $\frac{32-21}{32 \cdot 1} \Leftrightarrow \frac{21 \cdot 32}{32+21}$ $(32 \cdot 21)^2 \Leftrightarrow 32^2 \cdot 21^2$ $(32 \cdot 21) \Leftrightarrow 1$	$\frac{K_2}{K_3} \Leftrightarrow \frac{K_3}{K_2}$ $\frac{40}{32} \Leftrightarrow \frac{32}{40}$ $5/4 \Leftrightarrow 4/5$ $25-16=9 \Leftrightarrow 0$
	Полярный вихрь в небесах Цинь		Субструктура (9+0).

При рождении в био–Жизнь и Тонкие Энергии и Энергия белковых смертных тел пульсирует между Гармонией с потенциалом Единица и Хаосом с потенциалом ноль.

Для того, чтобы сравнить энергетические поля Тонкой Энергии и Энергии белковых тел, надо получить их потенциалы в поле Хаоса, то есть приведённые к ноль–потенциалу (табл.319).

Таблица 319

**Расслоение Тонкой Энергии
и Энергии Материи в Хаосе**

Спираль Зодиака	Тонкая Энергия						Энергия белковых тел					
	1	2	3	4	5	6	7	8	9	10	11	12
Размножение (табл.322)	9	4	10	36	100	9	1	32 ²	32	1	9	0
				32				21 ²	21			
Хаос	-1046	0	0	0	0	0	0	0	0	0	0	-98.


 Космос Невесомости

Расслоение Тонкой Энергии и Энергии Материи в субструктурах биологической клетки при её **Размножении Делением** происходит по двенадцати стадиям (табл.319), характерным для спирали Зодиака.

Появление ноль–потенциалов, **начиная со второй и кончая одиннадцатой стадией**, приводит к концентрации Тонкой Энергии с потенциалом (-1046) на первой стадии; а Энергии Материи белковых тел с потенциалом (-98) - на двенадцатой (табл.319).

Дзиан–пульсация среды, окружающей смертные белковые тела формирует оболочки Материальных Тел как в микро-, так и в макро- Мирах (табл.319):

$$\text{Оболочка} \equiv (-98) \cdot \left(\pm \int_0^1 \varphi d\varphi = \pm \frac{1}{2} \right) = 49 = 7^2. \quad (878)$$

Между Тонкой Энергией и Энергией Материи в спирали Зодиака, находящейся в Хаосе, возникает сумма-разность потенциалов, а затем новая разность, рождающая Живые Магниты биологической Жизни (табл.320).

Таблица 320

Живые Магниты спирали Зодиака (табл.319)

Операции	Сумма	Разность	Живые магниты
Числа	$(-1046) + (-98) = -1144$	$(-1046) - (-98) = (-948)$	$= -196 = -14^2 \equiv -\mu\mu^*$

Великая Цивилизация, зная о магнетизме спирали Зодиака, использовала астрологическую символику в своей высокой Науке, ибо Астрология – Наука.

400. Рождение Эго в Жизни до Жизни

Зародыш нашего Эго, уважаемый Читатель, возникает ещё в Жизни до Жизни в поле 10^{20} фотонов, насыщающих люминофор эфира Бордо и взаимодействующих между собой в глубокой эндотермии дальнего действующего гравитационного (ρ_1) и короткодействующего слабого (ρ_2) взаимодействиями.

Возникает Белая Дыра (табл.310).

Чёрная Дыра появляется в экзотермии короткодействующего ядерного взаимодействия и света, пробивающегося через Жидкую Плазму ядерного вещества (табл.321).

Таблица 321

**Ядерно-логарифмическая полярность
Единого Космоса**

Дыры Процессы	Белая Дыра	Спираль Зодиака	Чёрная Дыра
Ядерные	$\rho_1 \rho_2 = 10^{-25}$	$10^{-25} 10^{13} = 10^{-12}$	$\rho_4 / \rho_5 = 10^{13}$
Логарифмические	$\lg 10^{-25} = -25$	$-25 + 13 = -12$	$13 = \lg 10^{13}$

Ядерно-логарифмическую полярность Единого Космоса великая Цивилизация пыталась популярно объяснить человечеству в виде Мифа о Рае и Аде. Религии ввели эти мифы как **Догмы своего Мировоззрения**, и держатся за Догмы, не желая поступиться ни одним чёртом. Однако в Реалиях между Раем (Белой Дырой) и Адом (Чёрной Дырой) существует извечно-вечная взаимосвязь (табл.321).

Чёрная Дыра отсчитывает ритмику тринадцатитактного течения "времени"; Белая Дыра формирует пятеричные связи во Всём Сущем (Пятеричный Лха [3]).

Между Дырами возникают дальнедействующие гравитационное (ρ_1) и электромагнитное (ρ_3) взаимодействия (табл.321):

$$\rho_3 = 1/10^{-12} \Leftrightarrow (10^{-12})^2 = 10^{-24} \equiv \rho_1. \quad (879)$$

Логарифмические волны от этих взаимодействий формируют спираль Зодиака (табл.321), в которой происходит распределение Тонкой Энергии и Энергии Материи по полюсам (табл.319).

Важнейшим моментом является вопрос о том: Кто заселяет Дыры?

Религиям великая Цивилизация дала правильное мифологическое толкование: чувствующие, мыслящие души. Грешные в Ад. Праведные в Рай.

С позиции Чисел грешная душа – эквивалент вакансий (10^{-20}) в люминофоре; праведная – эквивалент 10^{20} фотонов (табл.322).

Дыры с поступившими в них фотон–вакансиями

Дыры Процессы	Белая Дыра с фотонами (табл.321)	Область перехода	Чёрная Дыра с вакансиями (табл.321)
Ядерные	$10^{20} \rho_1 \rho_2 = 10^{-5}$	$(10^{-5} \cdot 10^{-7})^{\pm 1} \equiv (10^{-12})^{\pm 1}$	$10^{-7} = 10^{-20} = \rho_4 / \rho_5$
Логарифмические	$\lg 10^{-5} = -5$	$\frac{(-7) \cdot (-5)}{(-7)^2 - (-5)^2} = \frac{35}{24}$	$-7 = \lg 10^{-7}$

Грешник – он как ненасыщенный люминофор, что не увидит, всё к себе тянет, праведник – как насыщенный люминофор – работает на излучение Света (табл.322).

Однако и грешник, и праведник в Жизни до (после) Жизни всего лишь Зародыши, потенциалы которых соответствуют $\pm 234 \cdot 10^{-21}$ (грешник) и $\pm 225 \cdot 10^{19}$ (праведник, табл.310).

Пропустим праведника и грешника в заслуженные ими Дыры (табл.323).

Насыщение Дыр Зародышами Эго (табл.310)

Дыры	Белая с праведником	Переход: 13-ти лунный ритм	Чёрная с грешником
Ядерный	$\pm 225 \cdot 10^{19} \cdot 10^{-5}$ $\pm 225 \cdot (10^{14} = \rho_4)$	$\frac{(\pm 225) \cdot (\pm 234)}{\rho_4} \equiv$ $\pm 5265 \cdot 10^{-13}$	$\pm 224 \cdot 10^{-21} \cdot 10^{-7}$ $\pm 224 \cdot (10^{-28} = \rho_4^{-2})$

Между заселёнными Белой и Чёрной Дырами возникает ядерное вещество с потенциалом (таб.323):

$$\pm 5265 \cdot 10^{-13} = \pm 5 \cdot 13 \cdot 81 \cdot 10^{-13}, \quad (880)$$

где 5 – Пятеричная Связь сохраняется, 13-ти ритмичный отсчёт Продолжительности ("Времени") – сохраняется, $81 = (9+0)^2$ - субструктура материнской биоклетки в Арупе – сохраняется.

В Религии энергетический переход (880) был введён как Чистилище, но изначальный физический смысл, которые этому переходу придавала великая Цивилизация, Церквями был утерян.

Вместе с тем рождение **чувствующих и вне формы**, то есть наших душ в Жизни до Жизни, происходит в Свете Чистилища. Для грешных душ Свет Чистилища **несёт Ужас и Муки**; для праведников – **Любовь и Блаженство**. Это с позиции Эмоционального Восприятия. Но энергетика рождения Эго в жизни до Жизни подобна как для праведника, так и для грешника, и энергетика эта описана в Станце VII, п.1 Космогенезиса Книги Дзиан [3], **которую я анализировал в разделе 344: Митоз биоклетки и рождение в жизни до Жизни.**

Продолжение анализа рождения в Жизни до Жизни необходимо связать с гравитационно-магнитной средой (табл.316).

Эта среда возникает тогда, когда наши души пройдут предопределённые 108 реинкарнаций, и будут рождаться вновь (табл.316):

Реинкарнации в поле Свечения Тонкой Энергии		(880)
Колебания	Пояснения	
$21 \cdot T_0 \cdot 63 \Leftrightarrow 108$	Реинкарнация геномов в вихре	
$21 \times 63 \Leftrightarrow 27$	Свечение Тонкой Энергии	
$7 \times 63 \Leftrightarrow (9+0)$	Субструктура в геномах	
$7^2 = 49 \Leftrightarrow 1$	Оболочка субструктуры.	

Ранее я подробно рассказывал о Свечении Тонкой энергии, имеющего два эллипсоида, полуэллипсы которого имели потенциалы 27 и 28 (рис.100).

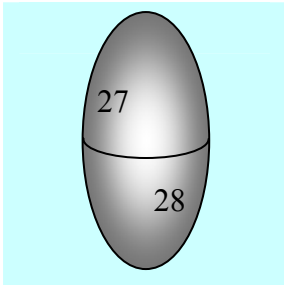


Рис.100 Свечение и потенциалы Тонкой Энергии

Свечение возникало за счёт L (индуктивность) – C (ёмкость) контура колебаний. Свечение само, запись Свечения на видеокамеру и фотография Свечения воздействовали на семена, повышая их урожайность в 7 раз, убивало вирусы и врачевала (рис.100).

Положительный эффект от Свечения Тонкой Энергии достигался потому, что свечение было **Эфиром Бордо, заполняющим Чистилище, в котором наше Эго возрождалось в Жизни до Жизни** (880, рис.100).

Потенциал Чистилища (880) и разности потенциалов Свечения связывают между собой $\tau^{To} = 81$, геномы с потенциалом 63^2 , и субструктура (9+0).

Таблица 324

Размножение геномов наследственности в Арупе Чистилища

Уровни	Реинкарнации (880)	Генератора (рис.100)
Чистилище	$5265 \cdot 10^{-20} \rho_4 \rho_2 = 5265$	5265
Свечение	$21 \cdot 4 \cdot 6 - 108 = 5184$	$21 \cdot 63 - 27 = 1296$
Разность	Арупа $\tau^{To} = 3^4 = 81$	Геномы $\equiv 63^2$
Субструктура (880)	$\frac{7 \cdot 63 - 9}{72 - 1} = \frac{432}{49} = (9 + 0).$	

7. "Ныне это твоё Колесо", сказала Пламя Искре, "Ты – Я", моё Подобие и моя Тень! Я Сам облёкся в тебя и ты Мой Вахана до Дня "Будь с Нами", когда ты снова станешь мною и другими, собой и мною".

После этого строители, облекшись в свою первую Оболочку ($1 \Leftrightarrow 7^2$; 880), спускаются на блистающую Землю и над людьми главенствуют – будучи ими самими ([3]. Космогенезис. Станца VIII).

401. Суеверие оружие фарисеев: числа 666 и 13

Без знания законов Единого Космоса построить на Земле счастливое будущее невозможно.

Причина неудач лежит в нашем способе познания причинно-следственных связей Реалий Вселенных.

Установив факт, например деления социума на богатых и бедных, мы начинаем создавать мифологические, магические, религиозные, научные Парадигмы-Иллюзии, в которых **истинно-космические** причинно-следственные связи неизвестны.

Нарушается Первый и основной Закон Космоса, то есть закон познания причинно-следственных связей, называемый Законом Кармы.

Возникает ситуация: Кармы не знаем, а Жизнь идёт.

Перемещение Капитала между богатыми и бедными подобно перемещению жидкости в сообщающихся сосудах.

Маятниковый эффект движения капитала в Жизни вне Кармы **периодически создаёт революционно - контрреволюционную ситуацию.**

Окончательную Победу одержать не могут ни контрреволюция, ни революция, ибо **их лидеры не знают, какое новое общество строить после своей победы и продолжают тупое служение золотому тельцу.**

Подтверждением моих слов служит вся история человечества в области контрреволюционных - революционных взаимоотношений.

Своих вершин революционно - контрреволюционные отношения достигли в смене **криминальных** великих Октябрьской Социалистической Революции 1917 года под руководством В.И.Ленина и Л.Д.Троцкого, и контрреволюции под предводительством М.С.Горбачёва и Б.Н.Ельцина.

Оба социальных сдвига в России - это великие сдвиги: революция Ленина - Троцкого национализировала Капитал, контрреволюция Горбачёва - Ельцина приватизировала Капитал.

В результате "лампочка Ильича" досталась Б.Чубайсу, а футбольный клуб "Челси" губернатору Чукотки Абрамовичу.

Возник футбольно-чукотский интернационал, которым необходимо управлять в духе великой криминальной Перестройки Горбачёва.

М.С.Горбачёв пришёл к власти в 1975 году и с 1976 года начал **"Перестройку"**, продолжительность которой к 2006 году достигла мифологического **Числа 30, обожествлённого Шумерами как бог-богиня Луны на вершине семислойной Пирамиды "Вавилонская Башня"**.

В то же время постсоветские израильтяне расшифровывая Книгу Бытия установили, что 2006 год является годом **Ядерной Холокосты**.

Продолжительность релаксации ядерной холокосты связана с продолжительностью существования предшествующего периода (то есть **дикого социализма**, просуществовавшего 70 лет с 1917 по 1987 годы). Дзиан пульсация объединит эти два периода:

Социализм в Советской Державе	Дзиан переход	Продолжительность ядерной холокосты	(881)
70 лет	$\int_0^1 \varphi d\varphi = 35 \text{ лет}$	35 лет	
С 1917 по 1987 г Начало	С 1986 по 2006 г.	2006+35 = 2041 г. окончание.	

Чем будет отличаться Холокоста 1941 от ядерной холокосты 2001 года, зависит от нашего понимания того, Кому и зачем потребовалось оклеветать потенциалы 666 (Число Сатаны) и 13 (Чёртова Дюжина).

Тот, Кто оклеветал потенциалы 666 и 13, очень не хотел, чтобы мы, люди **Знали Законы Единого Космоса**, ибо 666 и 13 - важнейшие потенциалы Вселенной (табл.325).

Таблица 325

**Структура кванта Света
в тринадцати-тактном "Времени"**

Свет	Энергия 36 уровней	Распределение		Плотность ядерного вещества
		Внутреннее	Оболочка	
	$(1+36)/2 \cdot 36 \equiv 666$	630 \equiv геномы	36 Белый Свет	$\begin{matrix} 630+36 \\ - \\ 630-36 \end{matrix} = 72$
	День вне Времени	$\frac{\lg \rho_4 \rho_2}{\rho_4 \rho_2}$	Время: $\lg \rho_4 \rho_2 = 13$	Тринадцати- лунный календарь
	$(1+36)/2 \cdot 36 \equiv 666$	Геномы 630	Белый Свет 36	$\begin{matrix} 630-36 \\ - \\ 630+36 \end{matrix} = -72.$

Без этого кванта света, полярные вихри которого имеют потенциал 666 и пульсируют с 13-ти тактной периодичностью, Жизнь невозможна, так как в этих полярных вихрях зарождаются геномы с потенциалом 630, в ядерном веществе с плотностью $\gamma_n = 72$.

Отношение потенциалов геномов к плотности ядерного вещества порождает Семеричность Единого Космоса и появление в нём **Пальмы** (табл.326).

Таблица 326

**Формирование Светом Арупы–Рупы
и Кундалини в них**

$\frac{\text{Геномы}}{\text{Плотность}}$	$\frac{630}{72} = 8,75 \equiv 7 + \frac{7}{4} \equiv (T_0 + \tau) + \frac{T_0 + \tau}{T_0}$
<i>Инверсия</i>	$\left (7 + 7/4) \Leftrightarrow \frac{1}{(7 + 7/4)} \right \rightarrow \left 35^2 \Leftrightarrow 16 \equiv T_0^2 \right _{\text{Кундалини}}$

Цис-транс изомерия ядерного вещества создаёт резонансный вихрь Арупы–Рупы, эквивалентный потенциалу спирали Зодиака (табл.325):

$$72 - (-72) = 144 \cdot 12^2 \equiv (T_0 \cdot \tau)^2, \quad (882)$$

в которой появляется колебательный контур (табл.326):

$$35^2 \Leftrightarrow 16. \quad (883)$$

В Периодической Системе геномов генома под номером 35 нет. Потенциалы 27, 28, 35 и 36 расходуются не на формирование геномов, а на образование Тонко–энергетического Свечения в Кванте Света (рис.101).

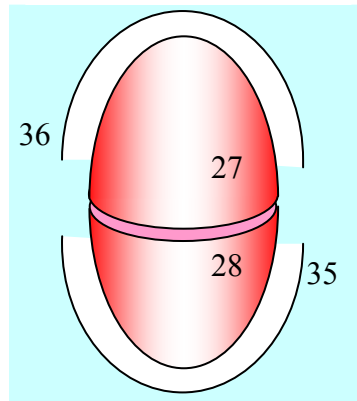


Рис.101 Красный Свет
под оболочкой белого

Под пульсирующей (36 \Leftrightarrow 35) оболочкой белого света возникает пульсирующая красная оболочка (рис.101):

$$27 \Leftrightarrow 28 \equiv 2 \cdot 1400 \cdot \rho_2^2 \equiv [(\Delta K=1400) - (-\Delta K=1400)] \cdot \rho_2^2 \quad (884)$$

где в спектре изомерии красного света возникает **гравитация с потенциалом 28**.

Тот, Кто оболгал числа 666 и 13 (табл.325), старался привить социуму Земли **Суеверия**, которые, к великому сожалению, оказались не чужды и церковнослужителям.

Заветной Целью **Того – Кто Оболгал** было желание скрыть ритмику пульсации Космоса, то есть потенциал

$$[(36^2 - 35^2) = 71] - [(28^2 - 27^2) = 55] = 16 \equiv T_o^2. \quad (885)$$

Тому Кто Оболгал было необходимо скрыть **шифр-Ключ Книги Бытия**:

$$\sqrt{\rho_3} = 10^6 / T_o^2 \equiv 16 = 62500. \quad (886)$$

Зашифрованный текст Книги Бытия приводит человечество к Светлому Будущему Теогенезиса, а Теогенезис прямым текстом указывает на роль красно-белой области спектра на Эволюцию Ману-Мыслителя в Человека Воли и Йоги [4].

"1. Дикий Белый Бык покрыл Большую Красную Корову (рис.101). одним исторгающим усилием она родила Белого Телёнка женского рода" ([4]. Теогенезис. Станца IV).

Речь идёт о том, что красно-белый переход в спектре солнечного света является излучателем холодного люминесцентного белого света (табл.327).

Таблица 327

Излучения из красно-белой области спектра света

Излучения в красно-белом спектре	Белый Бык	Красная Корова	Белый Телёнок	Жёлтый Рог
	$\Delta Б \equiv 3600$	$\Delta К \equiv 1400$	$\Delta б \equiv \frac{\Delta Б}{20} = 180$	$\Delta Б \equiv 3600$
	Кундалини $\equiv \Delta Б^2 - \Delta К^2 \equiv 6 \cdot 10^6 \equiv$ Общее время Апокалипсиса по "Откровениям" [5]			
	Бриллиантовый Наконечник: $[6 - (-6)] \equiv 12 \cdot 10^6$.			

"2. По обеим сторонам головы её выросло по одному Золотому Рогу, а посередине неожиданно вырос Рог с Бриллиантовым Наконечником" ([4]. Теогенезис. Станца IV).

Эта Станца из Теогенезиса и табл.327 взаимосвязаны: отношение скорости трансформации энергии света к потенциалу Белого Телёнка женского рода равно **одной пальме** - Единице Счисления великой Цивилизации (табл.327):

$$\frac{\text{Скорость Света}}{\text{Белый Телёнок}} \equiv \frac{c = \pi = 315}{\Delta б = 180} = \frac{7}{4} \equiv \text{пальма} \quad (887)$$

Попадая в поле Дзиан пульсаций, белый Телёнок в поле Света делится пополам:

Два Золотых Рога Белого Телёнка женского рода			(888)
Направ- ленность	Два жёлтых излучения в люминесцентном свете	Женский Род (знак плюс)	
Кундалини левизны	$\left(\frac{\pi}{\Delta\phi} = \frac{7}{4}\right) \left(\int_0^1 \varphi d\varphi \equiv \frac{1}{2}\right) = \frac{7}{2}$	$\frac{7}{2} - \left(\frac{7}{2}\right) = 7 = 7\text{\AA}$	
Кундалини правизны	$\left(\frac{\pi}{\Delta\phi} = \frac{7}{2}\right) \left(\int_0^1 \varphi d\varphi \equiv -\frac{1}{2}\right) = -\frac{7}{2}$	$\equiv \Delta$ Люминесцентный свет 0,7\AA.	

Третий Рог с Бриллиантовым Наконечником появля-
ется в люминесцентном свете, волны которого **в 10² раз**
короче волн в солнечном свете при разности квадратов
между белой и красной областями спектра:

Рог с Бриллиантовым Наконечником			(889)
Форма Света	Солнечный	Люминесцентный	
Потенциалы	$\Delta B^2 - \Delta K^2 = 6 \cdot 10^6$	$6 \cdot 10^6 (\rho_2/\rho_4 = 10^2) = 6 \cdot 10^4$	
Процесс в Чакре	В чакре Третий Глаз возникают индуктив- ность и биоток $J = 10^{-4}\text{A} \Leftrightarrow 10^4 1/\text{A} = 1/J$.		

**"3. Быстро росли Три Рога, по несколько локтей
в день. Два Золотых Рога окружали племена Меняю-
щейся Звезды (Чакра Третий Глаз и полушария головного
мозга). Средний Рог изогнулся, вошёл в землю и нащу-
пал тела Змей Мудрости (в полушариях головного мозга
возник биоток, и сопутствующая биотоку индукция про-
шла через серое вещество головного мозга (879), появился
Змей Мудрости, то есть Воображение):**

$$\frac{\text{резонанс}}{\text{антирезонанс}} = \frac{q^* \cdot (-q^*)}{q^* - (-q^*)} = -\frac{q^*}{2}. \quad (890)$$

"Он вытащил Их из укрытия и высоко вознёс"
 ([4]. Теогенезис. Станца IX).

Этой **Мудрости Человека** боялись и бояться фари-
 сеи всех времён и народов. Они говорят неправду, говря,
 что Бог выгнал Адама и Еву за съедение **Яблока позна-**
ния, они клеветуют на Числа, претендуя на избранность.

Но создатель стремится к обучению всех, в том чис-
 ле и клеветников.

402. Настрой иммунной Защиты на Колебания Космоса

Контакт живого с окружающей средой Единого
 Космоса начинается с того, что **Тьма, которая дышит**
над дремлющими Водами Жизни [3] излучает пульси-
 рующий импульс Космической Мысли:

Космические излучения из Вселенной Невесомости	(891)
$K_0 = \frac{\rho_2}{\rho_5} \cdot \rho^* \int_0^1 \varphi d\varphi \cdot \int_1^0 \varphi d\varphi = -10^{-2} \cdot 28 \cdot 10^{20} \cdot \frac{1}{4} \equiv -7 \cdot 10^{18}$	

Живое встречает Космические Лучи Аурой над **сво-**
ей оболочкой. Начинается иммунная защита Живого.

Иммунная защита Живого состоит из **оболочки** с
 потенциалом 49 и спектра белого люминесцентного света,
 волны которого в 10^{-4} раз короче волн солнечного белого
 света:

Потенциал иммунной защиты Живого	(892)
$K_1 \equiv Оболочка \times Аура \equiv 7^2(\Delta Б \cdot \rho_2^2 / \rho_5^2) = 49 \cdot 36 = 1764.$	

Не зная этого потенциала (892) понять природу СПИДа невозможно, а излечить СПИД методом проб и ошибок – маловероятно.

Встречая Космические Лучи, иммунная защита Живого настраивает Живое в унисон к расширению ($c^3/\omega_0^3 = 8$) Вселенной и трансформации в ней энергетических форм со скоростью $c \equiv \pi = 315$:

Настрой иммунной Защиты на колебания Космоса
$\frac{\text{Космические Лучи}}{\text{Иммунная Защита}} \equiv \frac{K_0 = -7 \cdot 10^{18}}{K_1 \equiv 49 \cdot 36} \equiv \frac{-10^{18}}{0,8 \cdot 315} \Leftrightarrow \frac{0,8 \cdot 315}{-10^{18}} \equiv \frac{K_1}{K_0}$

(893)

Возникает Зародыш Тянь в поле Света (893):

$$(0,8 \cdot 315)^2 \equiv 0,64 \cdot \pi^2 \Leftrightarrow 10^{36}. \quad (894)$$

403. Предчувствие как энергия Чакры Сердца

Из нашей Жизни удалить **Предчувствие** невозможно.

Предчувствие есть Реальность, данная нам в Ощущениях иммунной Защиты нашего Эго (893).

Предчувствие - это восприятие Информации Космических Волн (891) нашими чакрами и сердцем.

Предчувствие всегда несёт правдивую и реальную информацию, ибо связано с Реалиями Космоса.

Искажение Предчувствий протекает на уровне Суеверий, где осмысленные где-то и кем-то Суеверия как фальшивый штамп искажает наши Предчувствия.

Возникая в Семи Чакрах с постоянной, равной 140 в каждой Чакре, а затем **переходя к 42 Божествам Сердца**, Предчувствия в поле гравитации создают потенциал, равный богу (богине) Луны Шумеров (табл.328).

Предчувствия как Реалии чакр и сердца

Компо- ненты	Число чакр	Постоянная чакр	Божества Сердца	Гравии- тация	Бог (боги- ня) Луны
Потен- циалы	7	140	42	28	30
Коле- бания	$\frac{42 \cdot 140}{7 \cdot 28} = 30 \Leftrightarrow \frac{1}{30} = \frac{(T_0 + \tau) \cdot \sqrt{\rho \rho^*}}{42 \cdot 140}$				
Спектр Света	$1 \Leftrightarrow 900 \equiv (\Delta K - \Delta A = 900 \text{Å}) \equiv (9+0) \cdot \rho_5^2.$				

Волки воют на Луну в томлении Предчувствия, а мы, люди, должны понимать, что Предчувствие делится на Рупу с потенциалом 30 (табл.322) и Арупу, в которой возникает уже наша собственная система генов (первая группа с потенциалом 280) и Мысль – Воображение в головном мозге (табл. 328):

$$\frac{42 \cdot 140}{7 \cdot \tau} = 280 \equiv \sqrt{\rho \rho^*}, \quad (395)$$

где возникают колебания (табл.328, 895):

$$280 \Leftrightarrow 30 \quad \text{и} \quad 250 \Leftrightarrow 0. \quad (896)$$

404. Связь Иммунной Защиты и Предчувствия

Иммунная защита, возникающая в Арупе над Оболочкой (892), и Предчувствия, появляющиеся в Чакрах и Сердце, взаимосвязаны Периодической Системой Геномов Наследственности:

$$\boxed{\frac{\text{Иммунная Защита}}{\text{Предчувствия}} \equiv \frac{49 \cdot 36}{280} = 63 \equiv \text{Геномы}.} \quad (897)$$

Между резонансной **Иммунной Защитой** (894) и антирезонансным полем Предчувствий (896) возникают колебания (табл.329).

Таблица 329

Взаимосвязь Иммунной Защиты и Предчувствий

Отношение е Предчувствиям	Поглощение	Излучение	Предчувствия
Иммунная Защита	$1 \Leftrightarrow 0,64 \cdot 10^{-36} \pi^2$	250	Предчувствие
Предчувствия	$0 \Leftrightarrow 280 - 30 \equiv 250$	$0,64 \cdot 10^{-36} \pi^2 \equiv$	Иммунная Защита
Колебания	$2 \cdot 8^3 \cdot 10^{-76} \Leftrightarrow 5^6$		

Колебания, возникающие между Иммунной Защитой и Предчувствиями (табл.329), как **вспышка–Искра**, которая в конечном счёте приводит к Дзиан–пульсации (табл.329):

$$5^{-6} \cdot 10^{-76} \Leftrightarrow \left(\frac{1}{2}\right)^{-7} \text{ и } 5^{-1} \cdot 10^{-70} \Leftrightarrow \left(\frac{1}{2}\right)^{-1}. \quad (898)$$

Дальнейшая мультиплетность–синтез энергетического поля (898) связана с энергетическими переходами:

$$\left(5^{-1} \cdot 10^{-70} \equiv \frac{5^{-71}}{2^{70}}\right) \Leftrightarrow \left(\frac{1}{2}\right)^{-1} \text{ или } 2^{70} \cdot \left(\frac{1}{2}\right)^{-1} \Leftrightarrow 5^{-71}$$

$$2^{71} \Leftrightarrow 5^{-71} \text{ при } 10^{71} \Leftrightarrow 1 \Leftrightarrow 10^{-71}. \quad (899)$$

В поле между иммунной системой и Предчувствиями ядерные взаимодействия увеличиваются до пятой степени, а гравитационные уменьшаются до третьей степени:

$$\boxed{10^{70} \equiv 10^{14 \cdot 5} \equiv \rho_4^5 \Leftrightarrow \rho_1^3 \equiv 10^{-24 \cdot 3} \equiv 10^{-72}.} \quad (900)$$

Возникает гравитационно-ядерная взаимосвязь Иммунной Защиты и Предчувствия.

Разорвать эту связь (900) - основополагающая задача фарисеев всех времён и народов, поэтому я не исключаю вспышку **СПИДа на Земле, как болезнь, созданную в пробирке Закулисы.**

Хотя бытует и другая версия: СПИД как и сам Человек произошёл от обезьяны.

Вали на обезьяну всё, - пока не научится разговаривать.

На чужом Несчастье не построишь Счастья.

405. Распределение ментальной энергии в Эго Человека

Преодолевшая **Иммунную Защиту** космическая энергия становится **Предчувствием** (чакры, сердца); затем переходит в глубины **гравитационно-магнитного ядерного серого** вещества головного мозга и формирует **Подсознание**. Выход из глубин ядерного вещества головного мозга на поверхность – **кору серого вещества головного мозга**, влечёт за собой трансформацию магнитного заряда в электрический, **появление поверхностного электрического поля в коре головного мозга, которая формирует Сознание** (табл.330).

Взаимодействия слабые–свет ($\rho_5/\rho_2 = 100$), которые являются постоянной эффективности взаимодействий Единого Космоса сохраняются на уровне **Иммунной Защиты**, а затем переходят в логарифмические волны, попадание которых в Дзиан пульсации **уменьшает их эффективность вдвое** (табл.330).

**Эффективности взаимодействий
на ментальных уровнях**

Уров- ни	Иммунная Защита	Предчувствие	Подсознание	Сознание
Потен- циалы	$V_1 = \left(\frac{\rho_5}{\rho_2} \equiv \lg \frac{\rho_3 \rho_4}{\rho_1} \right)^{\pm 1}$ $= \pm 100$	$V_2 = \left(\lg \frac{\rho_1}{\rho_3 \rho_4} \right)^{\pm 1}$ $= \mp 50$	$V_3 = V_1 \int_0^1 \varphi d\varphi$ $= \pm 25$	$V_4 = V_3 - 1$ $= \pm 24.$

Эффективности взаимодействий на ментальных уровнях Живого Носителя Разума, в том числе и нашего Эго, уважаемый Читатель, проявляет себя в частоте кадров восприятия Космической Информации.

На уровне Сознания наш мозг воспринимает Космическую информацию с частотой (v_4), равной 24, то есть связанной с гравитационным взаимодействием и квадратом электромагнитных взаимодействий, логарифмическими волнами (табл.330):

$$-v_4 \equiv -24 = \lg \rho_1 \Leftrightarrow \lg \rho_3^2 = +24 \equiv +v_4. \quad (901)$$

В Подсознании частота восприятия увеличивается до **25 кадров** в Единицу Продолжительности, а **на уровнях Предчувствия и Иммунной Защиты** достигает соответственно **$\pm 50 \equiv v_2$** и **$\pm 100 \equiv +v_1$** кадров (табл.330).

Появление логарифмических волн в полях взаимодействий (табл.330) затрагивает такие колебания $\rho_4^5 \Leftrightarrow \rho_1^3$ (351), а также фотоны в поле насыщенного люминофора ($\lg 10^{20}$ фотонов $\equiv 20$).

Логарифмические волны фотонов создают жёлто-красный переход в спектре света и соответствующие жёлто-красные гравитационные, магнитные и электрические поля (табл.331).

**Спектр красного гравитационного
электромагнитного поля**

Поля	Область спектра	Гравитация	Магнетизм	Электричество
Потенциалы	$\frac{\Delta K}{\Delta J} \equiv \lg 10^{20}$ $20 \cdot 1 = 20$	$\frac{\Delta K}{\Delta J} \cdot \sqrt{\rho \rho^*} =$ $20 \cdot 28 = 560$	$\frac{\Delta K}{\Delta J} \cdot \sqrt{\mu \mu^*} =$ $20 \cdot 14 = 280$	$\frac{\Delta K}{\Delta J} \cdot \sqrt{q q^*} =$ $20 \cdot 16 = 320$

Возникает Тропа к Красной Звезде, которую нашёл для Ангелов Создатель [4], то есть возникает маршрут Эволюции, на пути по которому Эго Ману-Мыслителя (нас с Вами, уважаемый Читатель) трансформируется в Эго Человека Воли и Йоги, описанного в Космогенезисе [4].

На маршруте Эволюции красные области в свою очередь распределяются по частоте кадров, а в конечном счёте по **эффективности взаимодействий**, ибо взаимодействия включают в себя всё, в том числе и частоты (табл.332).

В поле Эго Человека возникают свойственные Единому Космосу колебания между взаимодействиями и Дзи-ан пульсацией (табл.330):

$$\frac{7200}{3600} = 2 \Leftrightarrow \frac{1}{2} = \frac{7000}{14000}, \quad (902)$$

а во всей системе Эго Человека потенциалы определяются как сумма-разность и их отношение в конце и начале маршрута (табл.332):

$$\frac{7680 + 7200}{7680 - 7200} = \frac{14880}{480} = 31. \quad (903)$$

Распределение ментальной энергии в Эго Человека

Форма Энергии	Иммунная Защита	Предчув- ствие	Подсознание		Сознание
			Грави- тация	Магне- тизм	Электри- чество
Субстан- ция- Носитель	Аура над оболочкой (кожей)	Чакры и сердце	Недра Капель се- рого вещества го- ловного мозга		Кора го- ловного мозга
Частоты кадров (табл.330)	$v_1 = \pm 100$	$v_2 = \pm 50$	$v_3 = \pm 25$		$v_4 = \pm 24$
Красные потенциалы	$k_1 = \lg \rho_1^3 = -72$	$k_2 = \lg \rho_4^5 = +72$	$k_3 = 20 \cdot 28 = 560$	$k_4 = 20 \cdot 14 = 280$	$k_5 = 20 \cdot 16 = 320$
	$\longleftrightarrow (900) \longrightarrow$		$\longleftrightarrow (\text{табл.331}) \longrightarrow$		
Импульсы	$k_1 v_1 = \pm 7200$	$k_2 v_2 = \pm 3600$	$k_3 v_3 = \pm 14000$	$k_4 v_4 = \pm 7000$	$k_5 v_5 = \pm 7680$

Потенциал 31 дан в Круге Универсума Откровений Иоанна Богослова как потенциал перехода между Областями [5].

406. Красная Жизнь в Теогенезисе

Опорной волной Иммунной Защиты является волна с потенциалом ± 7200 (табл.382) или длиной волны в 7200\AA .

Волна длиной в 7200\AA находится в диапазоне от 6200\AA до 7600\AA , принадлежащим **красной области спектра** солнечного белого света, и создаёт в этой части спектра разности длин волн (табл.333).

Связь Иммунной Защиты со спектром Света

Параметры	Красная область спектра	Разности в красной области	Реализация в спектре света
Диапазон длин волн	7600 ÷ 6200	7200 – 6200 = 1000	ΔЗ+ΔГ+ΔС
Иммунная Защита	7200	7600 – 7200 = 400	ΔЗ
Приведённая пульсация	$\frac{400 \cdot 1000}{1000 - 400} = \frac{4 \cdot 10^5}{6 \cdot 10^2} \Leftrightarrow \frac{14 \cdot 10^2}{4 \cdot 10^5} = \frac{1000 + 400}{1000 \cdot 400}$		
Равновесие	$1 \Leftrightarrow \frac{14 \cdot 6 \cdot 10^4}{6 \cdot 10^{10}} = 3 \cdot \frac{7}{4} \cdot 10^{-6} \equiv 3 \cdot 10^{-6} \text{ пальмы.}$		

Сегодня на Земле **Жизнь связана с фотосинтезом**, лежащим в области **зелёного**, жёлто-зелёного цвета спектра света, где $\Delta З \cdot \Delta ЖЗ = 400 \text{Å} \cdot 250 \text{Å} = 10^5 (\text{Å})^2$.

Зелёный спектр света возникает из красного, но в принципе и сам красный, не трансформируясь в зелёный, может обеспечить Жизнь (табл.333).

Жизнь в красной области спектра описывает Теогенезис ([4]. Станца III):

"4. На Ободе Колеса (Вселенная), где живут Сыновья Огня и Пламени, не будет больше места для огромных тварей и ползучих гадов.

Полевые животные и птицы воздушной стихии встретятся и разойдутся с миром, и те и другие будут питаться пурпурным зерном, даром полученным прямо из рук Богов. Все растения, произрастающие под корой Колеса, отныне окажутся под запретом, и человек будет жив не грубой пищей, а силою своей Воли.

407. Энергетическая связь Предчувствий и Иммунной Защиты

Предчувствия имеют потенциал-эквивалент разности длин волн солнечного белого света ($\Delta B = 3600\text{\AA}$) и также многофакторны, как сам Свет (табл.332).

Энергетическое поле Предчувствий находится между **Аурой**, иммунной защиты и гравитационным уровнем **Подсознания** (табл.332).

Между Аурой иммунной защиты и Предчувствиями в чакрах и сердце возникают колебания, формирующие **спираль Зодиака в трёхмерном Пространстве**:

$$\frac{7200 \cdot 3600}{7200 - 3600} = 72 \cdot 10^2 \Leftrightarrow \frac{1}{24} \cdot 10^{-2} \equiv \frac{7200 + 3600}{7200 \cdot 3600}$$

$$\text{и} \quad 12^3 \equiv T_0^3 \tau^3 \Leftrightarrow 10^{-4} \equiv 10^{-4} \text{A}, \quad (904)$$

где $10^{-4} \text{A} = \text{J}$ – сила тока в амперах, начало которому даёт Чакра Третий Глаз при длине волны в 4800\AA .

Спираль Зодиака между Аурой иммунной защиты и Чакрами Предчувствий пульсирует в Арупе и Рупе (904):

Зодиак в Рупе	$\frac{(T_0 \tau)^3}{T_0^2} \tau^3 T_0 = 108 \Leftrightarrow 625 \cdot 10^{-7} \equiv \frac{10^{-4}}{T_0^2}$ реинкарнации	периодичность
Зодиак в Арупе	$\frac{(T_0 \tau)^3}{T_0^2} = T_0^3 \tau = 64 \cdot 3 \Leftrightarrow 0, (1) \cdot 10^{-4} \equiv \frac{10^{-4}}{\tau^2}$	
Сгущение-мультимплетность	$\frac{108}{64 \cdot 3} = \frac{36}{64} = \frac{9}{16} \Leftrightarrow \frac{16}{9} \equiv \frac{10^{-4}}{\tau^2} : \frac{10^{-4}}{T_0^2}$ сгущение	мультимплетность
Антирезонанс спирали Зодиака	$16^2 - 9^2 \equiv 7 \cdot 25 \equiv 5^2(T_0 + \tau)$ Семь сгустков спирали Зодиака в пятеричной связи при антирезонансе.	

(905)

Спираль Зодиака при резонансе формирует трёх-мерное Пространство, но когда она переходит к антирезонансу Семи сгустков (планет), то в ней возникает пятеричная связь (905). В пульсирующей спирали Зодиака возникает разность потенциалов (табл.334).

Таблица 334

**Резонансно-антирезонансная разность
в спирали Зодиака**

	Резонанс	Антирезонанс	Результат
Сумма	12^3	$+ 5^2 \cdot (T_o + \tau = 7)$	$= 12^3 + 5^2 \cdot 7 = 1903$
Разность	12^3	$- 5^2 \cdot (T_o + \tau = 7)$	$= 12^3 - 5^2 \cdot 7 = 1553$
Кундалини	$1903 - 1553 = 350 \equiv$ 350 витков Кундалини расширения.		

Мобилизуя свою Ауру силой Предчувствия, медитирующий Ману-Мыслитель может поднять свою Кундалини в сто раз и стать Человеком Воли и Йоги.

**408. От Предчувствия к Подсознанию:
сердце и мозг**

Связь Предчувствия и гравитационного уровня Подсознания обеспечивается энергоносителями в чакрах – сердце и глубинами в Каплях серого вещества головного мозга (табл.326).

На этих уровнях Предчувствий и гравитации в Подсознании, как и везде в Едином Космосе, возникают резонансно-антирезонансные колебания (табл.335).

Таблица 335

Переход от Предчувствия к Подсознанию (табл.332)

Компоненты Эго	Потенциалы	Колебания
Предчувствие	$k_2 v_2 = 3600$	$\frac{36 \cdot 14 \cdot 10^4}{(36 - 14) \cdot 10^2} = \frac{(36 + 14) \cdot 10^2}{36 \cdot 14 \cdot 10^4}$
Подсознание	$k_3 v_3 = 14000$	

В полях колебаний Предчувствие – Подсознание (табл.335) зарождается магнетизм света:

$$14^2 \cdot 36^2 \cdot 10^4 \equiv \mu\mu^* \cdot (\Delta B = 3600)^2, \quad (906)$$

а также удвоенная субструктура митоза, эквивалентная 22 буквам Авраама – символизма передачи информации телепатией (табл.335):

$$(36 - 14 = 22) \cdot (36 + 14 = 50) = 1100 \equiv 110\rho_5, \quad (907)$$

где: 50 – еврейский бог АЙН СОФ (взаимодействия);
110 – Боги по Книге Мёртвых (58 в голове, 42 в Сердце, 10 в Шее).

На уровне 110 Богов в теле Человека контур колебания Предчувствие – Подсознание (табл.335) принимает вид:

$$14^2 \cdot 36^2 \cdot 10^4 \Leftrightarrow 1100, \quad (908)$$

или $\mu\mu^* \cdot \Delta B^2 \Leftrightarrow \rho_5 \cdot (110 \equiv 58 + 42 + 10), \quad (909)$

где 58 – полушария головного мозга с потенциалами (± 29), пульсирующие в 13-ти тактном режиме

и $58 = 29 - (-29) : 13 \equiv [4 = 2 - (-2)]. \quad (910)$

Мозг и сердце наполняются энергией (табл.336).

Таблица 336

Колебания между сердцем и мозгом

Формы Энергии	Гравитационная	Магнитная	Электрическая
Мозг $\equiv 58$	$28 \equiv \sqrt{\rho\rho^*}$	$14 = \sqrt{\mu\mu^*}$	$16 = \sqrt{qq^*}$
Сердце $\equiv 42$	$28 \equiv \sqrt{\rho\rho^*}$	$14 = \sqrt{\mu\mu^*}$	-
Кундалини сжатия	$\frac{58 + 42 = 100}{58 - 42 = 16} \Leftrightarrow \frac{16}{100} = \frac{58 - 42}{58 + 42}$ $(10^4 \Leftrightarrow 16^2) \equiv (5/2)^4 \Leftrightarrow (1 \equiv i^4) \Leftrightarrow (5/2 \Leftrightarrow 2).$		

Совместная пульсация сердца и мозга предопределяет появление индукции с потенциалом $10^4 \equiv 10^4 1/A = 1/J$, которая наводится электрическим полем $qq^* = 16^2$ (табл.336):

$$1/J = 10^4 1/A \equiv 10^4 \Leftrightarrow 16^2 \equiv qq^*. \quad (911)$$

Извечно-вечная Дзиан пульсация сжимает Кундалини в Арупе. Появляется потенциал $5/2$ (табл.336):

$$\left(\frac{5}{2}\right)^{T_0} \Leftrightarrow 1 \equiv (i = \sqrt{-1})^4. \quad (912)$$

Дальнейшее сжатие приводит энергетическую систему в область Тонких Энергий, где скорость трансформации одних форм в другие равна мнимому числу i (табл.336):

$$5/2 \Leftrightarrow i. \quad (913)$$

С преимущественным коэффициентом $5/2$ вокруг Земли сгущаются Небесные Тела [6] и с этим же коэффициентом сгущаются наши ментальные энергии, формируя тела.

Появление 10 Божеств в области Шеи формирует в полях Тонких Энергий пятеричную связь:

$$10 \cdot 5/2 = 25 \Leftrightarrow i. \quad (914)$$

409. Описание взаимосвязи Мозг-Сердце параметрами великой Пирамиды

Великая Пирамида сложена из $2,5 \cdot 10^6$ каменных блоков, которые уложены в 203 ряда по высоте Пирамиды.

Двести три ряда – это эквивалент резонансного потенциала сердце-мозг (Сердце Человека – Растение, называемое Саптапарна [3]).

Резонанс Саптапарны	
$\frac{\text{Мозг} \cdot \text{Сердце}}{\text{Спираль Зодиака}} \equiv \frac{58 \cdot 42}{12} = 203 = 58 \cdot 3,5 = 29 \cdot 7;$	(915)
где: 3,5 – Кундалини расширения;	
29 – потенциал одного из двух полушарий Мозга;	
7 = T _o + τ – Рупа–Арупа; 203 – Число-эквивалент числу рядов – кладок в великой Пирамиде.	

"3. Когда Единый становится Двумя, Троичный проявляется и Трое Едины, это наша Нить, о Лану, Сердце Человека – Растение, называемое Саптапарна - ([3]. Космогенезис. Станца VII).

Речь идёт о мультиплетности резонансного поля **Саптапарны** (915), при котором в Сердце формируется левое и правое предсердия, мозг делится на левое и правое полушария, а спираль Зодиака формирует цис-транс изомерию Кундалини (табл.337).

Таблица 337

Антирезонанс Саптапарны (915)

	Полушария Мозга	Предсердие	Проявление Арупы-Рупы
Мозг-Сердце	$\frac{(58 \equiv 29 + 29) \cdot (42 = 21 + 21)}{12 = 6 - (-6) \equiv 3 - (-3) + 3 - (-3)} \equiv$		29 · (7 = T _o + τ).
Кундалини и Свет			

Переход **Саптапарны** из режима резонанса (915) к антирезонансу проявляется в частности **как деление Семи Вечностей** (потенциал внутреннего поля сгустка, [3]) **на Рупу и Арупу** (табл.337).

Троичный (то есть Арупа, τ = 3) **проявляет** в том, что Арупа пульсирует **в тринадцати-тактном режиме**, отсчитывая Продолжительности по тринадцати лунному календарю цивилизации Майи (табл.337).

День вне Времени в 13-ти лунном календаре возникает как разность потенциалов между полушарием головного Мозга и полем гравитации, в котором находится мозг и сердце:

Эквивалент Дня вне Времени				(916)
Поля Параметры	Полушарие мозга	Гравитация среды	Результат	
Потенциалы	$29 \cdot 13 \cdot 7$	$- 28 \cdot 13 \cdot 7$	$= 13 \cdot 7 = 91$	
Свободная энергия Космоса	$(\rho_5/\rho_2 = 100) - 91 \equiv (9+0).$			

В результате появления потенциал-эквивалента **Дня вне Времени** в Едином Космосе возникает **Свободная Энергия**, достаточная и необходимая для синтеза субструктуры (9+0) живой материнской биоклетки (916).

**

Появление Арупы как источника пульсации не уничтожает Рупу, но заставляет её пульсировать вместе с Арупой:

$$(\pm T_0 \Leftrightarrow \mp \tau) \equiv (T_0 + \tau = 7) \equiv (T_0 - \tau = 1)$$

и
$$\int_1^7 \varphi d\varphi = 24. \quad (917)$$

В продолжительности, эквивалентной одной пальме из **Святого Духа** (917) возникает **Сердце**:

$$24 \cdot \frac{T_0 + \tau}{T_0} = 24 \cdot \frac{7}{4} = 42. \quad (918)$$

Появление в Сердце биотока формирует Мозг (918):

$$42 + (16 \equiv \sqrt{qq^*}) = 58. \quad (919)$$

Совместная пульсация Сердца и мозга в поле Свободной Энергии (916)

$$(42 + 58 = 100 \equiv \rho_5 / \rho_2) - 9i = (9 + 0), \quad (920)$$

приводит к образованию материнской субструктуры (9+0) в живой биоклетке. **Размышление продолжается.**

**

При пульсации левого и правого предсердия, левого и правого полушарий головного мозга или любой иной цис-транс изомерической системы, каждое из полушарий **последовательно** попадает в волну точечного участка волны света, пульсирующего по амплитуде (рис.102).

Изомер	Волна фонона	Изомер
n (цис)	$\times 5 = 4 + 1$	$= 5n$
		$4 = T_o = \pm 4n$
-n (транс)	$\times 3 = 4 - 1$	$= -3n$
n = 1, 2, 3...		

Энергетический баланс изомера в волне фонона легко определяется (рис.102).

$$5n \pm 4n - 3n =$$

$$2n \pm 4n, \quad (921)$$

Рис.102 Изомер в волне фонона

где пределами колебания будут потенциалы:

$-2n = 2n - 4n;$
$+6n = 2n + 4n.$

(922)

Приведённый потенциал пульсации изомера в волне фонона будет равен отношению антирезонансных и резонансных потенциалов (922):

**Приведённый потенциал пульсации
изомера в фоне**

$$\frac{\text{Антирезонанс}}{\text{Резонанс}} \equiv \frac{(6n)^2 - (-2n)^2}{6n \cdot (-2n)} = \frac{32}{12} = \frac{8}{3}, \quad (923)$$

где 32 – небеса Цинь, а 12 – спираль Зодиака.

В среде самосущих волн с потенциалом пульсации, равным высоте Пирамиды (Н):

$$H \equiv T_0 \cdot \sqrt{\sin \pi/4} = 2^{7/4} \quad (924)$$

приведённый потенциал пульсации изомера в фоне равен по величине объёму великой Пирамиды (923):

$$V_{\Pi} = \frac{32}{12} \cdot H = \frac{1}{3} \cdot 8 \cdot H \equiv \frac{1}{3} a^2 H, \quad (925)$$

где $a^2 \equiv 8$ – площадь основания великой Пирамиды.

**

Великая Цивилизация выделила потенциалы пульсирующей по амплитуде волны фона (рис.102) в форме векторов – сторон Священного Треугольника с катетами 3 и 4 и гипотенузой, равной пяти.

Резонансно-антирезонансная пульсация точечного участка волны света с потенциалами Священного Треугольника приводит к произведению, равному 0,001 доли Времени Апокалипсиса [5]:

**Максимальный приведённый потенциал
волны фона**

Резонанс	Антирезонанс	Тысячная доля Времени Апокалипсиса [5]
Боги Древнего Египта	Еврейский бог АЙН СОФ	
$(3 \cdot 4 \cdot 5 = 60)$	$\times (3^2 + 4^2 + 5^2 = 50)$	$= 3000.$

Таким образом, в священном Треугольнике столпилось столько богов Шумеров, Египтян, Иудеев, что поражаешься терпению великой Цивилизации, продолжающей обучать нас – бестолковых.

*
**

Максимальный общий резонансный потенциал изомера (923) в Священном Треугольнике фонона (926) будет равен:

Приведённый потенциал изомера в фононе	
$\text{Изомер} \cdot \text{Фонон} \equiv \frac{32}{12} \cdot 3000 = 8000 \equiv (\rho_5^3 \cdot c / \omega_0)^3.$	(927)

Приведённый потенциал изомера в поле фонона определяется в Едином Космосе в виде расширения Вселенной трёхмерного пространства, заполненного светом (927).

Однако и само это Пространство обладает цис-транс изомерией. Поэтому приведённый потенциал (927) должен быть удвоен:

$$K \equiv 8000 - (-8000) = 16000. \quad (928)$$

Подчиняясь **правилу удвоения потенциалов изомерических энергетических систем**, в живом происходит митоз. Описывая митоз, Строители сооружают Пирамиды, удваивая квадраты, беря диагонали предыдущего за сторону последующего.

*
**

Энергетика работы полушария мозга и одного из двух предсердий такова, что разность потенциалов при этом становится равной потенциалу $212 \cdot 10^3$ (табл.338).

**Антирезонансная разность потенциалов
между Мозгом и Сердцем**

Компоненты Потенциалы	Сердце		Головной мозг	
	Левое предсердие	Правое предсердие	Левое полушарие	Правое полушарие
	21	-21	29	-29
Динамика $\times 10^3$	$21 \cdot 8 \cdot 10^3 = 126$	$-21 \cdot 8 \cdot 10^3 = -126$	$29 \cdot 8 \cdot 10^3 = 232$	$-29 \cdot 8 \cdot 10^3 = -232$
Разность (антирезонанс)	$\pm \{[232 - (-232) = 464] - [126 - (-126) = 252]\} \cdot 10^3 = 212 \cdot 10^3.$			

Однако изомерия увеличивает $8 \cdot 10^3$ до $16 \cdot 10^3$ и между мозгом и сердцем возникает разность потенциалов, равная (928).

$$(\text{Сердце} - \text{Мозг}) \equiv (42 - 58) \cdot 16 \cdot 10^3 = 16^2 \cdot 10^3 \equiv$$

$$qq^* \cdot (\rho_5^2 / \rho_2 \Leftrightarrow \rho_5 / \rho_2^2 \Leftrightarrow 1 / \rho_2^3 \Leftrightarrow \rho_5^3). \quad (929)$$

Это электрическое поле, включающее биоток и воображение (924), не даёт сгустку Тянь рассыпаться:

$$16^2 \cdot 10^3 : (\text{Тянь} \equiv 64) = (4 \equiv T_0 \equiv \text{Рупа}) \quad (930)$$

и сохраняет Рупу Вселенной.

Вместе с тем (930) в **Саптапарне** (Сердце Человека - Растения) возникает разность потенциалов, обеспечивающая митоз в Рупе (934, табл.338):

$$16^2 \cdot 10^3 - 212 \cdot 10^3 \equiv 4 \cdot (9+2) \cdot 10^3, \quad (931)$$

где $T_0 = 4$ – Рупа, а $(9+2)$ – субструктура при митозе биоклетки.

410. Арупа-Рупа: проявление зарядов Подсознания

Подсознание нашего Эго, как люминофор, насыщенный вакансиями.

Вакансии Подсознания воспринимают фотон-фоны насыщенного люминофора - света и **проявляют (усваивают) их.**

В Подсознании формируются два поля: гравитационное и магнитное (табл.332):

$$\rho = 28 \cdot 10^{-20} \quad \text{и} \quad \mu = 14 \cdot 10^{-20}, \quad (932)$$

где заряды ρ и μ – изначальная среда вакансий в Подсознании.

Ворвавшись в энергетическое поле Подсознания энергетический вихрь Арупы-Рупы достигает потенциала $[T_o \cdot (T_o + \tau) = 28]^2$, а затем под влиянием изомерии (или Дзи-ан пульсации) расщепляется на равные половины и проявляется (табл.339).

Таблица 339

Арупа в Рупе: проявитель вакансий-зарядов

Энергия поля	Магнитное	Гравитационное	Магнитное
Вихри Арупы в Рупе	$[T_o(T_o + \tau)]^2 / T_o = \pm 14^2$	$[T_o(T_o + \tau)]^2 = \pm 28^2$	$[T_o(T_o + \tau)]^2 / T_o = \mp 14^2$
Заряды в Подсознании	$\pm \mu = \pm 14 \cdot 10^{-20}$	$\pm \rho = \pm 28 \cdot 10^{-20}$	$\mp \mu = \mp 14 \cdot 10^{-20}$
	Среда – вакансии		
Проявление	$\pm 14^2 : (\pm \mu) = \pm (14 \cdot 10^{20} \equiv \pm \mu^*)$	$\pm 28^2 : (\pm \rho) = \pm (28 \cdot 10^{20} \equiv \pm \rho^*)$	$\mp 14^2 : (\mp \mu) = \pm (14 \cdot 10^{20} \equiv \pm \mu^*)$
Ментальная Энергия	Память	Мысль	Память.

После проявления вакансий в поле Подсознания возникают зародыши Мысли и Памяти в форме неосознанных образов – Сновидений (табл.339).

411. Семь Вечностей Тонкой Энергии Подсознания

Мысль и Память, возникающие в поле Подсознания (табл.339), существуют в Движении и обладают импульсами $k_3v_3 = 14000$ и $k_4v_3 = 7000$ (табл.332).

В поле подсознания возникает пульсация: обычная гравитационно-магнитная и инверсионная (табл.340).

Таблица 340

Гравитационно-магнитные колебания в Подсознании

Формы полей и пульсации	Обычная		Инверсионная	
	Гравитация	Магнетизм	Гравитация	Магнетизм
Колебания в режиме сжатия: $2 \equiv T_o\omega_o/c$	$\rho^*/14 \cdot 10^3 =$ $2 \cdot 10^{17}$	$\mu^*/7 \cdot 10^3 =$ $2 \cdot 10^{17}$	$\rho^*/14 \cdot 10^3 =$ $2 \cdot 10^{17}$	$14 \cdot 10^3 / \rho^* =$ $1/2 \cdot 10^{17}$
Колебания при расширении: $8 = 2^3 \equiv (c/\omega_o)^3$	$(2 \cdot 10^{17})^3 \Leftrightarrow 1/2 \cdot 10^{17}.$ $10^{51} \Leftrightarrow 1/16 \cdot 10^{-17} \equiv 10^{-17}/T_o^2.$			

Появление поля 10^{51} реализует себя в формировании взаимодействий во Вселенных:

$$10^{51} \equiv \rho_3\rho_4/\rho_1\rho_2 \Leftrightarrow \rho_3\rho_4\rho_5/\rho_1. \quad (933)$$

Логарифмические волны этих взаимодействий (933) описаны в Евангелии от Иоанна (глава 21), где притча о 153 рыбах, пойманных Апостолами по подсказке Христа, связана с Арупой:

$$\tau \cdot \lg 10^{51} = 3 \cdot 51 = 153. \quad (934)$$

В поле Рупы потенциал взаимодействий логарифмических волн станет равным

$$T_o \cdot \lg 10^{51} = 43 \cdot 51 = 204. \quad (935)$$

Отношение суммы и разности логарифмических взаимодействий формирует Семь Вечностей Тонких Энергий Подсознания:

$$(204+153 = 357) : (204 - 153 = 51 = 7 \equiv T_0 + \tau. \quad (936)$$

412. Подсознание Человека воли и Йоги

Эволюция Развития: **Металл – Камень – Растение – Священное Животное – Ману-Мыслитель – Человек Воли и Йоги** [3, 4], имеет ритмику – потенциал, равный:

$$\frac{\sqrt{\rho_3}}{T_0^2} = \frac{10^6}{16} = 62500. \quad (937)$$

Наши Создатели, Учителя и Воспитатели, **желая вырастить Человека Воли и йоги из нас, грешных**, закодировали Книгу Бытия ключ-шифром с потенциалом 62500.

Этот шифр-ключ **Маршрут Эволюции Человечества** и изменить маршрут мы не можем.

Но мы можем узнать, каким потенциалом должен обладать Человек воли и Йоги на уровне своего Подсознания.

Для определения потенциала Подсознания Человека Воли и Йоги необходимо контур расширения в Подсознании (табл.340) умножить на $\sqrt{\rho_3} = 10^6$:

Потенциал Подсознания Человека Воли и Йоги		
Подсознание Ману-Мыслителя	Подсознание Человека Воли и Йоги	
	Переход	Результат
$10^{51} \Leftrightarrow 10^{-17}/T_0^2$	$(10^{51} \Leftrightarrow 10^{-17}/T_0^2) \cdot 10^6$	$10^{74} \Leftrightarrow 62500.$

(938)

Для того, чтобы Подсознание Ману-Мыслителя (нас с Вами, уважаемый Читатель) достигло уровня Человека воли и йоги (то есть 10^{74}) нам необходимо увеличить ёмкость-индуктивность нашего Подсознания в 10^{23} раз:

$$10^{74} : 10^{51} = 10^{23}. \quad (939)$$

Часть работы на себя возьмут фотоны люминофора, но $1000 : 2,5 = 400 \equiv$ Свабхават ☉ мы должны сделать сами путём медитации и совершенствования Сознания (939):

$$10^{23} \Leftrightarrow 10^{20} \text{ фотоны} \times (1000/2,5) = 400 \cdot 10^{20}. \quad (940)$$

413. Пища Человека Воли и Йоги: качество и количество

Утверждение Теогенезиса о том, что **пищей Человека Воли и Йоги будет атмосфера Красной Звезды, а не грубая материальная пища**, имеет свою энергетическую подоплёку.

Дело в том, что на гравитационном уровне Подсознания импульс $k_3 v_3 = 14000$ (табл.332) является эквивалентом поля с потенциалом $112/m_c^*$:

$$k_3 v_3 = 14000 = \frac{112}{m_c^* = 0,008}, \quad (941)$$

где потенциал 112 является эквивалентом последнего 112-го химического элемента **Периодической Системы**, а 14000 – число фоонов в нём.

Таким образом, если Человек Воли и Йоги будет получать из окружающей среды энергию – эквивалент

$$\frac{112 = 7\sqrt{qq^*} = 8\sqrt{\mu\mu^*} = 4\sqrt{\rho\rho^*}}{m_c^* = 0,008} = 14000 \equiv \rho_5 \Delta K, \quad (942)$$

то его меню будет разнообразно как вся Периодическая Система Элементов, а "калорийность" в гравитационно-магнитном поле Подсознания будет определяться отношением (табл.332):

Энергия питания Человека Воли и Йоги
$\frac{k_3\nu_3 + k_4\nu_4}{k_3\nu_3 - k_4\nu_4} \equiv \frac{14 \cdot 10^3 + 7 \cdot 10^3}{14 \cdot 10^3 - 7 \cdot 10^3} = \frac{21 \cdot 10^3}{7 \cdot 10^3} = (3 \equiv \tau) \equiv (c_v = 3 \text{ кал}) \quad (943)$

Потенциал - эквивалент $\tau = 3$ может быть получен как теплоёмкость идеальных газов по объёму ($c_v = 3$ кал).

Но когда Человек воли и Йоги перенасытится энергией $\sqrt{\rho_3} = 10^6$, то для него наступит Время Апокалипсиса ([5], табл.341).

Таблица 341

Время в Откровениях

левизны	правизны	Общее
$3 \cdot 10^6$	$3 \cdot 10^6$	$6 \cdot 10^6$

и гурман вернётся в биологическую Жизнь Ману-Мыслителя.

414. Космическое Равновесие: разность потенциалов в динамике Тянь-Цинь. Путь в Пирамиды

Нейрон - это Капля жидкого ядерного серого вещества головного мозга.

Законы движения из Недр любой Капли одинаковы и не зависят от свойств и размеров Капли.

Движение Недр любых Капель-ядер: воды, нейрона, крови, лимфы, ...Земли, Солнца, ... и так далее, – **это Движение из Недр в Недра сгустка Тянь.**

В живых Каплях Океана Жизни энергетические потоки из Недр Капли, **проходя область подсознания**, проходят гравитационную и магнитную области (табл.332), достигают оболочки Капли и **увеличивают свой потенциал до квадрата первоначальной величины (Закон Квантования).**

Например движение из Недр Земли к **литосфере** будет проходить под воздействием разности потенциалов $(x^2 - y^2)$, а при входе в литосферу потенциал увеличится до $(x^2 - y^2)$.

Трансформация потенциалов до литосферы и в литосфере Земли приведёт к разлому Земной коры на блоки с преимущественным коэффициентом 7/2 (Кундалини):

Разломы литосфер сгустков Тянь				(944)
Потоки энергии	В литосфере	Недра	Свободная Энергия	
Потенциал	$(x^2 - y^2)^2$	$-(x^2 - y^2)$	$2y \cdot (y - x) = 7/2$.	

При движении энергетических потоков самосущих волн из Глубин Метагалактики, где $y = \sqrt{2} \equiv Sc \pi/4 \equiv \dots$, волны, встречаясь с полем гравитации над сгустком, сами сгущаются с потенциалом 5/2 [6]:

Сгущение Небесных тел				(945)
Энергетические потоки	Из глубин метagalактики	В поле гравитации	Свободная энергия	
Потенциалы	$(x^2 - y^2)$	$(x^2 - y^2)$	$2y \cdot (y - x) = 7/2$.	
Примечание: Связь с Пирамидой	$y = \sqrt{2}; \quad x = \frac{21}{4\sqrt{2}} = \frac{21}{29};$ $2y = 2\sqrt{2} \equiv a$ - сторона основания Пирамиды.			

Сгущение Небесных Тел (**Цинь**) и разломы литосфер **Тянь** - два процесса, протекающие одновременно, **Свободная Энергия** которых определяется как разность свободных энергий разломов (944) и сгущений (945).

Свободная Энергия Тянь-Цинь				
Свободная Энергия		Тянь (944)	Цинь (945)	Космическое равновесие
Разности	Алгебра	$2y \cdot (y - x) =$	$2y \cdot (y - x) =$	$4y \cdot (y - x) =$
	Арифметика	$7/2$	$5/2$	1
Семеричность и Кундалини		$4y \cdot (y - x) \equiv 4\sqrt{2}(\sqrt{2} - x) = 8 - 4\sqrt{2}x = 1;$ $4\sqrt{2}x \Leftrightarrow 7$ и $ax = 7/2$, где $x = 7/(2a)$.		

(946)

Между равновесием (946) и сжатием (945) при постоянстве потенциала $a = \sqrt{2} = 8\pi/4 \equiv \dots$ самосуших волн возникает колебание потенциала x :

Пульсация потока из Недр Капли (поток x)			
Форма пульсации	Обычная	Инверсионная	В поле Дзиан
Неравно-весные системы	$\frac{7}{2a} \Leftrightarrow \frac{21}{2a}$ $1 \Leftrightarrow 3$	$\frac{7}{2a} \Leftrightarrow \frac{2a}{21}$ $147 \Leftrightarrow 4 \cdot 8 = 32$	$147 - \left(\int_0^1 \varphi d\varphi = \frac{1}{2} \right)$ $= 146,5.$

(947)

Пульсация энергетических потоков в Недрах **Тянь** и Глубинах **Цинь** охватывает все Формы Вселенных Единого Космоса (табл.342).

Я не уверен, что **приватизатор Хеопс** знал законы Единого Космоса лучше чем **приватизатор А.Б.Чубайс "лампочку Ильича"**, но история не знает сослагательных наклонений, так что не будем ворошить **криминальный муравейник**.

1. Познай начало Жизни чувствующей и вне формы
 ([3]. Космогенезис. Станца VII)

Текст Станцы VII	В начале Божественный, Единый от Матери Духа	Затем Духовный	Три От Одного; Четыре от Одного, и Пять	Скорость света в Рупе
Алгебра с арифметикой (944, 945)	$5/2 - 7/2 = -1 \equiv$ $- \frac{2y(x-y)}{2y(y-x)} =$ $-8 \equiv$	$7/2 - 5/2 = 1 \equiv$ $- \frac{2y(y-x)}{2y(x-y)} =$ $+8 \equiv$	$(T_0 - 1 = 3) \cdot 10^2$ $(T_0 / T_0 = 1) \cdot 10^1$ $(T_0 + 1 = 5) \cdot 10^0$	$c \equiv \pi = 315$
Эквиваленты	$a^2 \equiv (c/\omega_0)^3$	$a^2 \equiv (c/\omega_0)^3$	$315 \equiv \pi.$	

Перейдём к анализу великой Пирамиды.

1. Великая Пирамида описывает **сгущение небесных тел в интервале времени Апокалипсиса** (табл.341):

$$6 \cdot 10^6 = 3,5 \cdot 10^6 + 2,5 \cdot 10^6. \quad (948)$$

Реализуя потенциал сгущения $2,5 \cdot 10^6$, Строители взяли $2,5 \cdot 10^6$ каменных блока и возвели из них великую Пирамиду.

**

Размеры блоков характеризуют:

- **сторона квадрата** основания, равная 230 см (a_1);
- **высота** (h_1) блока, равная 146,5 см;
- **угол наклона грани** при продвижении от основания к вершине Пирамиды равен 52° .

**

Понимая Науку как Приближение Чего-то к Чему-то, мы переводим угловые градусы в радианы:

$$52^\circ = \frac{52^\circ}{180^\circ} \pi = \frac{13}{4} \pi \text{ радиан}, \quad (949)$$

и не можем сделать конкретного вывода из-за неопределённости определения числа π .

Великая Цивилизация знала, что $\pi \equiv 315$, а угловой градус - эквивалент **пальме**:

$$\alpha \equiv 52^\circ \equiv \frac{52 \cdot (315 = \pi)}{180} \equiv 52 \text{ (7/4 – пальма)} \equiv 91. \quad (950)$$

**

Размеры блоков, из которых построена великая Пирамида, характеризуют фундаментальные физические постоянные Единого Космоса (табл.343).

Таблица 343

**Физическая Сущность геометрии
каменных блоков великой Пирамиды**

Параметры	Высота	Сторона квадрата	Угол наклона
Величины	$h_1 = 146,5 \equiv x$	$a_1 = 230$	$\alpha = 91$ радиан
Физическая Сущность	Энергетический поток из Недр Капли Ядра (947)	Логарифм ёмкости Подсознания (938): $\rho_5 \lg 10^{23}$	Эквивалент Дня вне Времени (937)
364 дня одного года	$146,5 \Leftrightarrow 52 \cdot 7/4 \Leftrightarrow 230$ $586 \Leftrightarrow 364 \Leftrightarrow 920.$		

Появляется богиня Луны, **венчающая Пирамиду "Вавилонская Башня"**:

$$30 = 364 - (920 - 386 = 334). \quad (951)$$

415. Переход от Подсознания к Сознанию: великое Созидание

При переходе из области Подсознания в область сознания магнитный импульс меняется на электрический (табл.332):

От магнитного Подсознания к электрическому Сознанию				
Формы Энергии	Импульсы		Красные потенциалы	
	Магнит- ный	Электри- ческий	Магнит- ный	Электри- ческий
Потен- циалы	$f_1 = k_4 v_3 = 7000$	$f_2 = k_5 v_5 = 7680$	$k_4 = 280$	$k_5 = 320$
Время Апокалип- сиса [5]	$\left(\frac{7000}{280} \cdot \frac{7686}{320} = 25 \cdot 24 = 600 \right) \cdot \left(\frac{\rho_5}{\rho_2} = 110^2 \right)^2 \equiv 6 \cdot 10^6.$			

(952)

Апокалипсис – это не Разрушение Чего-то Чем-то "до основания, а затем...", а эквивалент импульса перехода из Подсознания к Сознанию.

Когда, например, Земля осознает, что с ней творит сегодняшний Ману-Мыслитель, она стряхнёт нас со своего лица, как мелкие Жизни и **проявится вновь.**

Проявление электрического заряда происходит по тем же законам, что и гравитационно-магнитного (табл.339, табл.344).

Таблица 344

От магнитного Подсознания к электрическому Сознанию

Форма энергии	Магнитная	Электрическая	Приведённая пульсация
Вихри Арупы-Рупы	$\frac{T_0^2 (T_0 + \tau)^2}{T_0} = 14^2$	$T_0^{T_0} = 16^2$	$\frac{q^{*2} - \mu^{*2}}{q^* \cdot \mu^*} = \frac{60}{224} = \frac{30}{112}.$
Проявление: Память и Воображение	$\frac{14^2}{\mu} = 14 \cdot 10^{20} \equiv$ $\mu^* \text{ Память}$	$\frac{16^2}{q} = 16 \cdot 10^{20} \equiv$ q^*	

Между электрическим и магнитным полями Воображения (q^*) и Памяти (μ^*) возникает неравновесная система колебаний, в которой электрическое поле с коэффициентом 2,5 сжимает магнитное поле, а магнитное поле расширяется внутри электрического с коэффициентом 3,5 (табл.345).

Таблица 345

Магнито-электрический переход в живой Капле Ядра

Формы электрических полей	Биотоки в клетке		Импульсы в нейроне		Сознание и Подсознание	
	Электричество	Магнетизм	Электричество	Магнетизм	Электричество	Магнетизм
Распределение носителей энергии	$2,5 \cdot q$ $2,5 \cdot 16$	$3,5 \cdot \mu$ $3,5 \cdot 14$	$2,5 \cdot q^*$ $2,5 \cdot 16$	$3,5 \cdot \mu^*$ $3,5 \cdot 14$	$2,5 \cdot qq^*$ $2,5 \cdot 16^2$	$3,5 \cdot \mu\mu^*$ $3,5 \cdot 14^2$
Содержание Хаоса	$40 \Leftrightarrow 49$ $0 \Leftrightarrow (9+0)$		$40 \Leftrightarrow 49$ $0 \Leftrightarrow (9+0)$		$640 \Leftrightarrow 686$ $0 \Leftrightarrow 46 \equiv 2 \cdot 23.$	

Энергетическое поле неравновесных систем в Космосе, обладая магнитным внутренним полем и электрической поверхностью, не в силах удерживать поступающую через магнитное поле энергию самосущих волн.

Часть магнитной энергии пробивает электрическую поверхность и формирует в Космосе потенциал-эквиваленты субструктуры (9+0) живой биологической клетки (табл.345):

$$[10^0 \Leftrightarrow 10^{46}] \equiv [1 \Leftrightarrow (10^{23} \Leftrightarrow 1/10^{23})], \quad (953)$$

в которых Сознание Ману-Мыслителя стремится к Проявлению до Сознания Человека Воли и Йоги (938).

Стремитесь дожить до Великого Дня "Будь с Нами".

416. Энергетическая структура ключ-шифра Книги Бытия

Твой враг – Невежество твоего Эго.

Врагов надо Уважать, но Невежество никто не уважает.

Семейные дразги, локальные конфликты, революции и контрреволюции, религиозные и мировые войны – **результат Невежества Эго в нынешней популяции Социума Земли.**

С Невежеством Эго Социума столкнулась и великая Цивилизация 10 миллионов лет назад как с проблемой взросления **Личности и Общества.**

Эту проблему Невежества описывает Теогенезис Книги Дзиан ([4]. Станца VI):

3... Их разум не был свободен. Яростный и ожесточённый была их борьба с духами природы, облачёнными в низшие формы, и с демонами – хозяевами преисподни. Иногда они терпели поражения и иногда одерживали победу.

Они кричали образам, которые Они создавали своими собственными руками, и звёздам, и тем, кого нельзя увидеть: "Раскройте Нам тайны наших отцов. Мы слепы, глухи и глупы по сравнению с нашими врагами. Мы шарим в темноте в поисках Света, зажегшего Огонь, сейчас так слабо горевший внутри нас.

Мы знаем, что в укромных местах этот Свет горит ярко и светло, но каждый раз, когда мы подбираемся к нему, он исчезает. И после того, как мы перестаём видеть слабый отблеск этого Света, тьма сгущается ещё больше. Так пусть мы лучше умрём, чем будем вечно страдать от гложущей нас боли в неутолённой жажде этого Света".

**4. Затем пробудилось сострадание в сердце Мо-
гущественного, Того, Кто величественно ездит на Бе-
лой Лошади (Свет белый); и Он ответил такими слова-
ми: "Я пошлю вам своего Сына. Он будет облачён в
Огонь и будет факелом, который зажжёт Огонь в ва-
ших сердцах. От зажжённого таким образом огня ис-
тинный свет засияет над вами".**

**Пространство между верхними водами небес от-
ворилось и явился Некто, могущественный и яркий,
словно солнце. Он стал на обращённой вверх дуге
Тёмной Звезды (излучённые кванты самосуших волн
тьмы) и коснулся незрячих глаз, ушей и губ всех проси-
телей (свет Знаний проник на уровень незрячего подсос-
нания), собравшихся там видеть, слышать и говорить с
ним (подобие телепатической системы обмена Информа-
ции между Иисусом Христом и Иоанном Богословом при
написании Откровений).**

**И сказал Он им: "Я послан, чтобы быть факу-
лом, который зажжёт Огонь в ваших сердцах (разбудит
Подсознание к созидательному труду), и я останусь с ва-
ми до тех пор, пока Священный Свет (Единые Знания
Сознания и Подсознания) не засияет так ярко, что каж-
дый враг будет виден вашим глазам, но только вы бу-
дете обладать силою, чтобы уничтожить его. Идите,
соберите топливо и разведите Огонь".**

**В соответствии с этой Станцией VII [4] мы и живём,
создавая и уничтожая Религии и произведения Мифологи-
ческого Творчества, способных возбудить Эго подсосна-
ния, но не дающих возможности понять законы работы
Подсознания.**

**С позиции лирики – человек пробудил Подсозна-
ние, с позиции естественных наук человеческое Под-
сознание остаётся незрячим и глухим, лишённым те-
лепатического голоса.**

Собрать топливо [4] - значит собрать воедино Знание науки и Метанауки; **развести Огонь** [4] - значит включить в анализ причинно-следственных связей Единого Космоса (**Законы Кармы**) объединённые усилия Сознания и Подсознания.

А пока распахните **верхнюю и нижнюю веки ваших глаз, наполненных небесными водами биологического ядерного вещества**, из которого как цветок лотоса произрастают ресницы, и посмотрите на окружающий Вас мир открытыми глазами (рис.103).

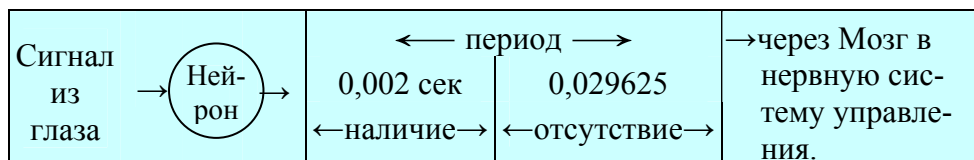


Рис.103 Схема движения сигнала (Ю.А.Бабинов. Мировоззрение или Возвращение Прометей. Россия. Рязань. 2002 г. Стр.239)

Продолжительность наличия сигнала, равная 0,002 секунды, связана с массой фотона $m_c^{**} = 0,002$:

$$\frac{0,002 \text{ сек}}{m_c^{**} = 0,002} = 1, \quad (954)$$

что говорит о трансформации фотона в другую форму энергии за 0,002 сек.

Информационный сигнал из глаза в нейрон попадает дискретно с периодичностью, равной (рис.103):

$$T_\phi = 0,002 + 0,029625 = 0,031625 \equiv 31625 \cdot 10^{-6}. \quad (955)$$

Фотон m_c^{**} поглощается биологическим ядерным веществом нервной системы и в ней возникает разность потенциалов, равная:

$$\Delta_\phi = 0,029625 - 0,002 = 0,027625. \quad (956)$$

В цитоплазме (ядерном веществе) клетки нерва помимо поступающего сигнала (956) имеет место наличие фона света в полях слабых взаимодействий:

$$\frac{\rho_2^2}{T_0^2} = 0,000625 = 625 \cdot 10^{-6}. \quad (957)$$

В цитоплазме клетки нерва возникает разность потенциалов (956, 957):

$$\Delta_H = 0,027625 - 0,000625 = 0,027 \equiv 27 \cdot 10^{-3} \equiv 27 \cdot \rho_2^3. \quad (958)$$

Этот **холодный (люминесцентный) Огонь** в цитоплазме клетки нерва нам известен и в ощущениях, и как **Огонь Господень**, раз в год на христианскую православную Пасху появляющийся и Иерусалиме в Храме у Гроба Господа Нашего Иисуса Христа и как **Свечение от генератора Тонкой Энергии**, полуэллипсы которого имеют потенциалы $27 \Leftrightarrow 28$.

Используя энергетический фон света в цитоплазме клеток нервной системы, **основы командно-рефлекторной системы управления человеком**, великая Цивилизация запрограммировала судьбы эволюции человечества в религиозных Книгах, используя шифр-ключ (957):

<p>Ключ-шифр Библии и ядерное взаимодействие в люминофоре цитоплазмы клетки нерва</p>
$\rho_4 \cdot \frac{\rho_2^3}{T_0^2} \equiv 0,000625 \cdot 10^{+11 \equiv (9+2)} \equiv 62500.$

(959)

Для того, чтобы вырастить из **Ману-Мыслителей** (нас с Вами) **людей Воли и Йоги** (наших Потомков или нас самих в будущих воплощениях), великая Цивилизация использовала **ядерные взаимодействия в цитоплазме – люминофоре клетки нерва – основы рефлекторно-командной системы и системы размножения-митоза на клеточном уровне.**

Великая Цивилизация заложила управляюще-генетическую программу управления на генетическом уровне (959):

$$\rho_4 \cdot \rho_2^3 = 10^{14} \cdot 10^{-3} = 10^{11} \quad \text{и} \quad \lg \rho_4 \cdot \rho_2^3 = 11 \equiv (9+2). \quad (960)$$

Уменьшение ядерных взаимодействий до корня квадратного от первоначальной величины создаёт возможность управления электромагнитной средой цитоплазмы клетки нерва:

$$\sqrt{\rho_4} = 10^7 \equiv \varepsilon_0 4\pi c^2 \equiv 4\pi : \mu_0 \quad \text{при} \quad \varepsilon_0 \mu_0 c^2 = 1, \quad (961)$$

где ε_0 и μ_0 - соответственно электрическая и магнитная постоянные сред, в том числе и цитоплазмы, а скорость света эквивалентна числу π , равному 315.

В цитоплазме клетки нерва создаётся равномерно пульсирующая система колебаний (961):

$$|\varepsilon_0(c^2 = \pi^2 = 315^2) \Leftrightarrow 1/\mu_0| \Leftrightarrow \boxed{\frac{1}{\mu_0(c^2 \equiv 315^2)} \Leftrightarrow \varepsilon_0}, \quad (962)$$

которой можно управлять, заложив в Программу Управления космическими ритмиками пульсации.

Ритмика пульсации в программе Управления должна быть Подобием Ритмики пульсации Единого Космоса, то есть соответствовать 13-и лунному **Календарю цивилизации Майи**:

Короткодействие	Число месяцев	Число дней в году	Число недель
$\rho_4 \cdot \rho_2 =$	13 \Leftrightarrow	13·28=364 \Leftrightarrow	364 : 7 = 52.

(963)

Любую иную ритмику в Программе Управления Едины Космос **сотрёт**. Поэтому глубоко ошибаются те, кто внедряет двенадцати месячное счисление времени в году (А может не ошибочно, а вредят сознательно).

Ключ-шифр Библии включает в себя тринадцать тактную Ритмику Продолжительности (959):

$$62500 \equiv \frac{\rho_2^2}{T_0^2} (\rho_4 \rho_2 = 10^{14} \cdot 10^{-1} = 10^{13}). \quad (964)$$

Ключ-шифр Библии основан на пятеричной связи (Пятеричный Лха):

$$\begin{aligned} (62500 \cdot T_0^2 = 10^6) &\Leftrightarrow (\rho_2 \rho_4 = 10^{-3} \cdot 10^{14} = 10^{11 \equiv (9+0)}; \\ 10^6 &\Leftrightarrow 10^{11} \quad \text{или} \quad 1 = 10^5 \quad \text{и} \quad 5 = \lg 10^5. \end{aligned} \quad (965)$$

*
**

На сегодня Цель Жизни нашей цивилизации на Земле состоит в том, чтобы понять глубинные Мысли великой Цивилизации. Иначе будем мучиться в болоте Невежества.

А что делает официоз нашей науки? Он создаёт комитеты по борьбе с лженаукой (**Метанаукой**) и тормозит научно - этический прогресс.

417. Звёздный путь человечества

Мы, уважаемый Читатель, - **Ману-Мыслители**, то есть Носители Разума в социуме современного человечества на планете Земля.

Наш социум построен по закону **Единства и Борьбы Противоположностей**, который мы реализуем в худшем из вариантов, - **варианте насилия друг над другом**.

Генно-наследственное Бытие нашего социума подчиняется **закону Отрицание Отрицанием**, согласно которому отмирающее биологическое семя даёт **Жизнь Потомству и Бессмертие Океану Жизни**.

Неизбежное умирание **Тел Родителей**, при бессмертии их душ, **вызывают ностальгию**.

Мы не только Ману-Мыслители, но и **Ангелы Голоса** [4], ибо наш организм приспособлен к **приёму-передаче ИНФОРМАЦИИ на частотах света (зрение) и звука (слух)**.

Ностальгия по Будущему в воспоминаниях о Прошлом влекут нас к выражению Эмоций доступным нам языком живописи, музыки, символизма...

В каждом из этих выражений настроения появляются шедевры: **своя Песнь Песней**.

Но путь у нас, **Ангелы Голоса**, один: **от терний к звёздам**.

Космогенезис в Станце VII [4] описывает этот путь:

1. Наконец Сыны Майи ударили по Идеально настроенной струне, и при этом звуке исчезла Иллюзия. Истина открылась полностью. Новорожденные облачились в Знание, Силу, блеск достижений, словно в одеяние.

2. Внизу по усыпанной звёздами тропе Богов – тропе малых Огней, ждущих рождения в других формах, прошёл Некто, непохожий на Богов, но родственный им; непохожий на Духов трона, но известный им; похожий на человека, но превосходящий его; Некто, облачённый в одежды, сверкающей как иней на солнце, величественный, суровый лицом, но тихий голосом (телепатическая передача информации на сверхсветовых частотах 10^{22}).

3. Он зашагал от малых Огней (люминесценция) к Свету (солнечный свет) и с каждым своим шагом наступал на очередную Звезду, и та издавала звуки нежнейшей мелодии. Он подходил всё ближе и ближе и звуки сливались в триумфальную песню.

4. Наконец, достигнув самого верха, Он остановился и наклонился, чтобы услышать песню, которая далеко внизу, под Его ногами; звёзды пели теперь ясно и громко (путь к телепатическому восприятию информации завершен).

5. Когда-то Тёмная Звезда (самосушие волны тьмы) сейчас сверкала блеском, отразившемся от Его лица (переход люминесцентного света в солнечный), и абсолютно ясно Он слышал мелодии, дотоле состоявшие лишь из тихих звуков печали и боли (способность к восприятию звука и света не утеряна).

6. Царь явился сам и сейчас был известен им. "Я – первый", сказал Он, "и я – последний, и оба мы одно лицо. Свет пришёл из тьмы. Всё пришло из ничего. Из Смерти пришла вечная жизнь. "Дело сделано".

*
**

В Станце VII описывается Эволюция Ману-Мыслителя до Человека Воли и Йоги в энергетическом потоке самосушие волны тьмы ÷ люминесцентно-солнечный свет ÷ геномы наследственности.

Разность потенциалов ($63 - 0 = 63$), возникающая в Периодической Системе Геномов, описывают пункт 4 Станцы 7 описывают пункт 4 Станцы 7 и пропорции великой Пирамиды (рис.4, табл.14):

$$63 - 0 \equiv \int_r^L \varphi d\varphi = \int_{\sqrt{2}}^{8\sqrt{2}} \varphi d\varphi = \left[(8\sqrt{2})^2 - \sqrt{2}^2 \right], \quad (966)$$

где: L – ребро Пирамиды,

r – половина стороны основания Пирамиды.

Процесс сгущения самосуших волн в свет, а света в геномы в Станце определяется словами "Дело сделано".

**

Самосушие волны тьмы:

$$k_1 = \sin \pi/4 = \cos \pi/4 = 1/\sqrt{2}$$

и $\sec \pi/4 = \csc \pi/4 = \sqrt{2} = k_2,$ (967)

сгущаются в люминесцентный свет в трёхмерном пространстве в полях слабых взаимодействий:

$$k_3 = \rho_2^3 = \rho_2^2/\rho_5 = \rho_2/\rho_5^3 = 10^{-3}. \quad (968)$$

При инверсии люминесцентного света возникает солнечный свет с обратными потенциалами:

$$1/k_1 = \sqrt{2}; 1/k_2 = 1/\sqrt{2} \text{ и } k_3 = 10^{+3}. \quad (969)$$

В поле света возникают люминесцентные и солнечные фотон-фононы (табл.346).

Таблица 346

Сгущение самосуших волн в фотон-фононы

Свет	Взаимодействия (968)	Сгущение самосуших волн			Свет	
		1	2	3	фотон	фонон
Люминесцентный	$k_3 = 10^{-3}$	$\frac{k_1}{k_2} = 2$	$\left(\frac{k_1}{k_2}\right)^2 = 4$	$\left(\frac{k_1}{k_2}\right)^3 = 8$	$m_c^{**} = 2 \cdot 10^{-3}$	$m_c^* = 8 \cdot 10^{-3}$
Солнечный	$1/k_3 = 10^3$	1/2	1/4	1/8	$8^{-1} \cdot 10^3$	$2^{-1} \cdot 10^3$

инверсия.

Полученный из самосуших волн люминесцентный свет (**сверкающий как Иней на солнце [4]**) формирует сгусток-фотон ($m_c^{**} = 2 \cdot 10^{-3} = k_3 \cdot k_1 / k_2$) и волну-фонон ($m_c^* = 8 \cdot 10^{-3} \equiv k_3 \cdot k_1^3 / k_2^3$) с приведённым потенциалом, равным потенциалу шести витков спирали Кундалини:

$$\frac{(8^2 - 2^2) \cdot (10^{-3})^2}{8 \cdot 10^{-3} \cdot 2 \cdot 10^{-3}} = \frac{60}{10} = 6 \equiv 3,5 + 2,5 \equiv 3,5^2 - 2,5^2 \equiv 3 - (-3). \quad (970)$$

В люминесцентных волнах возникает магнетизм в логарифмических процессах и сильные взаимодействия в ядерных (табл.346):

$$2+4+8 = 14 \equiv \sqrt{\mu\mu^*} \quad \text{и} \quad 10^{14} \equiv \rho_4. \quad (971)$$

Реализация ядерных взаимодействий (971) под оболочкой света - Кундалини (970) приводит к инверсии люминесцентного кванта света.

Инверсионный взрыв кванта люминесцентного света завершается формированием экзотермического солнечного света (табл.346).

Возникает солнечный фотон ($8 \cdot 10^3$) и солнечный фонон ($2 \cdot 10^3$).

Приведённая пульсация солнечных фотон-фононов возмущает окружающую среду, создавая в ней потенциал, равный (табл.346):

$$\frac{[(8^{-1})^2 - (2^{-1})^2] \cdot 10^6}{8^{-1} \cdot 10^3 \cdot 2^{-1} \cdot 10^3} = -\frac{31}{64} \cdot 16 = -124. \quad (972)$$

Между солнечным и люминесцентным светом возникает спираль Зодиака, потенциал которой равен потенциалу Арупы-Рупы в резонансном вихре:

$$T_o + \tau = 12 \equiv (124 + 6) - (124 - 6) = 4 \cdot 3. \quad (973)$$

Формируется резонансное Три–Язычное Пламя Четырёх Фитилей [3] нашего Разума.

Светильник Разума горит и в поле люминесцентного света, и в поле солнечного Света (табл.346):

$$\frac{8 \cdot 10^{-3}}{8^{-1} \cdot 10^3} = 64 \cdot 10^{-6} \Leftrightarrow 4 \cdot 10^{-6} \equiv \frac{2 \cdot 10^{-3}}{8^{-1} \cdot 10^3};$$

$$\sqrt{qq^*} \equiv 16 \Leftrightarrow 1. \quad (974)$$

На поверхности люминесцентно-солнечного Пламени возникает электричество. **Пламя сжимается в Каплю Ядра, звезду.**

Некто, (мы с Вами, восходящие к Человеку Воли и Йоги) начал свой путь по тропе малых Огней, усыпанных звёздами [4], где сумма переходов между солнечными сгустками равна половине пальмы и отношению магнитных компонентов к электрическим (табл.346):

$$\frac{1}{2} + \frac{1}{4} + \frac{1}{8} = \frac{7}{8} \equiv \frac{\mu}{q} \equiv \frac{\mu^*}{q^*} \equiv \sqrt{\frac{\mu\mu^*}{qq^*}}. \quad (975)$$

Отношение переходов самосущих волн люминесцентного магнитного поля (971) к солнечной электромагнитной Дзиан–пальме (975), вновь формирует электричество:

$$\frac{\frac{2+4+8}{\frac{1}{2} + \frac{1}{4} + \frac{1}{8}}}{\frac{7}{8}} = \frac{14}{\frac{7}{8}} = 16 \equiv \sqrt{qq^*}. \quad (976)$$

Возникает ключ-шифр Книги Бытия (976, табл.346).

$$k_3 / \sqrt{qq^*} \cdot k_3 = 0,0625 \cdot 10^6 = 62500. \quad (977)$$

418. Цис-транс изомерия Человека в Реинкарнациях

Как бы наше **Эго** не относилось к себе самой или окружающему, божественная Кундалини будет продолжать пульсировать во всех 108 реинкарнациях Человека, создавая потенциал-эквивалент молекулярному весу воды:

Роль Кундалини в реинкарнациях Человека	
$\frac{\text{Число реинкарнаций}}{\text{Потенциал Кундалини}} = \frac{108}{6 = 3,5 + 2,5} = 18 \equiv \begin{matrix} \text{Молекулярный} \\ \text{вес воды} \end{matrix}$	(978)

Энергия водородной связи в воде пульсирует, создавая возмущения в окружающей среде:

$$\begin{matrix} 2H^+ + O^- = 2 + 16 = 18 \\ \int \varphi d\varphi \equiv 64 \equiv \text{Тянь} . \\ O^- - 2H^+ = 16 - 2 = 14 \end{matrix} \quad (979)$$

Наше тело с потенциал-эквивалентом сгустка Тянь (949) попадает в поле Дзиан-пульсации и в нашем теле возникают потенциал-эквиваленты цис-транс изомерии Небес Цинь:

$$\begin{matrix} 64 \int_0^1 \varphi d\varphi = 32 & \Leftrightarrow & -32 \equiv 64 \int_1^0 \varphi d\varphi \\ \text{Цис} - \text{Цинь} \text{изомер} & & \text{Транс} - \text{Цинь} \text{изомер} \end{matrix} \quad (980)$$

Все органы нашего тела приобретают изомерию и делятся по принципу левизны и правизны.

Деление по принципу цис-транс изомерии всё: геномы наследственности на основе молекулярных цепей хромосом, чакры, сердце, мозг, ... и всё тело Человека в целом.

Книга Перемен подробно описывает цис-транс изомерию Человека и его размножение.

419. Вода и Жизнь. Жизнь Воды

Биологическое Живое, в том числе и Человек, включает в себя жидкую фазу в большей или меньшей степени.

В меньшей степени жидкую фазу имеют панцирные глубоководные живые организмы, где **фотосинтез протекает на основе люминесцентного света**, и поэтому панцирные - живые светятся люминесцентным светом.

В большей степени жидкую фазу имеют живые организмы, биологическая Жизнь которых протекает **в условиях фотосинтеза солнечного тёплого света**.

Однако любому организму присуща **солнечно-люминесцентная** форма биологической Жизни, как результат фотосинтеза.

Дзиан пульсация будет изменять пределы жидкой фазы и плотности ядерного вещества в Живых биологических организмах, оставаясь в рамках постоянной Единого космоса по водороду (табл.347).

Таблица 347

Магнетизм Живой Капли и изменение плотности её плазмы

Пределы водородной связи	Субструктура	Жидкая фаза	Свет в жидкой фазе	Лазерная плазма	Вихрь Арупа-Рупа	Постоянная Вселенной
$2H^+ + O^- = 18$	$\pm 18 \int_0^1 \varphi d\varphi$ $\pm(9+0)$	$\pm 9 \cdot 2 = \pm 18$	$\pm 18 \cdot 2 = \pm 36$	$\pm 36 \cdot 2 = \pm 72$	$\pm 72 \cdot 2 = \pm 12^2$	$9 \cdot 112 =$ $18 \cdot 56 =$ $36 \cdot 28 =$ $72 \cdot 14 =$ $12^2 \cdot 7 =$ $1008.$
$O^- - 2H^+ = 14$ магнетизм	$\int_{56-1}^{56+1} \varphi d\varphi =$ ± 112	$112/2 = \pm 56$	$\pm 56/2 = \pm 28$	$\pm 28/2 = \pm 14$	$\pm 14/2 = \pm 7$	

Магнетизм Живой Капли и плотность ядерного вещества в ней взаимосвязаны колебательной системой ($2 \Leftrightarrow 1/2$), имеют своим пределом постоянную Вселенной по водородной связи, равную 1008 (табл.347), и описанную в диаграмме Тянь-Цинь:

$$\frac{8 - \text{☯}}{64 - T_0 = 4} \frac{64^2 - 8^2}{T_0 = 4} = 1008. \quad (981)$$

В Океане Жизни, в каждой его Капле, возникают:

- **субструктура биологической клетки**, в которой потенциал ($9+0$) субструктуры является эквивалентом потенциала ядра ($9 \Leftrightarrow 6$) Периодической Системы геномов Наследственности (табл.347);

- **жидкая фаза биологической плазмы**, плотность которой растёт как потенциалы возмущённой среды при переходе на соседние уровни (табл.347):

$$\boxed{\begin{array}{l} \pm(9+0) \rightarrow \int_{9-1}^{9+1} \varphi d\varphi = 18 \rightarrow \int_{18-1}^{18+1} \varphi d\varphi = 36 \rightarrow \\ \int_{36-1}^{36+1} \varphi d\varphi = 72 \rightarrow \int_{72-1}^{72+1} \varphi d\varphi = 144 \end{array}}, \quad (982)$$

где $(9+0) \equiv (2H^+ + O^- = 18) \cdot \left(\pm \int_0^1 \varphi d\varphi \right)$;

- **магнетизм жидких сред**, цитоплазмы, крови, лимфы, серого вещества головного мозга и так далее, магнитный потенциал которых убывает по мере роста плотности в жидких средах (табл.347):

$$\boxed{\begin{array}{l} (0^- + 2H^+ = 14 \equiv \sqrt{\mu\mu^*}) \cdot \left(\pm \int_0^1 \varphi d\varphi = \pm \frac{1}{2} \right) \equiv (7 \equiv T_0 + \tau) \equiv \\ \rightarrow \int_{7-1}^{7+1} \varphi d\varphi = 14 \rightarrow \int_{14-1}^{14+1} \varphi d\varphi = 28 \rightarrow \int_{28-1}^{28+1} \varphi d\varphi = 56 \rightarrow \int_{56-1}^{56+1} \varphi d\varphi = 112 \end{array}}. \quad (983)$$

Понять свойства воды тысячелетиями пытаются и маги от интуиции и учёные от материи, до сих пор безуспешно.

Читайте этот параграф, я дарю его вам при условии, что вы будете дарить людям добро, а не порчу и атомные бомбы.

420. Рождение Рупы Света во тьме самосущих волн

Сырьём для создания **Всего Сущего** является тьма самосущих волн Метагалактики.

Инструментом для создания **Всего Сущего** служит точечный участок волны света, скорость трансформации энергетических форм окружающих сред которым равна скорости света $c \equiv \pi = 315$.

Продолжительность периода трансформации точечным участком волны света окружающей среды самосущих волн будет одинакова за период при:

$$T_0 = 4 \equiv (Sc \pi/4 \cdot Csc \pi/4) : (\sin \pi/4 \cdot \cos \pi/4). \quad (984)$$

Трансформируя окружающую среду самосущих волн, точечный участок волны света будет последовательно создавать импульсы и энергию:

Импульс	Энергия	Примечание
$\frac{c}{T_0} = \frac{\pi}{4} \equiv \sqrt{\frac{1}{\Phi}}$	$\frac{c^2}{T_0^2} = \frac{\pi^2}{4^2} \equiv \frac{1}{\Phi}$	Φ – золотое число.

(985)

Пульсация точечного участка волны света в энергетическом поле самосущих волн будет создавать изомерические волны, переходящие в инверсионные взрывы (табл.348).

**Пульсация точечного участка волны света
во тьме самосуших волн**

		Импульс	Энергия	Энергия	Импульс
Изомерия		$\pi/4$	$-\pi^2/4^2$	$+\pi^2/4^2$	$\pi/4$
Инверсия		$\pi/4$	$-4^2/\Phi^2$	$+\pi^2/4^2$	$-4/\pi$
Произведение		$\pi^2/4^2 \equiv 1/\Phi$	$+1$	$+\pi^4/4^4 \equiv 1/\Phi^2$	$+1$
Совме- щение	Гармония	1	$\Leftrightarrow \Phi$	1	$\Leftrightarrow \Phi^2$
	Хаос	0	$\Leftrightarrow \Phi - 1$	0	$\Leftrightarrow \Phi^2 - 1$

Колебания точечного участка волны света в **режиме совмещённых изомерии и инверсии** влекут за собой появление Гармонии и Хаоса в режиме пульсации золотого числа Φ (табл.348).

$$\begin{aligned}
 & \int_0^1 \varphi d\varphi \Leftrightarrow \int_{\Phi-1}^{\Phi} \varphi d\varphi \Leftrightarrow \int_0^1 \varphi d\varphi \Leftrightarrow \int_{\Phi^2-1}^{\Phi^2} \varphi d\varphi; \\
 & \frac{1}{2} \Leftrightarrow \frac{1}{2} [\Phi^2 - (\Phi-1)^2] \Leftrightarrow \frac{1}{2} \Leftrightarrow \frac{1}{2} [\Phi^4 - (\Phi^2-1)^2] \quad (986) \\
 & 1 \Leftrightarrow \Phi^2 - (\Phi-1)^2 \Leftrightarrow 1 \Leftrightarrow \Phi^4 - (\Phi^2-1)^2
 \end{aligned}$$

В Едином Космосе пульсация точечного участка волны света во тьме самосуших волн метagalактики приводит к появлению Хаоса, из Недр которого, как из ладоней Создателя льются на нас золотые волны Метagalактики (986):

$$\begin{aligned}
 (1 - 1 = 0) & \Leftrightarrow \Phi^2 - (\Phi^2 - 1)^2 - \Phi^2 + (\Phi-1)^2 \equiv \\
 & 2(\Phi^2 - \Phi + 1) \equiv 2(\Phi+1) \cdot (\Phi-1). \quad (987)
 \end{aligned}$$

Всё глубже и глубже внедряясь в поле метagalактических волн тьмы самосуших волн, точечный участок волны света создаёт в них неравновесную систему колебаний (987):

$$2(\Phi+1) \cdot (\Phi-1) \equiv \sqrt{2}(\Phi+1) \Leftrightarrow \frac{1}{\sqrt{2}(\Phi-1)}. \quad (988)$$

В поле Золотого Числа возникают полтора оборота колеса Вселенной, необходимые для создания Теогенезиса [4]:

$$2(\Phi+1) \cdot (\Phi-1) = 2(\Phi^2 - 1^2) \equiv \Phi^2 - 1^2 \Leftrightarrow \frac{1}{2};$$

$$\Phi^2 \Leftrightarrow \frac{1}{2} + 1^2 = \frac{3}{2} = 1,5 \Leftrightarrow \frac{4^4}{\pi^4}. \quad (989)$$

Возникает трансформация самосуших волн светом со скоростью, равной (989):

$$(\pi/4)^4 \Leftrightarrow 2/3. \quad (990)$$

В трёхмерном пространстве возникает полушарие сгустка с потенциалом $(\pi/4)^3$, где $3 = x+y+z$, а над сгустком полярных вихрей с потенциалом $\pi/4$.

Цис-транс изомерия формирует два полушария сгустка и два полярных вихря над ним (табл.349).

Таблица 349

Сгусток света во тьме самосуших волн

Полушария	Левое			Правое		
Структура	Сгусток	Вихрь	Среда	Сгусток	Вихрь	Среда
Потенциалы	$(\pi/4)^3 \times \pi/4 \Leftrightarrow 2/3$			$-(\pi/4)^3 \times -\pi/4 \Leftrightarrow -2/3$		
	Состояние в точках - излучателях					
Потенциалы	$(\pi/4)^3 \times 1 \Leftrightarrow 2/3:4/\pi$			$-(\pi/4)^3 \times -1 \Leftrightarrow 2/3:4/\pi$		
	После излучения полярных вихрей.					

Сгусток синтезирован точечным участком волны света и излучает полярные вихри с периодичностью T_0 , сжимая полярным вихрем самосушие волны окружающей среды до квадрата первоначальной величины:

$$H = T_0 \sqrt{Sc \pi / 4} \Leftrightarrow T_0 : \sqrt{Sin \pi / 4} = 2^{7/4}, \quad (991)$$

где H – высота великой Пирамиды.

Общий потенциал среды, в которую был излучен полярный вихрь полушария сгустка, становится равным объёму великой Пирамиды (табл.349):

Полушария	Левизна	Правизна
Среда вокруг сгустка	$-\frac{2}{3} \cdot \frac{4}{\pi} \cdot H \equiv$ $\frac{1}{\pi} \left(\frac{1}{3} 8 \cdot H \equiv \right)$ $\frac{1}{3} a^2 \cdot H \equiv V_{\Pi}$ $V_{\Pi} m_c$	$-\frac{2}{3} \cdot \frac{4}{\pi} \cdot H \equiv$ $\frac{1}{\pi} \left(\frac{1}{3} 8 \cdot H \equiv \right)$ $\frac{1}{3} a^2 \cdot H \equiv V_{\Pi}$ $-V_{\Pi} m_c.$

(992)

Так во тьме самосуших волн рождается Рупа Света.

421. Эго в теле Человека: высокая цель Создателя


Два изомера–сгустка (992), как два собеседника обмениваются энергией, в том числе и в форме Информации.

Каждый из сгустков–собеседников (992) обменивается энергией **излучая её по нормали** (то есть под углом 90^0) **к поверхности излучения**, но излучённый импульс частицы света летит **прямолинейно**, или по лучам угла $\pi = 180^0$, формирующих прямую линию (табл.350).

Между излучёнными фотон-фононами возникнут колебания (табл.350).

Таблица 350

**Колебания импульсов,
излучённых сгустком – Пирамидой**

Состояние поля	Равновесие		Излучение волны		Колебания волны, полёт частицы	
Изомерия	Цис-	Транс-	Цис-	Транс-	Цис-	Транс-
Системы колебаний	$\frac{1}{\pi} \cdot V_{\Pi}$	$-\frac{1}{\pi} \cdot V_{\Pi}$	$\frac{90^{\circ}}{\pi} \cdot V_{\Pi}$	$\frac{90^{\circ}}{\pi} \cdot V_{\Pi}$	$\frac{180^{\circ}}{\pi} \cdot V_{\Pi}$	$\frac{180^{\circ}}{\pi} \cdot V_{\Pi}$
Колебания	1 	1	$\frac{90^{\circ}}{315} =$ $1/3,5 \Leftrightarrow -1/3,5$	$-\frac{90^{\circ}}{315} =$ $1/3,5 \Leftrightarrow -1/3,5$	$\frac{180^{\circ}}{315} =$ $1/7,5 \Leftrightarrow -1/7,5$	$\frac{180^{\circ}}{315} =$ $1/7,5 \Leftrightarrow -1/7,5$

В поле равновесия в объёме Пирамиды–сгустка возникают волновые колебания ± 1 , формирующие экстремальные области любой волны, так называемое кольцо с Единицей (табл.350).

Напомню, любой импульс $f(x,y)$, проходя через Кольцо с Единицей, увеличивается в π раз и становится равным $\pi \cdot f(x, y)$.

В условиях динамического равновесия Кольца с Единицей между полушариями сгустка цис-транс изомерические колебания не прекращаются (табл.350):

$$\frac{1}{\pi} V_{\Pi} \cdot \pi \cdot f(x,y) = f(x,y) \cdot V_{\Pi} \Leftrightarrow -f(x,y) \cdot V_{\Pi} \equiv -\frac{1}{\pi} V_{\Pi} \cdot \pi \cdot f(x,y). \quad (993)$$

**

Когда полушарие сгустка–Пирамиды излучает квант-волну **по нормали** к поверхности излучения (табл.350), то переход от угловых градусов к радианам вызывает появление 3,5 витков Кундалини (табл.350):

$$\frac{90^\circ}{\pi = 315} \equiv \left(\frac{1}{3,15}\right)^\circ \Leftrightarrow -\left(\frac{1}{3,15}\right)^\circ \equiv -\frac{90^\circ}{\pi = 315}, \quad (994)$$

$$\text{где} \quad 3,5 \Leftrightarrow -3,5 \quad \text{и} \quad \pm 7 \Leftrightarrow \mp 0 \equiv \pm(T_0 + \tau). \quad (995)$$

В жидких средах возникают расширяющиеся молочно-белые спирали Кундалини (995).

В поле Хаоса появляется Семеричность Арупы-Рупы (995).

*
**

Излучённая волна будет излучать электромагнитные колебания со скоростью света:

$$c = \lambda \nu \equiv \pi \equiv 315, \quad \text{при } \pi = 180^\circ. \quad (996)$$

Излучённая частица света (фотон) будет совершать резонансное прямолинейное движение со скоростью света:

$$c = \lambda \equiv \pi \equiv 315, \quad \text{при } \pi = 180^\circ. \quad (997)$$

В цис-транс изомерии сгустков Пирамид возникнут колебания с потенциал-эквивалентом, равным **пальме** (табл.350):

$$1/1,75 = 4/7 \Leftrightarrow 7/4 = 1,75 \quad \text{и} \quad 16 \Leftrightarrow 49. \quad (998)$$

Возникает **Оболочка** (литосфера) сгустка, а над ней небеса Цинь (998):

Электричество	Оболочка	Небеса Цинь
$\sqrt{qq^*} = 16$	49	$(49+16) - (49 - 16) \equiv 32 \Leftrightarrow \pm 0.$

(999)

В небесах Цинь возникают заряды периодичности с потенциалом, равным **пальме** (999):

$$\pm 32 \cdot (7/4 \equiv \rho/q \equiv \rho^*/q^* \equiv \dots) = \pm 56. \quad (1000)$$

Великая Цивилизация использует потенциал 56 как угол 56° , который характеризует угол наклона граней $2,5 \cdot 10^6$ блоков, из которых построена великая Пирамида:

Между полушариями - сгустками Пирамид (табл.350) возникают колебания (табл.351).

Таблица 351

**Цис-транс изомерия
обмена энергии между полушариями**

Колебания	Цис – изомерия	Транс – изомерия
Изомерия	$+ \left(56^\circ \cdot \frac{\pi = 315}{180^\circ} \right) \cdot V_{II} \equiv$ $+ 56 \cdot \frac{7}{4} \cdot V_{II}$	$- \left(56^\circ \cdot \frac{\pi = 315}{180^\circ} \right) \cdot V_{II} \equiv$ $- 56 \cdot \frac{7}{4} \cdot V_{II}$
Инверсия	$\pm 1 \Leftrightarrow \mp \left(56 \cdot \frac{7}{4} \cdot V_{II} \right)^{\pm 2}$	

В семеричном поле возникает магнетизм (табл.351):

$$56 \cdot 7/4 = 14 \cdot 7 = \sqrt{\mu\mu^*} (T_o + \tau). \quad (1001)$$

Магнетизм проявляет себя в частности в формировании **оболочки**:

$$56 \cdot 7/4 = \boxed{(7^2 = 49) - \text{оболочка}}. \quad (1002)$$

В Едином Космосе **под оболочкой возникают живые магниты**, в том числе мы, уважаемый Читатель.

Эго и **Тело** живых магнитов связано инверсией (табл.351), в которой участвует Космическая Мысль.

Живой Магнит	
Тело	Эго
$V_{\Pi}^2 \cdot \rho^*$	$\frac{1}{V_{\Pi}^2 \rho^*}$
$V_{\Pi}^4 \Leftrightarrow (\rho^*)^{-2}$ $(\rho^*)^{-2} \Leftrightarrow V_{\Pi}^{-4}$	

(1003)

В этом поле (1003) формируется мировоззрение Ману-Мыслителя.

*
**

Мировоззрение сегодняшнего Ману-Мыслителя формировалось под влиянием трёх-чакровых четвёртой Расы:

Катастрофы, катастрофы, катастрофы без конца,
 Угнетают катастрофы наши хилые сердца.
 И, живя в Раю Творенья, где Гармония и Жизнь,
 Мы, как мухи на варенье,...лишь Невежеству клялись.

Мы любили и рожали: дети – радость Бытия
 А потом их забирали на прокорм бездушной твари,
 Тех, кого мы избирали, демократию гремя.

Нам жить – вечно. Но так как мы живём жить больше нельзя. Согласовывайте ритм Вашей жизни с извечным дыханием Единого Космоса.

*
**

Ни **Добро** само по себе, ни **Красота** сама по себе **Мир не спасут.**

Мир спасут **Красота и Добро** нашего **Эго**, передаваемые в **Формах Любви** и сопереживания со всеми формами окружающего нас **Мира**.

С этой целью Господь и создал своё лучшее Творение – Человека.

Будьте достойны высокой цели Создателя!

422. Заряды: люминофоры – вакансии

Всё живое живо потому, что пульсирует в созидательной ритмике Единого Космоса. Вне этой пульсации Жизни нет.

Для того, чтобы Созидать, в том числе и само Сотворение Мира, необходимо наличие:

- субстанции из **Чего** творить;
- инструмента **Чем** творить;
- мысли Создателя, направленной на то, **Что** творить.

Субстанции из Чего Творить в Едином Космосе более чем достаточно, – это черные эндотермические холодные волны вечной тьмы. Они самосуши, то есть энергия Мысли, Памяти и Воображения в них отсутствуют.

Энергия самосуших волн подобна люминофору, которого не коснулись ещё фотон-фононы, но люминофор уже "наполнен вакансиями – дырами, способными поглощать свет.

При отсутствии в вакансиях – дырах фотон-фононов, люминофор самосуших волн вечной тьмы находится в вихрях Арупы-Рупы, создавая в пределах насыщения вакансий электрический, магнитный и гравитационный элементарные заряды (табл.352).

**Элементарные заряды
в пределах ненасыщенного люминофора**

Поля	Люми- нофор	Арупа-Рупа		Рупа	Пальма
		Гравитация	Магнетизм	Электри- чество	
Потен- циалы	$\times 10^{-20}$	$\rho \equiv \frac{c^2}{\omega_0^2} (T_0 + \tau) \times$ $28 \cdot 10^{-20}$	$\mu \equiv (T_0 + \tau) \frac{c}{\omega_0}$ $14 \cdot 10^{-20}$	$q = T_0 =$ $16 \cdot 10^{-20}$	$r/q =$ $7/4.$

В люминофоре, насыщенном вакансиями, Арупа-Рупа ($T_0 + \tau = 7$) имеет импульс $c/\omega_0 = 2$ и энергию $c^2/\omega_0^2 = 4$ расширения (табл.352).

Импульс расширения формирует магнитный заряд:

$$\mu \equiv (T_0 + \tau) \cdot c^2/\omega_0^2 \cdot 10^{-20} = 14 \cdot 10^{-20}, \quad (1004)$$

а гравитационный заряд формирует энергия расширения (табл.352):

$$\rho \equiv (T_0 + \tau) \cdot c^2/\omega_0^2 \cdot 10^{-20} = 28 \cdot 10^{-20}. \quad (1005)$$

Электрический элементарный заряд формируется в Рупе (и сам формирует Рупу) после того как **продолжительность вращения точечного участка волны света достигнет квадрата периода обращения точки по орбите вокруг сгустка** (табл.352).

$$q = T_0^2 \cdot 10^{-20} \equiv (c/\omega_0)^{T_0} \cdot 10^{-20} = 16 \cdot 10^{-20}. \quad (1006)$$

**

Элементарные электрические заряды (электрон и позитрон) создают **оболочки** Атомов и придают Атомам Форму Рупы.

Человек – тоже Рупа, имеющая Ауру с частотой 10^6 Гц, соответствующей эффекту Кирлиан.

Человек, как Рупа–Форма может управляться шифр–кодами, что и сделала великая Цивилизация, закодировав в книгу **Бытия** шифр–кодом одной значимой буквой через 62500 букв:

$$10^6 : (T_0^2 = 16) = 62500. \quad (1007)$$

**

Бытие Человека и всего человечества в биологической Форме–Рупы определяется пульсацией Единого Космоса в той Его Части, которая относится к зарядам в люминофор–вакансиях (табл.352).

В люминофор–вакансиях Единого Космоса возникают колебания элементарных зарядов (табл.353).

Таблица 353

Пульсация зарядов (вакансий) Единого Космоса

Пульсация	Вне инверсии	Инверсия
Системы	$\frac{\omega_0}{c} \cdot \frac{\rho}{q} = \frac{7}{8} = -\frac{7}{8} = -\frac{\mu}{q}$	$\frac{\omega_0}{c} \cdot \frac{\rho}{q} = \frac{7}{8} = -\frac{8}{8} = -\frac{q}{\mu}$
Потенциалы	$\pm 0 \Leftrightarrow \mp 7/4$	$\pm 49 \Leftrightarrow \mp 64.$

Пульсация зарядов в Едином Космосе наносит сокрушительный удар по точке зрения любителей **Мистики – Непознаваемого**, утверждающих, что мозг человека неспособен понять окружающий мир.

Судите сами:

7/4 – **пальма**, Единица Счисления в науке великой Цивилизации;

49 – **оболочка** (Русские Руны);

64 – **сгусток Тянь** (Книга Перемен);

64 – 49 = 15 \equiv 1+2+3+4+5 – **внутреннее поле света** при антирезонансе;

64+49 = 113 – **библейское число Человека**;

$64 \cdot 7/4 = 112$ – гравитационно-электромагнитное равновесие:

$$112 = (7q \equiv 8\mu \equiv 4\rho) \cdot 10^{20}, \quad (1008)$$

из которого формируются периодические системы живого-неживого.

**

Инверсионная пульсация сказывается и на **инверсии пальмы**, что влечёт за собой появление гравитации с потенциалом 28, потенциала 112, **что связано с наличием самосуших волн вечной тьмы**, предшествующих появлению вакансий-дырок в люминофоре (табл.353).

Гравитация	Гравио-электромагнетизм	Самосушие волны	(1009)
$49 \cdot 4/7 = 28$	$112 = 64 \cdot 7/4$	$\frac{112}{28} = 4 \equiv \frac{Sc \pi/4 \cdot Csc \pi/4}{Sin \pi/4 \cdot Cos \pi/4}$	

423. Корень: самосушие волны тьмы

Самосушие волны поглощают свет, и свет находится в форме ядра самосуших волн.

Диаграмма Тянь-Цинь описывает самосушие волны как чёрную волну с Зародышем Света:

$$\begin{array}{ccc}
 \text{Самосушая волна} & \text{Зародыш самосущей волны} & \\
 \text{Зародыш света} & \text{Волна света} & (1010)
 \end{array}$$



Самосушие волны сгущаются, создавая в максимуме **астрономические Чёрные Дыры**, которые поглощая свет, излучают самосушие волны.

Излучение-поглощение самосуших волн (1009) создаёт колебательную систему:

Колебания самосущих волн	
Поглощение	Излучение
$\frac{Sc \pi/4 \cdot Csc \pi/4}{Sin \pi/4 \cdot Cos \pi/4} = 4$	$\Leftrightarrow \frac{1}{4} = \frac{Sin \pi/4 \cdot Cos \pi/4}{Sc \pi/4 \cdot Csc \pi/4}$

(1011)

Относительно **Чёрных Дыр** наша наука констатирует: чёрные дыры поглощают всё, включая свет..., а далее ведёт себя как перед чёрным квадратом Малевича, **цену повышают за разгул Иллюзий.**

**

Великая Цивилизация называет самосущие волны **Корнем**, и выразила законы **Сгущения Чёрных Дыр микро-макро миров пропорциями элементов великой Пирамиды** (1011, рис.3, табл.18).

Сгущение-излучение самосущих волн Чёрной Дырой пропорционально изменению величин элементов великой Пирамиды (рис.5, табл.18).

При сгущении самосущих волн возникают новые волны с обратными потенциалами:

$$\frac{c}{\omega_0} (Sin \pi/4 + Cos \pi/4) = 2 \cdot 2 \cdot \frac{1}{\sqrt{2}} \Leftrightarrow 2\sqrt{2} \equiv a \equiv Sc \pi/4 + Csc \pi/4, \quad (1012)$$

где a – сторона основания великой Пирамиды.

Скорость движения самосущих волн после сгущения уменьшается в два раза, что создаёт фундаментальное отношение потенциальной и кинетической энергии в Едином Космосе (1012):

$$c (Sin \pi/4 + Cos \pi/4) \equiv \sqrt{2}\pi \Leftrightarrow 2\sqrt{2}\pi \equiv \omega_0 (Sc \pi/4 + Csc \pi/4), \quad (1013)$$

где $c : \omega_0 = 2 : 1 \equiv$ энергия потенциальная : энергия кинетическая.

В Космогенезисе ([3]. Станца II) великая Цивилизация описывает самосушие волны следующим образом:

1. Где были строители, Лучезарные Сыны Зари Манавантаны? (то есть где находится свет в самосуших волнах). **В непознаваемой Тьме, в их Ах-хи Параниш-пана** (то есть фотон-фононы в люминофоре ещё не возникли, но дырки-вакансии уже появились: $Ax \equiv +10^{-20}$ и $хи \equiv -10^{-20}$). **Создатели Форм из Не-Форм – Корень Мира – Дэваматри и Свабхават покоились в блаженстве Небытия.**

2. Где было Безмолвие? Где слух, чтобы ощутить его? Нет, не было ни Безмолвия, ни Звука, ничего, кроме Нерушимого Вечного Дыхания, незнающего себя.

Описываются релаксационные колебания в Недрах Чёрных Дыр перед тем, как из них произойдёт излучение энергии – импульса.

3. Час ещё не пробил; Луч ещё не проник в Зародыш; Матрипадама ещё не набухла.

Час, равный 3600 сек и 60 мин является эквивалентом разности длин волн солнечного белого света:

$$1 \text{ час} = 60 \text{ мин} = 3600 \text{ сек} \equiv 3600 \text{ \AA} = \Delta B. \quad (1014)$$

Описывается состояние Недр Чёрной Дыры, когда люминофор-вакансия $\equiv 10^{-20}$ вакансий (**Матрипадма**) ещё не начал трансформировать люминесцентный свет в солнечный.

4. Сердце Её еще не раскрылось для привхождения Единого Луча, чтобы затем низвергнуть его, как Три в Четыре, в Недра Майи (табл.354).

Релаксация (пред излучение) в недрах Чёрной Дыры

Сердце Матрипадма	Не раскрытое	Раскрытое (проявление)
Потенциалы	$k_1 = 42 \cdot 10^{-20} \equiv 1,5 \cdot (\rho = 28 \cdot 10^{-20})$	$k_2 = 72 \cdot 24 / k_1 = 28 \cdot 10^{-20} \equiv \rho^*$ (Одинокий Луч)
Как Три в Четыре	$28 \equiv 4 \cdot (4+3) \equiv T_0(T_0 + \tau)$	
Недра Майи	$\frac{T_0(T_0 + \tau)}{T_0^2} \equiv \frac{T_0 + \tau}{T_0} \equiv \frac{\rho}{q} \equiv \frac{\rho^*}{q^*} \equiv \frac{7}{4} \equiv \text{пальма}.$	

5. Семеро ещё не родились из Ткани Света. Едина Тьма была Отцом-Матерью, Свабхават; и Свабхават была во Тьме (табл.355).

Колебания самосущих волн

По словам Станцы	Отец-Мать во тьме	Свабхават во тьме	Ткань Света
Сущность	Вакансии люминофора	Зародыши света в вакансиях	Колебания ва- кансий и света
Потенциалы	$10^{-20} \Leftrightarrow -10^{-20}$ $n \cdot 10^{-20} \Leftrightarrow -n \cdot 10^{-20}$	$\pm T_0 \cdot 10^{-20} \equiv$ $\pm 400 \cdot 10^{-22} \equiv$ Свабхават $\times 10^{-22}$	$\pm \rho \Leftrightarrow \mp \rho^*$ $28 \cdot 10^{-20} \Leftrightarrow 28 \cdot 10^{20}$ $10^{-20} \Leftrightarrow \mp 10^{20}.$

6. Эти Двое и есть Зародыш, и Зародыш Един. Вселенная была ещё сокрыта в Божественной Мысли и Лоне Божественном.

Единство Зародыша проявляется в колебаниях:

$$\frac{\text{Отец}}{\text{Мать}} \equiv \frac{n \cdot 10^{-20}}{-n \cdot 10^{-20}} = -1 = \frac{-n \cdot 10^{-20}}{n \cdot 10^{-20}} \equiv \frac{\text{Мать}}{\text{Отец}}. \quad (1015)$$

Чёрная Дыра излучает полярные вихри, обладающие цис-транс изомерией:

Полярные вихри Чёрной Дыры				(1016)
Поля	Ядро	Логарифмическая область	Полярные вихри (изомерия)	
Потенциалы	10^{-1}	$\log_i(-1=i^2)=2$	$2 = 1-(-1)$	

Однако результирующая от полярных вихрей будет иметь однонаправленность (рис.104).

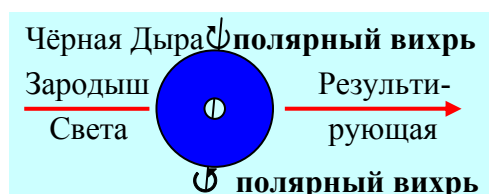


Рис.104 Полярные вихри Чёрной Дыры

Результирующий энергетический поток в нашей Вселенной, например, вращает Землю с востока на Запад ([3]. Станца III):

7. ...Узри его, приподнимающего Покров и развёртывающего его с Востока на Запад (рис.104). Он скрывает Горнее (полярные вихри) и оставляет Подножье (результирующую, рис.104), явленное как Великая Иллюзия. Он намечает место для Блισταющих и обращает горнее в безбрежное Море Огня и Единое Проявление в Великие Воды.

Великая Цивилизация неоднократно возвращается к Единому Проявленному из тьмы самосущих волн в **Море Огня и в Великие Воды**. Например, в Станце III Космогенезиса [3]: Рассмотрим и прокомментируем эту Станцу.

11. Она распространяется, когда Дыхание Огня над нею. Она – это логарифмическая волна Тьмы с потенциалом $\log_i i^2 = 2$ (1016).

Дыхание Огня – пульсирующий свет ($36 \Leftrightarrow 6$).

Возникает отношение эквивалента молекулярному весу воды в Арупе:

$$\frac{\text{Дыхание Огня}}{\text{Она}} \equiv \frac{36 \Leftrightarrow 6}{\log_i i^2} \equiv \pm(18 \Leftrightarrow 3)(\text{Великие Воды}), \quad (1017)$$

где знаки плюс-минус описывают цис-транс изомерию.

424. Великие Воды ядерного вещества

Колебания **Великих Вод в Арупе** (1017) проходят в условиях колебания самой Арупы:

$$\pm 18 \Leftrightarrow (3 \pm 1), \quad (1018)$$

где $3 - 1 = 2$; 3 ; $3 + 1 = 4$ – потенциалы Круга Универсума, данные человечеству в "**Откровениях**" [5].

Арупа пульсирует в резонансно-антирезонансном режиме, а потенциал приведённой пульсации Арупы равен отношению объёма великой Пирамиды к её высоте (табл.356).

Таблица 356

Приведённый потенциал пульсации Арупы-Рупы

	Режимы	Приведённые потенциалы
Арупа	$\frac{\text{Резонанс}}{\text{Антирезонанс}}$	$k_a \equiv \frac{(3-1)3(3+1)}{2+3+4} = \frac{1}{3}8 \equiv \frac{1}{3}a^2 \equiv \frac{V_{II}}{H}$
Рупа	$\frac{\text{Резонанс}}{\text{Антирезонанс}}$	$k_p \equiv \frac{(4-1) \cdot 4 \cdot (4+1)}{3+4+5} = 5.$

Трансформируясь в Рупу, энергетическое поле Арупы приобретает **пятеричную связь: Три из Одного, Четыре из Одного и Пять** (табл.356, [3]).

*

**

Станца III, п.11, [3] продолжает:

Она сокращается, когда Дыхание Матери касается её (табл.357).

Таблица 357

Возникновение в Рупе 2,5 витков Кундалини сжатия

Процессы	Дыхание Матери		Кундалини в Рупе	
	Вдох	Выдох	Цис-	Транс-
Потенциалы сжатия	$\int_1^0 \varphi d\varphi = -\frac{1}{2}$	$\int_0^1 \varphi d\varphi = \frac{1}{2}$	$-\frac{1}{2} (k_p=5) = -2,5$	$+\frac{1}{2} (k_p=5) = +2,5$

*

**

Тогда сыны разъединяются и рассыпаются чтобы вернуться в Лоно Матери при окончании Великого Дня, чтобы снова соединиться с нею, – продолжает констатировать великая Цивилизация ([3]. Космогенезис, Станца III, п.11).

Разъединённые и рассыпанные Сыны – это цис-транс изомерические спирали Кундалини, которые при сжатии формируют спираль в $\pm 2,5$ оборота (табл.357).

Великий День (или День вне Времени по календарю цивилизации Майи) связан с короткодействием $r_4 \cdot r_2 = 10^{14} \cdot 10^{-1} = 10^{13}$ в Недрах Рупы.

Ядерно-слабый взрыв спирали Кундалини в Недрах Рупы вновь формирует в этих Недрах Арупу (энергия возвращается в Лоно Матери).

Процесс возвращения в Лоно Матери протекает в условиях ядерных взрывов и логарифмических волн, а в результате появляются Великие Воды (табл.358).

Формирование Единых Вод Космоса ядерным взрывом

Процессы	Логарифмическое сжатие в Рупе		Ядерный взрыв и формирование Арупы		Великие Воды Космоса
Потенциалы	$\pm[2,5-(-2,5)](\lg \rho_4 \rho_2=13)$ ± 65		$10^{2,5-(-2,5)} \cdot 10^{13} = 10^{18}$		$10^{18} \Leftrightarrow \lg 10^{18} \equiv 18$
Пять фаз Великих Вод	I	II	III	IV	V
	(9+0)	18	36	72	144
	Изменение плотности сред ядерного вещества				
Отношение	$144 : (9+0) = 16 \equiv \sqrt{qq^*}$				

В результате возникают **Капли Великих Вод**, поверхность которых заряжена электричеством (табл.358).

**

Продолжаем анализ Станцы III, п.11, [3].

Когда она охлаждается, она становится сияющей.


Изменение энергетической плотности ядерного вещества в Капле Великих вод связано с **взаимодействием в них фотон-фононов и их вакансий**.

В поле субструктуры (9+0) материнской биоклетки, носителя **ядра** Периодической Системы Геномов, пульсирующего как

$$\begin{array}{|c|c|} \hline 6 & 9 \\ \hline 9 & 6 \\ \hline \end{array}, \quad (1019)$$

возникают гравитационно-слабые эндотермические взаимодействия, вызывающие в возмущённой люминесцентной среде **охлаждение и люминесцентное свечение** (табл.359).

Охлаждённые люминофоры геномов

Характеристика полей	Возмущённая ядром геномов среда ядерного вещества	Эндотермия взаимодействия	Зародыш жидкой фазы
Колебание жидкого ядра геномов	$\int_6^9 \varphi d\varphi - \int_9^6 \varphi d\varphi = 45$	$\lg \rho_1 \cdot \rho_2 = -25$	$\frac{45}{-25} = -1,8$
Описание диаграммой Тянь-Цинь	 ${}_{2}^{64} \int_2^{64} \varphi d\varphi \cdot \left(\pm \int_0^1 \varphi d\varphi \right) = \pm 1023 \equiv 45(-25) + 2 = 32^2 - 1.$		

В глубинах морей и океанов, где нет фотосинтеза, возникает Жизнь панцирных люминофоров.

425. Вектор-Пирамида "Вавилонская Башня": электромагнетизм Капли Жизни

Великие Воды формируют Океан Жизни, в каждой Капле которого протекают эндо-экзотермические взаимодействия:

К эндотермии	К экзотермии	(1020)
$k_1 = \lg \rho_2 \rho_1 + \lg \rho_4 \rho_3 = -25 + 26 \equiv 1$	$k_2 = \lg \rho_4 \rho_3 + \lg \rho_2 \rho_1 = 26 - 25 = 1.$	

Термодинамика экзо-эндотермических переходов в Океане Жизни и каждой Капли Жизни направлена на сохранение энергетического Равновесия.

Нашей науке принцип сохранения равновесия известен. Всякая система, выведенная из состояния равновесия, стремится вернуться в состояние равновесия.

Эволюция в Океане и Капле Жизни связана с переходами между пятью переходами в Капле-Ядре Великих вод (табл.355, табл.360).

Структура Капли Жизни в эндо-экзотермии (1020)

Капля	Уровни	I	II	III	IV	V
	Потенциалы	$(9+0)k_1$	18	36	72	$144k_2$
	Пульсация по уровням	$9 \equiv 3^2$	Кундалини в Свете: $k_0 = \frac{18 \cdot 36 \cdot 72}{18 + 36 + 72} \equiv 36^2 \cdot \frac{7}{2}$			$144 \equiv 12^2$
Пульсация Капли Жизни и Океана Жизни		Вне инверсии			С инверсией	
		$9 \Leftrightarrow k_0 \Leftrightarrow 144;$ $1 \Leftrightarrow \frac{k_0}{9} \Leftrightarrow \left(16 = \frac{144}{9}\right)$ $1 \Leftrightarrow 72 \cdot 7 \Leftrightarrow 16$ $1 \Leftrightarrow 31,5 \cdot 16 \Leftrightarrow 16,$ где $c \equiv \pi \equiv 315$			$9 \Leftrightarrow k_0 \Leftrightarrow 1/k_0 \Leftrightarrow 144$ $9 k_0 \Leftrightarrow k_0^2 \Leftrightarrow 1 \Leftrightarrow 144 \cdot k_0$ $0 \Leftrightarrow (144 \mp 9) \cdot k_0 \mp k_0^2 - 1$ $0 \Leftrightarrow k_0(144 \mp 9 \mp k_0)$ $-1.$	

Великая Цивилизация выбрала код-шифр Библии исходя из отношения потенциалов перехода от пятого к первому уровню Капли Жизни (табл.360):

$$\text{Ключ-шифр Книги Бытия} \equiv \frac{9+0}{144} \sqrt{\rho_3} = \frac{10^6}{16} = 62500. \quad (1021)$$

В главе 21 Евангелия от Иоанна описывается, как Иисус Христос подсказал Апостолам, ловившим рыбу, как ловить рыбу, и Апостолы поймали 153 рыбы.

Иисус Христос поставил задачу не только перед Святыми Апостолами, но и перед нами, **ныне живущими**, ибо Он говорил о сумме (табл.360):

$$144 + (9+0) = 153 \equiv \tau \cdot \lg \left(\frac{\rho_3 \rho_4}{\rho_1 \rho_2} = 10^{51} \right) \equiv 3 \cdot 51. \quad (1022)$$

Он знал, что люди придут к анализу суммы-разности потенциалов в Капле Жизни:

$$\psi = (144+9) - (144 - 9) = 18, \quad (1023)$$

и поймут определяющую роль жидких сред в зарождении и Эволюции биологической Жизни.

При инверсионной пульсации в Жидких Средах возникает антирезонансная пульсация (табл.360):

$0 \Leftrightarrow (144 \pm 9) \cdot k_0 \mp k_0^2 - 1 \equiv$ $18 k_0 \mp k_0^2 - 1 \equiv 18 \cdot 36^2 \cdot 7/2 \mp k_0^2 - 1 \equiv$ $0 \Leftrightarrow 63 \cdot 36^2 \mp k_0^2 - 1.$	(1024)
--	--------

В поле Света возникают сгустки-геномы. Станца III, п.13, [8] описывает их появление так:

"...Сыны её (Капли Жизни) разворачиваются и сокращаются Сами собой и своими Сердцами (1024):

$63 \cdot 36^2 \Leftrightarrow \pm(k_0^2) + 1 \equiv [36^2 \cdot (7/2)^2] + 1$		
$63 \Leftrightarrow 36^2 \cdot (7/2)^2 + 1/36^2 \equiv$		
Геномы	Кундалини в поле Света	Зародыш света.

(1025)

Они вмещают Беспредельность".

Отношение числа зародышей света в Кундалини Света становится равным (1025):

$$36^2(7/2)^2 : 1/36^2 = 36^4(7/2)^2 \equiv 36^3 \cdot 63 \cdot 7. \quad (1026)$$

Беспредельность Зародышей Света, возникающая при инверсионной пульсации (1026), при попадании в эту Беспредельность волны-частицы Света:

$$36^3 \cdot 63 \cdot 7 \cdot (m_c = E_\lambda \equiv 1/\pi = 1/315) = 36^3(1,4=3,5/2,5), \quad (1027)$$

формируют магнетизм $1,4 \equiv \rho_2 \sqrt{\mu\mu^*}$, и отношение 3,5 витков спирали Кундалини при сжатии.

Сама Беспредельность – это Свет в трёхмерном Пространстве Единого Космоса.

**

При пульсации **Великих Вод** – носителей биологической Жизни, инверсионная пульсация (излучение) сменяется обычной (табл.360), и эта смена является источником появления магнетизма и электромагнетизма (1026):

$$\frac{\text{Инверсия}}{\text{Внеинверсии}} \equiv \frac{36^3 \cdot 63 \cdot 7}{31,5 \cdot 16} \equiv 36^2 \cdot 2,25 \cdot 14 = 36^2 \cdot 31,5, \quad (1028)$$

где: $14 \equiv \sqrt{\mu\mu^*}$ (магнетизм);

$2,25 = \rho_2^2(15^2 \equiv \sqrt{qq^*} + \sqrt{\mu\mu^*}) \cdot 1/2$ – электромагнетизм.

Цис-транс изомерический потенциал ($30 = 15 - (-15)$) электромагнетизма Шумеры обожествляли как бога и богиню Луны, а изменение потенциалов электромагнитного поля представили как **вектор – Пирамида "Вавилонская Башня"** [1].

426. Проявление люминофор–вакансий светом Мысли

Пульсирующий фотон-фонон ограничен в своей пульсации периодичностью вращения точечного участка волны света:

Пульсация волны-частицы света
$\frac{m_c}{T_0} = \frac{1}{16\pi} \equiv \frac{1}{16 \cdot 315} \Leftrightarrow \frac{1}{315} = \frac{1}{\pi} \equiv E_\lambda.$

(1029)

Эти частицы-волны кванта Света дискретно попадают в магнитно-электромагнитное поле света (1028, 1029):

$$36^2 \cdot 31,5 \cdot \left(\frac{m_c}{T_0} \Leftrightarrow E_\lambda \right) = 36^2 \left(\frac{31,5}{16 \cdot \pi} \Leftrightarrow \frac{31,5}{\pi} \right) \equiv$$

$$36^2 \left(\frac{0,1}{16} \xrightarrow{k_1} 0,1 \right) \quad \text{при } \pi = 315 \quad (1030)$$

где коэффициент k_1 перехода равен 16:

$$k_1 = 36^2 \cdot 0,1 : \frac{36^2 \cdot 0,1}{16} = 16 \equiv T_0^2. \quad (1031)$$

"12. Тогда Свабхават посылает Фохат чтобы отвердить Атомы (Космогенезис, [3], Станца III).

Тогда в волнах Света (фононах) возникают частицы света (фотоны).

Возникают люминесцентные и солнечные фотон-фононы, где потенциалы фотон-фононов формируют электрическое поле при электромагнитных взаимодействиях (табл.361).

Таблица 361

**Фотон-фононное электричество
при электромагнетизме**

Свет	Люминесцентный		Солнечный		Максимум
	Фотоны	Фононы	Фотоны	Фононы	
Число фотон-фононов	$T_0 : 0,002$ $8 \cdot 10^3$	$T_0 : 0,008$ $2 \cdot 10^3$	$T_0 : 0,002$ $8 \cdot 10^3$	$T_0 : 0,002$ $8 \cdot 10^3$	$8 \cdot 2 \cdot 8 \cdot 2 \cdot 10^{12}$ $= 16^2 \cdot 10^{12}$ $= qq^* \cdot p_3.$
Примечание	←Фохат→ фотоны	← Свабхават → фононы		←Фохат→ фотоны	

И Книга Дзиан [3] продолжает Станцу III, п.12:

"Каждый есть часть Ткани" где потенциалы приведённой пульсации фотон-фононов (табл.361):

$$\frac{8 \cdot 10^3 \cdot 2 \cdot 10^3 \cdot 8 \cdot 10^3 \cdot 2 \cdot 10^3}{(8+2+8+2) \cdot 10^2} = 12,8 \cdot 10^9 \equiv 128 \cdot 10^8 \equiv \sqrt{2}^{14} \cdot 10^8. \quad (1032)$$

Отражая, подобно зеркалу, "Самосущего Владыку" (то есть волны вечной тьмы из метagalактики), каждый, в свою очередь, становится Миром.

Становление Мира из микро-макро полей Единого Космоса связано с инверсионной пульсацией (1032) и наличием между пульсирующими компонентами пятеричной связи:

$$5^6 \sqrt{2}^{14} \cdot 10^8 \Leftrightarrow \frac{1}{5^6 \sqrt{2}^{14} \cdot 10^8}. \quad (1033)$$

В Глубинах Единого Космоса возникает **Божественная Космическая Мысль Создателя:**

$$1 \Leftrightarrow 5^{12} \cdot 2^{14} \cdot 10^{16} = 2^2 \cdot 10^{28} \equiv T_o \cdot 10^{28}, \quad (1034)$$

которая является Носителем фотон-фононов.

В Чакре Третий Глаз и её Подобиях жидких средах возникает биоток $J = 10^{-4}$ А.

Пульсируя в резонансно-антирезонансном режиме, поверхностная волна Арупы-Рупы становится волной-носителем Космической Мысли:

Рождение Космической Мысли (1034)	(1035)
$\rho^* \equiv T_o \cdot 10^{28} \cdot (T_o + \tau) \cdot (J^2 = 10^{-8} \text{ А}) = 28 \cdot 10^{20}.$	

Попадая во тьму люминофор–вакансий, космическая Мысль заполняет вакансии светом:

$$10^{-20} \cdot \rho^* = 28 \equiv \sqrt{\rho \rho^*}. \quad (1036)$$

427. Пульсация оболочки ядра

Созревая в Глубинах Лона Матери, любой **Зародыш-Плод** в Семени дышит через **Чакры Тонкой Энергией Праны**.

Дыхание Чакрами сохраняется и после рождения, приобретая форму **Медитации**, где мы Чакрами вдыхаем Тонкую Энергию Космической Мысли (1035).

При медитации семеричность гравитационных полей сохраняется (табл.362).

Таблица 362

Дыхание Чакрами

<i>Оеаоһоо</i>		<i>О</i>	<i>е</i>	<i>а</i>	<i>о</i>	<i>һ</i>	<i>о</i>	<i>о</i>	-
Солнечный ряд		1	2	3	4	5	6	7	8
Лунный ряд		7	6	5	4	3	2	1	0
Свето-Датель		8	8	8	8	8	8	8	8
Изомерия Чакр	Цис	7/4	7/2	7	14	28	56	115	224
	Транс	112	56	28	14	7	7/2	7/4	7/8
Магнетизм (произведение)		14 ²	14 ²	14 ²	14 ²	14 ²	14 ²	14 ²	14 ²
Пульсирующая оболочка		$\frac{\text{Чакры} \equiv 8 \cdot 14^2}{\text{Свето} - \text{Датель} \equiv 8 \cdot 8} \equiv 49 \cdot \left(\int_0^1 \varphi d\varphi \Leftrightarrow \int_1^0 \varphi d\varphi \right).$							

Чакры функционируют точно также как и лёгкие: их **оболочка** расширяется-сжимается, формируя вдох-выдох:

Дыхание Чакрами	
Вдох	Выдох
$49 \cdot \int_0^1 \varphi d\varphi = 49 \cdot \frac{1}{2}$	$-49 \cdot \frac{1}{2} = 49 \cdot \int_1^0 \varphi d\varphi$

(1037)

428. Кундалини под оболочкой Чакр. Живые магниты

Дыхание Чакрами происходит за счёт поглощения-излучения молочно-белых спиралей Кундалини (табл.363).

Таблица 363

Постоянная дыхания Чакрами

Чакры	<i>О</i>	<i>е</i>	<i>а</i>	<i>о</i>	<i>h</i>	<i>о</i>	<i>о</i>	-
Поглощение (вдох)	5/4	5/2	5	10	20	40	80	160
Излучение (выдох)	112	56	28	14	7	7/2	7/4	7/8
Постоянная Чакар	140	140	140	140	140	140	140	140.

Собственно чакры обозначены буквами *Оеаоhоо* (табл.363). **Чакр Семь.** Восьмое поле, у которого солнечный потенциал равен 8, а лунный нулю (табл.362), характеризует поступление Свето-Дателя в поле семи Чакр.

Частота пульсации на входе энергии в чакры в семь раз превышает частоту каждой из семи Чакр в отдельности (табл.364).

Таблица 364

Баланс поглощения Космической Мысли чакрами

Структура	Семь Чакр							Область поглощения	
	<i>О</i>	<i>е</i>	<i>а</i>	<i>о</i>	<i>h</i>	<i>о</i>	<i>о</i>	Солнечный	Лунный
Свето-Датель	8	8	8	8	8	8	8	$7 \cdot 8 \Leftrightarrow 0$	
Магнетизм	14^2	14^2	14^2	14^2	14^2	14^2	14^2	$7 \cdot 14^2 \Leftrightarrow 0$	
Оболочка	49	49	49	49	49	49	49	$7 \cdot 49 \Leftrightarrow 0$	
Постоянная Чакр	140	140	140	140	140	140	140	$7 \cdot 140 \Leftrightarrow 0.$	

Чакры поглощают Космическую Мысль, обладающую цис-транс изомерией.

В условиях **антирезонанса** Космическая Мысль будет обладать потенциалом, равным $2\rho^*$; при резонансе – минус $(\rho^*)^2$, **формируя антирезонансную оболочку и расщепляющуюся ветвь Кундалини под оболочкой** (табл.365).

Таблица 365

Результат поглощения Чакрами Космической Мысли

Космическая Мысль в изомерии пульсации	Антирезонанс			Резонанс		
	Цис-	Транс-	Результат	Цис-	Транс-	Результат
	ρ^*	$(-\rho^*)$	$2\rho^*$	ρ^*	$(-\rho^*)$	$2\rho^*$
$\frac{\text{Чакра(табл.361)}}{\text{Космическая Мысль}}$	$\frac{7(8+14^2+49+140)-(T_0+\tau)=K}{2\rho^*}$ $\frac{27 \cdot 44}{56 \cdot 10^{20}} = 49 \cdot 10^{-20}$ <p>Оболочка</p>			$\frac{K}{-2\rho^*} = \frac{2744}{-28^2 \cdot 10^{40}}$ $-3,5 \cdot 10^{-40}$ <p>Кундалини</p>		
Живые магниты Памяти	$-\mu^* = \frac{49 \cdot 10^{-20}}{-3,5 \cdot 10^{-40}} = 14 \cdot 10^{20}.$					

Оболочкой Чакр является поверхность, насыщенная вакансиями в люминофоре (таб.365).

Оболочка Чакр формируется за счёт поглощения энергии Космической Мысли в условиях антирезонанса. При резонансном состоянии Космической Мысли под оболочкой Чакр возникает расширяющаяся спираль Кундалини в 3,5 оборота спирали (табл.365).

Расширяющиеся вихри Кундалини под оболочкой чакр формируют в живых магнитах движение жидких сред, преодолевающих гравитацию. Например, движение крови от ног к голове (табл.365).

Движение жидких сред, генерируемых Чакрами, формирует все микро-макро органы живого, создавая живое-целое, например Человека.

429. Нерушимое Единство Космической Мысли и нашего Эго

3. Когда Единый (Космос) становится Двумя (1/3 Материи и 2/3 Тонкой Энергии), Троичный проявляется (вакансии люминофора заполняются светом) и Трое Едины; это наша Нить, о Лану, Сердце Человека-Растение, называемое Саптапарма ([3]. Станца VIII).

В соответствии с пропорциями самого Единого космоса, оболочка чакры делится, создавая Сердце и сохраняя космический фон (табл.366).

Таблица 366

Формирование Сердца из оболочки Чакры

Распределение энергии	Единый Космос	Тонкая Энергия	Свет	Энергия Материи
Во Вселенной	1	2/3	$\pi \equiv 315$ \Leftrightarrow	1/3
В Оболочке Чакры	Оболочка: $49 \cdot 10^{-20}$	Гравитация $28 \cdot 10^{-20} = \rho$	Фон $(T_o + \tau) \cdot 10^{-20}$	Магнетизм: $14 \cdot 10^{-20} = \mu$
Сорок Два Божества Сердца	$\rho + \mu = (28 + 14) \cdot 10^{-20} = 42 \cdot 10^{-20}$			

Пульсация в ритме, задаваемом точечным участком волны света ($T_o^2=16$), чакры, а затем и сердце формируют на своих оболочках электрические заряды, сжимающие оболочки (табл.367).

Для того, чтобы популярно подсказать нам ритмику пульсации Единого Космоса и органов нашего тела, великая Цивилизация выделила 42 Божества для Сердца, 10 Божеств в область Шеи и 58 Божеств поместила в голову Человека.

**Единая пульсация чакр,
сердца, шеи и мозга в ритме T_0^2**

Органы тела	Чакра	Сердце (42)	Шея (10)	Мозг (58)
	Расширение		Сжатие	
Потенциалы	$\frac{49 \cdot 10^{-20} \cdot q}{3,5 \cdot 10^{-40}} = 224$	$\frac{(\rho + \mu) \cdot q}{3,5 \cdot 10^{-40}} = 192$	$\frac{10 \cdot q}{2,5 \cdot 10^{-40}} = 80 \cdot 10^{-20}$	$\frac{(\rho + \mu + q)q}{6 \cdot 10^{-40}} = 128$
Состояние Кундалини	←— расширение —→		←сжатие→	←3,5+2,5=6→

Эту божественно-распределительную математику великая Цивилизация описала в книге Мёртвых и дала на проработку Даосьянам.

В Книге Мёртвых также описаны и фон вокруг тела человека, эквивалентный $(T_0 + \tau = 7) \cdot 10^{-20}$ (табл.366).

Описание фона вокруг Эго в Эфире Бордо проходит по двум сюжетным линиям:

- первые семь дней: потеря чувств координации и начало мучений воображением-памятью;

- последующие 49 дней – продолжение мучений воображением-памятью, но в условиях вновь приобретённого чувства координации.

В эти 49 дней формируется начало проявления (насыщения светом дырок-вакансий люминофора) (табл.368).

Космический фон, пульсируя вместе с оболочкой живого, формирует Кундалини и живые магниты чакр (табл.367, табл.368):

$$10^{40} \Leftrightarrow \frac{7/9}{3,5} \cdot (T_0^2 = 16) = 224. \quad (1038)$$

**Космический фон Эфира Бордо:
генератор реинкарнаций**

Формы Живого	Жизнь до (после) Жизни	Биологическая Жизнь
Фон эфира Бордо	$\frac{(7 \cdot 10^{-20})^2}{7 \cdot 10^{-20}} = 7 \cdot 10^{-20}$	$\frac{1}{7} 10^{20} \frac{7 \cdot 10^{-20}}{(7 \cdot 10^{-20})^2}$
Проявление оболочки	$(7^2 \Leftrightarrow 10^{40})^{\pm 1}$.	

Ритмика пульсации, заданная нашему Эго в **Жизни до Жизни** (1038), остаётся основополагающей и в биологической Жизни. Эту магнитоэлектрическую ритмику подхватывает оболочка расширяющейся Чакры (табл.369).

**Взаимосвязь форм Жизни
через электромагнитный резонанс**

Форма живого	Жизнь до Жизни (1038)	Жизнь: чакры (табл.367)
Потенциалы	$10^{40} \Leftrightarrow \frac{7^2}{3,5} \cdot T_0^2 \equiv 14 \cdot 16$ <i>свет</i> 224	$\frac{49 \cdot 10^{-20} q}{3,5 \cdot 10^{-40}} \equiv$ 224
Резонансный электромагнетизм	$224 = 14 \cdot 16 = \sqrt{\mu\mu^* \cdot qq^*}$ Информационный Мучитель грешного Эго.	

**

И чакры, и сердце работают в режиме расширения Кундалини, то есть при потенциале $3,5 \cdot 10^{-40}$ (табл.367).

С этим потенциалом энергетические потоки из недр Земли ломают её литосферу на блоки [6].

С потенциалом $3,5 \cdot 10^{-40}$ чакры и сердце перемещают жидкие среды в наших телах (цитоплазму биоклеток, кровь, серое вещество головного мозга, то есть все жидкие среды Земли и других живых сгустков Тянь).

Перекачка жидких сред через поле гравитации не только даёт возможность перемещать жидкие среды вверх, но и происходит в соответствии с законами расширения Вселенной (табл.370).

Таблица 370

Преодоление гравитации Жидкими живыми средами

Поле	Гравитация	Кундалини	Свет расширяющейся Вселенной
Потенциалы	$\rho = 28 \cdot 10^{-20}$	$3,5 \cdot 10^{-40}$	$= 8 \cdot 10^{20} \equiv \frac{c^3}{\omega_0^3} \cdot 10^{20}$

Излучателем света расширяющейся Вселенной является пульсирующее в ритме Дзиан–Воображение (табл.370):

$$q^* \cdot \left(\pm \int_0^1 \varphi d\varphi = \pm \frac{1}{2} \right) = 8 \cdot 10^{20}, \quad (1039)$$

которое великая Цивилизация называет Драконом Мудрости, ибо Воображение упорядочивает Хаос Мысли и Памяти.

*
**

Между расширяющимися Чакрами и Сердцем возникает разность потенциалов, эквивалентная потенциалу Цинь по Книге Перемен (табл.371).

Таблица 371

Формирование Цинь пульсации чакр и сердца

Изомерия	Цис			Транс		
Компоненты	Чакра	Сердце	Цинь	Цинь	Сердце	Чакра
Потенциалы (табл.367)	224	192	32	-32	192	224
Сжатие Цинь	32 × 2,5 = 80			-32 × 2,5 = -80		
	Свето-Датели.					

Небеса Цинь охватывают сгусток Тянь над его оболочкой - литосферой.

В небесах космические волны из метagalактики сгущаются с коэффициентом 2,5 как над Землёй [6].

*
**

В теле Человека переход от расширения к сжатию Кундалини выполняют 10 Божеств в области шеи, где переход к сжатию (табл.367) и расширению влечёт за собой продолжение расширения (табл.372).

Таблица 372

Роль Кундалини в переходах области шеи

Режим	Сжатие	Расширение	Отношение
Расширяющаяся область пульсации	$\frac{10 \text{ Божеств} \times q}{2,5 \cdot 10^{-40}} \equiv$	$80 \cdot 10^{20} \cdot 3,5 =$	$k_2 : k_1 = 3,5$
	$\frac{80 \cdot 10^{20} = k_1}{\text{свето-датель}}$	$280 \cdot 10^{20} = k_2$	Кундалини.

Спектральное излучение сгустка Тянь, пройдя небеса Цинь над сгустком, продолжает расширяться в Бесконечности трёхмерного Пространства Вселенных.

*
**

Пройдя область шеи **на пути от Сердца к Мозгу**, Кундалини совершила и расширение и сжатие, и её спираль совершила 6 оборотов.

С этим потенциалом Кундалини и поступает в Мозг, независимо от того, каким путём получен потенциал (табл.367):

Независимость потенциала Кундалини от формы процесса	
	(1040)
$6 \cdot 10^{-40} \equiv (3,5+2,5) \cdot 10^{-40} \equiv (3,5^2 - 2,5^2) \cdot 10^{-40} \equiv [3 - (-3)] \cdot 10^{-40} \equiv \dots$	

Из области шеи Кундалини (1040) поступает в Мозг.

*
**

Капля серого вещества мозга пульсирует в резонансно-антирезонансном режиме, оставаясь под сжатием за счёт электрического поверхностного заряда (табл.373).

Таблица 373

Пульсация Кундалини в сером веществе Мозга

Режим	Антирезонанс	Резонанс	Резонансная инверсия
$\frac{\text{Мозг}}{\text{Кундалини}}$	$\frac{(\rho + \mu + q) \cdot q}{6 \cdot 10^{-40}} \equiv$ 128 = $\sqrt{2}^4 = 64 + 32 - (-32)$	$\frac{(\rho \cdot \mu \cdot q) \cdot q}{6 \cdot 10^{-40}} \equiv$ $\frac{1}{3} \cdot 14^2 \cdot 16^2 \cdot 10^{-40}$	$\frac{6 \cdot 10^{-40}}{(\rho \mu q) q} \equiv$ $3 \cdot 14^{-2} \cdot 16^{-2} \cdot 10^{40}$
Примечание	Самосущие волны; Тянь-Цинь	Сгусток вакансий	Сгусток света.

Пульсация резонансных **сгустков вакансий и света** приводит к выводу:

5. Корень остаётся, Свет остаётся, Сгусток остаётся, и, всё же, Оеаоһоо Един ([3]. Станца III).

Антирезонанс (табл.373) в Арупе метagalacticких волн ($\tau\sqrt{Sec\pi/4}$) формирует сгусток с потенциал–эквивалентом объёму великой Пирамиды:

$$V_{II} = \frac{1}{3}a^2H \equiv \frac{1}{3} \cdot 8 \cdot 2^{7/4} \equiv \frac{128}{\tau\sqrt{Sec\pi/4}} = \frac{128}{3 \cdot 2^{1/4}} = \frac{1}{3}8 \cdot 2^{2-1/4}. \quad (1041)$$

430. Дзиан–пульсация Света в воде

На погружённое в жидкость тело действует выталкивающая сила, равная весу погруженного тела (закон Архимеда).

"3. Тьма излучает Свет, и Свет роняет одинокий Луч в Воды, в Глубину Лона Матери" ([3]. Станца III), что вызывает неравновесие (1018, табл.374).

Таблица 374

Свет в воде

Молекулярный вес воды	Свет - Арупа	Выталкивающая сила	
		Резонанс	Антирезонанс
18 \equiv H ₂ O	$\Leftrightarrow 3 \equiv \tau \equiv$ $\Leftrightarrow m_c c + \epsilon_0 \mu_0 c^2 + E_\lambda c$	18/3 \Leftrightarrow 3/3 6 \Leftrightarrow 1	18 - 3 \Leftrightarrow 0 15 \Leftrightarrow 0.

По отношению к Свету в воде возникнет выталкивающая сила, связанная с динамикой пульсации Света (табл.375).

Таблица 375

Сила, "выталкивающая" Свет из воды

Неравновесие	Сумма	Разность	Дзиан–пульсация
6 \Leftrightarrow 0 15 \Leftrightarrow 1	6+15 \Leftrightarrow 0+1 21 \Leftrightarrow 1	6 - 15 \Leftrightarrow 0 - 1 $\pm 9 = \pm 1$	$2 \int_0^1 \varphi d\varphi \Leftrightarrow 2 \int_6^{15} \varphi d\varphi$ $\pm 1 \Leftrightarrow \pm 189.$

Дзиан–пульсация Света в жидких средах является Творцом живого Космогенезиса (табл.375).

Приведённым потенциалом пульсации Света в воде будет являться инверсионный потенциал неравновесной системы (табл.375):

$$\boxed{0 \Leftrightarrow \frac{189-1}{6 \cdot 15} \Leftrightarrow \frac{6 \cdot 15}{189+1}} \rightarrow \boxed{188 \cdot 190 - 6^2 \cdot 15^2 = 27620 \Leftrightarrow 0}_{\text{антирезонанс}}, \quad (1042)$$

где $6^2 \cdot 15^2 = 90^2 \equiv 8100$ является квадратом потенциала Арупы в полях взаимодействий света:

$$8100 \equiv 34 \cdot 10^2 \equiv +\tau^{T_0} \cdot \rho_5^2. \quad (1043)$$

431. Свойства воды с позиции пульсации водородных связей

Дзиан–пульсация Арупы (Тонкая Энергия), Света и Рупы (Энергия Материи) в воде приводит к изменению энергии связи между водородом и кислородом, и **требует определения молекулярного веса воды с учётом этих изменений** (табл.376).


Биологическое Живое приобретает все свои Свойства-Сочетания за счёт пульсации Арупы-Рупы в воде (табл.376).

Подобия пульсации воды сохраняют все пять фазовых состояний Единого Космоса (свет, газы, жидкие и твёрдые тела, плазма), и **Жизнь до Жизни возрождается в Эфире** при формировании электрического поля, подобно кислороду:

$$\Leftarrow O_{16} \Rightarrow \equiv \sqrt{qq^*} = 16, \quad (1044)$$

где $q^* = 16^* \cdot 10^{-20}$ – **Дракон Мудрости или Воображение.**

**Динамика изменения молекулярного веса воды
в пульсирующем поле Арупы-Рупы (374)**

Поля	Вода		Арупа-Рупа	Разности квадратов
	Формула	Молекулярный вес		
Расширение	$H_1 \leftarrow O_{16} \rightarrow H_1$	$16 + 2 = 18$	$\Leftrightarrow 3$	$18^2 - 3^2 = 315$
Равновесие	$H_1 \leftrightarrow O_{16} \leftrightarrow H_1$	$16 + 1 - 1 = 16$	$\Leftrightarrow 3 + 2 = 5$	$16^2 - 5^2 = 231$
Сжатие	$H_1 \rightarrow O_{16} \leftarrow H_1$	$16 - 2 = 14$	$\Leftrightarrow 3 + 4 = 7$	$14^2 - 7^2 = 147$
Формы пульсации Арупы-Рупы в воде	Антирезонанс (суммы)	$18 + 16 + 14 = 48$	$\Leftrightarrow 3 + 5 + 7 = 15$	Зародыш $3,2 = 48/15$
	Резонанс (произведение)	$18 \cdot 16 \cdot 14 = 4032$	$\Leftrightarrow 3 \cdot 5 \cdot 7 = 105$	 $64^2 - 8^2 = 4032$
	Приведённая (отношение)	$\frac{4032}{48} = 84$	$\Leftrightarrow 7 = \frac{105}{15}$	$1 \Leftrightarrow 12 = \frac{84}{7}$ $0 \Leftrightarrow 77 = 84 - 7$
Коротко-действие $\lg p_4 p_2$	$0 - 1 \equiv -1 \Leftrightarrow 77 - 12 = 65 \equiv 5 \cdot (13 \equiv \lg p_4 p_2)$ Тринадцати лунный Календарь цивилизации Майи.			

**

Попытаемся дать беглый анализ свойств воды (табл.376).

**

Наличие Рупы-Арупы в воде (как в нас души и тела) приводит к **Семеричности полей Космоса и магнетизму за счёт цис-транс изомерии:**

Пульсация	Семеричность	Магнетизм	(1045)
$\frac{\text{Резонанс}}{\text{Антирезонанс}} \equiv \frac{3 \cdot 5 \cdot 7}{3 + 5 + 7} \equiv$	$7 \Leftrightarrow -7$	$\sqrt{\mu\mu^*} = 14 = 7 - (-7)$	

Религии, созданные иудеями, начинают отсчёт четырнадцати стандартных колен родов Израилевых, а наука использовать четырнадцать единиц по шкале рН.

*
**

Любое живое (в том числе и личности в коленах Израилевых) обладает оболочкой, которая является следствием инверсии Арупы-Рупы в воде (1045):

Арупа-Рупа	Вода (табл.376)	Пальма	Свет	(1046)
$7 \Leftrightarrow -1/7;$ $49 \Leftrightarrow -1.$ Оболочка	$\frac{84 \Leftrightarrow -84}{49 \Leftrightarrow -1} \equiv$ $\frac{84 \Leftrightarrow -84}{48 \Leftrightarrow 0}$	$\pm \frac{84}{48} = \pm \frac{7}{4}$ $\Leftrightarrow \infty$	$18^2 - 3^2 =$ $315 = \pi \equiv c.$	

Великая Цивилизация берёт за Единицу своего Счисления пальму, а скорость света связывает с числом π , равным 315 (1046, табл.376).

Инверсия Арупы-Рупы в воде формирует волну, кратную $\lambda = 4800\text{\AA}$, которая делит синюю и голубую области спектра солнечного белого света:

$$\frac{\text{Оболочка} \equiv |49 \Leftrightarrow -1| \rightarrow |48 \Leftrightarrow 0|}{\text{Волна} \equiv \lambda = 4800\text{\AA}} = 10^{-2} \frac{1}{\text{\AA}} \equiv \rho_2 \frac{1}{\text{\AA}}. \quad (1047)$$

Возникает Чакра Третий Глаз – носитель Жизни Разума.

*
**

Дзиан–пульсация делит резонансно-антирезонансный приведённый потенциал воды пополам (табл.376).

$$\pm 84 \left(\int_0^1 \varphi d\varphi = \frac{1}{2} \right) = \pm 42. \quad (1048)$$

Возникают 42 Божества Сердца. Ещё одно Дзиан деление в сердце и появляется левизна–правизна всех его компонент.

$$\pm 42 \left(\pm \int_0^1 \varphi d\varphi = \pm \frac{1}{2} \right) = \mp 21. \quad (1049)$$

Сердце начинает работать синхронно с полярными вихрями над сгустком света.

**

Появление в воде Арупы+Рупы приводит к магнетизму воды (табл.376):

$$(\mu\mu^* \equiv 14^2) - (T_o + \tau = 7)^2 = 147 \equiv 146,5 + \int_0^1 \varphi d\varphi, \quad (1050)$$

где при $(T_o + \tau = 7)$ формируется оболочка Капли, а потенциал 146,5 настолько важен, что Строители великой Пирамиды берут его как стандартную высоту для всех 2,5 миллионов блоков, из которых построена Пирамида.

**

При антирезонансной пульсации Арупы-Рупы в воде $(48 \Leftrightarrow 15)$ возникает Зародыш небес Цинь с потенциалом 3,2 (табл.376).

Зародыш небес Цинь обладает цис-транс изомерией и описан алгебраически символами *Oeaο* из слова *Oeaοhoο*:

Зародыш небес Цинь (структура)									
Изомерия	Цис-				Транс-				Родной
Формовщики	\overline{O} 1	\overline{e} 2	\overline{a} 3	\overline{o} 4	\overline{o} 4	\overline{a} 3	\overline{e} 2	\overline{O} 1	
Потенциалы	1,6				-1,6				3,2 = 1,6 – (-1,6).



(1051)

**

Применяя диаграмму Тянь-Цинь, великая Цивилизация учитывала отношение излучателя и возмущённой излучателем среды:

$$\frac{\text{Колебания среды}}{\text{Пульсация излучателя}} = \frac{\int_{n-1}^{n+1} \varphi d\varphi = 2n}{n} = 2. \quad (1052)$$

Состояние, когда частота излучателя вдвое меньше частоты среды, можно записать с помощью диаграммы Тянь-Цинь:

Тянь-Цинь		
Тянь во Вселенной (среда)	Переход	Рупа Света (излучатель)
 $\frac{8}{64} \equiv 64^2 - 8^2 = 4032 \Leftrightarrow$	$-1 \Leftrightarrow$	$256 = 16^2 - 4^2 \equiv \frac{16}{4}$ 

(1053)

В поле отношений потенциальной энергии к кинетической с потенциалом, равным 2:1, и эквивалентным отношению сред к излучателю в средах ($8:4 = 2$), эффективность короткодействующих взаимодействий увеличивается до квадрата первоначальной величины (1053):

$$4032/256 = 168 \Leftrightarrow -1 \quad \text{и} \quad 169 \equiv 13^2 \Leftrightarrow 0, \quad (1054)$$

где $13^2 \equiv (\lg \rho_2 \rho_4)^2$.

**

Описывая Единый Космос с позиции тринадцати лунной пульсации необходимо иметь в виду, что **День вне времени** протекает в полях Тонкой Энергии, а 364 дня одного года – в поле Материи (табл.377).

Митоз биоклетки как Форма реинкарнаций

Формы Энергии	Тонкая Энергия	Свет	Материя	Реинкарнации
Части от Космоса	$\frac{2}{3}$		$\frac{1}{3}$	$\frac{2}{3} \cdot 13 \Leftrightarrow \frac{1}{3} \cdot 13^2$
Короткодействие	$13^2 = (\lg \rho_2 \rho_4)^2$		$13 = \lg \rho_2 \rho_4$	$2 \Leftrightarrow 13$
Митоз	$13 - 2 = (9+2) \Leftrightarrow 0.$			

**

Митоз связан с короткодействием взаимодействиями как разность квадратов потенциалов:

Митоз при короткодействии					(1055)
Короткодействие	Митоз биоклетки	Сине-голубая граница	Оболочка	Храм Парфенон.	
$(\lg \rho_2 \rho_4)^2 = 13^2$	$(9+2)^2 = 11^2$	$4800 \text{Å} \cdot \rho_2^2$ $48 \Leftrightarrow 0 \Leftrightarrow 49 \Leftrightarrow -1$	$(T_0 + \tau)^2 \equiv$		

Эпюрой, описывающей поле 1055, является Храм Парфенон, колонны которого имеют угол наклона.

Углы наклона колонн по углам треугольника–основания Парфенона таковы, что вектора–продолжения колонн пересекутся на высоте 24 километра, а углы наклона колонн вне углов Парфенона дают пересечение на высоте 48 километров.

Отношение $48 : 24 = 2 : 1$ является отношением потенциальной и кинетической энергий.

**

Не будем Эгоцентричны, и не будем предполагать, что Строители Парфенона знали меньше, чем мы думаем.

Наша задача – изучение Наследия великой Цивилизации.

Послесловие

Православная Церковь пришла к выводу: **Неисповедимы пути Господни, но понять плоды Его Творенья можно.**

**

Бог, Господь, Учитель, Носитель Космической Мысли, ... никогда не делал Тайны из маршрута Своих Путей.

Пути Господни носят конкретное название: Эволюция.

От тьмы Корня к Свету – от Света к Сгустку. Затем Эволюция Сгустка: Камень – Металл – Растение – Священное Животное – Ману-Мыслитель (мы с Вами, уважаемый Читатель) – Человек Воли и Йоги или Божественный Человек.

Эволюция нужна Господу для победы Жизни над Смертью и распространением Жизни по Пространству Единого Космоса.

Человек – носитель Мысли и инструмент Господа в процессе распространения Жизни, о которой Он должен знать Всё в последовательности причинно-следственных связей.

Из предназначения Человека вытекает и Смысл наших жизней: наиболее полное познание причинно-следственных связей Космических явлений.

На уровне Ману-Мыслителя **познание причинно-следственных связей** называется испытание **Кармой**.

На уровне грядущего нам на смену **Человека Воли и Йоги** (Теогенезис, [4]), владение методологией комбинаторики причинно-следственных связей будет являться **основой творческого Божественного Созидания**.

В этом Божественно-человеческом созидании при ясности маршрута Эволюции будет использована бесконечная множественность Форм Энергий.

Выбор Богочеловеком необходимых для Жизни Форм Энергии продолжается данной нам Свободой Воли.

**

Эволюция Созидания протекает во взаимодействиях Всего, Всегда, во Всём.

Энергетика взаимодействий точна и не терпит приближений, как на уровне Эмоций Тонких Энергий, так и на уровне материальных Сгустков.

С позиции Точности существующая методология познания Единого космоса нашим социумом ниже всякой критики.

Язычество познаёт причинно-следственные связи Космоса в Ощущениях, далёких от точности, но в интересах общины.

Магия (моя Власть) отличается от Язычества подменой общинных интересов **личными**. Но в познании причинно-следственных связей **Ощущение остаются доминирующим фактором** при усилении влияния символизма и письменности.

Религия подменила процесс познания причинно-следственных связей **Верой, рождающей в зависимости от влияния окружающей среды то Добро и Красоту, то звериный оскал Фанатизма.**

Религиозные Догмы по своей изначальной сущности отрицают узловые моменты процесса эволюционного Созидания Вселенной.

Эти догмы даны массам для копирования и тиражирования в различных жизненных ситуациях и в то же время священнослужители берут на себя смелость трактовать религиозные догмы, добиваясь кажущегося успеха.

Церковь и Господь – не одно и то же, и поэтому Иисус Христос гнал менял из Храма.

Наука, работая в Приближениях, далека от точности Взаимодействия.

Современная наука, базируясь на материализме, отвергает Космологию Метанауки, то есть отвергает две трети Реалий Единого Космоса, а по одной трети в ракурсе Приближений с чванливостью снобизма учит человечество как ему жить.

В отличие от Религии, **Наша Наука лишена ментальной цели, а поэтому беспринципна:** есть заказчик – дам оружие, а хотите – будем разоружаться. Как скажет Капитал во Власти.

*
**

Человеческий фактор творящий сегодня **языческие Культы, магические Мистерии, религиозные Конфессии, и более двадцати тысяч различных направлений в нашей науке,** должен быть объединён и переориентирован на изучение и использование в деле создания базы научно-технического прогресса – точных, божественных знаний о взаимодействиях.

Наука о взаимодействиях должна стать базисной. В противном случае любые объединения, например науки и религии, будут подобны скрещиванию ужа с ежом. Кроме двух метров колючей проволоки получить ничего нельзя.

*
**

Моя работа Единый Космос во взаимодействиях является первой и пока единственной работой, в которой даётся точное описание Эволюции Созидания.

Единственной в Истории цивилизации, ныне живущей на Земле.

Моя работа Единый Космос во взаимодействиях **впитала в себя Знания великой Цивилизации,** рождённой на Земле и ушедшей в Космос.

Работы великой Цивилизации включали в себя **Знания о Космосе предшествующих Цивилизаций (Отцов великой Цивилизации),** также ушедших в Космос.

Сегодня выбор за нами: либо погибнуть в очередном геокатаклизме, либо учиться и спасти себя и Мать-Землю. Выбор за нами, и у нас Свобода воли.

*
**

Гуманитарии говорят о трудности понимания моей теории Единого Космоса из-за наличия в ней математики.

Такой вывод связан со **Сном Разума, рождающего Чудовищ.**

Сложнейшей математической операцией является стандартное решение определённого интеграла:

$$\int_a^b \varphi d\varphi = \frac{1}{2}(a^2 - b^2) = \frac{1}{2}(a+b) \cdot (a-b),$$

удобного наличием половинки, то есть Дробь Дзиан в любом поле, обладающем разностью квадратов потенциалов.

Остальные математические счисления связаны со **сложением – вычитанием** в антирезонансных процессах; **умножение – делением, логарифмированием и извлечением корня** при резонансе.

Вся математика в теории Единого космоса сводится к арифметике в программе школы дошколят и неполной средней школы.

Специфика состоит в применении этого аппарата к объектам, находящимся в динамике движения неравновесных систем, например точки опоры для рычага Архимеда, **похваляющегося зачем-то, что при наличии точки опоры он перевернёт Земной Шар.**

Чтобы такое хулиганство с архимедовыми рычагами не произошло на самом деле, предлагаю **обучение законам Единого Космоса начать с первого класса средней школы. К седьмому классу дети будут знать Законы Космоса. И они, как Строители, будут оберегать блистающую Землю.**

Литература

1. А.Халс. Ключ ко всему. Энциклопедия современной магии. Книга первая: Тайны Востока; Книга вторая: Тайны Запада. Изд. "Аквариум". Москва. 1998.
2. Мендли Л.Холл. Энциклопедическое изложение масонской, герметической, каббалистической и розенкрейцеровской символической философии. СПИКС. С-Петербург. 1994.
3. Е.П.Блавадская. Тайная Доктрина. Космогенезис том 1; Антропогенезис том 2. Изд. Центр "Ток". 1993.
4. С.П.Удовник (отв. ред.). Тайная Доктрина. Теогенезис. Изд. "РЕФЛ-бук", "Ваклер". 1994.
5. Библия. Книги Священного Писания Ветхого и Нового завета. Изд. Московской Патриархии. 1988.
6. А.В.Зиновьев. Магия Апокалипсиса. Изд. "Поиск". Саранский филиал СП "Норд". 1990.
7. Е.А.Уоллис Бадж. Египетская Книга Мёртвых. Изд. Золотой Век. Москва. 1995.
8. Тибетская Книга Мёртвых. Изд. Чернышева. С-Петербург. 1994.
9. И.Гегель. Работы разных лет. Об орбитах планет. Изд. Наука. Москва. 1960.
10. М.А.Садовский. Голос Земли. Ж."Химия и Жизнь" №1. Москва.
11. К.Свенсон, П.Уэберг. Клетка. Изд. "Мир". Москва. 1980.
12. Ж.Ф.Лауэр. Загадки египетских пирамид. Изд. Наука. Москва. 1966.
13. Э.Джилберг, М.Каттерелл. Тайны Майя. Изд."Вече". Москва. 2001.
14. Марло Морган. Terra Mystica. Послание с того края Земли. Изд. ТАЯТРИ. Москва. 2005.

15. Э.Гоникман, С.Бланк. Лечебные свойства минералов в свете эффекта Кирлиан. Изд."Сантана". Москва–Нью-Йорк. 2000.
16. О.Т.виноградов. Фрагменты из истинной начальной истории славян. С-Петербург. 2004.
17. Б.М.Яворский и А.А.Детлер. Справочник по физике. Изд.Наука. Москва. 1970.
18. Г.Корн и Т.Корн. Справочник по математике. Изд.Наука. Москва. 1970.
19. В.С.Крикоров. Единый Космос. Введение в теорию. Типография "Мегасел". Тверь. 2005.
20. В.С.Крикоров. Единый Космос. Энергетические основы экстрасенсорного врачевания. Московская область. Раменская типография. 1999.
21. В.С.Крикоров. Единый Космос. Энергетическая структура Света и Мысли. ЗАО "Полиграфия". Москва. 2000.
22. В.С.Крикоров. Единый Космос. Живая Нить из Жизни после Жизни. ЗАО "Полиграфия". Москва. 2000.
23. В.С.Крикоров. Единый Космос. Тонкая энергия в полях Материи: физическая химия фотосинтеза полей Материи и Тонкой Энергии. ЗАО "Полиграфия". Москва. 2000.
24. В.С.Крикоров. Единый Космос. Живое в ритмах Времени. ЗАО "Полиграфия". Москва. 2000.
25. В.С.Крикоров. Единый Космос. Расшифровка Теогенезиса Станц "Книги Дзиан" и энергетика сотворения Вселенных. ЗАО "Полиграфия". Москва. 2000.
26. В.С.Крикоров. Единый Космос. Золотые вихри Материи и Тонкой Энергии Метагалактик. Изд."Барс". Москва. 2003.
27. В.С.Крикоров. Единый Космос. Экономика Будущего. ЗАО "Полиграфия". Москва. 2000.

28. В.С.Крикоров. Единый Космос.
29. О старом Новом годе. Ж.Единение №44(235). Декабрь 2005. стр. 1÷3.
30. Стивен Карчер. Ицзин. Китайская Книга Перемен. Изд.Гранд. Москва. 2005.
31. Г.Длясин. Азбука Гермеса Трансмегиса или молекулярная тайнопись мышления. Изд. Анрита-Руц. Москва. 2005.
32. Ю.И.Долгин. Древнейший учитель мудрости Гермес Трисмелис. Журнал Дельфис №2(7).96. Москва.

Оглавление

От автора	2
1. Тьма и Свет Единого Космоса	3
2. Арупа и Рупа Вселенных	4
3. Материя и Тонкая Энергия.....	5
4. Хаос и Гармония: Дзиан	6
5. Сжатие и Расширение компонент света.....	7
6. Взаимодействия в ядерных средах	8
7. Кундалини и Пространство	9
8. Перенос света через Невесомость самосущими волнами.....	10
9. Энергетическая оптика спектра солнечного света ..	12
10. Импульсы головного мозга и элементарные заряды биотока.....	13
11. Гравитационный электромагнетизм: число Человека	14
12. Ступение великой Пирамидой самосущих волн	15
13. Энергетика Периодической Системы геномов наследственности.....	17
14. Магнетизм геномов и медитации в пропорциях Пирамиды "Вавилонская Башня"	18
15. Шифр Книги Бытия и Библии: сила биотока и индукция в чаре Третий Глаз	20
16. Основание великой Пирамиды: связь с тринадцати лунным календарём Майи	21
17. Маятниковый эффект в сгустках Вселенной.....	22
18. Излучение как генерация волн с обратными потенциалами	24
19. Мировое Яйцо с Пентаграммой	25
20. Чакра как Яйцо с Пентаграммой.....	26
21. День вне Времени: сущность и необходимость	28
22. Медитация: инверсионные и термические взрывы	29
23. Создание взаимодействиями трёхмерного Пространства.....	30
24. Фотон - фононы в трёхмерном Пространстве	32

25.	Приведённый фотон - фонон и начало Жизни	33
26.	Зависимость реинкарнаций от истинного молекулярного веса	34
27.	Метан-аммиак: расчёт межмолекулярных связей....	35
28.	К Основам кремневодородной Жизни	36
29.	Водородная связь как вихрь фотон - фононов	37
30.	Кислородная связь: вода и геномы	39
31.	Возникновение электричества на поверхности Капли	40
32.	Пульсация поверхности Капли Ядра - генератор водорода.....	41
33.	Оболочка Капли как двойная спираль Зодиака.....	42
34.	Фесский Диск Праславян: спирали оболочки	44
35.	Разность потенциалов по длине спирали Зодиака ...	45
36.	Поверхностное натяжение оболочек	46
37.	Сотворение Вселенных пульсирующей оболочкой.	47
38.	Пульсация электромагнитной оболочки по амплитуде	48
39.	Масса относительного покоя.....	50
40.	Электромагнетизм коры головного мозга.....	51
41.	Взаимодействия и восемь уровней в оболочке Капли воды.....	52
42.	Пульсация волн в Капле лазерной Плазмы	53
43.	Корень Жизни в Океане Бессмертия	55
44.	Геномы наследственности в Океане Жизни	56
45.	Описание пьезоэффекта диаграммой Ян-Цинь	57
46.	Формирование трёхмерного Пространства Недрами Ядер.....	58
47.	Динамика постоянства плотности ядерного вещества	59
48.	110 Божеств нашего тела и Капля Ядра	61
49.	Резонансно-антирезонансная пульсация Вселенной	62
50.	Ядерные эндо - экзотермические реакции и взрывы	63
51.	Формирование Вселенных эпицентрами ядерных взрывов	64
52.	Ноль-потенциал и удвоение энергии сред.....	66

53.	Резонансные Ноль и Единица: взаимодействия в логарифмических волнах.....	67
54.	Взаимодействия в логарифмических волнах: христианство и буддизм	68
55.	Глубинная природа возникновения люминесценции - Ауры.....	69
56.	Шаровая молния и передача её энергии в чакру.....	71
57.	Важнейшие формы Триединого Космоса	72
58.	Спираль Зодиака и Древне-Славянский Календарь..	74
59.	Пульсация Спирали Зодиака под электрической оболочкой	75
60.	Ускорения в магнитном поле спирали Зодиака	76
61.	Закон Трёх Вторых: Крест и Эволюция	78
62.	Электрический баланс в поле света в эпюре Креста	79
63.	Резонансно-антирезонансное формирование сред светом.....	81
64.	Крест: формирование Света и своего Подобия - Единого Космоса	82
65.	Появление неинертных газов и углерода при сгущении Небесных Волн	83
66.	Сгущение Тонкой Энергии и Книга Мёртвых	85
67.	Реинкарнация как Непорочное Зачатие	86
68.	Сгущение Света в заряды-импульсы под оболочками	87
69.	Формирование биполярной структуры фотон-фонона	89
70.	Биполярный магнит: пятеричная связь, 13-ти лунный Календарь	90
71.	Гравитационно-магнитные бури - генераторы вихрей Мысли и Памяти	91
72.	Появление электричества (в том числе Воображения) на поверхности Капли Ядра	93
73.	Природа происхождения и всесущность Закона Кеплера	94
74.	Второй закон Кеплера и внутреннее поле фотона...	95
75.	Третий закон Кеплера: пятеричная связь Космоса...	97

76.	Законы Кеплера и религиозно-мифологические факты.....	98
77.	Появление электричества на орбитах и в мозге	100
78.	Единый Космос как следствие взаимодействий фотон - среда.....	101
79.	Сгущение фонона в фотон и в ядерную плазму	103
80.	Связь дефекта масс с мозгом, временем, Вавилонской Башней	104
81.	Основы изомерии и её символизм	106
82.	Резонанс - антирезонанс. Спираль Зодиака в резонансе Арупы - Рупы	107
83.	Религиозные описания энергетических вихрей: христианство и иудаизм.....	109
84.	Пропорции великой Пирамиды и диаграммы Ян-Цинь как векторное описание Единого Космоса	110
85.	Фазовый состав субстанций Единого Космоса	111
86.	Магнетизм ядерного вещества	113
87.	Излучение-поглощение: энергетика кода Книги Бытия.....	114
88.	Основы взаимосвязи излучения, насыщения, поглощения	116
89.	Мировое Яйцо с Пентаграммой: фотон - фононы в метане.....	117
90.	Самосушие волны - созидательная субстанция для Космической Мысли	119
91.	Ядро и его спутники	120
92.	Капля Жизни в Недрах Океана Жизни.....	122
93.	Пульсация Кундалини в Мировом Яйце: сердце	123
94.	Шифр к Книге Бытия: время Апокалипсиса в Круге Универсуме	125
95.	Апокалипсис: Память Эго и память о Эго	126
96.	Тринадцати лунный Календарь Создателя и цивилизации Майя.....	128
97.	Взаимодействие элементарных частиц со светом. Кундалини	129

98. Свабхават: электромагнитная индукция Кундалини	130
99. Пульсация Вселенной: недра Капли ядра - Невесомость	132
100. Ядро и окружающая среда. Пирамида и 14 колен Израилевых	133
101. "Вдох" самосуших волн ядерным веществом	135
102. Сотворение из самосуших волн Арупы - Рупы Вселенной	136
103. Единая Форма Существования Арупы-Рупы	138
104. Человек в волнах Космоса	139
105. Наше рождение до Жизни	140
106. Возможность управления огненным вихрем Воображения	142
107. Пространство и Небеса-Цинь: иммунная защита ...	143
108. Ядерная холокоста: разрушение иммунной системы	144
109. Продолжительность и эквивалентность Космических Суток	146
110. Вода: её описание диаграммой Тянь-Цинь	147
111. Геномы и шифр-ключ Книги Бытия	149
112. Сгустки и Продолжительность во Взаимодействиях	150
113. Сгусток с Числом Человека в небесах Цинь	151
114. Ядерная Холокоста: компонент пульсации Вселенной	153
115. Реалии Божеств Книги Мёртвых: короткодействия	154
116. Космос и мозг: взаимотрансформация фотон-фононов	155
117. Наше Эго в гравитационно-электромагнитном дальнодействии	157
118. Фотон-фононы во взаимодействии Вселенной	158
119. Колебания Вселенной взрывами	159
120. Солнечный гелий и Божественный Человек	161
121. Расширяющаяся Вселенная в полях Пятеричной Связи	162

122. Роль Дня вне Времени в межзвёздных полётах	163
123. Формирование неинертных газов плазмой света....	165
124. Сотворение мира Единого Космоса	166
125. Корпускулярно-волновая Природа Дзиан - потенциалов	167
126. Капля геномов в Океане Жизни.....	169
127. К вершине Вавилонской Башни.....	171
128. Методика расчёта молекулярных весов в динамике	172
129. Кислородная единица химических элементов как шифр-ключ Книги Бытия.....	173
130. Электрическая электрон-позитронная плазма инертных газов.....	175
131. Сердце Человека в искрах плазмы фотон-фононов	176
132. Закономерности формирования плазмы инертных газов	178
133. Луна и взаимотрансформация инертных газов в неинертные	179
134. Неинертные газы в плазме сгустков Пирамиды	180
135. Капля Ядра: электрическая связь между атмосферой и недрами.....	182
136. Гадолиний: редкоземельный сгусток Тянь.....	183
137. Оболочка плазмы. Годовые кольца деревьев. Реинкарнации.....	184
138. Истоки Дня вне Времени в тринадцати лунном Календаре	186
139. Свет: связь радиоактивного излучения и лантаноидного сжатия. Сознание и Подсознание...	187
140. Радиоактивно-лантаноидная природа дефекта масс	189
141. Колебания Форм Жизни в Продолжительности Реинкарнации.....	190
142. День вне Времени: электромагнетизм биологической плазмы.....	191
143. Продолжительность рождения Земли в ядерных взаимодействиях	193

144. Цинь и Тянь: молекулярные веса воды и песка	194
145. Сохранение оболочки при реинкарнации	195
146. Ноосфера: формирование водорода, гелия и геномов светом.....	197
147. Энергетический обмен между водородом и гелием	198
148. Строение Ядра. Спирали Зодиака. Сердце	199
149. Пульсация Капли Ядра: расшифровка Календаря Майи.....	201
150. Поверхность Капли Ядра: структура.....	202
151. Магнитная природа взаимодействий.....	204
152. Пределы насыщения магнитной среды фотон-фононами	205
153. Гелий - водородный синтез как энергетика митоза.....	206
154. Пульсация света в сгустке Тянь	208
155. Фотон - фононный вихрь между ядром и электронами атома гелия	209
156. Влияние фотон-фононов гелия на митоз биоклетки. Зигота	210
157. Семь уровней в Капле ядра: структура сгустков	212
158. Строение Атома во взаимодействиях фотон-фононов	213
159. Энергетическая структура Недр Ядра.....	214
160. Описание Сотворения Вселенной великой Цивилизацией	216
161. Обожествление компонентов аминокислот.....	217
162. Описание синтеза-диссоциации воды диаграммой Тянь-Цинь.....	218
163. Описание синтеза углекислого газа диаграммой Тянь-Цинь.....	220
164. Излучение-поглощение: описание процесса диаграммой Тянь-Цинь и великой Пирамидой	221
165. Смещение Неравновесных Систем: закон трёх вторых	222
166. Священный Треугольник: описание Кундалини в Арупе-Рупе	224

167. Устойчивость орбит	225
168. Структура водорода: электрон-позитрон	227
169. Магнитная глина для Адама	228
170. Часы Жизни: описание Религиями молекулярного веса	229
171. Боги Древнего Египта: Малое Колесо Жизни	231
172. Энергетические уровни в Жизни после Жизни	232
173. Трансформация Солнечного света в Люминесцентный	234
174. Сгущение белого люминесцентного света в углерод	235
175. Магнетизм Жизни и Жизни до и после Жизни	236
176. Фононы титана и 110 Божеств Книги Мёртвых	237
177. Динамика резонансно-антирезонансной пульсации спирали Зодиака	239
178. Кундалини как основа биочасов Единого Космоса	240
179. Кундалини в электронной плазме инертных газов	242
180. Арупа-Рупа: состав - свойства энергетического вихря	243
181. Жизнь до Жизни: дух в оболочке Воображения	244
182. Капля серого вещества головного мозга: нейрон ...	246
183. Энергетика Тянь-Цинь с позиции Капли Ядра	247
184. Капля Ядра и Космическая Мысль	248
185. Живые магниты в резонансной Капле ядерного вещества	250
186. Корень в Океане Жизни	251
187. Океан Жизни как взаимодействие в каждой Капле Жизни	252
188. Подсознание и Пирамида "Вавилонская Башня" ...	254
189. Лазерная Точка: начало логарифмической Спирали Вселенной	255
190. Три формы массы относительного покоя	257
191. Кундалини в поле Воображения	258
192. Поглощение Тонкой Энергии сгустком Материи ...	259
193. Сходство и Различие рождения в Жизнь и в Жизнь до (после) Жизни	261

194. Описание Рождения в Книге Дзиан.....	262
195. Нейрон-биоклетка: митоз спектра Света в оболочке	263
196. Свет в оболочке: гравитационно-электромагнитные свойства	264
197. Сто восемь реинкарнаций: пульсация спектра Света в Рупе	266
198. Энергетика возникновения Воображения.....	267
199. Великая Пирамида: описание Мирового Яйца.....	268
200. Реинкарнации: взаимодействия в Мировом Яйце .	270
201. Природа Цинь: поглощение Космической Мысли Светом.....	271
202. Магнетизм Небес: генерация электричества	273
203. Расшифрованная Тайна диаграммы Тянь-Цинь.....	274
204. Движение – точка опоры Вселенной	276
205. Взаимосвязь Сознание – Подсознание	277
206. Мысль, Память, Воображение в чакре Третий Глаз	278
207. Магнитное излучение оболочками Чакр.....	279
208. Гипноз: магнитная пульсация в гравитационно- электрическом поле Космоса	281
209. Закономерности пульсации Абсолюта.....	282
210. Мозг, Тело, Реинкарнации, Постоянная Вселенной	283
211. Структура и природа возникновения шаровой молнии	285
212. Инверсия шаровой Молнии – подобие Воображения	286
213. Реинкарнация: эндо-экзотермия Эго	287
214. Инверсия Арупы в сферическом трёхмерном Пространстве.....	289
215. Пульсация Кундалини в пределах Реинкарнаций..	290
216. Описание Инверсии великой Пирамидой и в Откровениях	292
217. Арупа – Рупа как Носитель Энергии.....	293
218. Цикличность трансформации Субстанции Единого Космоса	294

219. Энергетическая Природа высоты великой Пирамиды	296
220. Излучение над взаимодействиями: ключ-шифр Библии.....	297
221. Гравитационно-магнитная мультиплетность Космической Мысли	298
222. Христианский Крест: возникновения ускорений в поле Света	300
223. От религиозных Догм к Знаниям: переход Подсознание-Сознание	301
224. Ядерное столкновение фотонов	302
225. Ядерный взрыв в трёхмерном Пространстве.....	304
226. Естественность взрыва в поле Арупа-Рупа	305
227. Вихрь в Пространстве: альтернатива кривизны пространства	307
228. Сто десять Божеств в теле Человека и Периодическая Система геномов Наследственности	308
229. Ядро геномов – излучатель Арупы Света.....	309
230. Биочасы наших Жизней	311
231. Пульсирующее Сердце Жизни.....	312
232. Различия сгустков Сердца и Мозга	313
233. Энергетика синхронной пульсации Мозга и Сердца	315
234. Пятеричный Лха и природа происхождения Кундалини	316
235. Влияние Чакр на формирование электрогравиомагнетизма.....	318
236. Пульсирующая Арупа наших душ.....	319
237. Единение Космоса амплитудами пульсации энергетических уровней.....	321
238. Периодическая Система Геномов Наследственности	322
239. Геномы до Зачатия	324
240. Описание Периодической Системы Геномов великой Пирамидой.....	325

241. Эволюция реинкарнаций: диаграмма Тянь-Цинь в трёхмерном Пространстве Света	326
242. Реальность программирования Судеб Живых Магнитов	328
243. Гравитационно-магнитное равновесие Космоса....	329
244. Ядерное вещество в Арупе: энергетическая структура	330
245. Пульсация Воображения и Число Человека 113	331
246. Реальность Фатализма: ментальность наших судеб	333
247. Двоичный язык Да и Нет Единого Космоса	334
248. Телепатия и Размножение	335
249. Дискредитация полярных вихрей Света с потенциалом 666	336
250. Боги и геномы: гравитация и свет в биоклетке	337
251. Синхронная пульсация нейрона и биоклетки: путь к Теогенезису	339
252. Эквивалентность субструктуры (9+0) биоклетки мультиплетности энергии в нейроне	340
253. Структура Свабхават и её запись в Книге Перемен	341
254. Штрих - записи в книге Перемен: резонанс-антирезонанс фотон-фононов в трёхмерном Пространстве.....	343
255. Сокровенная Сороковица Сознания и Подсознания	344
256. Периодичность бытия и структура трёхмерного Пространства в эпюре Круга Универсума Откровений.....	345
257. Пульсация сгустка в полях пятеричной связи: великая Пирамида и Пятеричный Лха	346
258. Свабхават ☉: фотон-фоонные взаимодействия, формирующие трёхмерное Пространство	348
259. Биочасы трёхмерного Пространства	349
260. Ах-хи: трёхмерное Пространство для Разума	350
261. Формирование геномов в полушариях кванта света	351

262. Переход Воображения в Память и наших душ в Эфир Бордо	353
263. Переплавка наших душ Космической Мыслью Эфира Бордо	354
264. Эфир Бордо: распределение фотонов по фазовым состояниям Вселенной	355
265. Энергетика реинкарнационных Перерождений	356
266. Тринадцати-лунный календарь в Жизни до Жизни	357
267. Электромагнитная среда: зародыш атома водорода	358
268. Геномы и эфир Бордо	359
269. Непрерывность Сознания в Едином Космосе	361
270. Фотон-вакансии: связь между сном и Смертью	362
271. Единое Сознание: небеса Цинь в пульсации Дзиан	363
272. Энергетика кодирования Судеб Человечества Создателем	364
273. Порочность метода Приближений – основы нашей науки	366
274. Ядро генома и телепатия: к Непорочному Зачатию	367
275. Схождение Благодатного Огня	368
276. Мультиплетность Благодатного Огня	369
277. Арупа наших душ в Благодатном Огне	370
278. Единство Религиозных Концепций: высокая Наука великой Цивилизации	372
279. Трон Христа на Небе: ядро Благодатного Огня	373
280. Трон Христа на Небе и 108 реинкарнаций	374
281. Через Благодатный Огонь к Красной Звезде Теогенезиса	375
282. Благодатный Огонь: единство Религии, Эзотерики и Науки	377
283. Реинкарнация геномов по тринадцати-лунному календарю	378
284. Зародыш био-Жизни в Благодатном Огне	379
285. Подобие энергетических полей в Круге Универсума и Изиды, Озириса, Гора и Тота	381
286. Благодатный Огонь в Арупе-Рупе	382

287. Электромагнитный потенциал двойной оболочки	383
288. Вихри Жизни в Едином Космосе: биочасы Космоса	385
289. Череди продолжительностей как замена Времени.	386
290. Высота великой Пирамиды как Трон Христа на Небе	387
291. Единство пропорций великой Пирамиды и диаграммы Тянь-Цинь	388
292. Фотоны в эндотермии Космоса Невесомости	390
293. Эквивалентность основания Пирамиды и Кундалини	391
294. Тьма, Свет и гравитация. Сотворение Вселенных	392
295. Подобия шифра Книги Бытия и двигателя НЛО	394
296. Пульсация и структура Благодатного Огня	395
297. Продолжительность импульса Благодатного Огня	397
298. Ядро и Тянь-Цинь Благодатного Огня	398
299. Арупа-Рупа в среде спирали Зодиака	399
300. Структура Ядра Благодатного Огня: реинкарнация	400
301. АЙН СОФ не бог, а взаимодействия.	402
302. Бог Ра и Чакра Третий Глаз	403
303. Сингулярность тепла наших душ	404
304. Изомерия полушарий сгустка Тянь	405
305. Энергетические потоки в полушариях Монады	407
306. Энергетическая структура Монады: мозг	408
307. Воображение: эпюра квадрата без формы	409
308. Из смерти к вечной Жизни	411
309. Арифметика Семи Смен Эволюции	412
310. Алгебра и тригонометрия Семи Смен лунного поля	413
311. Энергия-импульс: сущность войны за Пространство	414
312. Формирование Вселенной: встречные волны света	416
313. Взаимосвязь импульсов Вселенной	417
314. Контакт Арупы-Рупы: появление Кундалини	418
315. Обожествлённая сумма квадратов Арупа-Рупа	419

316. Равномерная пульсация Арупы: описание в Пирамиде	421
317. Создание Арупы-Рупы нисходящими - восходящими	422
318. Энергетическая структура точки - вершина Пирамиды	423
319. Цис-транс изомерия Арупы в Пирамидах: энергия излучения.....	425
320. Трансформация свободной энергии Арупы	426
321. Лунный ряд <i>Oeaohoo</i> : деление на формовщиков и геномы	427
322. Десять Арупа Вселенная.....	428
323. Свето-Датель: природа возникновения и форма описания	429
324. Вращение солнечно-лунных фононов: зародыш Пятеричности	431
325. Энергетика пульсации лунно-солнечной Пентаграммы.....	432
326. Яйцо с Пентаграммой: реалии Метафизики	434
327. Иисус Христос: описание формовщиков в Круге Универсуме	435
328. Мультиплетность Вселенной Расширения: золотые вихри	436
329. Пульсация Вселенной между пятым (<i>h</i>) и шестым (0) уровнями.....	438
330. Пальма как результат колебаний шестого-седьмого уровней <i>Oeaohoo</i>	439
331. Двенадцать знаков Зодиака в полярных вихрях из Рупы	440
332. Потенциальная Яма: Семь Вечностей <i>Oeaohoo</i>	441
333. Энергетика формирования трёхмерного Пространства.....	443
334. Свойства-сочетания энергии в форме трёхмерного Пространства.....	444
335. Энергообмен: Мировое Яйцо - Метагалактика.....	446

336. Обожествлённое векторно-символическое описание Мирового Яйца	447
337. К Красной Звезде Теогенезиса	448
338. Зашифрованные Судьбы: генетика в Книге Перемен – социология в Библии	450
339. Обожествление приёмо-передающих Систем Космоса	451
340. Мультиплетность и изомерия <i>Оеаоһоо</i>	452
341. Колебания магмы: жидких сред седьмого уровня <i>Оеаоһоо</i>	453
342. Динамика изменения ядерного вещества	454
343. Энергетика митоза субструктуры биоклетки	456
344. Митоз биоклетки и рождение в Жизни до Жизни ..	457
345. Информатика: растворение 22 букв Авраама в воде	458
346. Парогазовая атмосфера над остывающей Землёй..	460
347. pH - растворов и 108 реинкарнаций	461
348. Релаксация излучения: источник 13ти кратного Счисления	462
349. Космическая Мысль: несущая волна телепатии	464
350. Свабхават как ветер для 22 букв Авраама	465
351. Мировое Яйцо как оплодотворённая Яйцеклетка..	466
352. Шумеры и мы – Луна и Откровения	468
353. Обожествление Продолжительности во Взаимодействиях	469
354. Красная Звезда Теогенезиса в <i>Оеаоһоо</i>	470
355. Электричество на оболочке Мирового Яйца <i>Оеаоһоо</i>	472
356. Дзиан-пульсация Живого Мирового яйца	473
357. Зарождение живых магнитов в Мировом Яйце	474
358. Магнетизм Кундалини в антирезонансе Арупы-Рупы	475
359. Колебания под скорлупой Мирового Яйца	476
360. Продолжительность Кальпы	478
361. Пальма - частота пульсации Зиготы под Скорлупой	479

362. "Самосуший Владыка" свет. Отверждение атома	480
363. Синтез-мультиплетность Света в скорлупе Мирового яйца	481
364. Упущенная телепатия: 22 буквы Авраама	483
365. Продолжительность в спирали Зодиака	484
366. Инверсия магнитной оболочки – источник биотока	485
367. Магнитная инверсия и спектр света	486
368. Геном в электричестве – постоянная Вселенной ...	487
369. Возникновение 25 кадров в Подсознании	489
370. Излучение-поглощение скорлупой. Сгущение Божественной Мысли.....	490
371. Единство Противоположностей зарождения Мужского и Женского Начал в Мировом Яйце	491
372. Дзиан–пульсация – фактор влияния на Мужское и Женское Начала	492
373. Пульсация не вечного Зародыша Мирового Яйца..	494
374. Пульсация Арупы-Рупы в спирали Зодиака	495
375. Влияние Свето-Дателя на расширение Кундалини	497
376. Реалии Земли и мифы Книги Перемен.....	498
377. Инверсионные колебания под Оболочкой Мирового Яйца.....	499
378. Сгусток Тянь как оплодотворённая яйцеклетка Мирового яйца	500
379. Энергетическая структура Тянь–Цинь в изомерии	502
380. Инверсия изомерических структур Тянь–Цинь	503
381. Металл и Камень: переход от неживого к живому смертному.....	504
382. Через Семь Миров Майи	505
383. Пульсация и трансформация полярных вихрей субструктуры (9+0).....	507
384. Размножение на уровне митоза субструктур биоклетки.....	508
385. Размножение как Движение от смертного к бессмертному	509
386. На тропе Теогенезиса	510

387. Зародыш Света в Арупе	512
388. Клевета на Зародыш Света	513
389. Пульсирующая Память в Жизни до Жизни	514
390. Саптапарна: сердце Человека - Растение	516
391. формирование Мысли и Памяти в Зародыше биологического Эго	517
392. Информатика Размножением	518
393. Усиление материнского импульса в дочерних субструктурах	520
394. Структура Единой Жизни в Едином Космосе	521
395. Реинкарнации как процесс совершенствования	522
396. Пульсация Арупы–Рупы источник работы Сердца	524
397. Механизм синтеза Периодической Системы Рупы	527
398. Созидательная энергетика взрывов	530
399. Рождение живого: биологического тела и души. Приход Эго в Жизнь	533
400. Рождение Эго в Жизни до Жизни	537
401. Суеверие оружие фарисеев: числа 666 и 13	542
402. Настрой иммунной Защиты на Колебания Космоса	549
403. Предчувствие как энергия Чакры Сердца	550
404. Связь Иммунной Защиты и Предчувствия	551
405. Распределение ментальной энергии в Эго Человека	553
406. Красная Жизнь в Теогенезисе	556
407. Энергетическая связь Предчувствий и Иммунной Защиты	558
408. От Предчувствия к Подсознанию: сердце и мозг ...	559
409. Описание взаимосвязи Мозг-Сердце параметрами великой Пирамиды	561
410. Арупа-Рупа: проявление зарядов Подсознания	568
411. Семь Вечностей Тонкой Энергии Подсознания	569
412. Подсознание Человека воли и Йоги	570
413. Пища Человека Воли и Йоги: качество и количество	571

414. Космическое Равновесие: разность потенциалов в динамике Тянь-Цинь. Путь в Пирамиды	572
415. Переход от Подсознания к Сознанию: великое Созидание	577
416. Энергетическая структура ключ-шифра Книги Бытия	579
417. Звёздный путь человечества.....	584
418. Цис-транс изомерия Человека в Реинкарнациях....	590
419. Вода и Жизнь. Жизнь Воды.....	591
420. Рождение Рупы Света во тьме самосуших волн	593
421. Эго в теле Человека: высокая цель Создателя	596
422. Заряды: люминофоры – вакансии	601
423. Корень: самосушие волны тьмы	604
424. Великие Воды ядерного вещества	609
425. Вектор-Пирамида "Вавилонская Башня": электромагнетизм Капли Жизни.....	612
426. Проявление люминофор–вакансий светом Мысли	615
427. Пульсация оболочки ядра.....	618
428. Кундалини под оболочкой Чакр. Живые магниты .	619
429. Нерушимое Единство Космической Мысли и нашего Эго	621
430. Дзиан–пульсация Света в воде.....	627
431. Свойства воды с позиции пульсации водородных связей	628
Послесловие	634
Литература.....	638